

# Внутренние санитарно- технические устройства

Часть 3

Вентиляция  
и кондиционирование  
воздуха  
Книга 2

## Справочник проектировщика

Москва  
Стройиздат

# **Внутренние санитарно- технические устройства**

**В трех частях**

**4-е издание,  
переработанное и дополненное**

## **Часть 3 Вентиляция и кондиционирование воздуха**

**Под редакцией  
канд. техн. наук Н.Н. Павлова  
и инж. Ю.И. Шиллера**

**Книга 2**

**Москва  
Стройиздат  
1992**

ББК 38.762

В60

УДК 697.9 (035.5)

Главная редакционная коллегия серии: В. М. Спиридонов (главный редактор),  
Ю. Н. Андрианов, А. А. Вихрев, С. М. Глинкин, В. П. Илюхин, В. А. Касаткин,  
С. С. Кормилов, В. И. Королев, В. В. Кузнецов, В. В. Михеев, С. Н. Никитин,  
Н. И. Орехова, С. Д. Чубаров.

Авторы Б. В. Баркалов, Н. Н. Павлов, С. С. Амирджанов, М. И. Гримитлин,  
Л. Ф. Моор, Г. М. Позин, Б. Н. Креймер, В. М. Рубчинский, Т. И. Садовская,  
Н. И. Березина, Л. А. Бычкова, А. И. Ушомирская, С. М. Финкельштейн,  
А. И. Пирумов.

Редактор Н. А. Хаустова

- Внутренние санитарно-технические устройства. В 3 ч. Ч. 3.**  
**В60 Вентиляция и кондиционирование воздуха. Кн. 2/Б. В. Баркалов, Н. Н. Павлов, С. С. Амирджанов и др.; Под ред. Н. Н. Павлова и Ю. И. Шиллера.—4-е изд., перераб. и доп.—М.: Стройиздат, 1992.—416 с.: ил.—(Справочник проектировщика).**

ISBN 5-274-01155-1

Рассмотрены основные вопросы проектирования систем кондиционирования воздуха, распределения воздуха в помещениях, утилизации низкопотенциальной теплоты, приведен расчет воздуховодов. Изд. 4-е переработано и дополнено с учетом результатов последних теоретических исследований и новых нормативных документов. Изд. 3-е вышло в 1978 г. Части 1 и 2 4-го издания вышли в 1990 г.

Для инженерно-технических работников проектных и строительных организаций.

В 3309000000-438  
047 (01)-92 201-90

ББК 38.762

ISBN 5-274-01155-1 (Ч. 3, кн. 2) © Стройиздат, 1978  
ISBN 5-274-00554-3 © Б. В. Баркалов и коллектив авторов,  
1992, с изменениями

# ПРЕДИСЛОВИЕ

Широкое применение кондиционирования воздуха в производственных и жилых зданиях обусловлено следующими объективными причинами: развитием новых производств электронной, электротехнической, машиностроительной, химической, текстильной и других отраслей промышленности, остро нуждающихся в поддержании определенных и постоянных параметров состояния воздуха; возрастающими требованиями к улучшению условий труда и повышению производительности в горячих и мокрых цехах, угольных шахтах, рудниках и пр.; оснащением предприятий промышленности связи, научно-исследовательских и конструкторских организаций дорогостоящими приборами и счетно-решающими машинами, точная и безотказная работа которых возможна только при определенных температуре и относительной влажности воздуха; увеличивающимся строительством закрытых помещений для длительного пребывания больших количеств людей (театры, концертные залы, стадионы, рестораны, вокзалы и т. д.).

За последнее десятилетие в нашей стране существенно изменились архитектурно-конструктивные решения и технология строительства зданий, номенклатура и характеристики изготавляемых кондиционеров, вентиляционного и холодильного оборудования и средств автоматизации систем кондиционирования. Все это обусловило необходимость значительной переработки материала Справочника проектировщика предыдущего издания с учетом результатов новых теоретических и экспериментальных исследований, разработок научно-исследовательских и проектных организаций, а также изменений в соответствии с новой редакцией СНиП 2.04.05–86.

В составлении справочника принимали участие: канд. техн. наук Б. В. Баркалов (гл. 15, 20), канд. техн. наук Н. Н. Павлов (гл. 15), инж. С. С. Амирджанов (гл. 16), д-р техн. наук М. И. Громитлин (гл. 17), канд. техн. наук Г. С. Позин (гл. 17), инж. Л. Ф. Моор (гл. 17), инж. Б. Н. Креймер (гл. 18), канд. техн. наук В. М. Рубчинский (гл. 19), инж. Т. И. Садовская (гл. 15 и 21), канд. техн. наук Н. И. Березина (гл. 22), канд. техн. наук Л. А. Бычкова (гл. 22), инж. А. И. Ушомирская (прил. I), инж. С. М. Финкельштейн (прил. II и III), д-р техн. наук **A. И. Пирумов** (прил. IV).

# Глава 15

## КОНДИЦИОНИРОВАНИЕ ВОЗДУХА

### 15.1. ОБЩИЕ ПОЛОЖЕНИЯ

**Кондиционирование воздуха** – автоматическое поддержание в закрытых помещениях всех или отдельных его параметров (температуры, относительной влажности, чистоты, скорости движения) на определенном уровне с целью обеспечения главным образом оптимальных метеорологических условий, наиболее благоприятных для самочувствия людей, ведения технологического процесса и обеспечения сохранности ценностей культуры.

Кондиционирование воздуха, согласно СНиП 2.04.05-86, подразделяется на три класса:

первого класса – для обеспечения метеорологических условий, требуемых для технологического процесса, при допускаемых отклонениях за пределами расчетных параметров наружного воздуха в среднем 100 ч/г при круглосуточной работе или 70 ч/г при односменной работе в дневное время;

второго класса – для обеспечения оптимальных санитарных или технологических норм при допускаемых отклонениях в среднем 250 ч/г при круглосуточной работе или 175 ч/г при односменной работе в дневное время;

третьего класса – для обеспечения допускаемых метеорологических условий, если они не могут быть обеспечены вентиляцией, или промежуточных условий между допускаемыми и оптимальными нормами при экономическом обосновании; допускаемые отклонения за пределами расчетных параметров наружного воздуха 450 ч/г при круглосуточной работе или 315 ч/г при односменной работе в дневное время.

Кондиционирование воздуха осуществляется комплексом технических средств, называемым системой кондиционирования воздуха (**СКВ**). В состав СКВ входят технические средства приготовления, перемещения и распределения воздуха, приготовления холода, а также средства хладо- и теплоснабжения, автоматики, дистанционного управления и контроля. СКВ больших общественных и производственных зданий должны обслуживаться комплекс-

ными автоматизированными системами управления.

Основное оборудование для приготовления и перемещения воздуха агрегируется в аппарат, называемый **кондиционером**. В отдельных случаях все технические средства для кондиционирования воздуха скомпонованы в кондиционере, и тогда понятия СКВ и кондиционер становятся однозначными.

Кондиционирование воздуха подразделяется на **комфортное** и **технологическое**.

**Комфортные СКВ** предназначены для создания и автоматического поддержания температуры, относительной влажности, чистоты и скорости движения воздуха, отвечающих оптимальным санитарно-гигиеническим требованиям.

**Технологические СКВ** предназначены для обеспечения параметров воздуха, в максимальной степени отвечающих требованиям производства.

Технологическое кондиционирование в помещениях, где находятся люди, осуществляется с учетом санитарно-гигиенических требований. Основные санитарно-гигиенические требования регламентируются: ГОСТ 12.1.005-88. Общие санитарно-гигиенические требования к «воздуху рабочей зоны»; СНиП 2.04.05-86 «Отопление, вентиляция и кондиционирование»; СНиП 2.09.02-85 «Производственные здания»; СНиП 2.08.02-89 «Общественные здания»; СНиП 2.09.04-87 «Административно-бытовые здания»; СНиП II-3-79 «Строительная теплотехника» и СНиП 2.01.02-85 «Противопожарные нормы», а также другими материалами по проектированию санаториев, больниц и поликлиник, гостиниц, магазинов, спортивных сооружений, театров, кинотеатров, архивов, животноводческих и птицеводческих зданий и сооружений, зданий и сооружений для хранения и переработки сельскохозяйственной продукции, теплиц и парников.

Следует также учитывать указания по проектированию зданий с герметизированными помещениями для точных производств и электроники – «чистых комнат», предприятий лег-

кой, пищевой, мясной, рыбной и молочной промышленности и холодильников.

Во всех случаях СКВ должны занимать возможно меньшие площади для размещения оборудования, однако практически для оборудования СКВ требуется от 25 до 400% (для «чистых комнат») от площади кондиционируемых помещений. Внешние формы и отделка оборудования, располагаемого внутри кондиционируемых помещений, должны соответствовать архитектурному облику последних.

В проектах следует предусматривать возможность строительства и ввода СКВ в эксплуатацию по эпизодам, а иногда и по отдельным помещениям. Необходимо предусматривать также: 1) возможность быстрого переключения кондиционеров с режима обогрева на режим охлаждения в переходное время года, а также при резких переменах температуры наружного воздуха и теплопоступлений, т.е. системы должны иметь малую тепловую инерционность; 2) взаимную блокировку кондиционеров, чтобы при выключении одного из них можно было подать воздух из соседних кондиционеров, хотя бы в меньшем количестве; 3) обеспечение индивидуального регулирования температуры, относительной влажности в каждом отдельном помещении; 4) возможность отопления одних помещений при одновременном охлаждении других, обслуживаемых той же системой; 5) сосредоточение оборудования, требующего систематического обслуживания в минимальном количестве мест; 6) простоту и удобство обслуживания и ремонта, а также малую потребность в них за период эксплуатации; 7) возможность частичной перепланировки помещений в процессе эксплуатации без переустройства СКВ, что особенно важно, например, для производственных зданий с быстро меняющейся технологией.

Общепризнанной классификации СКВ не существует. Приведенная на рис. 15.1 классификация не претендует на исчерпывающую полноту и касается только тех систем, которые нашли применение в нашей стране.

Для СКВ на холодный период года в качестве расчетных следует принимать параметры  $B$  наружного воздуха СНиП 2 04.05-86 для СКВ всех классов; для теплого периода для СКВ первого класса параметры  $B$ , для второго класса — параметры  $B$ , сниженные на  $2^{\circ}\text{C}$  по температуре и на  $2 \text{ кДж}/\text{кг}$  по энталпии, и для третьего класса параметры  $A$ . В

качестве переходных условий для СКВ всех классов следует принимать параметры, при которых кондиционер не расходует ни теплоты, ни холода.

СКВ, используемые в течение части суток, в теплый период года рекомендуется рассчитывать на большие из температур  $t_N$ ,  $^{\circ}\text{C}$ , и энталпии  $J_N$ ,  $\text{кДж}/\text{кг}$ , определяемые для каждого часа рассматриваемой части суток, по формулам:

$$t_N = t - 0,5A_t [1 + \cos(15 \cdot \Delta t)]; \quad (15.1)$$

$$J_N = J - 0,5A_y [1 + \cos(15 \cdot \Delta t)], \quad (15.2)$$

где  $t_N$ ,  $J_N$  — расчетные температура наружного воздуха,  $^{\circ}\text{C}$ , и удельная энталпия,  $\text{кДж}/\text{кг}$ , в расчетный час суток,  $t$ ,  $J$  — расчетные температура,  $^{\circ}\text{C}$ , и удельная энталпия,  $\text{кДж}/\text{кг}$ , наружного воздуха при круглогодичной работе СКВ,  $A_t$  — амплитуда суточных колебаний температуры наружного воздуха,  $^{\circ}\text{C}$ , принимается по СНиП 2 04.05-86;  $A_y$  — амплитуда суточных колебаний удельной энталпии, равная  $1A_t$ ,  $\text{кДж}/\text{кг}$ ;  $\Delta t = t - 3$  — для местностей, расположенных на расстоянии более  $100 \text{ км}$  от морей и океанов, и  $\Delta t = t - 2$  — при меньшем расстоянии; здесь  $t$  — час расчетных суток по среднему солнечному времени

Формулы (15.1) и (15.2) по температуре и энталпии характеризуют расчетные сутки теплого периода года с параметрами, изменяющимися по косинусоиде (рис. 15.2). Кроме того, расчетные сутки характеризуют кривыми напряжения солнечной радиации в июле на различно направленные по отношению к сторонам света и к горизонту наружные ограждения помещения.

При проектировании СКВ чистоту воздуха принимают: а) для общественных и жилых помещений — в пределах установленных норм наружного воздуха населенных мест; б) для производственных и административно-бытовых помещений — в пределах допускаемых СНиП 2 04.05-86 30% ПДК по ГОСТ 12.1.005-88 в воздухе, выпускаемом в помещения, или на более низком уровне, особенно в части запыленности воздуха, если это требуется по технологическим условиям.

Расчетные метеорологические условия в рабочей зоне производственных помещений и обслуживаемой зоне общественных, жилых и административно-бытовых помещений следует выбирать по табл. 15.1.

Многие годы одним из критериев оценки метеорологических условий в общественных и производственных помещениях для людей, находящихся в состоянии, близком к состоянию

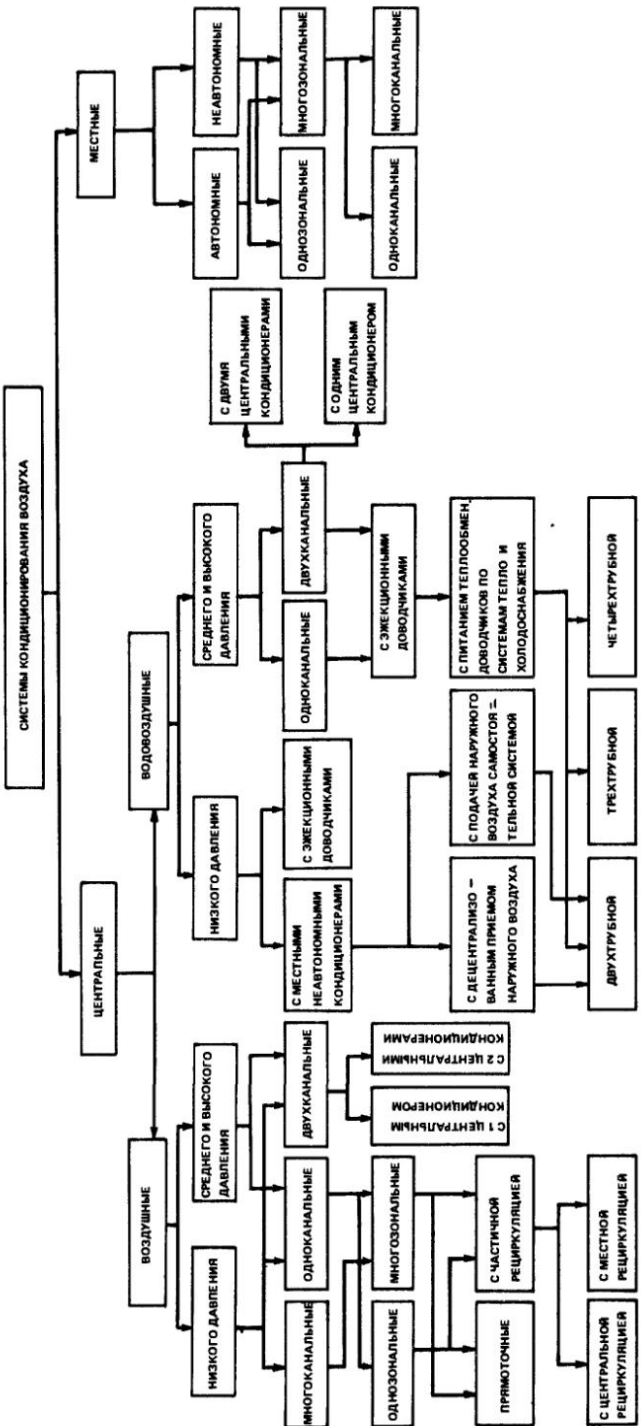


Рис. 151. Классификация систем кондиционирования воздуха

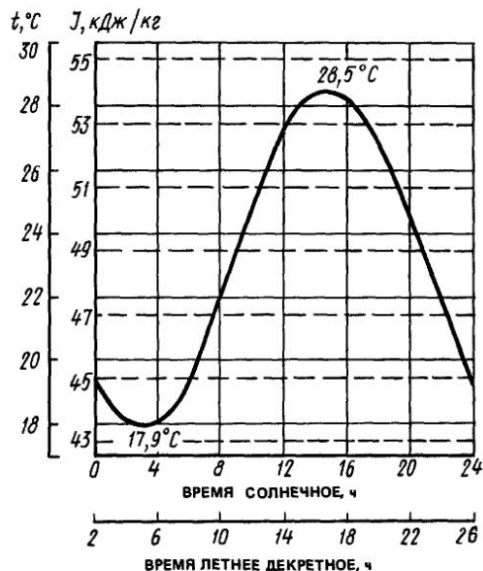


Рис. 15.2. Температура и энталпия наружного воздуха в расчетные сутки теплого периода года для Москвы (параметры Б)

покоя, или выполняющих легкую работу в сидячем положении, служили нормальные эквивалентно-эффективные температуры (ЭЭТ). ЭЭТ не учитывают радиационного фактора и были установлены на основе сравнения теплоощущения людей в выбранных условиях с теплоощущением их в камере со 100%-ной влажностью. Последнее не характерно для реальных условий. Перечисленные недостатки ЭЭТ привели к тому, что этот критерий перестали учитывать в проектной практике. При определении комфортных условий, как правило, пользуются положениями СНиП 2.04.05-86 или данными специальных исследований и указаний.

По данным Института общей коммунальной гигиены им. А. Н. Сысина АМН оптимальные параметры в служебных (конторских) помещениях применительно ко II климатическому поясу составляют: в холодный период года температура 20–22 °С при относительной влажности 30–40% и скорости движения воздуха 0,2 м/с; в теплый период года температура 20–22 °С при относительной влажности 30–60% и скорости движения воздуха 0,2 м/с или 23–25 °С при скорости движения воздуха 0,3 м/с при этой же влажности.

ТАБЛИЦА 15.1. ОПТИМАЛЬНЫЕ ПАРАМЕТРЫ ВОЗДУХА ДЛЯ НЕКОТОРЫХ ПРОИЗВОДСТВЕННЫХ И ОБЩЕСТВЕННЫХ ПОМЕЩЕНИЙ ПО УСЛОВИЯМ ВЫПОЛНЯЕМЫХ РАБОТ ИЛИ ХРАНЕНИЯ МАТЕРИАЛОВ

Виды производств и помещений	Температура, °С	Влажность, %
Архивы	14–17	57–63
Библиотеки, книгохранилища	18–21	40–50
Помещения музеев, где хранятся экспонаты из дерева, бумаги, пергамента, кожи, клея и составленные из них	16–24	50–60
Студии художников с картинами на мольбертах	16–24	55–60
Склады картин в музеях	11–12	55–60
Помещения для хранения:		
мехов	4–10	55–65
кожи	10–16	40–60
Предприятия машиностроения:		
лаборатории металлов	20 ± 0,5	40 ± 0,5
термоконстантные помещения для прецизионных работ различных групп:		
1	18–22	40 ± 5
2	19,5 –	40 ± 5
– 20,5		
3	19,8–20,2	40 ± 5
4	19,95 –	40 ± 5
– 20,05		
особо чистые помещения для прецизионных работ:		
цехи:		
точного машиностроения	20 ± 0,5	45 – 50
намотки трансформаторов и катушек сборки радиоламп изготовления	22 ± 1	–
изготовления электроизмерительных приборов	21–24	50–55
обработки пластинок из селена и окиси меди	23 ± 1	30–40
плавки оптического стекла	24 ± 1	45 ± 5

Продолжение табл. 15.1

Виды производств и помещений	Темпера-тура, °С	Влаж-ность, %
шлифовки линз	24 ± 0,5	80 ± 5
помещения электронно-вычислительных машин (ЭВМ) с встроенными вентиляторами	19–22	55–65
помещения ЭВМ:	(18–24)*	(50 – 70)*
параметры для воздуха, подаваемого внутрь машин	14–18	75–80
параметры на выходе из машин	24–28	40–50
параметры для воздушной среды помещений	21–23	45–60
	(18–26)*	(40–70)*
Больницы:		
хирургические операционные палаты	(20–22) (20–25)**	55–60 40–60
Деревообрабатывающая промышленность:		
цехи механической обработки дерева	15–16	40–55
столярно-заготовительные отделения	15–16	55–65
пеки:		
изготовления моделей из дерева	18–20	40–55
производства спичек	21–25	50 ± 5
сушки спичек	21–25	40 ± 5
Типографское производство:		
цехи печатания:		
многоцветной литографии (офсет)	24–26	45–50
плоского на отдельных листах	24–26	45–50
ротационного на рулонной бумаге	24–26	50–55
склады бумаги:		
для литографии	22–25	51–56
типоврафской для печати:		
плоской	20–25	45–50
ротационной	20–25	50–55

Продолжение табл. 15.1

Виды производств и помещений	Темпера-тура, °С	Влаж-ность, %
цехи переплетные, сушки, резки, склеивания бумаги	20–26	45–50
Фотографическое производство:		
отделения:		
проявочные для фотопленки	20–24	60 ± 5
резки фотопленки	18–20	65 ± 5
сушки фотонегативов и позитивов	22–24	60 ± 5
помещения для хранения кинофотоматериалов	18–20	40–50
склады химикатов	16–27	35–50
Производство капронового шелка и корда:		
отделение намотки пряильно-го цеха	16–18	47 ± 3,5
шелка и корда	16–18	47 ± 3,5
помещение контроля и буфер для кордного капронового волокна после прядения	16–18	47 ± 3,5
крутильные цехи шелка и корда	22 – 24	57 ± 5
цех горячей вытяжки корда	21 – 23	60 ± 5
перемоточные цехи:		
шелка	22–24	52 ± 5
корда	21–23	60 ± 5
ткацкий цех,		
отделение сортировки и упаковки		
и камера кондиционирования		
волокна после сушки:		
для шелка	22–24	52 ± 5
» корда	21–23	60 ± 5
лаборатории	20 ± 2	65 ± 2
физико-механических испытаний		
кордной капроновой нити и ткани		
Хлопчатобумажные цехи:		
чесальный	22–28	55–50
ленточно-ровничный		
прядильный	24–28	60–50

Продолжение табл. 15.1

Виды производств и помещений	Температура, °C	Влажность, %
ткацкий с кареточными станками	20–26	70–65
ткацкий с жаккардовыми станками	22–27	65–60
<b>Фармацевтическое производство:</b>		
склады:		
материалов	20–25	30–35
готовых порошков	20–25	15–35
цехи:		
прессования таблеток	25 ± 1	35–40
готовых порошков	20–25	15–35
обработки коллоидов	20 ± 1	30–50
изготовления препаратов желез	25 ± 26	5 – 10
» экстрактов из печени	20–25	20–30
» желатиновых капсул	25 ± 1	40 – 50
склеивания резиновых изделий	25 ± 1	25–30
изготовления хирургических изделий из резины	24–30	25–30
<b>Табачное производство:</b>		
склады табака	18–24	75–80
цехи изготовления сигар, папирос, сигарет	18–24	70–75
гильзовый цех	18–24	65–70
увлажнительная камера для табака	24 ± 1	75 ± 5
<b>Пивоваренное производство:</b>		
солодовня	12 ± 1	80–85
бродильные чаны	4–8	60–65
<b>Хлебопекарное и макаронное производство:</b>		
склады муки	12–15	50–60
прессовый цех	15–20	50–60
отделения:		
силосно-просеивательное	18 ± 1	60 ± 5
опары теста	25–27	75 ± 5
тесторазделочное	28–30	75–80
расстойное	18 ± 1	60–65
<b>Молочная промышленность:</b>		
	35–40	80–85

Продолжение табл. 15.1

Виды производств и помещений	Температура, °C	Влажность, %
цехи:		
маслодельные	14–16	80 ± 5
сыродельные	18–20	80 ± 5
отделение соления	10 ± 1	95 ± 5
терmostатные камеры:		
для сквашивания кефира	16–20	60 ± 5
» созревания кефира	5–8	80 ± 5
» приготовления простокваша	24–26	60 ± 5
помещение для хранения сухого молока	5 ± 1	60 ± 5

\* Допустимо.

\*\* Необходимо обеспечивать возможность поддержания любой из указанных температур.

По стандарту ASHRAE 55–56 (США), тепловой комфорт определяется как «состояние человека, удовлетворенного условиями окружающей среды, при котором он не знает, хочет ли он изменить условия среды, сделав ее более теплой или более холодной». Параметры, удовлетворяющие 80% здоровых, нормально одетых людей, выполняющих легкую работу в сидячем положении, по данным указанного стандарта, составляют: температура  $t_c$  по сухому термометру 23–25 °C, средняя температура  $t_n$  излучения 21–27 °C, относительная влажность 20–60%, скорость движения воздуха 0,05–0,23 м/с при условии, что для данного помещения максимальные колебания температуры по сухому термометру  $\Delta t_c = \pm 1$  °C, температуры излучения  $\Delta t_n = \pm 0,8$  °C и влажности  $\Delta \varphi = \pm 10\%$ .

При кратковременном пребывании людей в помещениях (кафе, рестораны, магазины и др.) в теплый период года условия комфорта зависят от наружной температуры, так как большая разность внутренней и наружной температуры вызывает неприятные ощущения и может привести к простудным заболеваниям; при наружных температурах выше 30 °C требуемую температуру воздуха в этих помещениях рекомендуется определять по формулам: при длительности пребывания до 2 ч

$$t_{2\text{q}} = t_n + 0,4(t_n - 30); \quad (15.3)$$

при длительности пребывания до 1 ч

$$t_{1\text{q}} = 1,04 [t_n + 0,4(t_n - 30)], \quad (15.4)$$

где  $t_n$  — оптимальная температура при длительном пребывании людей в помещении (см. табл. 15.1);  $t_n > 30^\circ\text{C}$  — температура наружного воздуха (в теплый период года).

Влажность воздуха в помещениях с кратковременным пребыванием людей не должна превышать 60%.

Современные средства регулирования СКВ обеспечивают получение заданной температуры воздуха в точке установки датчика с весьма высокой точностью (обычно  $\pm 0,3^\circ\text{C}$ ), но в других точках помещения возможны значительные отклонения от этой температуры, причем степень равномерности температур зависит главным образом от равномерности распределения источников теплоты, способа организации воздухообмена в помещении.

Условия комфорта можно оценить по стандарту ASHRAE 55-56 и, если это не противоречит ГОСТ 12.1.005-88, можно учитывать по «эффективной температуре сквозняка», определяемой по формуле

$$\theta = t_x - t_c - 7,66(v - 0,1524), \quad (15.5)$$

где  $\theta$  — индекс Невиса и Вэрда;  $t_x$  — температура воздуха по сухому термометру в данной точке помещения,  $^\circ\text{C}$ ;  $t_c$  — средняя температура по сухому термометру в помещении,  $^\circ\text{C}$ ;  $v$  — скорость движения воздуха в данной точке, м/с.

Значение  $\theta$  по условиям комфорта должно находиться в пределах

$$-1,67 < \theta < 1,11 \quad (15.6)$$

при скорости  $v$  от 0 до 0,36 м/с.

Например, если задано  $t_x = 24^\circ\text{C}$ ;  $t_c = 23^\circ\text{C}$ ;  $v = 0,3$  м/с, то  $\theta = 24 - 23 - 7,66(0,3 - 0,1524) = -0,13$ , что удовлетворяет требованиям комфорта.

Для соблюдения комфортных условий в обслуживаемой зоне температуру воздуха рекомендуется понижать от пола к потолку, однако допустимо и повышение температуры не более чем на  $2^\circ\text{C}$  в пределах человеческого роста.

Температура пола при ходьбе не должна превышать  $25^\circ\text{C}$ , а для людей в состоянии покоя —  $28^\circ\text{C}$ . Радиация, направленная на голову, вызывает дискомфорт.

Технологические требования в отношении

поддержания температуры, влажности и скорости движения воздуха следует ограничивать допускаемыми метеорологическими условиями по ГОСТ 12.1.005-88.

Более подробные сведения на основании экспериментальных исследований Фангра (Дания) приведены в книге Б. В. Баркалова и Е. Е. Карпика\*.

## 15.2. РАСХОД КОНДИЦИОНИРОВАННОГО ВОЗДУХА

Рассматривают полезный расход кондиционированного воздуха, необходимый для обеспечения заданных условий в обслуживаемом помещении, и полный, учитывающий непроизводительные утечки (далее потери) воздуха в оборудовании и воздуховодах.

Потери воздуха в оборудовании должны учитываться по данным заводов-производителей.

Полный расход воздуха в СКВ следует определять по формуле

$$L_n = K_{\text{пот}} L_0 + L_{\text{об}}, \quad (15.7)$$

где  $L_0$  — полезный расход воздуха,  $\text{м}^3/\text{s}$ ;  $L_{\text{об}}$  — потери в оборудовании,  $\text{м}^3/\text{s}$ ;  $K_{\text{пот}}$  — коэффициент для учета потерь воздуха в воздуховодах.

Для СКВ следует применять воздуховоды класса П по СНиП 2.04.05-86, определяя коэффициент  $K_{\text{пот}}$  для круглых воздуховодов по формуле

$$K_{\text{пот}} = 4 \cdot 10^{-4} \frac{D_n}{D_m^2 v} l p^{0.67}, \quad (15.8)$$

где  $D_n$  — диаметр, м, воздуховода в месте присоединения к вентилятору;  $D_m$  — средний диаметр, м, воздуховодов СКВ за пределами обслуживаемых помещений;  $l$  — длина, м, воздуховодов СКВ за пределами обслуживаемых помещений;  $p$  и  $v$  — статическое давление, Па, и скорость воздуха, м/с, в месте присоединения воздуховода к вентилятору.

Для прямоугольных воздуховодов и воздуховодов другого поперечного сечения на  $K_{\text{пот}}$  вводится коэффициент 1,1, причем следует принимать  $D_n$  и  $D_m$  равными  $0,32 S$ , где  $S$  — периметр воздуховода, м, соответственно в начальном и среднем сечениях.

Более точно потери и подсосы воздуха

\* Баркалов Б. В., Карпик Е. Е. Кондиционирование воздуха в промышленных и общественных зданиях. — М.: Стройиздат, 1982.

в СКВ могут быть рассчитаны по табл. 2. СНиП 2.04.05-86.

Полезный расход воздуха СКВ  $L_0$ , м<sup>3</sup>/с, как правило, определяется максимальными избытками явной теплоты в помещении в теплый период года  $Q_{\text{яв}}$ , Вт, по формулам:

при удалении всего воздуха из одной зоны помещения (в частности, из обслуживаемой зоны)

$$L_0 = \frac{3,6 Q_{\text{яв}}}{1,2 \cdot \Delta t_p}; \quad (15.9)$$

при удалении части воздуха  $L_{0,3}$  из обслуживаемой зоны помещения

$$L_0 = L_{0,3} + \frac{3,6 Q_{\text{яв}} - 1,2 L_{0,3}(t_{0,3} - t_0)}{1,2 \Delta t_p}, \quad (15.10)$$

где  $L_{0,3}$  – расход воздуха, м<sup>3</sup>/с, удаляемый из обслуживаемой зоны помещения;  $t_{0,3}$ ,  $t_0$  – температуры воздуха, °С, в обслуживаемой зоне и подаваемого в помещение;  $\Delta t_p$  – полная рабочая разность температур, °С:

$$\Delta t_p = t_y - t_0 = K_{\text{возд}}(t_{0,3} - t_0); \quad (15.11)$$

$t_y$  – температура воздуха, °С, в зоне помещения, из которой производится удаление воздуха;  $K_{\text{возд}}$  – коэффициент воздухообмена, зависящий от способа организации воздухообмена, вида, мощности и распределения источников теплоты в помещении, определяемый по расчету или по опытным данным.

Полная рабочая разность температур, °С, ограничивается заданными параметрами воздуха помещения и должна приниматься максимально большой, так как от нее зависят размеры кондиционеров, каналов и мощность электродвигателей, т. е. в конечном счете величины единовременных и эксплуатационных затрат. Вместе с тем величина  $\Delta t_p$  должна удовлетворять санитарно-гигиеническим требованиям, поэтому ее необходимо проверять расчетом распределения приточного воздуха.

Для СКВ, предназначенных для помещений, в которых требуется поддерживать высокую относительную влажность воздуха, в теплый период года весьма эффективно применять доувлажнение воздуха форсунками, размещаемыми в помещении (см. п. 15.7). В этом случае рабочая разность температур  $\Delta t_p$  в формулах (15.9)–(15.11) определяется из построения условного процесса теплообмена по явному теплу в помещении (рис. 15.3):

$$\Delta t_p = K_{\text{возд}}(t_{0,3} - t_0) + (t_{\text{допвл}} - t_{0,3}), \quad (15.12)$$

где  $t_{\text{допвл}}$  – условная температура воздуха по сухому термометру, определяемая по рис. 15.3 в результате

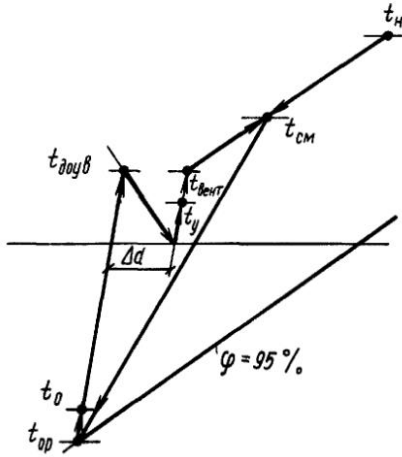


Рис. 15.3. Построение процесса приготовления воздуха при доувлажнении в помещении

построения процесса доувлажнения воздуха в помещении на  $\Delta d$ , г/кг;  $t_{\text{допвл}} - t_{0,3}$  – результат процесса доувлажнения;  $t_0$ ,  $t_{0,3}$ ,  $t_{\text{вент}}$ ,  $t_{\text{допвл}}$ ,  $t_0$  – соответственно температуры воздуха, °С: наружного, смеси наружного и рециркуляционного, после рециркуляционного вентилятора (при наличии такого), после камеры орошения кондиционера, после приточного вентилятора.

В тех случаях, когда по экономическим или конструктивным причинам применяются системы, состоящие из центральных кондиционеров и местных кондиционеров-доводчиков, устанавливаемых внутри или вблизи обслуживаемых помещений и принимающих на себя часть избытков теплоты, полный расход воздуха для центрального кондиционера определяют по формулам (15.9) и (15.10), руководствуясь приходящейся на него частью избытков теплоты.

На холодный период года расход воздуха СКВ может быть сокращен соответственно уменьшению избытков явной теплоты и изменению рабочей разности температур, но расход воздуха не должен быть меньше необходимого для обеспечения равномерности распределения воздуха в обслуживаемой зоне.

Во всех случаях полезный расход воздуха СКВ не должен быть меньше необходимого, обеспечивающего: 1) удаление выделяющихся в помещении вредных газов, паров или пыли; 2) создание подпора в помещении, компенсацию воздуха, удаляемого местными отсосами и на технологические нужды; 3) санитарную норму наружного воздуха.

Расход воздуха, необходимый для создания повышенного давления в помещении, должен не менее чем в 1,5 раза превышать получаемый в результате расчета инфильтрации, производимого по требованию СНиП 2.04.05-86 для холодного периода года, при условии, что кондиционер и вытяжная вентиляция не работают.

В расчетах для теплого периода года принимают следующее превышение притока в помещении над вытяжкой, выраженное в объемах помещения в 1 ч:

помещение без окон и наружных дверей 0,5–0,75 1/ч

помещение с окнами.

на одну сторону	1	»
« две стороны	1,5	»
« три и четыре стороны	2	»
вестибюль	2–3	»

Кроме того, при часто открывающихся дверях в кондиционируемое помещение следует учитывать расход воздуха, компенсирующий расходы через дверь (табл. 15.2).

Расход наружного воздуха, обрабатываемого в кондиционерах и вводимого в помещение, оказывает большое влияние на расходы теплоты и холода. Поэтому необходимо стремиться к всемерному сокращению расхода обрабатываемого наружного воздуха. Полезный расход наружного воздуха не должен быть менее: 1) требуемого СНиП 2.01.05-86 или рекомендуемого в табл. 15.3–15.4 и на рис. 15.4 и 15.5; 2) необходимого для компенсации воздуха, удаляемого вытяжной вентиляцией и расходуемого на технологические нужды; 3) требуемого для поддержания в помещении избыточ-

ТАБЛИЦА 15.2 РЕКОМЕНДУЕМЫЙ РАСХОД ВОЗДУХА, М<sup>3</sup>/Ч, ВВОДИМЫЙ В ПОМЕЩЕНИЕ НА КАЖДОГО ЧЕЛОВЕКА, ПРОХОДЯЩЕГО ЧЕРЕЗ ДВЕРЬ, ДЛЯ СОЗДАНИЯ ПОВЫШЕННОГО ДАВЛЕНИЯ В ПОМЕЩЕНИИ

Число людей, проходящих через двери в 1 ч	Обычная дверь		Дверь с тамбуром		Вращающаяся дверь	
	одна	более одной	одна	более одной	одна	более одной
До 100	3	4,75	2,5	3,5	0,8	1
100–700	3	4,75	2,5	3,5	0,7	0,9
700–1400	3	4,75	2,25	3,5	0,5	0,6
1400–2100	2,75	4	2,25	3,25	0,3	0,3

ТАБЛИЦА 15.3 РЕКОМЕНДУЕМЫЙ РАСХОД НАРУЖНОГО ВОЗДУХА, ВВОДИМЫЙ НА КАЖДОГО ЧЕЛОВЕКА, НАХОДЯЩЕГОСЯ В ПРОИЗВОДСТВЕННОМ ИЛИ ОБЩЕСТВЕННОМ ПОМЕЩЕНИИ

Помещения	Расход наружного воздуха, м <sup>3</sup> /ч, на 1 чел
Общественные:	
при отсутствии курения	25
» незначительном курении	35
» значительном »	50
» сильном »	75
на одного ребенка в помещениях, занятых детьми до 12 лет	15
Производственные:	
при объеме помещения на одного работающего менее 20 м <sup>3</sup>	Не менее 30
то же, от 20 до 40 м <sup>3</sup>	» » 20
Производственные без окон и фонарей	» » 40
Производственные и общественные помещения, характеризуемые неприятными запахами	До 70

ТАБЛИЦА 15.4 РЕКОМЕНДУЕМЫЙ РАСХОД НАРУЖНОГО ВОЗДУХА ДЛЯ НЕКОТОРЫХ ПОМЕЩЕНИЙ

Помещения	Расход наружного воздуха, м <sup>3</sup> /ч, подаваемого	
	на 1 м <sup>2</sup> площади пола	на 1 м <sup>3</sup> внутреннего объема
Общие больничные палаты	6	–
Хирургические операционные	36	12
Гостиничные номера	6	–
Кухни в ресторанах	72	–
Химические лаборатории	36	–
Механические лаборатории	–	4
Конторы	–	2

ног давления; 4) расхода наружного воздуха в теплый и холодный периоды через неплотности клапанов, определяемого по формуле

$$L_n = 0,01 n_k L_n, \quad (15.13)$$

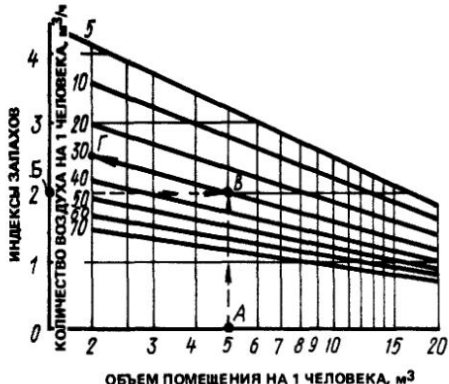


Рис. 15.4. Определение расхода наружного воздуха, необходимого для уменьшения интенсивности запахов, связанных с пребыванием в помещении людей  
1 и 2 - ощущимый и умеренный запах; 3 и 4 - сильный и очень сильный запах

Рис. 15.5. Оптимальные режимы расходования наружного воздуха

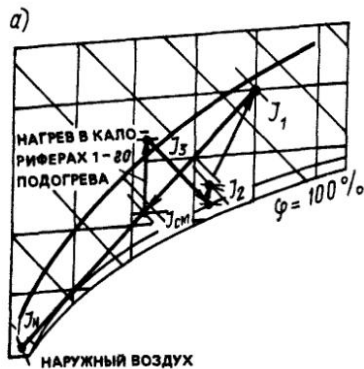
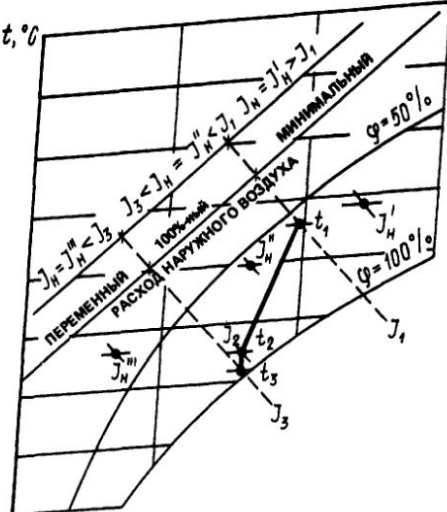
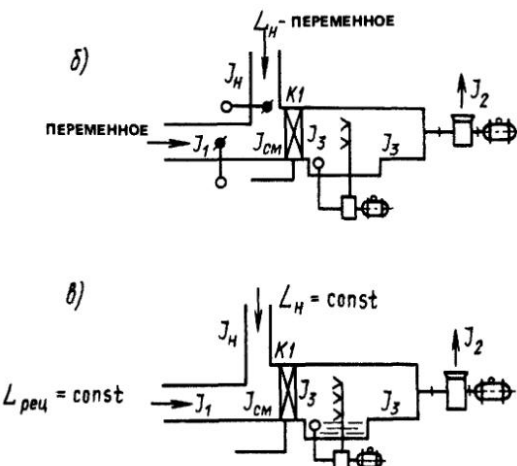


Рис. 15.6. Схемы обработки воздуха в системе, работающей с переменными расходами наружного и рециркуляционного воздуха (а и б) и с постоянными расходами (а и б), при условии, что расход наружного воздуха меньше вычисленного по формуле (15.16)

$J_n$  - наружный воздух;  $L_{rec}$  - рециркуляционный воздух,  $K_1$  - воздухонагреватель первого подогрева

где  $n_k$  - удельная конструктивная неплотность клапанов (см. гл. 8), в среднем равная 5-10%,  $L$  - расход воздуха через клапан в открытом положении,  $\text{м}^3/\text{ч}$ .

Для систем, работающих с переменным расходом наружного воздуха (рис. 15.5), при удельной энталпии  $J_n$  «более высокой», чем воздуха в помещении  $J_1$  (например, при  $J_n = J'' > J_1$ ), экономически целесообразно принимать минимальный расход наружного воз-



духа, равный большему из расходов, вычисленных исходя из удовлетворения требований норм, компенсации вытяжки или обеспечения необходимого подпора.

При удельных энталпиях наружного воздуха в пределах  $J_n < J''' < J_3$  (где  $J_3$  - энталпия воздуха, приготовленного в камере орошения) следует подавать 100% наружного воздуха

(например, при  $J''_n = J_n$ ). При энталпиях  $J_n$ , меньших, чем у воздуха после камеры орошения, расход наружного воздуха  $L_n$  не постоянен и определяется из условия получения смеси с рециркулируемым воздухом, которая имеет удельную энталпию, равную таковой для воздуха после камеры орошения  $J_3$ :

$$L_n = L_{op} \frac{J_1 - J_3}{J_1 - J'''_n}, \quad (15.14)$$

где  $L_{op}$  — расход воздуха, проходящий через камеру орошения,  $\text{м}^3/\text{с}$ .

Например, если задано  $J_1 = 38,8$ ;  $J_3 = 27,9$  и  $J_n = -29,2 \text{ кДж/кг}$ , то

$$L_n = L_{op} \frac{38,8 - 27,9}{38,8 - (-29,2)} = 0,16 L_{op}.$$

Работа СКВ при  $J'''_n < J_3$  с переменным расходом наружного воздуха в смеси позволяет продолжительное время не прибегать к первому подогреву, т. е. экономить на эксплуатации. Однако при некотором значении удельной энталпии наружного воздуха

$$J'''_n = J - \frac{L_{op}}{L_n} (J_1 - J_3) \quad (15.15)$$

расход наружного воздуха, найденный по формуле (15.14), может оказаться меньше объема, требуемого по нормам или для компенсации вытяжки и создания необходимого подпора. Это недопустимо, следовательно, необходим первый подогрев воздуха для обеспечения подачи большего из требуемых минимальных расходов.

В СКВ, работающих с переменным расходом наружного воздуха, при применении воздухонагревателей для первого подогрева их целесообразно устанавливать после камеры смешивания наружного и рециркуляционного воздуха, чтобы не нарушать аэродинамической устойчивости системы. Это ограничивает расход наружного воздуха, так как при удельной энталпии смеси  $J_{cm} < 10,4 \text{ кДж/кг}$  возможно замерзание выпадающей из воздуха влаги. Для предупреждения этого явления не следует вводить в смесь расход наружного воздуха, превышающий

$$L_n = L_{op} \frac{J_1 - 10,4}{J_1 - J_n}. \quad (15.16)$$

Схемы приготовления и подогрева воздуха по этому способу приведены на рис. 15.6, а и б.

Здесь наружный воздух смешивается с рециркуляционным, а смесь воздуха при удельной энталпии  $J_{cm}$  подогревается в первом подогреве до  $J_3$ , с которой поступает в вентилятор и воздуховоды, где, в свою очередь, подогревается до  $J_2$  и входит в помещение.

Если для компенсации местной вытяжки и создания повышенного давления в помещении расход наружного воздуха должен быть больше найденного по формуле (15.16), то необходимо принимать меры для оттаивания льда (например, предусматривать обогрев пола и стен смесительной камеры).

Для СКВ, работающих с постоянным расходом наружного воздуха, его следует определять по технико-экономическим расчетам, учитывая продолжительность периодов, требующих охлаждения и нагрева воздуха, средние удельные энталпии наружного воздуха в эти периоды и отпускные стоимости холода и теплоты. Для систем кондиционирования комфорtnого назначения обычно оправдан расход наружного воздуха, равный:

для средней полосы страны

$$L_n = 0,3 \div 0,4 L_{op}; \quad (15.17)$$

для южных районов страны

$$L_n = 0,2 \div 0,3 L_{op}. \quad (15.18)$$

Для СКВ, работающих с постоянным расходом наружного воздуха и при наличии первой и второй рециркуляции, воздухонагреватели первого подогрева следует устанавливать в потоке наружного воздуха, чтобы не нарушить аэродинамической устойчивости системы и уменьшить размеры этих воздухонагревателей.

Во избежание намерзания льда на входных сепараторах камеры орошения воздух, пропускаемый через воздухонагреватели, должен достичнуть удельной энталпии  $J_n = 10,4 \text{ кДж/кг}$ , т. е. расход наружного воздуха,  $\text{м}^3$ , должен быть

$$L_n \geq L_{op} \frac{J_1 - J_3}{J_1 - 10,4}. \quad (15.19)$$

При этом приготовление воздуха ведется, как показано на рис. 15.7. Наружный воздух нагревается от удельной энталпии  $J_n$  до  $J_3$  и смешивается в заданных соотношениях с рециркуляционным, имеющим удельную энталпию  $J_1$ ; смесь приобретает удельную энтал-

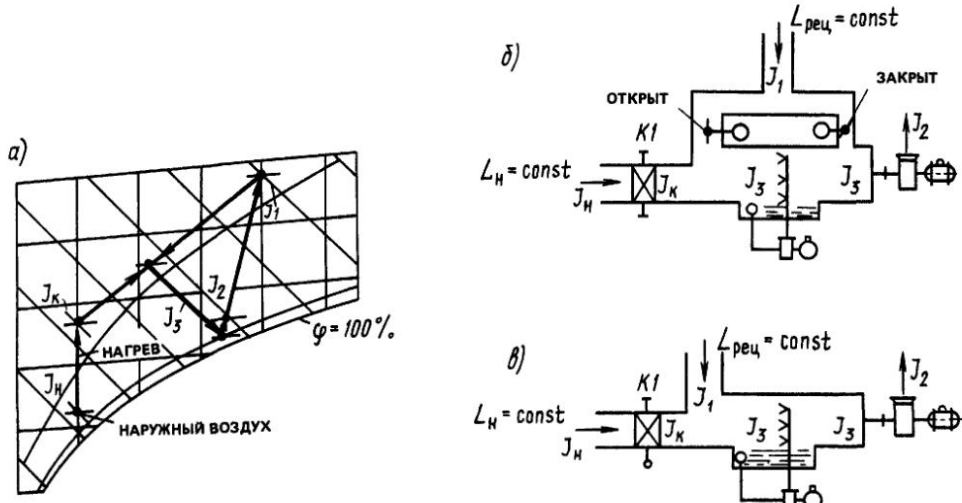


Рис. 15.7. Схемы обработки воздуха в системе, работающей с постоянным расходом наружного воздуха при применении первой и второй рециркуляции (а и б), и в системе, работающей без применения второй рециркуляции (а и б), при условии, что расход наружного воздуха больше или равен вычисленному по формуле (15.16)

$L_H$  – наружный воздух;  $L_{rec}$  – рециркуляционный воздух;  $K1$  – воздухонагреватель первого подогрева

нию  $J_3$ , увлажняется и поступает в вентилятор и воздуховоды, где нагревается до удельной энталпии  $J_2$  и далее выходит в помещение.

При работе кондиционеров на смеси с постоянным расходом наружного и рециркуляционного воздуха и при отсутствии второй рециркуляции следует производить нагрев после смешивания наружного и рециркуляционного воздуха в тех случаях, когда расход наружного воздуха меньше вычисленного по формуле (15.19). Нагрев наружного воздуха до смешивания с рециркуляционным следует производить в тех случаях, когда его расход равен или больше вычисленного по той же формуле.

Борьба с выпадением конденсата при смешивании наружного и рециркуляционного воздуха в ряде случаев может осуществляться в воздухонагревателе рециркуляционного воздуха, установленном до камеры смешивания. При этом воздухонагреватель хорошо защищен от замерзания.

Полный расход наружного воздуха вычисляется по формуле

$$L_{n.p} = K_{n.p} L_H, \quad (15.20)$$

где  $K_{n.p}$  – коэффициент, принимаемый как для формулы (15.7).

### 15.3. СИСТЕМЫ КОНДИЦИОНИРОВАНИЯ ВОЗДУХА

В зависимости от расположения кондиционеров по отношению к обслуживаемым помещениям СКВ делятся на центральные и местные, а по типу кондиционеров – на неавтономные и автономные.

**Центральные СКВ**, получившие в Советском Союзе наибольшее распространение, имеют неавтономные кондиционеры, снабженные извне холодом, теплотой и электрической энергией.

**Местные СКВ** могут иметь неавтономные и автономные кондиционеры; последние снабжаются извне только электрической энергией.

**Неавтономные системы** делятся на воздушные – подающие в обслуживаемые помещения только воздух, и водовоздушные, подающие воздух и воду, несущие теплоту или холода в теплообменники, установленные в обслуживаемых помещениях.

По давлению, создаваемому вентиляторами центральных кондиционеров, СКВ подразделяются на системы **низкого давления** (до 1000 Па), **среднего давления** (от 1000 до 3000 Па) и **высокого давления** (выше 3000 Па).

По периоду действия СКВ разделяются на круглогодовые, для теплого периода (охладительно-осушительные) и для холодного периода (нагревательно-увлажнительные). СКВ устраивают с качественным, количественным и количественно-качественным регулированием. Возможны также различные комбинированные системы.

### 15.3.1. Центральные системы кондиционирования воздуха

Центральные СКВ с кондиционерами, расположенными вне обслуживаемых помещений, обслуживают одно большое помещение, несколько зон такого помещения или много отдельных помещений. Иногда несколько центральных систем обслуживают одно помещение больших размеров (большой цех, театральный зал, закрытый стадион или каток).

Центральные СКВ оборудуются неавтономными кондиционерами КТЦЗ, изготавляемыми по трем базовым (типовым) схемам компоновки оборудования и их модернизациям, образующимся путем доукомплектования, замены или исключения отдельных видов оборудования из базовых схем. Воздух разводится, как правило, по круглым стальным изолированным воздуховодам. При подземной прокладке воздуховоды рекомендуется укладывать в каналы.

Центральные системы удобны для обслуживания, обеспечиваются (при необходимости) эффективными фильтрами, устройствами шумо- и виброгашения и наиболее совершенными системами автоматики – вплоть до управления ЭВМ.

Для СКВ комфорtnого назначения с круглогодичной и круглосуточной эксплуатацией, а также для помещений без естественного пропитывания следует устанавливать не менее двух кондиционеров производительностью по 50% общей производительности системы, при этом воздухонагреватели второго или местного подогрева должны иметь мощность, достаточную для нормального отопления помещений при работе одного кондиционера.

При технологических требованиях к постоянству заданных параметров в помещении круглосуточно и круглый год следует проектировать установку резервных кондиционеров.

СКВ, работающие с рециркуляцией, реко-

ТАБЛИЦА 15.5. УСЛОВНЫЕ ОБОЗНАЧЕНИЯ  
ДЛЯ СХЕМ СКВ

Оборудование и приборы	Условное обозначение
Камера орошения или поверхностный орошающий воздухо-охладитель	ПК
Воздухоохладитель	ВО
Насосная установка	НУ
Проходной или трехходовой регулирующий клапан на трубопроводе с пневматическим или электрическим сервомотором	К
Местный кондиционер-доводчик	МК
Местный подогреватель	МП
Паровой увлажнитель	ПУ
Смесительный клапан для воздуха с пневматическим или электрическим сервомотором	СК
Воздушный фильтр	Ф
Секция подогрева- воздухо-нагреватель	СП
Теплообменник-utiлизатор для использования теплоты из выбрасываемого воздуха	ТУ
Водоводяной теплообменник	ВТ
Шумоглушитель	Ш
Приоточный вентилятор	ПВ
Рециркуляционно-вытяжной вентилятор	РВВ
Индукторная муфта скольжения	ИС
Направляющий аппарат вентилятора	НА
Воздуховод для блокировки с соседним кондиционером	Б
Терморегулятор	Т
Влагорегулятор	В
Регулятор давления	Д
Дальномерный или местный контрольный термометр	д
То же, психрометр	б
» расходомер	р
» манометр	д

мендуется рассчитывать на подачу переменных объемов рециркуляционного воздуха в зависимости от параметров наружного воздуха, применяя для рециркуляции отдельный вентилятор. При размещении СКВ в одном здании рекомендуется для взаимозаменяемости объединять (блокировать) попарно или по три приоточных и рециркуляционных воздуховода. Воздухонагреватели второго и местного подогревов должны, как правило, снабжаться теплоносителем постоянных параметров. В СКВ, регулируемых по методу «точки росы», ла-

чики точки росы надо размещать за вентилятором, а воздухонагреватели второго или местного подогрева ставить после размещения датчиков, считая по направлению движения воздуха.

Обводные автоматические клапаны (заслонки) необходимы только для регулирования паровых воздухонагревателей. В качестве воздухонагревателей, питаемых водой, следует, как правило, применять секции подогрева без обводных каналов.

Оросительные форсуночные камеры являются экономичными и эффективными тепло-массообменными аппаратами. Однако для упрощения обслуживания их заменяют поверхностными орошающими и неорошающими воздухо-охладителями, питаемыми хладагентами или промежуточным холодоносителем, как правило, холодной водой. Это существенно упрощает систему холоснабжения.

Фильтры для общей или первой очистки воздуха следует размещать в тех частях кондиционеров, через которые проходит весь обрабатываемый воздух, защищая от пыли возможно большее число секций кондиционеров. Фильтры второй и третьей ступени размещают перед вводом воздуха в помещение. Воздушные фильтры должны быть легко доступны для очистки и обслуживания.

При совместной работе СКВ с системами отопления последние следует рассчитывать на обеспечение температуры воздуха на 2–4°C ниже заданной для помещения.

На принципиальных схемах СКВ принятые буквенные обозначения, приведенные в табл. 15.5, при этом как схемы, так и наименования оборудования в таблице даны применительно к серии центральных кондиционеров КТЦЗ производительностью 10–250 тыс. м<sup>3</sup>/ч.

### 15.3.2. Центральные однозональные системы кондиционирования воздуха

Центральные однозональные СКВ применяются для обслуживания больших помещений с относительно равномерными тепло- и влаговыделениями, например залов собраний, театров, аудиторий и производственных помещений. Такие СКВ необходимо, как правило, комплектовать устройствами для использования отбросной теплоты. Схема типовой одно-

зональной СКВ с использованием теплоты и холода из воздуха помещения, выбрасываемого вытяжными вентиляторами РВВ, представлена на рис. 15.8.

Процессы нагревания, увлажнения, охлаждения и осушки воздуха в камере орошения регулируются изменением температуры и расхода воды, разбрызгиваемой форсунками, так как исследованиями ЦНИИПромзданий\* и ЦНИИЭП инженерного оборудования\*\* экспериментально установлена пригодность для этого центробежных форсунок с диаметром выходного отверстия 2–10 мм при регулировании давления воды от расчетных значений до 10 кПа. Система может работать целиком на наружном воздухе и с рециркуляцией, для чего устраивается рециркуляционный воздуховод с клапаном К10, показанный пунктиром.

На схеме процессов кондиционирования воздуха, построенных на J-d-диаграмме (рис. 15.8, б), как и на других схемах процессов, точки, характеризующие состояние воздуха, обозначены индексами, которыми в тексте сопровождаются значения каждого из соответствующих параметров воздуха. Например, точке с индексом 1 на рис. 15.8, б соответствуют следующие значения в тексте: температуры  $t_1$ , относительной влажности  $\varphi_1$ , удельной энталпии  $J_1$  и влагосодержания  $d_1$ .

В теплый период года при расчетных параметрах воздуха СКВ без рециркуляции выбирает наружный воздух (точка 1, рис. 15.8, б), охлаждает его в теплообменнике ТУ1 (рис. 15.8, а) до параметров точки 2, фильтрует и вновь охлаждает воздух в камере орошения до параметров точки 3, если поступление теплоты в помещение достигает максимума; затем воздух, проходя через вентилятор, нагревается до параметров точки 4 и выпускается в помещение, где принимает заданные параметры точки 5. При минимальных поступлениях теплоты в помещение воздух с параметрами в точ-

\* Сенатов И.Г., Синицын Б.И. Количественное регулирование хладопроизводительности форсуночных камер // Санитарная техника и инж. оборудование.–1978.–№ 11.

\*\* Рекомендации по расчету установок кондиционирования воздуха и вентиляции с управляемыми процессами адиабатной обработки воздуха. ЦНИИЭП инженерного оборудования Госгражданстрой.–М.: Стройиздат, 1985.

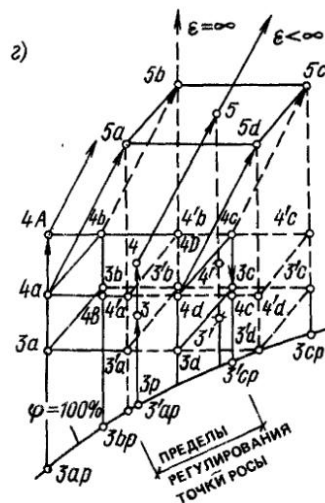
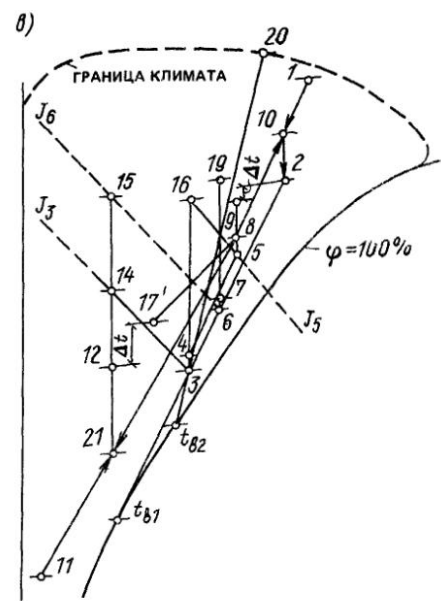
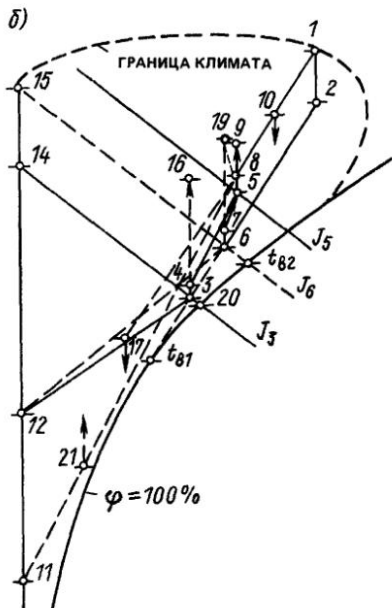
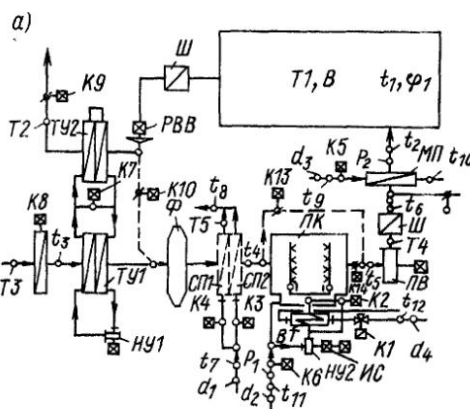


Рис. 15.8. Центральная прямоточная однозональная система кондиционирования воздуха, работающая полностью наружном воздухе или с рециркуляцией (рециркуляционный воздуховод и клапан  $K10$  показаны пунктиром)

*a* схема системы; *b* построение на  $J$ - $d$ -диаграмме процессов при гревании воздуха при работе системы на наружном воздухе; *c* — то же, но при работе с рециркуляцией; *c* — то же, при регулировании по оптимальному режиму  
Условные обозначения см. табл. 15.5.

ке 2 охлаждается в камере орошения до температуры в точке 6, нагревается до параметров точки 7 и затем принимает параметры точки 5, ассимилируя теплоту и влагу в помещении.

Воздух, удалаемый из помещения наружу, нагревается в вытяжном вентиляторе РВВ до параметров в точке 8 и, проходя через теплообменник ТУ2, охлаждает циркулирующий в

нем теплоноситель, нагреваясь при этом от параметров точки 8 до параметров 9 или до промежуточных величин. Между теплообменниками ТУ1 и ТУ2 циркулирует незамерзающий теплоноситель, перемещаемый насосом НУ1. При расчетных параметрах холодного периода года наружный воздух с параметром 11 нагревается в теплообменнике ТУ1 до параметров точки 12, затем подогревается и увлажняется в камере орошения ПК водой, приготовляемой в водоводяном теплообменнике ВТ, до параметров точки 3 или точки 6 либо до промежуточных параметров. Использование этого экономичного способа приготовления воздуха возможно, если температура воздуха, поступающего в камеру орошения (точка 12), при расчетных параметрах будет не ниже минус 20°C. В противном случае следует применять воздухонагреватели первого подогрева СП1 и СП2 (на рис. 15.8 показаны пунктиром), нагревающие воздух до параметров точки 14 и 15, в зависимости от величины избытков теплоты в помещении. Воздух адиабатически увлажняется в камере орошения до параметров точек 3–6. При недостатках теплоты в помещении воздух подогревается вторым подогревателем МП от параметров точек 3–6 до параметров точек 16–19 и, отдавая теплоту помещению, при одновременной ассимиляции влаги принимает заданные параметры 5.

Воздух, удаляемый из помещения, охлаждается и осушается в теплообменнике ТУ2 от параметров 8 до параметров 17 незамерзающим теплоносителем, нагревающим затем наружный воздух в теплообменнике ТУ1.

**В СКВ, работающих с рециркуляцией внутреннего воздуха** (рис. 15.8, б), наружный воздух состояния 1 или 11 смешивается с рециркулирующим воздухом состояния 8 и полученная смесь 10 или 21 проходит все стадии обработки, описанные для системы, работающей на одном наружном воздухе.

Автоматизация центральных однозональных СКВ с камерами орошения, регулируемыми изменением температуры и давления воды перед форсунками, осуществляется регулятором температуры воздуха помещения Т1, управляющим клапаном Р1, регулирующим подачу теплоносителя в водоводяной теплообменник ВТ, и клапаном К2, регулирующим обвод воды, идущей к форсункам мимо ВТ, или клапанами К3 и К4 на теплоносителе к водо-

нагревателю первого подогрева. Если при полном открытии клапанов на теплоносителе К1 или К3 и К4 температура в помещении не достигает заданной, то терморегулятор Т1 переключается на управление клапаном К5 на теплоносителе, подведенном к местному подогревателю МП. Регулятор влагосодержания, установленный в помещении, управляет производительностью насосной установки НУ2 с помощью индукторной муфты скольжения ИС или другим способом.

Удельные энталпии наружного воздуха  $J_3$  при максимальной нагрузке и  $J_6$  при минимальной нагрузке являются условными границами регулирования СКВ.

В теплый период года автоматическое регулирование можно вести по следующей схеме: терморегулятор Т1 управляет клапаном К6, изменяющим температуру воды, подаваемой в камеру орошения, в пределах между точками  $t_{11}$  и  $t_{12}$  (см. рис. 15.8, б), обеспечивая постоянство температуры в помещении (точка 5). Влажность регулируется регулятором влагосодержания В с датчиком, установленным в помещении, который управляет муфтой ИС насоса НУ2, изменяя расход воды, подаваемой в камеру орошения.

В холодный период года регулятор Т1 управляет клапаном К1, регулирующим расход теплоносителя, поступающего в водоводяной теплообменник ВТ, и клапаном К2, регулирующим обвод воды, идущей к форсункам мимо ВТ, или клапанами К3 и К4, регулирующими подачу теплоносителя к воздухонагревателям первого подогрева.

При полном закрытии клапанов на теплоносителе К1 или К2 и К3 терморегулятор Т1 переключается на управление клапаном К6 на подаче холодной воды в систему орошения, регулируя температуру в помещении и изменения температуру приточного воздуха от параметров точки 4 до точки 7. Влажность регулируется регулятором влагосодержания В с помощью индукторной муфты ИС, изменяющей производительность насоса НУ2, подающего воду в камеру орошения.

Для устранения образования инея на трубках теплообменника ТУ2 температура выходящего из него воздуха не должна падать ниже +2°C (точки 17). Терморегулятор Т2, установленный за теплообменником ТВ2, управляет клапаном К7, отводя часть холода-

носителя обратно в теплообменник ТУ.

На рис. 15.8, а показано применение теплообменников ТУ1 и ТУ2, работающих с промежуточным теплоносителем, как один из реальных способов использования теплоты, но для этой цели можно применять теплообменники других конструкций.

Пуск кондиционера в теплый период года осуществляется при последовательном включении вентиляторов ПВ и РВВ, открывании клапанов К6, К8 и К9 и включении насосных установок НУ1 и НУ2.

При регулировании СКВ с рециркуляцией воздуха терморегулятор Т1 в теплый период года работает вместе с двухпозиционным регулятором Т3, датчиком которого является смоченный термометр, установленный в потоке наружного воздуха. При удельной энталпии наружного воздуха  $J_n > J_5$  терморегулятор Т3 открывает клапан К10 на подачу максимального расхода рециркуляционного воздуха. Когда удельная энталпия наружного воздуха  $J_3 < J_n < J_5$ , терморегулятор Т3 устанавливает клапан К9 в положение «закрыто». При  $J_n = J_5$  клапан К10 подключается на управление к терморегулятору Т1, который сначала регулирует нагревание воздуха, идущего в камеру орошения, а затем управляет клапанами К1 и К2 или К3, К4 и К5, как описано выше.

В холодный период года при эксплуатации СКВ с рециркуляцией по двухвентиляторной схеме сначала включают рециркуляционно-вытяжной вентилятор РВВ и открывают клапаны К10 и К1 или К3 и К4 на теплоносителе, тогда СКВ заполняется теплым воздухом из помещения, и часть его выдавливается через неплотности закрытых клапанов К8 и К9, благодаря чему примерзшие створки клапанов быстро оттаивают и клапаны могут быть открыты без применения электропрогрева. Открывание и закрывание клапанов К8 и К9 блокируется с пуском и остановкой приточного вентилятора.

Для уменьшения опасности замерзания воздухонагревателей первого подогрева их следует устанавливать в два ряда последовательно (по ходу воздуха) и оборудовать отдельными регулирующими клапанами на трубопроводах, подводимых к каждому ряду. До пуска кондиционера в зимнее время следует включать теплоноситель для 3–5-минутного прогрева воздухонагревателей при полностью открытых клапанах К3 и К4. Затем регулирование подачи

теплоносителя следует вести клапаном К3, сокращая подачу теплоты во второй (по ходу воздуха) ряд воздухонагревателей, и только после закрытия клапана К3 следует переводить регулирование на клапан К4, управляющий первым их рядом.

Питающие водой воздухонагреватели первого подогрева с поверхностью нагрева, превышающей более чем на 10% требуемую, следует оборудовать ручными или дистанционно управляемыми обводными клапанами. При теплоносителе паре обводные клапаны должны устанавливаться на воздухонагревателях первого подогрева и управление ими должно производиться всегда последовательно с клапаном К3.

При включенном приточном вентиляторе защита воздухонагревателей (при теплоносителях воде и паре) систем, работающих на наружном воздухе (без рециркуляции), производится датчиком температуры Т4, который устанавливается в приточном воздуховоде (см. рис. 15.8). Датчик настраивается на аварийную температуру на 10 °C ниже нормальной температуры, контролируемой терморегулятором Т1 (но не ниже 2 °C), и соединяется с реле, которое выключает приточный вентилятор, подает аварийный сигнал, полностью закрывает приемный клапан К8 наружного воздуха и открывает клапаны К3 и К4 на подаче теплоносителя, если температура понизится до аварийной. В СКВ с рециркуляцией те же функции выполняет датчик терморегулятора Т5, установленный на трубопроводе воды или конденсата (при нагревании паром) у первого ряда воздухонагревателей (см. рис. 15.8, а). Датчик Т5 обычно настраивают на температуру 30 °C.

При остановленном приточном вентиляторе наиболее надежна организация постоянного прогрева воздухонагревателей при автоматическом включении теплоносителя клапанами К3 и К4 на 1–1,5 мин через каждые 2–4 мин; автоматика включается терморегулятором Т3, если температура наружного воздуха понижается ниже 2 °C, и отключается при более высокой температуре.

Местные или дальномерные приборы (см. рис. 15.8, а) должны контролировать: постоянно температуру и влажность в обслуживаемом помещении – точки  $t_1$  и  $\varphi_1$ ; периодически температуры в воздуховодах и кондиционере – точки  $t_2$ – $t_6$ ; температуры воды и теплоносителя – точки  $t_7$ – $t_{11}$ ; давления воды и теплоносителя –

точки  $d_1 - d_4$ ; расходы холодной воды и воздуха - точки  $P_1$  и  $P_2$ .

Регулирование по методу «точки росы» выполняет терморегулятор точки росы Т4, устанавливаемый после вентилятора (см. рис. 15.8). В холодный период года он управляет клапанами К1, К2 или К3, К4, а в теплый - К6 и насосной установкой НУ2. В системах, работающих с рециркуляцией, Т4 вместе с терморегулятором Т3 управляет также клапанами К9 и К10, как было описано выше.

При регулировании кондиционеров следует учитывать, что точками 5, 4 и 3 на схеме процессов приготовления воздуха (см. рис. 15.8, б) показаны его средние параметры в помещении, при выходе из воздухораспределителя и до вентилятора. Фактически, как приведено в работах Б. Г. Шпиза\*, кроме средних величин  $t_5$  и  $\varphi_5$  обычно задаются и допустимые отклонения от этих параметров. Тогда параметры в помещении, построенные на  $J-d$ -диаграмме, представляются четырехугольником  $S_a-S_b-S_c-S_d$  (см. рис. 15.8, г).

При тепловлажностном отношении  $\varepsilon < \sim$  параметры воздуха, подаваемого в помещение, можно представить ограниченным четырехугольником  $4_a-4_b-4_c-4_d$ . При регулировании по «точке росы» ее температура могла бы колебаться от минимума  $3_{ap}$  до максимума  $3_{cp}$ . Однако одновременно с регулятором Т4 в СКВ действует регулятор Т1, стабилизирующий температуру воздуха в помещении и изменяющий температуру приточного воздуха, воздействуя на клапаны К5 или К6. Поэтому зона возможных параметров приточного воздуха определится многоугольником  $4_a-4_b-4_c-4_d$ , площадь которого значительно больше поля необходимых параметров приточного воздуха  $4_a-4_b-4_c-4_d$ . Чтобы не выходить за пределы заданных условий, следует ограничить поле возможных параметров приточного воздуха многоугольником  $4_b-4_c-4_d-4_a$ .

По мере уменьшения тепловлажностного отношения, например при уменьшении влагоизделий (построение пунктиром), минималь-

ное значение точки росы повышается и достигает максимума при минимальной допустимой относительной влажности  $\varphi_{sa}$  и  $\varepsilon$ , что соответствует точке росы  $3'_{ap}$ . Диапазон регулирования приточного воздуха смещается в многоугольник  $4'_a-4_b-4'_c-4'_d$ . В результате при выборе регулятора следует ориентироваться на диапазон точек росы, представленный отрезком  $3'_{ap}-3'_{cp}$ , обеспечивающим условия влажности в помещениях в заданных пределах.

Для однозональных СКВ большой производительности, имеющих обводный канал вокруг камеры орошения и работающих по двухвентиляторной схеме с рециркуляцией (см. рис. 15.8), канал  $A$  и клапаны К13 и К14, рекомендуется применять разработанный А. Я. Креслинем\* метод регулирования по оптимальным режимам, обеспечивающим минимальные эксплуатационные расходы энергетических ресурсов. Для расчета регулирования СКВ по оптимальному режиму на  $J-d$ -диаграмму наносят границы области, в пределах которой могут находиться точки, характеризующие состояние наружного воздуха данного географического пункта при заданном коэффициенте обеспеченности.

Область состояния наружного воздуха делится на 13 участков, показанных на рис. 15.9 и в табл. 15.6. Аналогично рис. 15.8, г на  $J-d$ -диаграмму нанесен четырехугольник 1-2-3-4, углы которого определяют крайние значения заданных температуры и влажности воздуха в помещении. Устанавливают рабочую разность температур и определяют тепловлажностное отношение  $\varepsilon$  процесса ассимиляции теплоты и влаги. Из вершин четырехугольника проводят лучи этих процессов до пересечения с изотермами воздуха, выпускаемого в помещение, что и определяет четырехугольник 5-6-7-8 предельных состояний воздуха при входе его в помещение (участок У). Через точки 7 и 5 проводят соответственно линии постоянных удельных энталпий 7-7' и 5-5'. Ломаная 5-5'-7-7-6-5 образует участок IV.

Построения на рис. 15.9 для упрощения сделаны в предположении, что тепловые эквиваленты работы приточного и частично ре-

\* Шпиз Б. Г. Методы и приборы для регулирования влажности воздуха. Применение ЭВМ для определения параметров приточного воздуха при регулировании кондиционера по методу точки росы // Водоснабжение и сан. техника. - 1972. - № 10; 1977-№ 3.

\* Kreslins A. Caisa Kandicionekasana tarpniecības un sabiedeis kajas ekas. - Riga: Jrdnevniecība "Liesma", 1975.

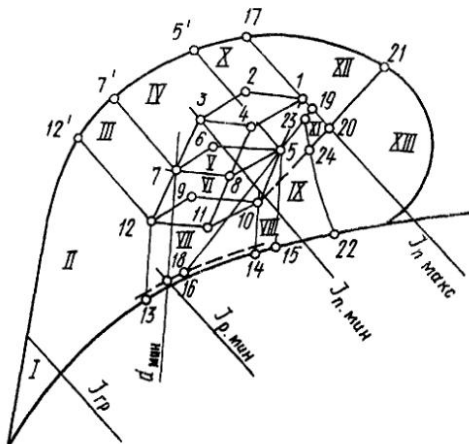


Рис. 15.9. Участки I–XIII на  $J-d$ -диаграмме, представляющие параметры наружного воздуха, являющиеся основанием для построения схем обработки воздуха в кондиционере по оптимальному режиму, указанных в табл. 15.6

циркуляционно-вытяжного вентиляторов (пропорционально доле воздуха, поступающего на рециркуляцию) учтены как избытки теплоты в помещении. Поэтому на рис. 15.9 не показаны отрезки прямых, которые должны характеризовать нагревание воздуха в вентиляторах. Однако в детальных построениях отдельных режимов в табл. 15.6 эти отрезки учтены и пронумерованы с индексами I. В результате, например, точка 1 на рис. 15.9 может иметь номер  $I'$  на схемах в табл. 15.6.

Лучи процессов  $\epsilon$  продлевают до точек 10, 11 и 12, положение которых определяется минимальной долей  $Z$  наружного воздуха в общем расходе приточного воздуха. Таким образом, создается участок  $II$  с границами 5-8-7-12-11-10-5. Из точек 5, 10 и 12 проводят линии постоянных влагосодержаний, в результате чего получают участок  $VII$ , образуемый ломаной 10-11-12-13-14-10, и участок  $VIII$ , образуемый линиями 5-10-14-15-5.

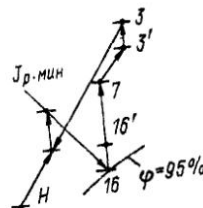
Через точку 12 проводят линию постоянной удельной энталпии 12-12', в результате чего образуется участок  $III$  с координатами 7-7'-12'-12-7. Через точку 7 проводят линию постоянного влагосодержания  $d_{\min}$ , которая в точке 16 пересечения с кривой относительной влажности воздуха за тепловлагообменным ап-

ТАБЛИЦА 15.6. ТЕХНОЛОГИЧЕСКИЕ ПРОЦЕССЫ ОБРАБОТКИ ВОЗДУХА ПРИ РАЗЛИЧНЫХ СОСТОЯНИЯХ НАРУЖНОГО ВОЗДУХА

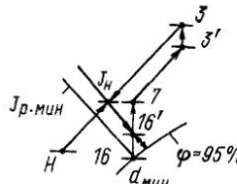
Участок (см. рис. 15.9)

Оптимальная последовательность тепловлажностной обработки воздуха в кондиционере

Воздух из помещения с параметрами точки  $3'$  нагревается в рециркуляционном вентиляторе до температуры  $3$ , смешивается с минимальным количеством наружного воздуха  $H$ ; смесь подогревается до  $J_{p,\min}$  изэнтальпийским увлажнением до параметров  $16$ , подогревается в приточном вентиляторе до  $16'$  и в калорифере второго подогрева до параметров  $7$  и выпускается в помещение, приобретая параметры  $3'$



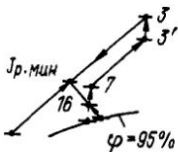
Воздух из помещения  $3'$  нагревается в рециркуляционном вентиляторе до температуры  $3$ , смешивается с минимальным количеством наружного воздуха  $H$  для доведения энталпии смеси  $J_p > J_{p,\min}$ . Часть первой смеси изэнтальпийским увлажнением и вновь смешивается с неуваженной частью первой смеси для получения воздуха  $16$  с влагосодержанием  $d_{\min}$ , который подогревается в приточном вентиляторе до  $16'$ , в калорифере местного подогрева до  $7$  и выпускается в помещение



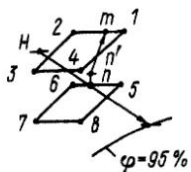
Продолжение табл. 15.6

Участок (см. рис. 15.9)	Оптимальная последовательность тепловлажностной обработки воздуха в кондиционере
-------------------------	--

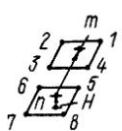
Воздух из помещения  $3'$  нагревается в вентиляторе до  $3$ , смешивается с наружным воздухом  $H$  для получения смеси с энталпийей  $J_{p, \text{мин}}$ . Часть первой смеси увлажняется и вновь смешивается с неувлажненной его частью для получения воздуха  $16$  с влагосодержанием  $d_{\text{мин}}$ , который подогревается в вентиляторе до  $7$  и выпускается в помещение



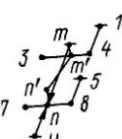
Часть наружного воздуха  $H$  увлажняется при постоянной энталпии, потом смешивается с необработанной частью этого воздуха так, чтобы смесь приобрела параметры  $n$  в пределах, обозначенных ломаной  $5-6-7-8$  смесь нагревается в вентиляторе до  $n'$  в пределах, обозначенных ломаной  $1-2-3-4$



Наружный воздух  $H$  нагревается в вентиляторе до параметров  $n$  и выпускается в помещение, приобретая там параметры  $m$  в пределах площади  $1-2-3-4$



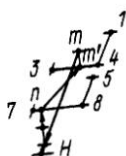
Наружный воздух  $H$  смешивается с взятым из помещения  $m'$  и подогревшимся в рециркуляционном вентиляторе до параметров  $m$ ; пропорция должна обеспечить параметры



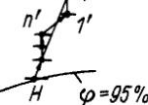
Продолжение табл. 15.6

Участок (см. рис. 15.9)	Оптимальная последовательность тепловлажностной обработки воздуха в кондиционере
-------------------------	--

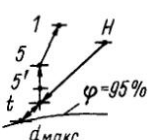
смеси в пределах  $7-8-5$ ; после подогрева в приточном вентиляторе до  $n'$  воздух выпускается в помещение



Воздух, взятый из помещения с параметрами  $m'$ , подогревшийся в рециркуляционном вентиляторе до  $m$ , смешивается с наружным воздухом  $H$ , смесь подогревается в приточном вентиляторе и калорифере до параметров  $n$ , лежащих в пределах ломаной  $5-8-7$ , и выпускается в помещение



Наружный воздух с параметрами  $H$  и воздух, взятый из помещения  $l'$  после того, как он подогревался в рециркуляционном вентиляторе до параметров  $l$ , смешивается и подогревается в приточном вентиляторе и калорифере до параметров  $n'$ , при которых выпускается в помещение



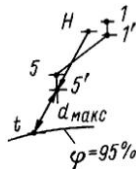
Часть наружного воздуха с параметрами  $H$  охлаждается до такой температуры  $t$ , чтобы после смешения с необработанным наружным воздухом получить смесь с влагосодержанием  $d_{\text{макс}}$ , которая затем подогревается в приточном вентиляторе и в калорифере до параметров  $5$  и выпускается в помещение

Продолжение табл. 15.6

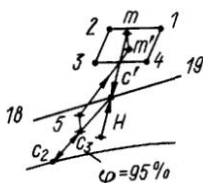
Участок (см. рис. 15.9)	Оптимальная последовательность тепловлажностной обработки воздуха в кондиционере
-------------------------	--

кается в помещение, где приобретает параметры  $I$

Часть наружного воздуха  $H$  охлаждается до такой температуры  $t$ , при которой после смешения с неохлажденной его частью получится смесь с влагосодержанием  $d_{\max}$  и температурой  $5'$ ; после нагревания смеси в приточном вентиляторе это обеспечивает получение приточного воздуха с параметрами  $5$ , воздуха в помещении  $I'$  и выбрасываемого воздуха  $I$



Наружный воздух  $H$  смешивается с воздухом, выбрасываемым из помещения, при параметрах  $m$  в пропорции, обеспечивающей параметры  $C_1$ , характеризуемые прямой  $18-19$ ; часть этой смеси максимально охлаждается до параметров  $C_2$  и смешивается с неохлажденной частью смеси, и новая смесь  $C_3$  подогревается в приточном вентиляторе до параметров  $5$  и выпускается в помещение, обеспечивая необходимые параметры  $m'$  в пределах четырехугольника  $I-2-3-4$

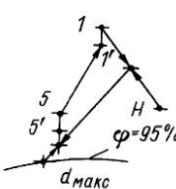
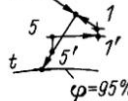


паратом кондиционера определяет удельную энтальпию, соответствующую минимальной температуре точки росы  $J_{\text{т.р.мин}}$ . Далее, поль-

Продолжение табл. 15.6

Участок (см. рис. 15.9)	Оптимальная последовательность тепловлажностной обработки воздуха в кондиционере
-------------------------	--

Наружный воздух  $H$  смешиваются с максимально допустимым количеством воздуха, выбрасываемого из помещения. Смесь обрабатывают так же, как в режиме  $X$



Наружный воздух  $H$  смешиваются с максимально допустимым количеством воздуха, выбрасываемого из помещения, имеющего параметры  $I$ ; часть смеси охлаждают и смешивают с неохлажденной ее частью так, чтобы получить новую смесь с влагосодержанием  $d_{\max}$ , которая затем подогревается в приточном вентиляторе и калорифере до параметров  $5$  и выпускается в помещение, где приобретает параметры  $I'$

заяясь расчетами по формуле

$$J_{I-II} = J_{\text{p.мин}} - \frac{J_{\text{p.мин}} - J_{\text{т.р.мин}}}{Z}, \quad (15.21)$$

проводят границу между участками  $I$  и  $II$ .

Через точку  $I$  проводят  $J_{\text{п.макс}}$  и наносят точку  $17$  на ее конце. Затем наносят точку  $18$ , соответствующую минимальным параметрам охлажденного воздуха при регулировании параметров притока путем пропуска части воздуха через обводной канал, и проводят прямую  $5-18$ , которую продлевают до пересечения с прямой  $J_{\text{п.макс}}$  в точке  $19$ ; на прямую  $J_{\text{п.макс}}$  наносят точку  $20$ , расстояние от которой до точки  $I$ , т. е. длину отрезка  $I-20$ , определяют из отношения  $19-20/(1-20) = Z$ , где  $Z$  — доля наружного воздуха в общем количестве приточного воздуха. Далее через точку  $20$  проводят пря-

мую 10-20-21 и находят участок XII, ограниченный ломаной 17-20-21-17.

Для определения границ участков IX, XI и XIII необходимо построить кривую первой рециркуляции 22-23, переменная величина удельной энталпии которой определяется из уравнения

$$J_n = J_k + (J_p - J_k) \frac{(d_n - d_k)(d_p - d_n)}{(d_n - d_k)(d_p - d_n)}, \quad (15.22)$$

где  $J_n$  и  $d_n$  — граничные величины удельной энталпии и влагосодержания воздуха, слева и справа от которых на  $J$  —  $d$ -диаграмме находятся соответственно параметры наружного и рециркуляционного воздуха, экономически оправданные к применению;  $J_k$ ,  $d_k$  — минимальные удельная энталпия и влагосодержание воздуха за тепловлагообогащенным аппаратом кондиционера;  $J_p$ ,  $d_p$  — максимальные удельная энталпия и влагосодержание рециркуляционного воздуха;  $d_n$  — максимальное влагосодержание приточного воздуха.

Пересечения граничной кривой 22-23 с прямой 10-20-21 в точке 24 и прямой 5-19 в точке 23 выделяют XI участок, оконтуренный 19-23-24-20-19; участок IX образуется ломаной 22-23-5-15 22, а участок XIII — ломаной 22-21-20-24-22.

При любых параметрах наружного воздуха на кривой 22-24 потребление холода остается неизменным, что позволяет переключать СКВ с режима IX на режим XI или XIII и обратно в зависимости от температур холодносителя до и после воздухоохладителя.

Оптимальный режим обработки воздуха выбирают в зависимости от положения на  $J$  —  $d$ -диаграмме точки, характеризующей в данный момент состояние наружного воздуха, руководствуясь табл. 15.6.

Для упрощения системы автоматического управления СКВ применяют следующее упрощение схемы обработки воздуха: границы участка XIII расширяются до пределов, ограниченных ломаной 14-15-22-21-20-24-10-14, за счет включения в него части участков III и IX; границы участка XI расширяются до пределов ломаной 1-5-10-24-20-19-1 за счет включения части участков III и IX.

В прямоточных системах обработка воздуха по оптимальному режиму существенно упрощается.

Схема регулирования СКВ на рис. 15.8 построена в предположении постоянства производительности системы и выделений теплоты и влаги в помещении. Если выделения теплоты

в помещении изменяются пропорционально выделениям влаги, то схема может быть применена при переменной производительности СКВ.

### 15.3.3. Центральные многозональные системы кондиционирования воздуха

Центральные многозональные СКВ применяют для обслуживания больших помещений, на площади которых неравномерно размещено оборудование, а также для обслуживания нескольких сравнительно мелких помещений. Они более экономичны, чем отдельные системы для каждой зоны или каждого помещения, хотя с их помощью не может быть достигнута такая же степень точности поддержания одного из двух заданных параметров (относительная влажность или температура), как при отдельных СКВ.

Если рециркуляция воздуха недопустима, то применяют центральную прямоточную многозональную СКВ (рис. 15.10, а), которая в теплый период года может поддерживать в точках установки датчиков температуру воздуха с минимальными отклонениями от заданных величин. При этом удельная энталпия, влагосодержание и относительная влажность могут существенно отклоняться от заданных при изменении количества влаги, поступающей в воздух помещения.

На рис. 15.10, б показано, что в теплый период года датчики в помещениях могут быть настроены на разные температуры воздуха от  $t_{1a}$  до  $t_{1m}$ , при этом неизбежны различные величины относительной влажности — от  $\varphi_{1a}$  до  $\varphi_{1m}$ , а в зимнее и переходное время года соответственно при температурах от  $t_{11a}$  до  $t_{11m}$  относительные влажности будут от  $\varphi_{11a}$  до  $\varphi_{11m}$ .

В тех случаях, когда допустимо применение рециркуляции, сооружают центральные многозональные системы, работающие, как правило, по двухвентиляторной схеме (рис. 15.11) с переменными объемами наружного и рециркуляционного воздуха, с одним или двумя рециркуляционными каналами (второй рециркуляционный канал применяется редко и на схеме показан пунктиром).

В многоэтажных зданиях устройство общей рециркуляции часто неосуществимо в связи с недостатком площади для прокладки каналов

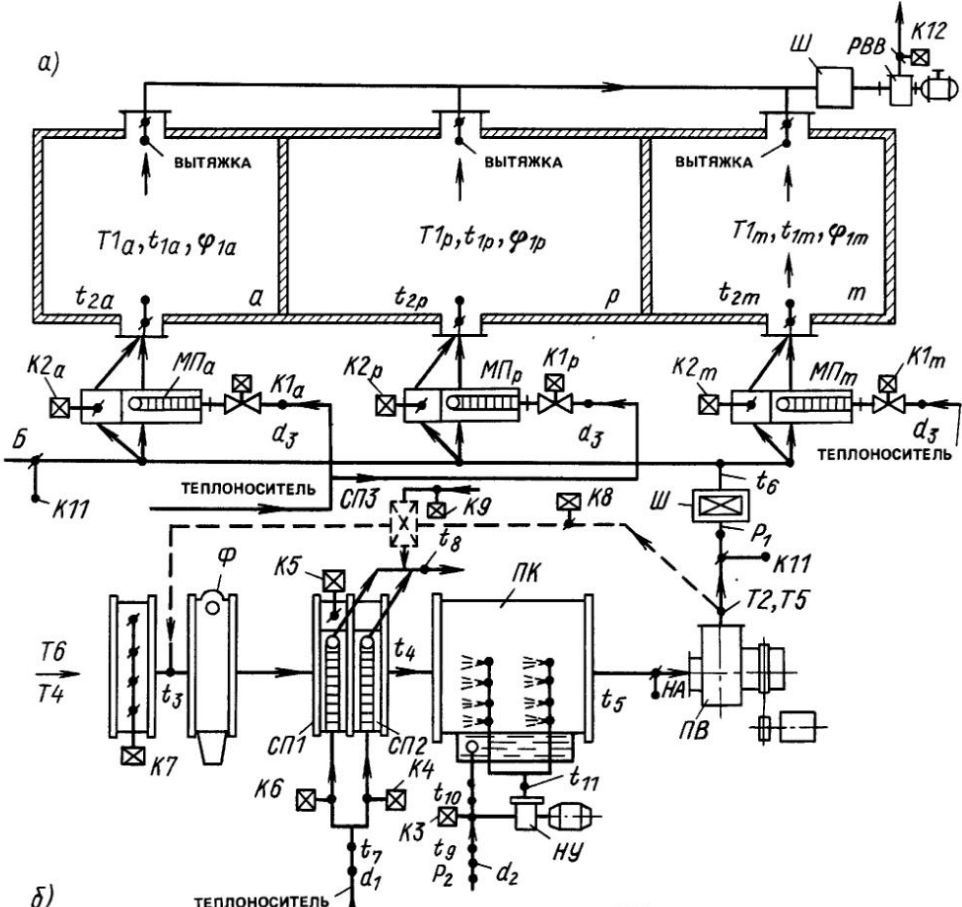
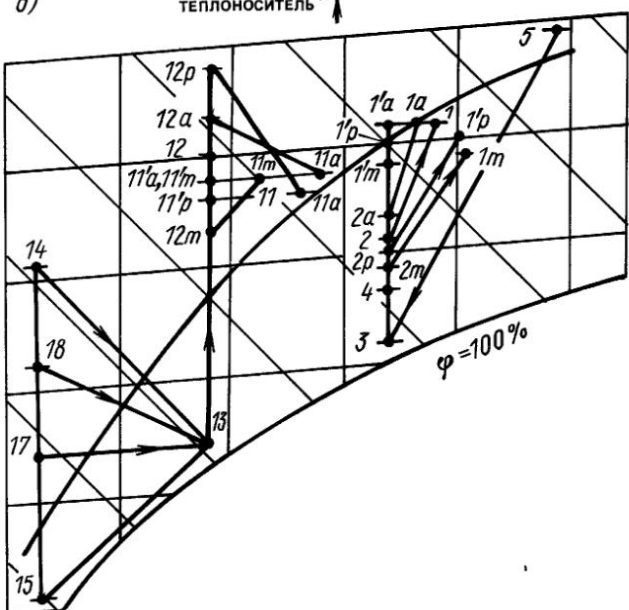


Рис. 15.10. Центральная прямая многоzonальная система кондиционирования воздуха, работающая полностью на наружном воздухе

*а* схема системы; *б* — построение на  $d$ -диаграмме процесса приготовления воздуха

Примечание. Воздухонагреватель  $СП3$ , клапаны  $K8$  и  $K9$  устанавливаются в районах Крайнего Севера для предупреждения замерзания воздухо-подогревателя первого подогрева.



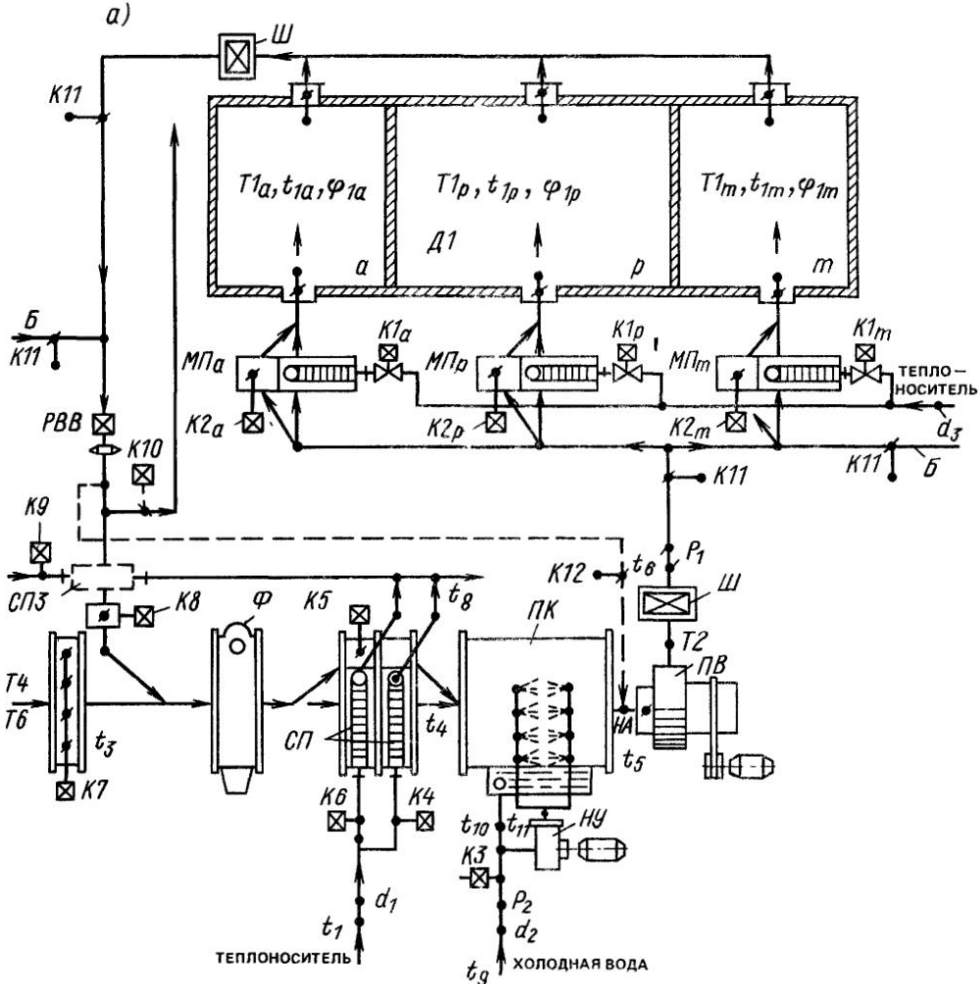


Рис. 15.11. Центральная многозональная двухшвейцатигорная система кондиционирования воздуха, работающая с рециркуляцией по одному или по двум каналам (второй канал показан пунктиром)  
*a*-схема системы, *б*-построение процессов на *J*-*d*-диаграмме при работе с одним первым рециркуляционным каналом, *в*-то же, при работе с двумя первыми рециркуляционными каналами

Примечание Воздухонагреватель СП3 и клапан К9 устанавливаются в районах Крайнего Севера для предупреждения замерзания воздухонагревателя первой подогрева

или невозможно по акустическим и санитарногигиеническим соображениям. В таких случаях применяются многозональные системы с этажными вентиляторами доводчиками, с помощью которых производится рециркуляция воздуха в пределах группы помещений или в пределах этажа.

В состав многозональных систем входят местные подогреватели МП, устанавливаемые по числу обслуживаемых зон, помещений или комплексов одинаковых помещений.

Системы, работающие без рециркуляции, должны иметь теплообменники для использования теплоты и холода по типу, показанному на рис. 15.8. В теплый период года кондиционер забирает наружный воздух (точка 5 на рис. 15.10, б), фильтрует и охлаждает его в камере орошения или в поверхностном орошающем воздухоохладителе до состояния, соответствующего параметрам точке 3. Затем воздух, проходя через вентилятор и воздуховоды, нагревается (точка 4) и, если нужно, дополнительно подогревается в местных подогревателях (МП) до температур, соответствующих точкам 2<sub>a</sub>, 2<sub>p</sub> или 2<sub>m</sub>, после чего нагнетается в помещения и приобретает там заданные параметры в обслуживаемой зоне.

В холодный период года наружный воздух (точка 15) подогревается прямым контактом с горячей водой (рис. 15.10, б) или в воздухонагревателе первого подогрева до состояния, соответствующих параметрам точек 13, 14, 17 или 18, увлажняется (точка 13), нагревается в местных подогревателях до параметров, соответствующих точкам 12<sub>a</sub>, 12<sub>p</sub> или 12<sub>m</sub>, при которых выпускается в помещения и приобретает заданные параметры.

Если в одном из помещений *a*, *p* или *m* отсутствуют влаговыделения, то параметры воздуха в нем изменяются. Например, в помещении *p* они могут летом стать равными параметрам в точке 1'<sub>p</sub>, а зимой — в точке 11'<sub>p</sub> вместо параметров в точках 1<sub>p</sub> и 11<sub>p</sub>, соответствующих заданным влаговыделениям.

В холодный период года производительность СКВ стремится сократить, при этом возможность и пределы сокращения производительности определяются уменьшением избытков теплоты, для борьбы с которой рассчитана система, условиями сохранения равномерности параметров воздуха в обслуживаемой зоне помещений и необходимостью обес-

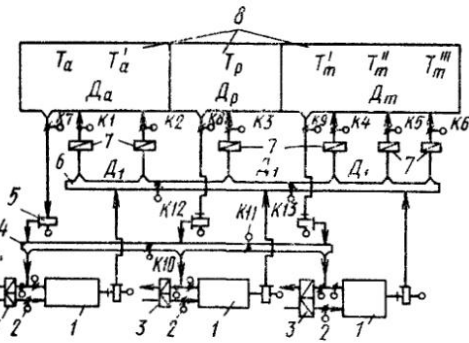


Рис. 15.12. Схема блокировки многозональных кондиционеров для взаимозаменяемости

1 кондиционеры, 2 - регулирующие клапаны, 3 - утилизаторы теплоты и холода, 4 - коллектор воздуха, удаляемого из помещения, 5 - рециркуляционно-вытяжной вентилятор, 6 - коллектор пригодного воздуха; 7 - местный подогреватель, 8 - обслуживаемые помещения

печения санитарной нормы при градусе наружного воздуха.

При наличии в здании двух или большего числа кондиционеров рекомендуется блокировать их между собой с помощью общих коллекторов (рис. 15.12), создав возможность обслуживания всех помещений при работе части кондиционеров.

Производительность СКВ на весь холодный период года рассчитывается по условиям переходного режима, т. е. при температуре наружного воздуха 8 °C и 70% влажности. Переключение системы производится по обусловленным календарным датам, например 15 октября и 15 мая.

Расчет сокращения производительности СКВ начинают с определения отношений избытков явной теплоты в переходный период года к избыткам явной теплоты в теплый период года при соответствующих расчетных параметрах наружного воздуха. Затем выбирают наибольшее из найденных отношений теплоизбытков и делают предположение, что подача воздуха во все зоны или помещения может быть уменьшена пропорционально этому отношению  $K_s$ . Далее определяют расход воздуха, который поступит в каждую зону или помещение при выбранном отношении, и проверяют равномерность параметров воздуха в их обслуживаемых зонах путем пересчета воздухораспределителей. Практически считается, что при циркуляции воздуха менее пяти

объемов помещения в 1 ч нельзя достичь удовлетворительной равномерности параметров.

Расход наружного воздуха, который содержится в приточном воздухе, подаваемом СКВ, находится в некоторой постоянной пропорции. Руководствуясь ею, определяют расход наружного воздуха, который поступит в каждую зону или помещение после сокращения общей производительности кондиционера. Затем проверяют, достаточно ли это для удовлетворения санитарных норм. Если окажется, что санитарная норма не обеспечена, увеличивают пропорцию наружного воздуха, вводимого СКВ, или меняют отношение, положенное в основу сокращения производительности. Снижение производительности СКВ экономически всегда оправданно, при этом следует применять направляющие аппараты, устанавливаемые на всасывающих отверстиях вентиляторов, если сокращение производительности не превышает 30% максимума и если производительность кондиционера по номиналу не более 125 тыс. м<sup>3</sup>/ч, индукторные муфты скольжения при более значительном уменьшении производительности кондиционеров и для кондиционеров производительностью 160–250 тыс. м<sup>3</sup>/ч.

Построение процесса приготовления воздуха на  $J - d$ -диаграмме для холодного периода года производится после того, как установлен коэффициент  $K_x$ , характеризующий допустимое сокращение производительности кондиционера на весь этот период.

С помощью коэффициента  $K_x$  для каждого помещения или зоны  $a, p, m$  находят величину воздухообмена  $L_{11a}, L_{11p}, L_{11m}$ , рабочую разность температур  $\Delta t_{11a}, \Delta t_{11p}, \Delta t_{11m}$  и разность влагосодержаний  $\Delta d_{11a}, \Delta d_{11p}, \Delta d_{11m}$ . Затем от точки 11<sub>a</sub>, характеризующей заданные параметры воздуха в помещении  $a$  (см. рис. 15.10, б), откладывают наибольшую из найденных величин разности влагосодержаний  $\Delta d_{\max}$  и определяют влагосодержание воздуха, приготовленного для холодного периода года,  $d_{13} = d_{11a} - \Delta d_{\max}$ .

На  $J - d$ -диаграмме проводится соответствующая прямая 13–12<sub>p</sub>; от пересечения прямых  $t_{11a} - t'_{11a}$ ,  $t_{11p} - t'_{11p}$  и  $d_{13}$  в точках 11<sub>a</sub>', 11<sub>p</sub>', 11<sub>m</sub>' откладывают рабочие разности температур по  $d = \text{const}$  и разности влагосодержаний по  $t = \text{const}$  для каждого из помещений или зон, обслуживаемых кондиционером. Соединив

соответствующие точки, характеризующие температуры приготовленного воздуха  $t_{12a}, t_{12p}, t_{12m}$ , и точки, характеризующие влагосодержание воздуха в помещении  $d_{11a}, d_{11p}, d_{11m}$ , получают линии процесса ассимиляции теплоты и влаги в помещениях при расчетных параметрах для холодного периода года.

Затем определяют частные значения удельных энталпий воздуха в помещениях и среднее их значение  $J_{11}$ . На основании последнего строится процесс дальнейшей обработки воздуха в кондиционере.

Максимальный расход холода, кВт, на охлаждение воздуха в системе, работающей без рециркуляции (см. рис. 15.9), при расчетных условиях для теплого периода года составляет:

$$\begin{aligned} Q_x &= Q_{x1} + Q_{x2} + Q_{x3} + Q_{x4} = \\ &= L_n \rho (J_s - J_3), \end{aligned} \quad (15.23)$$

где  $L_s$ —полная производительность системы, м<sup>3</sup>/с;  $\rho$ —плотность приточного воздуха, кг/м<sup>3</sup>;  $Q_{x1}$ —расход холода, кВт, на охлаждение помещений, равный:

$$Q_{x1} = L \rho (J_1 - J_2); \quad (15.24)$$

$J_1, J_2$ —средние удельные энталпии воздуха в помещениях и приготовленного воздуха, кДж/кг;  $L$ —полезная производительность системы, м<sup>3</sup>/с;  $Q_{x2}$ —расход холода, кВт, на охлаждение наружного воздуха, вводимого в помещение:

$$Q_{x2} = L \rho (J_5 - J_1); \quad (15.25)$$

$Q_{x3}$ —расход холода, кВт, компенсирующий утечки воздуха;

$$\begin{aligned} Q_{x3} &= (L_n - L) \rho (J_5 - J_3) + \\ &+ L \rho (J_1 - J_3); \end{aligned} \quad (15.26)$$

$L_n - L$ —потери воздуха в сетях, м<sup>3</sup>/с;  $Q_{x4}$ —расход холода вследствие второго подогрева

$$Q_{x4} = L \rho (J_5 - J_1). \quad (15.27)$$

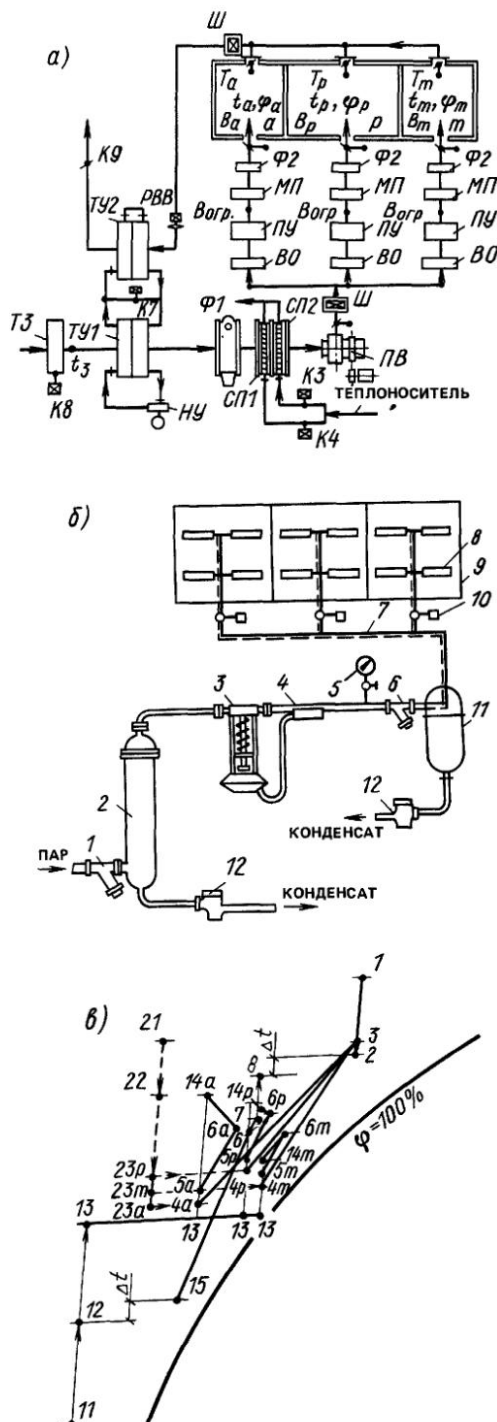
Сравнительная экономичность СКВ определяется коэффициентом использования холода  $\eta_x$ , являющимся отношением полезных затрат холода на охлаждение помещения к общим затратам:

$$\eta_x = Q_{x1}/Q_x. \quad (15.28)$$

Максимальный расход теплоты в системе  $Q'_{11}$ , кВт, при полной производительности в холодный период года  $L_{n,x}$ , м<sup>3</sup>/с, на первый нагрев воздуха составит

$$Q'_{11} = L_{n,x} \rho (J_{14} - J_{15}). \quad (15.29)$$

Иногда целесообразно снять часть или всю тепловую нагрузку первого подогрева, производя нагревание воздуха теплой водой, раз-



брэзгиваемой в камере орошения кондиционера.

Нагрузка первого подогрева, кВт, в случае нагревания воздуха до температуры, представленной изотермой 17, равна:

$$Q'_{12} = L_{n,\rho}(J_{17} - J_{15}), \quad (15.30)$$

а остальное количество теплоты

$$\begin{aligned} \Delta Q' &= Q'_{11} - Q'_{12} = \\ &= L_{n,x\rho}(J_{13} - J_{17}) \end{aligned} \quad (15.31)$$

должно вноситься водой, которая подается в камеру орошения кондиционера.

Максимальный расход теплоты, кВт, в местных подогревателях, соответствующий полному отсутствию теплоизбытков в помещениях, равен большей из двух следующих величин:

$$Q'' = 1,2L_{n\rho}(t_1 - t_4); \quad (15.32)$$

$$Q'' = 1,2L_{n,x\rho}(t_{12} - t_{13}), \quad (15.33)$$

где  $t_1$  и  $t_{13}$  — средняя температура приготовленного воздуха, °C.

В последние годы для некоторых помещений (машины залы вычислительных центров, хирургические операционные), в которых требуется повышенная чистота или стерильность воздуха, применяют СКВ с увлажнением воздуха паром (рис. 15.13), так как водяной пар бактерициден. Применяя пар, мы избегаем загрязнения воздуха тончайшими пылью, образующимися из солей жесткости, попадающих с капельками воды из камеры орошения кондиционеров. Кроме того, обеспечивается возможность раздельного регулирования влажности воздуха в каждом из обслуживаемых помещений. Для этого керамические элементы 8 (см. рис. 15.13), из которых выпускается пар, размещают в каждом из приточных воздуховодов. Длина прямого участка воздуховода, на

Рис. 15.13. Центральная многозональная система кондиционирования воздуха с увлажнением воздуха паром

*a*—схема системы; *b*—схема подводки пара в воздуховоды; *c*—построение на  $J$ -диаграмме процессов приготовления воздуха; 1—сетчатый фильтр; 2—пористый керамический фильтр; 3—редукционный клапан; 4—расширительный бачок; 5—манометр; 6—двойной сетчатый фильтр; 7—коллектор приготовленного пара, заключенный в паровую рубашку; 8—керамический пористый элемент для выпуска пара; 9—воздуховод; 10—исполнительный механизм регулятора пара; 11—влагоотделитель; 12—термостатический конденсационный горшок

котором происходит усвоение пара при повышении влажности на 20%, равна 1,8 м, а при увлажнении до 80% необходимая длина доходит до 3,5 м.

Для общей обработки воздуха в кондиционере установлены теплообменники ТУ1 и ТУ2 (см. рис. 15.8), фильтры для воздуха Ф1, воздухонагреватели СП1 и СП2 и вентиляторы ПВ и РВВ. Для местной обработки воздуха, подаваемого в каждое помещение, имеются воздухоохладители ВО, пароувлажнители ПУ, местные подогреватели МП и фильтры тонкой очистки Ф2.

В теплый период года наружный воздух, имеющий расчетные параметры, обозначенные точкой 1 (рис. 15.13, б), охлаждается в теплообменнике ТУ1 до параметров точки 2; проходя вентилятор (ПВ), нагревается (точка 3) и затем охлаждается и осушается до требуемых температуры и влагосодержания  $4_a$ ,  $4_p$  и  $4_m$ . Пройдя теплообменную аппаратуру и воздуховоды, воздух нагревается до параметров  $5_a$ ,  $5_p$  и  $5_m$  и выпускается в помещение, где приобретает заданные параметры  $6_a$ ,  $6_p$  и  $6_m$ . Удаляемый из помещений воздух со средними параметрами, характеризуемый точкой 6, нагревается в вытяжном вентиляторе (РВВ) до температуры точки 7 и затем в теплообменнике ТУ2 до параметров 8, при которых выбрасывается наружу.

При некоторых промежуточных параметрах воздуха (точка 21) в теплый период года наружный воздух охлаждается в теплообменнике ТУ1 до параметров точки 22, затем охлаждается в местных воздухоохладителях ВО до параметров точек  $23_a$ ,  $23_p$  и  $23_m$ , после чего увлажняется паром до параметров  $4_a$ ,  $4_p$ ,  $4_m$ , нагревается в аппаратуре и воздуховодах, проходящих через помещения, где обретает заданные параметры  $6_a$ ,  $6_p$  и  $6_m$ .

В холодный период года наружный воздух подогревается в теплообменнике ТУ1 от параметров 11 до 12, фильтруется и нагревается в СП1 и СП2 до изотермы 13, затем для каждого помещения отдельно производится увлажнение воздуха паром соответственно до влагосодержаний  $13_a$ ,  $13_p$  или  $13_m$ . Потом воздух подогревается местными подогревателями МП до температур  $14_a$ ,  $14_p$  и  $14_m$  и выпускается в помещение, где, ассимилируя влагу и отдавая или получая теплоту, приобретает заданные параметры  $6_a$ ,  $6_p$  и  $6_m$ . Удаляемый из помещений

воздух охлаждается до параметров точки 15, отдавая теплоту приточному воздуху.

Влажность воздуха регулируется влагорегуляторами  $B_a$ ,  $B_p$ , ...,  $B_m$ , установленными в каждом помещении или в вытяжных воздуховодах. Кроме того, необходимы еще ограничительные влагорегуляторы  $B_0$ , устанавливаемые в каждом приточном воздуховоде на расстоянии 2–4 м от пароувлажнителей. Эти влагорегуляторы настраивают на относительную влажность порядка 90%, чтобы предотвратить перенасыщение воздуха. Пар подводится к увлажнителям, как показано на схеме рис. 15.13, б. Давление пара поддерживается на постоянном уровне. Исполнительные механизмы, регулирующие выпуск пара, необходимо блокировать с приводом приточного вентилятора для отключения подачи пара при остановке вентилятора. Применение пара для центральных СКВ должно быть обосновано специальными технологическими требованиями или технико-экономическим расчетом.

Запах пара образуется от возгонки органических соединений, содержащихся в воде или конденсате, поступающих в котлы. Конденсат, поступающий из теплообменных аппаратов, при соприкосновении с сальниками арматуры насыщается парами масла иногда до 5 мг/кг. Пар, приготовляемый из хорошо очищенной воды в специальных электрических парогенераторах, запаха не имеет.

**Центральные многозональные двухвентиляторные системы**, собранные по схеме на рис. 15.11, предназначены для работы с переменным объемом наружного и рециркуляционного воздуха. Такие системы, как правило, экономичней систем, работающих с постоянным расходом компонентов смеси, так как обеспечивают максимальное использование наружного воздуха для охлаждения. Воздух на рециркуляцию можно забирать и с помощью одного приточного вентилятора, но двухвентиляторные СКВ удобней в эксплуатации и расходуют меньше электроэнергии, если сопротивление рециркуляционных воздуховодов больше сопротивления участка питания кондиционеров наружным воздухом.

Устраивать вытяжку из помещений без вентиляторов за счет естественного давления или давления приточных вентиляторов не рекомендуется, так как при этом усложняются условия регулирования системы. Давление в

помещении изменяется как по величине, так и по знаку: в теплый период года воздух внутри помещения холоднее и тяжелее наружного, а зимой — наоборот. Для регулирования приходится употреблять клапаны значительно большей площади, чем при вентиляторной тяге, и суммарная плотность их притворов может существенно повлиять на качество регулирования.

Двухвентиляторные СКВ создают меньше шума, потому что вентиляторы работают при более низких давлениях, чем в одновентиляторных системах. Однако основные преимущества двухвентиляторных систем — надежность и удобство управления и регулирования, так как весь комплекс устройств, обеспечивающих приток и вытяжку из помещений, сосредоточивается в одном кондиционере.

При проектировании кондиционера с двумя рециркуляционными каналами важно обеспечить увязку потерь давления во втором рециркуляционном канале с потерями давлений в секциях кондиционера.

В кондиционерах многозональных СКВ второй рециркуляционный канал регулируют вручную или дистанционно клапаном К12.

В теплый период года система, работающая с одной первой рециркуляцией (см. рис. 15.11, б), засасывает наружный воздух (точка 4), смешивает его с нагревшимся в вентиляторе РВВ рециркуляционным воздухом (точка 6), в результате чего получается смесь с параметрами, характеризуемыми точкой 5. Весь воздух, подаваемый кондиционером, охлаждается в воздухоохладителе до параметров, характеризуемых точкой 13, нагревается в вентиляторе и воздуховодах до состояния, характеризуемого точкой 12, нагнетается в помещение, ассимилируя теплоту и влагу, и принимает заданные параметры  $1_a, 1_p, 1_m$ .

В холодный период года наружный воздух (точка 24) смешивается с рециркуляционным воздухом, средние параметры которого характеризуются точкой 21, смесь (точка 27) нагревается в первом подогревателе до состояния, характеризуемого точкой 25. Удельная энталпия в точке 25 равна необходимой для создания требуемой влажности воздуха в помещении. Смесь увлажняется до состояния, характеризуемого точкой 33, и нагревается местным подогревателем до состояний, характеризуемых точками 22<sub>a</sub>, 22<sub>p</sub>, 22<sub>m</sub>, а в среднем до

состояния, характеризуемого точкой 22. В обслуживаемой зоне помещений воздух принимает заданные состояния (точки 21<sub>a</sub>, 21<sub>p</sub>, 21<sub>m</sub>). Нагрев воздуха в рециркуляционном вентиляторе РВВ в холодный период года часто не учитывают. Максимальный расход холода, кВт, при расчетном режиме для теплого периода составляет

$$Q_x = Q_{x1} + Q_{x2} + Q_{x3} = L_{op}(J_5 - J_3), \quad (15.34)$$

где  $L_{op}$  — расход воздуха, проходящего камеру орошения, м<sup>3</sup>/с (для системы с одной первой рециркуляцией воздуха  $L_n$ , м<sup>3</sup>/с);  $Q_{x1}$  — расход холода на охлаждение помещения при введении воздуха  $L_p$ , кг/с, равный:

$$Q_{x1} = L_p(J_1 - J_{12}); \quad (15.35)$$

$Q_{x2}$  — расход холода на охлаждение наружного воздуха, кг/с; равный:

$$Q_{x2} = L_{np}(J_n - J_1); \quad (15.36)$$

$Q_{x3}$  — расход холода на потери воздуха в сетях  $L_n - L$ , м<sup>3</sup>/с; потери, связанные с охлаждением наружного воздуха, который проходит через неплотности сетей  $L_{n,n} - L_n$ , м<sup>3</sup>/с, и нагрев подаваемого и рециркуляционного воздуха  $L_{np}$  и  $L_{p,p}$ , кг/с, в сетях и вентиляторах:

$$\begin{aligned} Q_{x3} = & (L_n - L)p(J_1 - J_{12}) + (L_{n,n} - L_n)p \times \\ & \times (J_4 - J_1) + L_{np}(J_{12} - J_{13}) + \\ & + L_{p,p}(J_6 - J_1). \end{aligned} \quad (15.37)$$

Максимальный расход теплоты, кВт, на первый подогрев воздуха  $Q_{t1}$  при производительности, установленной для холодного периода года  $L_{n,x}$ , и подаче наружного воздуха  $L_{n,n}$ , м<sup>3</sup>/с, равен:

$$\begin{aligned} Q'_{t1} = & L_{n,n}p(J_{23} - J_{24}) = \\ & = L_{n,x}p(J_{25} - J_{27}). \end{aligned} \quad (15.38)$$

Максимальный расход теплоты для второго подогрева определяется по аналогии с расчетом по формулам (15.32) и (15.33), но с заменой в них  $t_4$  на  $t_{12}$ ,  $t_{12}$  на  $t_{22}$  и  $t_{13}$  на  $t_{33}$ .

В системе с двумя рециркуляционными каналами (см. рис. 15.11, в) наружный воздух (точка 4) смешивается с рециркуляционным воздухом (точка 2), и смесь с параметрами точки 5 охлаждается в камере орошения или в орошающем поверхностном воздухоохладителе до состояния, характеризуемого точкой 13. Рециркуляционный воздух (точка 2), поступая по второму рециркуляционному каналу, подмешивается к охлажденному воздуху (точка 13). Смесь (точка 3), проходя приточный вентилятор и воздуховоды, нагревается до состояния, характеризуемого точкой 12, и выпускает-

ся в помещение, где, ассимилируя теплоту и влагу, приобретает заданные параметры, которые представлены средней величиной (точка 1). В рециркуляционном вентиляторе воздух (точка 1) подогревается до параметров, характеризуемых точкой 2.

В холодный период наружный воздух (точка 24) смешивается с рециркуляционным (точка 21), смесь (точка 35) подогревается до состояния, характеризуемого точкой 25, затем увлажняется и приобретает параметры, характеризуемые точкой 33. Воздух, поступающий по второму рециркуляционному каналу, смешивается с увлажненным воздухом, и смесь приобретает параметры, характеризуемые точкой 23, затем нагревается во втором подогревателе до состояния, характеризуемого точкой 22, и выпускается в помещение, где, ассимилируя влагу и нагревая помещения, воздух приобретает параметры, которые на  $J - d$ -диаграмме представлены средней величиной (точка 21).

Расход воздуха, проходящего камеру орошения,  $L_{op}\rho$ , в долях полной производительности кондиционера  $L_n\rho$  в расчетных условиях для теплого периода года равен:

$$\frac{L_{op}\rho}{L_n\rho} = \frac{J_2 - J_3}{J_2 - J_{13}}. \quad (15.39)$$

Расход этого воздуха, кг/с, составляет:

$$L_{op}\rho = L_{op}\bar{\rho}L_n\rho, \quad (15.40)$$

а расход воздуха, проходящего по первому рециркуляционному каналу, определяется как разность

$$L_{n1p}\rho = L_{op}\rho - L_{n2p}\rho. \quad (15.41)$$

Расход воздуха, проходящего по второму рециркуляционному каналу, определяется как разность

$$L_{n2p}\rho = L_n\rho - L_{op}\rho, \quad (15.42)$$

где  $L_{n1p}\rho$  — полный расход наружного воздуха, кг/с;  $L_n\rho$  — полная производительность кондиционера, кг/с

Максимальные расходы холода и теплоты для системы, имеющей два рециркуляционных канала, определяются по формулам, аналогичным формулам (15.23)–(15.33).

Автоматическое регулирование и контроль многоゾональных систем, работающих на наружном воздухе или с рециркуляцией, осуществляются следующим образом. Установленные в помещениях или в зонах одного

помещения терморегуляторы  $T_{1a}$ ,  $T_{1p}$ ,  $T_{1m}$  управляют местным или вторым подогревом, регулируя подачу теплоносителя клапанами  $K_{1a}$ ,  $K_{1p}$ ,  $K_{1m}$  и расход воздуха обводными клапанами  $K_{2a}$ ,  $K_{2p}$ ,  $K_{2m}$ , когда установлена необходимость применения обводных клапанов, например если теплоноситель пар или если установлена излишняя поверхность нагрева (более 10%).

Постоянство влажности обеспечивается терморегулятором «точки росы»  $T_2$ , который во всех описанных системах на режимах охлаждения (в теплый период года) управляет подачей холодной воды в камеру орошения или в поверхностный орошаемый воздухоохладитель с помощью клапана  $K_3$ . В системах, не имеющих рециркуляции, в холодный период года терморегулятор  $T_2$  управляет клапанами  $K_4$ ,  $K_6$ , а при необходимости также и клапаном  $K_5$ , регулирующим работу первого подогрева.

В системах с первой рециркуляцией воздуха регулятор  $T_2$  в теплый период года работает совместно с двухпозиционным терморегулятором  $T_4$ , датчиком которого является мокрый термометр, установленный в потоке наружного воздуха. При удельной энтальпии наружного воздуха  $J_n > J_6$  терморегулятор  $T_4$  (см. рис. 15.11, а) устанавливает воздушные клапаны  $K_7$  и  $K_8$  на режим минимальной подачи наружного и максимальной подачи рециркуляционного воздуха.

Пока удельная энтальпия наружного воздуха находится в пределах  $J_{13} < J_n < J_6$ , терморегулятор  $T_4$  устанавливает клапаны  $K_7$  и  $K_8$  на режим подачи только наружного воздуха и подключает управление этими клапанами непосредственно к терморегулятору  $T_2$ , который управляет ими в холодный период года, характеризуемый условиями  $J_n < J_{13}$ : при понижении удельной энтальпии наружного воздуха от  $J_{13}$  до минимума с помощью клапанов  $K_7$  и  $K_8$  постепенно сокращает подачу наружного воздуха и доводит ее до минимума. После этого регулятор  $T_2$  переходит на управление первым подогревом. Воздушный клапан  $K_{10}$  открывается при пуске кондиционера и закрывается при его остановке.

В системах большой производительности (60 тыс.  $\text{м}^3/\text{ч}$  и более) и в случаях, когда требуется обеспечить подпор воздуха в здании,

воздушный клапан на выбросе К10 присоединяют к регулятору избыточного давления  $D_1$ , установленному в контрольном помещении.

В районах с расчетной температурой наружного воздуха ниже  $-40^{\circ}\text{C}$  в системах, работающих на наружном воздухе (см. рис. 15.10), устраивают возврат части приготовленного воздуха (до 20%) до первого подогрева. На воздуховоде возвращаемого воздуха устанавливают клапан К8 и воздухонагреватель СПЗ с клапаном К9. В этом случае терморегулятор Т6 включает оба клапана К8 и К9 при падении наружной температуры ниже опасного предела, например ниже  $-40^{\circ}\text{C}$ . В этих районах на системах, работающих с рециркуляцией (см. рис. 15.11), устанавливают дополнительный воздухонагреватель СПЗ, управляемый клапаном К9 и включаемый терморегулятором Т6.

### 15.3.4. Системы кондиционирования воздуха с количественным и количественно-качественным регулированием

Однозональные и многозональные системы с количественным и количественно-качественным регулированием, как правило, экономичнее систем с качественным регулированием, так как неэкономичное уменьшение холодоизделийности воздуха вторым или местным подогревом заменено в них сокращением расхода воздуха, вводимого в помещение.

Принципиальная схема многозональной СКВ с количественно-качественным регулированием приведена на рис. 15.12. Терморегуляторы  $T_a$ ,  $T_p$  и  $T_m$ , установленные в помещениях или в их зонах, с помощью клапанов К1–К6 сокращают подачу воздуха в обслуживаемые помещения при уменьшении количества теплоты, поступающей в помещение, по отношению к расчетному максимуму. В результате происходит повышение давления в коллекторе приточного воздуха  $b$ , в качестве которого может быть применена камера статического давления. Регуляторы давления  $D_1$  должны восстановить давление в коллекторе, уменьшив производительность приточных вентиляторов, а при необходимости и выключив часть из них.

Регуляторы давления воздуха  $D_a$ ,  $D_p$ ,  $D_m$ , установленные в помещениях, должны соответственно сократить производительность вы-

тяжных вентиляторов 5, чтобы сохранить в помещениях необходимое там повышенное давление.

В тех случаях, когда каждое из помещений обслуживается отдельными кондиционером и вытяжным вентилятором, что может быть достигнуто в схеме на рис. 15.12 при закрытии клапанов К10–К13, вместо довольно сложного регулирования работы вытяжных вентиляторов по давлению в помещениях их можно соединить посредством программного механизма с работой соответствующих приточных вентиляторов так, чтобы всегда был обеспечен необходимый подпор в помещениях.

В системах с количественным регулированием особенно остро стоит вопрос о выборе воздухораспределителей, так как от них зависит возможное максимальное сокращение воздуха, вводимого в помещение, т. е. предельная глубина количественного регулирования СКВ.

В табл. 15.7 (данные М. И. Гримитлина и Г. М. Позина\*) приведены предельные глубины регулирования воздухораспределителей

$$\eta_{\max} = 1 - \bar{L}_{\min} = 1 - L_{\min}/L_{\max}, \quad (15.43)$$

где  $L_{\min}$  и  $L_{\max}$  – минимальный и расчетный расход воздуха, подаваемый через воздухораспределитель данной конструкции,  $\text{м}^3/\text{s}$ .

Выбрав, например, в качестве воздухораспределителя решетки типа ВДШ (ВР-16) с лопatkами, поставленными под углом, расход подаваемого воздуха при расчетной кратности воздухообмена  $15 \text{ ч}^{-1}$  до сокращения может быть уменьшен вдвое. Подавая воздух через воздухораспределители ВДУМ, ВДПМ-IIIa (ВР-11), сокращение может быть допущено только на 20%. После предельного уменьшения подачи притока система регулируется с помощью второго или местного подогрева, т. е. переключается на качественное регулирование.

Возможны три способа регулирования производительности вентиляторов СКВ с количественным и количественно-качественным регулированием: 1) клапаном на магистральном воздуховоде; 2) направляющим аппаратом

\* Гримитлин М.И., Позин Г.М. Основы распределения приточного воздуха в вентилируемых помещениях.– В кн.: Научные проблемы охраны труда на современном этапе технического прогресса.– М: Профиздат, 1977.

ТАБЛИЦА 15.7. ПРЕДЕЛЬНОЕ УМЕНЬШЕНИЕ РАСХОДА ПРИ КОЛИЧЕСТВЕННОМ РЕГУЛИРОВАНИИ ТИПОВЫХ ВОЗДУХОРАСПРЕДЕЛИТЕЛЕЙ

Тип воздухо-распределителя	Предельное уменьшение расхода, %, при нормах микроклиматов		Кратность воздухообмена после предельного сокращения воздухообмена, ч <sup>-1</sup>
	допуск-тимых	опти-маль-ных	
Решетка РР с лопатками:			
параллельными (ВР-4)	40	30	5
установленными под углом (ВР-5)	50	30	75
ВДУМ; ВДПМ; $\Delta_0 = +0,5 d_0$ ; $K_{\text{в.с.}} = 0$ (ВР-9 и ВР-13)	50	30	12,5
ВДУМ; ВДПМ-IIIa; $\Delta_0 = -0,05 d_0$ ; $K_{\text{в.с.}} = 0$ (ВР-10 и ВР-13)	10	—	1,5
ВДУМ; ВДПМ-IIIa; $K_{\text{в.с.}} = 0,4$ (ВР-11)	20	—	2,5
ВДШ (ВР-16)	40	20	15

во всасывающем отверстии вентилятора; 3) частотой вращения вентилятора с помощью электромуфты скольжения (рис. 15.14, табл. 15.8).

Клапаны регулируют производительность вентиляторов неэкономично, поэтому для этой цели их применять не рекомендуется.

Г. Г. Ваххахов \* рекомендует применять: 1) направляющие аппараты при глубине регулирования от 100 до 50% полной производительности вентилятора; 2) электрические индукторные муфты скольжения при глубине регулирования от 100 до 30% полной производительности вентиляторов.

Направляющие аппараты регулируют производительность вентилятора, изменяя его аэродинамическую характеристику, закручивая воздушный поток на входе воздуха в вентилятор.

\* Г. Г. Ваххахов. Работа вентилятора в сети. М.: Стройиздат, 1975.

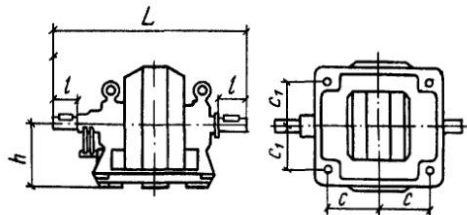


Рис. 15.14. Электрическая индукторная муфта скольжения

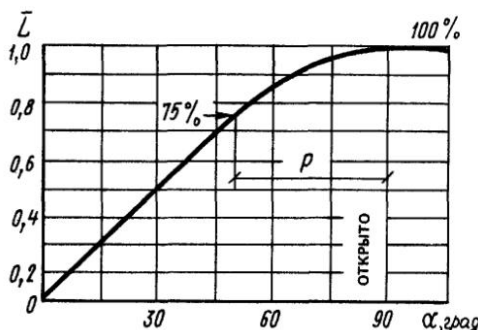


Рис. 15.15. Регулировочная характеристика направляющего аппарата  
L – относительная производительность вентилятора; α – угол поворота лопаток направляющего аппарата

Регулировочная характеристика направляющих аппаратов серии НА приведена на рис. 15.15. В связи с нелинейностью характеристики применение направляющих аппаратов для регулирования двухвентиляторных СКВ затруднено.

Электрическая муфта скольжения состоит из индуктора, расположенного на ведомом валу муфты, который соединен с вентилятором, и якоря, расположенного на ведущем валу.

ТАБЛИЦА 15.8. РАЗМЕРЫ, ММ, И МАССА ЭЛЕКТРИЧЕСКИХ ИНДУКТОРНЫХ МУФТ СКОЛЬЖЕНИЯ

Тип муфты	L	h	l	c	c <sub>1</sub>	Масса, кг
ИМС-7,5	610	160	325	160	125	150
ИМС-20	613	240	315	150	157	300
ИМС-40	915	280	490	225	335	590
ИМС-75	1075	335	565	300	350	1170
ИМС-160	1225	400	660	370	325	1730

который соединен с электродвигателем. При вращении якоря относительно намагниченного индуктора возникают вихревые электрические токи, которые, взаимодействуя с магнитным потоком, создают крутящий момент. Величина последнего зависит от силы тока, возбуждающего магниты индуктора.

Для разгрузки электродвигателя при пуске автоматическое включение муфты производится через реле времени. Скорость вращения выходного вала муфты контролируется с помощью тахогенератора или амперметра, включенного в цепь обмотки возбуждения муфты.

### 15.3.5. Центральные двухканальные системы кондиционирования воздуха

Центральные двухканальные СКВ подводят к помещениям холодный и подогретый воздух по двум параллельным каналам. Температура в каждом помещении регулируется терморегулятором, действующим на местные смесительные воздушные клапаны СК, изменяющие соотношение холодного и подогретого воздуха в подаваемой смеси. К числу преимуществ этих систем относятся отсутствие в обслуживаемых помещениях или вблизи них теплообменников, трубопроводов тепло- и хладоносителя. Но характерны сложность проектирования и повышенные затраты на устройство и тепловую изоляцию параллельных воздуховодов.

Двухканальные системы бывают прямоточными (рис. 15.16) и с применением рециркуляции. Местные смесители систем  $СК_a$ ,  $СK_p$ ,  $СK_m$  устанавливают в непосредственной близости к обслуживаемым помещениям. При числе обслуживаемых помещений более шести двухканальные системы иногда обходятся дешевле, чем СКВ с местными подогревателями. Преимущество двухканальных систем возрастает с увеличением числа обслуживаемых помещений.

В теплый период года наружный воздух (точка 5 рис. 15.16) фильтруется, а затем охлаждается в камере орошения или в поверхностном орошающем воздухоохладителе (точка 3). Проходя через вентилятор и каналы, воздух нагревается до состояния, характеризуемого точкой 4. Воздухонагреватель второго подогрева нагревает воздух до состояния, характе-

ризующегося точкой 6, а после смешения холодного и подогретого воздуха (в зависимости от потребности каждого из помещений) воздух приобретает параметры  $2_a$ ,  $2_p$ ,  $2_m$  и в помещении  $J_a$ ,  $J_p$ ,  $J_m$ .

Температура воздуха, °С, приготовляемого для наиболее нагруженного помещения, например помещения  $p$  (см. рис. 15.16), в теплый период года составляет:

$$t_{2p} = (1 - n)t_4 + nt_6, \quad (15.44)$$

где  $n$  — нештатность закрытого канала на проходе подогретого воздуха в долях максимального поступления воздуха через клапан (от 0,05 до 0,1 — уточняется по данным завода-изготовителя);  $t_{2p}$ ,  $t_4$ ,  $t_6$  — температуры воздуха в каналах после смесителя (минимальная), холодного и подогретого.

Полезная производительность системы определяется рабочей разностью температур  $\Delta t_p = t_1 - t_{2p}$ , где  $t_1$  — средневзвешенная температура воздуха обслуживаемых помещений, °С:

$$t_1 = \frac{t_{1a}L_{1a} + t_{1p}L_{1p} + \dots + t_{1m}L_{1m}}{L_{1a} + L_{1p} + \dots + L_{1m}}. \quad (15.45)$$

Максимальная полезная пропускная способность,  $\text{м}^3/\text{с}$ , канала холодного воздуха принимается равной  $L(1 - n)$ , а канала подогретого воздуха составляет 50–70% указанной величины и только в редких случаях принимается равной 100%. Отсюда температура в канале подогретого воздуха в теплый период года должна быть равна, °С:

$$t_6 = t_{2c} + \Delta t_p / [K_r(1 - n)], \quad (15.46)$$

где  $K_r$  — пропускная способность канала подогретого воздуха в долях от пропускной способности канала холодного воздуха;  $t_{2c}$  — средняя температура, °С, вводимого в помещение воздуха при максимальной нагрузке в теплый период года:

$$t_{2c} = \frac{t_{2a}L_{2a} + t_{2p}L_{2p} + \dots + t_{2m}L_{2m}}{L}, \quad (15.47)$$

где  $L = L_{2a} + L_{2p} + \dots + L_{2m}$  — полезная производительность,  $\text{м}^3/\text{с}$ .

В холодный период года наружный воздух (см. рис. 15.16, б, точка 15) подогревается прямым контактом с теплой водой или в воздухонагревателе первого подогрева до состояний, характеризуемых точками 14, 17 или 18, увлажняется (точка 13), проходит через вентилятор и воздуховоды (нагрев в которых в холодный период года обычно не учитывается), часть его подогревается вторым подогревателем и поступает в канал подогретого воздуха с пара-

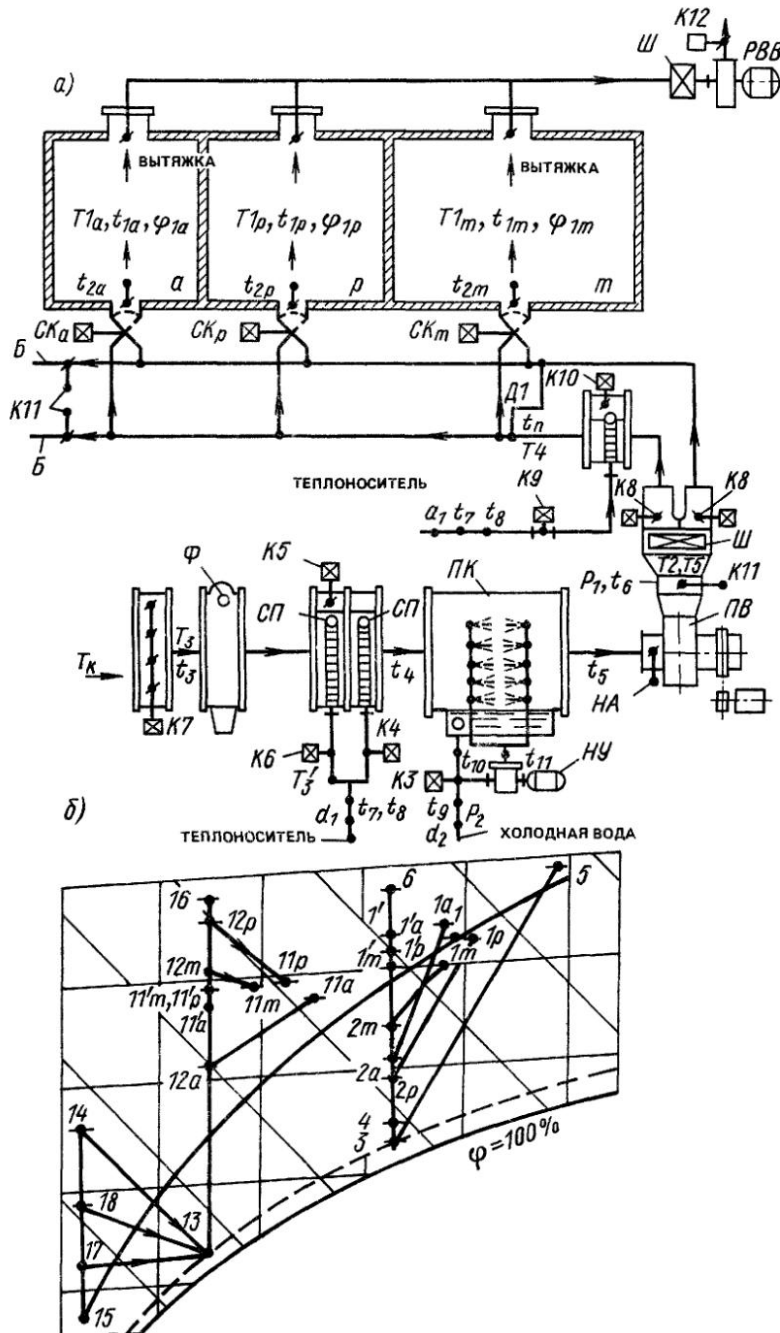


Рис. 15.16. Центральная многозональная двухканальная система кондиционирования воздуха, работающая на наружном воздухе  
*а* схема системы, *б* построение процессов на  $J-d$ -диаграмме

СХЕМЫ 1 И 4

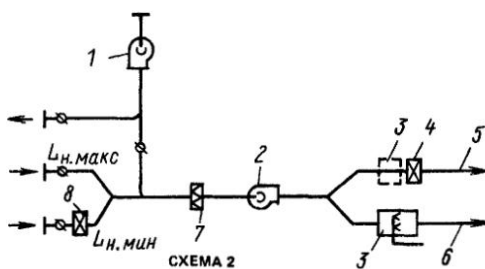


СХЕМА 2

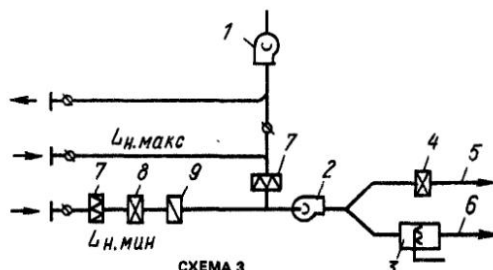


СХЕМА 3

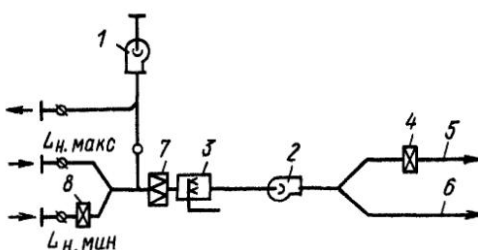


СХЕМА 4

СХЕМА 5

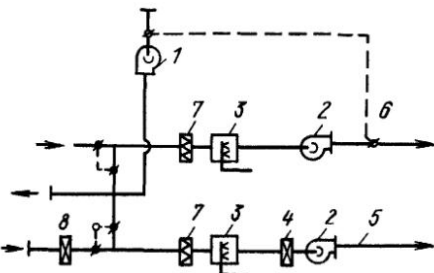


Рис. 15.17. Схемы кондиционеров двухканальных СКВ

1—вытяжной вентилятор; 2—приточный вентилятор; 3—орошающий воздухоохладитель или форсуночная камера; 4—воздухонагреватель второго подогрева; 5—канал подогретого воздуха; 6—канал холодного воздуха; 7—фильтр; 8—воздухонагреватель первого подогрева; 9—воздухоохладитель первой ступени

мощью клапанов K8 выравнивает статическое давление в магистральных каналах. Если местные смесители СК снабжены индивидуальными регуляторами расхода, то установка магистральных клапанов K8 и регуляторов давления D1 не обязательна. Работа двухканальной системы должна контролироваться местными или дальномерными приборами по аналогии с контролем системы, приведенной на рис. 15.10. Дополнительно к этому следует контролировать температуру в точке  $t_n$  за воздухонагревателем второго подогрева.

Двухканальные СКВ проектируются также по схемам, приведенным на рис. 15.17.

**Схема 1.** В центральном кондиционере в холодный период года производится увлажнение, а в теплый период — охлаждение и осушка только того воздуха, который направляется в холодный канал. В горячий канал воздух направляется без обработки его водой, т.е. с непостоянным влагосодержанием.

**Схема 2.** На линии приема наружного воздуха устанавливают воздухоохладитель первой ступени 9 и при наружных температурах ниже 20 °C эта система работает так же, как и система по схеме 1. В теплый период года минимальное количество наружного воздуха охлаждается в охладителе 9, а затем смешивается с рециркуляционным воздухом. Температура воздуха на выходе из охладителя 9 поддерживается так, чтобы после смешивания его с рециркуляционным воздухом отсутствовала необходимость подогрева воздуха, направляемого в канал 6.

метрами, характеризуемыми точками 16. Остальной воздух поступает в канал холодного воздуха. После смешения воздух с параметрами  $12_a$ ,  $12_p$ ,  $12_m$  поступает в помещение и приобретает там параметры  $11_a$ ,  $11_p$ ,  $11_m$ .

Если в каком-либо из помещений в данный момент отсутствуют влаговыделения, то параметры воздуха в нем изменятся. Например, в помещении  $p$  они могут стать летом параметрами, обозначенными точкой  $1'_p$ , зимой — точкой  $1''_p$  вместо параметров, обозначенных точками  $1_p$  и  $1_m$ .

Терморегуляторы  $T_{1a}$ ,  $T_{1p}$  и  $T_{1m}$ , установленные в помещениях  $a$ ,  $p$  и  $m$ , управляют соответственно местными смесителями  $СK_a$ ,  $СK_p$  и  $СK_m$ , а терморегуляторы  $T_2$  и  $T_5$  и клапаны  $K4$ ,  $K5$ ,  $K6$  и  $K7$  работают так же, как и у системы, показанной на рис. 15.10. Терморегулятор  $T_4$  управляет клапанами подачи теплоносителя  $K9$  и воздушными клапанами  $K10$ . Регулятор статического давления  $D1$  с по-

Охлаждение в охладителе 9 может осуществляться водой из реки или артезианской скважины, а в воздухоохладитель второй ступени 3 (при  $\Phi_{\text{в}} = 50\%$ ) необходимо подавать воду с температурой 5°C.

**Схема 3.** В системе весь приточный воздух проходит через воздухоохладитель 3 и принимает на выходе из него температуру точки росы холодного воздуха. В канале 6 воздух не обрабатывается, а в канале 5 воздух подогревается при постоянном влагосодержании. Относительная влажность воздуха в помещении изменяется только в зависимости от внутренних нагрузок.

На охлаждение всего приточного воздуха до параметров, принятых для канала холодного воздуха, и на нагрев части последнего воздухонагревателем 4 в канале подогретого воздуха затрачиваются излишние количества теплоты и холода.

**Схема 4.** Эта система отличается от системы, работающей по схеме 1, тем, что в канале 6 устанавливают форсуночную камеру 3 (показана пунктиром), которая работает обычно при температурах наружного воздуха выше 12°C, что позволяет довести воздух в каждом из каналов до температуры точки росы. В этой системе изменение абсолютной влажности в помещении обусловливается только поступлениями влаги от внутренних источников.

**Схема 5.** Воздух из каналов 5 и 6 вводится в помещение через отдельные воздухораспределители. Воздух для канала 5 рассчитывается на ассимиляцию сравнительно постоянных поступлений теплоты без учета теплоты солнечной радиации от искусственного освещения и людей, а в холодный период — на компенсацию теплопотерь. Воздух из него подается через подоконные воздухораспределители.

Воздух для канала 6 рассчитывается на ассимиляцию переменных поступлений теплоты от солнечной радиации, искусственного освещения и людей. Воздух из канала 6 выпускается через потолочные или другие воздухораспределители в зонах, удаленных от окон.

Расход воздуха, подаваемого из канала 5, не регулируется, а производительность канала 6 регулируется терморегулятором.

Л. И. Неймарк произвела сравнение расходов теплоты и холода для описанных выше схем, результаты которого приведены в табл. 15.9.

ТАБЛИЦА 15.9 СРАВНЕНИЕ ГОДОВЫХ РАСХОДОВ ТЕПЛОТЫ И ХОЛОДА ДЛЯ ДВУХКАНАЛЬНЫХ СИСТЕМ

Система	Годовые расходы, %	
	теплоты	холода
Увлажнение и охлаждение только холодного воздуха (схемы 1 и 2)	100	100
Увлажнение и охлаждение всего приточного воздуха (схема 3)	107	132
То же, но с регулированием влажности в теплый период года (схема 4) (предложена Е. Е. Карпом)	107	132
Увлажнение и охлаждение всего приточного воздуха при подаче воздуха через отдельные воздухораспределители (схема 5) (предложена Л. И. Неймарк)	105	107

### 15.3.6. Центральные водовоздушные системы

Водовоздушные системы применяются в многокомнатных зданиях. В каждое помещение вводится наружный воздух, подготовленный в центральном кондиционере. Перед выпуском в помещение он смешивается с воздухом данного помещения, предварительно охлажденным или нагретым в теплообменниках кондиционеров-доводчиков, снабжаемых холодной и горячей водой. В центральном кондиционере наружный воздух обрабатывается по схеме, описанной для одноканальной системы (см. рис. 15.8), и при расчетных условиях для теплого периода года подводится к доводчикам, имея температуру на 7–12°C ниже поддерживаемой в помещении.

В СКВ низкого давления целесообразно применять вентиляторные доводчики КД, в СКВ среднего и высокого давления — эжекционные доводчики ЭКД, перед которыми необходимо статическое давление до 400 Па. В воздуховодах этих систем создают повышенные скорости движения воздуха, предельные величины которых принимают в зависимости от расхода воздуха на участке сети:

Расход воздуха, тыс. м <sup>3</sup> /ч	< 5	5–10	10–17
Максимальная скорость воздуха, м/с	12	15	18
	<i>Продолжение</i>		
Расход воздуха, тыс. м <sup>3</sup> /ч	17–25	25–40	40
Максимальная скорость воздуха, м/с	20	23	25

Теплообменники доводчиков КД и ЭКД присоединяют к сетям тепло- и холодоносителя главным образом по двухтрубной (подающая и обратная) и четырехтрубной схемам (отдельные подающие для холодной и горячей воды и отдельные обратные), но применяется также и трехтрубная схема холодо- и теплоснабжения (отдельные подающие линии и общая обратная линия) и даже однотрубные\*. При четырех- и трехтрубных схемах обеспечивается включение холодо- и теплоносителя в любой доводчик и в любое время, а при двух- одно трубной схемах – только сезонные общее, по- фасадное или групповое включение.

Кондиционеры-доводчики регулируются изменением расходов воды или рециркуляционного воздуха, пропускаемого через теплообменники. Теплообменники доводчиков должны быть рассчитаны на отопление помещений при выключенных местных и центральных вентиляторах, т.е. на режиме естественной конвекции; при этом обычно требуется теплоноситель с более высокими параметрами.

Применяются следующие схемы водовоздушных СКВ\*\*:

**схема 1** – одноканальная двухтрубная с вводом к доводчикам ЭКД или КД: а) холодного первичного воздуха и горячей воды; б) теплого первичного воздуха и холодной воды, причем в холодный период в нерабочее время вместо холодной подается горячая вода для отопления; в) по сезонно холодного первичного воздуха и горячей воды или теплого первично го воздуха и холодной воды (рис. 15.18);

**схема 2** – одноканальная трехтрубная с вводом к ЭКД или КД холодного первичного воздуха, горячей и холодной воды (рис. 15.19);

**схема 3** – одноканальная четырехтрубная с

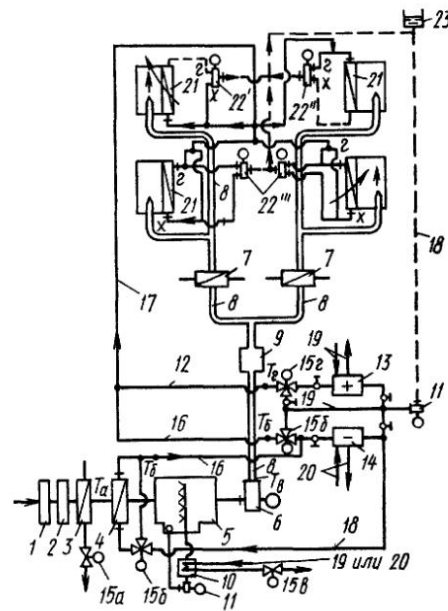


Рис. 15.18. Схема центральной одноканальной двухтрубной эжекционной СКВ с вводом к ЭКД по сезонно холодного воздуха и горячей воды или теплого воздуха и холодной воды

1 – приемный клапан наружного воздуха, 2 – фильтр; 3 – воздухонагреватель, 4 – охладитель воды для холодного периода года, 5 – форсуночная камера орошения, 6 – вентилятор; 7 – зональные воздухонагреватели побрасадного подогрева; 8 – воздуховоды, 9 – шумоглушители, 10 – водоохладитель или водонагреватель, 11 – насос, 12 – трубопровод горячей воды; 13 – водоподогреватель, 14 – охладитель воды для теплого периода года, 15 – автоматические клапаны регуляторов температуры  $T_a$ ,  $T_b$ ,  $T_c$ ,  $T_d$ ; 16 – трубопровод холодной воды; 17 – трубопровод по сезонно горячей или холодной воды; 18 – трубопровод отработавшей воды, 19 – трубопровод теплоносителя, 20 – трубопровод хладоносителя, 21 – теплообменник, 22 – клапан регулятора РТК-5215-ТС-15; 23 – расширитель

вводом к ЭКД или КД холодного первичного воздуха, горячей и холодной воды (рис. 15.20);

**схема 4** – двухканальная с вводом к ЭКД или КД теплого и холодного первичного воздуха и холодной воды (комбинируется из схем, показанных на рис. 15.16 и 15.18).

Регулирование температуры точки росы во всех схемах при использовании охладителя воды 4 в холодный период года производится клапаном 15 $\alpha$ , изменяющим расход теплоты, подводимой к водоподогревателю 10, так как обычно используемый для регулирования точки росы воздухонагреватель 3 должен управляться терморегулятором  $T_a$  для поддержания температуры +3°C перед охладителем 4.

Двухканальные водовоздушные СКВ по-

\* Карпик В. Е. Расчет однотрубной системы ходоснабжения эжекционных доводчиков // Водоснабжение и сан. техника. – 1975. – № 5.

\*\* Кокорин О. Я. и др. Кондиционирование воздуха в многоэтажных зданиях. – М.: Стройиздат, 1981.

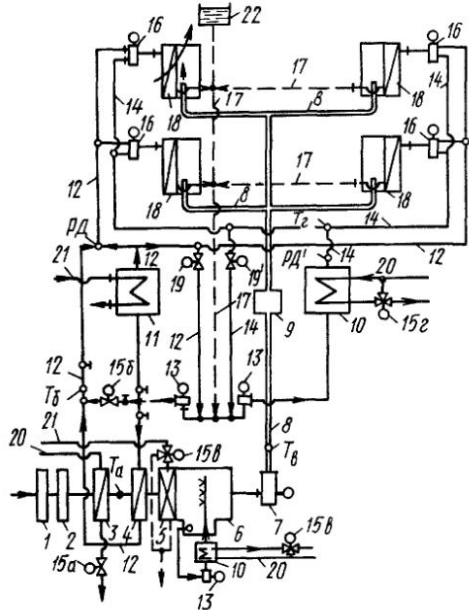


Рис. 15.19. Схема центральной одноканальной трехтрубной эжекционной СКВ с вводом к ЭКД холодного первичного воздуха, горячей и холодной воды.

1 – приемный клапан наружного воздуха; 2 – фильтр; 3 – воздухонагреватель; 4 – охладитель воды для холодного периода года; 5 – воздухоохладитель; 6 – форсуночная камера орошения; 7 – вентилятор; 8 – воздуховоды; 9 – шумоглушитель; 10 – водоподогреватель; 11 – охладитель воды для теплого периода года; 12 – трубопровод горячей воды; 13 – насос; 14 – трубопровод горячей воды; 15 – автоматические клапаны регуляторов температуры  $T_a$ ,  $T_b$ ,  $T_c$ ,  $T_d$ ; 16 – трехходовой несмешивающий клапан; 17 – трубопровод обратной воды; 18 – теплообменник ЭКД; 19 и 19' – автоматический клапан регулятора давления РД и РД'; 20 – трубопровод теплоносителя; 21 – трубопровод хладоносителя; 22 – расширитель

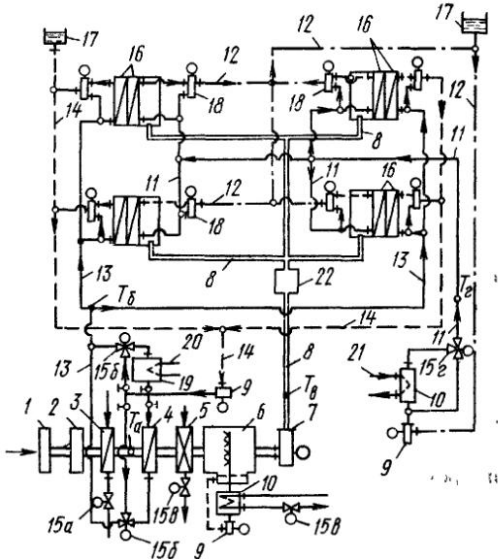


Рис. 15.20. Схема центральной одноканальной четырехтрубной эжекционной СКВ с вводом к ЭКД холодного первичного воздуха, горячей и холодной воды

1 – приемный клапан; 2 – фильтр; 3 – воздухоподогреватель; 4 – охладитель воды для холодного периода года; 5 – воздухоохладитель; 6 – форсуночная камера орошения; 7 – вентилятор; 8 – воздуховод; 9 – насос; 10 – водонагреватель; 11 – трубопровод горячей воды; 12 – трубопровод отработавшей горячей воды; 13 и 14 – трубопроводы холодной и отработавшей холодной воды; 15 – автоматические клапаны регуляторов температуры  $T_a$ ,  $T_b$ ,  $T_c$ ,  $T_d$ ; 16 – эжекционные кондиционеры-доводчики с воздухоохладителем и воздухонагревателем; 17 – расширитель; 18 – клапан регулятора РТК-5215 2ТС-15; 19 – охладитель воды для теплого периода года; 20 – трубопровод с холодильной станцией; 21 – трубопровод теплоносажбия; 22 – шумоглушитель

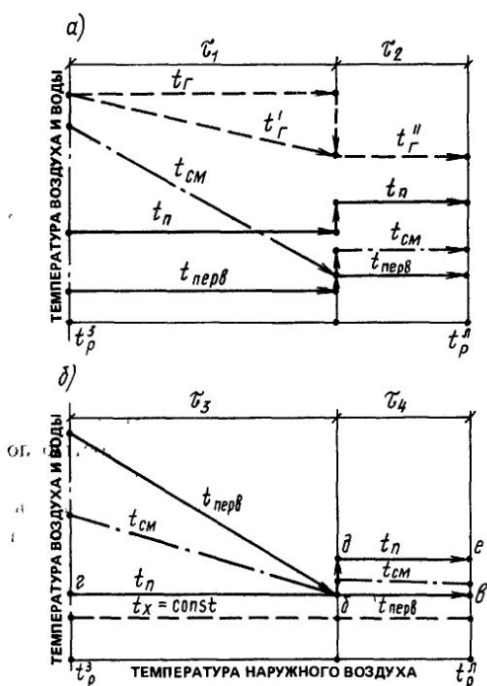
дают воздух по двум воздуховодам – охлажденного и подогретого воздуха. Подогрев воздуха рассчитывается так, чтобы обеспечить максимальную потребность помещений в теплоте в холодный период года. Терморегуляторы помещений управляют смесительными клапанами, изменяющими соотношение холодного и подогретого воздуха, вводимого в каждое помещение, а холодная вода в холодный период года в теплообменники ЭКД или КД не подается. В теплый период в теплообменники подается холодная вода по двухтрубной схеме, и терморегуляторы помещений после полного открытия клапана холодного воздуха включают и регулируют расход холодной воды.

При снабжении ЭКД и КД одноканальных СКВ горячей и холодной водой применяют

следующие графики регулирования их работы:

- 1) график на рис. 15.21, а при двухтрубной схеме 1а с постоянным снабжением доводчиков холодным воздухом и горячей водой. В течение периода  $t_1$  вода имеет постоянную  $t_r$  или неизначительно меняющуюся температуру  $t_r'$ . В течение периода  $t_2$  температура воды поддерживается на уровне  $t_r''$ . Температуры первично-го воздуха  $t_{\text{пер}}$  и воздуха помещения  $t_n$  изменяются при переходе от холодного к теплому периоду года. Температура смеси первично-го воздуха и воздуха, подогретого в доводчике,  $t_m$  устанавливается терморегуляторами-доводчиками; на графике в период  $t_1$  показан характер средних ее изменений, а в период  $t_2$  – возможная минимальная величина.

В теплый период года ассимиляция избы-



точной теплоты производится первичным воздухом; при этом приходится применять центральные кондиционеры и воздуховоды больших размеров;

2) график на рис. 15.21, б при двухтрубной схеме 16 со снабжением доводчиков теплым воздухом и холодной водой в рабочее время.

Температуру первичного воздуха  $t_{\text{пер}}$  регулируют по ломаной  $a-b-c$ , а температуру холода воды  $t_x$  поддерживает постоянной. Температура помещения  $t_n$  изменяется по ломаной  $g-b-d-e$ , а температура смеси  $t_{\text{см}}$  первичного воздуха и воздуха, охлажденного в доводчике, регулируется терморегуляторами доводчиков; на графике показан характер средних изменений этой температуры.

Охлаждение воды в холодный период года целесообразно производить наружным воздухом, предварительно подогретым до  $+3^{\circ}\text{C}$ . Температура помещений регулируется автоматически путем изменения расхода воды, поступающей в кондиционеры-доводчики, или вручную — изменением расхода воздуха, пропускаемого через их теплообменники;

3) график на рис. 15.21, в при двух-, трех- и четырехтрубной схемах. В период  $\tau_1$  темпе-

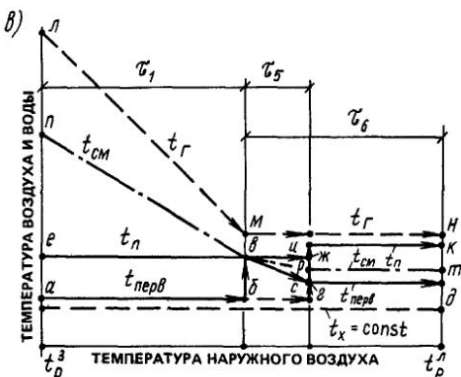


Рис. 15.21 Графики изменения температуры первичного воздуха, холодной и горячей воды, поступающих к доводчикам одноканальных СКВ, поддерживающих в помещениях температуру воздуха

а для двухтрубной схемы с постоянным снабжением доводчиков холодным и теплым воздухом и холодной водой, б для двухтрубной схемы со снабжением доводчиков теплым воздухом и холодной водой в рабочее время, в — для двухтрубных схем,  $t_r$ ,  $t_n$ ,  $t_p$  — температура горячей воды,  $t_{\text{пер}}$  — температура первичного воздуха,  $t_{\text{см}}$  — температура смеси первичного и подогретого в теплообменнике вторичного воздуха,  $t_n$  — температура воздуха в помещении,  $t_p$  и  $t_{\text{п}}$  — расчетная температура наружного воздуха для холодного и теплого периодов года,  $t_r$  — температура холода воды, подаваемой к теплообменникам,  $t_1$  — период отопления помещения калорифером доводчика и охлаждения помещения,  $t_2$  — период нахождения помещения первичным воздухом,  $t_3$  — период отопления помещения первичным воздухом и охлаждения помещения при необходимости воздухоохладителем доводчика,  $t_4$  — период охлаждения помещения первичным воздухом и воздухоохладителем доводчика,  $t_5$  — период, характерный для двухтрубных схем, переключаемых посезонно на снабжение доводчиков холода и горячей воды,  $t_6$  — период охлаждения помещений, обслуживаемых по трех- и четырехтрубным схемам, первичным воздухом и воздухоохладителями доводчиков

ратура горячей воды  $t_r$  изменяется приблизительно по закону прямой линии, а в период  $\tau_6$  поддерживается постоянной. Температура холода воды  $t_x$  поддерживается постоянной в течение всего года.

Температуру первичного воздуха для двухтрубной схемы, переключаемой посезонно на снабжение холода и горячей водой, изменяют, как показано ломаной  $a-b-c-g-d$ , подогревая воздух в течение периода  $\tau_5$  в пофасадных воздухонагревателях (см. 7 на рис. 15.18). Одновременно в начале периода  $\tau_5$  в теплообменники доводчиков включается холода вода, а в конце этого периода прекращается подогрев воздуха пофасадно. В результате в период  $\tau_5$  помещения, в которых имеются недостатки теплоты, подогреваются первичным воздухом, а помещения с теплоизбытками

охлаждаются теплообменниками доводчиков. Однако этот процесс сопровождается перерасходом теплоты и холода.

В одноканальных системах, снабжаемых теплотой и холдом по трех- и четырехтрубным схемам (см. рис. 15.21, в), первичный воздух приготвляется как показано ломаной  $a-b-c-g-d$ : подъем температуры  $c-2$  соответствует изменению точки росы первичного воздуха при изменении параметров в помещении от принятых для холодного периода года до принятых для теплого периода. Температуры в помещениях представлены линией  $e-2-j-k-i-k$ , горячей воды —  $l-m-n$ , смеси первичного воздуха и воздуха, прошедшего теплообменники, —  $p-q-r-t$ .

В снабжении помещений холдом рассматривают два периода: *первый* — свободного охлаждения, когда для охлаждения помещения достаточно холода, вносимого воздухом из центрального кондиционера; *второй* — период принудительного охлаждения, когда требуется подача холдной воды в доводчики.

Чем ниже температура первичного воздуха в холодное время года, тем продолжительнее первый период. Если первичный воздух подается в объеме, регламентируемом санитарными нормами, то снижение его температуры в холодное время года приводит к снижению эксплуатационных затрат и увеличению первого периода. При всех схемах тепло- и холодоснабжения (кроме двухтрубной, питаемой в рабочее время в течение всего года холдной водой) температуру первичного воздуха в холодное время года стремятся поддерживать возможно более близкой к температуре точки росы, необходимой для обеспечения заданной относительной влажности воздуха в помещениях. Начальную температуру холдной воды  $t_{v,n}$  для доводчиков выбирают такой, чтобы в их теплообменниках не выпадал конденсат, как правило, на  $1-2^{\circ}\text{C}$  выше температуры точки росы воздуха помещений.

### 15.3.7. Местные системы кондиционирования воздуха

Системы с кондиционерами, устанавливаемыми внутри или в непосредственной близости к обслуживаемым помещениям, называются **местными**. Они, как правило, имеют производительность до 20 тыс.  $\text{м}^3/\text{ч}$  и могут быть

построены по любой из схем приготовления воздуха, применяемых для центральных систем, но в большинстве случаев схемы упрощают и применяют готовые агрегатированные кондиционеры.

Промышленность выпускает автономные кондиционеры типа КПА1 производительностью по воздуху 2,2; 3,5; 4,4; 7 и 11 тыс.  $\text{м}^3/\text{ч}$ , холодопроизводительностью 11; 17,6; 22; 32 и 51 кВт.

Кондиционеры имеют электрические калориферы 2-го подогрева, которые по заказу могут быть дополнены водяными, и паровые увлажнители радиационного типа. Конденсаторы холодильных машин охлаждаются водой.

Выпускаются также неавтономные кондиционеры серии КНБ производительностью по воздуху 3,15; 6,3; 10 и 20 тыс.  $\text{м}^3/\text{ч}$ .

За рубежом распространены системы с автономными кондиционерами, которые имеют теплообменники непосредственного испарения и встроенные холодильные машины. Для снижения шума некоторые автономные кондиционеры выпускают в виде двух агрегатов — внутреннего и наружного. Внутренний состоит из вентилятора, воздухоохладителя-испарителя и увлажнителя воздуха. Наружный агрегат устанавливают вне обслуживаемого помещения; он состоит из холодильного компрессора и воздушного конденсатора хладагента. Агрегаты связаны между собой трубопроводами хладагента длиной, как правило, не более 10 м.

Автоматизация местных систем часто сводится к двухпозиционному включению или отключению кондиционера или к отключению и включению его теплообменников.

Недостатки местных систем: повышенный шум, создаваемый работой вентиляторов и холодильных машин, затруднительность обслуживания большого числа агрегатов, а также сравнительно короткий срок службы местных кондиционеров (в среднем 7 лет) по сравнению с центральными системами, срок службы которых 20 лет.

Наиболее дешевыми по первоначальной стоимости являются СКВ с местными вентиляторными неавтономными кондиционерами\*

\* Кокорин О. Я., Урушидзе Г. В. Воздушный режим в зданиях при применении местных вентиляторных кондиционеров // Водоснабжение и сантехника. — 1975. — № 5.

и непосредственным забором санитарной нормы наружного воздуха. Одно из условий эффективного применения таких систем обеспечение надежного поступления воздуха, которое зависит от температуры и влажности наружного и внутреннего воздуха, давления ветра, эгажности здания, давления вентилятора кондиционера и механической вытяжной вентиляции из помещений. Анализ совместного влияния перечисленных факторов на условия поступления наружного воздуха через отверстия в стене можно осуществить моделированием с использованием электроаналоговой установки. Исследовано 21-этажное здание типа гостиницы для климатических условий Тбилиси, где применена система кондиционирования воздуха с неавтономными кондиционерами с непосредственным забором наружного воздуха через отверстия в стене здания.

В результате исследований установлено:

1) применение СКВ с местными вентиляторными кондиционерами в зданиях повышенной этажности не обеспечивает постоянного и равномерного по высоте здания поступления санитарной нормы наружного воздуха при круглогодичной работе системы;

2) в зданиях повышенной этажности для СКВ с местными вентиляторными кондиционерами следует применять централизованную подачу санитарной нормы наружного воздуха,

3) в СКВ с непосредственным приемом наружного воздуха через местные вентиляторные агрегаты надежно обеспечивают поступление санитарной нормы наружного воздуха в зданиях высокой только до четырех этажей;

4) в зданиях повышенной этажности регулирование поступления наружного воздуха через отверстия в наружных ограждениях путем усиления вытяжной вентиляции с искусственным побуждением не дает положительных результатов;

5) в зданиях до восьми этажей обеспечивается поступление санитарной нормы наружного воздуха при устройстве вытяжки с искусственным побуждением.

### 15.3.8. Комбинированные системы

СКВ, работающие совместно с системами лучистого охлаждения и отопления, местного доувлажнения воздуха и другими местными

устройствами, называют **комбинированными**.

Системы панельного охлаждения в холодный период года используются для отопления. СКВ асимилируют влаговыделения и подают в помещения обработанный воздух при расходе, удовлетворяющем требования санитарных норм, а системы панельного охлаждения отводят теплоизбытки. Доля явной теплоты, отводимой панельным охлаждением, ограничивается минимальной допустимой температурой точки росы на охлаждаемых поверхностях.

Применение панельного охлаждения позволяет сократить холодильные нагрузки на системы кондиционирования воздуха, уменьшить воздухообмены и снизить капитальные и эксплуатационные расходы. Такие комбинированные СКВ применяют главным образом в помещениях с незначительными влаговыделениями, когда отсутствует опасность образования конденсата на поверхностях лучистого охлаждения.

В качестве приборов радиационного охлаждения используются бетонные потолки с заделанными в них трубами или потолки из листового металла (алюминия) с присоединенными змеевиками из труб. Радиационные приборы обычно рассчитывают на восприятие 40–50% явной тепловой нагрузки помещений; температура их поверхности должна быть на 2–3 °C выше температуры точки росы воздуха в помещении. Регулирование параметров воздуха производят местными подогревателями СКВ. Применяют также постепенное пропорциональное регулирование охладительной способности радиационных приборов (обычно в зависимости от наружных условий). Комбинированное использование панельного охлаждения и СКВ экономит площадь помещений для размещения оборудования систем. Недостатки панельного охлаждения: повышенная металлоемкость и стоимость панелей; большая трудоемкость их монтажа, вызванная необходимостью тщательного исполнения сварных соединений; повышенная тепловая инерционность и, следовательно, замедленная отзывчивость на изменения тепловых нагрузок.

Применение комбинированных систем с форсунками местного доувлажнения в цехах, в которых требуется поддерживать высокую влажность воздуха, весьма экономично, так как существенно уменьшает расходы воздуха, теплоты, холода и электроэнергии.

### 15.3.9. Системы кондиционирования воздуха для термоконстантных помещений

В термоконстантных помещениях создают условия, стабилизирующие линейные размеры обрабатываемых деталей и мерительного инструмента в пределах, не превышающих заданных. Например, допустимое отклонение температуры воздуха при измерении бронзового кольца диаметром  $d = 0,8$  м с точностью  $\Delta l = 12$  мкм, имеющего коэффициент линейного расширения  $a = 23,8$  мкм/(м $\cdot$ °С), не должно превышать  $\Delta t = 12 \cdot 10^{-6} / (0,8 \cdot 23,8 \times 10^{-6}) = 0,6$  °С, что соответствует допустимым колебаниям температуры от среднего уровня  $\pm 0,3$  °С.

Термоконстантные лаборатории и предприятия прецизионного приборостроения в зависимости от точности поддержания температуры делятся на четыре группы.

В помещениях 1-й группы, где допустимы отклонения температуры  $\pm 1$  до  $\pm 2$  °С, а иногда и 2-й группы при отклонении  $\pm 0,5$  °С кондиционирование воздуха может быть осуществлено многозональными СКВ, описанными ранее, если тщательно продумать разбивку помещений на зоны соответственно распределению тепловых нагрузок, особенно для помещений 2-й группы, и предусмотреть воздухораспределители, обеспечивающие равномерность параметров в этих зонах. В точке установки датчика поддержание температуры с отклонениями в пределах  $\pm 0,3 - 0,5$  °С не представляет значительных трудностей, но на некоторых расстояниях от датчика отклонения температуры зависят от взаимодействия тепловых воздушных потоков, в результате чего отклонения существенно увеличиваются.

Для достижения заданной точности поддержания температур в помещениях 3-й и 4-й групп (допустимые отклонения  $\pm 0,1$ ,  $\pm 0,2$  °С и  $\pm 0,03$  до  $0,05$  °С) необходимо кондиционируемое помещение заключать внутрь другого помещения – в оболочку.

**Б. В. Ловцов\*** для повышения точности и

\* Ловцов Б. В. Системы прецизионного кондиционирования воздуха.–Л.: Стройиздат, 1971,

Ловцов Б. В. Кондиционирование воздуха в прецизионных цехах и лабораториях.–М.: Машиностроение, 1977

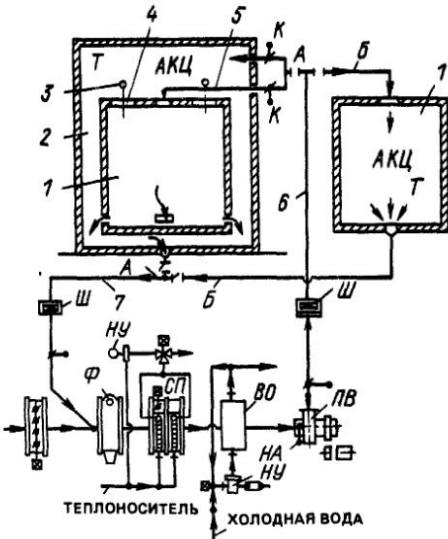


Рис. 15.22 Центральная система кондиционирования воздуха для термоконстантных помещений, регулируемых внешним генератором тепловых колебаний (помещение присоединяется по схеме А) или внутренним генератором тепловых колебаний (присоединение по схеме Б)

1 – термоконстантное помещение, 2 – вспомогательное помещение-оболочка, 3 – светильник, 4 – остекленный проем, 5 – приточный воздуховод, 6 – рециркуляционный воздуховод, 7 – отверстие к помещению, АКЦ – автоматический регулятор циклов (остальные обозначения см в табл. 15.10)

упрощения системы регулирования СКВ 3-й и 4-й групп предложил применять периодическое охлаждение – нагревание воздуха термоконстантных помещений, вызывающее гармонические тепловые колебания температуры и количества аккумулированной теплоты в воздухе, ограждениях помещений и в установленном оборудовании.

СКВ, работающие по этому принципу, делятся на два вида:

1) системы с внешним генератором тепловых колебаний, расположенным за ограждениями кондиционируемого объекта (в оболочке), рассчитываемые на затухание создаваемых снаружи тепловых колебаний и присоединяемые к кондиционеру по схеме А (рис. 15.22);

2) системы с внутренним генератором тепловых колебаний создают колебания непосредственно в кондиционируемом объеме и присоединяются к кондиционеру по схеме Б (рис. 15.22).

Системы с внешним генератором тепло-

вых колебаний применяют в тех случаях, когда в помещениях практически отсутствуют выделения теплоты, например при исследовании оптических систем, нарезке дифракционных решеток и делении шкал измерительных приборов. Системы с внутренним генератором тепловых колебаний могут применяться при небольших тепловыделениях, например при сборке приборов, станков и доводке их деталей.

Термоконстантные помещения с внешним генератором тепловых колебаний должны освещаться только искусственным светом — светильниками, расположенными внутри оболочки и охлаждаемыми водой (или воздухом), отводящей теплоту за пределы оболочки. Приводы механизмов должны находиться за пределами обслуживаемого помещения, а операции, в течение которых колебания температуры должны быть в пределах  $\pm 0,05^\circ$ , следует производить автоматами. На это время люди должны выйти из помещений и выключить свет.

В период подготовки и наладки технологического оборудования в помещение можно подавать небольшое количество воздуха от кондиционера, определяемое максимальными избытками явной теплоты и рабочей разностью температур  $\Delta t_p = 1^\circ$ . При включении технологического оборудования на автоматическую работу приток воздуха в помещение I прекращается и через 2–2,5 ч колебания температуры могут быть уменьшены до заданных. В это время воздух подается только во вспомогательное помещение 2, где терморегулятором Т поддерживается температура  $20 \pm \Delta t$ , причем  $\Delta t$  определяется расчетом затухания температуры в ограждениях, отделяющих помещения I от оболочки 2, и составляет обычно 0,2–0,5  $^\circ\text{C}$ .

Терморегулятор Т управляет воздухоохладителем ВО и воздухонагревателем СП с помощью трехходовых клапанов, установленных перед насосами НУ. Гармонические колебания создаются попеременным включением и выключением насосов автоматическим корректором циклов АКЦ. Кондиционеры в обоих случаях собираются по одинаковой схеме и, как правило, работают с минимальным и постоянным расходом наружного воздуха, который охлаждается поверхностными воздухоохладителями ВО и нагревается воздухонагревателями СП,

снабженными отдельными циркуляционными насосами для обеспечения плавного регулирования температуры.

### 15.3.10. Системы кондиционирования воздуха для особо чистых помещений

Процессы производства полупроводников, точной оптики и механики и многие другие требуют высокой чистоты воздуха. Для ведения этих процессов необходимы специальные помещения, оборудованные сложными и надежными устройствами для обеспыливания и кондиционирования воздуха.

Пыль вносится в помещения с наружным воздухом, подаваемым СКВ, а также через двери и окна обслуживаемых помещений и генерируется работающими людьми и оборудованием.

По ОСТ 1114.3302–87, воздух помещений по предельному содержанию в нем пыли диаметром 0,5 мкм и более в 1 л воздуха подразделяется на три класса: I класс — не более 3,5 пылинок в 1 л, при чем пылинки диаметром 5 мкм и более должны полностью отсутствовать; II класс — 350 пылинок; при содержании пылинок диаметром 5 мкм и более до 2,3 шт.; III класс — 3500 пылинок; при содержании пылинок диаметром 5 мкм и более до 24,5 шт.

По данным И. П. Куприянова\*, к естественным «источникам аэрозольных частиц» относятся бактерии и вирусы, продукты жизнедеятельности животных, насекомых, растений, споры, пыль, образующаяся в результате эрозии почвы, солевые и другие остатки брызг воды, туман, дисперсный дым пожарищ и вулканов, космическая пыль. Все эти источники генерируют частицы независимо от деятельности людей». Главный источник пыли в помещении — деятельность людей: один человек генерирует за 1 мин от  $10^5$  до  $3 \cdot 10^7$  частиц пыли диаметром 0,3 мкм и более, например медленная ходьба человека сопровождается выделением  $5 \cdot 10^6$ , а быстрая —  $10^7$  пылинок. Но пыль выделяется также оборудованием: частицы смазочных материалов, паяльные флюсы, клей, продукты коррозии и др.

\* Куприянов И. П. Технологический микроклимат. — М.: Сов. радио, 1976.

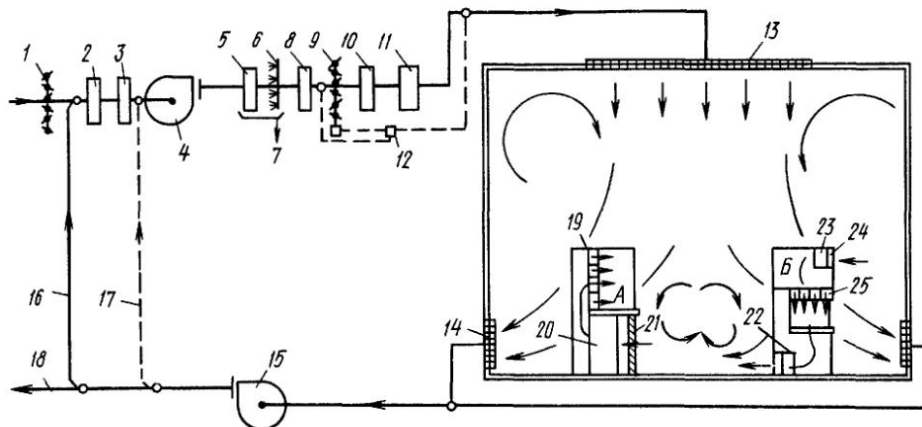


Рис. 15.23. Центральная система кондиционирования воздуха для чистых помещений

*А и Б*—местные обессылающие установки; 1—клапан, 2—фильтр грубой очистки, 3—воздухоподогреватель первого подогрева; 4, 20, 22, 23—вентиляторы, 5—воздухоохладитель, 6—увлажнитель, 7—дренаж, 8—воздухоподогреватель второго подогрева; 9—клапан, 10, 21, 24—промежуточные фильтры, 11, 19, 25—абсолютные фильтры, 12—регулятор давления, 13—воздухораспределитель; 14—вытяжная решетка; 15—рециркуляционно-вытяжной вентилятор; 16 и 17—варианты положения рециркуляционного воздуховода, 18—воздуховод для выброса воздуха

По массе частицы пыли диаметром менее 5 мкм составляют только 7% всей содержащейся в воздухе пыли, а по количеству частиц — более 98%; эта часть пыли особенно вредна для точных производств.

Загрязнение наружного воздуха в сельской местности составляет 0,05–0,5 мг/м<sup>3</sup>, в городских районах — 0,1–1 и в промышленных центрах — 0,2–5 мг/м<sup>3</sup>.

Для борьбы с пылью в особо чистых помещениях применяют специальные системы кондиционирования с многократными рециркуляцией и фильтрацией воздуха (рис. 15.23). В СКВ воздух сначала проходит фильтр грубой очистки 2, промежуточный фильтр 10, а затем фильтр тонкой очистки с тканью Петрянова 11, где улавливаются частицы пыли размером до 0,3–0,5 мкм. Чистый воздух поступает в помещения через безвихревые воздухораспределители, плафоны, перфорированные стены или потолки и решетки.

Воздух удаляется через решетки у пола 14 вентилятором 15, направляющим часть воздуха на повторную обработку в кондиционер по воздуховоду 16 или 17, а остаток — в атмосферу по воздуховоду 18. Такие системы могут снизить запыленность воздуха в помещении до 1,75 тыс. пылинок в 1 л, так как в помещении возникают зоны с повышенной турбулентностью, где поднимается пыль, и застойные

зоны, в которых оседают пылевые частицы размером до нескольких сотен микрон. Для создания в помещении рабочих мест с более высокой чистотой воздуха устанавливают камеры или боксы *А* и *Б* (см. рис. 15.23), в которых воздух проходит дополнительную очистку. В боксы встроены вентиляторы 20, 22 и 23 и воздушные фильтры — промежуточные 21 и 24 и абсолютные 19 и 25.

Для обеспечения более высокой чистоты воздуха применяют системы с ламинарным потоком воздуха (рис. 15.24). Воздух подается в чистое помещение через очень большую поверхность, например через потолок (помещение *А*) или стены (помещение *Б*), а удаляется через всю поверхность пола или противоположную стену. Приточный воздух предварительно очищается от пылинок размером 0,3–0,5 мкм и более. Здесь также возможна частичная турбулизация приточных струй при встрече с препятствиями, однако нарушения основного направления потока невелики, если в поперечном сечении помещения воздух движется со средней скоростью  $0,45 \pm 0,1$  м/с, что соответствует подаче  $1620 \pm 360 \text{ м}^3/\text{ч}$  на 1 м<sup>2</sup> общей площади потолка или стены помещения, и когда в помещении высотой 3 м создается обмен воздуха около 500 1/ч. При уменьшении средней скорости потока до 0,35 м/с, т. е. при подаче воздуха  $1260 \text{ м}^3/(\text{м}^2 \cdot \text{ч})$ , возникающие в помеще-

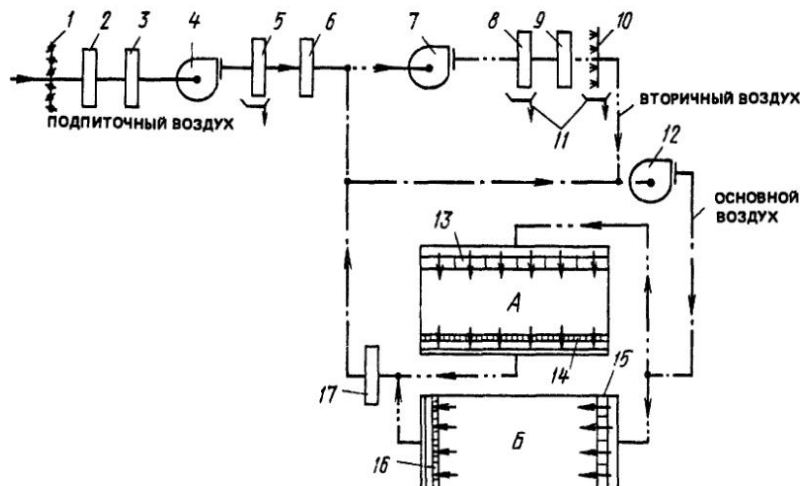


Рис. 15.24. Центральная система кондиционирования воздуха для чистых помещений с ламинарным потоком воздуха

*А* и *Б*—чистые помещения соответственно с вертикальным и поперечным ламинарным потоком воздуха; 1 клапан, 2 фильтр грубой очистки; 3, 17 промежуточные фильтры; 4, 7, 12 вентиляторы; 5, 8 воздухоохладители; 6, 9 воздухонагреватели; 10—увлажнитель; 11—дренаж; 13, 15 абсолютные фильтры; 14—решетчатый пол; 16—вытяжное устройство

ния загрязнения частично отклоняются от направления основного потока. При увеличении подачи воздуха до  $1960-2130 \text{ м}^3/(\text{м}^2 \cdot \text{ч})$  еще более повышается чистота воздуха в помещении.

Системы с подачей воздуха через потолок (помещение *A* на рис. 15.24) и удалением воздуха через пол более совершенны, чем системы с горизонтальной подачей воздуха (помещение *B*). Абсолютные фильтры 13 обычно устанавливают перед распределительными потолочными панелями. Пыль, образующаяся в помещении, уносится вниз. В помещениях с такой схемой очистки воздуха уровень запыленности может быть снижен до требований I класса.

В помещении с поперечным ламинарным потоком воздуха (помещение *B* на рис. 15.24) запыленность увеличивается на участках, прилегающих к стене, в которой расположены приемные решетки. Исследованиями такой схемы было установлено, что в помещении длиной около 35 м и при числе работающих более 50 чел. уровень запыленности был не постоянен и в «грязном» конце помещения колебался от 3,5 до 2100 пылинок в 1 л воздуха. Этот способ очистки воздуха легче осуществим и поэтому применяется в помещениях промышленных объектов, если по технологическому процессу

более чистые операции располагаются в «чистом» конце помещения, а операции, допускающие большие загрязнения,—в токе удаляемого воздуха.

В чистых помещениях должно поддерживаться избыточное статическое давление не менее 12 Па, в том числе и при открывании двери в смежное помещение.

Постоянная температура в чистых помещениях поддерживается в зависимости от технологических требований, как правило, для обеспечения комфорта работающим (табл. 15.10). Постоянство влажности необходимо для защиты материалов, изделий и инструмента от коррозии, предотвращения выпадения влаги на рабочих поверхностях и снижения зарядов статического электричества. Коррозия точно обработанных поверхностей существенно усиливается при относительной влажности воздуха более 50%, а образование статического электричества на этих поверхностях—при 40% и менее. Статические заряды способствуют притяжению взвешенных частиц и могут привести к повышению концентрации пыли в зоне обработки деталей до недопустимых пределов.

Для тонкой очистки воздуха следует применять фильтры, улавливающие пылевые час-

ТАБЛИЦА 15.10. ПАРАМЕТРЫ ВОЗДУХА В ОСОБО ЧИСТЫХ ПОМЕЩЕНИЯХ

Параметры	Место измерения	
	в пределах помещения	в точке регулирования
Температура, °С	20–26	22
Допустимые отклонения; °С:		
обычные		±2
предельно точные		±0,5
Относительная влажность, %	40–55	45
Допустимые отклонения; %:		
обычные		±5
предельно точные		±2

тицы размером более 0,3 мкм при общем коэффициенте очистки до 99,97%.

**Пример 15.1.** Определить производительность СКВ для особо чистого помещения *A*, снабжаемого воздухом по схеме на рис. 15.24. Площадь помещения 100 м<sup>2</sup>, высота 3 м, объем 300 м<sup>3</sup>. Теплоприбытки составляют 23,2 Вт/м<sup>3</sup>.

**Решение.** Принимаем скорость «ламинарного» потока воздуха сверху вниз, равную 0,45 м/с, что соответствует расходу воздуха 1620 м<sup>3</sup>/ч на 1 м<sup>2</sup> площади помещения или 540 воздухообменам в 1 ч.

Рабочая разность температур составляет

$$\Delta t = \frac{23,2 \cdot 3}{1,2 \cdot 1620 \cdot 0,278} = 0,13^{\circ}\text{C}.$$

Производительность вентилятора 12 (см. рис. 15.24) основного потока воздуха  $1620 \cdot 100 = 162000 \text{ м}^3/\text{ч}$ . Мощность, затрачиваемая им на перемещение воздуха, согласно расчету, равна 28 кВт. Производительность вентилятора вторичного потока 7 при рабочей разности температур  $7^{\circ}\text{C}$  должна быть равна:

$$L = \frac{23,2 \cdot 300 + 28000 + 10000}{7 \cdot 0,278 \cdot 1,2} = 19250 \text{ м}^3/\text{ч}.$$

Здесь учтены переходящие в теплоту мощности, затрачиваемые на перемещение воздуха в вентиляторах 12 и 7, соответственно 28 и 10 кВт.

Производительность вентиляторов 4 (см. рис. 15.24) принимается из расчета создания

подпора в помещении и всей системе  $5 \cdot 300 = 1500 \text{ м}^3/\text{ч}$ , или  $0,417 \text{ м}^3/\text{с}$ , на что расходуется вентилятором 0,8 кВт. В системе имеются воздухоохладитель 5 для охлаждения наружного воздуха, имеющего энтальпию 60 кДж/кг, и воздухоохладитель, снижающий эту энтальпию до энтальпии внутреннего воздуха в помещении 48 кДж/кг, на что расходуется  $(60 - 48) 0,417 \cdot 1,2 = 6 \text{ кВт}$ . Общая нагрузка на воздухоохладитель 5 составляет  $6 + 0,8 = 6,8 \text{ кВт}$ , а воздухоохладитель 8  $\frac{23,2 \cdot 300}{1000} + 28 + 10 = 44,96 \text{ кВт}$ .

Следует отметить, что 84,5% всей тепловой нагрузки на воздухоохладитель дают вентиляторы.

### 15.3.11. Индивидуальное кондиционирование воздуха

Для индивидуального охлаждения головных шлемов, жилетов, скафандром и другой производственной одежды применяют вихревые трубы, предложенные инженером-металлургом Ранком в 1933 г. и запатентованные во Франции и США. Теория процесса разработана и опубликована в США в 1945 г. Хильшем. Аппараты, в которых используется эффект Ранка, в настоящее время называют трубами Ранка, трубами Хильша, вихревыми трубами или вихревыми холодильниками.

В левый конец трубы диаметром 32 мм и длиной 250 мм через тангенциально расположенные сопла, образующие вместе с распределительным кольцом своеобразную турбину без вращающихся частей, подается сжатый профилtrированный и осущененный воздух с давлением 70 МПа и температурой 28 °С. На этом же конце трубы имеется выходное отверстие, сечение которого заранее рассчитано. В правом конце трубы также имеется выходное отверстие, снаженное регулировочным клапаном. Воздушный поток приобретает вначале частоту вращения около  $5 \cdot 10^5$  об/мин, затем частота вращения достигает  $5 \cdot 10^6$  об/мин. Через центрально расположенное левое отверстие выходит охлажденный воздух с температурой около 5 °С, а через правое отверстие – горячий воздух с температурой 132 °С. Соотношение количеств воздуха, вытекающего через отверстия, регулируется клапаном: обычно холодного воздуха получается 75%, а горячего – 25%.

Фултон (США) объясняет эффект Ранка следующим образом. Поступающий в трубу по касательной поток сжатого воздуха выходит из сопел, образует почти свободный вихрь, угловая скорость вращения которого мала у периферии и весьма велика у оси. Трение между слоями воздуха приводит к тому, что скорость вращения всей массы воздуха стремится к выравниванию, т. е. по мере движения воздуха вдоль трубы во внутренних его слоях скорость падает, а во внешних возрастает. Совершается работа, направленная от центра к периферии. В то же время от внешних слоев к внутренним, имеющим вследствие расширения более низкую температуру, передается теплота. Однако поток теплоты по своей величине меньше количества передаваемой кинетической энергии. Внешние слои, получая большее кинетической энергии, чем отдываемое ими количество теплоты, вследствие трения повышают свою температуру, т. е. избыток энергии вызывает нагрев воздуха, поступающего из клапана. Поток воздуха сильно турбулизирован, скорость вихря превышает скорость звука. Низшая достижимая температура холодного воздуха может быть определена из уравнения

$$T_2/T_1 = (P_2/P_1)^{(k-1)k}, \quad (15.48)$$

где  $T_1$  и  $T_2$  — абсолютная температура, К, подводимого к трубе воздуха и холодного воздуха, уходящего из трубы;  $P_1$  и  $P_2$  — давление, МПа, подводимого к трубе воздуха и холодного воздуха, уходящего из трубы;  $k = c_p/c_v$  — показатель адиабаты;  $c_p$  и  $c_v$  — удельные теплоемкости воздуха при постоянных давлениях и объеме.

Недостатки вихревых труб — низкий коэффициент полезного действия и значительная потребность в сжатом воздухе. Поэтому эти трубы используются пока только в небольших лабораторных установках, а также для охлаждения производственных костюмов. Рабочий горячего цеха одевает покрытый алюминиевой краской защитный костюм с прикрепленной к поясному ремню вихревой трубой. Труба присоединена гибким шлангом к источнику сжатого воздуха. Холодный воздух, выходящий из трубы, поступает к шлему, горячий воздух выбрасывается в цех. Степень охлаждения воздуха изменяется с помощью выпускного клапана.

На одного рабочего расходуется 360–900 м<sup>3</sup>/ч сжатого воздуха, что равно произво-

дительности компрессора, для привода которого требуется электродвигатель мощностью 2,9–4,4 кВт.

### 15.3.12. Системы кондиционирования воздуха с воздушными холодильными машинами

В. И. Прохоров разработал методику расчета\*, ряд устройств и схем кондиционирования воздуха производственных помещений небольших размеров с помощью наружного и рециркуляционного воздуха, приготовляемого воздушной холодильной машиной (рис. 15.25). Наружный воздух в количестве 0,15 кг/с (545 кг/ч) при температуре 36 °C сжимается в первой ступени компрессора 1, приобретая давление 135,5 кПа. Нагреваясь до 71,3 °C, воздух поступает в теплообменник 7, где охлаждается наружным воздухом до 41 °C и при давлении 135 кПа поступает во вторую ступень компрессора 2. В компрессоре воздух сжимается до 181,2 кПа и нагревается до 75,5 °C, охлаждается в теплообменнике 6 до 26 °C воздухом, отсыываемым из кондиционируемого помещения 5, и поступает в теплообменник 3, где его давление снижается до 102 кПа, а температура падает до –10 °C. Холодный воздух поступает в эжектор 4, подсасывающий воздух из помещения при температуре 23 °C. Смесь с температурой 9 °C нагнетается в помещение поста управления, охлаждает панель, расположенную над оператором, и выходит в помещение струй, настилающейся на стекло кабины.

Существуют более простые, но менее экономичные схемы кондиционирования воздуха с применением турбодетандеров\*\*.

\* Прохоров В.И. Термодинамический расчет и анализ систем кондиционирования воздуха с воздушными холодильными машинами // Водоснабжение и сан. техника.- 1977.- № 12.

\*\* Прохоров В.И. Системы кондиционирования воздуха с воздушными холодильными машинами.- М.: Стройиздат, 1980.

Тепловые и конструктивные расчеты холодильных машин.- Л.: Машиностроение, 1976.

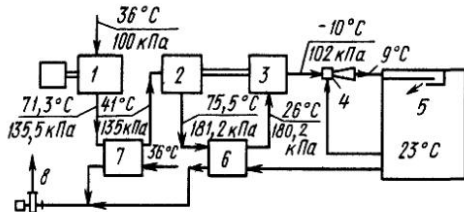


Рис. 15.25. Система кондиционирования воздуха с воздушной холодильной машиной

1 и 2—первая и вторая ступени воздушного компрессора, 3, 6, 7—теплообменники, 4—эжектор, 5—обслуживаемое помещение, 8—вытяжной вентилятор

### 15.3.13. Применение потолочных перемешиваемых вентиляторов в СКВ

Потолочные вентиляторы уменьшают температурный градиент по вертикали и главное создают большую скорость движения воздуха, что в ряде случаев способствует улучшению самочувствия людей и повышению энергетической эффективности работы СВ и СКВ, так как высокая скорость позволяет повысить температуру воздуха и снизить расход холода. Выпускается несколько видов потолочных осевых вентиляторов, которые, однако, обслуживаются недостаточно большую площадь помещения. Стремясь устранить этот недостаток, Таш ЗНИИЭП\* разработал ряд осевых потолочных вентиляторов с плоскими лопатками, установленными под углом к горизонту. Благодаря этому при вращении вентилятора образуется закрученный поток, обслуживающий большую площадь и создающий более высокую средневзвешенную по объему скорость воздуха. Эту скорость, м/с, следует определять по формуле

$$v_{cp} = \frac{0,4236nd_b^{1.79}d_k^{1.24}k_N^{0.95}}{b^{0.177}\Pi^{0.52}x^{1.34}(\sin\beta)^{1.17}}, \quad (15.49)$$

где  $n$ —частота вращения, мин<sup>-1</sup>;  $d_b$ —диаметр вентилятора, м;  $b$ ,  $x$ —удвоенное расстояние от оси вращения до основания (корня) лопатки и ширина лопаток, м,  $\beta$ —угол установки лопаток к горизонту;  $\Pi$ ,  $h$ —периметр и высота помещения или обслуживаемого мо-

дуля, м;  $K_N = N/\rho n^3 d_b^5$ —коэффициент мощности (здесь  $N$ —затраты мощности на валу вентилятора, Вт;  $\rho$ —средняя плотность воздуха, кг/м<sup>3</sup>).

Потребляемая вентилятором мощность при диаметре колеса 1,5–2,4 м составляет соответственно 70–150 Вт, частота вращения зависит от диаметра колеса и обычно не превышает 100 1/мин. В одном из многочисленных опытов средняя взвешенная скорость воздуха по объему оказалась в пределах  $v_{cp} = 0,563 \pm 0,57$  м/с, минимальная —0,42–0,35 м/с, максимальная —0,86–1,12 м/с.

Согласно СНиП 2.04.05–86, потолочные вентиляторы следует предусматривать, как правило, дополнительно к системам приточной вентиляции.

## 15.4. ФОРСУНОЧНЫЕ КАМЕРЫ ОРОШЕНИЯ

### 15.4.1. Общие сведения

Форсуночные камеры орошения являются тепло- и массообменными аппаратами кондиционеров, предназначенными для приготовления воздуха с заданными температурой и влажностью.

Для тепловлажностной обработки воздуха могут использоваться камеры орошения ОКФ-3, ОКС-3 и оросительная система блока тепломассообмена БТМ-3, которыми в зависимости от базовых схем комплектуются центральные кондиционеры КТЦЗ\*.

Камеры орошения ОКФ-3 оснащены эксцентриковыми широкофакельными форсунками ЭШФ 7/10 (диаметр входного отверстия 7 мм, соплового отверстия 10 мм) с равномерным распределением воды по окружности распыла (разработка ЦНИИЭП инженерного оборудования). Оросительная система камер состоит из двух рядов стояков. Камеры изготавливают в двух исполнениях: исполнение 1—первый ряд по ходу воздуха имеет большую плотность установки форсунок, второй—меньшую; исполнение 2—форсунки установлены с одинаковой плотностью в каждом ряду, равной плотности форсунок первого ряда камеры

\* Насонов Е. А., Крюкова Т. И. Исследование потолочных вентиляторов новой конструкции // Водоснабжение и сан. техника.—1979.—№ 4.

\* Руководящий материал по центральным кондиционерам и кондиционерам-теплоутилизаторам КТЦЗ.—Ч. 1.—Харьков: ВНИИкондиционер, 1988

Таблица 15.11. ПРОЦЕССЫ ОБРАБОТКИ ВОЗДУХА

Процесс обработки воздуха	Схема	Начальная температура распыляемой воды $t_{ж.н}$	
Охлаждение и осушение $t_{в.к} < t_{в.н}; d_{в.к} < d_{в.н}$		$t_{ж.н} < t_{р.в.н}$	
Политропный (с понижением энталпии)	Охлаждение при постоянном влагосодержании $t_{в.к} < t_{в.н}; d_{в.к} = d_{в.н}$		$t_{ж.н} < t_{р.в.н}$
Охлаждение и увлажнение $t_{в.к} < t_{в.н}; d_{в.к} > d_{в.н}$		$t_{ж.н} < t_{м.в.н}$	
Адиабатный (без изменения энталпии)	Охлаждение и увлажнение $t_{в.к} < t_{в.н}; d_{в.к} > d_{в.н}$		$t_{ж.н} = t_{м.в.н}$
Политропный (с повышением энталпии)	Охлаждение и увлажнение $t_{в.к} < t_{в.н}; d_{в.к} > d_{в.н}$		$t_{ж.н} > t_{м.в.н}$
Увлажнение при постоянной температуре $t_{в.к} = t_{в.н}; d_{в.к} > d_{в.н}$		$t_{ж.н} > t_{в.н}$	
Нагрев и увлажнение $t_{в.к} > t_{в.н}; d_{в.к} > d_{в.н}$		$t_{ж.н} > t_{в.н}$	

орошения исполнения 1. Подачу разбрызгиваемой воды можно предусматривать в один или два ряда стояков:

1) в первый по ходу воздуха ряд (далее однорядные прямоточные камеры ОКФ);

2) во второй по ходу воздуха ряд (далее однорядные противоточные камеры ОКФ);

3) в два ряда (далее двухрядные камеры ОКФ).

**В камерах орошения ОКС** оросительная система состоит из горизонтального коллектора с высокоскоростными форсунками УП14-10/15 (разработка ВНИИКондиционера) (размер входного сечения 10 × 15 мм, диаметр соплового отверстия 14 мм) в верхней части камеры и двух ярусов сеток под ним, создающих вторичное дробление капель разбрызгиваемой воды. Камеры изготавливают в двух исполнениях, отличающихся друг от друга плотностью установки форсунок (камеры исполнения 1 имеют меньшую плотность, исполнения 2 – большую).

**Блоки тепломассообмена БТМ** включают теплообменники (для политропных процессов) и оросительную систему (для адиабатных процессов). Оросительная система состоит из одного ряда стояков с широкофакельными форсунками ЭШФ 7/10, количество которых соответствует числу форсунок одного ряда камеры орошения ОКФ-3 исполнения 2.

Камеры ОКФ, ОКС и блоки БТМ могут быть применены для реализации как адиабатных, так и политропных процессов обработки воздуха, включая процессы с переменным (регулируемым вручную или автоматически) расходом разбрызгиваемой воды, при которых за счет изменения расхода разбрызгиваемой воды создается переменная площадь поверхности тепломассообмена между водой и обрабатываемым воздухом, что позволяет обеспечить различные заданные параметры воздуха после аппарата. Применение процессов с переменным расходом воды позволяет отказаться от байпаса камер, а также в ряде случаев (если не требуется поддержание постоянной относительной влажности) от воздухонагревателя П подогрева. Процессы с переменным расходом воды в ряде работ называются «процессами с неполным увлажнением или недоувлажнением», «управляемыми процессами».

Камеры орошения ОКС могут также использоваться для испарительного нагрева воз-

духа (нагрев и увлажнение теплой водой воздуха с огрицательной температурой), так как конструкция камеры без входного сепаратора исключает образование наледи в таком режиме обработки воздуха. Минимально допустимая температура холодного воздуха по мокрому термометру при испарительном нагреве (обработке его теплой водой) в камерах орошения ОКС-3 минус 27 °С, выше которой, по результатам исследований ВНИИКондиционера, практически не образуются иней и лед.

В камерах орошения ОКФ-3 процесс испарительного нагрева может применяться при температуре воздуха на входе в камеру орошения выше 0°.

Схематично процессы обработки воздуха в контактных аппаратах приведены в табл. 15.11.

### 15.4.2. Расчет камер орошения

Методика расчета камер орошения центральных кондиционеров КТЦЗ базируется на экспериментальных и теоретических исследованиях, проведенных во ВНИИКондиционере\*, позволяет определить эффективность тепломассообмена в контактных аппаратах с учетом конструктивных характеристик камер орошения и блоков тепломассообмена, температурных и гидродинамических условий обработки воздуха и подробно изложена в материалах ГПКНИИ «СантехНИИПроект»\*\*.

Разработанная методика позволяет проводить расчеты камер орошения и блоков тепломассообмена при адиабатных и политропных процессах обработки воздуха в диапазоне температур разбрызгиваемой воды  $2^{\circ}\text{C} \leq t_{\text{в}} \leq 30^{\circ}\text{C}$ , воздуха по мокрому термометру –

---

\* Бялый Б.И., Степанов А.В. Методика расчета и выбора камер орошения центральных кондиционеров КТЦЗ. Кондиционеростроение / Тр. ВНИИКондиционера.–Харьков, 1987.–Вып. 16.

Юхно И.Ф., Соин И.В., Дрокин А.В. Расширение области применения камер орошения ОКС кондиционеров КТЦЗ при испарительном нагреве воздуха в зимний период. Кондиционеростроение / Тр. ВНИИКондиционера.–Харьков, 1987.–Вып. 16.

\*\* Методические материалы по расчету и выбору оборудования центральных кондиционеров КТЦЗ. Альбом 1. Методика расчета камер орошения. АЗ-977.- М.: ГПКНИИ «СантехНИИПроект», 1989.

минус  $27^{\circ}\text{C} \leq t_{\text{м.в.}} \leq 30^{\circ}\text{C}$  и в интервалах коэффициентов орошения  $\mu \leq 1.6$  для БТМ3,  $\mu \leq 2.5$  для ОКФ-3 и  $\mu \leq 3$  для ОКС-3.

Контактные аппараты кондиционеров КТЦЗ могут использоваться при давлении воды, обеспечивающем устойчивую работу форсунок от 20 до 300 кПа в ОКФ-3 и БТМ-3 от 5 до 250 кПа в ОКС-3.

При расчетных коэффициентах орошения  $\mu_p$  меньше 0,7 для камер ОКФ-3, БТМ-3 и 0,6 для камер ОКС-3 необходимо сравнить их с минимально допустимыми значениями  $\mu_{\min}$ , определяемыми по формуле

$$\mu_{\min} = \frac{q_{\phi, \min} n}{G_b}, \quad (15.50)$$

где  $q_{\phi, \min} = 460 \text{ кг/ч}$  для форсунок ЭШФ 7/10 и  $q_{\phi, \min} = 870 \text{ кг/ч}$  для форсунок УЦ14 = 10/15;  $n$  – количество работающих форсунок в камере орошения;  $G_b$  – расход воздуха, кг/ч.

Количество форсунок по рядам для каждого исполнения камер ОКФ-3, ОКС-3 и БТМ-3 приведено в табл. 15.12–15.14.

Зависимости расхода разбрызгиваемой воды от давления перед форсунками  $q_\phi(\Delta p_\phi)$  приведены на рис. 15.26.

Если  $\mu_p > \mu_{\min}$ , камера орошения будет работать в устойчивом режиме, при  $\mu_p < \mu_{\min}$  принятая камера в расчетном режиме будет работать неустойчиво и не обеспечит заданные параметры обрабатываемого воздуха. В этом случае следует уменьшить количество подключенных форсунок, изменив исполнение или число рядов стояков (подавая воду только в один ряд стояков) или тип камеры.

При теплотехническом расчете камер орошения встречаются два вида задач – прямые и обратные.

**Прямая задача** – определение расхода и начальной температуры разбрызгиваемой воды при заданных расходах, начальных и конечных параметрах обрабатываемого воздуха.

**Обратная задача** – прочие варианты расчетов, в частности определение конечных параметров воздуха при заданных начальных параметрах и расходах воздуха и воды.

Теплотехнический расчет камер орошения и блоков тепломассообмена ведется в такой последовательности:

I. Режим обработки воздуха – адиабатный. Тип задачи – прямая. Исходные данные:  $G_b$ ,  $t_{\text{в.н.}}$ ,  $t_{\text{м.и.}}$ ,  $t_{\text{в.к.}}$ . Требуется определить  $\mu$ ,  $G_\phi$ .

ТАБЛИЦА 15.12. КОЛИЧЕСТВО ФОРСУНОК ПО РЯДАМ В КАМЕРЕ ОРОШЕНИЯ ОКФ-3

Индекс	Кондиционер	Исполнение	Количество форсунок в ряду стояков по ходу воздуха		
			первом	втором	всего
01.01304	КТЦЗ-10	1 2	12 12	6 12	18 24
02.01304	КТЦЗ-20	1 2	24 24	18 24	42 48
03.01304	КТЦЗ-31,5	1 2	36 36	27 36	63 72
04.01304	КТЦЗ-40	1 2	48 48	36 48	84 96
06.01304	КТЦЗ-63	1 2	81 81	63 81	144 162
08.01304	КТЦЗ-80	1 2	108 108	84 108	192 216
12.01304	КТЦЗ-125	1 2	162 162	126 162	288 324
16.01304	КТЦЗ-160	1 2	216 216	168 216	384 432
20.01305	КТЦЗ-200	1 2	234 234	180 234	414 468
25.01304	КТЦЗ-250	1 2	312 312	240 312	552 624

ТАБЛИЦА 15.13. КОЛИЧЕСТВО ФОРСУНОК В БЛОКЕ ТЕПЛОМАССООБМЕНА БТМ-3

Индекс	Кондиционер	Количество форсунок
01.02124	КТЦЗ-10	12
02.02124	КТЦЗ-20	24
03.02124	КТЦЗ-31,5	36
04.02124	КТЦЗ-40	48
06.02124	КТЦЗ-63	81
08.02124	КТЦЗ-80	108
12.02124	КТЦЗ-125	162
16.02124	КТЦЗ-160	216
20.02124	КТЦЗ-200	234
25.02124	КТЦЗ-250	312

ТАБЛИЦА 15.14. КОЛИЧЕСТВО ФОРСУНОК В КАМЕРЕ ОРОШЕНИЯ ОКС-3

Индекс		Кондиционер	Исполнение	Количество форсунок
ОКС1-3	ОКС2-3			
03.01204	03.01404	КТЦЗ-31,5	1	20
			2	24
04.01204	04.01404	КТЦЗ-40	1	24
			2	30
06.01204	06.01404	КТЦЗ-63	1	42
			2	48
08.01204	08.01404	КТЦЗ-80	1	54
			2	60

*Решение.* 1. Коэффициент адиабатной эффективности  $E_A$  определяется по формуле

$$E_A = 1 - \frac{t_{v,k} - t_{m,v,n}}{t_{v,n} - t_{m,n}}, \quad (15.51)$$

где  $t_{v,k}$ ,  $t_{v,n}$ ,  $t_{m,v,n}$  — температура воздуха, °C, конечная, начальная и по мокрому термометру.

$g_\phi$ , кг/ч

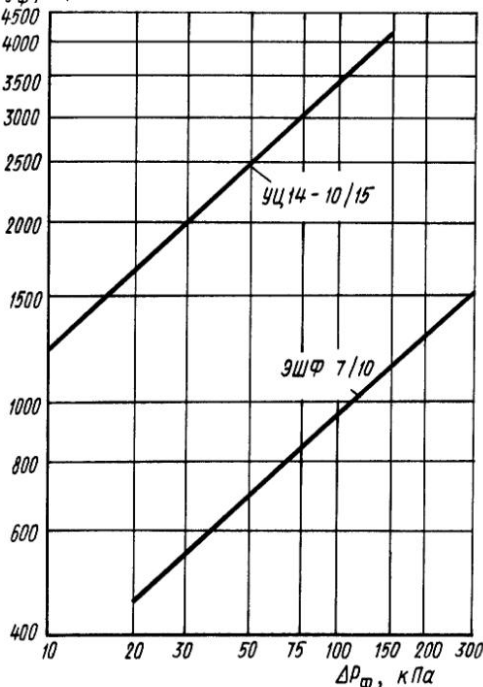


Рис. 15.26. Зависимости расхода воды  $g_\phi$  от давления воды перед форсунками  $\Delta P_\phi$

2. Коэффициент орошения  $\mu$  находим по графикам на рис. 15.27–15.31, соответствующим выбранному типоразмеру и исполнению камеры орошения или блока тепломассообмена.

3. Расход разбрызгиваемой воды  $G_*$  составит

$$G_* = \mu G_b, \quad (15.52)$$

где  $G_b$  — расход воздуха, кг/ч.

II. Режим обработки воздуха — адиабатный. Тип задачи — обратная. Исходные данные:  $G_b$ ,  $t_{v,n}$ ,  $G_*$ ,  $t_{m,n} = t_{m,k}$ . Требуется определить  $t_{v,k}$ .

*Решение.* 1. Коэффициент орошения  $\mu$ :

$$\mu = G_* / G_b. \quad (15.53)$$

2. Коэффициент адиабатной эффективности  $E_a$  по графикам на рис. 15.27–15.30, соответствующим выбранному типоразмеру и исполнению камеры орошения.

3. Конечная температура воздуха после камеры орошения  $t_{v,k}$

$$t_{v,k} = (1 - E_A)(t_{v,n} - t_{m,n}) + t_{m,n}. \quad (15.54)$$

III. Режим обработки воздуха — политропный. Тип задачи — прямая. Исходные данные:  $G_b$ ,  $t_{v,n}$ ,  $J_{v,n}$ ,  $t_{v,k}$ ,  $J_{v,k}$ . Требуется определить:  $\mu$ ,  $G_b$ ,  $t_{j,n}$ ,  $t_{j,k}$ .

*Решение.* 1. Температура  $J_b^{pr}$  и энталпия  $J_b^{pr}$  предельного состояния воздуха на  $J-d$ -диаграмме, графически определяемая как точка пересечения луча процесса обработки воздуха в камере с кривой насыщения  $\phi = 100\%$ .

2. Коэффициент адиабатной эффективности  $E_A$ :

$$E_A = \frac{J_{v,k} - J_{v,n}}{J_b^{pr} - J_{v,n}}, \quad (15.55)$$

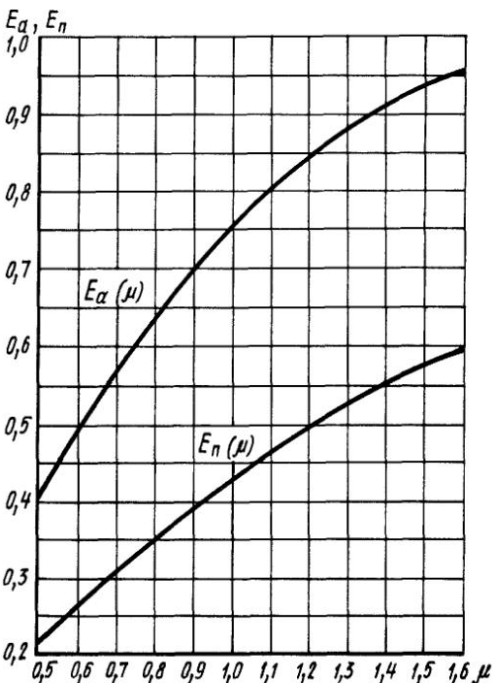
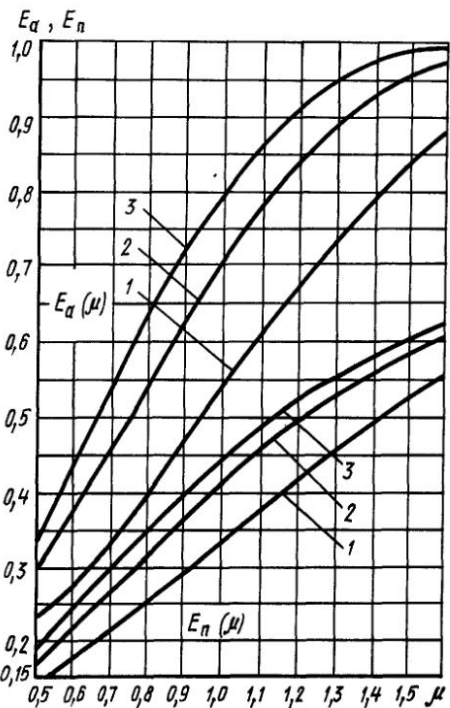
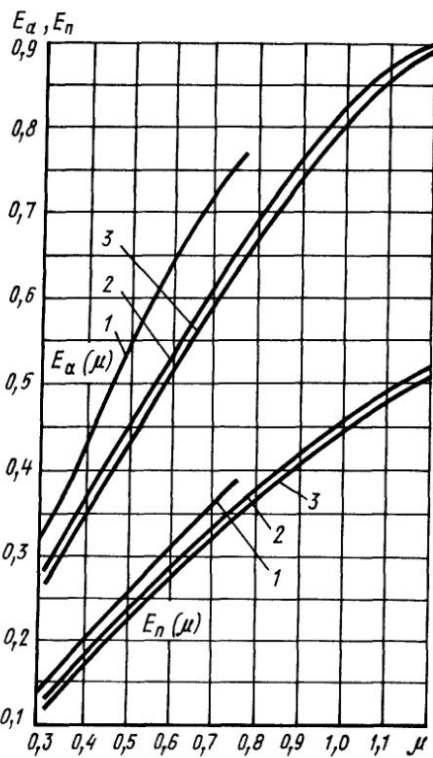
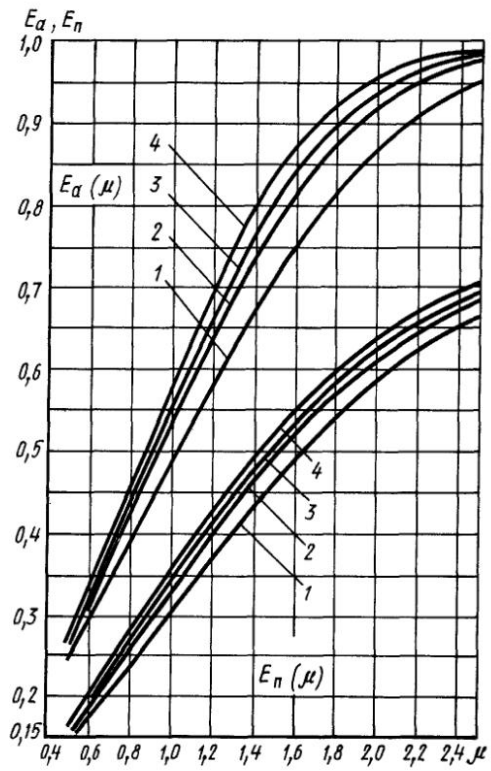
где  $J_{v,k}$ ,  $J_{v,n}$  — конечная и начальная энталпия воздуха, кДж/кг.

3. Коэффициент орошения  $\mu$  и коэффициент энталпийной эффективности  $E_n$  для принятого типоразмера и исполнения камеры орошения находим по графикам на рис. 15.27–15.31.

4. Относительная разность температур воздуха  $\theta$  по формуле

$$\theta = b c_* \mu \left( \frac{1}{E_n} - \frac{1}{E_A} \right), \quad (15.56)$$

где  $b$  — коэффициент аппроксимации, равный 0,33 кг·°С/кДж;  $c_*$  — удельная теплоемкость воды, кДж/(кг·°С).



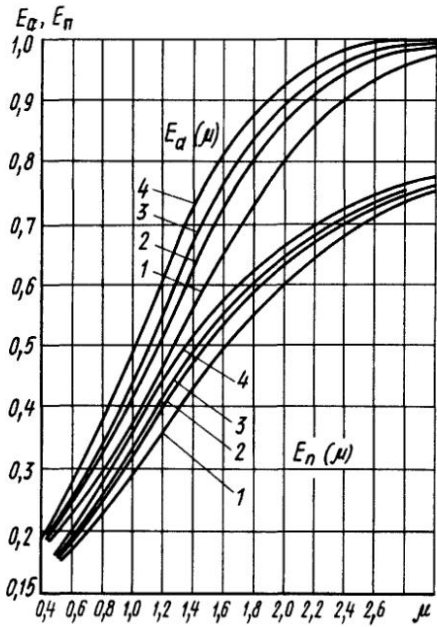


Рис. 15.31. Определение коэффициентов адиабатной  $E_a$  и энталпийной  $E_n$  эффективности камер орошения ОКС-3

1 и 2 – ОКС-3 исп. 2 и 1, 3 и 4 – ОКС-3 исп. 2 и 1

Рис. 15.27 Определение коэффициентов адиабатной  $E_a$  и энталпийной  $E_n$  эффективности двухрядных камер орошения ОКФ-3 (исполнение 1 и 2)

1 – ОКФ-3 01 01304, исп. 2 (02 01304, исп. 2), 2 – ОКФ-3 02 01304, исп. 2 (06 01304, исп. 2, 08 01304, исп. 2, 12 01304, исп. 2, 16 01303, исп. 2, 25 01304, исп. 2), 3 – ОКФ-3 01 01304, исп. 1 (03 01304, исп. 1, 06 01304, исп. 1, 08 01304, исп. 1, 04 01304, исп. 1, 12 01304, исп. 1, 16 01304, исп. 1, 20 01304, исп. 1, 25 01304, исп. 1), 4 – ОКФ-3 03 01304, исп. 1 (04 01304, исп. 1, 25 01304, исп. 1).

Рис. 15.28 Определение коэффициентов адиабатной  $E_a$  и энталпийной  $E_n$  эффективности однорядных прямоточных камер орошения ОКФ-3 (исполнение 2)

1 – ОКФ-3 01 01304 (02 01304), 2 – ОКФ-3 03 01304 (04 01304), 06 01304, 3 – ОКФ-3 12 01304 (16 01304), 20 01304 (25 01304)

Рис. 15.29. Определение коэффициентов адиабатной  $E_a$  и энталпийной  $E_n$  эффективности однорядных противоточных камер орошения ОКФ-3 (исполнение 1)

1 – ОКФ-3 01 01304, 2 – ОКФ-3 02 01304 (03 01304), 04 01304 (20 01304), 3 – ОКФ-3 06 01304 (08 01304), 12 01304 (25 01304)

Рис. 15.30 Определение коэффициентов адиабатной  $E_a$  и энталпийной  $E_n$  эффективности блоков тепломассообмена БТМ2.1-3 и Б1М2.2-3

5. Начальная температура воды  $t_{\text{в,н}}$ :

$$t_{\text{в,н}} = t_{\text{в,н}}^{\text{пп}} + \frac{\theta}{G_{\text{в,н}} \mu} (J_{\text{в,н}} - J_{\text{в,н}}). \quad (15.57)$$

6. Конечная температура воды  $t_{\text{в,к}}$

$$t_{\text{в,к}} = t_{\text{в,н}} - \frac{J_{\text{в,н}} - J_{\text{в,к}}}{c_{\text{в,н}} \mu}. \quad (15.58)$$

7. Расход разбрызгиваемой воды  $G_{\text{в}}$  по формуле (15.52).

IV. Режим обработки воздуха – политропный. Тип задачи – обратная. Исходные данные:  $G_{\text{в}}$ ,  $t_{\text{в,н}}$ ,  $J_{\text{в,н}}$ ,  $t_{\text{в,к}}$ ,  $G_{\text{ж}}$  и  $\theta_x$ . Требуется определить  $\mu$ ,  $t_{\text{в,к}}$ ,  $J_{\text{в,к}}$ ,  $t_{\text{ж,к}}$ .

*Решение.* 1 Коэффициент орошения  $\mu$  – по формуле (15.53).

2. Коэффициенты адиабатной и энталпийной эффективности  $E_A$  и  $E_n$  по графикам на рис. 15.27–15.31, соответствующим выбранному типоразмеру и исполнению камеры орошения.

3. Энталпия насыщенного воздуха  $J_{\text{в,нас}}$  соответствующая начальной температуре воды  $t_{\text{в,н}}$  на  $J$  –  $d$ -диаграмме.

4. Конечная удельная энталпия воздуха  $J_{\text{в,к}}$  по формуле

$$J_{\text{в,к}} = J_{\text{в,н}} + E_n (J_{\text{в,нас}} - J_{\text{в,н}}) \times [1 + \alpha (J_{\text{в,нас}} - J_{\text{в,н}}) + \beta (J_{\text{в,нас}} - J_{\text{в,н}})], \quad (15.59)$$

где  $\alpha$  и  $\beta$  – корректирующие коэффициенты, равные соответственно 0,000716 и 0,00351 кг/кДж,  $J_{\text{в,н}}$  – середина диапазона аппроксимации кривой насыщения  $\varphi = 100\%$ , равная 54 кДж/кг. При заданном расходе холода  $J_{\text{в,к}}$  определяется по формуле  $J_{\text{в,к}} = \Delta J - J_{\text{в,н}}$ , где  $\Delta J = Q_{\text{в}}/G_{\text{в}}$ .

5. Конечная температура воздуха  $t_{\text{в,к}}$ :

$$t_{\text{в,к}} = t_{\text{в,н}} + E_A (t_{\text{в,к}} - t_{\text{в,н}}) + b \left( 1 - \frac{E_A}{E_n} \right) (J_{\text{в,к}} - J_{\text{в,н}}), \quad (15.60)$$

где  $b$  – коэффициент аппроксимации, равный 0,33 кг °C/кДж

6. Конечная температура воды  $t_{\text{в,к}}$  – по формуле (15.58).

Необходимое давление воды перед форсунками  $\Delta p_{\text{в}}$  определяется по номограмме на рис. 15.32–15.35.

**Пример 15.2.** Прямая задача. Исходные данные: режим обработки воздуха в камере орошения – адиабатный с переменным расходом разбрызгиваемой воды; кондиционер

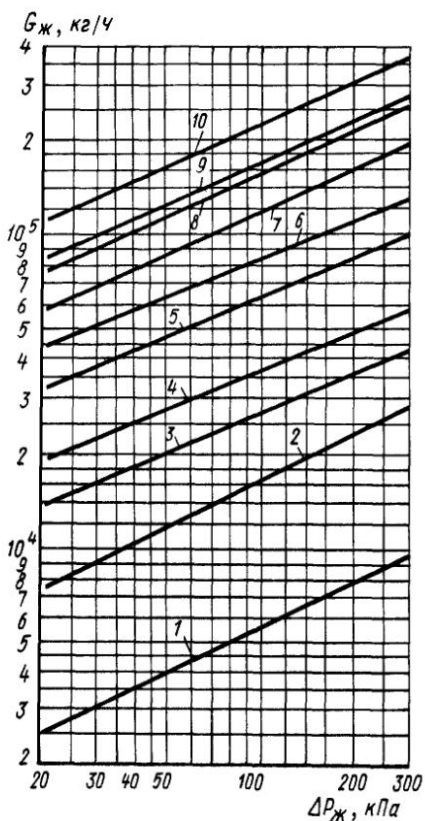
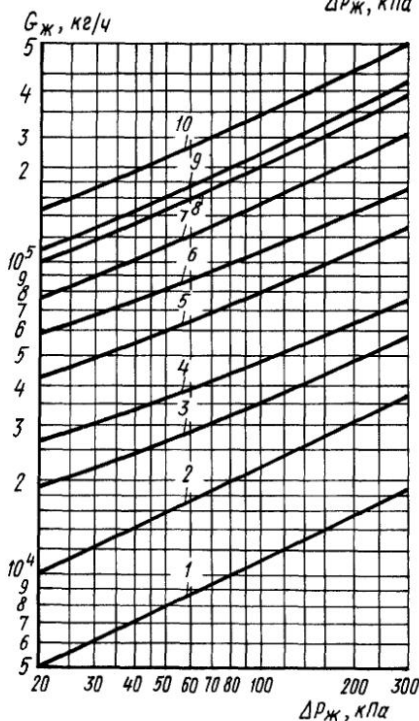
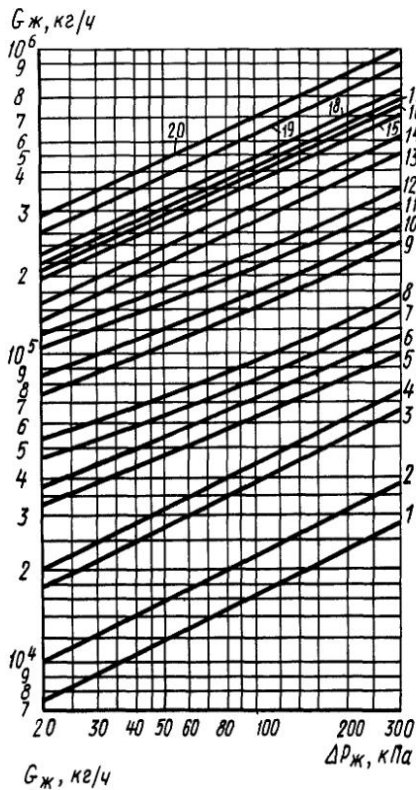


Рис 15.32 Зависимость давления воды перед форсунками  $\Delta P_{\text{ж}}$  от расхода воды  $G_{\text{ж}}$  для двухрядных камер орошения ОКФ-3

1 и 2 ОКФ-3 01 01304, исп. 1 и 2, 3 и 4 ОКФ-3 02 01304, исп. 1 и 2, 5 и 6 ОКФ-3 03 01304, исп. 1 и 2, 7 и 8 ОКФ-3 04 01304, исп. 1 и 2, 9 и 10 ОКФ-3 06 01304, исп. 1 и 2, 11 и 12 ОКФ-3 08 01304, исп. 1 и 2, 13 и 14 ОКФ-3 12 01304, исп. 1 и 2, 15 и 16 ОКФ-3 16 01304, исп. 1 и 2, 17 и 18 ОКФ-3 20 01304, исп. 1 и 2, 19 и 20 ОКФ-3 25 01304, исп. 1 и 2,

Рис 15.33 Зависимость давления воды перед форсунками  $\Delta P_{\text{ж}}$  от расхода воды  $G_{\text{ж}}$  для однорядных прямоточных камер орошения ОКФ-3 и блока тепломассообмена БТМ-3

1 БТМ2 1-3 01 02123 (БТМ2 2-3 01 02224), 2 БТМ2 1-3 02 02124 (БТМ2 2-3 02 02224), 3 БТМ2 1-3 03 02124 (БТМ2 2-3 03 02224), 4 БТМ2 1-3 04 02124 (БТМ2 2-3 04 02224), 5 БТМ2 1-3 06 02124 (БТМ2 2-3 06 02224), 6 БТМ2 1-3 08 02124 (БТМ2 2-3 08 02224), 7-БТМ2 1-3 12 02124 (БТМ2 2-3 12 02224), 8 БТМ2 1-3 16 02124 (БТМ2 2-3 16 02224), 9 БТМ2 1-3 20 02124 (БТМ2 2-3 20 02224), 10 БТМ2 1-3 25 02124 (БТМ2 2-3 25 02224)

Рис 15.34 Зависимость давления воды перед форсунками  $\Delta P_{\text{ж}}$  от расхода воды  $G_{\text{ж}}$  для однорядных противоточных камер орошения ОКФ-3

1 ОКФ-3 01 01304, исп. 1, 2 ОКФ-3 02 01304, исп. 1, 3-ОКФ-3 03 01304, исп. 1, 4 ОКФ-3 04 01304, исп. 1, 5-ОКФ-3 06 01304, исп. 1, 6-ОКФ-3 08 01304, исп. 1, 7 ОКФ-3 12 01304, исп. 1, 8-ОКФ-3 16 01304, исп. 2, 9-ОКФ-3 20 01304, исп. 2, 10 ОКФ-3 25 01304, исп. 2

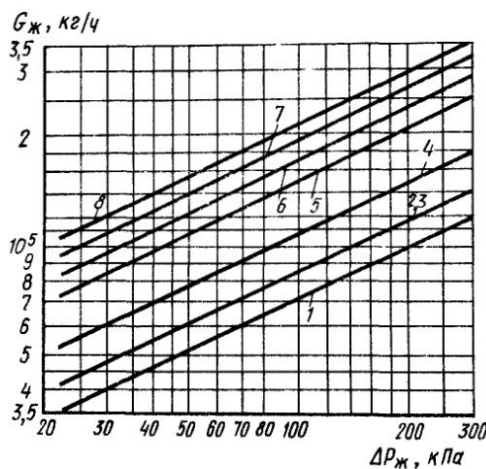


Рис. 15.35. Зависимость давления воды перед форсунками  $\Delta P_{ж}$  от расхода воды  $G_{ж}$  для камер орошения ОКС-3

1 и 2 ОКС1-3 03.01204 (ОКС2-3 03.01404) соответственно исп. 1 и 2; 3 и 4 - ОКС1-3 04 01204 (ОКС2-3 04 01404) исп. 1 и 2, 5 и 6 - ОКС1-3 06 01204 (ОКС2-3 06.01404) исп. 1 и 2, 7 и 8 - ОКС1-3 08. 01204 (ОКС2-3 08. 01404) исп. 1 и 2

КТЦЗ-31,5; камера орошения ОКС-3 однорядная, исполнение 1 (к первому по ходу воздуха ряду стояков вода не подается);  $G_{ж} = 37800 \text{ кг/ч}$ ;  $t_{в,н} = 23,7^\circ\text{C}$ ;  $t_{в,к1} = 12^\circ\text{C}$ ;  $t_{в,к2} = 15^\circ\text{C}$ ;  $t_{в,к3} = 19^\circ\text{C}$ ; соответственно  $\Delta t_{п1} = t_{п1} - t_{в,к1} = 7^\circ\text{C}$ ;  $\Delta t_{п2} = 4^\circ\text{C}$ ;  $\Delta t_{п3} = 0^\circ\text{C}$ ;  $t_{м,к} = t_{м,к} = 7,7^\circ\text{C}$ .

Требуется определить:  $\mu_1$ ,  $G_{ж1}$  при  $t_{в,к1} = 12^\circ\text{C}$ ;  $\mu_2$ ,  $G_{ж2}$  при  $t_{в,к2} = 15^\circ\text{C}$ ;  $\mu_3$ ,  $G_{ж3}$  при  $t_{в,к3} = 19^\circ\text{C}$ .

**Решение.** 1. Вычисляем  $E_a$  по формуле (15.51):

$$\text{при } t_{в,к1} = 12^\circ\text{C}$$

$$E_A = 1 - \frac{12 - 7,7}{23,7 - 7,7} = 0,73;$$

$$\text{при } t_{в,к2} = 15^\circ\text{C}$$

$$E_A = 1 - \frac{15 - 7,7}{23,7 - 7,7} = 0,545;$$

$$\text{при } t_{в,к3} = 19^\circ\text{C}$$

$$E_A = 1 - \frac{19 - 7,7}{23,7 - 7,7} = 0,294.$$

2. Находим  $\mu$  по графику на рис. 15.27:

$$\text{при } E_{A1} = 0,73 \quad \mu = 0,84;$$

$$\text{при } E_{A2} = 0,545 \quad \mu = 0,61;$$

$$\text{при } E_{A3} = 0,294 \quad \mu = 0,325.$$

Так как  $\mu_2$  и  $\mu_3 < 0,7$ , определяем  $\mu_{\min}$  по формуле (15.50):

$$\mu_{\min} = \frac{460 \cdot 27}{37800} = 0,329,$$

где  $n = 27$  шт. принимаем по табл. 15.12.

Полученные значения  $\mu_2$  и  $\mu_3$  больше  $\mu_{\min}$ , значит принятая камера орошения будет работать устойчиво во всех заданных режимах.

3. Определяем  $G_{ж}$  по формуле (15.52):  $G_{ж1} = 0,84 \cdot 37800 = 31750 \text{ кг/ч}$ ;  $G_{ж2} = 0,61 \times 37800 = 23060 \text{ кг/ч}$ ;  $G_{ж3} = 0,325 \cdot 37800 = 12100 \text{ кг/ч}$ .

4. Находим  $\Delta P_{ж}$  для однорядной противоточной камеры ОКФ-3 исполнения 1 кондиционера КТЦЗ-31,5 по nomogramme на рис. 15.33: при  $G_{ж1} = 31750 \text{ кг/ч}$   $\Delta P_{ж1} = 142 \text{ кПа}$ ; при  $G_{ж2} = 23060 \text{ кг/ч}$   $\Delta P_{ж2} = 71 \text{ кПа}$ ; при  $G_{ж3} = 12100 \text{ кг/ч}$   $\Delta P_{ж3} = 14 \text{ кПа}$ .

**Пример 15.3.** Обратная задача. Исходные условия: режим обработки воздуха в камере орошения - политропный, кондиционер КТЦЗ-40, камера орошения ОКС1-3 исполнения 1;  $G_{ж} = 58000 \text{ кг/ч}$ ;  $t_{в,н} = 32^\circ\text{C}$ ;  $J_{в,н} = 68,2 \text{ ккал} \cdot \text{кг}$ ;  $t_{ж,н} = 12^\circ\text{C}$ ;  $G_{ж} = 145000 \text{ кг/ч}$ . Требуется определить:  $\mu$ ,  $t_{в,к}$ ,  $J_{в,к}$ ,  $t_{ж,к}$ .

**Решение.** 1. Определяем  $\mu$  по формуле (15.53):

$$\mu = 145000 / 58000 = 2,5.$$

2. Находим  $E_a$  и  $E_n$  по графику на рис. 15.30 при  $\mu = 2,5$ :  $E_a = 0,985$ ,  $E_n = 0,74$ .

3. На  $J - d$ -диаграмме находим  $J_{в,нас}$  при  $t_{ж,н} = 12^\circ\text{C}$  и  $J_{в,нас} = 34,5 \text{ кДж/кг}$ .

4. Вычисляем  $J_{в,к}$  по формуле (15.59):

$$J_{в,к} = 68,2 + 0,74(34,5 - 68,2)[1 + 0,000716 \times (34,5 - 68,2) + 0,00350 \times (34,5 - 54)] = 45,05 \text{ кДж/кг.}$$

5. Определяем  $t_{в,к}$  по формуле (15.60)

$$t_{в,к} = 32 + 0,985(12 - 32) + 0,33 \left( 1 - \frac{0,985}{0,74} \right)(45,05 - 68,2) = 15,1^\circ\text{C}.$$

6. Находим  $t_{ж,к}$  по формуле (15.58):

$$t_{ж,к} = 12 - \frac{45,05 - 68,2}{4 \cdot 187 \cdot 2,5} = 14,2^\circ\text{C},$$

где  $c_{ж} = 4,187 \text{ кДж/(кг} \cdot {}^\circ\text{C)}$ .

7. Определяем  $\Delta p_*$  по номограмме на рис. 15.34 при  $G_* = 145\,000 \text{ кг/ч}$ :  $\Delta p_* = 260 \text{ кПа}$ .

## 15.5. ВОЗДУХООХЛАДИТЕЛИ С ОРОШАЕМЫМИ НАСАДКАМИ

Орошающие насадки (слои) служат для развигания площади поверхности контакта между воздухом и водой. Насадки бывают регулярной (пластинчатые, сетевые) и нерегулярной структуры (ленты, сетки, волокна и другие материалы заполнения слоев), неподвижные и врачающиеся. В воздухоохладителях с орошающими насадками можно осуществлять процессы изоэнтальпийного и политропного увлажнения воздуха, охлаждения и осушения воздуха на небольшую глубину.

### 15.5.1. Насадки регулярной и нерегулярной структуры

Основное преимущество насадок регулярной структуры — обеспечение высоких коэффициентов тепло- и влагообмена при сравнительно небольшом аэродинамическом сопротивлении, малых коэффициентах орошения и малых затрахах энергии на перемещение воды.

А. А. Гоголин\* исследовал тепло- и массообмен в противоточных насадках регулярной структуры, конструктивные характеристики которых приведены в табл. 15.15, и получил следующие общие для насадок зависимости, описывающие изменения коэффициентов явного  $a$ ,  $\text{Вт}/(\text{м}^2 \cdot \text{C})$ , и полного теплообмена  $\sigma$ ,  $\text{кг}/(\text{м}^2 \cdot \text{ч})$ :

$$a = 353 (\nu p)^{0.72} H_{\omega}^{0.35} (l/d_s)^{-0.72} \times \\ \times \left( \frac{t_{M1} - t_{B, n}}{t_{p1} - t_{B, n}} \right); \quad (15.61)$$

$$\sigma = 141 (\nu p)^{0.72} H_{\omega}^{0.35} (l/d_s)^{-0.72}, \quad (15.62)$$

где  $[15 \leq H_{\omega} \leq 60 \text{ кг}/(\text{м}^2 \cdot \text{ч})]$ ;  $25 \leq l/d_s \leq 75$ ; для щелевых насадок  $\nu p \leq 38 \text{ кг}/(\text{м}^2 \cdot \text{с})$ , для синусоидальной и сетевой  $\nu p \leq 6 \text{ кг}/(\text{м}^2 \cdot \text{с})$ .  $t_{p1}$  начальная температура точки росы,  $^{\circ}\text{C}$ .  $d_s$  — длина и наружный диа-

метр колец, мм, которыми заполнена насадка;  $H_{\omega}$  — расход воды на  $1\text{м}^2$  поверхности насадки («высота дождя»).

Аэродинамическое сопротивление насадок характеризуется выражением

$$\Delta h = A (\nu p)^m H_{\omega}^n (l/d_s)^r, \quad (15.63)$$

где значения  $A$ ,  $m$ ,  $n$ ,  $r$  приведены в табл. 15.16.

Основное достоинство насадок нерегулярной структуры — возможность достижения высоких коэффициентов тепло- и массообмена при низком давлении орошающей воды. Одновременно обеспечивается частичная очистка воздуха от пыли и залаков.

В работах О. Я. Кокорина\* и в табл. 15.17 приведены расчетные зависимости для различных насадок нерегулярной структуры.

### 15.5.2. Роторные контактные теплообменники

Эти теплообменники представляют собой вращающуюся насадку регулярной или нерегулярной структуры. Достоинствами этих аппаратов являются: способность поверхности к самоочищению; небольшое аэродинамическое сопротивление вследствие малой глубины насадки, возможность регулирования параметров воздуха и воды изменением количества воды и частоты вращения ротора. Недостатки аппаратов этого типа — затраты энергии на вращение ротора и наличие приводного механизма.

Характеристики этих воздухоохладителей приведены в каталогах для конкретных конструкций аппаратов.

## 15.6. УВЛАЖНЕНИЕ И ОХЛАЖДЕНИЕ ВОЗДУХА

### 15.6.1. Системы местного доувлажнения воздуха

Непосредственное введение влаги в воздух помещения путем тонкого распыления воды называется местным доувлажнением.

Схема процесса изменения состояния паровоздушной смеси при полном испарении

\* Гоголин А. А. Исследование процесса охлаждения и осушки воздуха в орошающих регулярных насадках для систем кондиционирования воздуха: Автoref. дисс. на соиск. уч. степени канд. техн. наук. — М., 1968. НИИсантехники.

\* Кокорин О. Я. Испарительное охлаждение для целей кондиционирования воздуха. — М.: Стройиздат, 1965; Установки кондиционирования воздуха. — М.: Машинос. строение, 1978.

ТАБЛИЦА 15.15. КОНСТРУКТИВНЫЕ ХАРАКТЕРИСТИКИ НАСАДОК РЕГУЛЯРНЫХ СТРУКТУР

Насадка	Удельная площадь поверхности, $\text{м}^2/\text{м}^3$	Эквивалентный диаметр канала, $\text{м} \cdot 10^{-3}$	Относительная площадь сечения для прохождения воздуха
Щелевая мипластовая с каналами размером $25 \times 2 \text{ мм}$	706	3,65	0,64
Синусоидальная из чередующихся гофрированных и плоских листов бумаги, пропитанных раствором синтетической смолы	604	5,35	0,87
Сотобличная бумажная, пропитанная раствором синтетической смолы	580	5,9	0,89

ТАБЛИЦА 15.16. ЗНАЧЕНИЯ  $A$ ,  $m$ ,  $n$ ,  $r$  В ФОРМУЛЕ (15.63)

Насадка	$A$	$m$	$n$	$r$	Пределы действия формулы		
					$v_p$ , $\text{кг}/(\text{м}^2 \cdot \text{с})$	$H_{\omega}$ , $\text{кг}/(\text{м} \cdot \text{ч})$	$l/d_s$
Щелевая	2,35 0,0616	1 0,55	0,55 0,55	0 0	3,6–3,8 3,8–7,3	18,1–45,2 18,1–45,2	51,5 51,5
Синусоидальная и сотобличная	0,981 0,0265 $5,58 \cdot 10^{-4}$	1,2 2,1 4,5	0,6 0,6 0,6	0,47 0,47 0,47	3,5–3,9 3,9–6,5 6,5–9	25,1–56,6 25,1–56,6 25,1–56,6	27–75 27–75 27–75

воды на  $J - d$ -диаграмме характеризуется лучом тепловлажностного отношения

$$\varepsilon = 100 \frac{J_1 - J_2}{d_1 - d_2} = c_b t_b, \quad (15.64)$$

где  $J_1$  и  $J_2$  – начальная и конечная удельные энталпии увлажняемого воздуха, кДж/кг;  $d_1$  и  $d_2$  – начальное и конечное влагосодержание увлажняемого воздуха, г/кг;  $c_b$  – удельная теплоемкость воды, равная 4,2 кДж/(кг · °C);  $t_b$  – температура распыляемой воды, °C.

Практически считают, что процесс доувлажнения идет адиабатически при  $J_1 = J_2 = \text{const}$  и  $\varepsilon = 0$ .

Для доувлажнения воздуха применяют автоматическую пневматическую установку «Туман», разработанную СКБПрибор по техническим условиям ТУ 25-03-1503-69, с электрическими исполнительными механизмами (рис. 15.36). Датчиком влажности служит волосяной влагорегулятор двухпозиционного действия, градуированный от 30 до 90% относительной влажности; дифференциал прибора составляет 3% относительной влажности.

Автоматика установки «Туман» по серии 2-737-89 ГПИ-1 обеспечивает запаздывание открывания вентиля «вода» по отношению к вентилю «воздух» не менее чем на 10 с при включении установки и запаздывание закрывания вентиля «воздух» по отношению к вентилю «вода» не менее чем на 1 мин при выключении установки. Таким образом, при включении установки к форсункам подается сначала сжатый воздух, а потом вода, а при выключении ее сначала отключается подача воды, а затем подача воздуха. Такой режим работы обеспечивает отсутствие капели из форсунок доувлажнения во время включения и выключения установки и подачу воды в помещение только в распыленном состоянии. Кроме того, реле давления, расположенное за вентилем «воздух», отключает подачу воды к форсункам при падении давления воздуха ниже 1,1 кгс/см<sup>2</sup>.

Узел управления рассчитан на обслуживание до 40 форсунок типа ФД-2 конструкции Ипполитова – ЦНИИХБИ (рис. 15.37). Форсунка ФД-2 дает два туманообразных факела

ТАБЛИЦА 15.17. ЗАВИСИМОСТИ ДЛЯ ОПРЕДЕЛЕНИЯ  $E_a$  И АЭРОДИНАМИЧЕСКОГО СОПРОТИВЛЕНИЯ ОРОШАЕМЫХ СЛОЕВ  $\Delta h$ 

Характеристика материала слоев	$d_0$ , мм	$q$ , л/(м <sup>2</sup> · ч)	Зависимости для определения	
			$E_a$	$\Delta h$ , Па
Гофрированная алюминиевая лента толщиной 0,225 мм и шириной 51 мм при толщине слоя 51 мм, удельной площади поверхности 510 м <sup>2</sup> /м <sup>3</sup> и площади поверхности ячейки 3 м <sup>2</sup>	2,5	1125	$B^{0,135} (0,15 \leq B \leq 0,2)$ $v_\phi^{-0,21} (0,6 \leq v_\phi \leq 3)$	$5,65 v_\phi^{1,97}$ ( $0,6 \leq v_\phi \leq 3$ )
Сетки из латунной проволоки диаметром 0,25 мм при толщине слоя 102 мм, удельной площади поверхности 394 м <sup>2</sup> /м <sup>3</sup> и площади поверхности ячейки 4,75 м <sup>2</sup>	2,4	1125	$0,95 v_\phi^{-0,13}$ ( $0,6 \leq v_\phi \leq 3$ )	$9,05 v_\phi^{1,9}$ ( $0,6 \leq v_\phi \leq 3$ )
Стекловолокно диаметром 135 мкм с длиной волокон 100–200 мм и плотностью 52 кг/м <sup>3</sup> при толщине слоя 51 мм, удельной площади поверхности 690 м <sup>2</sup> /м <sup>3</sup> и площади поверхности ячейки 4,84 м <sup>2</sup>	2,4	—	$0,945 B^{0,1}$ ( $0,04 \leq B \leq 0,4$ )	
	2,2	1125	$0,925 v_\phi^{-0,13}$	$29 v_\phi^{2,1}$ ( $0,6 \leq v_\phi \leq 3$ )
	2,2	1225	$0,965 v_\phi^{-0,1}$	
	2,4	1470	$0,975 v_\phi^{-0,1}$	
	5,4	—	$1,05 B^{0,1}$ ( $0,45 \leq B \leq 2$ )	
	5,4	1960	$0,785 v_\phi^{-0,1}$	
	5,4	2940	$0,865 v_\phi^{-0,08}$	
	5,4	3680	$0,88 v_\phi^{-0,1}$	
	5,4	4400	$0,96 v_\phi^{-0,1}$ ( $1,8 \leq v_\phi \leq 3$ )	
Витое нейлоновое волокно диаметром 250 мкм с длиной волокон 100 мм и плотностью 19 кг/м <sup>3</sup> при толщине слоя 44,5 мм, удельной площади поверхности 265 м <sup>2</sup> /м <sup>3</sup> и площади ячейки 1,4 м <sup>2</sup>	4	Без орошения		$24,5 v_\phi^{-1,75}$
	2,4	1125	$0,94 v_\phi^{-0,13}$ ( $0,75 \leq v_\phi \leq 3$ )	
	2,4	1470	—	$46,5 v_\phi^{1,75}$
	2,4	5900	—	$53,5 v_\phi^{1,75}$ ( $0,6 \leq v_\phi \leq 3,5$ )
Гофрированное стекловолокно диаметром 37 мкм с длиной волокон 25–50 мм и плотностью 10,85 кг/м <sup>3</sup> при толщине слоя 51 мм	2,4	1125	$1,04 B^{0,15}$ $0,95 v_\phi^{-0,085}$	$150 v_\phi$ ( $0,5 \leq v_\phi \leq 3$ )
	2,4	1225	$0,94 v_\phi^{-0,17}$	
	2,4	1470	$0,95 v_\phi^{-0,12}$	
	5,4	—	$0,96 B^{0,13}$ ( $0,13 \leq B \leq 0,9$ )	
	5,4	3680	$0,9 v_\phi^{-0,14}$	
	5,4	4400	$0,905 v_\phi^{-0,125}$ ( $0,75 \leq v_\phi \leq 3$ )	

Примечание.  $v_\phi$  – скорость потока воздуха в фасадном сечении, м/с, и  $q$ , л/(м<sup>2</sup> · ч), даны по отношению к площади поверхности ячейки;  $d_0$  – диаметр выходного отверстия форсунки, мм;  $B$  – коэффициент орошения, определяемый по формуле (15.53), где  $B = \mu$ .

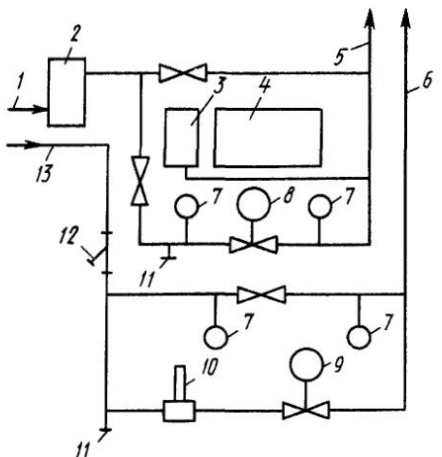


Рис. 15.36. Узел управления доувлажнительной установки «Туман»

1—грубоопровод сжатого воздуха, 2—масловодоотделитель, 3—реле давления, 4—щиток автоматики, 5—трубопровод сжатого воздуха к форсункам, 6—водопровод к форсункам, 7—манометр, 8 и 9—вентили электромагнитные типа СВМ диаметром 40 и 15 мм, 10—регулятор давления воды, 11—штуцеры для присоединения к сливному трубопроводу, 12—фильтр для воды, 13—водопровод

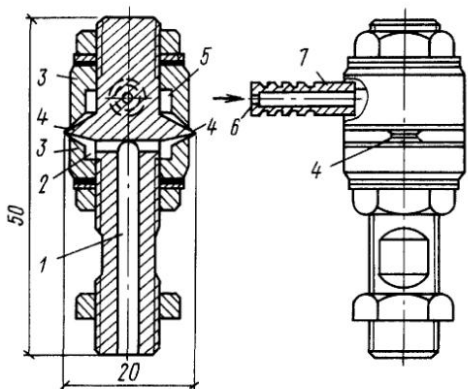


Рис. 15.37 Пневматическая форсунка типа ФД-2 ЦНИИХБИ

1—канал для сжатого воздуха, 2—полость, 3—колпачок с полостью, 4—щели, 6—отверстие в штуцере, 7—штуцер для воды

длиной 2,5–3 м. Производительность каждой форсунки 5 л/ч при расходе сжатого воздуха 4 м<sup>3</sup>/ч (при давлении 11 кПа). Вода, подаваемая к узлу управления, должна быть питьевого качества и иметь давление от 10 до 60 кПа.

Давление воды после редуктора (на уровне установки форсунок) должно составлять 2 кПа.

Для предотвращения конденсации влаги на водяных трубах и капели с них следует подогревать воду, подаваемую к узлу управления, до температуры 25–30 °С или изолировать водяные трубы. В месте присоединения трубопровода воды к магистралям цеха следует устраивать водяной затвор.

Сжатый воздух, подаваемый к узлу, должен быть очищен от воды и масла. Рекомендуется охлаждать подаваемый воздух до температуры 25 °С. Давление сжатого воздуха перед узлом управления должно быть не менее 20 и не более 60 кПа. При обслуживании узлом управления более 25 форсунок его нужно размещать симметрично по отношению к разводящим трубам с форсунками.

Форсунки доувлажнения следует устанавливать над основными проходами цеха и так, чтобы водяные факелы были направлены вдоль проходов между машинами. Свободное пространство до препятствий (стен, колонн, машин), на которые может осаждаться взвешенная влага из факела, должно быть на 0,7–1,2 м больше длины видимого водяного факела. Форсунки устанавливают на высоте не ниже 3 м над полом или 1,25 м над оборудованием и на расстоянии не менее 0,7 м от потолка.

## 15.6.2. Увлажнение воздуха паром

Схема процесса изменения состояния паро-воздушной смеси на J – d-диаграмме характеризуется лучом тепловлажностного отношения

$$\epsilon = 1000 \frac{J_1 - J_2}{d_1 - d_2} = J_n, \quad (15.65)$$

где  $J_n$  — удельная энталпия вводимого пара, кДж/кг,  $J_1$ ,  $J_2$ ,  $d_1$  и  $d_2$  — то же, что и в формуле (15.64).

Пренебрегая небольшим повышением температуры воздуха при его увлажнении паром, обычно считают этот процесс изотермическим.

Пар применяют для общего и зонального увлажнения воздуха; при этом повышается степень изотермического увлажнения воздуха, обеспечивается раздельное регулирование влажности и может быть достигнута экономия затрат на увлажнение. Перспективно использование парового увлажнения в местных кондиционерах. Запах пара

возникает вследствие возгонки органических соединений, содержащихся в конденсате или в воде, поступающих в котлы.

В местных автономных кондиционерах применяют увлажнители в виде ванны с водой, поверхность которой обдувается воздухом. Такие увлажнители работают бесшумно, производят пар без запаха и без включения минеральных частиц.

Увлажнители в виде герметических генераторов пара более компактны и удобны в эксплуатации, однако при необходимости избавиться от взвешенных солей жесткости воды пар требуется фильтровать.

### 15.6.3. Двухступенчатое испарительное охлаждение воздуха

Двухступенчатое испарительное охлаждение воздуха производится в водовоздушном теплообменнике (I ступень) и в форсуночной или насадочной камере (II ступень). В теплообменнике воздух охлаждается поступающей холодной водой, которая предварительно охлаждается (при частичном испарении в воздухе) в градирне. СКВ с двухступенчатым испарительным охлаждением можно классифицировать по пропуску воздуха через градирню (работающие на наружном воздухе; на воздухе, удаляемом из помещений; на смеси наружного и удаляемого воздуха) и по виду охладителей I ступени (с водовоздушными теплообменниками рекуперативного или регенеративного типа).

Процессы двухступенчатой обработки воздуха в системе с рекуперативным водовоздушным теплообменником, в которой пленочная градирня и кондиционер работают на одном наружном воздухе, показаны на рис. 15.38. Наружный воздух проходит поверхностный воздухоохладитель и охлаждается в нем от состояния 1 до состояния 2. Затем воздух орошаются циркулирующей водой, разбрзгиваемой в камере, и изэнталпийно увлажняется и охлаждается до состояния 3. Проходя через вентилятор  $B_1$ , воздух нагревается на  $0,5\text{--}1^\circ\text{C}$  и выпускается в помещение с параметрами, соответствующими точке 4, а после ассимиляции теплоты и влаги в помещении принимает параметры точки 5. Вода для теплообменника охлаждается в градирне  $\Gamma$  (или в камере орошения),

через которую проходит наружный воздух с параметрами, характеризуемыми точкой 1. При этом воздух увлажняется, температура его понижается, а энталпия повышается за счет теплоты охлаждаемой воды.

Для построения схемы этого процесса на  $J - d$ -диаграмме находят температуру наружного воздуха по мокрому термометру (точка 6) и устанавливают величину  $\Delta\theta$ :

$$\Delta\theta = t_{b,k}^r - t_{m1}. \quad (15.66)$$

Обычно при охлаждении воды на  $5,5; 4$  и  $3^\circ\text{C}$  соответственно принимают  $\Delta\theta$  равной  $5,5; 4$  и  $3^\circ\text{C}$ . Конечную температуру,  $^\circ\text{C}$ , охлажденной в градирне воды (точка 7) находят из формулы (15.66):

$$t_{b,k}^r = t_{m1} + \Delta\theta. \quad (15.67)$$

При построении процесса охлаждения воздуха в воздухоохладителе (прямая 1-2) следует иметь в виду, что перепад температур

$$\Delta t_s = t_2 - t_{b,k}^r \geq 2, \quad (15.68)$$

но желательно принимать  $\Delta t_s \geq 3$ .

Разность температур воды в воздухоохладителе  $A$  принимают равной  $\Delta t_w = t_{b,k} - t_{b,w} \leq \leq 3$ . Далее находят точку 8, характеризующую начальную температуру воды, поступающей в градирню,

$$t_{b,w}^r = t_{b,k}^r + \Delta t_w. \quad (15.69)$$

Если энталпия воздуха в помещении существенно ниже энталпии наружного воздуха, например равна  $J_5$ , то целесообразно направлять в градирню  $\Gamma$  внутренний, удаляемый из здания воздух вместо наружного. Тогда дальнейший расчет охлаждения воды в градирне можно вести от точки 6'. Вода, поступающая в воздухоохладитель  $A$ , будет иметь более низкую температуру, чем при пропускании через градирню наружного воздуха.

Далее вычисляют коэффициент эффективности испарительного охлаждения воды в градирне. По И. А. Шепелеву\*,

$$E_w^r = (t_{b,w}^r - t_{b,k}^r)/(t_{b,w}^r - t_{m1}) = (1 - M)/(1 - KM), \quad (15.70)$$

где  $M$  — вспомогательная величина:

\* Шепелев И. А. О типовом расчете пленочных градирен // Холодильная техника.—1979.—№ 4.

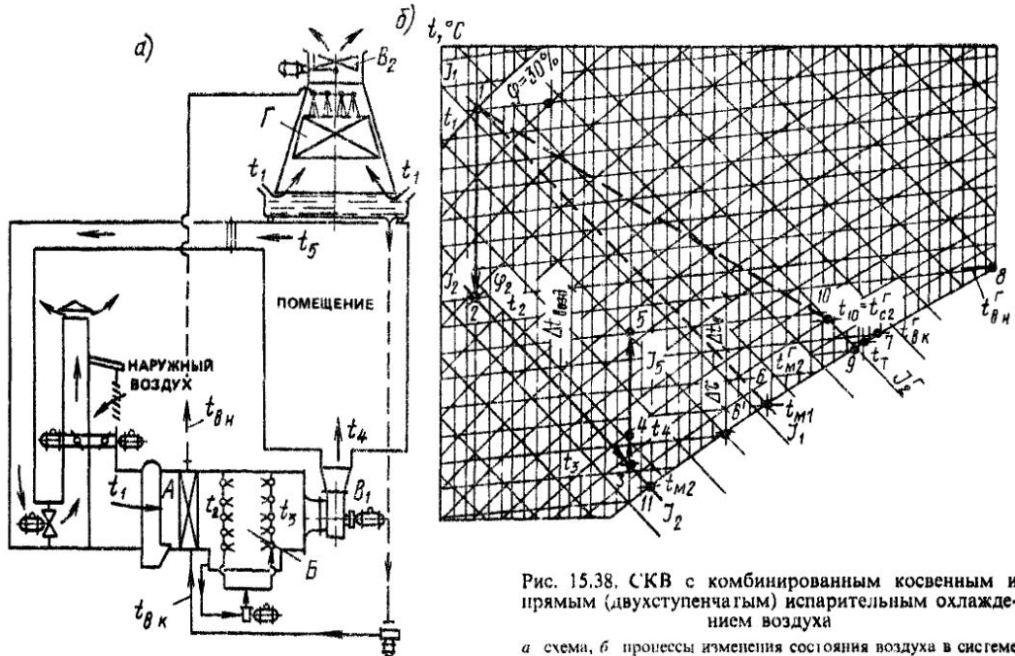


Рис. 15.38. СКВ с комбинированным косвенным и прямым (двухступенчатым) испарительным охлаждением воздуха

а схема, б процессы изменения состояния воздуха в системе

$$M = \exp \left( -\frac{1-K}{K} \Psi \right); \quad (15.71)$$

$$K = 4,187 (t_{\theta, n}^r - t_{m1}) B_r / (J_{\theta, n}^r - J_1); \quad (15.72)$$

$$\Psi = 0,092 v^{0.2} h^{0.8} / \tau v^{0.2}; \quad (15.73)$$

$t$ ,  $h$ -соответственно просвет между пластинами пленочной градирни и их высота, м;  $v$ -скорость воздуха в живом сечении насадки, м/с;  $v$ -кинематическая вязкость воздуха,  $\text{м}^2/\text{с}$ ;  $B_r$ -коэффициент орошения воздуха водой в градирне, кг/кг

Конечную температуру воздуха,  $^{\circ}\text{C}$ , после градирни можно приблизенно найти по формуле

$$E_b^r = (t_{c1} - t_{b, k}^r) / (t_{c1} - t_{b, k}^r) = \\ = 1,58 B_r^{0.19} (\nu p)_r^{-0.53} \xi^{-0.1}. \quad (15.74)$$

При  $(\nu p)_r \geq 3 \text{ кг}/(\text{м}^2 \cdot ^{\circ}\text{C})$  и  $\xi = 1,25$  из формулы (15.74) следует

$$t_{c2}^r \approx t_{c1} - 0.9 (t_{c1} - t_{b, k}^r) B_r^{0.2} \quad (15.75)$$

Энтальпия воздуха на выходе из градирни определяется из уравнения теплового баланса

$$J_2^r = J_1 + 4,187 (t_{b, m}^r - t_{b, k}^r) B_r.$$

По известным значениям  $t_{c1}$  и  $t_{m1}$  и найденным значениям  $t_{c2}^r$  и  $J_2^r$  строят на  $J-d$ -диаграмме процесс изменения состояния воздуха в градирне (точки I-10).

диаграмме процесс изменения состояния воздуха в градирне (точки I-10).

**Пример 15.4.** В помещении выделяется 11,61 кВт явной теплоты. Параметры наружного воздуха:  $t_{c1} = 30^{\circ}\text{C}$ ;  $\varphi_1 = 30\%$ ;  $J_1 = 50,6 \text{ кДж}/\text{кг}$ . Температура воздуха, уходящего из помещения, должна быть  $t_5 = 21^{\circ}\text{C}$ . Требуется определить количество воздуха, которое необходимо пропустить через градирню и ввести в помещение.

Проводим на  $J-d$ -диаграмме прямую I-6 и находим  $t_{m1} = 18^{\circ}\text{C}$ . Принимаем значение  $\Delta\theta = 2^{\circ}$  и по уравнению (15.66) получаем  $t_{b, k}^r = 18 + 2 = 20^{\circ}\text{C}$ .

Принимаем  $\Delta t_b = 3$  и по уравнению (15.67) находим  $t_2 = 20 + 3 = 23^{\circ}\text{C}$ . Строим прямую I-2 по  $d_1 = \text{const}$  при  $t_2 = 23^{\circ}\text{C}$  и прямую 2-II по  $J_2 = \text{const}$ , тогда  $t_{m2} = 15,4^{\circ}\text{C}$ .

Принимаем эффективность процесса теплообмена  $E_b$  в камере орошения Б равной 0,9 и находим температуру выходящего из камеры воздуха:  $t_3 = 23 - (23 - 15,4) 0,9 = 16,2^{\circ}\text{C}$ . Плотность воздуха  $\rho = 1,193 \text{ кг}/\text{м}^3$ .

Принимаем повышение температуры воздуха в вентиляторе равным  $1^{\circ}\text{C}$ , тогда  $t_4 = 17,2^{\circ}\text{C}$ .

Вычисляем расход вводимого в помещение воздуха

$$L_b^n = Q_b / c_p \rho (t_5 - t_4) = 11,61 / 1 \times \\ \times 1,193 (21 - 17,2) = 2,56 \text{ кг/с} (9140 \text{ кг/ч}).$$

Производительность вентилятора  $B_1$  с учетом 10% потерь воздуха составит  $L_b = 2,56 \cdot 1,1 = 2,78 (10\,300 \text{ м}^3/\text{ч})$ .

Принимаем  $\Delta t_b = 2^\circ$ , тогда по формуле (15.69)  $t_{b,n}^r = 20 + 2 = 22$ . Находим расход воды, охлаждаемой в градирне (с учетом 10% дополнительных теплопоступлений в трубопроводы и в градирню):

$$W_r = 11,61 \cdot 1,1 / (4 \cdot 1,187 \cdot 2) = 1,52 \text{ кг/с} (5480 \text{ кг/ч}).$$

Начальной температуре воды  $t_{b,n}^r = 22^\circ\text{C}$  соответствует по  $J-d$ -диаграмме энталпия насыщенного воздуха  $J_{b,n} = 64,1 \text{ кДж/кг}$ .

Принимаем высоту пленконесущих пластин в градирне  $h = 2 \text{ м}$ , промежуток между ними  $\tau = 0,05 \text{ м}$ , скорость в живом сечении насадки  $v = 3,5 \text{ м/с}$ , кинематическую вязкость воздуха  $\nu = 16,61 \cdot 10^{-6} \text{ м}^2/\text{с}$  и по формуле (15.73) вычисляем

$$\Psi = 0,092 (16,61 \cdot 10^{-6})^{0,2} 20,8 / (0,05 \cdot 3,5^{0,2}) = 0,278.$$

Принимаем коэффициент орошения в градирне  $B_r = 0,6$  и по формуле (15.72) находим

$$K = 4,187 (22 - 18) 0,6 / (64,1 - 50,6) = 0,744.$$

По формуле (15.73) вычисляем вспомогательную величину

$$M = \exp [-(1 - 0,744) 0,278 / 0,7] = 0,9.$$

По формуле (15.70) определяем коэффициент эффективности теплообмена в градирне  $E_b^r = (1 - 0,9) / (1 - 0,744 \cdot 0,9) = 0,3$ .

Из уравнения (15.69) находим конечную температуру воды,  ${}^\circ\text{C}$ , после градирни

$$t_{b,k}^r = 22 - 0,3 (22 - 18) = 20,8.$$

Из уравнения (15.75) и уравнения теплового баланса находим конечную температуру воздуха и его энталпию после градирни:

$$t_{c2}^r \approx 30 - 0,9 (30 - 20,8) 0,6^{0,2} = 22,5 {}^\circ\text{C};$$

$$J_2^r = 50,6 + 4,187 (22 - 20,8) 0,6 = 53,6 \text{ кДж/кг}.$$

Затем рассчитываем и подбираем теплообменник косвенного испарительного охлаждения (I ступень), форсуночную камеру (II ступень охлаждения) и градирню. Количество

воздуха, пропускаемого через градирню, составляет  $W_r = 1,52 / 0,6 = 2,53 \text{ кг/с} (9100 \text{ кг/ч})$ .

## 15.7. ПОВЕРХНОСТНЫЕ ВОЗДУХОХЛАДИТЕЛИ

### 15.7.1. Общие сведения

Для охлаждения и осушки воздуха помимо камер орошения могут использоваться воздухоохладители блоков тепломассообмена БТМ2, которыми комплектуется третья базовая схема центральных кондиционеров КТЦЗ (см. прил. III). В режимах охлаждения и осушки (влагопадения) могут быть применены также поверхностные теплообменники блоков теплоутилизации БТЧ-3 и БТОЧ-3, которыми комплектуется четвертая базовая схема, а также воздухонагреватели I подогрева.

В воздухоохладителях (ВО) в качестве холодоносителя используется охлажденная вода при давлении до 1,2 МПа. Применение воздухоохладителей и соответственно закрытой системы холоснабжения целесообразно при отсутствии воды питьевого качества, при необходимости сокращения продольного размера установки или невозможности организации самотечного слива отапленной воды от установки и т. п.

Воздухоохладители центральных кондиционеров комплектуются из групп базовых теплообменников различной или одинаковой рядности. Число и тип базовых теплообменников, заполняющих фронтальное сечение ВО, для каждого типоразмера кондиционера приведены в табл. 15.18. Технические и конструктивные характеристики базовых теплообменников даны в прил. III. Для группы теплообменников, расположенных последовательно по воздуху, применяется по ходу воздуха параллельная или последовательно-противоточная схема обвязки по холодоносителю.

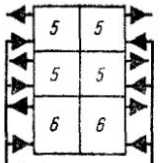
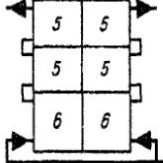
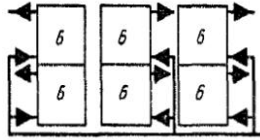
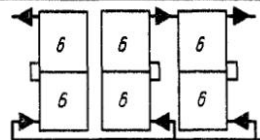
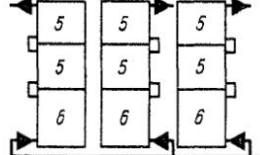
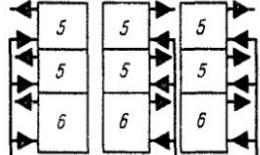
### 15.7.2. Расчет поверхностных воздухоохладителей

Графоаналитический метод теплотехнического и аэрогидродинамического расчета воздухоохладителей центральных кондиционеров, основанный на теоретических и экспериментальных работах, проведенных во ВНИИкондиционере, разработан Б. И. Бяльм

ТАБЛИЦА 15.18 ЧИСЛО И ТИП БАЗОВЫХ ТЕПЛООБМЕННИКОВ

Кондиционер	Схема обвязки теплообменника по воде		№ рисунка
	по фронту	по ходу воздуха	
КТЦЗ-10		Параллельная	15.40, а
		Последовательно-противоточная	15.40, б
КТЦЗ-20		Параллельная	15.40, в
		Последовательно-противоточная	15.40, г
КТЦЗ-31,5		Параллельная	15.41, а
		Последовательно-противоточная	15.41, б
КТЦЗ-40		Параллельная	15.41, в
		Последовательно-противоточная	15.41, г
КТЦЗ-63		Параллельная	15.41, а
		Последовательно-противоточная	15.41, б
КТЦЗ-80		Параллельная	15.42, б
		Последовательно-противоточная	15.41, г
КТЦЗ-125		Параллельная	15.41, а
		Последовательно-противоточная	15.41, б
		Параллельная	15.42, а

Продолжение табл. 15.18

Кондиционер	Схема обвязки теплообменника по воде		№ рисунка
	по фронту	по ходу воздуха	
КТЦЗ-160		Параллельная Последовательно-противоточная	15.42, б 15.42, в
		Параллельная	15.42, г
КТЦЗ-200		Параллельная Последовательно-противоточная	15.41, а 15.41, б
		Параллельная	15.42, а
КТЦЗ-250		Параллельная Последовательно-противоточная	15.42, б 15.42, в
		Параллельная	15.42, г

Условные обозначения на эскизах: 3 и 4 - базовые теплообменники  $H = 1,25$  м и соответственно  $l_t = 828$  и 1655 мм; 5 и 6 - базовые теплообменники  $H = 1,5$  м и 2 м;  $l_t = 1655$  мм.

и А. В. Степановым\*. Методика справедлива в широком диапазоне изменения скорости воды  $0,1 < w < 2,0 \text{ м/с}$  и массовой скорости воздуха во фронтальном сечении  $v_p = 2 - 5 \text{ кг}/(\text{м}^2 \cdot \text{с})$ .

В основу методики теплотехнического расчета ВО положено представление об условном процессе сухого охлаждения, принимаемом вместо расчетного реального процесса и описываемом безразмерными теплотехническими характеристиками.

Для построения условного процесса (рис. 15.39) через заданные точки с начальными ( $J_{v,n}, t_{v,n}$ ) и конечными ( $J_{v,k}, t_{v,k}$ ) параметрами охлаждаемого воздуха проводится луч процесса обработки воздуха в ВО до пересечения с кривой  $\varphi = 100\%$  в точке  $t_n$ . В режимах с влаговыпадением указанная точка характеризует среднюю температуру поверхности ВО. Через заданные точки проводятся также изоэнталпии ( $J_{v,n} = \text{const}$ ,  $J_{v,k} = \text{const}$ ) до пересечения с линией постоянного влагосодержания  $d_n = \text{const}$  точки  $t_n$ . Значения температур ( $t_{v,n}^p$  и  $t_{v,k}^p$ ) в точках пересечения изоэнталпий с линией  $d_n = \text{const}$  являются расчетными и характеризуют условный процесс сухого охлаждения воздуха.

Теплотехнические характеристики выражаются относительными перепадами температур по воздуху  $\theta_v$  и воде  $\theta_w$ , соответствующими относительному охлаждению воздуха и относительному нагреву воды в ВО.

В общем виде относительные перепады температур выражаются зависимостями:

$$\theta_v = \Delta t_{v,n} / \Delta t_{v,k}; \quad (15.76)$$

$$\theta_w = \Delta t_{w,k} / \Delta t_{w,n}, \quad (15.77)$$

где

$$\Delta t_{v,n} = t_{v,n} - t_{v,k}; \quad (15.78)$$

$$\Delta t_{w,k} = t_{w,k} - t_{w,n}; \quad (15.79)$$

$$\Delta t_{w,n} = t_{w,n} - t_{w,k}. \quad (15.80)$$

Для режимов с влаговыделением рекомендуется использовать зависимости:

\* Руководящий материал по центральным кондиционерам. ч. II. Методические материалы по расчету и выбору оборудования централизованных кондиционеров КТЦЗ. Альбом III. Методика расчета воздухоохладителей. -М.: СантехНИИпроект 1981

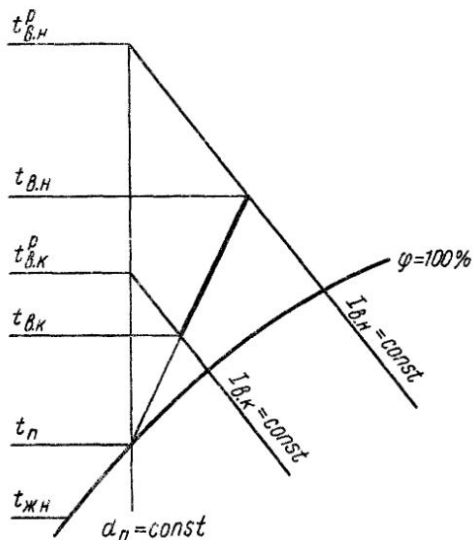


Рис. 15.39 Построение условного процесса сухого охлаждения

$$\theta_v = \frac{J_{v,n} - J_{v,k}}{J_{v,n} - rd_n - c_v t_{w,n}}; \quad (15.81)$$

$$\theta_w = \frac{t_{w,k} - t_{w,n}}{(J_{v,n} - rd_n)/c_v - t_{w,n}}. \quad (15.82)$$

Относительные перепады температур  $\theta_v$  и  $\theta_w$  зависят от площади тепlop передающей поверхности ВО, массовых расходов воздуха и воды, схем обвязки базовых теплообменников по фронту и по ходу воздуха. Расчетные зависимости для вычисления  $\theta_v$  и  $\theta_w$  ВО, состоящих из группы базовых теплообменников, сложны и громоздки. Поэтому для упрощения выбора воздухоохладителей ВНИИкондиционером разработаны теплотехнические характеристики установок ВО в виде графиков зависимостей  $\theta_w(\theta_v)$ , представленные на номограммах рис. 15.40–15.42.

Графики зависимостей  $\theta_w(\theta_v)$ , расположенные в одном квадранте координатной плоскости, построены для воздухоохладителей блоков тепломассообмена БТМ-2 и блоков теплоутилизации БТЧ-3 и БТОЧ-3 кондиционеров КТЦЗ производительностью от 10 до 250 тыс.  $\text{м}^3/\text{ч}$  с числом рядов трубок  $n = 1-8$ . Обозначения кривых  $\theta_w(\theta_v)$  на номограммах рис. 15.40–15.42 приведены в табл. 15.19.

Кривые  $\theta_w(\theta_v)$  построены при значениях

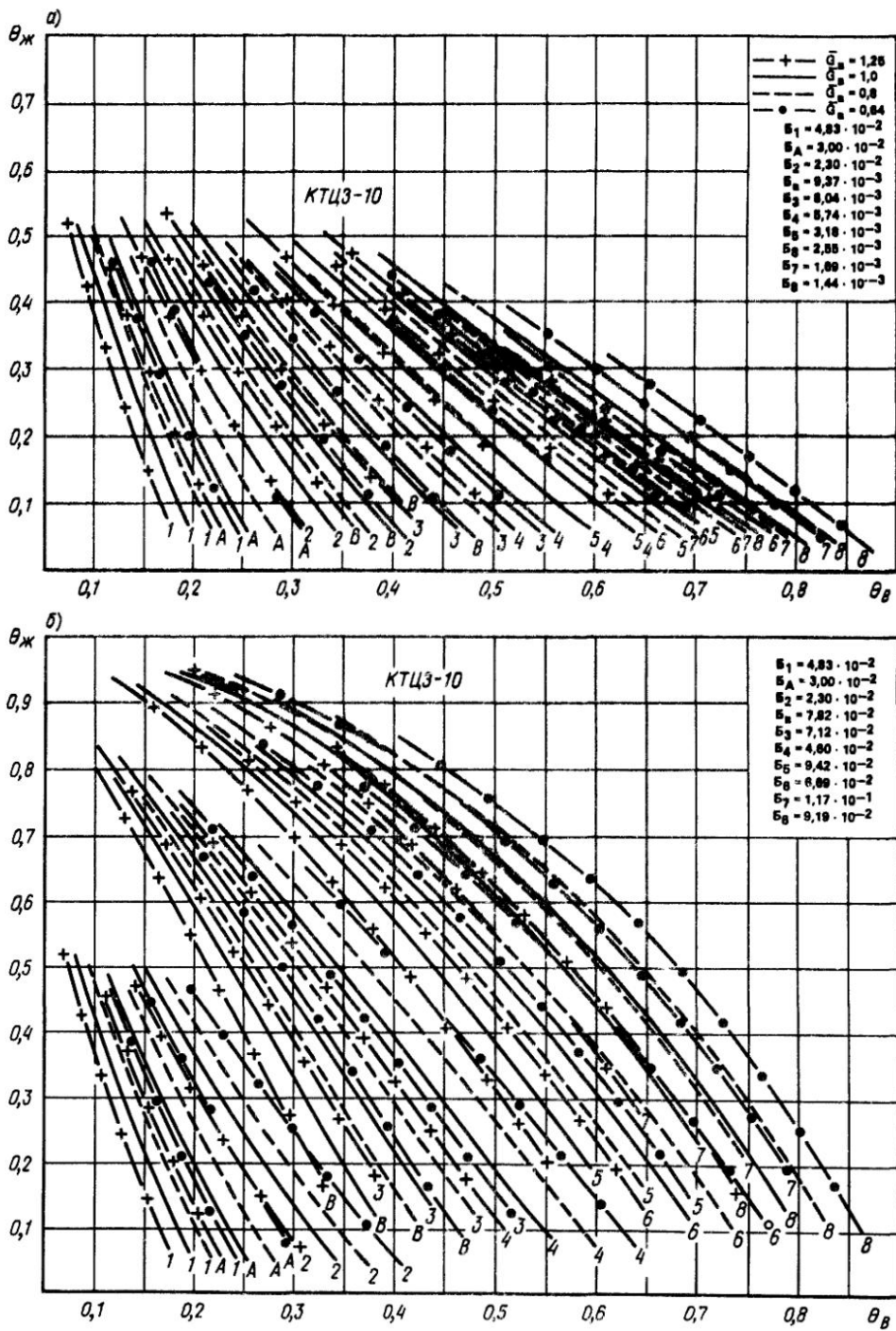
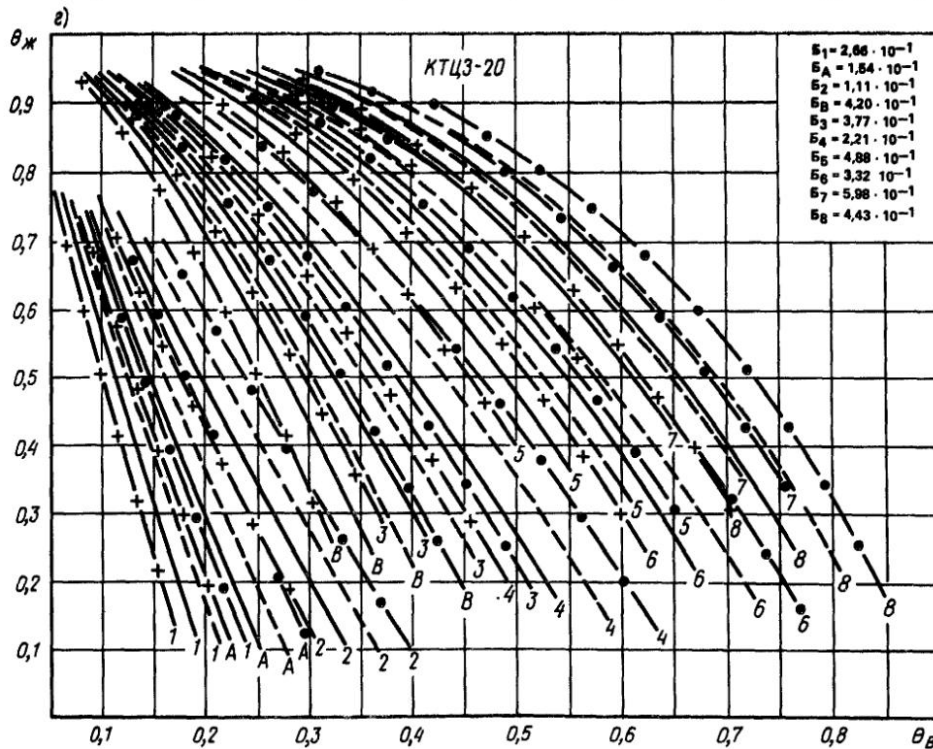
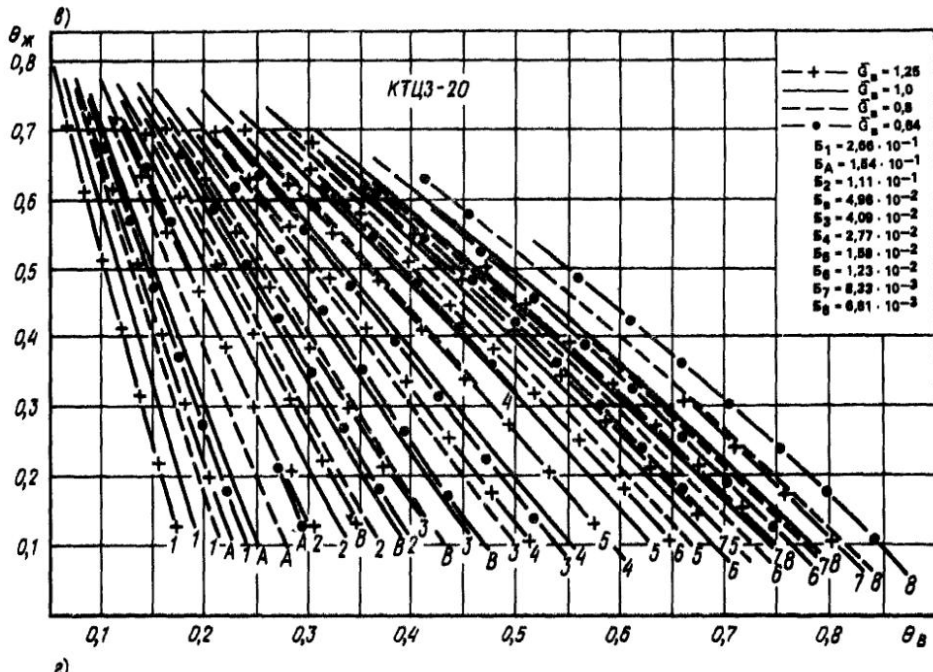


Рис. 15.40. Теплотехнические и гидравлические характеристики теплообменников кондиционеров КТЦЗ-10 и КТЦЗ-20 с параллельной схемой обвязки (а, в) и последовательно-противоточной (б, г)



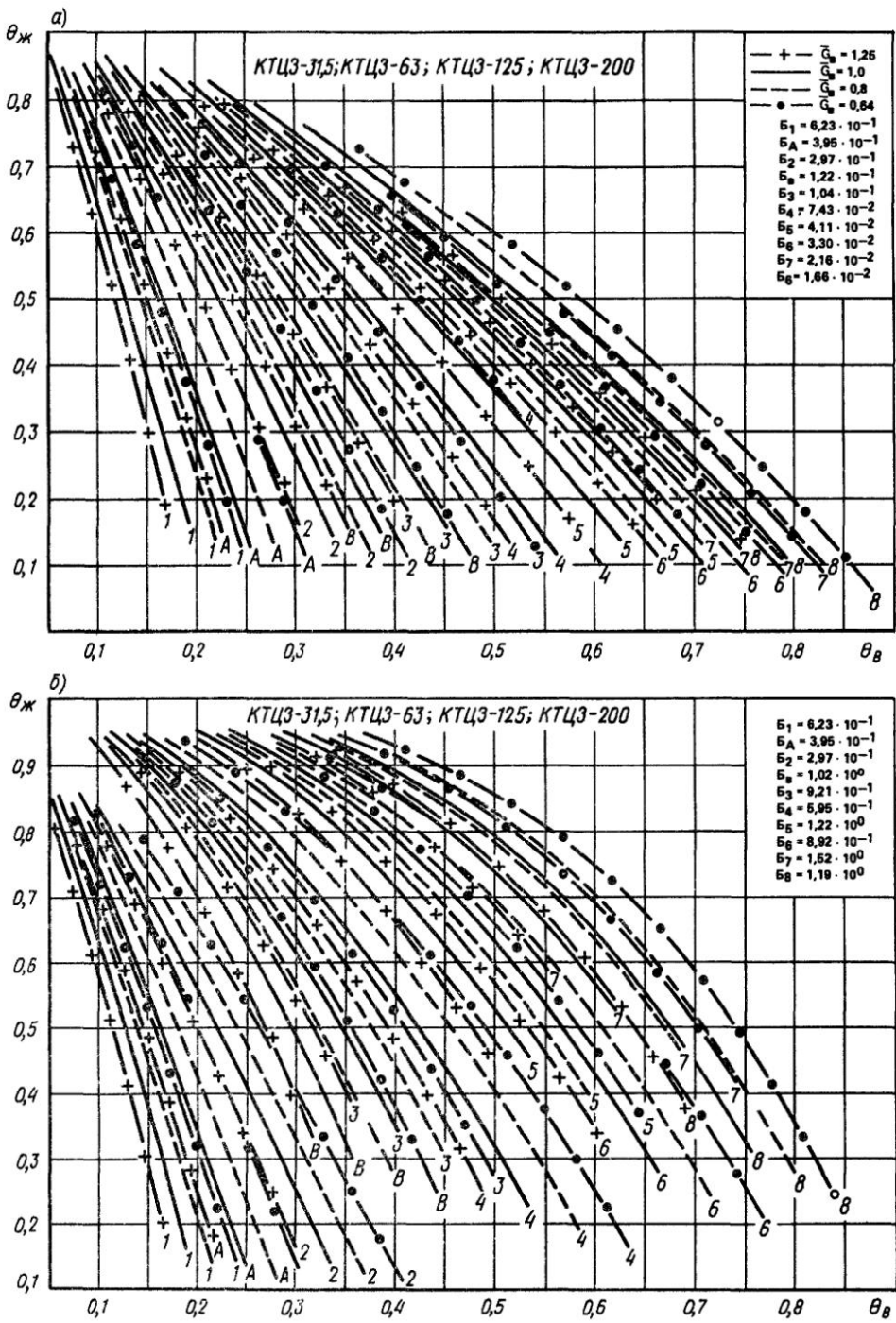
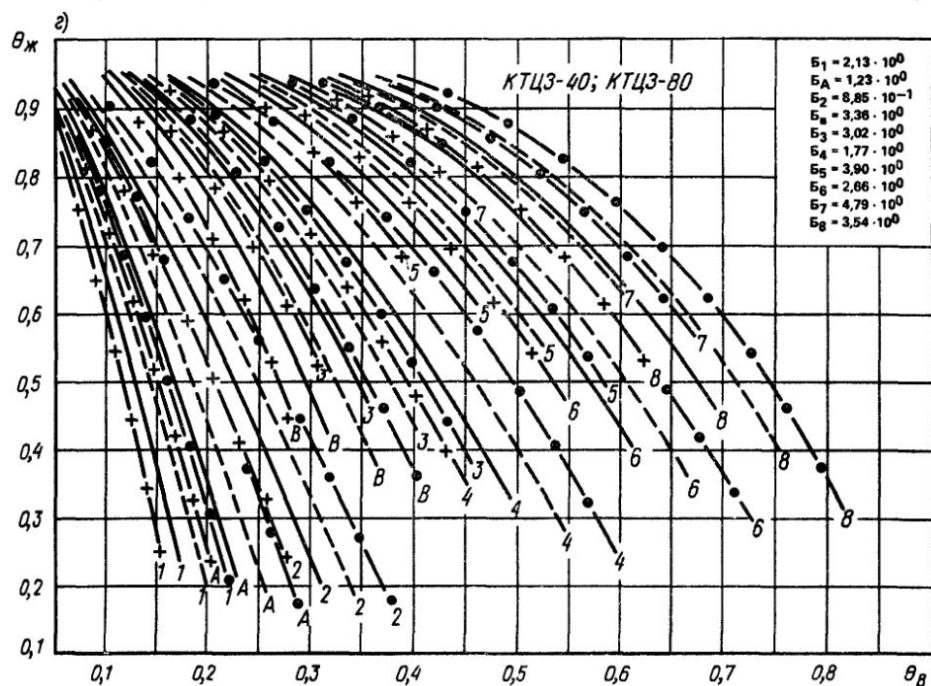
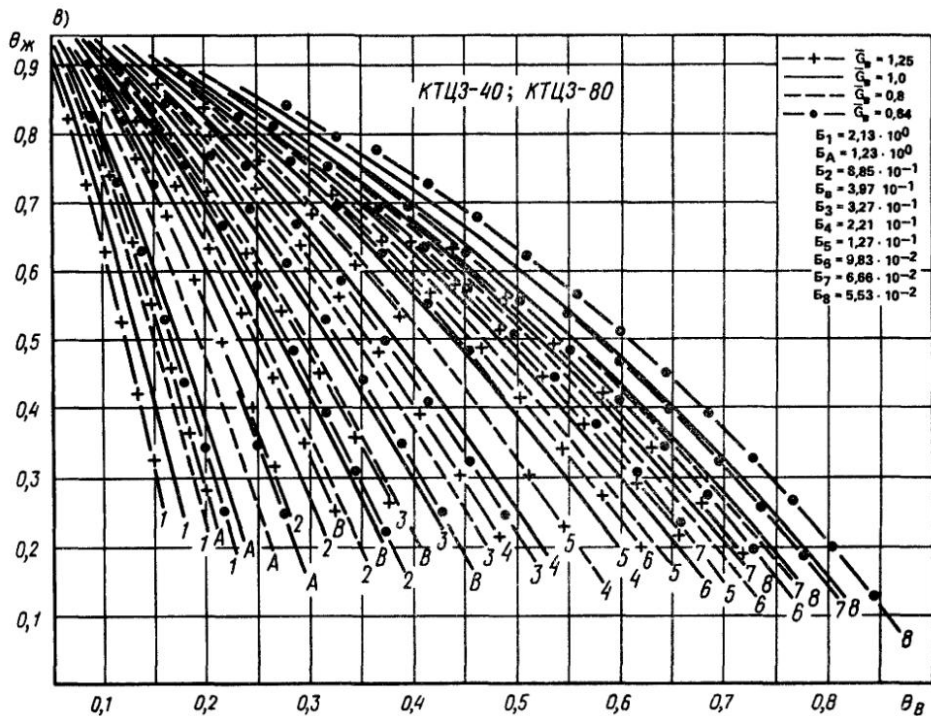


Рис. 15.41. Технологические и гидравлические характеристики теплообменников кондиционеров КТЦЗ-31,5; КТЦЗ-40; КТЦЗ-63; КТЦЗ-80; КТЦЗ-125; КТЦЗ-200 с параллельной схемой обвязки (*a*, *в*) и последовательно-противоточной (*б*, *г*)



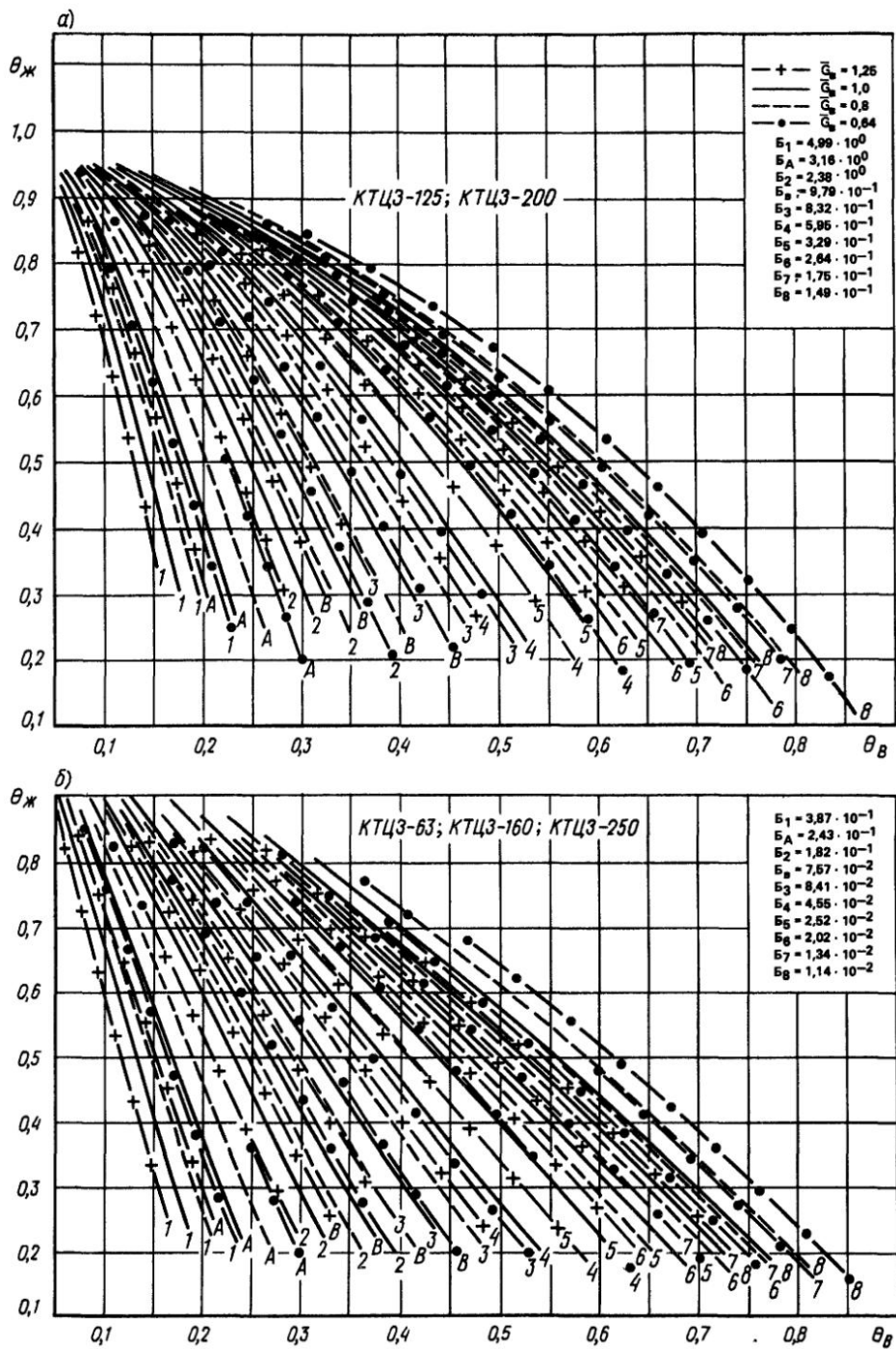


Рис. 15.42. Теплотехнические и гидравлические характеристики теплообменников кондиционеров КТЦЗ-63; КТЦЗ-125; КТЦЗ-160; КТЦЗ-200; КТЦЗ-250 (*а*, *б*, *г*—см. в табл. 15.18)

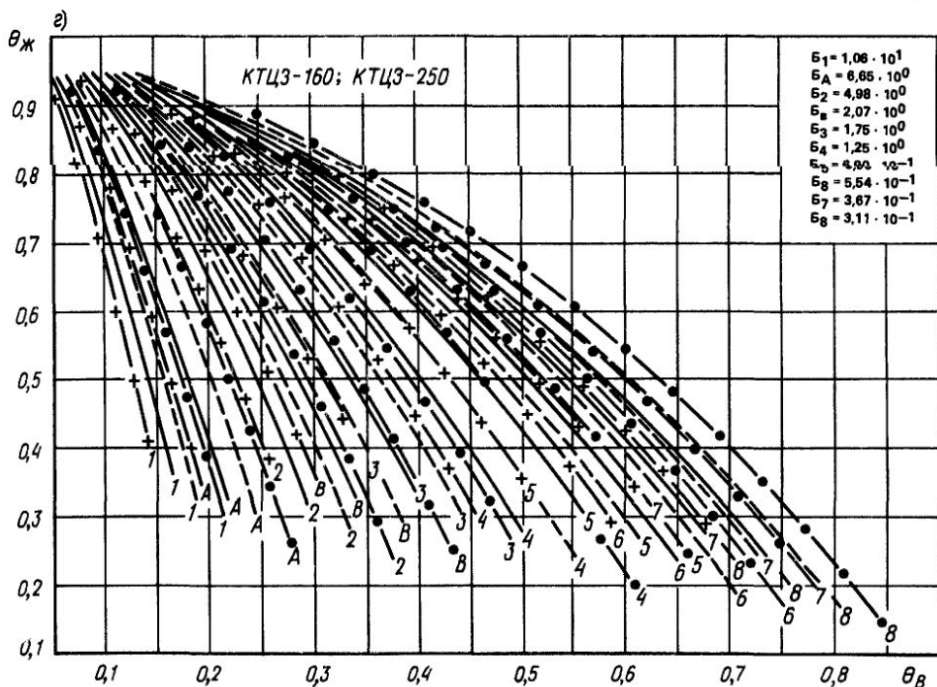
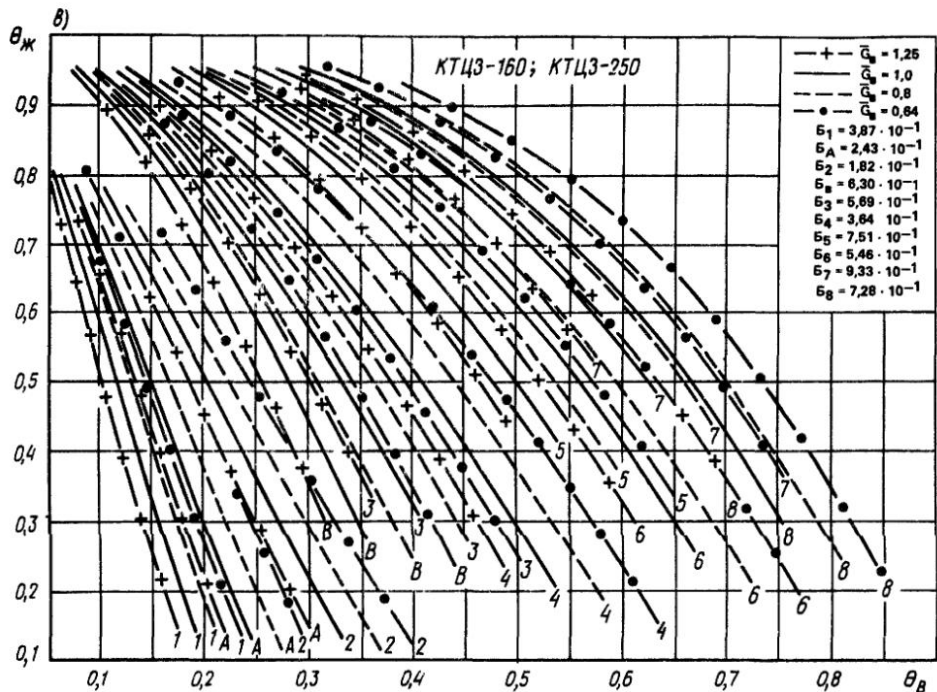


ТАБЛИЦА 15.19. ОБОЗНАЧЕНИЕ КРИВЫХ  $\theta_*(\theta_b)$  НА НОМОГРАММАХ РИС. 15.40–15.42

Число рядов трубок по ходу воздуха теплообменников	Обозначение кривых $\theta_*(\theta_b)$									
	1	A	2	B	3	4	5	6	7	8

Общее	1	1,5	2	2,5	3	4	5	6	7	8
Последовательно в каждом из установ- ленных теплообмен- ников	1	1,5	2	1+1,5	1+2	2+2	1+2+2	2+2+2	2+2+2+2	2+2+2+2

скоростей холодоносителя в трубках ВО от 0,1 до 2 м/с (верхние концы кривых соответствуют меньшим значениям скоростей, нижние – большим) при относительных расходах  $G_b = G_b/G_{\text{ном}}$ , равных 0,64; 0,8; 1,0; 1,25. Выбор номограммы производится по табл. 15.19 в зависимости от заданного типоразмера кондиционера, схемы обвязки ВО по теплоносителю.

При расчете ВО встречаются два вида задач – прямая и обратная:

**прямая задача** – определяются требуемая площадь теплообменной поверхности, обвязка ВО, начальная температура и расход холодоносителя при заданных расходе, начальных и конечных параметрах обрабатываемого воздуха:

**обратная задача** (поверочный расчет ВО) – определяются конечные параметры воды и обрабатываемого воздуха при заданных расходах воды и воздуха, начальных параметрах воды и воздуха, площади теплообменной поверхности и обвязки ВО.

Теплотехнический расчет воздухоохладителей выполняется в такой последовательности.

**I. Прямая задача.** Исходные данные: расход воздуха  $G_b$ , начальные  $t_{b,n}$ ,  $J_{b,n}$  и конечные  $t_{b,k}$ ,  $J_{b,k}$  температуры и энталпии обрабатываемого воздуха. Требуется определить типоразмер ВО, требуемую площадь теплообменной поверхности  $F$ .

1. На  $J - d$ -диаграмме строят условный процесс сухого охлаждения по рис. 15.39 и находят расчетные значения  $t_{b,n}^p$ ,  $t_{b,k}^p$  и  $t_n$ ,  $d_n$ . Если луч процесса не пересекает кривую  $\phi = 100\%$ , то осуществление заданного режима невозможно.

2. Начальную температуру воды  $t_{k,n}$  выбирают из условия:  $t_n - t_{k,n} = 3 - 6^\circ\text{C}$  для режимов с влаговыпадением;  $t_n - t_{k,n} < 3 - 6^\circ\text{C}$  для режимов без влаговыпадения

3. Относительный перепад температур по воздуху  $\theta_b^p$  вычисляют по формулам (15.76), (15.78), (15.80) или (15.81).

4. Относительный расход воздуха  $\bar{G}_b$  определяют по формуле

$$\bar{G}_b = G_b/G_b^{\text{ном}}, \quad (15.83)$$

где  $G_b^{\text{ном}}$  – номинальный расход воздуха для соответствующего типоразмера кондиционера.

5. По табл. 15.18 для заданного типоразмера кондиционера выбирают номограммы по рис. 15.40–15.42, описывающие возможные варианты обвязки ВО по теплоносителю.

6. На выбранной номограмме проводят вертикальную линию расчетного значения  $\theta_b^p$ , соответствующего условному процессу охлаждения, до пересечения с кривыми  $\theta_*(\theta_b)$  различной рядности при заданном  $\bar{G}_b$ . Каждая из точек пересечения обеспечивает заданную холодопроизводительность в ВО с различным числом рядов трубок. Выбор оптимального варианта определяется на основании технико-экономического сравнения.

7. Расход воды  $G_k$  для каждого варианта определяют по формуле

$$G_k = G_b \frac{c_b \theta_b}{c_k \theta_*}, \quad (15.84)$$

где  $\theta_*$  – ордината точки пересечения вертикальной линии  $\theta_b^p = \text{const}$  с выбранной зависимостью  $\theta_*(\theta_b)$ .

8. Конечную температуру воды  $t_{k,k}$  вычисляют по формуле

$$t_{k,k} = t_{k,n} + \theta_*(t_{b,n}^p - t_{k,n}). \quad (15.85)$$

**II. Обратная задача.** Исходные данные: расход воздуха  $G_b$  и холодоносителя  $G_k$ , начальные температура  $t_{b,n}$ , энталпия  $J_{b,n}$  обрабатываемого воздуха, начальная температура холдоносителя  $t_{k,n}$ , число рядов трубок  $n$ , схема обвязки ВО. Требуется определить конечные температуру  $t_{b,k}$  и энталпию  $J_{b,k}$  об-

рабатываемого воздуха, конечную температуру холодоносителя  $t_{\text{ж.к}}$ .

1. Определяют относительный расход воздуха  $G_b$  по формуле (15.83).

2. По табл. 15.18 выбирают номограмму для заданного типоразмера и обвязки ВО, на которой построена зависимость  $\theta_b(\theta_a)$ , соответствующая заданным рядности  $n$  и  $G_b$ .

3. Тангенс угла наклона луча на номограмме определяют по формуле

$$\theta_b/\theta_a = c_b G_b / c_{\text{ж}} G_{\text{ж}}. \quad (15.86)$$

4. На выбранной номограмме строят луч с наклоном по п. 3.

5. Фактические значения  $\theta_b$  и  $\theta_a$  находят как координаты точки пересечения луча с данной кривой  $\theta_b(\theta_a)$  на выбранной номограмме.

6. Температуру в точке  $t_n$  определяют по заданному значению  $t_{\text{ж.к}}$  из условия  $t_n - t_{\text{ж.к}} = -3 - 6^{\circ}\text{C}$ . Если  $t_n$  меньше температуры точки росы начального воздуха, то режим обработки воздуха проходит с влаговыпадением, если больше – без влаговыпадения (сухое охлаждение).

7. На  $J - d$ -диаграмме строят условный процесс сухого и реального охлаждения воздуха по заданным  $t_{\text{ж.к}}$ ,  $J_{\text{ж.к}}$  и полученному значению  $t_n$ .

8. Находят расчетную начальную температуру воздуха  $t_{\text{ж.к}}^0$  для условного процесса сухого охлаждения воздуха на  $J - d$ -диаграмме.

9. Расчетную конечную температуру воздуха  $t_{\text{ж.к}}^0$  для условного процесса сухого охлаждения воздуха определяют по формуле

$$t_{\text{ж.к}}^0 = t_{\text{ж.к}}^0 - \theta_b(t_{\text{ж.к}}^0 - t_{\text{ж.к}}). \quad (15.87)$$

10. Расчетную конечную энталпию воздуха  $J_{\text{ж.к}}^0$  находят на  $J - d$ -диаграмме в точке пересечения изотермы  $t_{\text{ж.к}}^0$  с лучом условного процесса.

11. Конечную температуру воздуха  $t_{\text{ж.к}}$  находят в точке пересечения на  $J - d$ -диаграмме изоэнталпии  $J_{\text{ж.к}} = J_{\text{ж.к}}^0$  с лучом реального процесса охлаждения.

12. Конечную температуру холодоносителя вычисляют по формуле (15.85).

Аэродинамические характеристики (потери давления по воздуху) теплообменников установки  $\Delta P_b$  приведены в виде зависимостей

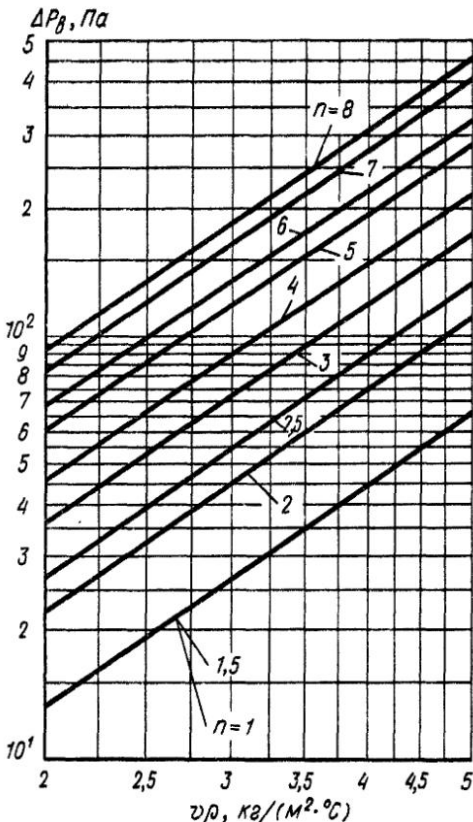


Рис. 15.43. Потери давления по воздуху в теплообменниках кондиционеров КТЦ-3 с различным числом рядов

$\Delta P_b(v\rho)$ , соответствующих различной рядности установки, на рис. 15.43.

Массовую скорость воздуха во фронтальном сечении  $v\rho$  вычисляют по формуле

$$(v\rho)_{\Phi n} = \frac{G_n}{F_{\Phi n} \cdot 3600}, \quad (15.88)$$

где  $F_{\Phi n}$  – площадь фронтального сечения ВО,  $\text{м}^2$ , принимаемая по прил. III.

В блоках тепломассообмена БТМ-2 дополнительно учитываются потери давления по воздуху в оросительной системе и каплеуловителях, Па, вычисляемые по формуле

$$\Delta P_b^k = 7,72 (v\rho)_{\Phi n}^2. \quad (15.89)$$

При работе ВО в режимах с влаговыпадением величина  $\Delta P_b^k$  увеличивается в 1,6 раза.

Гидравлические характеристики (потери давления по теплоносителю в установке)  $\Delta P_*$ , КПа, определяются по формуле

$$\Delta P_* = E_n \left( \frac{\theta_b}{\theta_{*k}} \right)^2 \bar{G}_b^2 \cdot 98,1, \quad (15.90)$$

где  $B_n$  — коэффициент гидравлического сопротивления ВО, приведенный в правой верхней части номограмм (см. рис. 15.40–15.42). Значения коэффициентов  $B_1$ ,  $B_A$ ,  $B_2$ ,  $B_a$ ,  $B_3$ ,  $B_4$ ,  $B_5$ ,  $B_6$ ,  $B_7$ ,  $B_8$  соответствуют установке с числом рядов трубок по ходу воздуха 1; 1,5; 2; 2,5; 3; 4; 5; 6; 7; 8.

**Пример 15.5.** Прямая задача. Исходные данные: кондиционер КТЦ-80;  $L_{\text{ном}} = 80000 \text{ м}^3/\text{ч}$ ;  $L = 70000 \text{ м}^3/\text{ч}$ ;  $G_b^{\text{ном}} = 96000 \text{ м}^3/\text{ч}$ ;  $G_b = 84000 \text{ м}^3/\text{ч}$ ;  $t_{b,n} = 26,5^\circ\text{C}$ ;  $J_{b,n} = 52 \text{ кДж}/\text{кг}$ ;  $t_{b,k} = 14^\circ\text{C}$ ;  $J_{b,k} = 36,8 \text{ кДж}/\text{кг}$ ;  $P_\sigma = 99,3 \text{ Па}$ .

Требуется определить типоразмер ВО, схему обвязки по холодоносителю,  $t_{b,n}$ ,  $t_{b,k}$ ,  $G_*$ ,  $\Delta P_*$ ,  $\Delta P_b$ .

**Решение:** 1. На  $J-d$ -диаграмме строим условный процесс сухого охлаждения. Находим  $t_{b,n}^p = 29,3^\circ\text{C}$ ;  $t_{b,k}^p = 14^\circ\text{C}$ ;  $t_n = 12^\circ\text{C}$ ;  $d_n = 8,9 \text{ г}/\text{кг}$ .

2. Принимаем  $t_{b,n} = 8^\circ\text{C}$  в соответствии с п. 2 теплотехнического расчета.

3. Вычисляем  $\theta_b$  по формулам (15.76), (15.78), (15.80)

$$\theta_b = \frac{26,5 - 14}{26,5 - 8} = 0,67.$$

4. Определяем  $\bar{G}_b$  по формуле (15.83)

$$\bar{G}_b = \frac{84000}{96000} = 0,875.$$

5. По табл. 15.18 выбираем номограммы на рис. 15.41, в, г, описывающие возможные варианты обвязки ВО по холодоносителю. Выбираем номограмму на рис. 15.41, в — параллельная схема обвязки ВО.

На выбранной номограмме проводим вертикальную линию  $\theta_b = 0,67$  до пересечения с кривой  $\theta_{*k}(\theta_b)$  при  $\bar{G}_b = 0,875$  для ВО с числом рядов трубок  $n = 8$ . Зависимость  $\theta_{*k}(\theta_b)$  при  $G_b = 0,875$  находим путем линейной интерполяции между кривыми при  $\bar{G}_b = 1,0$  и  $\bar{G}_b = 0,8$ .

6. Определяем  $\theta_{*k} = 0,3$ , как ординату точки пересечения линии  $\theta_b = 0,67$  с выбранной кривой  $\theta_{*k}(\theta_b)$ .

7. Находим  $G_b$  по формуле (15.84)

$$G_b = 84000 \frac{1,006 \cdot 0,67}{4,187 \cdot 0,3} = 45075 \text{ кг}/\text{ч},$$

где  $c_b = 1,006 \text{ кДж}/(\text{кг} \cdot {}^\circ\text{C})$ ;  $c_{*k} = 4,187 \text{ кДж}/(\text{кг} \cdot {}^\circ\text{C})$ .

8. Вычисляем  $t_{*k}$  по формуле (15.85)

$$t_{*k} = 8 + 0,3(29,3 - 8) = 14,4^\circ\text{C}.$$

9. Определяем  $(v\rho)_{\Phi p}$  по формуле (15.88)

$$(v\rho)_{\Phi p} = \frac{84000}{8,28 \cdot 3600} = 2,83 \text{ кг}/(\text{м}^2 \cdot {}^\circ\text{C}),$$

где  $F_{\Phi p} = 8,28 \text{ м}^2$  принимаем по прил. III.

10. Находим  $\Delta P_b$  по рис. 15.40 для ВО с числом рядов трубок  $n = 8$ ,  $(v\rho)_{\Phi p} = 2,83 \text{ кг}/(\text{м}^2 \cdot {}^\circ\text{C})$ .

$$\Delta P_b = 170 \text{ Па}.$$

11. Вычисляем  $\Delta P_b^k$  по формуле (15.89)

$$\Delta P_b^k = 7,72(2,83)^2 = 62 \text{ Па}.$$

Общие потери давления в ВО по воздуху составляют

$$170 + 62 = 232 \text{ Па}.$$

12. Находим  $\Delta P_*$  по формуле (15.90)

$$\Delta P_* = 0,0553 \left( \frac{0,67}{0,3} \right)^2 0,875^2 \cdot 98,1 = 20,7 \text{ кПа},$$

где  $B_8 = 5,53 \cdot 10^{-2}$  принимаем по рис. 15.41, в для ВО с числом трубок  $n = 8$ .

## 15.8. ОСУШЕНИЕ ВОЗДУХА СОРБЕНТАМИ

Сорбенты применяют в СКВ для поддержания в помещениях низкой влажности, необходимой по технологическим требованиям, а также в обычных СКВ для предварительной осушки воздуха с целью дальнейшего приготовления его с помощью хладоносителя, имеющего более высокую температуру, чем та, которая потребовалась бы без применения сорбентов.

Для осушки воздуха в сорбционных установках применяют три вида поглотителей:

1) жидкые поглотители (абсорбенты) — вещества, изменяющиеся физически или химически в процессе осушки воздуха (растворы хлористого кальция, хлористого лития, бромистого лития и диэтиленгликоль);

2) твердые поглотители (адсорбенты) — вещества, не изменяющиеся физически в процессе осушки воздуха (силикагель и алюмогель);

3) твердо-жидкие поглотители – вещества, которые в процессе осушки воздуха и поглощения воды из него переходят из твердого состояния в жидкое (хлористый кальций).

### 15.8.1. Осушение воздуха жидкими поглотителями (абсорбентами)

Абсорбенты поглощают влагу, но могут отдавать ее в зависимости от разности давления пара в воздухе и над поверхностью раствора. Условия равновесия давления пара зависят от температуры и концентрации раствора.

Концентрацию раствора выражают отношением массы растворенного вещества  $G_t$  к массе раствора  $G_8 + G_t$ , %:

$$\epsilon = \frac{G_t}{G_8 + G_t} \cdot 100, \quad (15.91)$$

где  $G_8$  – масса воды.

Физические свойства растворов характеризуются фазовой диаграммой (рис. 15.44). Криоскопическая кривая  $AB\bar{B}$  определяет условия насыщения раствора и делит диаграмму на верхнюю часть, соответствующую жидкой фазе  $\mathcal{J}$ , и нижнюю часть, левая половина которой характеризует условия выпадения льда  $L$ , а правая – условия выпадения кристаллов  $K$  из насыщенного раствора. Точка  $B$ , при которой отсутствует жидккая фаза, называется эвтектической.

На фазовую диаграмму наносят также значения аналога относительной влажности воздуха над поверхностью раствора

$$\Phi = p_p / p_v, \quad (15.92)$$

где  $p_p$  – упругость водяного пара над поверхностью раствора при заданной его температуре;  $p_v$  – упругость водяного пара над поверхностью воды при той же температуре.

При температуре раствора выше температуры, соответствующей криоскопическому состоянию, упругость водяного пара  $p_p$  и величина  $\Phi$  (при малых концентрациях) являются функцией температуры замерзания раствора. Эти величины практически одинаковы для раствора различных солей (рис. 15.45).

Если на  $J - d$ -диаграмму нанести кривые насыщения воздуха над растворами солей с температурами замерзания от 0 до  $-40^{\circ}\text{C}$ , то, начиная от температуры замерзания, эти кривые отклоняются влево от кривой  $\Phi = 100\%$ .

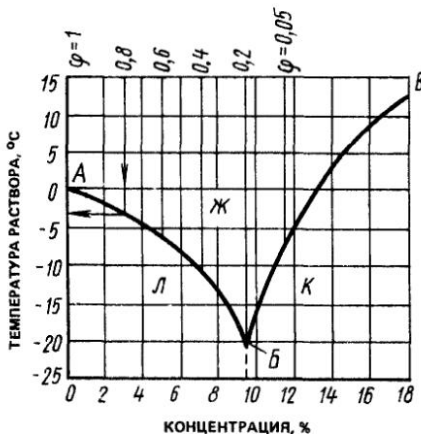


Рис. 15.44. Фазовая диаграмма для раствора поваренной соли

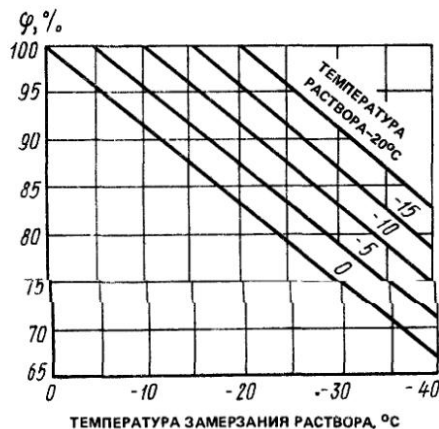


Рис. 15.45. Относительная влажность воздуха  $\Phi$  в пограничном слое над водными растворами солей

При температуре воздуха выше  $0^{\circ}$  кривые могут рассматриваться как кривые относительной влажности.

Н. Н. Павлов в 1970 г. на обычную  $J - d$ -диаграмму (рис. 15.46) нанес кривые концентрации водного раствора хлористого лития. Этой совмещенной диаграммой удобно пользоваться при выполнении расчетов процессов осушки влажного воздуха и воздушной десорбции ослабленного раствора.

Диаграмма зависимости парциального давления водяного пара над водным раствором

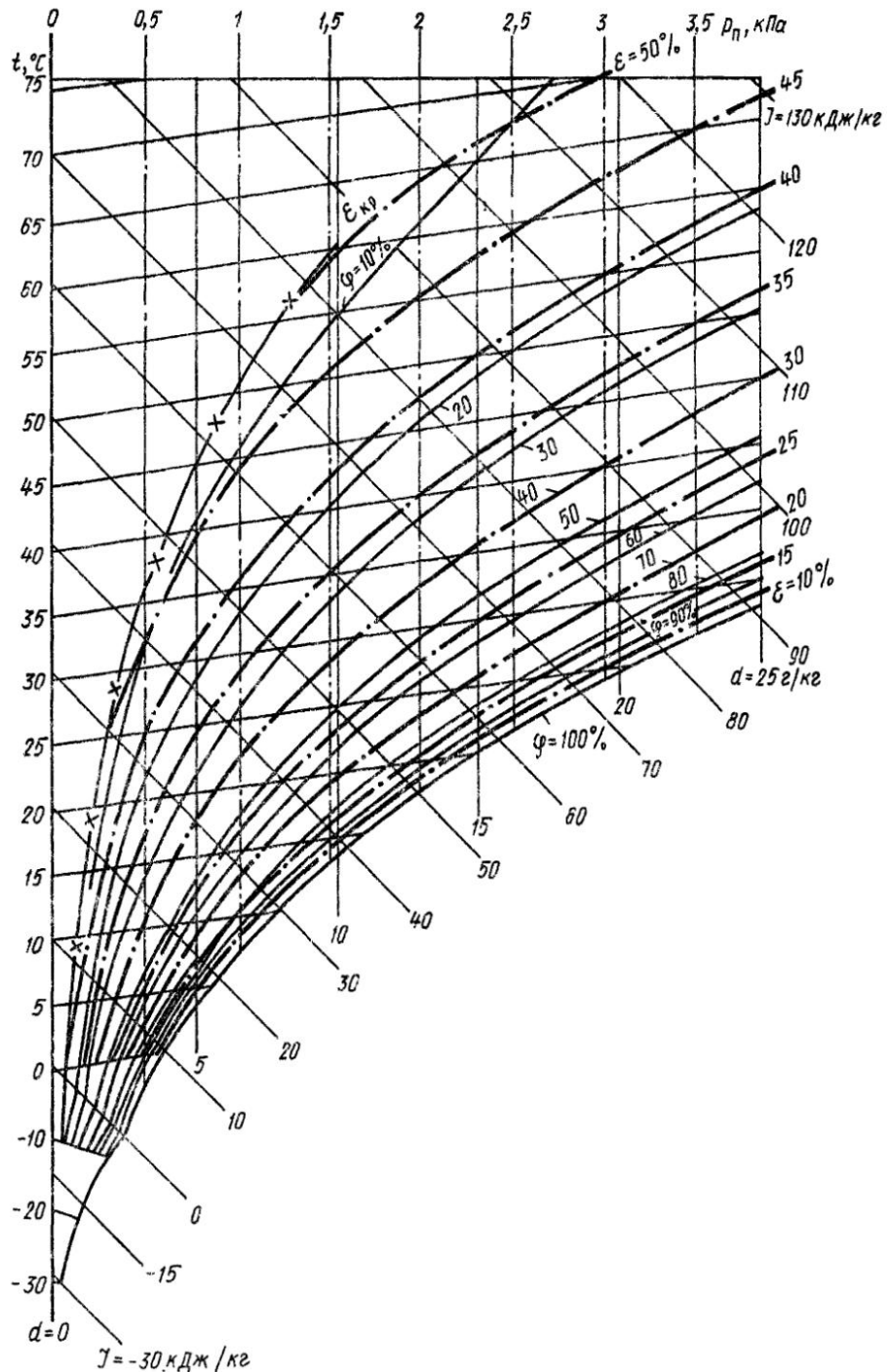


Рис. 15.46. J - d-диаграмма влажного воздуха с кривыми концентрации водного раствора хлористого лития

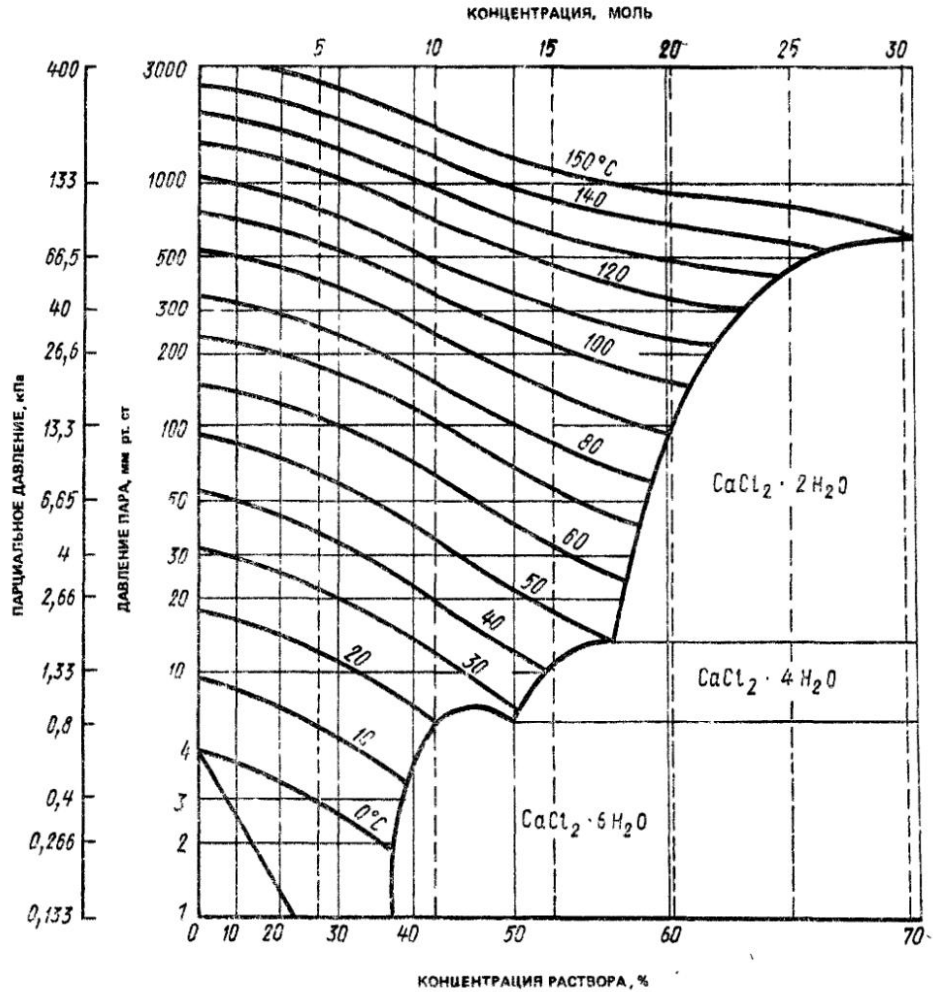


Рис. 15.47. Зависимость парциального давления влаги от концентрации и температуры водного раствора хлористого кальция

ром хлористого кальция, которой можно пользоваться и для растворов других солей при малых концентрациях (до 20%) и с одинаковой температурой замерзания, приведена на рис. 15.47. Диаграммы для растворов хлористого лития приведены на рис. 15.48–15.49.

Поглощение воды из воздуха сопровождается выделением теплоты гидратации, растворения, разбавления и конденсации. Эти данные для раствора хлористого кальция приведены на рис. 15.50.

Наиболее широко для осушки воздуха применяются хлористый кальций  $\text{CaCl}_2 \cdot 6\text{H}_2\text{O}$

и хлористый литий  $\text{LiCl}$ . Свойства их растворов приведены в табл. 15.20 и 15.21, на рис. 15.44–15.50.

Схема процесса тепло- и влагообмена в мокром воздухоохладителе, который орошается раствором соли данной температуры, построена на  $J - d$ -диаграмме (рис. 15.51). При одинаковой температуре воздуха, раствора и волны воздуха после орошения раствором (прямая  $1-2-3$ ) становится суще, чем при орошении водой (прямая  $1'-2'-3'$ ), так как  $d_2 < d'_2$ . Относительную влажность воздуха можно понизить с помощью раствора  $\text{ZnCl}_2$  до 14–23%.

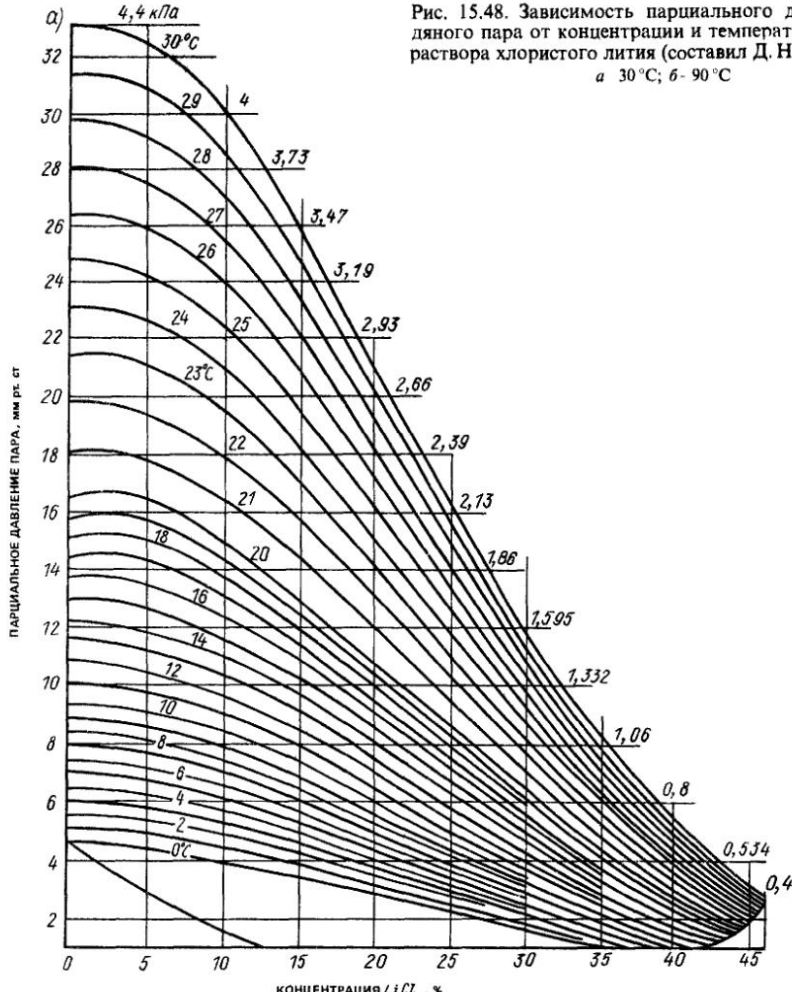


Рис. 15.48. Зависимость парциального давления водяного пара от концентрации и температуры водного раствора хлористого лития (составил Д. Н. Качерович)

*a* 30 °C; *b* 90 °C

а с помощью раствора  $\text{CaCl}_2 \cdot 6\text{H}_2\text{O}$  — до 45–48%.

Процесс абсорбции осуществляется в камерах орошения кондиционеров, выполненных из коррозиестойчивых материалов с сепараторами повышенной надежности, а также в абсорбционных аппаратах.

Коэффициент орошения, кг/кг, воздуха раствором

$$B_{\text{раст}} = (J_1 - J_2)/c_{\text{раст}}(t_{\text{раст.}2} - t_{\text{раст.}1}), \quad (15.93)$$

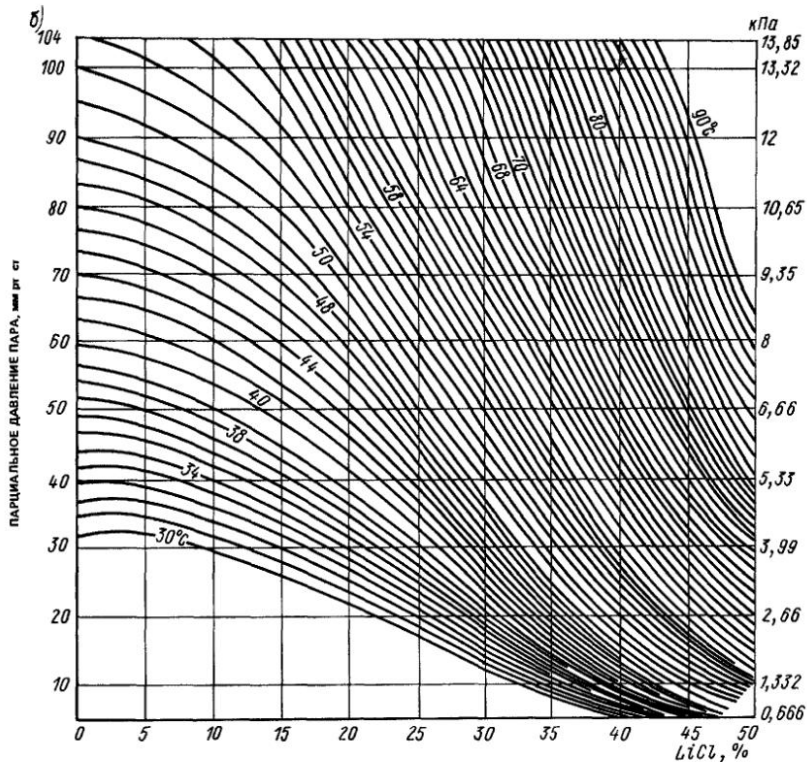
где  $J_1$  и  $J_2$  — энталпия воздуха до и после орошения, кДж/кг;  $t_{\text{раст.}1}$  и  $t_{\text{раст.}2}$  — температуры раствора до и после орошения, °C;  $c_{\text{раст}}$  — удельная теплоемкость раствора, кДж/(кг · °C).

Концентрацию раствора необходимо поддерживать на заданном уровне, для чего часть раствора (10–15%) пропускают через реконцентратор, нагреваемый паром с давлением 15–17 кПа или горячей водой. Нагрев раствора контролируется по температуре, концентрации или плотности.

Конечная концентрация раствора на выходе из камер орошения или другого абсорбционного аппарата выражается уравнением

$$\varepsilon_2 = \varepsilon_1 / \left( 1 + \frac{d_1 - d_2}{1000 B_{\text{раст}}} \right). \quad (15.94)$$

Расход раствора, который должен циркулировать в системе, определяется допустимым



отклонением концентрации от заданной. Отклонение концентрации  $\Delta\epsilon$  обычно принимают равным от 0,001 до 0,003. Расход циркулирующего раствора, кг/ч, определяют по формуле

$$G_{раст} = W_b + g_m = 0,001 L \rho (d_1 - d_2)(\epsilon - \Delta\epsilon)/\Delta\epsilon. \quad (15.95)$$

Масса раствора, кг, необходимого для заполнения системы, определяется ее объемом  $V$ , м<sup>3</sup>, и плотностью раствора  $\rho_{раст}$ , кг/м<sup>3</sup>:

$$G_{раст}^6 = V \rho_{раст}. \quad (15.96)$$

Одним из наиболее эффективных сорбентов является раствор хлористого лития, применение которого обеспечивает возможность получения воздуха с конечным влагосодержанием до 1 г/кг; теплотехническую универсальность, т. е. достижение всех требуемых параметров воздуха в обслуживаемом помещении в пределах температур от -15 до +50°C и относительной влажности от 5 до 100% (т. е. возможность и осушения, и увлажнения воздуха); бактерицидное действие раствора и его безопасность для людей, возможность отказа в ряде случаев от применения второго подогрева в СКВ, частичное удаление содержащихся в воздухе запахов; возможность реконцентрации раствора низкотемпературной водой от ТЭЦ или тепловыми отходами промышленных предприятий; существенную экономию электрической энергии даже при совместном применении с компрессионными холодильными машинами, экономию капитальных и эксплуатационных затрат по сравнению с осушением холодильными машинами.

Недостатком раствора хлористого лития, впрочем свойственным всем растворам солей, является его коррозионное действие на металлы, вынуждающее защищать теплообменные аппараты и прилегающие к ним приточные воздуховоды улучшенными покрытиями или введением в раствор ингибиторов. Схема СКВ с установкой для осушки воздуха раствором хлористого лития показана на рис. 15.52.

Проходя через осушительную камеру 1, воздух контактирует с раствором хлористого лития, осушается и несколько охлаждается,

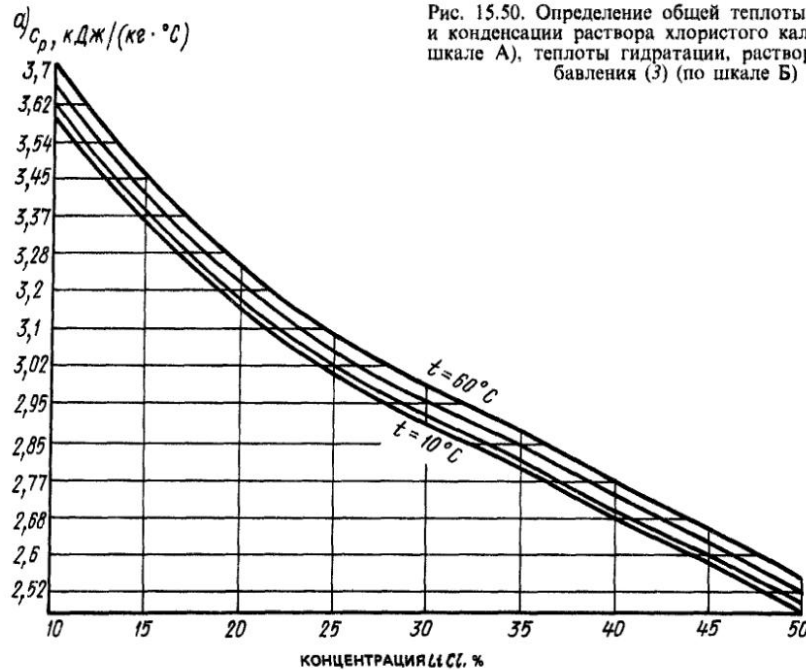
a)  $C_p, \text{ кДж}/(\text{кг} \cdot ^\circ\text{C})$ 

Рис. 15.50. Определение общей теплоты сорбции (1) и конденсации раствора хлористого кальция (2) (по шкале А), теплоты гидратации, растворения и разбавления (3) (по шкале Б)

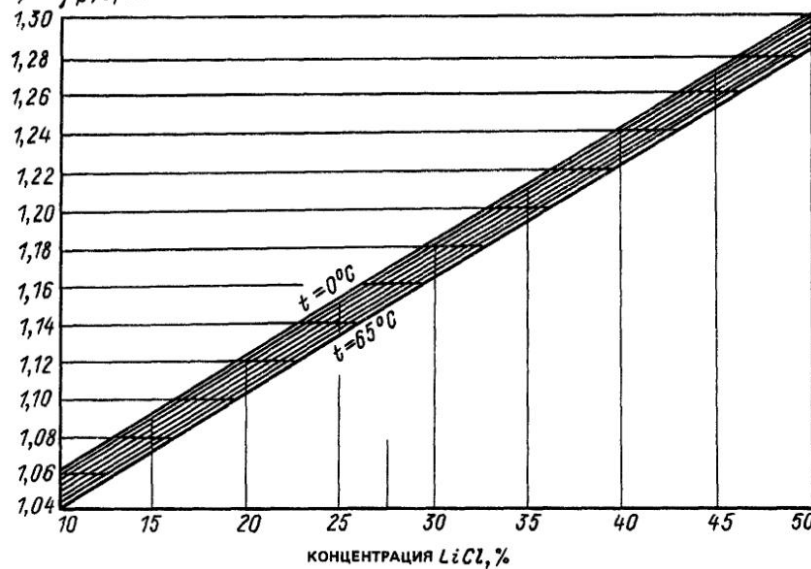
б)  $\rho_p, \text{ г}/\text{см}^3$ 

Рис. 15.49. График для определения удельной теплоемкости (а) и плотности водного раствора хлористого лития (б) (составил Д. Н. Качерович)

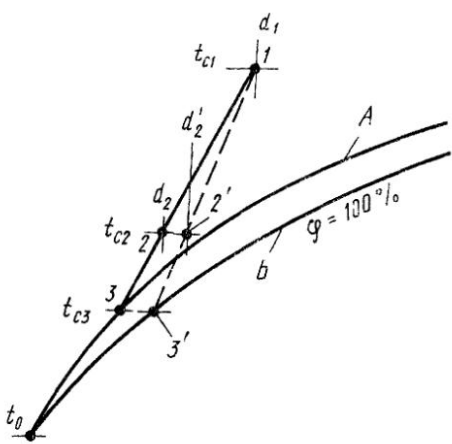
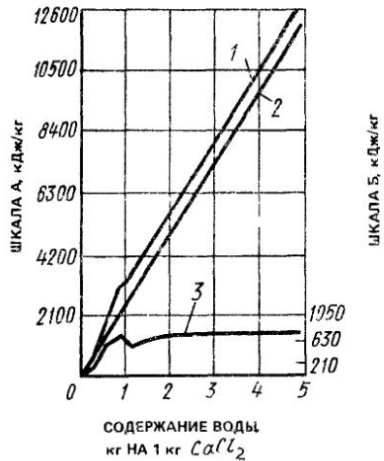


Рис 15 51 Схема процессов тепло- и влагообмена при орошении воздухоохладителя соляным раствором  
А и Б кривые насыщения соответственно над раствором и водой

а потом охлаждается и увлажняется при постоянной энталпии, проходя через форсуночную или насадочную камеру 2, где контактирует с непрерывно циркулирующей водой. Поступающий в камеру 1 раствор предварительно охлаждается в зодорассольном теплообменнике 3 водой от ходильной машины, из водопровода или, что обычно выгоднее, водой,

ТАБЛИЦА 15 20 СВОЙСТВА РАСТВОРА  $\text{CaCl}_2 \cdot 6\text{H}_2\text{O}$

Концентрация %	Удельная теплоемкость при 20 °C, кДж/(кг °C)	Temperatura, °C		Плотность при 10 °C, кг м³
		замерзания	кипения	
0	4,8	0	100	—
1	4,11	-0,4	100	—
2	4,06	-0,9	100	—
3	3,98	-1,5	100	—
4	3,94	-2	100	—
5	3,9	-2,5	100,5	1042,5
6	3,84	-3	100,5	1051,3
7	3,77	-3,6	100,5	1060,2
8	3,73	-4,3	100,5	1069,1
9	3,69	-5	100,5	1078,1
10	3,65	-5,7	101,2	1087,2
11	3,58	6,6	101,2	1096,4
12	3,52	-7,5	101,2	1105,6
13	3,48	-8,5	101,2	1115
14	3,43	-9,4	101,2	1124,4
15	3,42	-10,5	103,2	1134
16	3,34	-11,7	103,2	1143,8
17	3,27	-13	103,2	1153,4
18	3,23	-14,5	103,2	1163,2
19	3,14	-15,8	103,2	1173,1
20	3,25	-17,6	105	1183,1
21	3,1	-19,4	105	1198,2
22	3,06	-21,5	105	1203,3
23	3,02	-23,8	105	1213,7
24	2,98	-25,3	105	1224
25	2,93	-29	107,3	1234,6

ТАБЛИЦА 15 21 СВОЙСТВА РАСТВОРА  $\text{LiCl}$

Концентрация, %	Удельная теплоемкость при 20 °C, кДж/(кг °C)	Temperatura, °C		Динамическая вязкость при 10 °C, Па с	Плотность при 10 °C, кг/м³	Концентрация, %	Удельная теплоемкость при 20 °C, кДж/(кг °C)	Temperatura, °C		Динамическая вязкость при 10 °C, Па с	Плотность при 10 °C, кг/м³
		замерзания	кипения					замерзания	кипения		
7,8	3,78	-8,89	102,11	12,753	1045	33,6	2,88	-40	128,1	47,28	1203
15,5	3,48	-21,2	105,28	16,48	1085	37,1	2,8	-17,2	131,3	64,255	1235
20,2	3,31	-36,8	109,4	21,29	1119	40,4	2,71	2,55	136,57	95,55	1257
25,3	3,1	-5,6	114,5	26,977	1150	43,2	2,64	14,49	141,08	135,378	1279
29,7	2,98	-67,8	120,7	36	1181	45,8	2,58	30,25	145,13	—	—
						48,2	2,53	50,1	149,02		

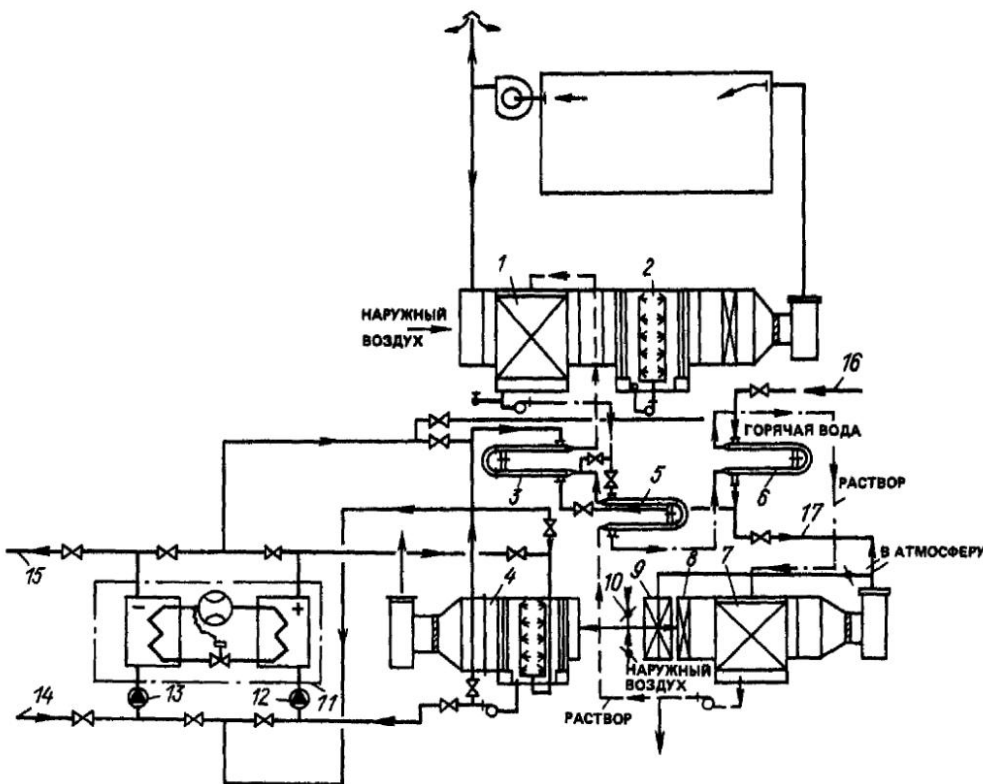


Рис. 15.52. Принципиальная схема СКВ с осушительной камерой, питаемой раствором абсорбента

1—осушительная камера; 2—форсуночная или насадочная камера, работающая в режиме изоэнталпийного охлаждения и увлажнения воздуха; 3—водорассольный теплообменник; 4—градирни; 5—теплообменник; 6—водорасторонний теплообменник-подогреватель; 7—камера реконцентрации раствора; 8—водовоздушный теплообменник-теплоизолатор; 10—канал удаленного из помещения осушенного воздуха; 11—холодильная машина-тепловая насос; 12 и 13—насосы конденсатора и испарителя; 14, 15—трубопроводы, присоединяемые к источнику низкотенциальной теплоты; 16, 17—трубопроводы, присоединяемые к источнику высокотенциальной теплоты.

охлажденной в градирне. Чем ниже температура охлаждающей воды, тем, при всех прочих условиях, ниже температура раствора и парциальное давление водяного пара над его поверхностью, а следовательно, тем больше может быть осушен воздух. Часть обедненного раствора после камеры 1 насосом перекачивается через теплообменники 5 и 6 в камеру реконцентрации раствора 7; раствор подогревается в противоточном теплообменнике 6 низкотемпературной водой, вследствие чего в камере 7 происходит выпаривание ранее поглощенной влаги и восстановление первоначальной концентрации хлористого лития.

Горячий восстановленный раствор направляется в камеру осушения, попутно подогревая в теплообменнике 5 обедненный раствор,

поступающий на реконцентрацию, и охлаждаясь в теплообменнике 3. Через реконцентратор целесообразно пропускать либо сухой наружный воздух, либо удалаемый из помещений воздух, если парциальное давление содержащегося в нем водяного пара ниже парциального давления водяного пара в наружном воздухе. Поскольку в течение периода осушки состояние наружного воздуха изменяется, следует предусматривать устройство канала 10 для пропускания через камеру 7 удаленного осушенного воздуха.

Камеры 1 и 7 могут быть форсуночными или пленочными. В последних раствор хлористого лития стекает по поверхности пластин или сеток из нерастягивающегося материала (например, технического капрона).

Тепло- и массообмен при обработке воздуха раствором хлористого лития в однорядной форсуночной камере, оборудованной центробежными тангенциальными форсунками с диаметром выпускного отверстия 2 мм при плотности расположения фосунок 30 шт/м<sup>2</sup>, исследовали в Институте теплоэнергетики АН Украины. В результате исследований установлена зависимость

$$a_n = 3950 B_{\text{раст}}^{1.4} v^{1.8}. \quad (15.97)$$

Коэффициент отдачи полной теплоты  $a_n$ , Вт/(м<sup>2</sup> · °C)

$$a_n = G(J_1 - J_2)/(F_k \Delta t_{\text{ср}, \text{ap}}), \quad (15.98)$$

где  $\Delta t_{\text{ср}, \text{ap}}$ —среднеарифметическая разность температур воздуха и раствора, °C;  $v$ —скорость движения воздуха в поперечном сечении камеры, м/с (в экспериментах скорость воздуха изменялась в пределах 0,1–1 м/с);  $G$ —расход осушаемого воздуха, кг/с;  $J_1$ ,  $J_2$ —начальная и конечная энтальпии осушаемого воздуха;  $F_k$ —площадь поперечного сечения камеры орошения, м<sup>2</sup>;  $B_{\text{раст}}$ —коэффициент орошения воздуха рассолом, кг/кг.

Теплотехнический расчет осушительных форсуночных камер, работающих на растворе хлористого лития, выполняют в следующем порядке.

1. Конечную температуру раствора в поддоне камеры принимают на 5–7° выше средней температуры охлаждающей воды:

$$t_{\text{раст}, k} = t_{\text{ср}, w} + (5 \div 7). \quad (15.99)$$

2. Конечную температуру осущенного воздуха по сухому термометру полагают на 1–2° выше температуры раствора в поддоне

$$t_{c2} = t_{\text{раст}, k} + (1 \div 2). \quad (15.100)$$

3. Конечное парциальное давление водяного пара над поверхностью раствора принимают таким, чтобы оно на 150–250 Па было ниже парциального давления пара в воздухе. По  $p$ - $e$ -диаграмме (см. рис. 15.48 и 15.49) находят начальную и конечную концентрации  $\epsilon_1$  и  $\epsilon_2$  хлористого лития, а по рис. 15.53—конечную температуру осущенного воздуха по мокрому термометру. После этого на  $J$ - $d$ -диаграмме строят линию процесса осушки воздуха раствором и вычисляют расход отводимой теплоты и влаги.

4. Задаваясь величиной подогрева раствора, определяют его начальную температуру, °C,



Рис. 15.53. Зависимость конечной температуры воздуха по мокрому термометру от концентрации водного раствора хлористого лития и температуры воды, охлаждающей раствор  $t_{\text{ок}}$  (по И. И. Чернобыльскому, О. А. Кремневу и А. С. Чавдарову)

/ — линия насыщения (ориентировочно)

$$t_{\text{раст}, n} = t_{\text{раст}, k} - \Delta t_{\text{раст}}. \quad (15.101)$$

5. Определяют расход раствора, кг/ч,

$$G_{\text{раст}} = Qz / (\Delta t_{\text{раст}} c_{\text{раст}}). \quad (15.102)$$

где  $z$ —коэффициент для учета теплоты разбавления раствора, равный 1,05.

6. Вычисляют коэффициент орошения  $B_{\text{раст}} = G_{\text{раст}}/G$  и коэффициент полной теплоотдачи  $a_n$ , а также определяют площадь поперечного сечения, м<sup>2</sup>, камеры:

$$F_k = G(J_1 - J_2) / (3950 B_{\text{раст}}^{1.4} v^{1.8} \Delta t_{\text{ср}, \phi}), \quad (15.103)$$

после чего подбирают камеру и производят расчеты всех теплообменников и реконцентратора\*.

К недостаткам форсуночных камер следует отнести забивание форсунок выпадающей из раствора солью и повышенный унос раствора через сепаратор.

Одним из наиболее значительных достоинств пленочных камер является меньшая опасность срыва и уноса капель раствора по сравнению с камерами других конструкций. М. К. Теренецкая и Н. Н. Павлов установили, что коэффициенты тепло- и массоотдачи не зависят от концентрации раствора (30% ≤  $\epsilon$  ≤ 45%) и среднеарифметического температур-

\* Чернобыльский И. И., Кремнев О. А. и Чавдаров А. С. Теплоиспользующие установки для кондиционирования воздуха.—Киев: Изд. АН УССР, 1958.

ТАБЛИЦА 15.22. КОЭФФИЦИЕНТЫ ТЕПЛО- И МАССООТДАЧИ И ЭФФЕКТИВНОСТИ ТЕПЛО- И МАССООБМЕНА ПРИ ОБРАБОТКЕ ВОЗДУХА ВОДНЫМ РАСТВОРОМ ХЛORISTOGO LITIJA

Коэффициенты тепло- и массоотдачи	Коэффициенты эффективности	
	для воздуха	общие
$Nu = 0,028Re^{0,76}$ (15.104)	$E_s = \frac{t_{c1} - t_{c2}}{t_{c1} - t_{p_{раст.2}}} =$	$E = 1 - \frac{t_{c2} - t_{p_{раст.2}}}{t_{c1} - t_{p_{раст.1}}} =$
$Nu' = 0,022Re^{0,76}$ (15.105)	$= 1,58B_{p_{раст.}}^{0,19}(vp)^{-0,53}\xi^{-0,1}$ (15.108)	$= 1,21(vp)^{-0,24}\xi^{0,1}$ (15.110)
$\alpha = 7,8(vp)^{0,76}$ (15.106)	$E_s = \frac{p_{s1} - p_{s2}}{p_{s1} - p_{p_{раст.1}}} =$	$E' = \frac{p_{s2} - p_{p_{раст.2}}}{p_{s1} - p_{p_{раст.1}}} =$
$\beta = 0,146 \cdot 10^{-3}(vp)^{0,76}$ (15.107)	$= 1,36^{0,1}_{p_{раст.}}(vp)^{-0,53}$ (15.109)	$= 1,02(vp)^{-0,24}$ (15.111)

Примечания: 1. Уравнения (15.104)–(15.111) справедливы в следующих диапазонах изменения переменных: числа Рейнольдса  $2500 \leq Re \leq 13\,000$ ; массовой скорости  $4 \leq (vp) \leq 12 \text{ кг/(с} \cdot \text{м}^3)$ ; коэффициента увеличения теплообмена в результате массообмена  $1 \leq \xi \leq 15$ ; интенсивности орошения  $160 \leq g_\eta \leq 400 \text{ кг/(ч} \cdot \text{м)}$ , коэффициента орошения  $0,5 \leq B \leq 5$ .

2. В качестве определяющего размера принят эквивалентный диаметр шели между мицеллами пластинаами;  $\xi = \Delta J/c'_p \Delta t_c$  (где  $\Delta J$  и  $\Delta t_c$  – разность энталпий и температур;  $c'_p$  – удельная теплоемкость влажного воздуха).

3. Коэффициенты тепло- и массоотдачи  $\alpha$  и  $\beta$  вычислены соответственно при среднеарифметической разности температур и парциальных давлений.

ТАБЛИЦА 15.23. ФОРМУЛЫ ДЛЯ ОПРЕДЕЛЕНИЯ КОЭФФИЦИЕНТОВ ПЕРЕНОСА, ЭФФЕКТИВНОСТИ ТЕПЛО- И МАССООБМЕНА И КОНЕЧНЫХ ПАРАМЕТРОВ ВОЗДУХА И РАСТВОРА ХЛORISTOGO LITIJA

Показатель	Формулы, характеризующие	
	явный теплообмен	массообмен
Коэффициент переноса	$N = \frac{\alpha F \cdot 3,6}{G_s c_2} =$ $= \frac{2(t_{c1} - t_{c2})}{(t_{c1} - t_{p1}) + (t_{c2} - t_{p2})}; \quad (15.112a)$ $N = \frac{2(t_{c1} - t_{c2})}{(t_{c1} - t_{p1})(2 - E)} =$ $= \frac{2E_s}{2 - E} = \frac{E_s}{1 - 0,5E}. \quad (15.113a)$	$N' = \frac{\beta F}{G_s a} =$ $= \frac{2(p_{s1} - p_{s2})}{(p_{s1} - p_{p1}) + (p_{s2} - p_{p2})}; \quad (15.112b)$ $N' = \frac{2(p_{s1} - p_{s2})}{(p_{s1} - p_{p1})(2 - E)} =$ $= \frac{2E_s}{2 - E} = \frac{E_s}{1 - 0,5E}. \quad (15.113b)$
Коэффициент эффективности тепло- и массообмена	$E_s = N(1 - 0,5E); \quad (15.114a)$ $E = 2(1 - E_s/N). \quad (15.115a)$	$E_s = N'(1 - 0,5E'); \quad (15.114b)$ $E' = 2(1 - E'_s/N'). \quad (15.115b)$
Конечные параметры воздуха	$t_{c2} = t_{c1} - N(t_{c1} - t_{p1}) \times$ $\times (1 - 0,5E); \quad (15.116a)$ $t_{c2} = t_{p2} + (t_{c1} - t_{p1})(1 - E). \quad (15.117a)$	$p_{s2} = p_{s1} - N'(p_{s1} - p_{p1}) \times$ $\times (1 - 0,5E'); \quad (15.116b)$ $p_{s2} = p_{p2} + (p_{s1} - p_{p1})(1 - E'). \quad (15.117b)$
Конечная температура раствора	$t_{p2} = t_{c2} - (t_{c1} - t_{p1}) \times$ $\times (1 - E). \quad (15.117b)$	—

Примечания: 1. Формулы справедливы в пределах  $0,5 \leq E_s/N < 1$  и  $0,5 \leq E'_s/N' < 1$ .

2. Коэффициент  $\alpha$ , связывающий парциальное давление и влагосодержание воздуха, равен  $0,65 \cdot 10^{-5} \text{ Па}^{-1}$ .

ногого напора  $\bar{t}$  между воздухом и раствором ( $2^{\circ}\text{C} \leq \bar{t} - t_{\text{раст}} \leq 15^{\circ}\text{C}$ ) и в исследованных пределах являются функцией скорости воздуха.

В целях получения данных для тепловых расчетов Н. Н. Павлов исследовал тепло- и массообмен между воздухом и раствором хлористого лития в горизонтальной перекрестной камере, заполненной вертикальными мицеллами пластинами, по которым в виде пленок стекает раствор. Результаты исследований представлены в табл. 15.22. Вспомогательные производные формулы для инженерных расчетов даны в табл. 15.23. Пользуясь формулами, приведенными в табл. 15.22 и 15.23, можно производить прямые и обратные теплотехнические расчеты процессов осушки воздуха. Числовые значения коэффициентов тепло- и массоотдачи приведены в табл. 15.24.

Реконцентрация раствора производится методом воздушной десорбции в аналогичной пленочной контактной камере. Раствор предварительно подогревается в теплообменнике, питаемом водой ( $80\text{--}70^{\circ}\text{C}$ ). Вследствие подогрева парциальное давление водяных паров над поверхностью раствора становится более высоким, чем парциальное давление паров в воздухе, в результате чего ранее поглощенная влага выпаривается и концентрация хлористого лития восстанавливается. Для расчета процесса десорбции можно использовать уравнения (15.104)–(15.107) и данные табл. 15.24.

Через реконцентрационную камеру следует пропускать воздух, удаляемый из кондиционируемых помещений, ибо в большинстве случаев он более сухой, чем наружный воздух.

Восстановленный раствор, подаваемый в осушительную камеру, предварительно охлаждается в теплообменном аппарате, питаемом оборотной или охлажденной водой. При всех прочих равных условиях, чем глубже охлаждается восстановленный раствор, тем больший перепад влагосодержания воздуха может быть достигнут в камере осушки. Меняя температуру раствора, можно осуществлять любые желательные процессы обработки воздуха, т. е. все процессы, которые выполняются с помощью воды, и, кроме того, изотермичное, изоэнтальпийное и политропное осушение, а также подогрев при постоянном влагосодержании.

Повышение температуры раствора при его контакте с воздухом в пленочной осушитель-

ТАБЛИЦА 15.24. ЗНАЧЕНИЯ КОЭФФИЦИЕНТОВ ТЕПЛО- И МАССООТДАЧИ ПРИ ОБРАБОТКЕ ВОЗДУХА ВОДНЫМ РАСТВОРОМ ХЛОРИСТОГО ЛИТИЯ В ПЛЕНОЧНОЙ КОНТАКТНОЙ КАМЕРЕ

Массовая скорость воздуха в живом сечении камеры, $\text{kg}/(\text{m}^2 \cdot \text{s})$	$a_1, \text{Bt}/(\text{m}^2 \cdot ^\circ\text{C})$	$\beta \cdot 10^3, \text{kg}/(\text{m}^2 \cdot \text{ч} \cdot \text{kPa})$
4	22,9	0,429
5	22,6	0,498
6	30,42	0,57
7	33,9	0,635
8	38	0,71
9	41,5	0,776
10	45	0,856
11	46,5	0,91
12	51,6	0,965

ной камере авторы рекомендуют принимать равным  $\Delta t_{\text{раст}} = 2^{\circ}\text{C}$ . Тепловой и гидравлический расчеты теплообменников для подогрева и охлаждения раствора аналогичны расчетам водоподогревателей.

В ряде производств при применении процесса осушки воздуха раствором хлористого лития с последующим изоэнтальпийным охлаждением циркулирующей водой капитальные затраты снижаются на 20% и расходы электроэнергии – на 45% по сравнению с осушением с помощью холодильных машин.

**Пример 15.6.** (рис. 15.54). В пленочной камере необходимо осушить  $10\,000 \text{ кг}/\text{ч}$  воздуха, имеющего начальные параметры  $t_{c1} = 30^{\circ}\text{C}$ ;  $\varphi_1 = 50\%$ ;  $d_1 = 13,5 \text{ г}/\text{кг}$ ;  $J_1 = 65 \text{ кДж}/\text{кг}$  и  $p_1 = 2,16 \text{ кПа}$ , до конечных параметров  $t_{c2} =$

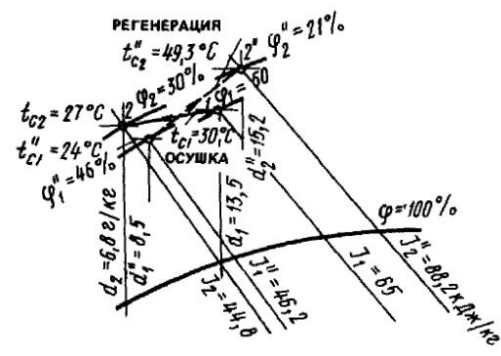


Рис. 15.54. Схема процесса обработки воздуха водным раствором хлористого лития, построенная на  $I$ - $d$ -диаграмме

$= 27^{\circ}\text{C}$ ;  $\phi_2 = 30\%$ ;  $d_2 = 6,8 \text{ г/кг}$ ;  $J_2 = 44,8 \text{ кДж/кг}$  и  $p_2 = 1,065 \text{ кПа}$ . Начальная концентрация раствора хлористого лития  $\epsilon_1 = 43,4\%$ , начальная и конечная температуры раствора  $24$  и  $26^{\circ}\text{C}$ , начальная и конечная температуры охлаждающей оборотной воды  $26$  и  $24^{\circ}\text{C}$ .

Требуется определить площади поверхности контакта в камерах осушения и реконцентрации, массовые расходы хлористого лития и раствора, а также его конечные концентрации после осушки и реконцентрации.

**Расчет камеры осушки.** Принимаем массовую скорость в живом сечении пленочной контактной камеры  $v_p = 6 \text{ кг}/(\text{м}^2 \cdot {}^{\circ}\text{C})$ ; тогда, согласно табл. 15.24,  $a = 30,42 \text{ Вт}/(\text{м}^2 \cdot {}^{\circ}\text{C})$ , а  $\beta = 0,57 \cdot 10^{-3} \text{ кг}/(\text{м}^2 \cdot \text{ч} \cdot \text{кПа})$ .

По диаграмме  $p - \epsilon$  (см. рис. 15.46) начальной температуре раствора  $24^{\circ}\text{C}$  и начальной концентрации  $43,4\%$  соответствует парциальное давление пара над раствором  $0,4 \text{ кПа}$ . Если принять конечную концентрацию  $43\%$ , то парциальное давление при температуре раствора  $26^{\circ}\text{C}$  составит  $0,53 \text{ кПа}$ .

По формулам (15.112а) и (15.112б) вычисляем коэффициенты переноса:

$$N' = \frac{2(30 - 27)}{(30 - 24) + (27 - 26)} = 0,858;$$

$$N'' = \frac{2(2,16 - 1,065)}{(2,16 - 0,4) + (1,065 - 0,53)} = 1.$$

По тем же формулам находим требуемую площадь поверхности тепло- и массообмена с коэффициентом  $1,15$ , учитывающим возможную неполноту смачивания поверхности раствором:

$$F_a = \frac{1,15 G c_p N}{\alpha \cdot 3,6} = \frac{1,15 \cdot 10000 \cdot 1 \cdot 0,858}{30,42 \cdot 3,6} = 90 \text{ м}^2;$$

$$F_\beta = \frac{1,15 G a N'}{\beta} =$$

$$= \frac{1,15 \cdot 10000 \cdot 0,65 \cdot 10^{-5} \cdot 1}{0,57 \cdot 10^{-3}} = 131 \text{ м}^2.$$

Принимаем большую площадь поверхности, равную  $131 \text{ м}^2$ .

Из уравнения теплового баланса находим массовый расход раствора

$$G'_{\text{раст}} = \frac{G \Delta J}{c_{\text{раст}} \Delta t_{\text{раст}}} =$$

$$= \frac{10000 (65 - 44,8)}{2,55 (26 - 24)} = 39600 \text{ кг/ч},$$

где  $c_{\text{раст}}$  находим по рис. 15.49

Вычисляем расход хлористого лития

$$G_n = G'_{\text{раст}} \epsilon = 39600 \cdot 0,434 = 17190 \text{ кг/ч}.$$

Находим конечный массовый расход раствора после поглощения им водяных паров из воздуха:

$$G''_{\text{раст}} = G'_{\text{раст}} + \Delta W = G'_{\text{раст}} + G \frac{\Delta d}{1000} =$$

$$= 39600 + 10000 \frac{(13,5 - 6,8)}{1000} = 39667 \text{ кг/ч}.$$

Количество поглощенной раствором влаги  $\Delta W = 39667 - 39600 = 67 \text{ кг/ч}$ .

Уточняем конечную и среднюю концентрацию хлористого лития:

$$\epsilon_2 = \frac{G_n \cdot 100}{G''_{\text{раст}}} = \frac{17190}{39667} 100 = 43,33\%;$$

$$\epsilon_{cp} = \frac{17190}{(39600 + 39667)/2} 100 = 43,37\%.$$

Далее определяем число и размеры пленконесущих поверхностей сеток, расстояние между ними и удельный расход раствора на единицу длины орошаемых пластин. При этом  $g_y$  не должно выходить за пределы действия формул, приведенных в табл. 15.22.

**Расчет камеры реконцентрации** (см. рис. 15.54). Через камеру реконцентрации пропускаем отработавший осушенный воздух из помещения, имеющий начальные параметры:  $t'_{e1} = 24^{\circ}\text{C}$ ;  $\phi'_1 = 46\%$ ;  $d'_1 = 8,5 \text{ г/кг}$ ;  $J'_1 = 46,2 \text{ кДж/кг}$  и  $P'_{e1} = 1,145 \text{ кПа}$ . Расход воздуха  $G = 10000 \text{ кг/ч}$ . В результате реконцентрации из раствора должно быть выпарено  $67 \text{ кг/ч}$  влаги, а концентрация раствора должна повыситься на  $43,4 - 43,33 = 0,07\%$ .

Определяем конечное влагосодержание воздуха после камеры реконцентрации

$$d''_2 = d''_1 + \frac{\Delta W \cdot 1000}{G} =$$

$$= 8,5 + \frac{67 \cdot 1000}{10000} = 15,2 \text{ г/кг}.$$

Этому влагосодержанию, согласно  $J - d$ -диаграмме, соответствует парциальное давление водяных паров в воздухе  $P''_{\text{в2}} = 2,425 \text{ кПа}$ .

Принимаем конечное парциальное давление водяного пара над поверхностью раствора с учетом потерь в аппарате

$$\begin{aligned} p''_{\text{раст.2}} &= P''_{\text{в2}} + 0,24 = \\ &= 2,425 + 0,24 = 2,66 \text{ кПа}. \end{aligned}$$

Этому давлению, согласно  $p - \varepsilon$ -диаграмме, при  $\varepsilon = 43,4\%$  соответствует раствор с температурой  $t'_{\text{раст.2}} = 56^\circ\text{C}$ .

Принимаем активную площадь поверхности контакта камеры реконцентрации равной 87% площади камеры осушки ( $131 \cdot 0,87 = 114 \text{ м}^2$ ), те же коэффициенты тепло- и массоотдачи, а следовательно, тот же коэффициент массопереноса  $N' = 1$  и по уравнению (15.112б) находим начальное парциальное давление водяного пара над горячим раствором

$$1 = \frac{2(2,425 - 1,145)}{(p_{\text{раст.1}} - 1,145) + (2,66 - 2,425)},$$

$$p_{\text{раст.1}} = 3,47 \text{ кПа}.$$

По  $p - \varepsilon$ -диаграмме (см. рис. 15.49) находим, что концентрации  $\varepsilon_1 = 43\%$  и этому давлению соответствует начальная температура раствора лития  $60^\circ\text{C}$ . Таким образом, после камеры осушки воздуха раствор для реконцентрации должен быть подогрет на  $60 - 26 = 34^\circ$ .

Из уравнения теплового баланса по явной теплоте вычисляем конечную температуру воздуха по сухому термометру,  $^\circ\text{C}$ :

$$\begin{aligned} Gc'_p(t''_{\text{c2}} - t'_{\text{c1}}) &= \\ &= 3,6 F_\alpha \left( \frac{t_{\text{раст.1}} + t_{\text{раст.2}}}{2} - \frac{t'_{\text{c1}} + t''_{\text{c2}}}{2} \right); \\ 10000 \cdot 1(t''_{\text{c2}} - 24) &= \\ &= 3,6 \cdot 114 \cdot 30,42 \left( \frac{60 + 56}{2} - \frac{24 + t''_{\text{c2}}}{2} \right), \end{aligned}$$

отсюда  $t_{\text{c2}} = 50,1^\circ\text{C}$ .

По  $J - d$ -диаграмме при  $d''_2 = 15,2 \text{ г/кг}$  находим

$$J''_2 = 88,2 \text{ кДж/кг}; \quad \varphi''_2 = 21\%.$$

Примеры тепловых расчетов пленочных камер, в которые подается восстановленный раствор, предварительно охлажденный с помо-

щью холодильной машины, показывают, что осушение воздуха охлаждаемым водным раствором хлористого лития позволяет поддерживать в помещениях низкую относительную влажность при уменьшенных энергетических затратах. Экономия энергии физически объясняется тем, что снижается нагрузка на холодильные машины, поскольку влага из воздуха поглощается раствором и отпадает необходимость охлаждения воздуха до температуры точки росы.

Раствор хлористого кальция дешевле раствора хлористого лития, но уступает ему по физическим характеристикам. Например, при температуре  $20^\circ\text{C}$  парциальное давление водяного пара над насыщенным раствором хлористого кальция в 2 раза и более выше, чем над раствором хлористого лития.

Процесс нагрева и увлажнения воздуха в камере пленочного типа раствором хлористого кальция исследовали О. А. Кремнев, Н. В. Зозуля, М. К. Теренецкая, Б. Н. Процышин и А. С. Гормиз. В результате исследований они получили следующие критериальные зависимости:

$$Nu = 0,0906 Re^{0,62}; \quad Nu' = 0,248 Re^{0,62}$$

(при  $950 \leq Re \leq 2500$ ). За определяющий размер был принят эквивалентный диаметр попечного сечения прохода между пленконесущими поверхностями.

Как и при обработке раствором хлористого лития, коэффициенты тепло- и массоотдачи в исследованных пределах оказались практически не зависящими от концентрации ( $24 \leq \varepsilon \leq 40\%$ ). Числовые значения  $\alpha$  и  $\beta$  приведены в табл. 15.25.

ТАБЛИЦА 15.25. ЗНАЧЕНИЯ КОЭФФИЦИЕНТОВ ТЕПЛО- И МАССООТДАЧИ ПРИ ОБРАБОТКЕ ВОЗДУХА РАСТВОРОМ ХЛОРИСТОГО КАЛЬЦИЯ

Скорость воздуха в живом сечении, м/с	$\alpha_2, \text{Вт}/(\text{м}^2 \cdot {}^\circ\text{C})$	$\beta \cdot 10^3, \text{кг}/(\text{м}^2 \cdot \text{ч} \cdot \text{кПа})$
0,5	4,88	0,0978
0,7	6,28	0,15
0,9	7,52	0,172
1,1	8,48	0,207
1,3	9,3	0,227
1,5	10,35	0,241
1,7	11,05	0,248
1,9	11,6	0,255

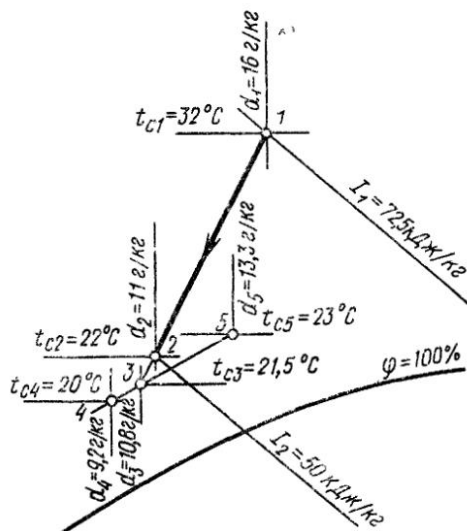


Рис. 15.55 Схема процесса осушения воздуха водным раствором хлористого кальция, построенная на J-d-диаграмме

Позднее М. К. Теренецкая, Т. К. Васильева и А. С. Гормиз, испытав полупромышленную установку в режиме нагрева и увлажнения воздуха раствором хлористого кальция, получили уравнения

$$Nu = 0,079 Re, \quad Nu' = 0,368 Re$$

(при  $500 \leq Re \leq 8000$ ) Эти уравнения справедливы для скоростей воздуха в живом сечении камеры, достигающие  $4,5 - 5$  м/с. Расчет процессов осушения хлористым кальцием аналогичен расчету процессов осушения хлористым литием. Для теплотехнических расчетов процессов обработки воздуха при распылении растворов в форсуночных камерах могут быть использованы коэффициенты эффективности теплообмена.

**Пример 15.7.** (рис. 15.55) Необходимо определить параметры раствора для охлаждения и осушения  $15\,000$  кг/ч воздуха с начальными параметрами  $t_{c1} = 32^{\circ}\text{C}$ ,  $J_1 = 72,5$  кДж/кг и  $d_1 = 16$  г/кг до конечных параметров  $t_{c2} = 22^{\circ}\text{C}$ ,  $J_2 = 50$  кДж/кг и  $d_2 = 11$  г/кг.

Охлаждение воздуха производим в форсуночном абсорбере раствором хлористого кальция. Коэффициент эффективности влагообмена принимаем  $E = 0,95$ , тогда влаго содержание у поверхности раствора составит

$$d_3 = d_1' - \frac{d_1 - d_2}{E} =$$

$$= 16 - (16 - 11)/0,95 = 10,8 \text{ г/кг.}$$

Находим точку 3, которая характеризуется температурой  $t_{c3} = 21,5^{\circ}\text{C}$ , продолжив прямую 1-2 на J-d-диаграмме до пересечения с  $d_3 = 10,8$  г/кг. Парциальное давление паров воды в этом воздухе равно приблизительно  $p_3 = 1,735$  кПа.

По рис. 15.47 находим среднюю концентрацию раствора, соответствующую условиям  $t_{c3}$  и  $p_3$ , которая равна 25%, а по табл. 15.20 удельную теплоемкость раствора  $2,93$  кДж/(кг·°C) и плотность  $1234,6$  кг/м<sup>3</sup>.

Принимаем, что колебания концентрации раствора не должны превышать  $\Delta\epsilon = 0,002$ . Следовательно, согласно уравнению (15.95), в системе должно циркулировать раствора не менее

$$G_{\text{раст}} = 0,001 \cdot 15\,000 (16 - 11) (0,25 - 0,002)/0,002 \approx 9300 \text{ кг/ч.}$$

Определяем расход теплоты, передаваемой раствору в результате конденсации влаги и охлаждения воздуха,

$$Q_u = 15\,000 (72,5 - 50)/3600 = 93,6 \text{ кВт.}$$

В результате растворения, гидратации и разбавления расходуется  $732$  кДж/кг влаги (см. рис. 15.52)

$$Q' = \frac{15\,000 (16 - 11)}{3600 \cdot 1000} \cdot 732 = 15,25 \text{ кВт.}$$

Всего  $93,6 + 15,25 = 108,85$  кВт

Определяем разность температур раствора в процессе

$$\Delta t_{\text{раст}} = \frac{3600 \cdot 108,85}{9300 \cdot 2,93} = 14,5^{\circ}\text{C}.$$

Гораздо легче, что раствор в осушителе нагревается на  $3^{\circ}$ , следовательно, количество циркулирующего раствора при удельной теплоемкости  $2,93$  кДж/(кг·°C) должно быть доведено до

$$G_{\text{раст}} = 9300 \cdot 14,5 / (3 \cdot 2,93) = 15340 \text{ кг/ч.}$$

Определяем коэффициент орошения

$$B_{\text{раст}} = \frac{15340}{15\,000} = \sim 1 \text{ кг/кг.}$$

Начальная температура раствора  $t_{c4} = 21,5 - 0,5 \cdot 3 = 20^{\circ}\text{C}$ , а конечная  $t_{c5} = 20 +$

ТАБЛИЦА 15.26. ФОРМУЛЫ ДЛЯ РАСЧЕТА ТЕПЛО- И МАССООБМЕНА В АППАРАТАХ С ПЛЕНКОНЕСУЩИМИ ПОВЕРХНОСТЯМИ ИЗ ТКАННЫХ МАТЕРИАЛОВ

Характеристика аппарата	Орошающая жидкость	Формулы для расчета
Перекрестно-точечная плоско-параллельная насадка из тканых материалов, длина 250–240 мм, эквивалентный диаметр $d_s = 2\tau$ (где $\tau$ – просвет между плоскостями насадки, м)	Слабоконцентрированный раствор этиленгликоля	$Nu = Nu' = 0,6 \cdot 10^{-3} \times Re^{1,33} (2,5 \leq v_{\infty c} \leq 18 \text{ м/с})$ (15.118)
То же, прямоточная ( $d_{s,m}$ – эквивалентный диаметр меньшего из каналов, м)	Растворы этиленгликоля, хлористого натрия, хлористого кальция	$Nu = Nu' = 0,26 \cdot 10^{-2} Re^{0,65} (d_{s,m})$ [ $H_0 = 0,036 - 0,039, \text{ кг/(м} \cdot \text{с)}]$ (15.119)

+ 3 = 23 °C. При концентрации раствора 25% этим температурам (см. рис. 15.47) соответствуют парциальные давления паров над раствором соответственно 1,455 и 2,13 кПа и влагосодержание воздуха  $d_4 = 11/1,2 = 9,2 \text{ г/кг}$  и  $d_5 = 16/1,2 = 13,3 \text{ г/кг}$ .

Строим на  $J - d$ -диаграмме по найденным температурам и влагосодержанию воздуха точки 4 и 5, характеризующие начальное и конечное состояние воздуха, находящегося у поверхности раствора.

Осушение воздуха осуществляется при его контакте с растворами этиленгликоля и хлористого натрия. В работах И. Г. Чумака и др.\* приведены полученные экспериментальным путем формулы для расчета тепло- и массообмена в пленочных аппаратах с насадками из тканых материалов (табл. 15.26).

## 15.8.2. Осушение воздуха твердыми поглотителями (адсорбентами)

Адсорбенты поглощают водяной пар из воздуха вследствие того, что давление пара в порах адсорбентов ниже парциального давления в осушаемом воздухе. В качестве адсорбентов применяют силикагель, активированную окись алюминия, бокситы и активированный уголь.

**Силикагель  $SiO_2$ .** Для осушки воздуха наиболее применимы мелкопористые силика-

гели. Согласно ГОСТ 3956–76, мелкопористый силикагель может быть кусковым и гранулированным. Насыпная плотность силикагелей 670 кг/м<sup>3</sup>, потери при высушивании при температуре 150 °C не более 10%. Техническая характеристика силикагелей приведена в табл. 15.27.

**Алюмогель  $Al_2O_3$ , или глиноzem активный.** Алюмогель представляет собой окись алюминия, полученную термической активацией гидрата ГД-2, побочного продукта алюминиевых заводов. Алюмогель изготавливается в виде зерен размером 2–7 мм пористой структуры. Количество зерен, по размеру больших верхнего предела, должно быть не более 5%; такой же процент нормируется и для зерен, меньших нижнего предела. Насыпная плотность 1000 кг/м<sup>3</sup>, влагоемкость при температуре воздуха 20 °C и относительной влажности 100% не менее 14%. Пористость алюмогеля и поглотительная способность меньше, чем силикагеля.

**Активированный уголь.** Активированными называют угли, которые для увеличения адсорбционной способности поверхности пор в результате обработки освобождаются от смолистых веществ (табл. 15.28). В зарубежных странах изготавливают активированный уголь из скорлупы кокосовых орехов. При малых диаметрах адсорберов процесс адсорбции влаги активированным углем приближенно можно считать протекающим по изотерме.

Эффективность силикагеля зависит от температуры, влажности, скорости, давления осушаемого воздуха и толщины слоя поглотителя. Расход осушаемого воздуха следует принимать 1000–1800 м<sup>3</sup>/ч на 1 м<sup>2</sup> поперечного сечения осушителя, толщину слоя – не менее 50 мм, а массу силикагеля – 1 кг на 40 м<sup>3</sup> осу-

\* Чумак И. Г., Исаев В. И., Роговая С. Н., Васильева Л. К. Обобщенные результаты исследований теплообмена в аппаратах с орошающей регулярной насадкой // Холодильная техника и технологии.–Киев: Техника, 1975.–Вып. 25.

ТАБЛИЦА 15.27. ХАРАКТЕРИСТИКА МЕЛКОПОРИСТЫХ СИЛИКАГЕЛЕЙ

Показатель	Силикагель					
	кусковой			гранулированный		
	KCM	ШСМ	МСМ	ACM	KCM	ШСМ
Размер зерен, мм	2,8–7	1,5–8,5	0,25–2	0,2–0,5	2,7–7	1–3,5
Предельное содержание зерен, %:						
более мелких, чем нижний предел	5	5	3	3	5	5
более крупных, чем верхний предел	10	5	5	5	5	5
Статическая активность по парам воды при 20 °C и относительной влажности, % (не менее):						
20	9	9	8	8	9	9
40	18	18	18	18	16	16
60	24	24	24	24	Не нормируется	
100	28	28	28	28	35	35

ТАБЛИЦА 15.28. ХАРАКТЕРИСТИКА НЕКОТОРЫХ АКТИВИРОВАННЫХ УГЛЕЙ, ПОЛУЧАЕМЫХ СПОСОБОМ ПАРОВОДЯНОЙ АКТИВАЦИИ, ДЛЯ ПОГЛОЩЕНИЯ ПАРОВ И ГАЗОВ ИЗ ВОЗДУХА

Уголь	Марка	Объем адсорбционного пространства $W_0$ , $\text{cm}^3/\text{г}$	Постоянная изотермы * $B \cdot 10^6/\text{K}^2$	$f_y, \text{м}^2/\text{г}$	Насыпная плотность $\rho_{\text{нас}}, \text{кг}/\text{м}^3$	Размер зерен, мм
Березовый	БАУ	0,238	0,627	600–700	350	1–5
Косточковый	КАУ	0,379	0,779	600–700	Нет данных	

\*  $B$  и  $K$  – константы в уравнении изотермы адсорбции.

шаемого воздуха в 1 ч. Схема процесса осушки воздуха адсорбентом на  $J$ - $d$ -диаграмме представляется прямой  $J_1$ -const, направленной к оси ординат.

Адсорбенты обладают избирательной поглотительной способностью: например, силикагель преимущественно поглощает водяные пары, а активированный уголь – пары органических соединений. Для реактивации адсорбент нагревают так, чтобы давление пара адсорбированной влаги стало выше парциального давления водяного пара в воздухе, пропускаемом через реактиватор. В охлажденном адсорбенте после реактивации давление водяного пара в порах ниже парциального давления пара в воздухе. Температура реактивации 75–300 °C (для силикагеля обычно принимают 120–150 °C).

Осушка адсорбентами производится с помощью аппаратов двух типов: с непрерывно вращающимся поглощающим слоем (рис. 15.56) и с неподвижным слоем или патро-

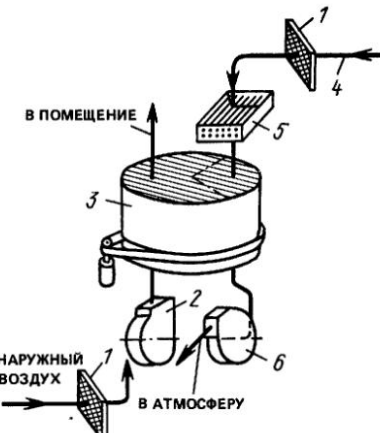


Рис. 15.56. Адсорбционный воздухоосушитель с вращающимся ротором

1 – воздушные фильтры; 2 – приточный вентилятор; 3 – вращающийся в горизонтальной или вертикальной плоскости барабан, загруженный поглощающим материалом; 4 – канал для подачи воздуха на реактивацию материала; 5 – воздухонагреватель; 6 – вентилятор, удаляющий горячий воздух после реактивации

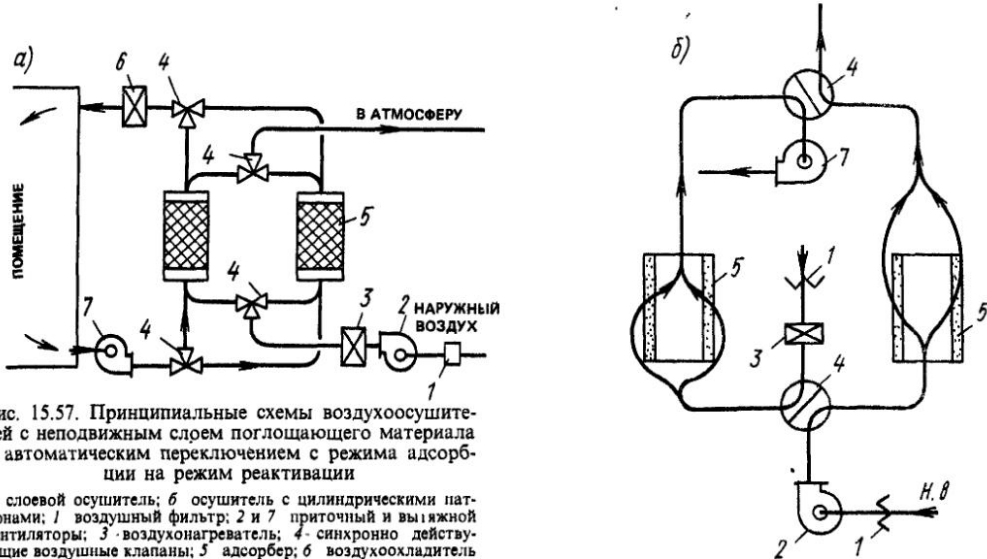


Рис. 15.57. Принципиальные схемы воздухоосушителей с неподвижным слоем поглощающего материала и автоматическим переключением с режима адсорбции на режим реактивации

а слоевой осушитель; б осушитель с цилиндрическими патронами; 1 воздушный фильтр; 2 и 7 приточный и вытяжной вентиляторы; 3 - воздухонагреватель; 4 - синхронно действующие воздушные клапаны; 5 адсорбер; б воздухоохладитель

нами (рис. 15.57). В аппаратах первого типа около 75% адсорбента постоянно находится в потоке осушаемого воздуха и извлекает из него влагу, а около 25% адсорбента, проходя через поток горячего воздуха, отдает влагу и тем самым восстанавливает свою поглощающую способность. В аппаратах второго типа адсорбирующий материал неподвижен, одна его часть поглощает влагу, а другая в это время находится в процессе реактивации. Переключение с режима поглощения на режим реактивации производится системой автоматики. В аппаратах второго типа основной процесс осушки воздуха идет при постоянной скорости поглощения, которая затем резко падает.

Адсорбция возможна вплоть до полного насыщения сорбента, но практически процесс заканчивают несколько раньше путем переключения работающего ложа или группы патронов на реактивацию, а подготовленного ложа или группы патронов — на осушение. При реактивации температура уходящего воздуха по сухому термометру сначала резко поднимается, а потом держится на постоянном уровне до тех пор, пока большая часть воды, содержащейся в адсорбенте, не испарится. Затем температура выхлопа воздуха вновь резко повышается, что является сигналом окончания процесса реактивации.

Теплота адсорбции состоит из скрытой теплоты испарения и теплоты смачивания, ос-

вобождающейся при контакте жидкой и твердой поверхности. При конденсации скрытая теплота преобразуется в явную. Теплота расходуется на нагрев слоя осушителя, теряется через стенки аппаратуры и уносится воздухом. Выходящий из осушителя воздух перед подачей в кондиционируемое помещение обычно охлаждают. В ряде случаев, например при осушении подвалов, повышенная температура воздуха не является помехой и мер к его охлаждению не принимают.

Зависимость между относительной концентрацией водяного пара в силикагеле  $C_e$ , кг/кг, и влагосодержанием воздуха  $d_a$ , кг/кг (или парциальным давлением водяного пара), при постоянной температуре называют изотермой сорбции.

Изменение равновесного состояния водяного пара в силикагеле и в осушаемом воздухе в зависимости от температуры воздуха, равной температуре геля, и от парциального давления паров, воды или температуры точки росы воздуха показано на рис. 15.58 и 15.59. Кривые на рис. 15.58 асимптотически приближаются к оси при 5–6%-ном содержании влаги по отношению к сухой массе геля. Эту массу влаги следует оставить в геле и после реактивации, так как дальнейшее удаление влаги приводит к физическим изменениям силикагеля и снижению адсорбционной способности. Гели характеризуются «полезной концентрацией», озна-

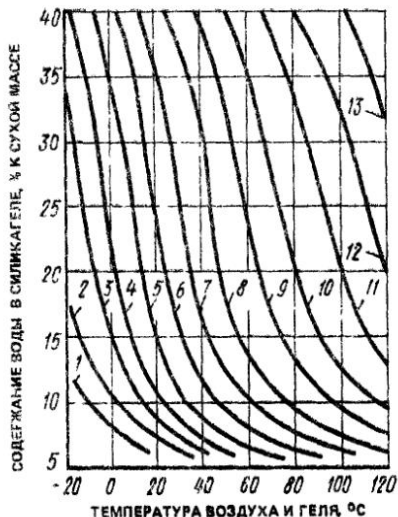


Рис. 15.58. Кривые равновесного состояния водяного пара в силикагеле насыпной плотностью 700 кг/м<sup>3</sup>

Кривая	P, кПа	$t_p$ , °C	Кривая	P, кПа	$t_p$ , °C
1	0,00333	-51,1	8	3,33	26,7
2	0,0226	-34,4	9	6,66	38,3
3	0,0745	-23,3	10	13,32	51,7
4	0,213	-13,9	11	26,64	66,7
5	0,4	3,9	12	53,4	82,2
6	0,84	5	13	100	100
7	1,666	15			

чающей поглотительную способность (за исключением остаточного содержания влаги после реактивации).

При постоянных температурах воздуха и геля количество адсорбированной влаги находится в прямой зависимости от температуры точки росы (влагосодержания) воздуха. Если температура точки росы воздуха близка к температуре горячего термометру ( $\phi \approx 100\%$ ), то равновесное содержание воды в геле весьма близко к 40% его сухой массы при одинаковых температурах воздуха и геля.

Масса влаги, поглощаемой адсорбентом, увеличивается при повышении начальной температуры точки росы воздуха. При постоянной температуре точки росы масса поглощенной влаги возрастает со снижением температуры и увеличением насыщения воздуха. Повышения пропускной способности адсорбента можно достичь увеличением массы пропускаемого воздуха при одновременном повышении влажности на выходе из аппарата.

При высокой температуре осущенного воздуха и особенно в тех случаях, когда после осушения необходимо получить низкую температуру точки росы, целесообразно устанавливать охладитель для понижения температуры поступающего воздуха. С понижением температуры в адсорбере степень осушки воздуха существенно увеличивается. Иногда воздухоохладители встраивают непосредственно в ложе адсорбента.

Потери давления, Па, в слое осушителя определяются по формуле

$$\Delta p = Chv^n, \quad (15.120)$$

где  $C = 40$  для силикагеля и алюмогеля и  $C = 268$  для активированного угля марки АР;  $h$  — высота слоя, мм;  $n$  — показатель степени, равный 2 для силикагеля и алюмогеля и 1,43 для активированного угля марки АР.

Конечная температура воздуха, °С, после адсорбции влаги силикагелем

$$t_{c2} = t_{c1} + 2,51 \Delta d, \quad (15.121)$$

где  $t_{c1}$  — температура воздуха, °С, до осушителя;  $\Delta d$  — разность влагосодержания воздуха, г/кг, до и после осушки.

Масса поглощенной влаги, кг/цикл,

$$W = G \Delta d \tau_a, \quad (15.122)$$

где  $G$  — расход воздуха, кг/ч;  $\Delta d$  — по предыдущему, г/кг;  $\tau_a$  — продолжительность цикла 1,5–2 ч.

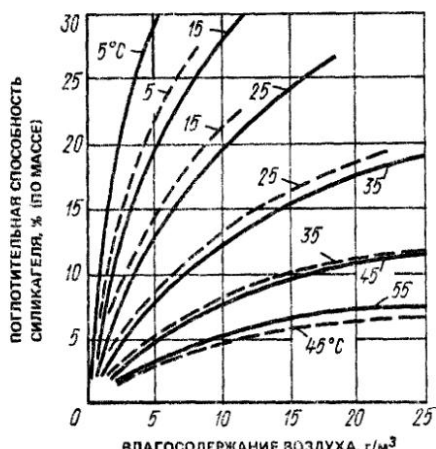


Рис. 15.59. Кривые адсорбции влаги силикагелем (диаметр зерен 2–4 мм, толщина слоя 0,5 м, скорость набегающего потока воздуха 0,2 м/с)

При адсорбции влаги активированным углем процесс проходит практически по изотерме.

Тепловлажностное отношение процесса десорбции влаги из силикагеля  $\varepsilon \approx 1200 \text{ кДж/кг}$ .

Массовый расход десорбирующего воздуха

$$G_d = (1.5 - 2.0) G_a \Delta d / \Delta d_{des}, \quad (15.123)$$

где  $G_a$  — расход воздуха, кг/ч;  $\Delta d / \Delta d_{des}$  — отношение разности влагосодержания воздуха, адсорбированного силикагелем, десорбируемому.

Расход теплоты на десорбцию, кВт/ч,

$$Q_t \approx 0.53 W, \quad (15.124)$$

где  $W$  — масса выпариваемой влаги, кг/ч.

Массовую скорость набегающего потока в десорбере принимают равной  $0.25 - 0.35 \text{ кг}/(\text{м}^2 \cdot \text{с})$ .

### 15.8.3. Осушение воздуха твердо-жидкими поглотителями

В качестве твердо-жидкого поглотителя влаги применяют главным образом кристаллический хлористый кальций и иногда безводный хлористый кальций.

По мере обводнения твердый хлористый кальций превращается в раствор. Процесс осушки воздуха при его контакте с твердым хлористым кальцием, постепенно переходящим в раствор, протекает изоэнталпически.

В. И. Сыщиков\* на основе экспериментального изучения созданных им воздухосушительных установок с использованием хлористого кальция в твердо-жидком состоянии установил, что интенсивность влагопоглощения и конечная относительная влажность воздуха, %, зависят от типа адсорбера и начальной температуры воздуха

$$\varphi_k = A + B t_n, \quad (15.125)$$

где  $A$  и  $B$  — свободный член и коэффициент (табл. 15.29).

Конечная концентрация раствора хлористого кальция вычисляется по формуле

$$\varepsilon_k = C + D t_n. \quad (15.126)$$

ТАБЛИЦА 15.29. ЗНАЧЕНИЯ  $A$  И  $B$

Тип адсорбера и способ его снаряжения	$A$	$B$
Вертикальный	45,7	-0,24
Горизонтальный, снаряженный вертикальными кассетами	57,65	-1,03
Горизонтальный, горизонтальные кассеты уложены открытой поверхностью вверх; поверхность твердого сорбента не покрыта слоем раствора	51,45	-0,595
То же, поверхность твердого сорбента покрыта слоем раствора	77,5	-1,16

Для горизонтальных кассет с поверхностью сорбента, обращенной вверх,  $C = 21,9$  и  $D = 0,77$ , а для всех остальных случаев расположения кассет  $C = 34,2$  и  $D = 0,36$ .

Хлористый кальций с начальной концентрацией 60% поглощает водяные пары в количестве 100% начальной массы твердой соли как при низких положительных, так и при отрицательных температурах воздуха.

## 15.9. БОРЬБА С ЗАПАХАМИ, ОЗОНИРОВАНИЕ И АЭРОИОНИЗАЦИЯ

### 15.9.1. Борьба с запахом и озонирование

Помимо людей и животных источниками запахов в помещениях являются технологическое оборудование, сырье и готовая продукция, горючие и смазочные материалы, растворители и краски, пищевые и химические продукты, оборудование для приготовления пищи, ковры, мебель, линолеум, декоративная отделка ограждений, загрязненные поверхности элементов СКВ, вода, циркулирующая в форсуночных камерах и орошаемых поверхностях воздухоохладителях, разлагающаяся пыль и минеральные масла на поверхностях фильтров и теплообменников, наружный воздух, загрязненный выбросами промышленных предприятий и транспорта.

Существует более 30 различных теорий, объясняющих способность человека распознавать запахи, но большинство этих теорий экспериментально не подтверждается. Оценивать интенсивность запахов на основе инструмен-

\* Сыщиков В.И. Сорбционные осушители воздуха. — Л.: Стройиздат, 1969

ТАБЛИЦА 15.30. ШКАЛА ЗАПАХОВ

Балл	Запах	
	по Райту	по Яглоу
0	Отсутствует	Незаметный
1	Едва заметный	Заметный
2	Отчетливый	Приемлемый
3	Умеренный	Нежелательный
4		Сильный
5		Невыносимый

тальных замеров в данное время не представляется возможным. Для оценки запаха с помощью обоняния используют шестибалльные шкалы, которые характеризуют субъективное ощущение силы запаха, не давая оценки степени его приятности (табл. 15.30).

Острота восприятия запаха падает с увеличением относительной влажности воздуха и практически не зависит от его температуры. Для уменьшения неприятных ощущений от запахов относительную влажность воздуха рекомендуется поддерживать в пределах 45–60%. Замечено, что ограждения больше адсорбируют запахи при понижении температуры и отдают их при повышении температуры.

С запахами можно бороться в источнике их образования, в месте их поступления в помещения и, что уже плохо, непосредственно в помещениях, не допуская воздействия запахов на органы обоняния людей.

**К физическим методам борьбы** с запахами относятся очистка воздуха от пыли и бактерий в воздушных фильтрах, вентиляция помещений чистым воздухом, озонирование, хлорирование, абсорбция, адсорбция и промывка водой.

**Вентиляция** нередко сопряжена с подачей больших объемов наружного воздуха, на обработку которого необходимы значительные количества теплоты, холода и электроэнергии. Так, если для ассимиляции углекислоты требуется подавать около 7 м<sup>3</sup> воздуха в 1 ч на 1 человека, то для уничтожения запахов, выделяемых человеком, находящимся в спокойном состоянии, необходимо подавать 14–40 м<sup>3</sup>/ч, а при выполнении умеренной физической работы – 20–62 м<sup>3</sup>/ч (нижний и верхний пределы относятся к объемам помещения, приходящимся на 1 человека и равным соответственно 13 и 3 м<sup>3</sup>).

**Озонирование** при тихом электроразряде протекает с выделением одноатомных кисло-

рода и азота, которые, взаимодействуя друг с другом, образуют вредные для людей окислы азота. Кроме того, озон в больших концентрациях вреден для здоровья людей (предельно допустимая концентрация 0,1 мг/м<sup>3</sup>). Установлено, что при малых концентрациях (0,01–0,03 мг/м<sup>3</sup>) получение озона не сопровождается значительным образованием окислов азота, способствует уничтожению запахов, стерилизации воздуха и улучшению самочувствия людей. Вообще говоря, применение озона допустимо для борьбы с запахами вентиляционных выбросов, а также в складских помещениях.

Методы адсорбции при пропускании через активированный древесный уголь и адсорбции с помощью орошения воздуха растворами хлористого кальция и хлористого лития связаны с необходимостью реконцентрации угля и раствора. Положительным свойством растворов хлористого лития и хлористого кальция, как указывалось, является их бактерицидное действие.

**Промывка воздуха водой** в форсуночных и насадочных камерах наиболее доступна, однако при ней удаляются только запахи, вызываемые растворимыми в воде веществами (например, запах аммиака).

Удаление запахов из рециркуляционного воздуха позволяет в ряде случаев сокращать количество вводимого наружного воздуха. Расход очищаемого рециркуляционного воздуха  $L_{\text{рец}}$ , м<sup>3</sup>/ч, можно определить по формуле

$$L_{\text{рец}} = \frac{1000g/(K_1 - L_u)}{1 - E}, \quad (15.127)$$

где  $L_u$  – расход вводимого наружного воздуха, м<sup>3</sup>/ч;  $g$  – количество выделяющихся в помещении газов и паров, кг/ч;  $E = K_2/K_1$  – эффективность поглощения газов или паров в очистном устройстве;  $K_1$  и  $K_2$  – концентрация газа или пара на выходе соответственно из помещения и очистного устройства, г/м<sup>3</sup>.

Если рециркуляционный воздух очищается до предельно допустимой концентрации  $K_{\text{пред}}$ , то его расход, м<sup>3</sup>/ч, определяют по формуле

$$L_{\text{рец}} = \frac{1000gE'/(K_{\text{пред}} - L_u)}{1 - E'}, \quad (15.128)$$

где  $E' = K_{\text{пред}}/K_1$ .

Наконец, если система кондиционирования воздуха работает на полной рециркуляции (без подачи наружного воздуха), то формула (15.128) принимает вид

$$L_{\text{пред}} = \frac{1000gE'/K_{\text{пред}}}{1 - E'}, \quad (15.129)$$

Продолжительность, ч, использования активированного угля определяют по формуле

$$\tau = \frac{K_1 [L_{\text{пред}}(1 - E) + L_u] 1000}{W a_u E}, \quad (15.130)$$

где  $W$ —масса угля;  $a_u$ —динамическая активность угля, кг/кг

Продолжительность, ч, использования угля, очищающего воздух до предельно допустимой концентрации, вычисляется по формуле

$$\tau_{\text{пред}} = \frac{K_{\text{пред}} [L_{\text{пред}}(1 - E') + L_u] 1000}{W a_u E'} \quad (15.131)$$

Для пользования формулами (15.127)–(15.131) необходимо знать количество и качественный состав газов и паров, допускаемые по условиям дезодорации концентрации пахучих веществ в воздухе, динамическую активность угля и его эффективность.

Слой активированного угля толщиной 12,5 мм при скорости набегающего потока воздуха 0,2 м/с обладает эффективностью примерно 0,95. После реактивации эффективность слоя угля падает до 0,9. Сопротивление слоя угля 12,5 мм проходу воздуха равно 50 Па. Для слоя угля толщиной 25 мм эффективность равна 0,98, а сопротивление—75–90 Па. Перед слоем из активированного угля необходимо устанавливать противопыльные фильтры.

Сравнение эффективности различных методов дезодорации приведено на рис. 15.60, из которого следует, что борьба с запахами с помощью активированного угля эффективна при низкой скорости воздуха.

Успешную борьбу с запахами обеспечивают **деструктивный метод окисления**. При окислении молекул пахнущих веществ запах лишается своего физиологического действия на органы обоняния. Органы обоняния, как известно, не реагируют на запах кислорода и его окислов.

Теоретически существует большое число способов окисления. Однако из гигиенических, инженерных и экономических соображений практически приемлем только один способ, который состоит в том, что на молекулы веществ, имеющих запах, воздействует одно-

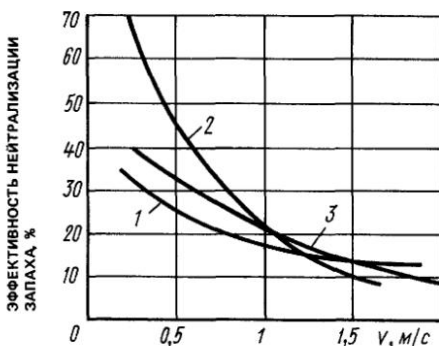


Рис. 15.60. Эффективность различных методов удаления запахов из воздуха

1—промывкой водным раствором гликоля в орошаемом слое, 2—пропуском воздуха через слой активированного угля толщиной 19 мм (одорант четыреххлористый углерод), 3—фильтрацией с загрузкой фильтра активированной окисью алюминия с перманганатом калия (толщина загрузки 25 мм, одорант—дым табака)

атомный кислород  $O_3$ , получаемый из кислорода воздуха при облучении его ультрафиолетовыми лучами с определенной длиной волны. Продолжительность существования одноатомного кислорода весьма мала (исчисляется микросекундами), поэтому его действие происходит в пределах завесы из ультрафиолетовых лучей.

При воздействии ультрафиолетовыми лучами с длиной волны  $1849 \cdot 10^{-7}$  мм двухатомный кислород расщепляется, а двухатомный азот не расщепляется, поэтому окислов азота не образуется. Запахи ультрафиолетовыми лучами уничтожаются следующим образом. Загрязненный воздух под влиянием разрежения, создаваемого вентилятором, пропускается через воздушные фильтры, задерживающие масло и пыль, и поступает в расширительную камеру, где проходит через завесу из ультрафиолетовых лучей. Длина расширительной камеры выбирается такой, чтобы время пребывания воздуха в камере составляло 6–8 с. Объем камеры,  $m^3$ , определяют по формуле

$$V = cL, \quad (15.132)$$

где  $L$ —производительность вентилятора,  $m^3/c$ ;  $c$ —доля воздуха, пропускаемого через камеру ( $c = 0,1 - 1,025$ ).

Генераторы, создающие ультрафиолетовые лучи, должны быть расположены так, чтобы завеса из лучей перекрывала сечение для прохода воздуха в нескольких местах по длине камеры.

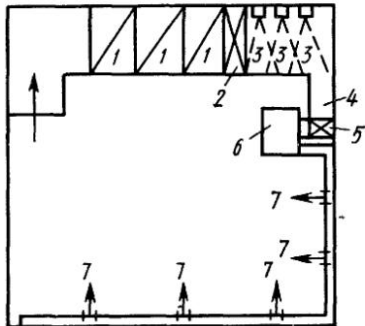


Рис. 15.61. СКВ с установкой для дезодорации воздуха

1—масляные фильтры, 2—двойной сетчатый фильтр, 3—ультрафиолетовые облучатели, 4—канал, 5—вытяжной вентилятор, 6—СКВ, 7—приточные отверстия

СКВ в кухне ресторана с установкой для дезодорации рециркуляционного воздуха показана на рис. 15.61. После дезодорации в систему кондиционирования поступает до 90% рециркуляционного воздуха и 10% наружного.

**К химическим способам борьбы** с запахами относятся сжигание, каталитическое горение, хемосорбция, воздействие на воздух химических реагентов. Прямое и каталитическое сжигание наиболее применимо для борьбы с промышленными выбросами. Воздействие химических реагентов на приточный воздух, как правило, неприемлемо ввиду их токсичности.

Фильтры из активированной окиси алюминия с перманганатом калия также относятся к химическим средствам борьбы с запахами. Схема их работы следующая: активированная окись алюминия адсорбирует газы и пары, а перманганат калия окисляет поглощаемые вещества, превращаясь в двуокись марганца. Такие фильтры обладают значительным сопротивлением проходу воздуха и сравнительно малой эффективностью.

**К психологическим способам борьбы** с запахами относятся нейтрализация и компенсация.

Способ нейтрализации состоит в том, что существуют «пары» запахов, которые, будучи смешаны в определенной пропорции, при надлежащем регулировании в период одновременного вдыхания создают временный психологический эффект потери обоняния человека, что равносильно параличу органов обоняния. На практике второй запах, добавляемый

к пахнущему воздуху, вводится путем очень тонкого распыления жидкого маскирующего агента. В состав распыляемых дезодорантов входят эфирные масла, хлорофилл и химические вещества; частицы дезодоранта долгое время витают в воздухе. Во избежание неприятного воздействия распыляемых агентов на органы дыхания, пищеварения, глаза и кожный покров, а также на продукты питания возможность применения метода нейтрализации каждый раз надлежит предварительно согласовывать со специалистами-медиками.

Метод компенсации состоит в перекрытии неприятного запаха приятным. Но запахи бывают и несовместимыми, в этом случае может образоваться третий, еще более неприятный запах.

Наибольший эффект и наименьшие единовременные и эксплуатационные затраты свойственны ультрафиолетовому облучению, пропусканию через активированный уголь и промывке воздуха водой в форсуночных камерах.

Во время эксплуатации СКВ для устранения причин появления запахов необходимо точно соблюдать сроки очистки элементов систем от загрязнений, обмывания форсуночных камер и спуска шлама, дезинфекции теплообменных аппаратов и воздуховодов, замены фильтров и замасливателей; после ухода людей из помещения выключать системы нужно не сразу, а через некоторый промежуток времени.

### 15.9.2. Ионизация воздуха

Под влиянием ионизирующих факторов (радиоактивное излучение почвы, космическое излучение) от молекулы газа отделяется электрон, который присоединяется к нейтральной молекуле и образует отрицательный ион, а атом или молекула, лишенные электрона, образуют положительный ион.

Легкие атмосферные ионы состоят из группы молекул. Тяжелые ионы образуются при соединении легкого иона с пылинками и водяными каплями. Степень ионизации атмосферы характеризуется числом ионов в 1 см<sup>3</sup> воздуха. Обычно в 1 см<sup>3</sup> наружного воздуха содержится около 1000 легких ионов, в зимнее время их содержание снижается до 200, а летом иногда поднимается до 3000, вблизи же водоемов — до 10000 ионов и более.

Оригинальные и положительные ионы различно действуют на организм и окружающую среду. Отношение числа легких положительных ионов к числу легких отрицательных ионов называют коэффициентом униполярности, который устанавливается отдельно для легких ионов  $g = n^+/n^-$  (в атмосфере  $g = 1 \div 2$ ) и отдельно для тяжелых ионов  $Q = N^+/N^-$ .

Вблизи заводов, котельных и электростанций наблюдается значительная концентрация тяжелых ионов, которая может служить одним из критериев загрязнения воздуха. В воздухе производственных помещений имеются значительные концентрации легких и тяжелых ионов обеих полярностей. Особенно высокие концентрации тяжелых ионов наблюдаются при электросварке, литье и других процессах, связанных с выделением вредных веществ.

Солнечное сияние, температура и степень влажности воздуха, выпадение дождей (особенно грозовых) и снега, направление и сила ветра оказывают влияние на степень аэроионизации наружного воздуха и иногда определяют ее знак.

Искусственной аэроионизацией можно осаждать пыль, однако выпадающая из воздуха пыль и сопутствующие ей бактерии оседают на потолок, стены, пол и окружающие предметы.

Искусственная ионизация воздуха по назначению и под контролем врачей применяется в профилактических целях, а также при лечении острых катаров верхних и нижних дыхательных путей, бронхиальной астмы, гипертонической болезни (на ранних стадиях), ожогов и ран. Дозировка аэроионов, продолжительность сеансов и их число устанавливаются врачами с учетом индивидуальных особенностей людей и характера протекания болезней.

В зарубежной литературе преобладает мнение, основанное на специально поставленных экспериментах о том, что для здоровых людей искусственная ионизация воздуха в помещениях не требуется\*. Тем не менее ряд фирм в течение многих лет комплектует авто-

номные кондиционеры и рециркуляционные воздухоочистительные агрегаты генераторами отрицательных ионов, поскольку они способствуют стерилизации воздуха.

Некоторые разъяснения в вопросе о целесообразности применения аэроионизации в производственных зданиях внесло Главное санитарно-эпидемиологическое управление Минздрава СССР, которое в 1977 г. издало Временные указания\*\*, регламентирующие компенсацию аэроионной недостаточности в производственных помещениях (за исключением тех, где выделяются вредные химические вещества). Согласно Указаниям, в первую очередь аэроионизацию следует устраивать в помещениях с повышенными требованиями к чистоте, приточный воздух в которые проходит через фильтры тонкой очистки; оптимальным считается уровень ионизации — число ионов в 1 см<sup>3</sup> воздуха в зоне дыхания: легких положительных ионов 6—5 тыс., легких отрицательных ионов 5—6 тыс. (коэффициент униполярности 1,2—0,8). Предельно допустимые отклонения от оптимального уровня: легких положительных ионов 10—2,5 тыс., легких отрицательных ионов 2,5—10 тыс. (коэффициент униполярности 0,2—0,5). Для компенсации аэроионной недостаточности рекомендовано применять стационарные или переносные управляемые безопасные электрические эфлювиальные аэроионизаторы закрытого типа, генерирующие ионы коронным разрядом. Для исключения денонизации воздуха при транспортировании его по металлическим каналам аэроионизаторы устанавливают непосредственно в помещениях или у приточных отверстий.

С технологической точки зрения генерирование и введение отрицательных ионов положительно сказываются на процессах производства и обработки бумаги, пленок, искусственных и природных волокон, на полиграфических процессах. Имеются сведения, что при аэроионизации снижается загазованность воздуха окисью углерода CO (гаражи, ангары), CO<sub>2</sub> и SO<sub>2</sub>.

\* Влияние ионизации воздуха на самочувствие человека (Канада) — Сер. 9. Науч.-реф. сб. (ЦНИИС. — М., 1979.—Вып. 7).

\*\* Указания (временные) по компенсации аэроионной недостаточности в помещениях промышленных предприятий и эксплуатации аэроионизаторов. — М.: изд. Минздрава СССР, 1977.

# Глава 16

## ХОЛОДОСНАБЖЕНИЕ СИСТЕМ КОНДИЦИОНИРОВАНИЯ ВОЗДУХА

Для охлаждения и осушения воздуха в кондиционерах используются естественные или искусственные источники холода и их комбинации, если требуемые параметры воздуха не могут быть обеспечены средствами прямого или косвенного испарительного охлаждения.

Выбор источника холода должен быть обоснован возможностью получения требуемых параметров воздуха, местными условиями, техническими средствами и экономическим расчетом. Окончательный выбор производится на основании технико-экономического сравнения вариантов.

### 16.1. ЕСТЕСТВЕННЫЕ ИСТОЧНИКИ ХОЛОДА

В качестве естественных источников холода можно применять артезианскую воду, воду холодных рек и озер, лед, а также воду, охлаждаемую наружным воздухом.

**Артезианская вода.** Возможность использования артезианской и грунтовой воды определяется водоносностью почвенных горизонтов, температурой воды, ее химическим и бактериальным составом, жесткостью и др.

Температура артезианской воды должна быть тем ниже, чем ниже должна поддерживаться температура в кондиционируемом помещении и чем большей является нагрузка в системах кондиционирования воздуха от влагопритоков. Поскольку температура подземных вод приблизительно равна температуре грунта на соответствующей глубине, фактическую температуру воды в данной местности можно установить лишь путем соответствующих изысканий.

Расстояние между скважинами, забирающими воду из одного водоносного горизонта, рекомендуется принимать не менее 250 м. После использования в установке кондиционирования воздуха подземные воды желательно возвратить обратно в грунт (в водоносный слой).

Подземные воды, используемые в кондиционерах с непосредственным контактом меж-

ду водой и воздухом, должны удовлетворять требованиям, предъявляемым к воде питьевого качества по ГОСТ 2874-82. Во избежание отложения солей в трубках теплообменных аппаратов временная жесткость воды не должна превышать 10 мг·экв/л.

С целью уменьшения расхода артезианской воды в установке кондиционирования воздуха ее необходимо использовать в теплообменных аппаратах, обеспечивающих максимально возможный подогрев. Наибольший эффект может быть достигнут в результате применения воздухохладителей поверхностного типа, в которых вода может нагреваться на 8–10°C. Поскольку в поверхностном воздухохладителе нет непосредственного контакта между водой и воздухом, вода необязательно должна быть питьевого качества. Это позволяет использовать грунтовые воды, залегающие на небольшой глубине, воды горных рек, озер и т. п.

Хороших результатов можно достичь путем создания комбинированных схем, где наряду с артезианской водой используются холодильные установки.

В тех случаях когда располагают небольшим количеством артезианской воды с достаточно низкой температурой, целесообразно применять схему с предварительным охлаждением воздуха, например в первой ступени воздух охлаждается артезианской водой (рис. 16.1, а), а во второй ступени водой (или рассолом), охлаждаемой холодильной установкой.

Артезианскую воду, нагретую в первой ступени, целесообразно использовать еще раз, например для охлаждения конденсаторов холодильных машин. Для более полного использования охлаждающей способности артезианской воды ее можно направить не непосредственно в конденсаторы, где она может быть нагрета на 4–6°C, а в промежуточный бак, куда также сливается основная часть воды после конденсаторов. В результате смешения обоих потоков артезианская вода нагревается на 20–25°C,

а вода, поступающая в конденсаторы, охлаждается на 4–6°C, после чего смесь насосами направляется в конденсаторы.

Если в распоряжении имеется достаточно большое количество артезианской воды, но со сравнительно высокой температурой и допустимой жесткостью, можно применить схему с предварительным охлаждением артезианской воды холодильной машиной (рис. 16.1, б).

**Лед.** Применение естественного льда, заготовляемого из водоемов или намораживаемого в бунтах в зимнее время, может оказаться целесообразным в районах с коротким жарким летом и холодной зимой.

Для предохранения от быстрого таяния в течение лета бунт сверху и с боков покрывают соломенными и другими матами и засыпкой теплоизоляцией.

Прямой контакт между льдом из бунтов и водоемов и воздухом, подаваемым в помещения, не допускается по санитарно-гигиеническим соображениям. Поэтому применяются схемы холоснабжения, в которых естественным льдом охлаждается вода, циркулирующая через воздухоохладители поверхностного типа. Основные недостатки систем с ледяным охлаждением – их громоздкость, трудоемкость заготовки льда, загрязнение льда и др. Так, для установки кондиционирования воздуха, предназначенной для работы в течение 100 летних дней со средней холодопотребностью 230 кВт, требуется наморозить в течение зимы бунт объемом 2200 м<sup>3</sup>, для размещения которого требуется площадка размером 20 × 60 м. Устройство таких бунтов не всегда возможно как в связи с большой занимаемой площадью, так и по архитектурным соображениям.

**Наружный воздух.** В летнее время, особенно в районах с сухим и жарким климатом, наружный воздух может быть использован для охлаждения воды, поступающей в воздухоохладители (установки косвенного и комбинированного испарительного охлаждения воздуха). В переходный и зимний периоды холодный воздух может быть использован для ассимиляции внутренних теплоизбыток как путем его непосредственной подачи в увеличенных количествах в кондиционируемые помещения, так и для охлаждения воды, циркулирующей через воздухоохладители кондиционеров. В последнем случае используются градирни, камеры орошения, водовоздушные теплообменники.

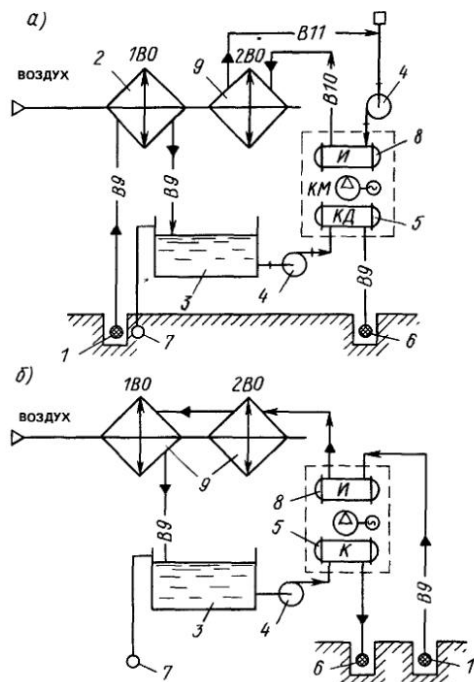


Рис. 16.1 Схемы использования артезианской воды в СКВ с предварительным охлаждением воздуха (а) и с предварительным охлаждением артезианской воды (б)

1 – артезианская скважина, 2 – воздухоохладитель предварительного охлаждения, 3 – бак артезианской воды, 4 – центробежный насос, 5 – конденсатор, 6 – диффузионная скважина, 7 – канализационный коллектор, 8 – испаритель, 9 – основной воздухоохладитель

Следует отметить, что в связи с постоянно и повсеместно усиливающимся дефицитом природных пресных вод, громоздкостью и относительной сложностью использования естественного льда эти источники холода распространения и достаточного практического применения не получили.

## 16.2. ХОЛОДИЛЬНЫЕ МАШИНЫ

### 16.2.1. Парокомпрессионные машины

Наиболее распространенным источником холода для непосредственного охлаждения и осушения воздуха или охлаждения промежуточного хладоносителя служат парокомпрессионные холодильные машины с поршневым, винтовым или центробежным компрессором

Холодильные машины с поршневым компрессором применяют в автономных кондиционерах и для создания холодильных станций общей холодопроизводительностью примерно до 1000 кВт. На холодильных станциях холодопроизводительностью примерно до 4000 кВт используют машины с винтовым компрессором, а при холодопроизводительности более 4000 кВт – холодильные машины с центробежными компрессорами (турбокомпрессорами).

В качестве холодильного агента в этих машинах используют хладоны (R22, R12 и др.) и аммиак (R717).

Аммиачные холодильные машины с поршневым компрессором применяют в отдельных случаях для систем кондиционирования воздуха производственных помещений.

Применение аммиака в качестве холодильного агента (крайне редко и только в системах холодоснабжения промышленного кондиционирования воздуха) связано с его взрывопожароопасностью и токсичностью. Наличие аммиака в хладоносителе (воде или рассоле) практически не будет отражаться на работе холодильной установки, но может привести к отравлениям, так как свободный аммиак легко выделяется из водного или рассольного раствора. Необходимо вести непрерывный контроль содержания аммиака в хладоносителе: прибор, контролирующий содержание аммиака, должен иметь предел чувствительности ниже опасной концентрации паров аммиака в воздухе. Предельно допустимая концентрация аммиака в воздухе составляет 0,02 мг/л.

Для холодоснабжения систем кондиционирования воздуха жилых и общественных зданий применяются только хладоновые холодильные агенты и в основном R22 (хладон-22).

Вид промежуточного хладоносителя выбирается в зависимости от его температуры: при температуре 2°C и выше применяют воду, а при более низких температурах – различные рассолы (растворы хлористого кальция, этиленгликоля и др.). Для охлаждения хладоносителя с помощью хладоновых холодильных машин используют комплексные агрегатированные водоохлаждающие машины, оснащенные электрооборудованием, приборами защитной автоматики, пультом управления и т. п.

Температура воды, выходящей из кожухотрубных испарителей с кипением хладагента в межтрубном пространстве, во избежание замерзания воды в трубах не должна быть ниже

6°C. Для получения воды с более низкой температурой следует применять машины с кожухозмеевиковыми испарителями, в которых воду можно охлаждать до 3°C, или открытые погружные испарители (аммиачные холодильные машины с аккумулятором холода типа АКХ).

Для подбора холодильных машин следует пользоваться каталогами и заводскими информационными материалами.

Подбор холодильных машин производится одним из трех методов: по спецификационной холодопроизводительности, указанной в каталоге; по графическим характеристикам холодильных машин; по теоретической объемной подаче компрессора, входящего в комплект холодильной машины.

Подбор машин первым методом приближенный, так как в каталогах холодопроизводительность указана для определенного спецификационного режима, который может отличаться от рабочего.

Рабочий режим холодильной установки характеризуется: температурой кипения хладагента  $t_0$ , которую принимают на 5–7°C ниже средней температуры хладоносителя в испарителе; температурой конденсации  $t_k$ , которую принимают на 4–5°C выше температуры воды  $t_{w2}$ , уходящей из конденсатора; температурой всасываемых паров  $t_u$ , которую в хладоновых машинах с регенеративным теплообменником принимают 15–20°C, а без теплообменника – равной температуре кипения хладагента [для аммиачных машин с одноступенчатым компрессором температура всасывания в компрессор  $t_{uc} = t_0 + (5 \div 10)^{\circ}\text{C}$ ]; температурой жидкого хладагента перед регулирующим вентилем  $t_u'$ , которую для хладоновых холодильных машин с регенеративным теплообменником принимают по энталпии жидкости, определяемой из теплового баланса теплообменника (в холодильных машинах без регенеративного теплообменника  $t_u'$  принимают равной температуре насыщенной жидкости при расчетном давлении конденсации).

Пересчет холодопроизводительности с рабочего режима на спецификационный можно произвести, если холодопроизводительность дана в зависимости от температур кипения и конденсации  $t_0$  и  $t_k$ . Однако для водоохлаждающих машин холодопроизводительность обычно указывается в зависимости от температуры выходящего хладоносителя  $t_{s2}$  и температуры воды на входе в конденсатор  $t_{w1}$ .

ТАБЛИЦА 16.1. ОСНОВНЫЕ ТЕХНИЧЕСКИЕ ДАННЫЕ  
ВОДООХЛАЖДАЮЩИХ ВИНТОВЫХ ХОЛОДИЛЬНЫХ МАШИН  
(ЗАВОД «КОМПРЕССОР», МОСКВА)

Технические данные	21МКТ280-2-1	2МКТ350-2-1
Хладагент	Хладон-22	Хладон-22
Холодопроизводительность, кВт	360	630
Температура воды, °C:		
на выходе из испарителя	2	2
на входе в конденсатор	25	25
Мощность электродвигателя компрессора, кВт	132	200
Габариты, мм	4770 × 2060 × 2260	5200 × 1600 × 2580
Масса, кг	5700	7360

ТАБЛИЦА 16.2. ОСНОВНЫЕ ТЕХНИЧЕСКИЕ ДАННЫЕ ВОДООХЛАЖДАЮЩИХ  
ТУРБОКОМПРЕССОРНЫХ ХОЛОДИЛЬНЫХ МАШИН (НПО «КАЗАНЬКОМПРЕССОРМАШ»)

Технические данные	10TXMB-2000-2	10TXMB-4000-2	10TXMB-8000-2
Хладагент	Хладон-12	Хладон-12	Хладон-22
Холодопроизводительность, кВт	2550	4750	8800
Температура, °C:			
холодоносителя на выходе из испарителя	7	7	7
охлаждающей воды на входе в конденсатор	30	30	30
Мощность электродвигателя, МВт	630	1250	2500
Расход охлаждающей воды, м <sup>3</sup> /ч	500	1000	1600
Количество заряженного хладагента, кг	2000	2500	3500
Масса (без электродвигателя), кг	24 270	46 490	73 000
Габариты, мм	6080 × 3950 × 2600	7040 × 5100 × 3560	8050 × 6250 × 4230

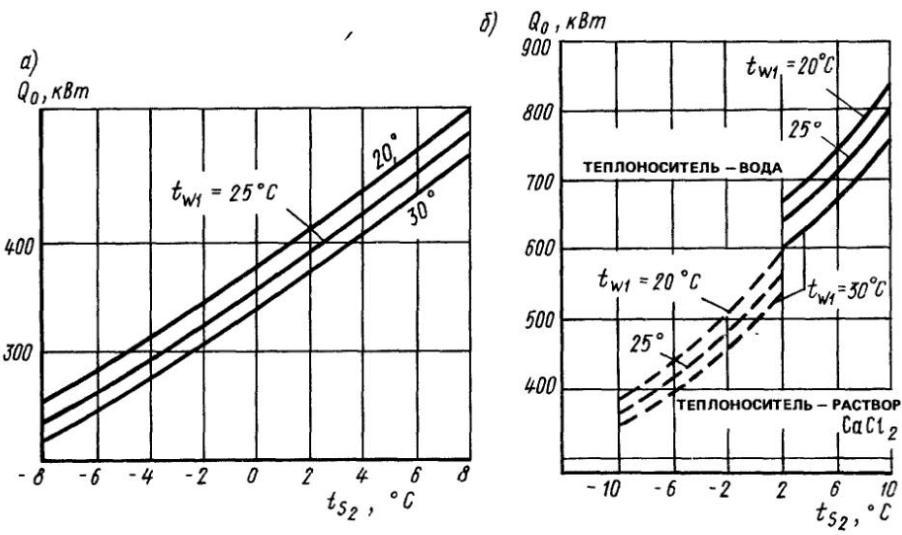


Рис. 16.2. Зависимости холодопроизводительности  $Q_0$  от температуры хладоносителя  $t_{S2}$  и охлаждающей воды  $t_{W1}$  для хладоновой машины марки 21МКТ 280-2-1 (а) и 2МКТ 350-2-1 (б)

В этом случае произвести пересчет трудно из-за недостатка других данных, в связи с чем рекомендуется второй или третий метод.

Подбор холодильных машин вторым методом производят по графикам, на которых дана зависимость холодопроизводительности  $Q_0$  и потребляемой мощности  $N_0$  от  $t_{s2}$  и  $t_{w1}$ .

Подбор холодильных машин третьим методом выполняется на основании теплового расчета холодильного цикла машины при расчетном режиме. В ходе расчета определяется требуемая объемная подача компрессора, а затем по каталожным данным подбирают одну или несколько холодильных машин с фактической объемной подачей компрессора, несколько большей расчетной. Этот метод наиболее точный.

Краткие технические данные некоторых водоохлаждающих винтовых и турбокомпрессорных холодильных машин приведены в табл. 16.1 и 16.2 и на рис. 16.2.

### 16.2.2. Абсорбционные машины

Основным типом теплоиспользующей абсорбционной холодильной машины, применяемой для холодоснабжения кондиционеров, является бромистолитиевая (АБХМ) (табл. 16.3).

Применение АБХМ позволяет полнее реализовать вторичные сырьевые и топливно-энергетические ресурсы в целях экономии топлива, а также использовать теплоту, отбираемую от турбин ТЭЦ в межотопительный период. Наиболее экономичны АБХМ для получения холодной воды при наличии сбросной теп-

лоты промышленных предприятий, вторичных тепловых ресурсов и избыточной теплоты ТЭЦ в виде отработавшего пара или горячей воды.

Холодильный цикл в АБХМ осуществляется с помощью водного раствора бромистого лития при глубоком вакууме. Холодильным агентом является вода, кипящая при низкой температуре, абсорбентом (поглотителем) – бромистый литий, кипящий при высокой температуре при том же давлении.

Экономическая эффективность АБХМ определяется тепловым коэффициентом – отношением количества теплоты, отведенной от охлаждаемой среды в испарителе, к количеству теплоты, затраченной на обогрев в генераторе. Тепловым эквивалентом работы растворного насоса можно пренебречь. Тепловой коэффициент АБХМ примерно 0,7.

АБХМ отличаются большой металлоемкостью и значительными расходами охлаждющей воды, а также интенсивной коррозией углеродистых сталей в присутствии кислорода воздуха. Для предотвращения и замедления коррозии в раствор бромистого лития вводятся ингибиторы, в частности хромат лития (0,18%) и гидроокись лития (0,1%) или др. При консервации АБХМ заполняется азотом. Поставляются АБХМ блоками заводской готовности с растворными насосами, вакуум-насосом, запорной и регулирующей арматурой, силовыми щитами, системой КИПиА. По отдельному заказу поставляются узел приготовления раствора бромистого лития и узел сбора конденсата при использовании водяного пара в качестве источника теплоты.

ТАБЛИЦА 16.3 ОСНОВНЫЕ ТЕХНИЧЕСКИЕ ДАННЫЕ АБХМ (НПО «ПЕНЗХИММАШ»)

Технические данные	АБХА-1000	АБХА-3000
Холодопроизводительность, кВт	1163	3024
Температура холодоносителя (воды) на выходе из испарителя, °С	7	7
Температура воды на входе в абсорбер, °С	26	26
Греющая среда:		
вода, °С	120	115
водяной пар, МПа	0,18	0,18
Расход охлаждающей воды, м <sup>3</sup> /ч	250–400	600–800
Общая установленная мощность, кВт	15,5	38,2
Габариты, мм:		
без площадок обслуживания	7800 × 2950 × 4850	—
с площадками обслуживания	—	11 600 × 4100 × 5940
Масса, кг:		
в объеме поставки	34 900	83 650
наиболее тяжелого блока	21 190	46 000

АБХМ можно располагать внутри и вне зданий. Условия размещения на открытой площадке: температура не ниже 5°C, отсутствие частых туманов, морской влаги, пыльных бурь и т. п. Вне помещения размещают узел приготовления (разведения и хранения) раствора, баки сбора конденсата, резервуары охлаждаемого холодоносителя (воды).

Водоаммиачные абсорбционные установки допускается применять только для холодоснабжения кондиционеров производственных зданий. Серийно такие установки не выпускаются.

### 16.2.3. Пароэжекторные машины

Теплоиспользующие пароводяные эжекторные холодильные машины (ПЭХМ) эффективны при наличии неиспользуемых вторичных энергоресурсов в виде пара. Энергетические показатели ПЭХМ, металлоемкость, стоимость, а также стоимость монтажа ниже, чем у парокомпрессионных машин и АБХМ, но выше надежность и долговечность, проще конструкция и обслуживание. Эти качества определяют меньшие сроки окупаемости. Кроме того, ПЭХМ могут располагаться на открытых площадках и притом весьма компактно. Холодильным агентом в ПЭХМ и холодоносителем является вода. Температуры кипения в испарителе и охлажденной воды равны, что повышает экономичность и эффективность машины, однако вызывает значительный расход пара и охлаждающей воды и необходимость осуществления холодильного цикла в машине при глубоком вакууме и больших удельных объемах пара.

В ПЭХМ одновременно осуществляются прямой и обратный холодильный циклы: энергия пара превращается в работу, и эта работа используется для отвода теплоты от холодоносителя. Процесс преобразования энергии пара в работу и использования ее для отсасывания пара из испарителя и сжатия в конденсаторе осуществляется в пароструйных эжекторах. При циркуляции воды — холодоносителя через испаритель часть ее испаряется, основная же масса охлаждается за счет отвода теплоты парообразования и насосом подается к потребителям.

В конструкции ПЭХМ с барометрическим отводом воды из испарителя и конденсатора под действием гравитационных сил снижается расход электроэнергии на привод насосов.

В ПЭХМ обычно применяются поверхностные конденсаторы, в которых конденсируется отработавший рабочий и холодный пар. Конденсат возвращается в парогенератор и частично на подпитку в испаритель. В конденсаторах другого типа — смешивающего — пары конденсируются при контакте с охлаждающей водой. При этом конденсат не возвращается в парогенератор и не используется для подпитки испарителя.

В открытых циркуляционных системах рабочая вода имеет контакт с воздухом, в закрытых — вода с воздухом не контактирует.

При проектировании холодильной установки подбор насосов для откачки охлажденной воды из испарителя и конденсата из конденсатора производится с учетом разрежения в этих аппаратах; предпочтительны насосы типа конденсатных. Допустимая высота всасывания насоса в сумме с высотой столба воды на всасывании должна составлять для насоса рабочей воды не менее 11,5 м, для конденсатного насоса — не менее 11 м, что обеспечивается заглублением насоса или подъемом машины.

Для холодоснабжения кондиционеров наиболее экономичной, надежной и удобной в эксплуатации является закрытая схема с баком-аккумулятором холодной воды и барометрическим отводом холодной воды и конденсата от ПЭХМ. Циркуляция холодоносителя обеспечивается одной группой насосов.

Менее универсальна и менее экономична, например, открытая схема холодоснабжения с барометрическим отводом холодной воды и конденсата с двумя группами насосов для циркуляции холодоносителя или открытая схема холодоснабжения с откачкой холодной воды и конденсата насосами. Выбор и применение той или иной схемы холодоснабжения кондиционеров как оптимальной зависят от конкретных условий.

Использование ПЭХМ целесообразно при температуре холодоносителя не ниже 4–5°C, наличии дешевого рабочего пара, большого количества дешевой охлаждающей воды с относительно невысокой температурой и ряде других конкретных факторов.

Выбор ПЭХМ должен быть обоснован сравнительным технико-экономическим анализом с другими типами холодильных машин. Основные технические данные ПЭХМ приведены в табл. 16.4 (Московский завод холодильного машиностроения «Компрессор»).

ТАБЛИЦА 16.4. ПАРОВОДЯНЫЕ ЭЖЕКТОРНЫЕ МАШИНЫ

Технические данные	16ЭП	17ЭП	18ЭП
Холодопроизводительность, кВт	1400	700	350
Температура рабочей воды, °C	9	9	7
Охлаждающая вода:			
температура, °C	30	30	28
расход, м <sup>3</sup> /с	0,35	0,195	0,117
Рабочий пар:			
расход, кг/с	1,83	0,97	0,67
избыточное давление, МПа	0,7	0,7	0,8
Габариты, мм	5180 × 2520 × 4650	3000 × 2520 × 4635	3650 × 2100 × 1650
Масса, кг	15055	9050	4000

Примечание. Охлаждающая вода — пресная.

#### 16.2.4. Воздушные холодильные машины

В воздушной турбохолодильной машине МТХМ2-50 холодильным агентом является воздух. Машина работает по замкнутому циклу с разрежением. Она состоит из осевого компрессора, турбодетандера, двух регенеративных теплообменников с механизмом по-переменного их переключения, приводного двигателя, системы смазки, системы пуска и управления и т. д. Воздух поступает из атмосферы в регенератор, охлаждается и направляется в камеру или кондиционируемое помещение, нагревается, отводя теплоту, расширяется в турбодетандере, возвращается в регенератор, где нагревается, сжимается в компрессоре и удаляется в атмосферу. Регенеративные теплообменники переключаются автоматически.

Воздушные холодильные машины из-за значительных потерь в компрессоре и турбодетандере, низких значений холодильного коэффициента и некоторых других факторов менее эффективны, чем парокомпрессионные.

#### ТЕХНИЧЕСКАЯ ХАРАКТЕРИСТИКА ВОЗДУШНОЙ ТУРБОХОЛОДИЛЬНОЙ МАШИНЫ МТХМ2-50 (НПО «КАЗАНЬКОМПРЕССОРМАШ»)

Хладагент . . . . .	атмосферный воздух
Расход воздуха, кг/ч . . .	5900
Режим охлаждения . . . . .	от 5 до 20 °C
Холодопроизводительность, кВт . . . . .	58,1
Температура воздуха на выходе, °C . . . . .	28,5
Потребляемая мощность, кВт . . . . .	93
Режим нагревания . . . . .	от 35 до 80 °C
Расход воздуха, кг/ч . . .	7200
Теплопроизводительность, кВт . . . . .	87,2

Потребляемая мощность, кВт . . . . .	93
Мощность электродвигателя, кВт . . . . .	110
Габариты, мм . . . . .	5000 × 1190 × 1920
Масса, кг . . . . .	3260

#### 16.3. СИСТЕМЫ ХОЛОДОСНАБЖЕНИЯ КОНДИЦИОНЕРОВ

##### 16.3.1. Децентрализованное холодоснабжение

При децентрализованном холодоснабжении каждый кондиционер снабжен одним или несколькими индивидуальными холодильными агрегатами, устанавливаемыми вблизи кондиционера. В этом случае наиболее целесообразно применение системы с непосредственным охлаждением воздуха (рис. 16.3). Однако применение этих систем сдерживается из-за отсутствия в номенклатуре секций центральных кондиционеров воздухоохладителей непосредственного охлаждения.

При использовании в кондиционере камеры орошения отепленная вода забирается насосом из поддона, проходит через испаритель водоохлаждающей машины и подается обратно к форсункам (рис. 16.4). Холодопроизводительность машины регулируется автоматически по температуре воздуха за камерой орошения либо по температуре воды, выходящей из испарителя.

При использовании воздухоохладителя поверхностного типа применяется закрытая схема циркуляции холодоносителя.

Применение децентрализованной системы холодоснабжения позволяет значительно снизить капитальные и эксплуатационные затраты

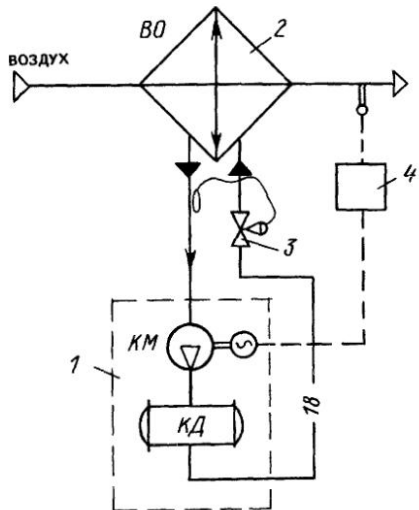


Рис. 16.3. Схема непосредственного охлаждения воздуха с помощью хладонового воздухоохладителя  
1 – компрессорно-конденсаторный агрегат, 2 – хладоновый воздухоохладитель, 3 – терморегулирующий вентиль, 4 – блок автоматического регулирования холодопроизводительности

сти, обусловленные шумом и вибрацией от работавшего оборудования, большим числом машин и др.

### 16.3.2. Централизованное холодоснабжение

Холодоснабжение больших групп кондиционеров или доводчиков осуществляется из общего хладоцентра, размещаемого либо в непосредственной близости от кондиционеров, либо в отдельно стоящей холодильной станции. Промежуточным холодоносителем служит вода или рассол, подаваемые к потребителям по сети холодопроводов.

Схемы систем холодоснабжения зависят от типа воздухоохладителей, способа их присоединения к линиям холодоносителя, удаленности кондиционеров от холодильной станции и их расположения по этажам здания.

Присоединение камеры орошения с помощью индивидуального циркуляционного насоса и трехходового смесительного клапана к линии холодоносителя показано на рис. 16.5, а. Соотношение количества холодной и рециркуляционной воды изменяется с помощью терморегулятора, датчик которого установлен, например, за камерой орошения. Недостатком схемы является неустойчивая работа смесительного клапана. Поэтому широко применяется схема, показанная на рис. 16.5, б. Расход холодной воды регулируется проходным клапаном, а для предотвращения попадания холодной воды в поддон на рециркуляционной линии установлен обратный клапан.

Особенностями обеих схем являются разрыв струи после форсунок и возврат отопленной воды в холодную станцию по самотечным трубопроводам, установка открытых (сообщающихся с атмосферой) баков для сбора отопленной воды, необходимость расположения баков ниже уровня поддонов камер орошения.

Применяются две схемы циркуляции хладоносителя: двухконтурная и одноконтурная.

При **двухконтурной схеме** на холодильной станции устанавливают бак с двумя отсеками отопленной и охлажденной воды (рис. 16.6, а). Иногда устанавливают два бака, соединяемых переливной трубой. Соответственно предусматривают две группы насосов, одна из которых осуществляет циркуляцию хладоносителя между холодильными машинами и потребителями холода, а вторая – между баками и холо-

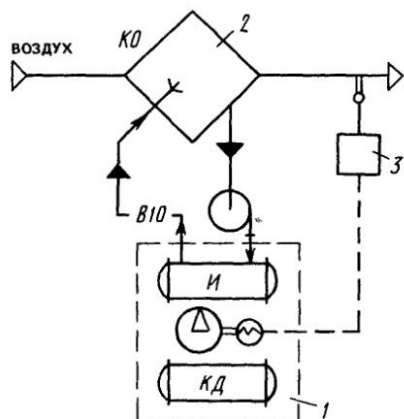


Рис. 16.4. Одноконтурная схема присоединения воздухоохладжающей машины к камере орошения  
1 – водоохладжающая машина, 2 – камера орошения, 3 – блок автоматического регулирования холодопроизводительности

за счет отказа от баков и самотечных линий, сокращения потерь холода, особенно если кондиционеры значительно удалены друг от друга. Однако ее применяют в установках общей холодопроизводительностью до 150 кВт, так как в более крупных установках возникают трудно-

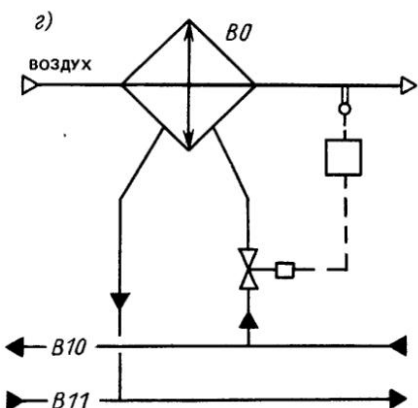
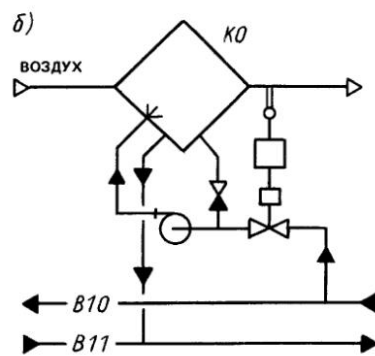
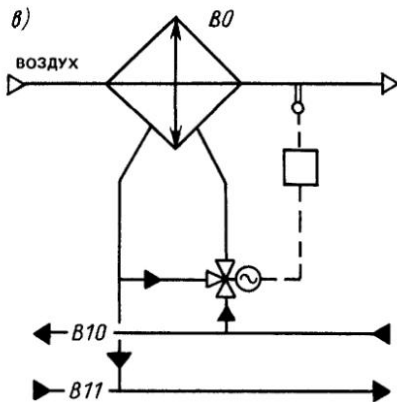
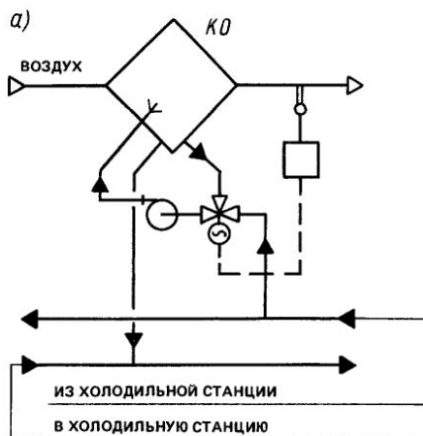


Рис. 16.5. Схемы присоединения воздухоохладителей к линиям холодоснабжения

*а и б – камеры орошения с помощью индивидуального насоса и соответственно трехходового смесительного и обратного клапанов, в и г – непосредственное присоединение поверхностных воздухоохладителей к линиям с помощью соответственно трехходового смесительного и регулирующего клапанов*

дильными машинами. Эта схема применяется в основном при использовании холодильных машин с двухпозиционным регулированием производительности.

Преимущество двухконтурной схемы в том, что работа холодильных машин не зависит от работы кондиционеров. Недостаток схемы – установка второй группы насосов и дополнительных трубопроводов для осуществления циркуляции воды из одного бака в другой.

С целью уменьшения количества насосов применяют открытую одноконтурную схему с односекционным баком (рис. 16.6, б). Количество воды, проходящей через камеру орошения, как и в предыдущем случае, регулируется

трехходовым смесительным или проходным регулирующим клапаном. При уменьшении расхода холодной воды через кондиционеры ее давление в подающем трубопроводе повышается, в результате чего избыточное количество воды через регулятор давления сбрасывается обратно в бак.

В связи с необходимостью прокладки смоточных линий большого диаметра, повышенной коррозией трубопроводов, большим расходом электроэнергии на подъем и перекачивание воды открытые системы сложны и дороги. Поэтому все большее распространение в СКВ получают закрытые системы циркуляции хладоносителя с использованием для

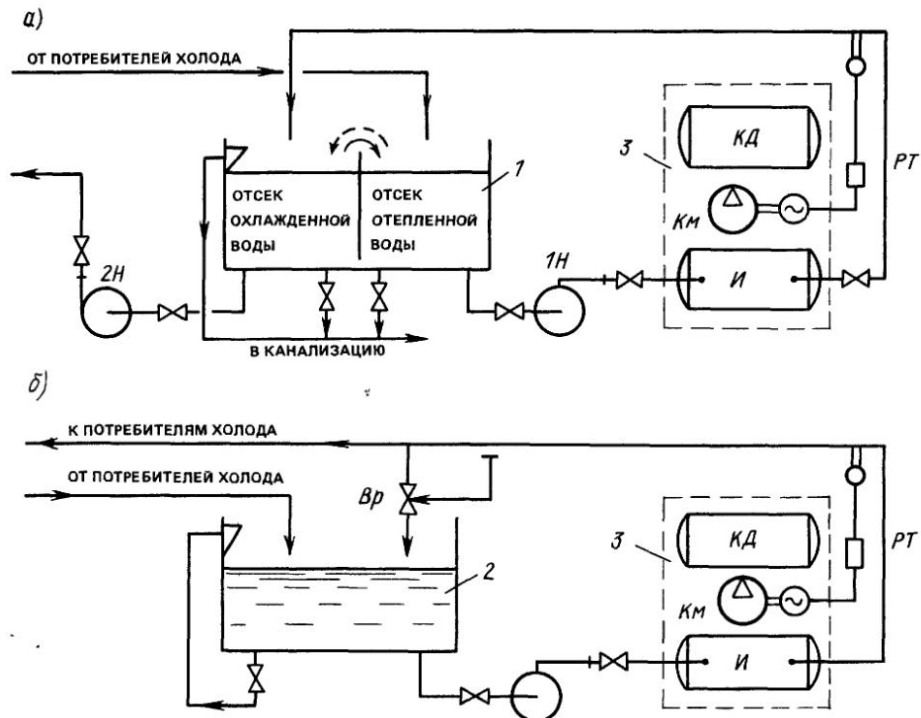


Рис. 16.6. Двухконтурные схемы циркуляции холоданосителя с открытым двухсекционным баком (а) и односекционным (б)

1 и 2 – двухсекционный и односекционный баки, 3 – водоохлаждающая машина

охлаждения и осушения воздуха воздухоохладителей поверхностного типа (см. рис. 16.5, в и г). Напор насоса в такой системе расходуется только на преодоление гидравлических сопротивлений.

На рис. 16.7 приведена закрытая трехтрубная схема холодаоснабжения воздухоохладителей кондиционеров, установленных на разных отметках в многоэтажном здании.

Недостатки систем централизованного холодаоснабжения: значительная протяженность и разветвленность трубопроводов холоданосителя, большое количество запорной, распределительной и рециркулирующей арматуры, сложность монтажа, а также сложная система автоматизации и управления.

## 16.4. ХОЛОДИЛЬНЫЕ СТАНЦИИ

Холодильные станции – комплекс сооружений и оборудования для централизованного

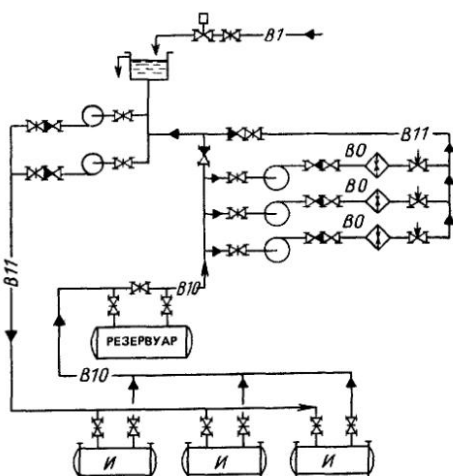


Рис. 16.7 Схема закрытой трехтрубной системы циркуляции холоданосителя

охлаждения холодоносителя, подачи его потребителям, обеспечения возврата и повторного охлаждения.

Холодильные станции могут быть отдельно стоящими или встроеными в здание, например в здание энергоблока, цеха, кондиционируемого объекта и т. п., а также подземными, надземными, полуподземными и расположенными на техническом этаже или кровле здания.

В холодильной станции размещаются все вспомогательное, энергетическое и подъемно-транспортное оборудование, операторская, ремонтное и бытовые помещения для обслуживающего персонала и др., оборудование системы охлаждения конденсаторов холодильных машин.

Основное оборудование – холодильные машины могут быть соединены параллельно по холодоносителю или последовательно.

**Параллельное соединение** пригодно для любого числа машин, включая резервные, причем резервной может быть любая машина. Возможны установка дополнительных машин при расширении, отключение любой машины при ремонтах или ее включение без какой-либо очередности или дополнительной обвязки, отключение отдельных насосов при отключении определенного числа машин по причине снижения нагрузки и наоборот и др.

**Последовательное соединение** холодильных машин позволяет получить больший перепад температур между прямым и обратным холодоносителем, в связи с чем уменьшаются его расход, диаметры трубопроводов и арматуры, производительность насосов и др. Недостатками являются более высокие потери давления холодоносителя на выходе их холодильной станции, необходимость определенной последовательности включения машин; для каждой машины должны предусматриваться байпасный трубопровод с запорной арматурой на полный проход холодоносителя, более сложное регулирование и др.

К вспомогательному оборудованию относятся: ресиверы, фильтры-осушители, компрессорно-конденсаторный агрегат для заполнения, пополнения или отсоса холодильного агента в крупных установках с парокомпрессионными машинами; вакуум-насос и маслоотделитель для откачки воздуха из внутренних полостей компрессоров, аппаратов и трубопроводов

холодильного агента и сушки их после монтажа и ремонтов; насосы для циркуляции холодоносителя, а в отдельных случаях и обратного водоснабжения для отвода теплоты конденсации; резервуары, баки-аккумуляторы и др.

Холодильная станция должна быть обеспечена системами энергоснабжения, связью, радиоточкой, электрочасами, водопроводом и канализацией, общебменной и аварийной вентиляцией, отоплением, рабочим, аварийным и местным освещением и т. п. Штат обслуживающего персонала определяется по нормативам.

Холодопроизводительность станции, кВт, определяется по суммарной расчетной нагрузке систем кондиционирования воздуха

$$Q_{x \text{ ст}} = k \sum Q_{i \text{ конд}},$$

где  $\sum Q_{i \text{ конд}}$  – суммарная расчетная летняя нагрузка на кондиционеры;  $k$  – коэффициент, учитывающий потери холода и подогрев хладоносителя в циркуляционных насосах. При холодопроизводительности до 60 кВт  $k = 1,25$ ; от 60 до 150 кВт  $k = 1,15$ ; свыше 150 кВт  $k = 1,1$ .

## 16.5. ЕМКОСТИ, БАКИ-АККУМУЛЯТОРЫ

Емкости, установленные в системах ходоснабжения, выполняют следующие функции:

- выравнивают работу холодильных машин при колебаниях холонагрузки;
- воспринимают изменения объема жидкости при изменении ее температуры;
- принимают периодические стоки из аппаратуры и трубопроводов, расположенных выше этой емкости.

Объем бака (емкости), как и объем холодного отсека в двухсекционном баке, зависит от мощности холодильных машин и способа регулирования их холодопроизводительности.

В установках с двухпозиционным регулированием холодопроизводительности объем бака  $V_b$ , м<sup>3</sup>, определяют по формуле

$$V_b = \frac{(1 - b) Q_0 \tau_p}{\rho_s c_s \Delta t_s} - V_{tp}, \quad (16.1)$$

где  $b$  – коэффициент рабочего времени холодильной машины ( $b = 0,7-0,8$ );  $Q_0$  – холодопроизводительность одной из установленных холодильных машин, кВт;  $\tau_p$  – продолжительность работы до отключения, с (для машин производительностью до 45 кВт  $\tau_p = 900$  с, до 180 кВт  $\tau_p = 1200$  с, более 180 кВт  $\tau_p = 1800$  с);  $\rho_s$  и  $c_s$  – плотность и удельная теплоемкость хладоносителя;  $\Delta t_s$  – диапазон изменения температуры хладоносителя (обычно 2–3°C);  $V_{tp}$  – объем труб и испарителей.

В установках с регулируемой холодопроизводительностью объем бака может быть меньше. В системах с большим объемом трубопроводов баки можно не применять.

Для снижения установленной мощности холодильного оборудования при значительной неравномерности холодаонагрузки в течение суток в системах холодаоснабжения применяют баки-аккумуляторы, что целесообразно при наличии льготного ночного тарифа на электроэнергию. Объем бака-аккумулятора определяется исходя из количества холода, которое необходимо запастись в баке для снятия пиковой нагрузки. Для этого строят график почасового потребления холода при расчетном режиме в течение суток, за тем определяют суммарную потребность холода в сутки  $Q_{x,ct}^{sum}$ , кВт·ч,

$$Q_{x,ct}^{sum} = \Sigma Q_i \Delta t_i, \quad (16.2)$$

где  $Q_i$  — нагрузка в течение интервала времени, кВт;  $\Delta t_i$  — интервал времени с постоянной нагрузкой, ч.

Значение  $Q_{x,ct}^{sum}$  пропорционально площади под линией изменения нагрузки в течение суток, которую при сложной форме графика определяют планиметрированием.

Среднюю расчетную холодопроизводительность холодильной станции  $Q_{x,ct}$ , кВт, вычисляют по формуле

$$Q_{x,ct} = Q_{x,ct}^{sum} / \tau_p, \quad (16.3)$$

где  $\tau_p$  — продолжительность работы холодильной станции в сутки (обычно принимают  $\tau_p = 20 - 22$  ч/сут).

Объем жидкостного бака-аккумулятора определяется по формуле

$$V_{ak} = \frac{Q_{ak}}{\rho_s c_s (t_{s_2} - t_{s_{ak}})}, \quad (16.4)$$

где  $Q_{ak}$  — количество холода, аккумулируемого в баке (пропорционально площади между кривой суточного расхода холода и холодопроизводительностью стапии  $Q_{x,ct}$ );  $t_{s_2}$  и  $t_{s_{ak}}$  — температура подаваемого холоданосителя и в баке.

Бак-аккумулятор включается параллельно основному циркуляционному кольцу.

На рис. 16.8 показана упрощенная схема холодаоснабжения с открытым аккумулятором из металла или плотного железобетона. Бак разделен на несколько отсеков вертикальными перегородками, препятствующими быстрому перемешиванию холодной и теплой воды. Если тепловая нагрузка меньше холодопроизводительности холодильных машин на станции, заданная температура холоданосителя поддерживается работой холодильных машин от реле

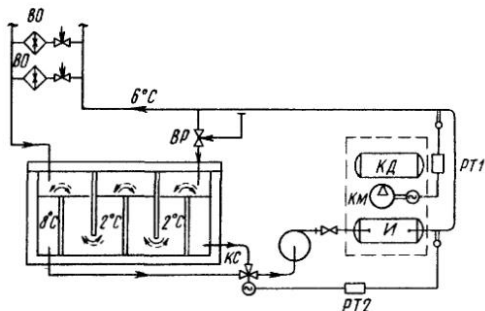


Рис. 16.8. Схема открытой системы циркуляции холоданосителя с многосекционным баком-аккумулятором

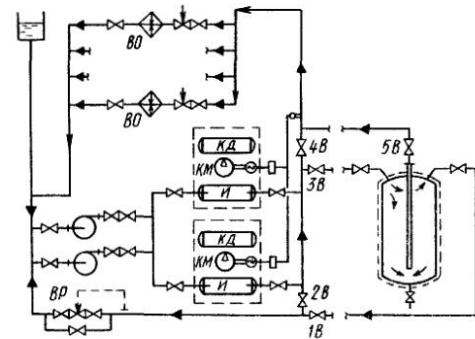


Рис. 16.9. Схема закрытой системы циркуляции холоданосителя с вертикальным баком-аккумулятором

температуры РП. При увеличении нагрузки коэффициент рабочего времени машин увеличивается и возрастает до 1. При дальнейшем увеличении тепловой нагрузки температура подаваемого холоданосителя увеличится и превысит заданную. Тогда реле РТ2 даст команду на смесительный клапан КС, и насос начнет забирать воду не только из отсека теплой воды, но и из отсеков холодной. В результате в испаритель будет поступать более холодная вода, и температура подаваемой воды вновь снизится до расчетного значения. По мере расходования холодной воды происходит перетекание из отсека отепленной воды в отсеки охлажденной воды. В режиме аккумуляции холода вода перетекает в обратном направлении.

В закрытых циркуляционных системах для аккумуляции холода применяют металлические

вертикальные или горизонтальные баки. Одна из возможных схем с вертикальным баком-аккумулятором показана на рис. 16.9. При подключении бака к циркуляционной системе вентили 2В и 4В закрываются, а вентили 1В, 3В и 5В открываются.

Циркуляция холодоносителя происходит следующим образом: охлажденный холодоноситель через вентиль 3В поступает в бак, опускается вниз, а затем по центральной трубе поступает в подающую магистраль, отепляется при прохождении через теплообменники у потребителя и возвращается для охлаждения на станцию. При уменьшении расхода холодоносителя у потребителя давление в системе возрастает, и излишек холодоносителя, не спускаясь в нижнюю часть бака, через регулирующий вентиль ВР поступает обратно к насосам.

При использовании для охлаждения воды аммиачных холодильных машин имеется воз-

можность применить ледяные аккумуляторы холода типа АКХ, созданные на базе панельных погружных испарителей типа ИП. В период малых тепловых нагрузок на поверхности панелей намораживается слой льда толщиной 30–40 мм, который тает в период пиковых нагрузок.

Преимущество ледяных аккумуляторов по сравнению с водяными — их компактность, так как аккумулирующая способность льда составляет 350 кДж/кг, а воды при ее охлаждении на 6°C–25 кДж/кг. Недостаток ледяных аккумуляторов заключается в том, что по мере увеличения толщины намораживаемого слоя температура кипения хладагента понижается, а следовательно, растут затраты электроэнергии на каждый киловатт выработки холода. Однако этот недостаток компенсируется уменьшением установленной мощности холодильных машин, мощности трансформаторной подстанции, площади машинного отделения и др.

## Глава 17

# ОРГАНИЗАЦИЯ ВОЗДУХООБМЕНА И РАСПРЕДЕЛЕНИЕ ВОЗДУХА В ПОМЕЩЕНИЯХ

### 17.1. ОБЩИЕ ПОЛОЖЕНИЯ

Воздухообмен следует организовывать таким образом, чтобы обеспечить соблюдение требований по предельному содержанию вредных веществ и норм метеорологических условий в воздухе рабочей или обслуживаемой зоны (РЗ), а также норм взрывопожарной безопасности наиболее экономичным способом.

В процессе организации воздухообмена и при подборе воздухораспределительных устройств (ВР) необходимо решить следующие задачи\*:

1) определить требуемый расход вентиляционного воздуха;

2) установить экстремальные значения скоростей и температур воздуха (концентраций) в рабочей или обслуживаемой зоне помещения;

3) разработать расчетные схемы циркуляции воздушных потоков в помещении;

4) обеспечить при необходимости условия для равномерного распределения параметров воздуха по площади помещения.

При решении вопросов организации возду-

\* Если приточная вентиляция предназначена для компенсации удаляемого из помещения воздуха, рас-

чет производится лишь из условия обеспечения экстремальных значений скоростей и температур в рабочей или обслуживаемой зоне

хообмена следует руководствоваться указаниями СНиП 2.04.05-86 и СНиП по проектированию отдельных видов промышленного производства, транспорта, связи, сельского хозяйства, жилых, общественных и складских зданий. Схему организации воздухообмена необходимо выбирать в соответствии с требованиями действующих союзных и отраслевых норм и рекомендаций по проектированию конкретных производств.

Решение задач должно основываться на использовании закономерностей струйных течений при подборе ВР, вычислении расхода приточного воздуха с помощью различных моделей тепловоздушных процессов в вентилируемых помещениях (простейшая модель – уравнение тепловоздушного баланса для помещения в целом), совместного взаимосвязанного определения воздухообмена и расчета воздухораспределения. Расчеты производят на основе ручного счета или с помощью ЭВМ.

Подачу приточного воздуха непосредственно в помещения с постоянным пребыванием людей необходимо предусматривать таким образом, чтобы он не поступал через зоны с большим загрязнением в зоны с меньшим загрязнением и не нарушил работу местных отсосов.

Подача приточного воздуха в РЗ рекомендуется при наличии в помещении сосредоточенных источников теплоты (литейные, кузнецкие и другие горячие цехи) и избытках явной теплоты, а также в помещениях, в которых теплопоступления сопровождаются выделением влаги или вредных веществ.

Подача воздуха выше РЗ допускается в производственные помещения при незначительных избытках явной теплоты, имеющие пыле- и газовыделения (механические, окрасочные, сварочные и др.), и помещения общественных и административно-бытовых зданий, а также в производственные помещения с любыми избытками теплоты при капсулированном оборудовании и эффективных местных отсосах.

В производственные помещения с выделениями пыли приточный воздух, как правило, рекомендуется подавать из ВР, расположенных в верхней зоне (В3).

При значительных влаговыделениях и тепловлажностном отношении 4000 кДж/кг и менее следует подавать часть приточного воздуха

ТАБЛИЦА 17.1. КОЭФФИЦИЕНТЫ К ПЕРЕХОДУ ОТ НОРМИРУЕМОЙ СКОРОСТИ ДВИЖЕНИЯ ВОЗДУХА К МАКСИМАЛЬНОЙ СКОРОСТИ ВОЗДУХА В СТРУЕ (СНиП 2.04.05-86)

Метеорологические условия	Место размещения людей	К при категориях работ	
		легкой I	средней тяжести II, тяжелой III
	Допустимые зоны		
	прямого воздействия приточной струи воздуха в пределах участка:		
	а) начального и при воздушном душировании	1	1
	б) основного	1,4	1,8
	Вне зоны прямого воздействия приточной струи воздуха	1,6	2
	Зона обратного потока воздуха	1,4	1,8
Оптимальные	Зона прямого воздействия приточной струи воздуха в пределах участка:		
	а) начального	1	1
	б) основного	1,2	1,2
	Вне зоны прямого воздействия приточной струи или в зоне обратного потока воздуха	1,2	1,2

Примечание. Зона прямого воздействия струи определяется площадью поперечного сечения струи, в пределах которой скорость движения воздуха изменяется от максимальной $v_x$ до $0,5v_x$ .
в зоны конденсации влаги на ограждающих конструкциях.

Выбор способов подачи приточного воздуха и типов ВР, рекомендуемых к применению в помещениях различных категорий, приведен в п. 17.3.

Для выполнения требований ГОСТ 12.1.005-88 и СНиП 2.04.05-86 при входе воздушной струи в РЗ или в обратном потоке воздуха, проходящем по РЗ, максимальную скорость движения приточного воздуха в струе (или в обратном потоке) следует принимать не более  $v_x = Kv_n$ ,

ТАБЛИЦА 17.2. ДОПУСТИМОЕ ОТКЛОНЕНИЕ ТЕМПЕРАТУРЫ, °С, В ПРИТОЧНОЙ СТРУЕ  
ОТ НОРМИРУЕМОЙ ТЕМПЕРАТУРЫ ВОЗДУХА В ОБСЛУЖИВАЕМОЙ ИЛИ РАБОЧЕЙ ЗОНЕ  
(СНиП 2.04.05-86)

Метеорологические условия	Помещения	Допустимое отклонение температуры, °С			
		при восполнении недостатков теплоты в помещении		при ассилияции избытков теплоты в помещении	
		при размещении людей			
		в зоне прямого воздействия приточной струи	вне зоны прямого воздействия приточной струи	в зоне прямого воздействия приточной струи	вне зоны прямого воздействия приточной струи
Допустимые	Жилые, общественные и административно-бытовые: $\Delta t_1$ $\Delta t_2$	3 —	3,5 —	— 1,5	— 2
Производственные:	$\Delta t_1$ $\Delta t_2$	5 —	6 —	— 2	— 2,5
Оптимальные	Любые, за исключением помещений, к которым предъявляются специальные технологические требования: $\Delta t_1$ $\Delta t_2$	1 —	1,5 —	— 1	— 1,5

где  $v_n$  — нормируемые скорости движения воздуха на местах пребывания людей;  $K$  — коэффициент перехода от требуемых скоростей движения воздуха к их максимальным значениям (табл. 17.1).

Разность температур  $\Delta t_x$  между экстремальной температурой в струе (или в обратном потоке) и температурой воздуха РЗ следует принимать не более допустимых отклонений, приведенных в табл. 17.2.

## 17.2. ПРИТОЧНЫЕ СТРУИ

Циркуляция воздуха в помещении и распределение параметров воздуха по РЗ в значительной мере определяются способом подачи воздуха при вентиляции с искусственным побуждением, т. е. приточными струями.

В свою очередь конструкция воздухораспределительного устройства (ВР) (в том числе оформление воздуховыпускного отверстия) определяет форму и направление приточной струи и характер ее развития в помещении. Струя образуется принудительным истечением

воздуха из ВР. В зависимости от конструкции воздухораспределителя струи могут быть прямоточными или закрученными. Прямоточные струи подразделяются на компактные и плоские, у которых векторы скорости на истечении параллельны между собой, а также веерные и конические, у которых векторы скорости на истечении образуют между собой некоторый угол. Закрученные струи, у которых векторы скорости на истечении складываются из векторов скорости поступательного и вращательного движения, подразделяются на компактные и конические.

Максимальные скорости движения воздуха  $v_x$  в струях и избыточные температуры  $\Delta t_x = |t_x - t_{w,z}|$  располагаются на условных поверхностях максимальных параметров (ПМП), где  $t_x$  — максимальная (при подаче нагретого воздуха) или минимальная (при подаче охлажденного) температура воздуха в рассчитываемом сечении приточной струи, °С;  $t_{w,z}$  — температура воздуха в рабочей зоне помещения, °С.

Скорости и избыточные температуры воздуха уменьшаются к границам струи и по мере удаления струи от места истечения.

**Компактные струи** образуются при истечении воздуха из отверстий круглой формы или формы, близкой к квадратной. ПМП представляет собой прямую линию, совпадающую с геометрической осью струи.

**Веерные струи** образуются при принудительном увеличении угла раскрытия струи. Различают полные веерные струи, у которых угол раскрытия составляет  $360^\circ$ , и неполные, у которых этот угол менее  $360^\circ$ . ПМП представляет собой плоскость, совпадающую с плоскостью принудительного угла раскрытия струи.

**Конические струи** образуются также при принудительном увеличении угла раскрытия струи. ПМП представляет собой коническую поверхность, причем образующая конуса является геометрической осью струи. Коническая струя по мере удаления от начала истечения может трансформироваться в компактную, т. е. образуется коническая смыкающаяся струя.

**Плоские струи** образуются при истечении из вытянутых прямоугольных отверстий с отношением сторон больше 5. ПМП представляет собой плоскость, совпадающую с геометрической плоскостью симметрии струи, параллельной большей стороне прямоугольного отверстия. Образующаяся при истечении из вытянутого прямоугольного отверстия струя рассчитывается как плоская на расстоянии  $x < 6l_0$ , где  $l_0$  – размер большей стороны прямоугольного отверстия; при  $x > 6l_0$  струя рассчитывается как компактная.

**Закрученные струи** образуются при установке закрывающих устройств в подводящем патрубке ВР или при тангенциальном подводе воздуха к ВР, они имеют форму компактной или конической струи.

В зависимости от характера изменений параметров воздуха в струе различают начальный и основной участки. Струи, вытекающие из отверстий, затененных решетками или другими устройствами, образуются в результате слияния отдельных струек на участке формирования общей струи, расположенному до начального участка.

Начальный участок прямоточной струи характеризуется постоянством максимальных параметров воздуха в ее ядре, которое занимает всю площадь поперечного сечения струи в начале участка и «размывается» к концу участка, где максимальные параметры сохра-

няются только на ПМП. Основной участок характеризуется тем, что максимальные значения скорости движения воздуха, избыточных температур и концентраций в струе уменьшаются с увеличением расстояния от ВР до рассчитываемого сечения. Основному участку свойственны сформировавшиеся подобные поля скорости, избыточной температуры и концентрации.

Закрученные струи характеризуются большей интенсивностью падения максимальных значений параметров, чем прямоточные. По степенно по мере удаления от начала истечения закрученная струя имеет тенденцию трансформироваться в прямоточную.

Струя считается свободной при условии, что закономерности ее течения не нарушаются влиянием ограничивающих плоскостей и соседних струй.

При распространении прямоточной струи вблизи ограждения образуется настилающаяся струя, в которой ПМП практически совпадает с плоскостью ограждения.

Струя считается стесненной, если она испытывает тормозящее влияние индуцированного ею обратного (встречного) потока. Закономерности изменения параметров стесненной струи учитываются в расчетной формуле коэффициентом стеснения  $K_{con}$ . При этом уменьшаются значения скорости воздуха в струе по сравнению со свободной струей. Избыточная температура (на участке от первого до второго критического сечения) падает медленнее, чем в свободной струе.

После второго критического сечения начинается оттекание части воздуха из струи в обратный поток, и избыточная температура на оси струи остается постоянной.

При подаче воздуха стесненными струями, затухающими в верхней зоне, РЗ омывается обратным потоком. Такая подача воздуха называется сосредоточенной. Максимальная скорость воздуха в обратном потоке (в РЗ) достигается в поперечном сечении помещения, проходящем через второе критическое сечение, в котором струя имеет максимальную площадь поперечного сечения.

При подаче воздуха в помещения несколькими струями может происходить их взаимодействие, что учитывается введением в расчетные формулы коэффициента взаимодействия  $K_{in}$ . При этом, если струи направлены парал-

лько друг другу, то увеличиваются значения параметров воздуха по сравнению с параметрами одной струи. Если струи направлены навстречу друг другу, то скорости в суммарном потоке по сравнению с одной струей уменьшаются.

Не следует учитывать взаимодействие воздушных струй, когда ВР расположены относительно равномерно и подпитка струй идет встречным потоком, приводящим к уменьшению скорости воздуха в каждой струе, учитываемому коэффициентом стеснения  $K_{con}$ .

Такой случай имеет место присосредоточенной подаче воздуха. Не следует учитывать взаимодействие и тогда, когда воздухо выпусканые устройства (плафоны, решетки, панели) располагаются равномерно по площади потолка.

Приточные струи могут развиваться в изотермических и неизотермических условиях.

Изотермическими следует считать условия, при которых температура притока не отличается от температуры воздуха в вентилируемых (и отапливаемых) помещениях.

В неизотермических условиях развитие приточных струй происходит под влиянием инерционных и гравитационных сил, возникающих за счет разности плотностей воздуха в струе и в помещении. В зависимости от соотношения этих сил находятся форма траектории струи и значения максимальных параметров воздуха, что учитывается введением в расчетные формулы коэффициента неизотермичности  $K_n$ . Коэффициент неизотермичности зависит от геометрической характеристики струи  $H$ , м, которая рассчитывается по формуле:

для компактных, конических и веерных струй

$$H \approx 5,45 m v_0 \frac{\sqrt{A_0}}{\sqrt{n \Delta t_0}}; \quad (17.1)$$

для плоских струй

$$H \approx 9,6 \sqrt{b_0 \frac{(m v_0)^4}{(n \Delta t_0)^2}}, \quad (17.2)$$

где  $m$  — скоростной коэффициент ВР;  $n$  — температурный коэффициент ВР;  $v_0$  — начальная скорость движения воздуха, отнесенная к расчетной площади ВР, м/с;  $\Delta t_0$  — избыточная температура приточного воздуха, °С;

$$\Delta t_0 = |t_0 - t_{w,z}|,$$

$t_0$  — температура приточного воздуха на выходе из ВР, °С;  $A_0$  — расчетная площадь ВР, м<sup>2</sup>;  $b_0$  — расчетный размер ВР, м.

Наряду с геометрической характеристикой струи применяется понятие текущего критерия (числа) Архимеда —  $Ar_x$ . Связь значений  $Ar_x$  и  $H$  выражается формулами: для компактных, конических и веерных струй  $Ar_x = 1,2 \left( \frac{x}{H} \right)^2$ , для

плоских струй  $Ar_x = \sqrt{\left( \frac{x}{H} \right)^3}$ , где  $x$  — расстояние от места истечения струи (ВР) до рассчитываемого сечения по направлению движения струи, м.

Струи, выпущенные горизонтально или под углом к горизонтальной плоскости, под влиянием гравитационных сил отклоняются вверх, если они нагреты, или вниз — если охлаждены. При вертикальной подаче нагретого воздуха сверху вниз компактные, конические и не полные веерные струи затормаживаются на расстоянии  $x = 0,55H$ , плоские — на расстоянии  $x = 0,8H$ .

Нагретая (охлажденная) струя независимо от схемы подачи на расстоянии до сечения  $x < 0,45H$  сохраняет первоначальное направление своего движения или имеет незначительное отклонение. В практических расчетах воздухо распределения такое отклонение может не учитываться.

При вертикальной подаче воздуха неизотермичность можно не учитывать, если  $x < 0,35H$  или  $H/\sqrt{A_0} > 100$ .

Максимальные параметры воздуха на начальном участке прямоточных струй рекомендуется определять по формулам:

$$v_x = v_0 \sqrt{K_{f,p} K_n}; \quad (17.3)$$

$$\Delta t_x = \Delta t_0 \sqrt{K_{f,p}} \frac{1}{K_n}, \quad (17.4)$$

где  $v_x$  — скорость движения воздуха в живом сечении выпускного устройства;  $K_{f,p}$  — коэффициент живого сечения ВР (отношение суммарной площади выпуска из ВР к габаритной площади выпуска).

Величина коэффициента неизотермичности  $K_n$  при разнонаправленном действии гравитационных и инерционных сил (для вертикальных струй) и при  $6 < \frac{H}{\sqrt{A_0}} < 14,7$  определяется по

рис. 17.1.

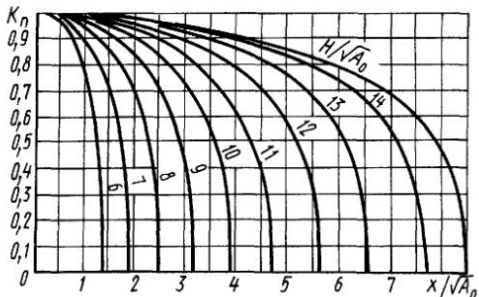


Рис. 17.1. График для определения коэффициента  $K_n$  при вертикальной подаче нагретого воздуха вниз

Длина начального участка определяется по формулам:

для компактных, конических и веерных струй:

по скорости

$$x_b = m \sqrt{A_0}; \quad (17.5)$$

по температуре и концентрации вредных веществ

$$x_b = n \sqrt{A_0}; \quad (17.6)$$

для плоских струй:

по скорости

$$x_b = m^2 b_0; \quad (17.7)$$

по температуре и концентрации вредных веществ

$$x_b = n^2 b_0. \quad (17.8)$$

Максимальные параметры воздуха на основном участке компактных, веерных и конических струй находят по формулам:

$$v_x = \frac{mv_0 \sqrt{A_0}}{x} K_{con} K_{in} K_n; \quad (17.9)$$

$$\Delta t_x = \frac{n \Delta t_0 \sqrt{A_0}}{x} \frac{K_{in}}{K_{con} K_n}; \quad (17.10)$$

для плоских струй

$$v_x = \frac{mv_0 \sqrt{b_0}}{\sqrt{x}} K_{con} K_{in} K_n; \quad (17.11)$$

$$\Delta t_x = \frac{n \Delta t_0 \sqrt{b_0}}{\sqrt{x}} \frac{K_{in}}{K_{con} K_n}. \quad (17.12)$$

Для плоских струй при  $x > 6l_0$  значения  $v_x$  и  $\Delta t_x$  определяют по формулам (17.9) и (17.10), где принимают  $m = 2,45m_1$ ;  $n = 2,45n_1$  и  $A_0 = b_0 l_0$  ( $m_1$  и  $n_1$  — скоростной и температурный коэффициенты ВР, образующих плоские струи).

Коэффициент стеснения  $K_{con}$  определяют по формулам:

для компактных, веерных и конических струй

$$K_{con} = K_{con}^t + \frac{0,9}{m} \frac{L_{con}}{L_0} \frac{x}{\sqrt{A_p}} \sqrt{\frac{A_0}{A_p}}; \quad (17.13)$$

для плоских струй

$$K_{con} = K_{con}^t + \frac{1}{m} \frac{L_{con}}{L_0} \sqrt{\frac{x}{H_p}} \sqrt{\frac{b_0}{H_p}}, \quad (17.14)$$

где  $x$  — путь развития струи, м;  $A_p$  — площадь помещения, перпендикулярная потоку воздуха, приходящаяся на один ВР (струю),  $m^2$ ;  $L_{con}$  — расход воздуха, удаляемого в конце развития струи,  $m^3/\text{ч}$ ;  $L_0$  — расход воздуха, подаваемого одним ВР,  $m^3/\text{ч}$ .

При подаче воздуха струями, поступающими вертикально в рабочую зону из верхней зоны, расход воздуха, удаляемого в конце развития струи ( $L_{con}$ ), равен расходу воздуха, удаляемого из рабочей зоны ( $L_{w,z}$ ), например местными отсосами. При подаче воздуха в верхнюю зону горизонтальными или наклонными струями за  $L_{con}$  принимается расход воздуха, удаляемого через вытяжные отверстия, располагаемые в конце ячейки помещения, обслуживающей одним ВР.

Коэффициент  $K_{con}^t$  для тупиковой схемы развития струи, когда приточные и вытяжные отверстия расположены в плоскости истечения струи, следует принимать по табл. 17.3.

В формулах (17.10) и (17.12) коэффициент  $K_{con}^t$  принимается равным не менее 0,85.

Для полных веерных настилающих струй коэффициент  $K_{con}^t$  принимается равным ( $h_{w,z}$  — высота РЗ):

$\frac{H_p - h_{w,z}}{A_p}$	0,1	0,4	0,8	1,2	1,6	2
$K_{con}^t$	0,9	0,8	0,7	0,65	0,6	0,6

Значения коэффициентов взаимодействия  $K_{in}$  зависят от расстояния между струями, их количества (рис. 17.2) и принимаются по табл. 17.4. Коэффициенты  $K_{in}$ , приведенные для двух струй, следует вводить в формулы для определения максимальных параметров воздуха в одной струе при выпуске вблизи стен или потолка (когда создаются условия настиления струи на ближайшее сплошное ограждение), если коэффициенты  $m$  и  $n$  относятся к случаю подачи ненастилающейся струи.

При подаче воздуха одинаковыми струя-

ТАБЛИЦА 17.3. КОЭФФИЦИЕНТ СТЕСНЕНИЯ  $K_{con}$  ДЛЯ КОМПАКТНЫХ, НЕПОЛНЫХ ВЕЕРНЫХ И ПЛОСКИХ СТРУЙ

Форма струи	$\bar{A} = A_0/A_p$	Значения $K_{con}$ при $\bar{x}$ , равном					
		0,1	0,2	0,3	0,4	0,5	0,6
Компактная и неполная веерная	Менее 0,003	1	1	1	1	1	1
	0,003	1	1	0,9	0,85	0,8	0,75
	0,005	1	0,9	0,8	0,75	0,7	0,65
$\bar{x} = \frac{\bar{x}}{m\sqrt{A_p}}$	0,01	1	0,9	0,7	0,6	0,5	0,4
	0,05	1	0,8	0,5	0,4	0,3	0,3
	0,1	1	0,7	0,45	0,35	0,3	0,3
	0,2	0,95	0,55	0,35	0,3	0,3	0,3
Плоская	—	1	0,85	0,7	0,6	0,5	0,4
$\bar{x} = \frac{x}{m^2 H_p}$	—	1	0,85	0,7	0,6	0,5	0,4

Примечание.  $A_p$  — площадь помещения, перпендикулярная потоку воздуха, приходящаяся на один ВР (струю),  $\text{м}^2$ ;  $H_p$  — высота помещения, м.

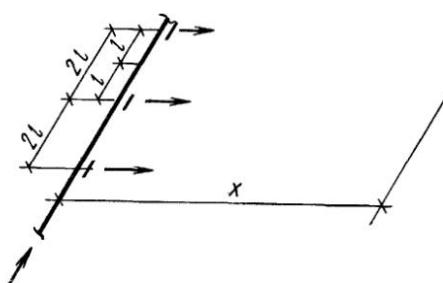


Рис. 17.2. Схема установки ВР в ряд

ми, направленными навстречу друг другу, максимальная скорость воздуха в слившемся потоке составляет 60% скорости в каждой из струй.

Величина  $K_n$  определяется по формулам:

а) при вертикальной подаче воздуха сверху вниз.

для компактных и конических струй

$$K_n = \sqrt[3]{1 \pm 3 \left( \frac{x}{H} \right)^2}; \quad (17.15)$$

для неполных веерных струй

$$K_n = \sqrt[3]{1 \pm 1,5 \left( \frac{x}{H} \right)^2}; \quad (17.16)$$

ТАБЛИЦА 17.4. КОЭФФИЦИЕНТ ВЗАИМОДЕЙСТВИЯ  $K_{in}$

Число струй	Значение $K_{in}$ при $x/l$ , равном (см. рис. 17.2)							
	10	20	30	40	50	60	80	100
2	1	1,15	1,3	1,35	1,35	1,4	1,4	1,4
3	1	1,2	1,4	1,55	1,6	1,7	1,7	1,7
4	1	1,2	1,5	1,65	1,8	1,8	1,9	2,0
5	1	1,2	1,5	1,7	1,9	2,0	2,1	2,1
6	1	1,2	1,5	1,7	1,9	2,0	2,2	2,3
7	1	1,2	1,5	1,7	1,9	2,1	2,3	2,4
8	1	1,2	1,5	1,7	1,9	2,1	2,3	2,5
9	1	1,2	1,5	1,7	1,9	2,1	2,35	2,6
10	1	1,2	1,5	1,7	1,9	2,1	2,4	2,6
11	1	1,2	1,5	1,7	1,9	2,1	2,4	2,6
12	1	1,2	1,5	1,7	1,9	2,1	2,4	2,7
Более 12	1	1,2	1,5	1,7	1,9	2,1	2,4	2,7

для плоских струй

$$K_n = \sqrt[3]{1 \pm 2 \sqrt{\left( \frac{x}{H} \right)^3}}; \quad (17.17)$$

б) при горизонтальной подаче воздуха настилающимися струями:

для компактных струй

$$K_n = \sqrt{1 \pm \left( \frac{x}{H} \right)^4}; \quad (17.18)$$

для плоских струй

$$K_n = \sqrt{1 \pm \left( \frac{x}{H} \right)^3}. \quad (17.19)$$

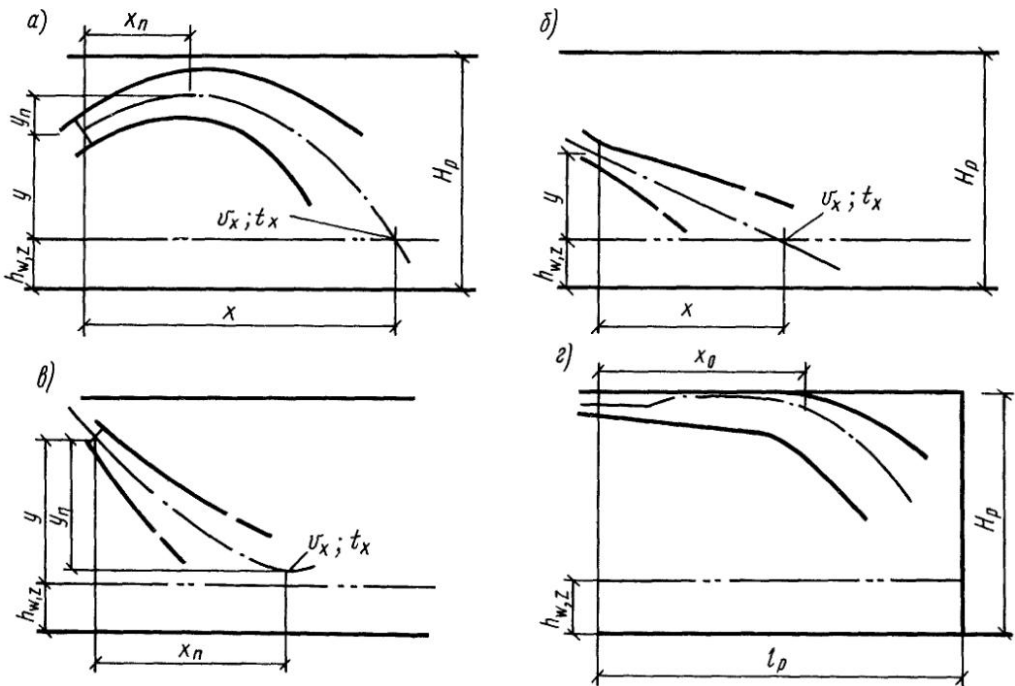


Рис. 17.3. Схемы подачи охлажденного воздуха вверх под углом к горизонтальной плоскости (а), нагретого воздуха вниз под углом к горизонтальной плоскости – ось струи пересекает РЗ (б) и ось струи выше РЗ (в), схема настилающей подачи охлажденного воздуха (г)

Знак «–» принимается при подаче нагретого воздуха, а знак «+» – при подаче охлажденного воздуха.

в) при горизонтальной подаче охлажденного воздуха настилающимися струями величина  $K_n$  в формулах (17.9) – (17.12) принимается равной 1; при подаче нагретого воздуха  $K_n$  определяется по формулам (17.15) – (17.17), где  $x$  – сумма расстояний по горизонтали и вертикали от ВР до места пересечения ПМС с верхним уровнем РЗ;

г) при наклонной подаче под углом  $\alpha$  к горизонтальной плоскости:

для компактных струй – в формуле (17.9)

$$K_n = \cos \alpha \sqrt{\cos^2 \alpha + \left[ \sin \alpha \pm \sqrt{\left( \frac{x}{H \cos \alpha} \right)^3} \right]^2}; \quad (17.20)$$

в формуле (17.10)

$$K_n = 1/\cos \alpha; \quad (17.21)$$

для плоских струй – в формуле (17.11)

$$K_n = \sqrt{\cos \alpha} \sqrt{\cos^2 \alpha + \left[ \sin \alpha \pm \sqrt{\left( \frac{x}{H \cos \alpha} \right)^3} \right]^2}; \quad (17.22)$$

в формуле (17.12)

$$K_n = 1/\sqrt{\cos \alpha}. \quad (17.23)$$

Вертикальное расстояние  $y$  от геометрической оси струи в расчетном сечении до уровня истечения при подаче охлажденного (рис. 17.3, а) или нагретого воздуха (рис. 17.3, б) под углом к горизонтальной плоскости следует определять по формулам:

для компактных и веерных струй

$$y = x \operatorname{tg} \alpha \pm 0,47 \frac{x^3}{H^2 \cos^3 \alpha}; \quad (17.24)$$

для плоских струй

$$y = x \operatorname{tg} \alpha \pm 0,4 \sqrt{\frac{x^5}{H^3 \cos^5 \alpha}}. \quad (17.25)$$

Горизонтальное расстояние от места истече-

чения струи до ее вершины (рис. 17.3, б) составляет

$$x_n = H \cos \alpha \sqrt{\sin \alpha}; \quad (17.26)$$

вертикальное расстояние

$$y_n = 0,67x_n \operatorname{tg} \alpha. \quad (17.27)$$

При горизонтальной подаче охлажденного воздуха величина у определяется по формулам:

для компактных и веерных струй

$$y = 0,47 \frac{x^3}{H^2}; \quad (17.28)$$

для плоских струй

$$y = 0,4 \sqrt{\frac{x^5}{H^3}}. \quad (17.29)$$

Струя охлажденного воздуха, настилающегося на потолок, под действием гравитационных сил на некотором расстоянии от начала истечения отрывается от потолка (рис. 17.3, г). Место отрыва струи от потолка  $x_0$  при подаче воздуха в помещение горизонтально составляет для компактных и неполных веерных струй  $x_0 = 0,5H$ , для плоских и веерных струй  $x_0 = 0,4H$ .

При подаче воздуха стесненными горизонтальными прямоточными струями выше РЗ максимальные параметры воздуха в обратном потоке рекомендуется определять по формулам:

для компактных и неполных веерных струй

$$v_{\max} = 0,78 v_0 \sqrt{\frac{A_0}{A_p}}; \quad (17.30)$$

$$\Delta t_{\max} = 1,4 \Delta t_0 \sqrt{\frac{A_0}{A_p}}, \quad (17.31)$$

где  $\Delta t_{\max} = |t_{\max} - t_{w,z}|$  — максимальная избыточная температура воздуха в обратном потоке,  $^{\circ}\text{C}$ ;  $t_{\max}$  — максимальная (при подаче нагревого) или минимальная (при подаче охлажденного) температура воздуха в обратном потоке,  $^{\circ}\text{C}$ ;

для плоских струй

$$v_{\max} = 0,75 v_0 \sqrt{\frac{b_0}{H_p}}. \quad (17.32)$$

Максимальные значения параметров воздуха в обратном потоке (во втором критическом сечении) находятся на расстоянии:

для компактных и неполных веерных струй

$$x_{cr} = 0,31 m \sqrt{A_p}; \quad (17.33)$$

для плоских струй

$$x_{cr} = 0,15 m^2 H_p. \quad (17.34)$$

Горизонтальные компактные струи настилаются на потолок, если ВР находится на расстоянии от пола  $h > 0,65 H_p$ . При  $h = (0,35 + 0,65) H_p$  компактные струи не будут настиляться. Веерные и плоские струи менее устойчивы и с удалением от ВР настилаются на ближайшее ограждение независимо от значения  $h$ .

Размеры зоны прямого воздействия струи рекомендуется определять по формулам:

для компактных, смыкающихся конических и неполных веерных струй

$$R = 0,66 x/m; \quad (17.35)$$

для веерных и несмыкающихся конических струй

$$R = 0,095 x/m^2; \quad (17.36)$$

для плоских струй

$$R = 0,67 x/m^2, \quad (17.37)$$

где  $R$  — расстояние от поверхности максимальных скоростей (ПМС) до границы зоны прямого воздействия, где скорость равна  $0,5 v_x$ .

Относительная площадь приточной струи при поступлении ее в рабочую зону рассчитывается по формулам:

для веерных струй

$$\bar{A}_g = 1 - 0,15 \left( 2 - \frac{H_p - h_{w,z}}{\sqrt{A_p}} \right)^2; \quad (17.38)$$

для конических несмыкающихся струй

$$\bar{A}_g = 9,27 \frac{(h - h_{w,z})^2}{A_p}; \quad (17.39)$$

для конических смыкающихся струй

$$\bar{A}_g = \frac{A_0}{A_p} \left[ C_1 + C_2 \left( \frac{h - h_{w,z}}{1,13 \sqrt{A_0}} - C_3 \right) \right]^2; \quad (17.40)$$

для горизонтальных компактных и неполных веерных струй\*:

\* Струи настилаются на потолок и поступают вертикально в рабочую зону после поворота в результате взаимодействия со стенами или встречными струями.

$$\bar{A}_g = \begin{cases} \frac{0,53}{m} \frac{(b_1 + H_p - h_{w,z})^2}{a_1 b_1} & \text{при } S < a_1, \\ 0,22 \frac{b_1 + H_p - h_{w,z}}{b_1} & \text{при } S \geq a_1, \end{cases} \quad (17.41)$$

$$\text{где } S = \frac{2,4}{m} (b_1 + H_p - h_{w,z})$$

( $a_1$  — ширина;  $b_1$  — длина ячейки, обслуживаемая струей;  $h$  — высота установки ВР над полом);  
для плоских струй

$$\bar{A}_g = 0,22 \frac{b_1 + H_p - h_{w,z}}{b_1}. \quad (17.42)$$

Константы  $C_1$ ,  $C_2$ ,  $C_3$  в формуле (17.40) приведены в табл. 17.5.

При расчете плоских струй, образуемых решетками, установленными в ряд, следует принимать  $m = 2,5$  и  $n = 2$  для ненастилающих струй и  $m = 3,5$  и  $n = 2,8$  для настилающих. Для ВР типа ВПК расчетные данные приведены в п. 17.4.

ТАБЛИЦА 17.5. КОНСТАНТЫ ДЛЯ ОПРЕДЕЛЕНИЯ ОТНОСИТЕЛЬНОЙ ПЛОЩАДИ КОНИЧЕСКИХ СМЫКАЮЩИХСЯ СТРУЙ

Тип ВР	$C_1$	$C_2$	$C_3$
ВР	4	0,44	2
ПРМ	0	0,44	-10

гоэтажных зданиях с пролетами шириной 6, 9 и 12 м. Кратность воздухообмена свыше 10 1/ч. Технологический процесс существенно зависит от равномерности распределения параметров воздуха по РЗ.

В производственных помещениях первой категории с незначительными избытками явной теплоты рекомендуются следующие способы подачи воздуха:

1) наклонными струями в направлении РЗ (рис. 17.4, а) через воздухораспределители типов НРВ, РВ и ВВР;

2) сосредоточенно выше РЗ (рис. 17.4, б) через воздухораспределители типов ВСП, ВГКм, РВ и с использованием направляющих сопел (рис. 17.4, в)\*;

3) непосредственно в РЗ (рис. 17.4, г) через воздухораспределители типа ВЭПш (в режиме вентиляции);

4) смыкающимися коническими струями сверху вниз с высоты не более 8 м (рис. 17.4, д) через воздухораспределители типов ВР и ПРМ.

Подачу воздуха наклонными струями в помещения с кратностью воздухообмена менее 3–5 1/ч и без рециркуляции рекомендуется осуществлять с высоты не более 4 м, в помещения с кратностью воздухообмена более 3–5 1/ч или в помещениях с рециркуляцией — с высоты более 4 м.

В помещениях с крупногабаритным технологическим оборудованием (высотой более 3 м) предпочтительны следующие способы подачи воздуха:

1) непосредственно в рабочую зону;

2) наклонными струями в пространство между технологическим оборудованием;

### 17.3. ВЫБОР СПОСОБОВ ПОДАЧИ, ТИПОВ И КОЛИЧЕСТВА ВР

Выбор способа подачи приточного воздуха и типа ВР производится в зависимости от категории помещения, требований к микроклимату, габаритов технологического оборудования и характера изменения теплогазовыделений. Как правило, следует принимать ВР, на которые разработаны, утверждены и распространяются ЦИТП типовые рабочие чертежи, и производить расчет по выпускам 0. Основные характеристики ВР приведены в табл. 17.6.

Производственные помещения условно делятся на две категории.

К *первой категории* относятся помещения высотой от 6–8 до 18 м (основные цехи заводов автомобилестроения, вагоностроения, судостроения, химического машиностроения, домостроительных комбинатов и т. п.) с пролетами шириной 12–36 м. Кратность воздухообмена до 5–7 1/ч. Особых технологических требований к равномерности распределения параметров воздуха по РЗ не предъявляется.

Ко *второй категории* относятся производственные помещения высотой менее 6–8 м (основные цехи заводов радиотехнической, электронной, приборостроительной, станкостроительной, легкой промышленности и т. п.). Помещения, как правило, размещаются в мно-

\* Рекомендации по расчету отопительно-вентиляционных систем с направляющими соплами // ЦНИИпромзданий, Лен. ПСП, Лен. ВНИИОТ. М.: ЦНИИпромзданий, 1984.

ТАБЛИЦА 17.6. ОСНОВНЫЕ ТЕХНИЧЕСКИЕ ПАРАМЕТРЫ ВР

Наименование ВР, серия типовых рабочих чертежей	Эскиз	Тип, обозначение	Масса, кг	Размеры, мм ( $d_o$ или $b_0 \times l_0$ )
1	2	3	4	5
Воздухораспределитель приколовый регулируемый веерного типа 1.494-37		HPB-2 HPB-4 HPB-6 HPB-8 HPB-10 HPB-12	15,2 52,8 126 27,9 93 209,4	355 710 1250 500 1000 1400
Воздухораспределитель для сопроточенной подачи воздуха 5.904-47*		ВСП-1 ВСП-2 ВСП-3 ВСП-4 ВСП-5	11 46,1 74,7 114,2 165	500 x 500 1000 x 1000 1250 x 1250 1600 x 1600 2000 x 2000
Воздухораспределитель для подачи воздуха компактной струей 4.904-68		ВГКм-1 ВГКм-2 ВГКм-3 ВГКм-4	43,3 86,8 140,7 310,4	400 x 800 800 x 800 800 x 1600 1600 x 1600
Решетка воздухоприточная регулируемая 1.494-8*		РР-1(А1Б1) РР-2(А2Б2) РР-3(А3Б3) РР-4(А4Б4) РР-5(А5Б5)	1,1 1,8 1,7 3 4,5	100 x 200 100 x 400 200 x 200 200 x 400 200 x 600
Воздухораспределитель регулируемый 5.904-46*		ВРк2,5 ВРк3 ВРк5 ВРк7 ВРк10 ВРк14	2,5 3,3 6,1 7,1 16,5 20	250 315 500 710 1000 1400
Воздухораспределитель (двухструйный) шестидиффузорный прямоугольного сечения 4.904-29**		ВДШп-2 ВДШп-3 ВДШп-4 ВДШп-5 ВДШп-6 ВДШп-8	10,1 14,5 22,3 31,6 45,8 68,4	250 315 400 500 630 800
Воздухораспределитель эжекционный панельный штампованный 1.494-38*		П-ВЭПш-11У	20,3	500 x 1000
Воздухораспределитель перфорированный круглый 5.904-6		ВПК1.00.000-06 ВПК1.00.000-05 ВПК1.00.000-04 ВПК1.00.000-03 ВПК1.00.000-02 ВПК1.00.000-01 ВПК1.00.000 ВПК2.00.000-06 ВПК2.00.000-05 ВПК2.00.000-04 ВПК2.00.000-03 ВПК2.00.000-02	63 120 149 187 220 263 300 185 260 491 627 735	500(470) 630(500) 630(530) 710(550) 710(575) 800(600) 800(620) 1000(850) 1000(900) 1250(1000) 1400(1050) 1400(1100)

## ХАРАКТЕРИСТИКИ ВР

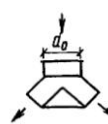
Расчетная площадь $A_0$ , $\text{м}^2$	Рекомендуемые значения		Угол выпуска струй к горизонту $d$ , град	Коэффициенты			Примечание
	расход воздуха $L_0$ , $\text{м}^3/\text{ч}$	расчетная скорость $v_0$ , м/с		скоростной $m$	температурный $n$	местного сопротивления $\zeta$	
6	7	8	9	10	11	12	13

0,056 × 2	2200–4300	5,5–10,6	±30	2	1,6	3	
0,136 × 2	7300–14 500	6–12					
0,336 × 2	18 200–26 100	7,5–10,8					
0,056 × 4	4400–8600	5,5–10,6					
0,136 × 4	14 400–29 000	6–12					
0,336 × 4	36 400–52 200	7,5–10,8					
0,25	3500–10 800						
1	14 400–43 200						
1,66	23 900–71 700	4–12	+10 -35	6,3	4,5	1,25	
2,56	36 900–110 700						
4	56 700–172 800						
0,32	5250–17 200		+10				
0,64	14 500–34 500	5–15	-30	6,2	5,1	1,9	
1,28	23 000–69 000						
2,56	46 000–138 000						
0,016	115–290						
0,032	230–580						
0,032	230–580	2–5	±45	4,5	3,2	2,2	
0,064	460–1050						
0,096	690–1730						
0,05	710–2100						
0,08	1120–3370		0				
0,2	2880–8640	4–12	-45	1–2,7 (1,1)	0,9–2,5 (0,9)	1,5–1,7 (2,1)	Меньшие значения $m$ и $n$ соответствуют углу $\alpha = 30^\circ$ , большие – $\alpha = 45^\circ$
0,78	5760–17 280						
0,78	11 300–33 910						
1,54	22 180–66 530						
0,05	360–900						
0,08	575–1440						
0,13	935–2340						
0,2	1440–3600	2–5	—	(1,4)	(1,05)	(1,3)	—
0,31	2230–5400						
0,5	3600–9000						
0,5	575–1440	0,3–0,8	—	0,6	—	330	Значения $m$ и $n$ приведены для $x = 1$ м ( $x$ – расстояние от воздухораспределителя до расчетного сечения)
0,2(7692)	2820–8450		0,8				
0,31(12910)	4460–13 400		0,7				
0,31(15384)	4460–13 400		0,55				
0,4(18128)	5680–17 000		0,55				
0,4(20602)	5680–17 000		0,48				
0,5(23346)	7200–21 600		0,52				
0,5(23820)	7200–21 600		0,48				
0,78(7840)	11 200–33 600	4–12	0,93	0,5	1,0	2,2	
0,78(10320)	11 200–33 600		0,69				
1,22(15880)	17 600–52 700		0,67				
1,53(18630)	22 000–66 000		0,69				
1,53(21110)	22 000–66 000		0,59				

Наименование ВР, серия типовых рабочих чертежей	Эскиз	Тип, обозначение	Масса, кг	Размеры, мм ( $d_0$ или $b_0 \times l_0$ )
1	2	3	4	5
Воздухораспределитель перфорированный круглый 5.904-6		ВПК2.00.000-01 ВПК2.00.000 ВПК3.00.000-03 ВПК3.00.000-02 ВПК3.00.000-01 ВПК3.00.000	895 1018 159 281 422 566	1600(1150) 1600(1200) 1000(900) 1250(1000) 1400(1100) 1600(1200)
Устройство для напольной раздачи воздуха 5.904-35		УВН-5 УВН-6	5,1 6,9	500 × 500 600 × 600
Решетка вентиляционная регулируемая 5.904-50		PB-1 PB-2 PB-3 PB-4 PB-5	1,1 2,1 2,9 4,1 5,8	150 × 150 250 × 250 * 250 × 400 * 400 × 400 400 × 600
Воздухораспределитель вихревой регулируемый 5.904-40 *		BBP3 BBP5 BBP7 BBP10 BBP12	5 7,5 14 29,8 38	315 500 710 1000 1250
Плафон регулируемый многодиффузорный 5.904-39: круглого сечения		ПРМ1 ПРМ2 ПРМ3 ПРМ4	1,3 1,9 2,7 4,1	250 315 400 500
прямоугольного сечения		ПРМп1 ПРМп3 ПРМп4	1,6 2,9 4,1	250 × 250 400 × 400 500 × 500
Приточная решетка с регулируемым расходом и пространственным направлением потока ***		РРНП-00 РРНП-01 РРНП-02 РРНП-03 РРНП-04 РРНП-05 РРНП-06 РРНП-07	4 5 7 9 12 18 25 40	100 × 100 150 × 150 200 × 150 300 × 150 600 × 200 600 × 300 600 × 400 600 × 600

Продолжение табл. 17.6

Расчетная площадь $A_0$ , $\text{м}^2$	Рекомендуемые значения		Угол выпуска струи к горизонту $a$ , град	Коэффициенты			Примечание
	расход воздуха $L_0$ , $\text{м}^3/\text{ч}$	расчетная скорость $v_0$ , м/с		скоростной $m$	температурный $n$	местного сопротивления $\zeta$	
6	7	8	9	10	11	12	13
2(23990)	28 800–86 400		0,67			1,9	
2(26470)	28 800–86 400		0,59			1,8	
0,78(5360)	11 200–33 600	4–12	0,81	0,5	1,0	1,9	
1,22(8440)	17 600–52 700		0,68			1,9	
1,53(11190)	22 000–66 000		0,67			1,8	
2(14070)	28 800–86 400		0,68			1,8	
0,066	150–600	0,6–2,5	—	1,4	1,5	45	Значения $m$ и $n$ приведены для $x = 1$ м
0,022	160–1190						
0,062	450–3350						
0,1	720–5400	2–15	±30	2–6,3	1,9–5,1	1,3–2,4	Меньшие значения $m$ и $n$ соответствуют неполной веерной струе; большие – компактной струе
0,16	1150–8640						
0,24	1730–12 960						
0,08	1100–3400						
0,2	2880–8640		0				
0,4	5760–17 280	4–12	–40	1,5–3,5	2–4,5	1,2–2,3	Меньшие значения $m$ и $n$ соответствуют углу $\alpha = -40^\circ$ , большие – $\alpha = 0^\circ$ . Воздухораспределитель имеет ручной или электрический привод для изменения значения $\alpha$
0,78	11 300–34 000						
1,22	17700–53000						
0,05	360–3600						
0,08	580–5760						
0,13	940–9360	2–20		0,7–3,2	0,6–2,8	1,4	Меньшие значения $m$ и $n$ соответствуют относительно-му расстоянию от воздухораспределителя до расчетного сечения
0,2	1440–14 400			(1,1)	(1)		
0,06	430–4320						
0,16	1150–11 520	2–20		1,2–2,5	1,2–3	1,3–1,7	$x/\sqrt{F_0} = 3$ , большие – $x/\sqrt{F_0} = 20$
0,25	1800–18 000						
0,01	110–290						
0,023	250–660						
0,03	320–860						
0,045	490–1300	3–8	±45	6,8	5,1	1,5	
0,12	1300–3460						
0,18	1940–5180						
0,24	2590–6910						
0,36	3890–10370						

Наименование ВР, серия типовых рабочих чертежей	Эскиз	Тип, обозначение	Масса, кг	Размеры, мм ( $d_0$ или $b_0 \times l_0$ )
1	2	3	4	5
Воздухораспределитель с поворотными фланцами ***		ВПФ-02 ВПФ-03 ВПФ-04 ВПФ-05 ВПФ-06 ВПФ-07 ВПФ-08 ВПФ-09	5,8 7,3 10,7 13,9 16,7 20,7 29,7 45	250 315 400 500 560 630 800 1000
Воздухораспределитель конический ***		ВК-00 ВК-01 ВК-02 ВК-03 ВК-04 ВК-05 ВК-06 ВК-07 ВК-08 ВК-09	8 11 16,5 23,5 28,5 40,5 52,5 87 128 224,3	250 315 400 500 560 630 800 1000 1250 1600

Примечания: 1. В графах 10–12 приведены значения коэффициентов для ненастигающихя струй, для 2. Знаком \* отмечены ВР, изготовленные заводами НПО Промвентиляция; \*\* – исключенные из числа разработана ЦНИИЭП инженерного оборудования.

3. Распределение воздуха через перфорированные воздуховоды типа ВПК следует рассчитывать по отношения  $v_{\text{out}}/v_0$  средней скорости выхода воздуха из отверстий  $v_{\text{out}}$  к расчетной скорости  $v_0$  в начальном и коэффициент местного сопротивления  $\zeta$  (графа 12), а в скобках указана длина ВПК  $l$ , мм.

3) сосредоточенно с использованием направляющих сопел.

Отопительно-вентиляционные системы с направляющими соплами рекомендуется предусматривать в помещениях, длина которых превышает длину зоны эффективного действия приточных струй при сосредоточенной подаче не более чем в 2 раза и в которых применение сосредоточенной подачи воздуха не позволяет обеспечить подачу необходимого расхода теплоты (или холода), а также для систем с переменным расходом воздуха.

В производственных помещениях первой категории со значительными избытками явной теплоты рекомендуются следующие способы подачи воздуха:

1) непосредственно в РЗ (рис. 17.4, г) через воздухораспределители типа ВЭПш;

2) наклонными струями в направлении РЗ с высоты не более 4 м (см. рис. 17.4, а) через воздухораспределители типов НРВ, РВ и ВВР.

В производственных помещениях второй

категории рекомендуются следующие способы подачи воздуха:

1) сверху вниз веерными (рис. 17.5, а) или несмыкающимися коническими струями (рис. 17.5, б) через воздухораспределители типов ВР, ВДШп и ПРМ;

2) сверху вниз настилающимися компактными или неполными веерными струями (рис. 17.5, в) через воздухораспределители (решетки) типов РР и РВ;

3) сверху вниз плоскими струями (рис. 17.5, г) через воздухораспределители типа ВПК;

4) непосредственно в РЗ (рис. 17.4, г, 17.5, д) через воздухораспределители типов ВЭПш, УВН.

В помещениях с технологическим оборудованием высотой более 2 м подачу следует осуществлять в проходы между оборудованием.

В помещениях общественных зданий высотой более 5–6 м (залы, аудитории) рекомен-

## Продолжение табл. 17.6

Расчетная площадь $A_0$ $\text{м}^2$	Рекомендуемые значения		Угол выпуска струи к горизонту $\alpha$ , град	Коэффициенты			Примечание
	расход воздуха $L_0, \text{ м}^3/\text{ч}$	расчетная скорость $v_0, \text{ м/с}$		скорост- ной $n$	температуры $n$	местного сопротивления $\zeta$	
6	7	8	9	10	11	12	13
0,02	430	1080					
0,03	650-1620						
0,05	1080	2700					
0,08	1730	4120	6-15	$\pm 30$	6,4	4,8	1,1-1,2
0,1	2160-5400						
0,13	2810	7020					
0,2	4320-10800						
0,33	7130	17820					
0,05	900-2700						
0,08	1440-4320						
0,13	2340	7020					
0,2	3600	10800					
0,25	4500-13500		5-15	1,1	0,85		1,2 То же
0,31	5580	16740					
0,5	9000-27000						
0,78	14040	42120					
1,22	21960-65880						
2	36000-108000						

настилающихся струй значения коэффициентов приведены в скобках действующих и приведенные для справок, \*\*\* - нетиповые конструкции, рабочая документация которых

формулам п. 17.4. Для этого в графе 5 в скобках указан средний диаметр  $d_m, \text{ мм}$ , а в графе 9 приведены сечения ВПК. В графе 6 приведена расчетная площадь  $A_0$ , к которой отнесены расчетная скорость  $v_0$  (графа 8).

дуется подавать воздух наклонными компактными или плоскими струями, направленными на экран (сцену) или спортивную площадку через воздухораспределители типов РР, РВ, РРНП\* и ВПФ\*, располагаемые выше обслуживающей зоны. Воздухораспределители допускается устанавливать в боковых стенах. Допускается подавать воздух компактными вертикальными струями через воздухораспределители типов РРНП\* и ВПФ\*.

В помещения конструкторских и проектных бюро, контор рекомендуется подавать воздух в направлении окон через воздухораспределители типов РР, РВ и РРНП\*, установлен-

ные выше обслуживаемой зоны, или непосредственно под окнами через воздухораспределители эжекционных кондиционеров доводчиков (ЭКД) для уменьшения отрицательного воздействия ниспадающих холодных токов.

В помещения или отдельные зоны высотой менее 5-6 м, имеющие подшивной потолок (горловые залы, балконы зрительных залов, трибуны спортивных залов), рекомендуется подавать воздух настилающимися веерными струями через воздухораспределители типов ВДШп и ПРМ.

При наличии на потолке выступающих конструкций (балки, ригели, ребра), а также светильников с большими тепловыделениями рекомендуется подавать воздух коническими и неполными веерными струями на высоте 3-6 м через воздухораспределители типов ПРМ, ВК\*, РВ и РРНП\*.

В системах с переменным расходом воздуха подачу воздуха рекомендуется осуществлять

\* Знаком \* обозначены воздухораспределители для общественных зданий, рабочая документация на которые разработана ЦНИИЭП инженерного оборудования Госстроя воздухораспределения в помещениях общественных зданий приведена в Рекомендациях по рациональному воздухораспределению в общественных зданиях М ЦНИИЭП инженерного оборудования, 1988

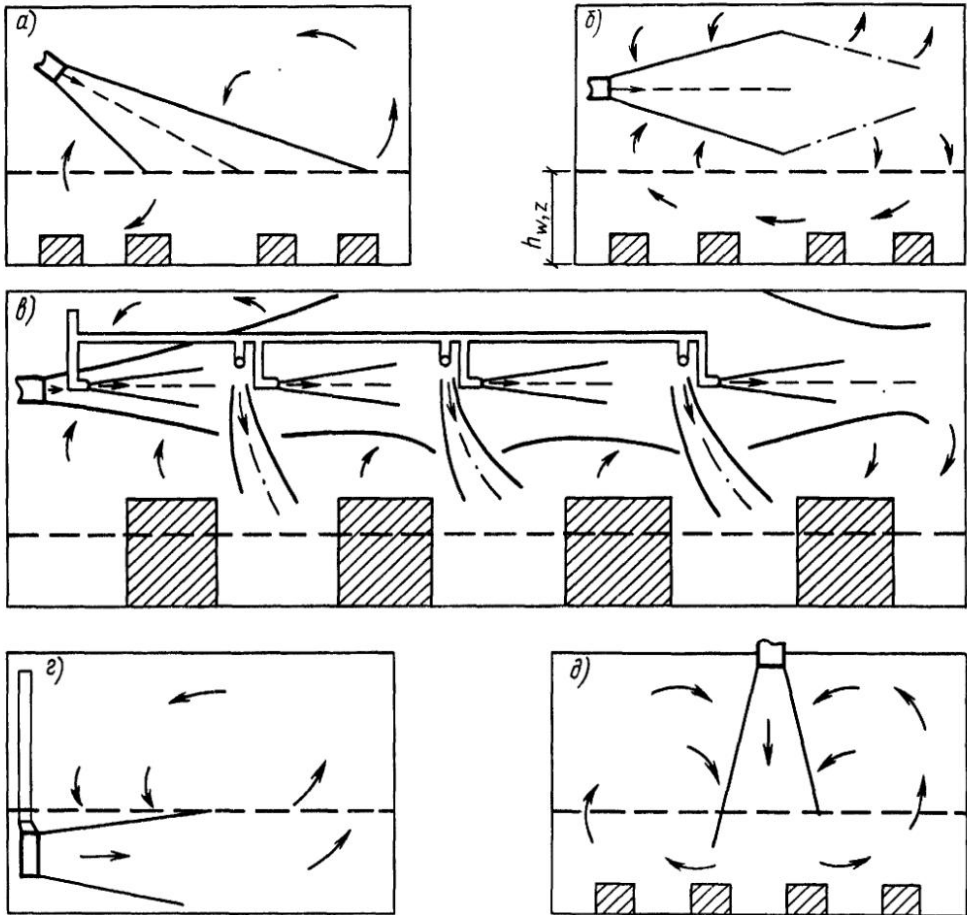


Рис. 17.4. Схемы подачи воздуха в производственные помещения первой категории

через воздухораспределители, позволяющие изменять угол наклона (ВВР) или угол наклона и форму струи от веерной до смыкающейся конической (ВР и ПРМ) и от неполной веерной до компактной (РВ), а также отопительно-вентиляционными системами с направляющими соплами.

Для размещения воздухораспределителя выбранного типа при ручном счете требуется:

1) выбрать соотношение сторон ( $a_1, b_1$ ) ячейки помещения (модуля), обслуживаемой одним воздухораспределителем (в частном случае модулем может являться все помещение);

2) с учетом рекомендуемого диапазона изменения относительной площади приточной

струи при поступлении ее в рабочую зону ( $\bar{A}_g$ ) выбрать величину  $\bar{A}_g$ ;

3) определить площадь пола, приходящуюся на одну струю ( $A_p = a_1 b_1$ , для плоских струй  $A_p = b_1$  из формул (17.38)–(17.42)\*, по выбранному соотношению сторон ( $a_1, b_1$ ) и величине  $\bar{A}_g$ ;

4) найти количество ВР, размещаемых в помещении, как наиболее близкое к частному от деления площади пола помещения на  $A_p$ . Следует учесть, что наименьшее количество ВР достигается при минимальном значении  $\bar{A}_g$ .

\* Для конических смыкающихся струй задаются расчетной площадью ВР ( $A_0$ ).

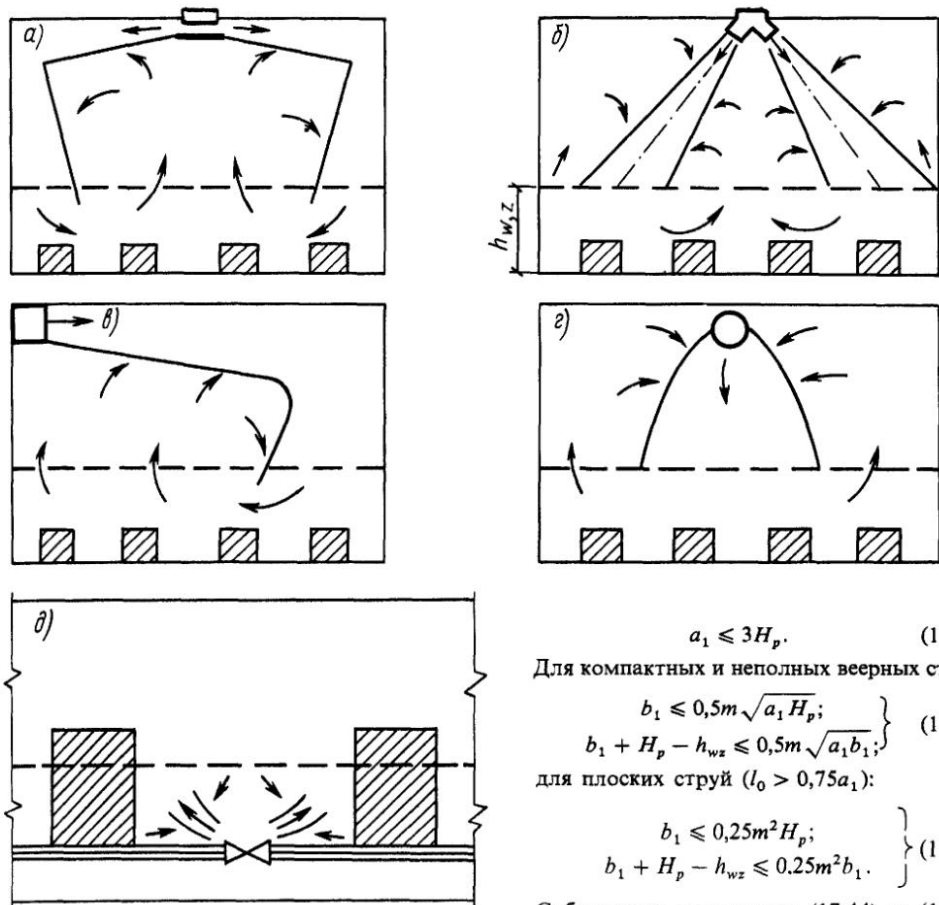


Рис. 17.5. Схемы подачи воздуха в производственные помещения второй категории

Равномерное распределение параметров воздуха в РЗ и отсутствие плохо вентилируемых зон достигается в случае подачи воздуха через ВР плафонного типа (схемы на рис. 17.4, д, 17.5, а, б) при соотношении большей ( $b_1$ ) и меньшей ( $a_1$ ) сторон модуля  $b_1 \leq 2a_1$ . При этом величина  $\bar{A}_g$  должна находиться в пределах, указанных в табл. 17.7.

При подаче воздуха через решетки (схема на рис. 17.5, е) необходимо выдерживать следующие геометрические соотношения \*:

\* При рассмотрении этой и последующих схем подачи воздуха предполагается, что ВР расположены по стороне помещения  $a_1$ , а выпускаемые струи развиваются параллельно стороне  $b_1$ .

$$a_1 \leq 3H_p. \quad (17.43)$$

Для компактных и неполных веерных струй:

$$\left. \begin{aligned} b_1 &\leq 0,5m\sqrt{a_1 H_p}; \\ b_1 + H_p - h_{wz} &\leq 0,5m\sqrt{a_1 b_1}; \end{aligned} \right\} \quad (17.44)$$

для плоских струй ( $l_0 > 0,75a_1$ ):

$$\left. \begin{aligned} b_1 &\leq 0,25m^2 H_p; \\ b_1 + H_p - h_{wz} &\leq 0,25m^2 b_1. \end{aligned} \right\} \quad (17.45)$$

Соблюдение неравенств (17.44) и (17.45) обеспечивает путь развития струи несколько меньший ее дальности с учетом стеснения струи как на горизонтальном, так и на вертикальном участках.

Площадь струи в месте поступления в рабочую зону должна находиться в пределах

$$0,5 \geq \bar{A}_g \geq 0,2. \quad (17.46)$$

ТАБЛИЦА 17.7. ДИАПАЗОН ИЗМЕНЕНИЯ  
ОТНОСИТЕЛЬНОЙ ПЛОЩАДИ  $\bar{A}_g$  ДЛЯ  
КОНИЧЕСКИХ И ВЕЕРНЫХ СТРУЙ

Вид струи	Величина $\bar{A}_g$	
	минимальная	максимальная
Коническая:		
смыкающаяся	0,2	0,5
несмыкающаяся	0,2	0,6
Веерная	0,5	0,7

При сосредоточенной подаче воздуха (схема на рис. 17.4, б) для исключения попадания ненастилающейся струи в рабочую зону прямым потоком обеспечивают соотношение

$$h - h_{w_1} > 0,30 \sqrt{a_1 H_p}, \quad (17.47)$$

где  $h$  — высота расположения ВР над уровнем пола, м.

Равномерность распределения скоростей и температур\* по площади рабочей зоны достигается при выполнении условий:

$$0,4 \leq \frac{b_1}{m \sqrt{a_1 H_p}} \leq 0,7; \quad (17.48)$$

$$0,8 \leq \frac{a_1}{H_p} \leq 3. \quad (17.49)$$

Первое условие требует, чтобы длина помещения (или части помещения) не превышала дальности струи, но была больше расстояния до второго критического сечения, так как в противном случае невозможно образование обратных потоков в рабочей зоне.

Второе условие регламентирует ширину помещения (или части помещения), обслуживаемого одним устройством.

Выбор модуля помещения при подаче непосредственно в рабочую зону (схема на рис. 17.4, г) следует производить с учетом неравенств:

$$a_1 \leq b_1; \quad (17.50)$$

$$b_1 \leq 0,7m \sqrt{a_1 H_p}. \quad (17.51)$$

Соотношения (17.47) и (17.51) необходимо выдерживать при размещении ВР и в случае подачи воздуха наклонными струями (схема на рис. 17.4, а).

Эффективное воздухораспределение неизотермическими струями обеспечивается:

а) для вертикальной подачи нагретого воздуха вниз компактными и неполными веерными струями при условии

$$x \leq 0,45H; \quad (17.52)$$

плоскими струями

$$x \leq 0,65H; \quad (17.53)$$

где  $x$  — расстояние от ВР до РЗ по вертикали;

б) для горизонтальной и наклонной

\* Рассматривается случай равномерного расположения источников тепловыделений по площади помещения.

(вверх) подачи охлажденного воздуха ненастилающимися струями и наклонной подачи\*\* нагретого воздуха в направлении РЗ при условии

$$x = (0,3 \div 0,5) l_p, \quad (17.54)$$

где  $x$  — расстояние по горизонтали от ВР до места пересечения ПМС с верхним уровнем РЗ при горизонтальной подаче или расстояние от ВР до вершины струи при наклонной подаче;

в) для горизонтальной подачи нагретого воздуха ненастилающимися струями при условии

$$x > 0,3l_p, \quad (17.55)$$

где  $x$  — расстояние по горизонтали от ВР до места пересечения МПС с потолком;

г) для горизонтальной подачи нагретого воздуха настилающимися струями при условии

$$x \leq 0,6H, \quad (17.56)$$

где  $x$  — сумма расстояний по горизонтали и вертикали от ВР до места пересечения ПМС с верхним уровнем РЗ;

д) для горизонтальной подачи воздуха настилающимися струями при условии

$$x_0 > 0,7l_p, \quad (17.57)$$

где  $x_0$  — расстояние по горизонтали от ВР до места отрыва струи охлажденного воздуха от плоскости потолка или нагретого воздуха от пола.

При горизонтальной подаче воздуха на высоте  $x > 0,5H_p$  и омывании РЗ обратным потоком избыточную температуру приточного воздуха следует принимать не более:

для компактных струй

$$\Delta t_0 = 1300 \frac{v_0^2 \sqrt{A_0}}{mn A_p}; \quad (17.58)$$

для плоских

$$\Delta t_0 = 400 \frac{v_0^2}{mn} \sqrt{\frac{b_0}{H_p^3}}. \quad (17.59)$$

Отсутствие сноса конвективных потоков при выпуске воздуха через плафоны достигает-

\*\* С целью увеличения тепловой нагрузки (или  $\Delta t_0$ ) на систему воздушного отопления допускается превышение вершины приточной струи на 1–2 м над верхним уровнем РЗ (рис. 17.3, в). Определение необходимого превышения приведено в гл. 12 «Воздушное отопление» Справочника проектировщика, ч. 1. Следует учитывать, что при изменении  $\Delta t_0$  может возникнуть необходимость регулирования угла выпуска струи в вертикальной плоскости. При этом должно обеспечиваться условие  $x_n = (0,03 \div 0,5) l_p$ .

ся подачей воздуха коническими смыкающимися струями несогласно с теплоисточниками (в проходах между оборудованием) таким образом, чтобы выполнялись два условия.

$$l \geq \frac{2}{m} (h - h_n), \quad (17.60)$$

$$h + l \geq 3,3 m v_0 \sqrt{A_p}, \quad (17.61)$$

где  $l$  — расстояние между краем теплоисточника и осью зоны струи, м;  $h$  — высота расположения ВР на 1 см пола, м;  $h_n$  — высота теплоисточника, м.

Если подача воздуха через плафоны осуществляется веерными, коническими струями или невозможно организовать подачу воздуха в проходы между оборудованием коническими смыкающимися струями, приточные струи должны определять циркуляцию воздуха в помещении и доминировать над конвективными, что достигается при соотношении энергий взаимодействующих струй, определяемом неравенством

для конических струй

$$\frac{m}{H_p^2 Q_k} \left( \frac{L_0}{\sqrt{A_p}} \right)^3 \geq 5.67 \cdot 10^{10}, \quad (17.62)$$

для веерных струй

$$\frac{m}{\left( \frac{\sqrt{A_p}}{2} + 0.7 H_p \right) H_p Q_k} \times \left( \frac{L_0}{\sqrt{A_p}} \right)^3 \geq 1.865 \cdot 10^{10}, \quad (17.63)$$

где  $Q_k$  — конвективный тепловой поток (конвективная составляющая теплового десигнации) от источника теплоты, приходящийся на один ВР, Вт

При организации воздухоснабжения в производственных помещениях с избыtkами теплоты, в которых требуется обеспечить заданную равномерность температур по площади рабочей зоны помещения\*, максимальные значения температур в струе, (17.10) и (17.12), должны

подчиняться правилу:

$$\Delta t_x \leq \frac{\sigma_i}{K_t}, \quad (17.64)$$

максимальное значение среднего квадратичного отклонения  $\sigma$  зависящее от энтальпии максимума

мального отклонения температуры воздуха в рабочей зоне ( $\Delta t_{w,z}^{\max}$ )

$$\sigma_i = \Delta t_{w,z}^{\max} / 4. \quad (17.65)$$

Коэффициент вариации  $K_t$  для различных способов воздухораспределения принимают равным:  $K_t = 0.8$  при подаче воздуха через плафоны коническими струями;  $K_t = 1.5$  при подаче воздуха через плафоны веерными струями и через решетки компактными и неполными веерными струями.

## 17.4. РАСПРЕДЕЛЕНИЕ ВОЗДУХА ЧЕРЕЗ ПЕРФОРИРОВАННЫЕ ВОЗДУХОВОДЫ, ПОТОЛКИ И ПАНЕЛИ

Применение перфорированных воздуховодов (рис. 17.6), потолков и панелей (рис. 17.7) обеспечивает интенсивное падение скоростей, уменьшение разности температур и перемешивание подаваемого воздуха с окружающим в непосредственной близости от места выпуска (на участке формирования, который для перфорированных потолков и панелей равен  $x_f = 5t$ , где  $t$  — расстояние между отверстиями для выпуска воздуха), что делает этот способ подачи предпочтительным для низких помещений

Перфорированные потолки имеют площадь перфорированной поверхности 50% и более, перфорированные панели менее 50% общей площади помещения ( $A_{perf} < 0.5 A_p$ ). Перфорированные поголки и панели, как правило, собираются из отдельных плит (металлических, гипсовых, древесно-волокнистых и т. д.). Коэффициент живого сечения плит принимается в пределах 0,5–5%, диаметр отверстий — 3–10 мм (при несерийном изготовлении до 25 мм). Связь между шагом  $t$ , диаметром отверстий  $d$  и коэффициентом живого сечения  $K_{f,p} = A_0 / A_{perf}$ , где  $A_0$  — суммарная площадь выпускных отверстий; при расположении отверстий на разных расстояниях друг от друга определяется зависимостью

$$t = 0.89 \frac{d}{\sqrt{K_{perf}}}, \quad (17.66)$$

Перфорированные потолки с большой площадью перфорированной поверхности рекомендуется применять при небольших разностях температур ( $\Delta t_0 = 3-5^\circ\text{C}$ ). При больших разностях температур для обеспечения устойчивой циркуляции воздушных потоков в поме-

\* Как правило, к таким помещениям, которым относятся кондиционируемые, в которых изменения температуры в рабочей зоне не должно превышать  $\pm 1^\circ\text{C}$  от средней величины, т. е.  $\Delta t_{w,z}^{\max} = t_{w,z}^{\min} = 2^\circ\text{C}$

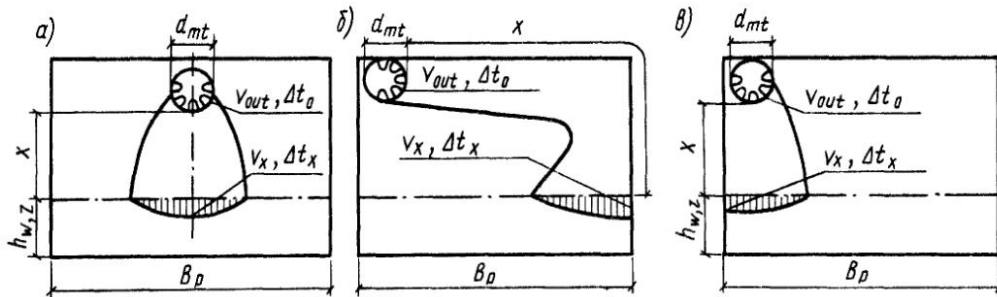


Рис. 17.6. Схемы подачи воздуха в помещения через перфорированные воздуховоды  
а – вертикально вдали от ограждений, б – горизонтально вдоль ограждения, в – вертикально вдоль ограждения

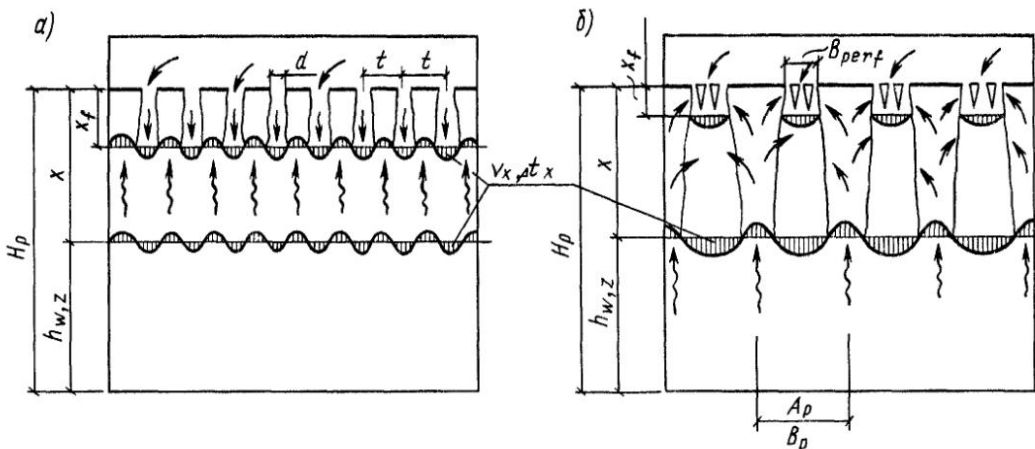


Рис. 17.7. Схемы подачи воздуха в помещения через перфорированные потолки (а) и перфорированные панели (б)

иении рекомендуется сочетать перфорированные поверхности с глухими участками потолка (перфорированные панели). При необходимости целесообразно сочетать установку перфорированных плит с шумопоглощающими и осветительными устройствами.

Рекомендуемая скорость выхода воздуха из отверстий  $v_{out}$  при подводе в подшивное пространство 0,5–4 м/с. При подводе воздуха распределительными воздуховодами непосредственно к перфорированным панелям верхний предел скорости выхода ограничивается акустическими требованиями. При подаче воздуха в подшивное пространство и  $v_{out} > 2$  м/с следует принимать меры по герметизации этого пространства.

При подаче охлажденного воздуха в под-

шивное пространство с температурой на 10° ниже температуры помещения следует принимать меры по теплоизоляции перекрытия над ним. Температура наружных поверхностей перфорированного потолка или панелей во избежание каплеобразования должна быть выше температуры насыщения для воздуха помещения.

Расчет воздухораспределителей ВПК1 и ВПК2 (см. табл. 17.6 и рис. 17.6) может вестись по одному из двух вариантов.

При отсутствии специальных требований к равномерности распределения скоростей и температур в рабочей зоне помещения расчет воздухораспределителей сводится к подбору их количества и диаметров с целью обеспечения максимальных скоростей и перепадов темпе-

ратур в образующемся воздушном потоке, отвечающих требованиям СНиП 2.04.05-86 (прил. 5 и 6).

В случае необходимости обеспечивать нормируемые параметры воздуха для всей рабочей зоны ВПК следует размещать таким образом, чтобы их длина соответствовала длине обслуживаемого участка помещения, а отношение ширины струи в месте поступления в рабочую зону  $b_g$  к ширине обслуживаемого участка  $B_p$  находилось в пределах:

$$\frac{b_g}{B_p} = 0,2 \div 0,5 \text{ - при подаче охлажденного}$$

воздуха;

$\frac{b_g}{B_p} = 0,2 \div 1,0 \text{ - при подаче нагретого воздуха или воздуха, имеющего температуру, равную температуре воздуха помещения.}$

Величина  $b_g$  определяется по формуле

$$b_g = 2,6d_{mt} + 0,44 \quad (17.67)$$

$$(10d_{mt} \geq x \geq 1,5d_{mt}).$$

За величину  $x$  принимается длина пути развития струи.

Расчет воздухораспределителей ВПК3, размещаемых, как правило, по схеме  $a$  на рис. 17.6, сводится к подбору их количества и диаметров с целью обеспечения максимальных скоростей в образующемся воздушном потоке, не превышающих нормируемые в соответствии с табл. 17.1.

Удаление воздуха из помещения в случае применения перфорированных потолков, как правило, рекомендуется осуществлять из рабочей зоны. При раздаче воздуха через перфорированные панели и перфорированные воздуховоды размещение вытяжных отверстий возможно как в рабочей, так и в верхней зоне помещения.

Максимальную скорость движения воздуха  $v_x$  и перепад температур  $\Delta t_x$  в РЗ при подаче воздуха через перфорированные потолки ( $A_{perf} > 0,5A_p$ ) и панели ( $x \leq 4b_{perf}$ , где  $b_{perf}$  – размер меньшей стороны перфорированной панели), т. е. когда в пределах РЗ находится начальный участок струи, определяют по формулам:

$$v_x = v_{out} \sqrt{K_{f,p}} K_{con} K_n; \quad (17.68)$$

$$\Delta t_x = \Delta t_0 \sqrt{K_{f,p}} \frac{1}{K_{con} K_n}, \quad (17.69)$$

где  $K_{con} = 0,4$ .

Коэффициент  $K_n$  рассчитывают по формулам:

для перфорированных потолков

$$K_n = \sqrt[3]{1 \pm 3,9 \frac{\Delta t_0 d}{v_{out}^2 K_{f,p}}}; \quad (17.70)$$

для квадратных панелей

$$K_n = \sqrt[3]{1 \pm 0,025 \frac{\Delta t_0 x^2}{v_{out}^2 K_{con}^3 b_{perf} \sqrt{K_{f,p}}}}; \quad (17.71)$$

для прямоугольных панелей

$$K_n = \sqrt[3]{1 \pm 0,025 \frac{\Delta t_0}{v_{out}^2 K_{con}^3} \sqrt{\frac{x^3}{b_{perf} K_{f,p}}}}; \quad (17.72)$$

для перфорированных воздуховодов

$$K_n = \sqrt[3]{1 \pm a \left( \frac{x}{d_{mt}} \right)^{\frac{3}{2}} \frac{d_{mt} \Delta t_0}{\sqrt{K_{f,p} v_{out}^2}}}, \quad (17.73)$$

где  $a = 0,192$  при подаче воздуха по схеме на рис. 17.6,  $a$  и  $a = 0,137$  по схеме на рис. 17.6,  $b$ ;  $K_{f,p} = 0,047$  для ВПК1 и  $K_{f,p} = 0,07$  для ВПК2 и ВПК3.

Знак «+» в формулах (17.70) – (17.73) принимается при подаче охлажденного воздуха, знак «–» – при подаче нагретого воздуха.

При воздушном отоплении с целью обеспечения поступления теплого воздуха в рабочую зону  $K_n$  должен быть не менее 0,4.

При подаче воздуха горизонтально по схеме на рис. 17.6,  $b$  во избежание отрыва охлажденного воздуха от потолка  $K_n$ , рассчитанный по формуле (17.73) при  $x = 0,8B_p$  и  $a = 0,137$ , должен быть не более 1,3. При этом в формулах (17.78) и (17.79) следует принимать  $K_n = 1$ . Если по схеме на рис. 17.6,  $b$  осуществляется подача нагретого воздуха, то  $K_n$  в формулах (17.78) и (17.79) определяется по формуле (17.73) при  $a = 0,137$  и должен быть не менее 0,4.

В случае применения перфорированных панелей и при  $x > 4b_{perf}$ , т. е. когда в пределах РЗ находится основной участок струи, расчет производится по формулам:

для квадратных панелей

**ТАБЛИЦА 17.8. КОЭФФИЦИЕНТ СТЕСНЕНИЯ  
 $K_{con}$  ДЛЯ ПЕРФОРИРОВАННЫХ ПОТОЛКОВ И  
ПАНЕЛЕЙ**

Тип перфорированной поверхности	$\bar{A}$	Значения $K_{con}$ при $\bar{x}$ , равном			
		1	2	3	4
Квадратная панель	0,1 и менее	1	0,8	0,45	
$\bar{A} = A_{perf}/A_p;$	0,2	0,95	0,55	0,35	
	0,3	0,85	0,45	0,3	0,25
$\bar{x} = x/A_p$	0,4	0,7	0,4	0,3	
	0,5	0,6	0,35	0,25	
Прямоугольная панель	0,1 и менее	0,9	0,65	0,5	
$\bar{A} = b_{perf}/B_p$	0,2	0,75	0,55	0,45	
	0,3	0,65	0,5	0,4	0,3
$\bar{x} = x/B_p$	0,4	0,55	0,45	0,35	
	0,5	0,5	0,4	0,35	
Перфорированный воздуховод	0,1 и менее	0,75	0,6	0,4	
$\bar{A} = b_q/B_p$	0,2	0,6	0,4	0,3	0,3
	0,3	0,4	0,35	0,3	

Примечание.  $\bar{A}$ — относительная площадь перфорации;  $\bar{x}$ — относительный путь развития струй от плоскости истечения до верхней границы рабочей зоны.

$$v_x = 4,5 v_{out} \sqrt{K_{f,p}} \times \\ \times \frac{b_{perf}}{x} K_{con} K_n; \quad (17.74)$$

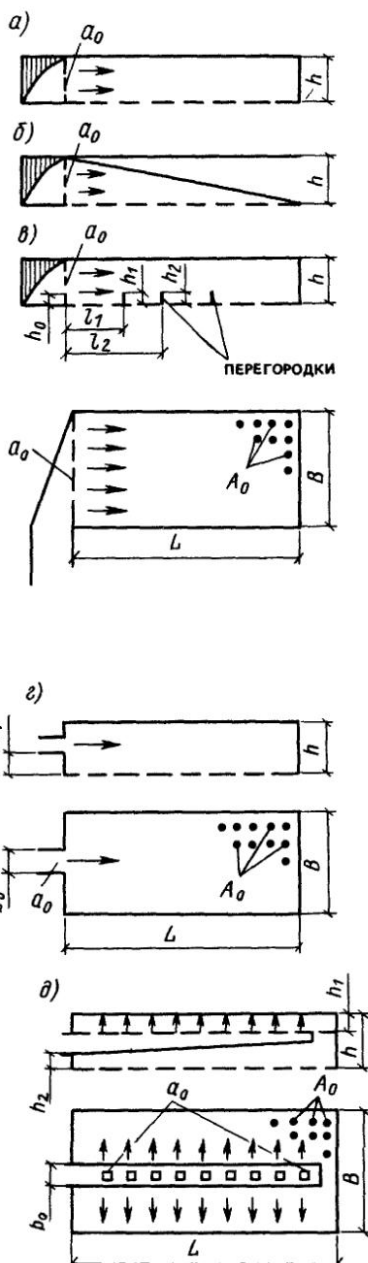
$$\Delta t_x = 4 \Delta t_0 \sqrt{K_{f,p}} \times$$

$$\times \frac{b_{perf}}{x} \frac{1}{K_{con} K_n}; \quad (17.75)$$

для прямоугольных панелей

$$\times \sqrt{\frac{b_{perf}}{z}} K_{con} K_n; \quad (17.76)$$

$$\Delta t_x = 1,7 \Delta t_0 \sqrt{K_{f,p}} \times \\ \times \sqrt{\frac{b_{perf}}{x}} \frac{1}{K_{con} K_u}, \quad (17.77)$$



**Рис. 17.8. Схемы подачи воздуха в подшивное пространство**

*a* - пространство над потолком не разгорожено, вариант допустим при  $A_0/a \leq 50$ ;  $L/B \leq 5$ ;  $L/h \leq 30$ ; *b* - пространство над потолком скосено, вариант допустим при  $A_0/a \leq 50$ ;  $L/B \leq 5$ ;  $L/h \leq 25$ ; *c* - пространство над потолком разделено перегородками, высоту и шаг которых принимают в зависимости от их числа  $n$  (см. табл. 17.9), *g* - при  $A_0/a \leq 7$ ;  $L/B = 0.5 + 1/n$ ;  $L/h \leq 5$ ;  $h_1/h \geq 0.06$ ; *d* - при  $A_0/a \leq 50$ ;  $L/B \leq 5$ ;  $L/h \leq 20$ ;  $h_1/h \geq 0.3$ ;  $h_1/h \geq 0.3$ ;  $b_0/B \geq 0.1$

ТАБЛИЦА 17.9. НАЗНАЧЕНИЕ ВЫСОТЫ  
И ШАГА ПЕРЕГОРОДОК  
В ЗАВИСИМОСТИ ОТ ИХ ЧИСЛА

Относительный размер (см. рис. 17.8)	Число перегородок	
	5	7
$L/h$ (меньше или равно)	10	20
$h_0/h$	0,05	0,03
$h_1/h$	0,13	0,075
$h_2/h$	0,25	0,14
$h_3/h$	0,56	0,23
$h_4/h$	0,75	0,36
$h_5/h$	—	0,52
$h_6/h$	—	0,73
$l_1/L$	0,06	0,05
$l_2/L$	0,19	0,12
$l_3/L$	0,45	0,21
$l_4/L$	0,71	0,34
$l_5/L$	—	0,51
$l_6/L$	—	0,73

где  $K_{con}$  определяется по табл. 17.8,  $K_n$  — по формуле (17.71) или (17.72);

для перфорированных воздуховодов

$$v_x = 1,25 v_{out} \sqrt{K_{f,p}} m \times \\ \times \sqrt{\frac{d_{mt}}{x}} K_{con} K_n K_{in}; \quad (17.78)$$

$$\Delta t_x = 1,25 \Delta t_0 \sqrt{K_{f,p}} n \times \\ \times \sqrt{\frac{d_{mt}}{x}} \frac{K_{in}}{K_{con} K_n}. \quad (17.79)$$

При расчете подачи воздуха по схемам на рис. 17.6, б, в величины  $v_x$  и  $\Delta t_x$  увеличиваются в  $\sqrt{2}$  раз.

Величина  $K_{in}$  при расчете  $v_x$  и  $\Delta t_x$  принимается равной 1, за исключением случая выпуска воздуха из ВПК1 и ВПК2 горизонтальными струями (схема на рис. 17.6, б), направленными навстречу друг другу. Коэффициент взаимодействия за счет соударения струй принимают равным  $K_{in} = 0,6$  в формуле (17.78) и  $K_{in} = 1$  в формуле (17.79). Коэффициент стеснения  $K_{con}$  определяется по табл. 17.8.

Применение перфорированных потолков и панелей требует равномерного распределения воздуха по всей площади перфорации. Степень неравномерности допускается не более 30%. Для обеспечения указанной равномерности

распределения воздуха рекомендуются схемы подвода воздуха в подшивное пространство (рис. 17.8), которые можно использовать как элементы подшивного пространства при разветвленной сети подводящих каналов. Участки подшивного пространства можно разделять перегородками (табл. 17.9) на отсеки, что позволяет регулировать расход воздуха по отдельным участкам перфорированного потолка.

При необходимости выпуска воздуха через перфорированные панели со скоростью более 4 м/с рекомендуется осуществлять подвод воздуха каналами (воздуховодами) непосредственно к воздухораздающим панелям.

## 17.5. УДАЛЕНИЕ ВОЗДУХА ИЗ ПОМЕЩЕНИЯ

Удаление воздуха из помещений системами вентиляции рекомендуется из верхней зоны (В3) при значительных избытках явной теплоты и допускается на любом уровне при незначительных избытках явной теплоты. При выделении пыли удаление воздуха следует предусматривать из нижней зоны.

При выделении в помещении вредных газов и паров, а также горючих газов и паров горючих жидкостей удаление воздуха, согласно СНиП 2.04.05-86, следует производить одновременно из В3 и Р3.

Если удельный вес газов и паров, поступающих в помещение, меньше удельного веса воздуха Р3 или если их выделение (при любом удельном весе) сопровождается устойчивыми воздушно-тепловыми потоками, направленными вверх, то из Р3 следует предусматривать удаление системами общеобменной вентиляции и системами местных отсосов  $\frac{1}{3}$  расхода воздуха, рассчитанного на разбавление выделяющихся вредных или горючих газов и паров, но не менее расхода воздуха, удаляемого через местные отсосы из Р3.

Если удельный вес газов и паров больше удельного веса воздуха Р3 и выделение их не сопровождается устойчивыми восходящими воздушно-тепловыми потоками, то из Р3 следует предусматривать удаление  $\frac{2}{3}$  расчетного расхода, но не менее расхода, удаляемого через местные отсосы из Р3.

Во всех случаях при выделении вредных или горючих газов и паров следует предусматривать удаление из В3 остального расчетного

расхода воздуха или большего расхода, если это требуется по избыткам теплоты и влаги. Расход воздуха, удаляемого из ВЗ, должен быть не менее однократного воздухообмена в 1 ч в помещениях высотой 6 м и менее, а в помещениях высотой более 6 м – не менее 6 м<sup>3</sup>/ч на 1 м<sup>2</sup> площади пола.

Приемные устройства рециркуляционного воздуха следует размещать, как правило, в РЗ.

Размещение вытяжных отверстий (ВО) для удаления воздуха рекомендуется по возможности в зонах, в которых наблюдаются наиболее высокие температуры и концентрации вредных выделений. Если ВО располагать в зоне действия приточной струи, то часть приточного свежего воздуха удаляется еще до поступления в РЗ, поэтому необходимый воздухообмен приходится увеличивать. Рециркуляционные и вытяжные отверстия следует размещать так, чтобы всасывающие факелы не оказывали непосредственного влияния на близко расположенные участки РЗ, но по возможности усиливали движение воздуха в застойных зонах помещений, выравнивая там температуру и влажность. Удаление воздуха снизу эффективно в тех случаях, когда ВО располагаются вблизи слабонагретых источников теплоты.

Схема размещений ВО в верхней зоне помещения выбирается в зависимости от способа подачи приточного воздуха.

При равномерно распределенной подаче воздуха непосредственно в рабочую зону или в направлении РЗ с высоты 4–6 м схема размещения ВО не влияет на величину расчетного воздухообмена. Распределение параметров воздушной среды по рабочей зоне определяется в этом случае только взаимодействием приточных струй и размещением источников выделения теплоты и вредных веществ.

При подаче в помещение компактными струями под перекрытием с размещением центров приточных отверстий на высоте более  $\frac{2}{3} H_p$  вытяжные отверстия следует размещать на расстоянии более  $0,3\sqrt{A_p}$  (где  $H_p$  – высота помещения, м;  $A_p$  – площадь, м<sup>2</sup>, поперечного сечения помещения в плоскости, перпендикулярной потоку воздуха, приходящаяся на один ВР) от плоскости подачи в сторону, противоположную движению приточных струй. Размещение ВО на расстоянии менее (2,5–3)  $A_p$  в направлении движения приточных струй не рекомендуется, так как это связано с необходимостью

увеличения расчетного воздухообмена.

Максимальный расход воздуха  $L_{max}$ , м<sup>3</sup>/ч, который допускается удалять из верхней зоны через одно вытяжное отверстие, следует определять по формулам:

а) для круглого или прямоугольного отверстия с отношением сторон меньше 5 и если высота расположения вытяжного отверстия в 2 раза и более превышает высоту рабочей зоны, т. е. при  $\bar{h}_{w,z} = \frac{h_{w,z}}{H_0} \leq 0,5$ :

$$L_{max} = 3600 \frac{4,1 - 6,5\bar{h}_{w,z}^2 - 2,3\bar{h}_{w,z}}{0,8\bar{h}_{w,z}^2 + 0,2h_{w,z} + 0,5} v_n H_0^2; \quad (17.80)$$

б) для вытянутого (отношение сторон больше 5) прямоугольного отверстия и  $\bar{h}_{w,z} \leq 0,8$

$$L_{max} = 3600 [2 - 3,1\bar{h}_{w,z}^2 + + 0,8\bar{h}_{w,z}] v_n H_0, \quad (17.81)$$

где  $H_0$  – высота расположения вытяжного отверстия над полом, м;  $h_{w,z}$  – высота рабочей зоны, м;  $v_n$  – нормируемая допустимая скорость, м/с, воздуха в рабочей зоне.

ВО следует располагать (в различных схемах их размещения) на расстоянии  $t \geq 2,5(d_1 + d_2)$  между центрами любых двух вытяжных отверстий диаметрами  $d_1$  и  $d_2$ .

## 17.6. ОПРЕДЕЛЕНИЕ РАСХОДА ПРИТОЧНОГО ВОЗДУХА

Расход приточного воздуха  $L$ , м<sup>3</sup>/ч, подаваемого в помещения, определяется при плотности приточного и удаляемого воздуха 1,2 кг/м<sup>3</sup> по формулам:

а) при расчете по избыткам явной теплоты

$$L_h = L_{w,z} + + \frac{3,6Q - cL_{w,z}(t_{w,z} - t_{in})}{cK_t(t_{w,z} - t_{in})}; \quad (17.82)$$

б) при расчете по массе выделяющихся вредных веществ

$$L_{p_0} = L_{w,z} + + \frac{m_{p_0} - L_{w,z}(q_{w,z} - q_{in})}{K_q(q_{w,z} - q_{in})}; \quad (17.83)$$

в) при расчете по избыткам влаги

$$L_w = L_{w,z} +$$

$$+ \frac{W - 1,2L_{w,z}(d_{w,z} - d_{in})}{1,2K_d(d_{w,z} - d_{in})}, \quad (17.84)$$

где  $K_t$ ,  $K_q$ ,  $K_d$  – коэффициенты воздухообмена, устанавливающие связь температуры, концентрации вредных веществ и влагосодержания в удаляемом воздухе и РЗ:

$$K_t = \frac{t_l - t_{in}}{t_{w,z} - t_{in}}; \quad (17.85)$$

$$K_q = \frac{q_l - q_{in}}{q_{w,z} - q_{in}}; \quad (17.86)$$

$$K_d = \frac{d_l - d_{in}}{d_{w,z} - d_{in}}. \quad (17.87)$$

В формулах (17.82)–(17.87) приняты условные обозначения:

$L_{w,z}$  – расход воздуха, удаляемого из РЗ местными отсосами, общеобменной вентиляцией и на технологические нужды,  $\text{м}^3/\text{ч}$ ;  $Q$  – избыточный явный тепловой поток в помещение,  $\text{Вт}$ ;  $c$  – теплоемкость воздуха, равная 1,2  $\text{кДж}/(\text{м}^3 \cdot \text{с})$ ;  $t_{w,z}$  – температура воздуха в РЗ помещения, удаляемого местными отсосами, общеобменной вентиляцией и на технологические нужды,  $^{\circ}\text{С}$ ;  $t_{in} = t_0$  – температура воздуха, подаваемого в помещение,  $^{\circ}\text{С}$ , равная температуре приточного воздуха на выходе из ВР;  $t_l$  – температура воздуха, удаляемого из помещения за пределами РЗ,  $^{\circ}\text{С}$ ;  $m_{p_0}$  – масса каждого из вредных веществ, поступающих в воздух помещения,  $\text{мг}/\text{ч}$ ;  $q_{w,z}$  – концентрация вредного вещества в воздухе, удаляемом из РЗ,  $\text{мг}/\text{м}^3$ ;  $q_l$  – концентрация вредного вещества в воздухе, удаляемом из помещения за пределами РЗ,  $\text{мг}/\text{м}^3$ ;  $q_{in}$  – концентрация вредного вещества в воздухе, подаваемом в помещение,  $\text{мг}/\text{м}^3$ ;  $W$  – избытки влаги в помещении,  $\text{г}/\text{ч}$ ;  $d_{w,z}$  – влагосодержание воздуха, удаляемого из РЗ,  $\text{г}/\text{кг}$ ;  $d_l$  – влагосодержание воздуха, удаляемого из помещения за пределами РЗ,  $\text{г}/\text{кг}$ ;  $d_{in}$  – влагосодержание воздуха, подаваемого в помещение,  $\text{г}/\text{кг}$ .

При одновременном выделении в воздухе помещения теплоты, вредных веществ и влаги следует принимать большую из величин, полученных по формулам (17.82)–(17.84). При этом, если в помещение поступает несколько видов вредных веществ, не обладающих суммацией действия, расход приточного воздуха (по массе выделяющихся вредных веществ) следует принимать по большему из полученных результатов (по определяющей вредности) для каждого

ТАБЛИЦА 17.10. КОЭФФИЦИЕНТЫ ВОЗДУХООБМЕНА ДЛЯ ПОМЕЩЕНИЙ СО ЗНАЧИТЕЛЬНЫМИ ИЗБЫТКАМИ ЯВНОЙ ТЕПЛОТЫ И ПОДАЧЕ ВОЗДУХА НЕПОСРЕДСТВЕННО В РЗ

Вид помещения	$K_t$	$K_q$
Кузнечно-прессовые цехи, печные пролеты сталеплавильных, рельсопрокатных цехов и цехов эмалирования, корпуса нагревательных колодцев, блюминги, склады заготовок	2	2,7
Термические цехи	1,9	2,6
Сушильные »	1,8	2,5
Литейные »	1,7	2,3
Доменные и кузнечные »	1,6	2,2
Прокатные »	1,5	2,1
Электролизные цехи, машинные залы и компрессорные	1,4	1,9
Цехи вулканизации и производство изделий из пластмасс	1,3	1,8

из веществ. Если в воздухе помещения выделяется несколько видов вредных веществ одностороннего действия, следует суммировать расходы приточного воздуха, полученные для каждого из веществ в отдельности. Расход приточного воздуха следует принимать не менее суммарного расхода воздуха на местные отсосы и технологические нужды. Расход приточного воздуха должен быть не меньше нормированного минимального расхода наружного воздуха, подаваемого в помещение, необходимого для обеспечения норм взрывопожарной безопасности, а также требуемого по нормируемой кратности воздухообмена или удельного расхода приточного воздуха.

Температуру  $t_{w,z}$ , концентрацию вредных веществ  $q_{w,z} = \text{ПДК}$  и влагосодержание  $d_{w,z}$  воздуха РЗ следует принимать в соответствии с требованиями к метеорологическим условиям в помещениях, установленными ГОСТ 12.1.05–88 и СНиП 2.04.05–86.

При выборе способа подачи воздуха предпочтение следует отдавать системам, имеющим больший коэффициент воздухообмена, и окончательно принимать способ подачи исходя из минимума приведенных затрат с учетом изменения коэффициента воздухообмена в период эксплуатации в течение года.

Коэффициенты воздухообмена в конкретных частных случаях принимаются по нормативным или экспериментальным данным. Для

ТАБЛИЦА 17.11. КОЭФФИЦИЕНТЫ ВОЗДУХООБМЕНА ДЛЯ ПОМЕЩЕНИЙ С НЕЗНАЧИТЕЛЬНЫМИ ИЗБЫТКАМИ ЯВНОЙ ТЕПЛОТЫ

Способ подачи воздуха	Коэффициенты воздухообмена $K_t$ и $K_q$ при кратности воздухообмена в помещении, $\frac{V}{V_0}$							
	3		5		10		15 и более	
	$K_t$	$K_q$	$K_t$	$K_q$	$K_t$	$K_q$	$K_t$	$K_q$
Непосредственно в РЗ	1,3	1,85	1,2	1,4	1,05	1,15	1	1
Наклонными струями в направлении РЗ с высоты:								
не более 4 м	1,15	1,4	1,1	1,2	1	1,1	1	1
более 4 м	1	1,2	1	1,1	1	1,05	1	1
Сосредоточенно выше РЗ	0,95	1,1	1	1,05	1	1	1	1
То же, с использованием направляющих сопел	1	1	1	1	1	1	1	1
Сверху вниз струями:								
настилающимися	0,95	1,1	1	1,05	1	1	1	1
коническими	1,05	1,1	1	1,05	1	1	1	1
плоскими	1,1	1,2	1,05	1,1	1	1,05	1	1

ТАБЛИЦА 17.12. ОТНОСИТЕЛЬНЫЕ РАСХОДЫ ВОЗДУХА ДЛЯ ВЫЧИСЛЕНИЯ КОЭФФИЦИЕНТОВ ВОЗДУХООБМЕНА

Относительный расход воздуха $\bar{L}$	Вид струи		
	компактная, неполная веерная, коническая	плоская	веерная
В приточной струе $\bar{L}_g$	$\frac{2}{m} \frac{x}{\sqrt{A_0}}$	$\frac{1,4}{m} \sqrt{\frac{x}{b_0}}$	$\frac{1,4}{m} \frac{x}{\sqrt{A_0}}$
В приточной струе при расположенной в ней ВО $\bar{L}_t$	$\bar{L}_g - (1 - \bar{L}_{w,z}) \frac{x}{l}$	$\bar{L}_g - (1 - \bar{L}_{w,z}) \sqrt{\frac{x}{l}}$	$\bar{L}_g - (1 - \bar{L}_{w,z}) \frac{x}{l}$
Во II критическом сечении стесненной приточной струи $\bar{L}_{cr}$	$0,57 \sqrt{\frac{A_p}{A_0}}$	-	-
В конвективной струе $\bar{L}_k$	$\frac{22 \sqrt{Q_k x^3}}{L_0}$	-	-

Примечание. В формулах приняты условные обозначения:

$x$  – для приточных струй при подаче в РЗ – расстояние от ВР до границы ячейки помещения, обслуживаемого этим ВР, или до теплоисточника, если струя движется по направлению к нему, при подаче выше РЗ – расстояние от ВР до РЗ по направлению движения струи; для конвективных струй – расстояние от верха теплоисточника до ВО, м;  $l$  – расстояние от ВР до ВО по направлению движения струи, м;

$Q_k$  – конвективная составляющая тепловыделений от источника теплоты (единицы оборудования). Вт. Для определения  $K_t$  ячейки помещения, обслуживаемого одним ВР, по расчетным соотношениям табл. 17.12 ( $L_h = L_0$ ) при наличии нескольких теплоисточников в ячейке в формулы табл. 17.12 следует подставлять суммарные величины  $\bar{Q}_k$  и  $\bar{L}_k$  от этих источников.

помещений со значительными избытками явной теплоты и подача воздуха непосредственно в РЗ ориентировочные значения коэффициентов воздухообмена  $K_t$  и  $K_q$  могут быть определены по табл. 17.10, для помещений с незначительными избытками явной теплоты – по

табл. 17.11. При отсутствии данных коэффициент воздухообмена  $K_d$  рекомендуется принимать равным  $K_q$ .

Коэффициенты воздухообмена по теплоте  $K_t$  определяют расчетом по методическим рекомендациям (Определение количества при-

точного воздуха для производственных помещений с механической вентиляцией. – Л.: ВНИИОТ, 1983). Если по расчету величина  $K_t$ , при подаче нагретого воздуха (режим отопления) окажется больше единицы, то следует принимать  $K_t = 1$ .

Значения  $K_t$  при избытках явной теплоты рассчитывают с помощью соотношений, приведенных в табл. 17.12 и 17.13. При расчете  $K_t$  по зависимостям табл. 17.12 избыточный явный тепловой поток ( $Q$ ) в помещение или ячейку помещения, обслуживающую одним ВР, принимается с учетом теплопотерь через ограждения. Теплоизбытки в рабочей зоне ( $Q_{w,z} > 0$ ) складываются из конвективной  $Q_{w,z,k}$  и лучистой  $Q_{w,z,l}$  составляющих тепловыделений от оборудования; тепловыделений от светильников  $Q_1$ , инсоляции  $Q_2$ , поступающей через светопрозрачные ограждения в РЗ, и тепловыделений от работающих  $Q_3$ , из суммы которых вычитаются теплопотери через ограждения рабочей зоны  $Q_4$ :

$$Q_{w,z} = Q_{w,z,k} + Q_{w,z,l} + \\ + Q_1 + Q_2 + Q_3 - Q_4. \quad (17.88)$$

В помещениях, где циркуляцию воздуха определяют приточные струи, следует принимать, что 70% мощности теплоисточников ( $Q_{w,z,k} + Q_{w,z,l}$ ) поступает в РЗ и соответственно 30% – в верхнюю зону.

В помещениях, где циркуляцию определяют конвективные струи, конвективная составляющая  $Q_{w,z,k}$  от теплоисточников уносится в верхнюю зону, а лучистая  $Q_{w,z,l}$  делится пополам между рабочей и верхней зоной.

Расход приточного воздуха  $L_{p_0}$ , м<sup>3</sup>/ч, при удалении его системами общеобменной вентиляции одновременно из верхней и рабочей зоны помещения рекомендуется определять по формуле

$$L_{p_0} = L_{w,z} + \\ + \frac{m_{p_0} - L_{w,z}(q_{w,z} - q_{in})}{[\delta(K_q - 1) + 1](q_{w,z} - q_{in})}, \quad (17.89)$$

где  $\delta$  – доля воздуха, удаляемого из верхней зоны помещения. При удалении из рабочей зоны  $1/3$  расхода воздуха  $\delta = 0,67$ , при удалении  $2/3$  расхода воздуха  $\delta = 0,33$ .

Если расход воздуха  $L_{h,f}$ , м<sup>3</sup>/ч, определенный по избыткам полной теплоты (или большая из величин, определенная по избыткам явной теплоты и влаги), окажется больше

полученного по массе выделяющихся вредных веществ и допускается рециркуляция, максимальный расход воздуха, забираемого из верхней зоны на рециркуляцию,  $L_p$ , м<sup>3</sup>/ч, следует определять по формуле

$$L_p = \frac{L_{h,f}(q_1 - q_{ext})}{K_q(q_{w,z} - q_1) + q_1 - q_{ext}}, \quad (17.90)$$

где

$$q_1 = \frac{(L_{h,f} - L_{w,z})q_{w,z}K_q + L_{w,z}q_{w,z} - m_{p_0}}{L_{h,f} + (L_{h,f} - L_{w,z})(K_q - 1)}, \quad (17.91)$$

$q_{ext}$  – концентрация вредного вещества в наружном воздухе, подаваемом в помещение, мг/м<sup>3</sup>.

Для обеспечения концентрации вредных веществ в приточном воздухе (смеси наружного и рециркуляционного) при выходе из ВР не более 30% ПДК в воздухе РЗ расход воздуха на рециркуляцию следует принимать не более

$$L_p = \frac{L_{h,f}(0,3\text{ПДК} - q_{ext})}{q_2 + 0,3\text{ПДК} - q_{ext}}, \quad (17.92)$$

где

$$q_2 = \frac{m_{p_0}}{(L_{h,f} - L_{w,z}) \left[ 1 + \frac{L_{w,z}}{K_q(L_{h,f} - L_{w,z})} \right]}. \quad (17.93)$$

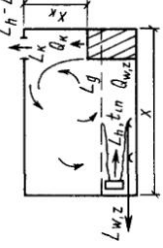
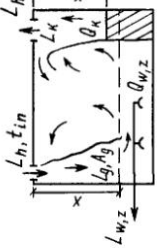
Расход наружного воздуха должен быть не менее расхода воздуха, удаляемого наружу системами вытяжной вентиляции и технологическим оборудованием, с учетом нормируемого дисбаланса, а также не менее нормируемого минимального расхода наружного воздуха (СНиП 2.04.05–86, прил. 17).

Для определения расхода приточного воздуха для систем кондиционирования\* необходимо предварительно установить температуру и влагосодержание приточного воздуха путем построения процесса ассимиляции теплоты и влаги в рабочей зоне помещения с учетом тепловлажностного отношения избытков полной теплоты к избыткам влаги

$$\varepsilon_{w,z} = Q_{h,f,w,z}/W_{w,z}, \quad (17.94)$$

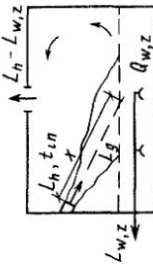
\* Способ применим для условий  $K_t \pm 1$  и  $K_d \neq 1$  при отсутствии удаления воздуха из рабочей зоны и для условий  $K_t = K_d = 1$  в случае удаления воздуха из рабочей зоны и за ее пределами.

ТАБЛИЦА 17.13. РАСЧЕТНЫЕ СООТНОШЕНИЯ ДЛЯ ОПРЕДЕЛЕНИЯ КОЭФФИЦИЕНТОВ ВОЗДУХООБМЕНА

Способ подачи воздуха	Схема подачи	Коэффициент воздухообмена
В рабочую зону		$K_i = \frac{a[\bar{L}_g + \bar{L}_{w,z}(1 - \bar{Q}_{w,z})] + \bar{L}_{w,z}(\bar{L}_g + \bar{L}_{w,z} - 1)\bar{Q}_x}{a[\bar{L}_g - (1 - \bar{L}_{w,z})(1 - \bar{Q}_{w,z})] - (1 - \bar{L}_{w,z})(\bar{L}_g + \bar{L}_{w,z} - 1)\bar{Q}_x};$ $a = \max\{\bar{L}_x, 1 - \bar{L}_{w,z}\}$
Вертикальными струями		$K_i = \frac{a[\bar{L}_g - \bar{Q}_{w,z}(1 - \bar{A}_g)\bar{L}_{w,z}] + \bar{Q}_x\bar{L}_{w,z}(\bar{L}_g - 1)}{a[\bar{L}_g + \bar{Q}_{w,z}(1 - \bar{A}_g)(1 - \bar{L}_{w,z}) - 1] - \bar{Q}_x(\bar{L}_g - 1)(1 - \bar{L}_{w,z})};$ $a = \max\{\bar{L}_x, 1 - \bar{L}_{w,z}\}$
Настилающимися струями		$K_i = \frac{\bar{L}_g - \bar{Q}_{w,z}\bar{L}_{w,z}(1 - \bar{A}_g)}{\bar{L}_i - 1(\bar{L}_i - \bar{L}_{w,z}) - (1 - \bar{L}_{w,z})[1 - \bar{Q}_{w,z}(1 - \bar{A}_g)]}$

Наклонными струями

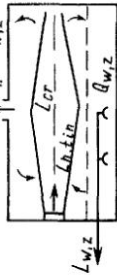
$$K_t = \frac{\theta \bar{L}_g - \bar{Q}_{w,z} \bar{L}_{w,z}}{\theta (\bar{L}_g - 1) + \bar{Q}_{w,z} (1 - \bar{L}_{w,z})}$$



$\theta = 1,0$  при подаче охлажденного воздуха;  $\theta = 0,5$  при подаче нагретого воздуха

Сосредоточенно настилающимися струями

$$K_t = \frac{0,5 \bar{L}_{cr} + \bar{L}_{w,z} (1 - 2 \bar{Q}_{w,z})}{2 \bar{Q}_{w,z} (1 - \bar{L}_{w,z}) + 0,5 \bar{L}_{cr} + \bar{L}_{w,z} - 1}$$



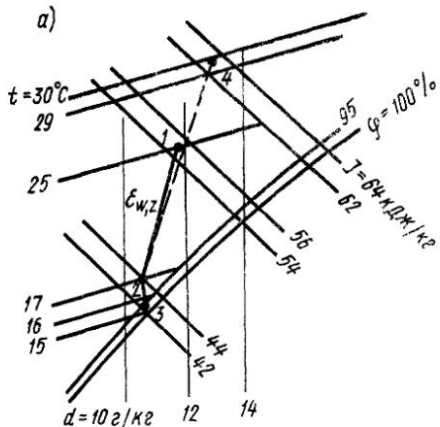
Сосредоточенно настилающимися струями

$$K_t = \begin{cases} \frac{L_h - L_{w,z}}{L_t}, & l < x_{tr}; K_t = 1 - \frac{1}{L_t}; \\ \frac{L_h - L_{w,z}}{L_{cr}}, & l \geq x_{tr}; K_t = 1 - \frac{1}{L_{cr}} \end{cases}$$

Примечание В формулах приняты условные обозначения:

$$\begin{aligned} \bar{L}_g &= L_g / L_h; \bar{L}_{w,z} = L_{w,z} / L_h; \bar{L}_t = L_t / L_h; \\ \bar{L}_x &= L_x / L_h; \bar{L}_{cr} = L_{cr} / L_h; \bar{Q}_{w,z} = Q_{w,z} / Q; \\ \bar{Q}_x &= Q_x / Q \end{aligned}$$

a)



$$L_h = L_w = \frac{3.6Q}{cK_d(t_{w,z} - t_m)} = \frac{W}{1.2K_d(d_{w,z} - d_m)}. \quad (17.97)$$

Температура и влагосодержание воздуха, удаляемого из помещения за пределами рабочей зоны (точка 4) определяются по формулам:

$$t_1 = \frac{3.6Q}{cL_h} + t_m; \quad (17.98)$$

$$d_1 = \frac{W}{1.2L_h} + d_m. \quad (17.99)$$

Для определения расхода пригодного воздуха для систем кондиционирования и зонуважнения воздуха с помощью форсунок, размещенных в помещении, необходимо предварительно установить условную температуру  $t_s$  и влагосодержание  $d_s$  в рабочей зоне.

На  $I-d$ -диаграмме от точки 1 (рис. 17.9, б) с параметрами  $t_m$  и  $\varphi_{w,z}$  откладывается влевую сторону отрезок  $\Delta d_{w,z} = \Delta d/K_d$ , где  $\Delta d$  соответствует мощность проектируемой системы дувлажнения (как правило,  $\Delta d \leq 2 \text{ г}/\text{кг}$ ).

На прямой  $I_1 = \text{const}$  находят точку с условной температурой  $t_s$  и влагосодержанием  $d_s$  воздуха в рабочей зоне. Точка 5 на рис. 17.9, б соответствует точке 1 на рис. 17.9, а.

Последующее построение процесса на  $I-d$ -диаграмме, определение температуры и влагосодержания приточного воздуха, определение расхода приточного воздуха, температуры и влагосодержания воздуха, удаляемого за пределами рабочей зоны, осуществляются описанным выше способом.

Расход приточного воздуха проверяется и в случае необходимости корректируется в результате расчета воздухораспределения. Расчет воздухораспределения (выбор способа подачи, определение местоположения количества и типоразмеров ВР) следует проводить с целью обеспечения принятой схемы подачи воздуха, нормируемых значений максимальной скорости ( $v_x \leq K_v$ ) и отклонения температуры воздуха в струе ( $\Delta t_x = t_x - t_n \leq \Delta t_1$  и  $\Delta t_x = t_n - t_x \leq \Delta t_2$ ) или в зоне обратного потока (см. табл. 17.1 и 17.2).

Если в результате расчета воздухораспределения в режиме вентиляции предельная рабочая разность температур  $\Delta t_{w,z}^{\text{lim}} = t_{w,z} - t_m$  окажется меньше предварительно принятой

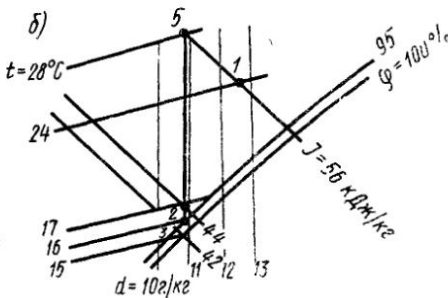


Рис. 17.9. Схемы процесса ассимиляции теплоты и влаги приточным воздухом для систем кондиционирования (а) и с увлажнением воздуха в помещении (б)

где

$$Q_{h,f,w,z} = \frac{3.6Q}{K_t} + \frac{W}{K_d}(2.5 + 0.0018t_{w,z}); \quad (17.95)$$

$$W_{w,z} = W/K_d. \quad (17.96)$$

На  $I-d$ -диаграмме влажного воздуха из точки 1 (рис. 17.9, а) с параметрами  $t_{w,z}$  и  $\varphi_{w,z}$  проводится прямая 1-2 по лучу гепловлажностного отношения  $\epsilon_{w,z}$  до пересечения с условной кривой  $\varphi$ , расположенной выше кривой  $\varphi = 95\%$ , на разность температур  $t_3 - t_2$  (по линии  $d = \text{const}$ ), учитывающую нагревание воздуха в вентиляторе и воздуховодах.

Температура и влагосодержание приточного воздуха имеют параметры точки 2.

Расход приточного воздуха определяют по формуле

для определения расхода приточного воздуха, то следует пересчитать и увеличить расход приточного воздуха, принимая  $t_{wz} - t_{in}$  не более избыточной температуры приточного воздуха  $\Delta t_0$ , при которой обеспечиваются принятая схема подачи воздуха и нормируемые значения  $v$  и  $\Delta t_x$ .

Если в результате расчета воздухораспределения в режиме отопления системы вентиляции совмещенной с воздушным отоплением, предельная рабочая разность температур  $\Delta t_{wz}^{\text{lim}} = t_{he} - t_{wz}$  (здесь  $t_{he}$  — температура подогретого воздуха, подаваемого в помещение) окажется меньше требуемой при расходе приточного воздуха равном расходу в теплый период года то следует принять расход воздуха по теплому периоду + оставшийся тепловой поток для отключения помещения попавать дороинительной системой отопления.

Если расход приточного воздуха, определенный для систем кондиционирования по избыtkам явной теплоты и влаги окажется меньше полученного по массе выделяющихся вредных веществ  $I_w$ , нормируемой кратности воздухообмена  $L_n$  и нормируемому удельному расходу приточного воздуха  $L_{wp}$  то при принятии  $t_{wz} = t_{he}$ ,  $L_n$  или  $L_{wp}$  разность температур  $t_{he} - t_w - t_z$  (см. рис. 17.9 а) уменьшится и будет равна  $\Delta t'_{wz} =$

$$-\Delta t_{wz} = \frac{L_h}{L_{wp}(n - 1)}.$$

Обеспечение требуемой температуры  $t_w - t_{in} - \Delta t_{wz}$  достигается соответствующим уменьшением расхода тепла например уменьшением расхода холода воды в камере орошения кондиционера или соответствующим нагревом приточного воздуха и разностью температур  $\Delta t_w - t_z$ .

Расход приточного воздуха для обеспечения норм взрывогазожарной безопасности следует определять по формуле

$$I = \frac{m}{0.1q - 1} \quad (17.100)$$

где  $q_a$  — нижний концентрационный предел распространения пламени по газо-паро-и пылевоздушным смесям  $\text{мг/м}^3$ .

## 17.7. РАСЧЕТ ВОЗДУХООБМЕНА И ВОЗДУХОРАСПРЕДЕЛЕНИЯ НА ЭВМ

Программная система (ПС) \* «Воздухораспределение» предназначена для определения величины воздухообмена типоразмеров и количества ВР при подаче приточного воздуха в производственные помещения, оборудованные системами местной вентиляции кондиционирования воздуха и воздушного отопления.

С помощью ПС производят расчет «вертикальной подачи воздуха», к которой относят все виды струйных течений приточного воздуха поступающих в рабочую зону вертикально из верхней зоны непосредственно после выпуска или в результате поворота в направлении рабочей зоны (вследствие соударения струй друг с другом или настильания на вертикальное ограждение), расчет подачи воздуха непосредственно в рабочую зону на лопатками струями и сосредоточенно в рабочая зона омыивается обратным потоком.

ПС включает следующие программы расчета подачи воздуха:

VEFR — коническими смыкающимися и веерными и стекающимися струями через плафонны;

KONVFF — коническими несмыкающимися и ненастекающимися веерными струями через члафоны;

GORIZC VI — компактными и негоризонтальными веерными горизонтальными настилающимися струями через решетки;

POLETS — струями через перфорированные плафоны;

PERFOR — через перфорированные плафоны и панели;

RABZON — в рабочую зону;

NASTNET — сосредоточенно настилающимися и ненастекающимися веерными струями;

NAKLOX — веерными струями \*\*.

Программы предлагаются использовать

\* Разработана ВНИИОТ (Санкт-Петербург), ГПИ (гиперпроект) (Москва), ГПИ Гипрохиммаш (Киев), НИСИ (Новосибирск).

\*\* Автономная программа расчета наклонной подачи воздуха в том числе для воздухораспределителя типа ВВР разработана в ЦНИИпромзданий (Москва).

ние следующих типовых воздухораспределительных устройств:

VEER - ПРМ, ВР, ВДШ;  
KONVEER - ПРМ, ВР;  
GORIZONT - РВ, РР;  
PERFOR - ВПК;  
RABZON - ВЭПш;  
NASTNEST ВСП, ВГК, РВ, РР;  
NAKLON - РВ, ВСП, ВГК.

Программы рассчитывают воздухообмен и воздухораспределение для трех периодов года: теплого, переходного и холодного. В результате расчетов печатаются только те варианты, которые обеспечивают нормативные требования по скорости движения и температуре воздуха в рабочей зоне для всех периодов.

Расчеты обеспечивают создание требуемых параметров воздушной среды при минимальном количестве ВР.

В программах предусмотрен поиск вариантов совмещения вентиляции с воздушным отоплением без необходимости устройства дополнительных отопительных систем.

В процессе работы программ определяют расход приточного воздуха, тип, типоразмер и число ВР, их установку в помещении с учетом обеспечения допустимых значений скоростей и температур в рабочей зоне и равномерности их распределения по рабочей зоне, температуры воздуха в рабочей и верхней зонах помещения, уточняют температуру приточного воздуха и температуру воздуха в рабочей зоне для всех периодов года, определяют нагрузку на дополнительную систему отопления в холодный период года, если система вентиляции не способна полностью компенсировать теплопотери помещения. В программах проверяют также выполнение требований по обеспечению расчетных схем циркуляции воздушных потоков в помещении и соответствие скорости выпуска воздуха из ВР заданному диапазону значений.

Работе программ должны предшествовать расчеты:

тепловыделений в рабочую и верхнюю зоны помещения для всех периодов года;  
удельных теплопотерь по зонам;  
тепловыделений от мощных конвективных источников теплоты (при их наличии);  
воздушных душей;  
местных отсосов;

воздухообмена по вредным веществам и избыткам влаги;

расхода перетекающего из соседних помещений воздуха.

За расчетный принимается наибольший воздухообмен, определенный из условий: асимиляции избыточных явных тепловыделений, борьбы с газо- и влаговыделениями, компенсации местных отсосов и обеспечения требуемой кратности воздухообмена для создания в помещении подпора или разрежения.

ПС используют для расчета четырех режимов, предусматривающих:

0 - естественную или смешанную вентиляцию в теплый период года и механическую вентиляцию в переходный и холодный периоды;

1 - круглогодичную механическую вентиляцию;

2 - адиабатическое охлаждение приточного воздуха в теплый период года;

3 - круглогодичное кондиционирование воздуха.

В результате расчетов на распечатку может быть выдано несколько оптимизированных вариантов с наименьшим количеством ВР и не требующих дополнительной нагрузки на системы отопления, отличающихся типом, типоразмером и количеством ВР.

Окончательный выбор варианта производят на основании анализа результатов расчетов и технико-экономических соображений.

Более подробное описание ПС «Воздухораспределение» содержится в «Методических рекомендациях по расчету на ЭВМ воздухообмена и воздухораспределения» (ВНИИОТ, 1987).

## 17.8. ПРИМЕРЫ РАСЧЕТА ВОЗДУХОРАСПРЕДЕЛЕНИЯ

**Пример 17.1.** Определить расход приточного воздуха в теплый период года для вентиляции механического цеха и произвести выбор ВР. Площадь цеха  $96 \times 60 = 5760 \text{ м}^2$ , высота 10,2 м, объем 58 750  $\text{м}^3$ . Расчетная температура наружного воздуха  $t_{ext} = 24^\circ\text{C}$ . Избытки теплоты 630 000 Вт. Расход воздуха, удаляемого из рабочей зоны, 50 000  $\text{м}^3/\text{ч}$ . Категория работ средней тяжести Пб ( $t_{w,z} = 27^\circ\text{C}$  по табл. 1 ГОСТ 12.1.005-88).

**Решение.** С целью сокращения расхода

приточного воздуха принимаем охлаждение наружного воздуха циркулирующей водой по адиабатному циклу  $\Delta t_1 = 6,3^\circ\text{C}$ .

1. Вычисляем температуру приточного воздуха в соответствии с п. 5 прил. 16 к СНиП (при давлении вентилятора 1400 Па)

$$t_{in} = 24 - 6,3 + 0,001 \cdot 1400 = 19,1^\circ\text{C}.$$

2. Определяем расход приточного воздуха по формуле (17.82)

$$L_h = 50000 + \frac{3,6 \cdot 630000 - 1,2 \cdot 50000(27 - 19,1)}{1,2(27 - 19,1)} = 239000 \text{ м}^3/\text{ч}.$$

3. Кратность воздухообмена

$$\frac{239000}{58700} = 4,1 \text{ 1/ч.}$$

4. Проверяем расход приточного воздуха из условий воздухораспределения. Принимаем к установке по типовой серии 5.904-40 восемь воздухораспределителей ВВР10. Зона обслуживания одного ВВР составляет  $30 \times 24 \text{ м}^2$ . Расчет воздухораспределения по выпуску 0 серии 5.904-40 устанавливает угол наклона  $\alpha = 15^\circ$ , что обеспечивает нормируемые значения максимальной скорости  $v_x < 1,8 \cdot 0,5 = 0,9 \text{ м/с}$  и отклонение температуры воздуха в струе  $\Delta t_x < 2^\circ\text{C}$ .

**Пример 17.2.** Определить расход приточного воздуха для условий примера 17.1 в холодный период года. Тепловой поток для отопления помещения 163 000 Вт. Температура воздуха в рабочей зоне  $15^\circ\text{C}$ .

**Решение.** 1. Принимаем расход приточного воздуха из условий обеспечения минимальной его скорости движения при выходе из воздухораспределителя ( $v_0 = 4 \text{ м/с}$ ) при установленных восьми ВВР10

$$L_h = 3600 \cdot 8 \cdot 4 \cdot 0,79 = 91000 \text{ м}^3/\text{ч.}$$

Принимаем расход приточного воздуха равным  $91000 \text{ м}^3/\text{ч.}$

2. Проверяем из условий воздухораспределения предельную рабочую разность температур по выпуску 0 серии 5.904-40

$$\Delta t_{w,z}^{lim} = 3^\circ\text{C}.$$

3. Определяем максимально возможный тепловой поток для отопления (по выпуску 0 типовой серии 5.904-40 в режиме отопления  $K_t = 1$ )

$$Q_{hc} = \frac{1,2 \cdot 91000 \cdot 3}{3,6} =$$

$= 91000 \text{ Вт}$ , что меньше требуемого.

4. Увеличиваем расход приточного воздуха из условия обеспечения требуемого теплового потока для отопления.

По выпуску 0 получаем  $L_{hc} = 96000 \text{ м}^3/\text{ч}$ ,  $t_{hc} = 20,1^\circ\text{C}$  ( $\Delta t_{w,z} = 5,1^\circ\text{C}$ ),  $\alpha = 40^\circ$ , что обеспечивает нормируемые значения максимальной скорости  $v_x < 1,8 \cdot 0,4 = 0,72 \text{ м/с}$  и отклонение температуры воздуха в струе  $\Delta t_1 < 2^\circ\text{C}$ .

**Пример 17.3.** Определить расходы приточного воздуха для условий примеров 17.1 и 17.2 для системы с переменным расходом воздуха. Избытки теплоты при переходных условиях 243 000 Вт. Технологические тепловыделения 350 000 Вт.

Расход приточного воздуха в теплый период года – см. пример 17.1.

Расход приточного воздуха в холодный период года – см. пример 17.2.

**Решение.** 1. Определяем температуру приточного воздуха для переходных условий в соответствии с п. 5 прил. 16 СНиП 2.04.05-86

$$t_{in} = 10 + 0,001 \cdot 1400 = 11,4^\circ\text{C}.$$

Температура воздуха в рабочей зоне для переходных условий  $21^\circ\text{C}$ .

2. Вычисляем расход приточного воздуха по формуле (17.82)

$$L_h = 50000 + \frac{3,6 \cdot 243000 - 1,2 \cdot 50000(21 - 11,4)}{1,2(21 - 11,4)} = 75900 \text{ м}^3/\text{ч.}$$

Поскольку расход приточного воздуха меньше полученного из условий обеспечения минимальной скорости движения воздуха при выходе из воздухораспределителя (см. пример 17.2), принимаем расход приточного воздуха равным  $91000 \text{ м}^3/\text{ч.}$

3. Проверяем из условий воздухораспределения предельную рабочую разность температур по выпуску 0

$$\Delta t_{w,z}^{lim} = 4^\circ\text{C}.$$

4. Определяем избытки теплоты, ассимилируемые приточным воздухом,  $Q = \frac{1,2 \cdot 91000 \cdot 4}{3,6} = 121300 \text{ Вт}$ , что меньше требуемых.

5. Увеличиваем расход приточного воздуха из условия обеспечения ассимиляции избыточной теплоты.

По выпуску 0 получаем:  $L_h = 144\,200 \text{ м}^3/\text{ч}$ ,  $\Delta t_{w,z} = 5^\circ\text{C}$ ,  $\alpha = 15^\circ$ , что обеспечивает нормируемые значения максимальной скорости  $v_x < 0,72 \text{ м/с}$  и отклонение температуры воздуха в струе  $\Delta t_x < 2^\circ\text{C}$ . При этом  $t_{w,z} = t_{in} + \Delta t_{w,z} = 11,4 + 5 = 16,4^\circ\text{C}$ , т.е. находится в пределах допустимых ГОСТ 12.1.005–88 границ от 15 до  $21^\circ\text{C}$ .

6. Для режима отсутствия избытков (недостатков) теплоты определяем температуру наружного воздуха по формуле

$$t_{ext} = t_{w,z} - \frac{Q_{tech}}{Q_{tech} + Q_{hc}} (t_{w,z} - t_{ext,B})$$

где  $Q_{tech}$  – технологические тепловыделения, Вт;  $t_{ext,B} = -22^\circ\text{C}$  – расчетная температура наружного воздуха в холодный период года, параметры  $B$ ,  ${}^\circ\text{C}$ ;

$$t_{ext} = 15 - \frac{350\,000}{(350\,000 + 163\,000)} \times \\ \times (15 + 22) = -10,2^\circ\text{C}.$$

7. Расход приточного воздуха принимаем равным  $91\,000 \text{ м}^3/\text{ч}$  (см. расчет для переходных условий), температура приточного воздуха  $t_{in} = t_{w,z} = 15^\circ\text{C}$ .

8. Расчет воздухораспределения по выпуску 0 устанавливает угол наклона  $\alpha = 30^\circ$ , что обеспечивает нормируемые значения максимальной скорости  $v_x < 0,72 \text{ м/с}$  и отклонение температуры воздуха в струе  $\Delta t_x < 2^\circ\text{C}$ .

9. Глубина регулирования расхода воздуха в течение года составит

$$\Delta = \left(1 - \frac{L_{min}}{L_{max}}\right) 100 = \\ = \left(1 - \frac{91\,000}{239\,000}\right) 100 = 62\%.$$

С целью уменьшения расхода приточного воздуха в холодный период года рассматриваем вариант с большим числом воздухораспределителей.

10. Принимаем установку 14 воздухораспределителей ВВР7. Зона обслуживания одного ВВР  $24 \times 18 \text{ м}^2$ . Глубина регулирования расхода воздуха составит

$$\Delta = \left(1 - \frac{80\,600}{239\,000}\right) 100 = 66\%.$$

Результаты расчета воздухораспределения по выпуску 0 приведены в табл. 17.14.

Увеличение числа воздухораспределителей не приводит к существенному уменьшению расхода приточного воздуха.

Выбор окончательного варианта определяется технико-экономическим расчетом с учетом продолжительности каждого периода.

Полученные в результате расчета расходы приточного воздуха позволяют установить конструктивные решения системы вентиляции, набор оборудования и его номенклатуру.

Режим работы системы (объем рециркуляции, графики работы подогревателей, камеры адиабатного охлаждения и т.п.) устанавливается из условий обеспечения минимального в течение года расхода приточного воздуха, теплоты и электроэнергии с учетом принятой схемы управления работой системы и оборудования, возможностей оборудования.

**Пример 17.4.** Определить расход рециркуляционного воздуха.

В помещение поступает  $340 \text{ г/ч}$  вредных веществ, для которых ПДК =  $20 \text{ мг}/\text{м}^3$ . В наружном воздухе содержится  $3 \text{ мг}/\text{м}^3$  этих веществ. Воздухообмен, определенный по избыткам теплоты в теплый период года, составляет  $40\,000 \text{ м}^3/\text{ч}$ . Местными отсосами из РЗ уделяется  $10\,000 \text{ м}^3/\text{ч}$  воздуха. Коэффициент воздухобмена  $K_q = 1,3$ .

**Решение.** 1. Определяем условную концентрацию  $q_1$  по формуле (17.91)

$$q_1 = \frac{(40\,000 - 10\,000) 20 \cdot 1,3 +}{40\,000 + (40\,000 - 10\,000)} \\ + \frac{10\,000 \cdot 20 - 340\,000}{(1,3 - 1)} = 13,1 \text{ мг}/\text{м}^3.$$

2. Вычисляем расход рециркуляционного воздуха по формуле (17.90) из условий обеспечения ПДК в РЗ

$$L_p = \frac{40\,000 (13,1 - 3)}{1,3 (20 - 13,1) + 13,1 - 3} = 21\,180 \text{ м}^3/\text{ч}.$$

3. Определяем условную концентрацию  $q_2$  по формуле (17.93)

$$q_2 = \frac{340\,000}{(40\,000 - 10\,000)} \times \\ \times \frac{340\,000}{\left[1 + \frac{10\,000}{1,3 (40\,000 - 10\,000)}\right]} = 9 \text{ мг}/\text{м}^3.$$

4. Находим расход рециркуляционного воздуха по формуле (17.92) из условий обеспечения 0,3 ПДК в приточном воздухе

$$L_p = \frac{40\,000 (0,3 \cdot 20 - 3)}{9 + 0,3 \cdot 20 - 3} = 10\,000 \text{ м}^3/\text{ч}.$$

Таким образом, максимальный расход ре-

ТАБЛИЦА 17.14. РАСХОДЫ ПРИТОЧНОГО ВОЗДУХА ДЛЯ МЕХАНИЧЕСКОГО ЦЕХА

Режим работы	$t_{ext}$ , °C	$t_{w,z}$ , °C	ВВРГ			ВВР7		
			$t_m$ , °C	$\eta$ , град	$L$ , м <sup>3</sup> /ч	$t_m$ , °C	$\eta$ , град	$L$ , м <sup>3</sup> /ч
Теплый период года	24	27	19,1	15	239 000	19,1	15	239 000
Холодный период года	-22	15	20,1	40	96 000	20,1	40	96 000
и	10	16,4	11,4	15	144 200	11,4	20	144 200
и	-10,2	15	15	30	91 000	15	30	80 600

шаркуляционного воздуха составит 10 000 м<sup>3</sup>/ч.

**Пример 17.5.** Определить расход воздуха для общебменной вентиляции. В помещение поступает 200 г/ч вредных газов, которые легче воздуха, при ПДК = 10 мг/м<sup>3</sup>. В наружном воздухе содержится 2 мг/м<sup>3</sup> этих веществ. Местными отсосами из РЗ удаляется 5000 м<sup>3</sup>/ч воздуха. Коеффициент воздухообмена  $K_q = 1,25$ .

Определим расход приточного воздуха по формуле (17.89) при  $\delta = 0,67$

$$L_{p_0} = 5000 + \frac{200000 - 5000(10 - 2)}{[0,67(1,25 - 1) + 1](10 - 2)} = 22130 \text{ м}^3/\text{ч}.$$

Из РЗ следует удалять  $1/3$  этого расхода  $22130/3 = 7380 \text{ м}^3/\text{ч}$ , из них  $5000 \text{ м}^3/\text{ч}$  через местные отсосы и  $2380 \text{ м}^3/\text{ч}$  общебменной вентиляцией; из ВЗ необходимо удалять  $22130 - 7380 = 14750 \text{ м}^3/\text{ч}$ .

**Пример 17.6.** Определить расход воздуха при удалении из РЗ  $10000 > 7380 \text{ м}^3/\text{ч}$  и остальных условиях по примеру 17.5.

Вычислим расход приточного воздуха по формуле (17.83)

$$L_{p_0} = 10000 + \frac{200000 - 100000}{1,25(10 - 2)} = 22000 \text{ м}^3/\text{ч}.$$

Из ВЗ необходимо удалять  $22000 - 10000 = 12000 \text{ м}^3/\text{ч}$ .

Если этот расход не меньше однократного воздухообмена в 1 ч и не менее  $6 \text{ м}^3/\text{ч}$  на 1 м<sup>2</sup> площади пола помещения то он может быть принят окончательно. Если расход окажется меньше, то следует увеличить расход воздуха, удаляемого из верхней зоны, и соответственно расход приточного воздуха.

**Пример 17.7.** Определить расход приточного воздуха и расход воздуха, удаляемого из ВЗ, если из РЗ должно быть удалено не менее  $2/3$  общего расхода воздуха. В помещении выделяется  $20000 \text{ м}^3/\text{ч}$  вредных газов при

ПДК = 8 мг/м<sup>3</sup>, а в воздухоприемном устройстве содержится 2 мг/м<sup>3</sup> этих газов. В помещении имеются избытки явной теплоты 40 000 Вт;  $t_m = 20^\circ\text{C}$ ;  $t_{w,z} = 23^\circ\text{C}$ ;  $K_q = 1,2$ ;  $K_t = 1,1$ .

По формуле (17.89) найдем воздухообмен для асимиляции вредных веществ при  $L_{w,z} = 0$ :

$$L_{p_0} = \frac{200000}{[0,33(1,2 - 1) + 1](8 - 2)} = 31270 \text{ м}^3/\text{ч}.$$

Из РЗ следует удалять  $31270 \cdot 0,67 = 20950 \text{ м}^3/\text{ч}$ .

При этих условиях для асимиляции избытков явной теплоты по формуле (17.82)

$$L_t = 20950 + \frac{3,6 \cdot 40000 - 1,2 \cdot 20950(23 - 20)}{1,2 \cdot 1,1(23 - 20)} = 38270 \text{ м}^3/\text{ч}.$$

Следовательно, расход приточного воздуха должен быть принят равным  $38270 \text{ м}^3/\text{ч}$ , при удалении из РЗ  $20950 \text{ м}^3/\text{ч}$  и из ВЗ  $38270 - 20950 = 17320 \text{ м}^3/\text{ч}$ .

**Пример 17.8.** Определить расход приточного воздуха в теплый период года для помещения сборочного цеха при кондиционировании. Площадь цеха  $72 \times 24 = 1728 \text{ м}^2$ , высота 5,4 м, объем 9330 м<sup>3</sup>.

Избытки явной теплоты 85 000 Вт, избытки влаги 65 000 г/ч. Коеффициенты воздухообмена  $K_t = 1,3$ ;  $K_q = 1,85$  (подача воздуха непосредственно в РЗ через ВЭПШ). Категория работ - легкая Ia. Оптимальные параметры воздуха в РЗ по ГОСТ 12.1.005-88:  $t_{w,z} = 25^\circ\text{C}$ ,  $\Phi_{w,z} = 60\%$  ( $d_{w,z} = 11,9 \text{ г/кг}$ ).

**Решение.** 1. Определяем тепловлажностное отношение избытков полной теплоты к избыткам влаги в РЗ помещения

$$\varepsilon_{w,z} = \frac{\frac{3,6 \cdot 85000}{1,3} + \frac{65000}{1,85}(2,5 + 0,0018 \cdot 25)}{\frac{65000}{1,85}} = 9,24 \text{ кДж/г}.$$

2. Вычисляем разность температур, учитывающую нагревание воздуха при давлении, развиваемом вентилятором, 1200 Па:

$$t_2 - t_3 = 0,001 \cdot 1200 = 1,2^{\circ}\text{C}.$$

3. На  $I$ - $d$ -диаграмме влажного воздуха (см. рис. 17.9, а) проводим прямую  $I$ - $2$  по лучу  $\varepsilon_{w,z} = 9240 \text{ кДж/кг}$ . Устанавливаем положение точки  $2$  и определяем температуру и влагосодержание приточного воздуха:

$$t_{in} = 16,7^{\circ}\text{C}; d_{in} = 10,5 \text{ г/кг}.$$

Предельная рабочая разность температур  $\Delta t_{w,z}^{\lim} = 25 - 16,7 = 8,3^{\circ}\text{C}$  не превышает допустимой из условий воздухораспределения по выпуску 0 серии 1.494-38 для ВЭПш.

4. Определяем расход приточного воздуха

$$L_h = \frac{3,6 \cdot 85\,000}{1,2 \cdot 1,3 (25 - 16,7)} = 23\,630 \text{ м}^3/\text{ч}.$$

Кратность воздухообмена составит:  $23\,630 / 9330 = 2,5 \text{ 1/ч}$ .

5. Вычисляем температуру и влагосодержание воздуха, удаляемого из помещения:

$$t_1 = \frac{3,6 \cdot 85\,000}{1,2 \cdot 23\,630} + 16,7 = 29,9^{\circ}\text{C};$$

$$d_1 = \frac{65\,000}{1,2 \cdot 23\,630} + 10,5 = 12,8 \text{ г/кг}.$$

**Пример 17.9.** Определить расход приточного воздуха в теплый период года для помещения ткацкого цеха при кондиционировании воздуха и доувлажнении его с помощью форсунок, размещенных в помещении. Площадь цеха  $120 \times 90 = 10\,800 \text{ м}^2$ , высота 5,8 м, объем  $63\,000 \text{ м}^3$ .

Избытки явной теплоты  $1\,300\,000 \text{ Вт}$ . Из-

бытки влаги отсутствуют. Мощность системы доувлажнения  $1,7 \text{ г/кг}$ . Коэффициент воздухообмена  $K_t = 1$  (подача воздуха сверху вниз). Требуемые для технологического процесса параметры воздуха  $t_{w,z} = 24^{\circ}\text{C}$ ,  $\varphi_{w,z} = 65\%$ .

**Решение.** 1. На  $I$ - $d$ -диаграмме влажного воздуха (см. рис. 17.9, б) от точки  $I$  с параметрами  $t_{w,z} = 24^{\circ}\text{C}$ ,  $\varphi_{w,z} = 65\%$  ( $d_{w,z} = 12,6 \text{ г/кг}$ ,  $I_{w,z} = 56 \text{ кДж/кг}$ ) откладываем влево сторону отрезок  $\Delta d_{w,z} = 1,7 \text{ г/кг}$ , соответствующий мощности проектируемой системы доувлажнения.

На пересечении прямых  $I = 56 \text{ кДж/кг}$  и  $d = 12,6 - 1,7 = 10,9 \text{ г/кг}$  находим точку  $5$  с условной температурой  $t_s = 28,1^{\circ}\text{C}$  и влагосодержанием  $d_s = 10,9 \text{ г/кг}$ .

При отсутствии влаговыделений в цехе луч  $\varepsilon_{w,z}$  направлен параллельно линиям  $d = \text{const}$ . Поэтому на прямой с влагосодержанием  $d = 10,9 \text{ г/кг}$  находим точку с относительной влажностью  $\varphi = 95\%$  и соответствующую ей температуру воздуха за камерой орошения  $t = 15,9^{\circ}\text{C}$ .

2. Определяем температуру приточного воздуха (при давлении вентилятора 1000 Па)

$$t_{in} = 15,9 + 0,001 \cdot 1000 = 16,9^{\circ}\text{C}.$$

Предельная рабочая разность температур  $\Delta t_{w,z}^{\lim} = 24 - 16,9 = 7,1^{\circ}\text{C}$  не превышает допустимой из условий воздухораспределения по выпуску 0 серии 5.904-39 для плафона ПРМ.

3. Вычислим расход приточного воздуха

$$L_h = \frac{3,6 \cdot 1\,300\,000}{1,2 \cdot 1 (24 - 16,9)} = 550\,000 \text{ м}^3/\text{ч}.$$

Кратность воздухообмена составит:  $550\,000 / 63\,000 = 8,7 \text{ 1/ч}$ .

# Глава 18

## РАСЧЕТ И ВЫБОР РЕГУЛИРУЮЩИХ КЛАПАНОВ НА ТРУБОПРОВОДАХ ТЕПЛОНОСИТЕЛЯ

Автоматическое регулирование процессов теплопередачи в системах вентиляции, кондиционирования воздуха и воздушного отопления достигается изменением расхода теплоносителя (горячей воды или пара) через теплообменные аппараты с помощью регулирующего органа (клапана), установленного на трубопроводе с теплоносителем, путем дросселирования, т. е. изменения его проходного сечения.

Регулировочные свойства регулирующего клапана определяются тремя показателями:

- 1) его условной пропускной способностью  $K_{v_y}$ ;
- 2) типом пропускной характеристики;
- 3) распределением перепада давления на регулируемом участке между регулирующим клапаном и технологической сетью.

**Пропускная способность регулирующего клапана** – это величина, численно равная расходу жидкости, м<sup>3</sup>/ч, с плотностью 1 г/см<sup>3</sup> (1000 кг/м<sup>3</sup>), пропускаемой регулирующим клапаном при перепаде давления на нем  $9,81 \cdot 10^{-2}$  МПа (1 кгс/см<sup>2</sup>).

**Условной** считается пропускная способность клапана при полном открытии его затвора.

Для определения пропускной способности регулирующего клапана (проходного или каждого из проходов трехходового) на трубопроводе с жидкостью существует соотношение

$$K_v = 0,313 Q \Psi \sqrt{\rho / \Delta p_x}, \quad (18.1)$$

где  $Q$  – расход жидкости через клапан, м<sup>3</sup>/ч;  $\Psi$  – коэффициент, учитывающий влияние вязкости (для воды  $\Psi = 1$ );  $\rho$  – плотность жидкости перед клапаном, г/см<sup>3</sup>;  $\Delta p_x$  – перепад давления жидкости на регулирующем клапане при расходе  $Q$ , МПа.

Коэффициент, учитывающий влияние вязкости, определяется в зависимости от числа Рейнольдса по рис. 18.1:

$$Re = 3530 \frac{Q}{v D_y}, \quad (18.2)$$

где  $v$  – кинематическая вязкость протекающей через клапан жидкости, см<sup>2</sup>/с;  $D_y$  – условный проход клапана, мм.

Для подбора регулирующего клапана на потоке жидкости по формуле (18.1) определяют максимально необходимую его пропускную способность  $K_{v \max}$  при максимальном расходе  $Q_{\max}$  и соответствующем ему перепаде давления на клапане  $\Delta p_{min}$ . По вычисленному значению  $K_{v \max}$  выбирают из действующей номенклатуры клапан с условной пропускной способностью  $K_{v_y}$ , ближайшей большей к числу  $1,2 K_{v \max}$ , где 1,2 – коэффициент запаса.

Пропускная способность регулирующего клапана, м<sup>3</sup>/ч, на трубопроводе с паром определяется по формулам:

для докритического значения скорости прохождения пара через клапан

$$K_v = 0,095 G \sqrt{V_2 / \Delta p_x}; \quad (18.3)$$

для критической скорости прохождения пара через клапан

$$K_v = 0,134 G \sqrt{V_1 / p_1}, \quad (18.4)$$

где  $G$  – расход пара, кг/ч;  $p_1$  – абсолютное давление пара перед клапаном, МПа;  $\Delta p_x$  – перепад давления на клапане при расходе  $G$ , МПа;  $V_1$  и  $V_2$  – удельный объем пара, м<sup>3</sup>/кг, при давлении  $p_1$  и за клапаном при давлении  $p_2$ .

Можно считать, что критическая скорость прохождения пара через клапан наступает при  $\Delta p_x \geq 0,51 p_1$ .

Выбор регулирующего клапана на паре также, как и на воде, выполняется для максимального расхода  $G_{\max}$ .

Кроме условной пропускной способности регулирующий клапан характеризуется видом пропускной характеристики, которая определяет зависимость изменения пропускной способности от перемещения затвора (в относительных величинах). Выпускаются регулирующие клапаны с одной из двух видов пропускной характеристики: линейной или равнопроцентной.

Линейная характеристика выражается соотношением

$$\sigma = l, \quad (18.5)$$

равнопроцентная

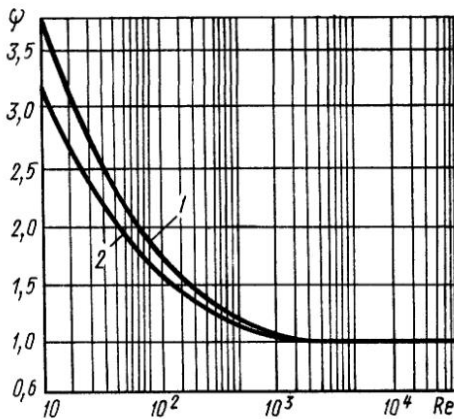


Рис. 18.1. Зависимость коэффициента  $\psi$  от числа Рейнольдса для двухседельных (1) и односедельных (2) клапанов

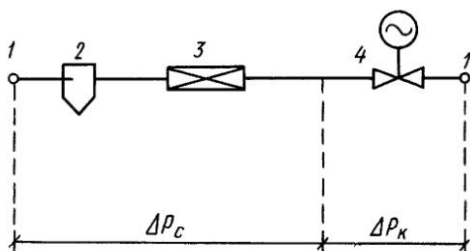


Рис. 18.2. Схема регулируемого участка  
1 – прямая и обратная магистраль; 2 – фильтр; 3 – воздухо-нагреватель; 4 – регулирующий клапан

$$\sigma = 0,04^{l-1}, \quad (18.6)$$

где  $\sigma = K_V/K_{V_y}$  – относительная пропускная способность;  $l = S/S_y$  – относительный ход затвора ( $S$  и  $S_y$  – действительный и условный ход затвора);  $0,04$  – относительная пропускная способность регулирующего клапана с равнопроцентной пропускной характеристики при  $l = 0$ .

Расход жидкости через регулирующий клапан зависит не только от его пропускной способности и вида пропускной характеристики, но также и от параметров того регулируемого участка, на котором клапан работает. Регулируемым считается участок сети вместе со всеми присоединенными к нему приборами и оборудованием (включая регулирующий клапан), перепад давления на котором остается неизменным в процессе регулирования на нем какого-либо параметра или колеблется в пре-

делах  $\pm 10\%$ . Схематично регулируемый участок представлен на рис. 18.2.

Перепад давления на регулируемом участке распределяется между технологическим оборудованием, трубами (т. е. технологической сетью) и регулирующим клапаном; при этом существует равенство:

$$\Delta p_y = \Delta p_c + \Delta p_k, \quad (18.7)$$

где  $\Delta p_y$  и  $\Delta p_c$  – перепады давления на регулируемом участке и технологической сети.

Для технологической сети, как и для регулирующего клапана, вводится понятие пропускной способности  $K_V$ :

$$K_{Vc} = 0,313 Q \Psi \sqrt{p/\Delta p_c}. \quad (18.8)$$

В процессе регулирования при ходе затвора регулирующего клапана изменяется его пропускная способность, но в то же время изменяется и перепад давления на нем. Поэтому зависимость расхода жидкости через регулирующий клапан от хода затвора может существенно отличаться от пропускной характеристики клапана, поскольку на нее влияет изменение перепада давления на клапане, или с учетом равенства (18.7) изменение соотношения  $\Delta p_c/\Delta p_k$ . В конечном счете ее вид зависит от этого соотношения при полностью открытом клапане  $\Delta p_{c,0}/\Delta p_{k,0}$  или от соотношения условных пропускных способностей полностью открытого клапана и технологической сети:  $K_{Vc}/K_{Vy} = n$ , так как существует зависимость  $\Delta p_{c,0}/\Delta p_{k,0} = n^2$ .

Зависимость расхода жидкости через регулирующий клапан от хода затвора при определенном значении  $n$  называется **рабочей расходной характеристикой клапана**. Графики рабочих расходных характеристик регулирующих клапанов приведены на рис. 18.3.

В зависимости от требуемой динамики процесса регулирования может быть выбрана подходящая кривая рабочей расходной характеристики и исходя из нее выбраны тип пропускной характеристики регулирующего клапана, величина  $n$  и соответственно соотношение  $\Delta p_{c,max}/\Delta p_{k,min}$ .

Графики на рис. 18.3 показывают, что наименьшее отклонение от идеального вида (который соответствует  $n = 0$ , причем в этом случае расходная и пропускная характеристики совпадают) рабочие расходные характеристики имеют при  $n \leq 1$ .

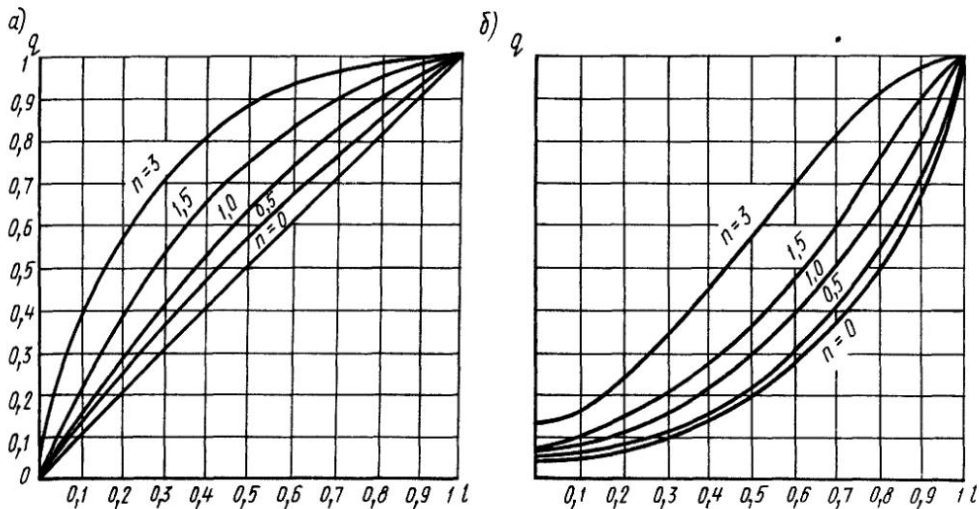


Рис. 18.3. Графики рабочих расходных характеристик регулирующих клапанов с линейной (а) и равнопроцентной пропускной характеристикой (б)

В этом случае имеется следующее соотношение:

$$\frac{\Delta p_{\text{c max}}}{\Delta p_{\text{k min}}} \leq 1$$

или  $\Delta p_{\text{k min}} \geq 0.5 \Delta p_y.$  (18.9)

Выбор параметров регулируемого участка с учетом соотношения (18.9) обеспечивает удовлетворительное качество регулирования.

В общем случае рекомендуется при регулировании уровня, расхода, давления «до себя» выбирать регулирующий клапан с линейной пропускной характеристикой, при регулировании температуры и давления «после себя» – регулирующий клапан с равнопроцентной пропускной характеристикой.

При работе регулирующего клапана на потоке жидкости может возникать кавитация – вскипание жидкости в некоторых участках полости клапана, когда давление жидкости в процессе дросселирования становится ниже давления насыщенных паров жидкости при данной температуре. Кавитация вызывает разрушение клапана, поэтому ее необходимо предотвращать.

Кавитация наступает в том случае, если перепад давления на клапане превысит некоторую граничную величину  $\Delta p_{\text{kav}},$  т. е. если  $\Delta p_k > \Delta p_{\text{kav}},$

если  $\Delta p_k \leq \Delta p_{\text{kav}},$  кавитация не возникает.

Значение  $\Delta p_{\text{kav}}$  определяют по формуле

$$\Delta p_{\text{kav}} = K_c (p_1 - p_n), \quad (18.10)$$

где  $p_1$  и  $p_n$  – давление жидкости перед клапаном и насыщенных паров жидкости;  $K_c$  – коэффициент кавитации.

Коэффициент  $K_c$  может быть определен в зависимости от гидравлического сопротивления регулирующего клапана  $\zeta$  по рис. 18.4. Величина  $\zeta$  определяется выражением

$$\zeta = \frac{25.4 F_{y,x}^2}{K_V^2},$$

где  $F_{y,x}$  – площадь сечения входного патрубка клапана,  $\text{см}^2.$

Исключить возникновение кавитации можно следующими способами:

1) увеличить давление  $p_2$  после клапана и тем самым уменьшить величину  $\Delta p_{\text{k min}};$

2) для темплообменников устанавливать регулирующий клапан на обратной линии теплоносителя, где меньше температура, величина  $p_n$  и, следовательно, получается большее  $\Delta p_{\text{kav}}.$

**Пример. 18.1.** Выбрать регулирующий клапан для регулирования воздухонагревательной секции, подключенной по схеме на рис. 18.2. Температура воды в обратной линии  $70^\circ\text{C},$

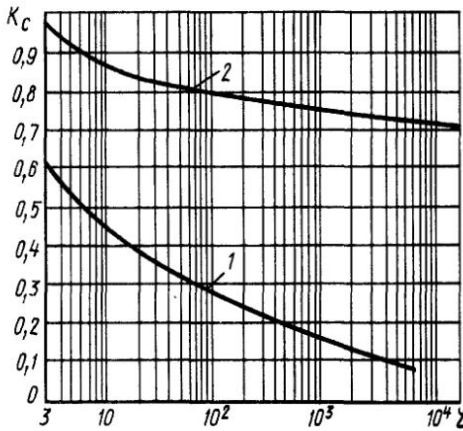


Рис. 18.4. Зависимость коэффициента кавитации  $K_c$  от  $\zeta$  для двухседельных и односедельных регулирующих клапанов (подача жидкости на затвор) (1) и односедельных (подача жидкости под затвор) (2)

максимальный расход воды  $Q_{\max} = 24 \text{ м}^3/\text{ч}$ , давление воды перед клапаном  $p_1 = 0,6 \text{ МПа}$ , перепад давления на регулируемом участке  $\Delta p_y = 0,25 \text{ МПа}$ , потери давления в трубопроводе и воздухонагревателе при максимальном расходе воды  $\Delta p_{c, \max} = 0,081 \text{ МПа}$ .

1. Находим перепад давления на регулирующем клапане при максимальном расходе воды

$$\begin{aligned}\Delta p_{k, \min} &= \Delta p_y - \Delta p_{c, \max} = \\ &= 0,25 - 0,081 = 0,169 \text{ МПа}.\end{aligned}$$

2. Определяем выполнение соотношения (18.9)

$$\begin{aligned}\Delta p_{k, \min}/\Delta p_y &= \\ &= 0,169/0,25 = 0,676 > 0,5.\end{aligned}$$

3. Вычисляем максимально требуемую пропускную способность регулирующего клапана по формуле (18.1) с учетом  $\Psi = 1$ ;  $\rho = 1 \text{ г}/\text{см}^3$ :

$$\begin{aligned}K_{V \max} &= 0,313 Q_{\max} \sqrt{\rho/\Delta p_{k, \max}} = \\ &= 0,313 \cdot 24 \sqrt{1/0,169} = 18,27 \text{ м}^3/\text{ч}.\end{aligned}$$

С учетом коэффициента запаса 1,2:

$$1,2 K_{V \max} = 1,2 \cdot 18,27 = 21,93 \text{ м}^3/\text{ч}.$$

4. Выбираем предварительно по каталогу клапан типа 25Ч940НЖ с равнопроцентной пропускной характеристикой (так как клапан

будет работать в системе регулирования температуры), с условной пропускной способностью  $K_V = 25 \text{ м}^3/\text{ч}$  и условным диаметром  $D_y = 40 \text{ мм}$ .

5. Проверяем выбранный клапан на кавитацию:

а) определяем гидравлическое сопротивление клапана при максимальном расходе воды, для чего предварительно вычисляем площадь сечения входного патрубка клапана:

$$F_{y, k} = \frac{\pi D_y^2}{4} = \frac{3,14 \cdot 4^2}{4} = 12,56 \text{ см}^2;$$

$$\zeta = \frac{25,4 F_{y, k}^2}{K_{V \max}^2} = \frac{25,4 \cdot 12,56}{18,27^2} = 12;$$

б) по графику на рис. 18.4 находим коэффициент  $K_c = 0,43$  (учитывая, что по конструкции выбранный клапан двухседельный);

в) определяем граничное значение перепада давления на клапане, при котором не возникает кавитации [по формуле (18.10)],

$$\Delta p_{\text{кав}} = 0,43(0,6 - 0,031) = 0,245 \text{ МПа}$$

(0,031 – давление насыщенных паров воды при температуре  $70^\circ\text{C}$ ).

Поскольку  $\Delta p_{k, \min} < \Delta p_{\text{кав}}$  ( $0,169 < 0,245$ ), кавитация в момент максимального расхода не возникает;

г) определяем расход через клапан, при котором возникает кавитация  $Q^*$ . В этом случае  $\Delta p_k^* = \Delta p_{\text{кав}}^*$ .

Поскольку при уменьшении расхода через клапан  $\Delta p_k$  растет, а  $\Delta p_{\text{кав}}$  уменьшается, примем в первом приближении

$$\begin{aligned}\Delta p'_k &= \frac{\Delta p_{k, \min} + \Delta p_{\text{кав}}}{2} = \\ &= \frac{0,169 + 0,245}{2} = 0,207 \text{ МПа}.\end{aligned}$$

Устанавливаем, что при этом  $\Delta p'_k < \Delta p_y = 0,25 \text{ МПа}$ , в противном случае можно принять  $\Delta p'_k = 0,95 \Delta p_y$ .

Определяем соответствующую величину  $\Delta p'_k$  потерю давления в сети  $\Delta p'_c$ :

$$\begin{aligned}\Delta p'_c &= \Delta p_y - \Delta p'_k = \\ &= 0,25 - 0,207 = 0,043 \text{ МПа}.\end{aligned}$$

Поскольку величина  $K_{V \max}$  неизменна, а коэффициент  $\Psi$  для воды всегда близок к 1, из формулы (18.8) имеем

$$Q_{\max}/\sqrt{\Delta p_{c \max}} = Q'/\sqrt{\Delta p'_c}$$

или

$$\begin{aligned} Q' &= Q_{\max} \sqrt{\frac{\Delta p'_c}{\Delta p_{c \max}}} = \\ &= 24 \sqrt{\frac{0,043}{0,081}} = 17,49 \text{ м}^3/\text{ч}. \end{aligned}$$

Соответствующая этому расходу пропускная способность клапана по формуле (18.1)

$$K'_V = 0,313 \cdot 17,49 \sqrt{1/0,207} = 12,03 \text{ м}^3/\text{ч},$$

при этом клапан имеет гидравлическое сопротивление

$$\zeta = \frac{25,4 \cdot 12,56^2}{12,03^2} = 27,69.$$

По рис. 18.5 находим  $K'_c = 0,355$ . Давление перед клапаном при принятом значении  $\Delta p'_k$  составит:

$$p'_1 = p_1 - \Delta p_{k, \min} + \Delta p'_k =$$

$$= 0,6 - 0,169 + 0,207 = 0,638 \text{ МПа};$$

$$\Delta p'_{kab} = 0,355(0,638 - 0,031) = 0,215 \text{ МПа}.$$

Принимаем во втором приближении

$$\begin{aligned} \Delta p''_k &= \frac{\Delta p'_k + \Delta p'_{kab}}{2} = \\ &= \frac{0,207 + 0,215}{2} = 0,211 \text{ МПа}. \end{aligned}$$

Поскольку величины 0,207 и 0,215 достаточно близки, этим приближением ограничимся (при большой разнице между  $\Delta p'_k$  и  $\Delta p'_{kab}$  делается третье приближение):

$$\Delta p'''' = (\Delta p'_k + \Delta p''_{kab})/2.$$

Определим расход воды через клапан при  $\Delta p''''$  (аналогично предыдущему расчету):

$$\Delta p'_c = 0,25 - 0,211 = 0,039 \text{ МПа};$$

$$Q^* = Q'' = 24 \sqrt{\frac{0,039}{0,081}} = 16,65 \text{ м}^3/\text{ч}.$$

Глубина регулирования по расходу воды при бескавитационном режиме составляет, таким образом, величину, близкую к

$$Q_{\max}/Q'' = 24/16,65 = 1,44.$$

## Глава 19

# ОСНОВЫ ПРОЕКТИРОВАНИЯ АВТОМАТИЗАЦИИ ВНУТРЕННИХ САНИТАРНО-ТЕХНИЧЕСКИХ СИСТЕМ

## 19.1. ОБЩИЕ ПОЛОЖЕНИЯ

Средства автоматизации (контроля, автоматического регулирования, защиты оборудования, блокирования, управления и диспетчеризации) систем отопления, вентиляции и кондиционирования воздуха следует проектировать в целях:

а) обеспечения и поддержания требуемых условий воздушной среды в помещениях, повышения надежности работы систем, а также включения и отключения систем по специальн-

ным требованиям (например, при авариях);

б) сокращения численности обслуживающего персонала, экономии теплоты, холода и электроэнергии.

Уровень автоматизации систем необходимо выбирать в зависимости от технологических требований и экономической целесообразности.

Автоматизацию систем отопления, вентиляции и кондиционирования воздуха следует проектировать, основываясь на простейших из возможных решений и схемах, применяя ми-

нимательное качество приборов и средств автоматизации

Приборы автоматического регулирования и кислородные должны быть как правило однотипными, причем устанавливаемые в обслуживаемых помещениях в зерном исполнении и устанавливаемые непосредственно на оборудовании воздуховодах или трубопроводах — в газом

все в большинстве случаев эти приборы и средства автоматизации зависят от среды, в которой они устанавливаются и находятся в эксплуатации

Для приборов и средств автоматизации и регулирования предназначенных для установки в производственных помещениях рекомендуется

устанавливаться с учетом требований установленных нормативных документов

также для измерения кислорода и газоизмерительного процесса оборудования и трубопроводов предусматривать заградительные части и детали соединения для крепления и монтажа трубопроводов и средств автоматизации

б) применять заготовки из заготовок для трубопроводов целиком и не имеющие автоматики

в) приборы и средства автоматизации устанавливать по нормам и типовым чертежам с максимальной поправкой на то, что из-за санитарных требований

## 19.2 ТЕПЛОТЕХНИЧЕСКИЙ КОНТРОЛЬ И СИГНАЛИЗАЦИЯ

Параметры, подвергнутые защищенным исполнением, должны быть правильными и экономичными работой системы вентиляции и кондиционирования воздуха должны контролироваться показывающими приборами, причем для автоматизаций рекомендуется выбирать только приборы соответствия основных параметров в отдельных системах

и т. д.

Параметры должны быть для учета и анализа работы оборудования соответствия констру

тирования самоподъемными приборами а параметры отклонения которых от нормы может привести к аварийному состоянию оборудования браку продукта или к нарушению технологического процесса с анализирующими приборами

При дистанционном контроле нескольких однотипных параметров рекомендуется использовать один общий многоточечный показывающий или самоподъемный прибор с целью сокращения габаритов щитов контроля и автоматизации следующим применять малогабаритные измерительные приборы

для контроля параметров измерение которых необходимо при наладке систем автоматического регулирования установок отопления вентиляции и кондиционирования воздуха и

переносных измерительных приборов (отборные устройства для шланги карманы и т. д.)

Приборы могут устанавливаться для измерения

а) в системах приточной вентиляции температуры приточного и наружного воздуха и параметров теплоносителя (рис. 19.1 а)

б) в системах приточной вентиляции совмещенные с воздушным отоплением (рис. 19.1 б), температуры воздуха в обслуживаемых помещениях приточного и наружного воздуха и параметров теплоносителя,

в) в системах кондиционирования воздуха температуры воздуха в помещениях приточного воздуха и наружного

также температуры наружного и рециркуляции воздуха, относительной влажности воздуха в помещениях (при ее регулировании, а также по технологическим требованиям) температуры горячей воды до и после воздухонагревателей и водонагревателей, давления пара до воздухонагревателей т. д., подводимой к кранам воды подводимой к кранам или поверхности воздухонагревателю и ходящей от них из труб и дренажей

составлены для давления и разности давлений в двухканальных системах систем с переменным расходом воздуха в помещениях (по технологическим

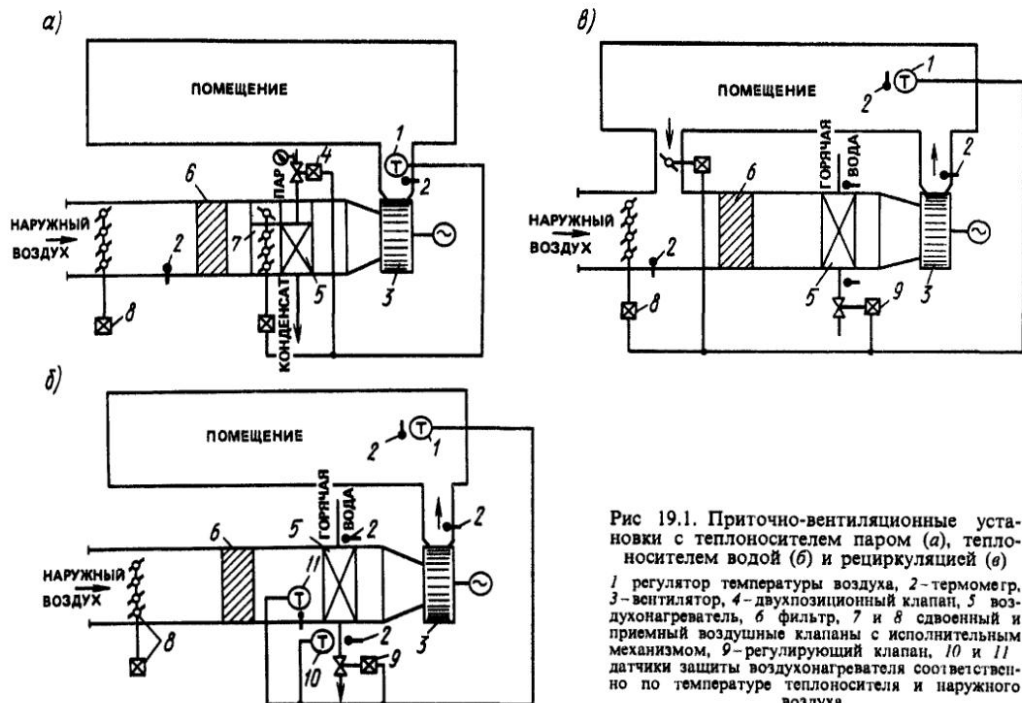


Рис. 19.1. Приточно-вентиляционные установки с теплоносителем паром (а), теплоснабжением водой (б) и рециркуляцией (в)

1 – регулятор температуры воздуха, 2 – термометр, 3 – вентилятор, 4 – двухпозиционный клапан, 5 – воздухонагреватель, 6 – фильтр, 7 и 8 – сдвоенные и приемный воздушные клапаны с исполнительным механизмом, 9 – регулирующий клапан, 10 и 11 – датчики защиты воздухонагревателя соответственно по температуре теплоносителя и наружного воздуха

**Примечание.** Измерения температуры горячей воды до воздухонагревателей и водоподогревателей, давления пара до воздухонагревателей, температуры холодной воды, поступающей и уходящей в систему холодаоснабжения, а также температуры наружного воздуха для нескольких систем, оборудование и кондиционеры которых расположены в одном помещении, рекомендуется производить по одному общему прибору, но следует предусматривать отдельные приборы для контроля температуры теплоносителя на каждом обратном трубопроводе,

г) в абонентских тепловых вводах с элеваторами (рис. 19.2) и насосным подмешиванием – температуры и давления воды в подающем трубопроводе тепловой сети, температуры воды на входе и выходе из системы отопления, давления воды до и после злеваторов и насосов и давления сетевой воды в обратном трубопроводе;

д) в абонентских тепловых вводах с беззлеваторным присоединением – температуры в подающем и обратном трубопроводе теплосети, давления воды на входе и выходе из системы отопления, температуры обратной воды из системы отопления;

е) в абонентских вводах с независимым присоединением системы отопления через во-

доводяной подогреватель – температуры и давления воды в подающем и обратном трубопроводах тепловой сети, температуры воды в системе отопления после подогревателей, давления обратной воды в системе отопления до насосов, температуры и давления обратной воды с системе отопления после насосов;

ж) в абонентских вводах пара – температуры и давления пара в тепловой сети и давления пара в системе отопления;

з) в системах горячего водоснабжения с

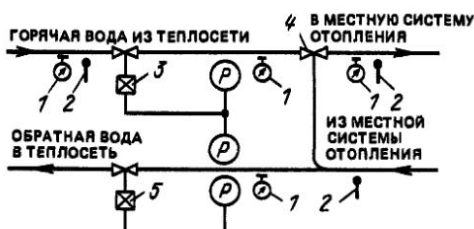


Рис. 19.2. Тепловой ввод с элеватором

1 – манометр, 2 – термометр, 3 – регулятор расхода воды в системе отопления, 4 – элеватор, 5 – регулятор давления (подпора) в обратном трубопроводе системы отопления

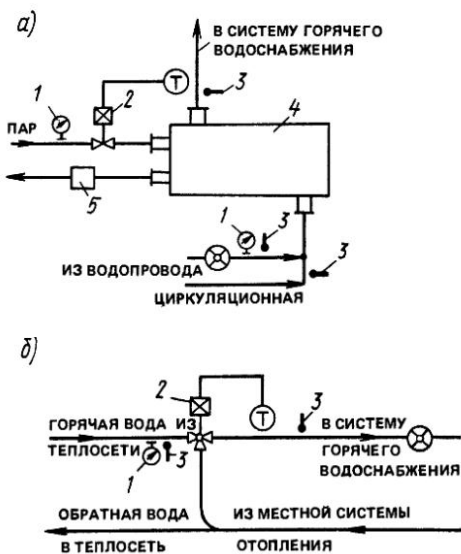


Рис. 19.3. Системы горячего водоснабжения с емким или скоростным пароводяным подогревателем (а) и с непосредственным водоразбором (б)

1—манометр; 2—регулятор температуры горячей воды; 3—термометр; 4—водоподогреватель; 5—конденсатоотводчик

емкими и скоростными пароводяными подогревателями (рис. 19.3, а)—давления пара на входе в подогреватель, температуры и давления водопроводной воды перед подогревателем, температуры воды, выходящей из подогревателя, температуры циркуляционной воды;

и) в системах горячего водоснабжения с водоводяными подогревателями—температуры и давления воды в подающем и обратном трубопроводах тепловой сети, температуры и давления водопроводной воды, температуры воды, выходящей из подогревателя, температуры циркуляционной воды и температуры воды между ступенями подогревателей;

к) в системах горячего водоснабжения с непосредственным водоразбором (рис. 19.3, б)—температуры и давления горячей воды в тепловой сети и температуры воды в системе горячего водоснабжения после смесительного клапана;

л) в системах горячего водоснабжения с открытым баком при теплоносителе пар—давления пара перед змеевиком, температуры горячей воды в баке, температуры водопроводной воды.

Все системы горячего водоснабжения следует оснащать приборами для учета расхода воды, устанавливаемыми на ответвлениях водопроводной воды к водонагревателям и на подающем трубопроводе горячей воды в системах с непосредственным водоразбором.

Тепловые вводы в здания необходимо оснащать приборами для учета расхода воды, подаваемой из тепловой сети, при этом желательно иметь приборы для учета расхода теплоты (тепломеры).

Водопроводные вводы в здания должны оборудоваться приборами для контроля расхода воды и давления воды до и после подкачивающих насосов.

Приборы контроля для сигнализации действия основного санитарного технического оборудования надлежит устанавливать в системах:

а) вентиляции с механическим побуждением обслуживающих производственные помещения без естественного проветривания (за исключением туалетов, курительных, гардеробных и других подобных помещений);

б) общеобменной вытяжной вентиляции, оборудование которых размещено в труднодоступных для обслуживания местах;

в) местных отсосов, удаляющих от оборудования воздух, насыщенный парами вредных веществ 1-го и 2-го классов опасности, или взрывоопасные смеси;

г) общеобменной вытяжной вентиляции помещений категорий А и Б;

д) вытяжной вентиляции помещений складов категорий А и Б, в которых отклонение контролируемых параметров от нормы может привести к аварии;

е) аварийной приточно-вытяжной вентиляции;

ж) кондиционирования воздуха.

Расширительные баки систем водяного отопления должны иметь приборы для сигнализации нижнего аварийного уровня воды в них.

Для фильтров и пылеуловителей рекомендуется устанавливать контрольные приборы для измерения и сигнализации потерь давления в них.

### 19.3. АВТОМАТИЧЕСКОЕ РЕГУЛИРОВАНИЕ СИСТЕМ ОТОПЛЕНИЯ, ВЕНТИЛЯЦИИ И КОНДИЦИОНИРОВАНИЯ ВОЗДУХА

Выбор системы автоматического регулирования (позиционной, пропорциональной, пропорционально-интегральной и т. п.) зависит от требований к точности поддержания регулируемых параметров, динамических свойств объектов регулирования и регуляторов, назначения систем, а также технической и экономической целесообразности.

По виду используемой вспомогательной энергии системы регулирования могут быть электрическими, пневматическими, гидравлическими или смешанными (электропневматические, электрогидравлические, пневмоэлектрические и т. п.).

При автоматизации внутренних санитарно-технических систем преимущественное распространение получили **электрические системы регулирования**.

**Пневматические системы** автоматического регулирования применяют, как правило, при наличии в здании сетей сжатого воздуха с давлением 0,35–0,6 МПа, а также при установке приборов в пожаро- и взрывоопасных помещениях. Класс загрязненности сжатого воздуха не должен быть ниже 1-го по ГОСТ 17433–80 «Промышленная чистота. Сжатый воздух. Классы загрязненности».

При большом числе регулирующих органов могут применяться **электропневматические системы**, состоящие из электрических датчиков и пневматических исполнительных устройств.

**Гидравлические системы** автоматического регулирования (с использованием в качестве источника вспомогательной энергии воды) применяют для автоматизации тепловых вводов и систем горячего водоснабжения.

Автоматическое регулирование систем отопления, вентиляции и кондиционирования воздуха рекомендуется проектировать комплексно для всего здания на основе анализа процессов обработки воздуха для холодного, переходного и теплого периодов с учетом графиков температур теплоносителя и тепло-влаговоздушных балансов в помещениях с целью обеспечения экономичной эксплуатации с минимальным расходом тепловой и электрической энергии.

Автоматическое регулирование необходимо проектировать для систем:

а) водяного отопления при расходе теплоты за отопительный период 1 000 ГДж и более по зданию или по каждому фасаду либо по зоне помещения с неравномерными поступлениями теплоты в зону;

б) воздушного отопления и душирования рабочих мест;

в) приточной и вытяжной вентиляции, работающих с переменным расходом, а также с переменной смесью наружного и рециркуляционного воздуха;

г) приточной вентиляции (при обосновании);

д) кондиционирования, в том числе местного доувлажнения воздуха в помещениях;

е) холодоснабжения;

ж) обогрева полов зданий в районах с расчетной температурой наружного воздуха минус 40°С и ниже (параметры Б), расположенных над холодными подпольями жилых помещений, а также помещений с постоянным пребыванием людей в общественных, административно-бытовых и производственных зданиях, за исключением систем, присоединяемых к сетям централизованного теплоснабжения. Для общественных, административно-бытовых и производственных зданий рекомендуется предусматривать программное регулирование параметров, обеспечивающее снижение расхода теплоты и электроэнергии в нерабочее время, в том числе в выходные и праздничные дни.

Системы приточной вентиляции, совмещенной с отоплением, необходимо оснащать приборами автоматического регулирования температуры в обслуживаемых помещениях (рис. 19.1, б, в), а не совмещенной с отоплением – приборами регулирования температуры приточного воздуха (рис. 19.1, а).

Заданную температуру приточного воздуха в помещениях, обслуживаемых системами приточной вентиляции, поддерживают или изменением температуры приточного воздуха (качественный метод) или его расхода (количественный метод), либо применяя оба эти метода.

Автоматическое регулирование температуры воздуха в системах приточной вентиляции осуществляют или смешением наружного и рециркуляционного воздуха, или изменением теплоотдачи воздухонагревателей, либо ис-

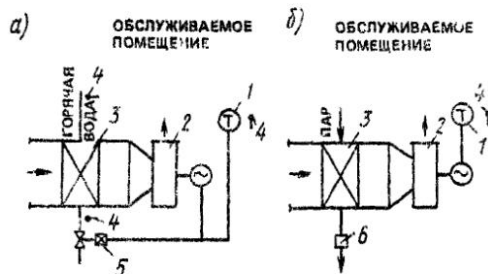


Рис. 19.4. Отопительные агрегаты с теплоносителем водой (а) и теплоносителем паром (б)

1 регулятор температуры воздуха в помещении, 2-вентилятор, 3 воздухонагреватель, 4 гермометр, 5 двунаправленный кран, 6 кран отвода конденсата

пользования (см. способы в рис. 19.1, б).

Для смешения наружного и рециркуляционного воздуха в системах приточной вентиляции следует предусматривать проходные, воздушные клапаны (заслонки), установленные в каналах наружного рециркуляционного воздуха, или сдвоенные смесительные воздушные клапаны в месте стыкования этих каналов.

Регулировать теплоотдачу воздухонагревателей в системах вентиляции и кондиционирования воздуха при теплоносителе воде рекомендуется, как правило, изменением расхода теплоносителя через воздухонагреватель (количествоенный метод) или, при обосновании, изменением температуры теплоносителя при постоянном его расходе (качественный метод).

Способ изменения производительности вентилятора (с помощью крана, направляющего аппарата или устройства для изменения частоты вращения рабочего колеса) зависит от требуемого диапазона регулирования и производительности вентилятора. Для более широкого диапазона времени имеется способ регулирования производительности вентиляторов, называемый с помощью напр.

правую, включением и отключением отдельных секций, а при повышенных требованиях к точности поддержания температуры плавным изменением напряжения на электрокалорифере.

Для регулирования систем кондициониро-

вания воздуха следует в зависимости от предъявляемых требований предусматривать поддержание в помещениях заданных температуры, относительной влажности, давления или разности давлений воздуха. Методы регулирования этих систем подробно рассмотрены в гл. 15.

Автоматическое регулирование температуры воздуха в помещениях, где установлены отопительные агрегаты (рис. 19.4), необходимо осуществлять двухпозиционно, предусматривая включение и отключение электродвигателей вентиляторов с одновременным включением и отключением подачи теплоносителя в воздухонагреватель. Допускается также пропорциональное регулирование подачи теплоносителя при постоянно работающих вентиляторах отопительных агрегатов.

Датчики для контроля и регулирования температуры и относительной влажности воздуха помещений следует устанавливать в характерных точках обслуживаемых помещений, но допускается также установка датчиков в рециркуляционных каналах, если параметры рециркуляционного воздуха не отличаются от параметров воздуха в помещении или отличаются на постоянную величину и если это не внесет существенных погрешностей в процесс регулирования.

Датчики не должны подвергаться воздействию тепловых потоков от нагретых поверхностей, их не следует устанавливать в местах с недостаточной циркуляцией воздуха и в зонах непосредственного воздействия погока приточного воздуха.

Во всех помещениях с неравномерными тепло- или влаговыделениями датчики надлежит устанавливать в каждой из зон с равномерными нагрузками и вести зональное регулирование. Регулирование по средним суммарным показаниям, как правило, приводит к равнинной величине.

Для соблюдения тепловых и гидравли-

ческих нормативов требуется автоматическое регулирование.

Центральное регулирование при теплоносителе воде осуществляется изменением температуры горячей воды непосредственно на ТЭЦ

или в котельных в зависимости от температуры наружного воздуха.

**Местное регулирование** систем отопления зданий дополняет центральное и его производят, как правило, на абонентских вводах или в тепловых пунктах с целью стабилизации или изменения по требуемому закону температуры воздуха в отапливаемых помещениях. Местное регулирование может осуществляться следующими методами:

по возмущению, т.е. регулирование температуры воды в системе отопления в зависимости от температуры наружного воздуха и других метеорологических факторов;

по отклонению, т.е. регулирование температуры воздуха непосредственно в отапливаемом помещении;

комбинированное, т.е. по возмущению и отклонению одновременно.

Абонентские вводы с элеваторами и насосами подмешивания, вводы с независимым присоединением системы отопления через водоподогреватель, подключенный к водяной тепловой сети, следует оснащать приборами автоматического регулирования температуры, а также приборами, поддерживающими постоянный расход воды в системе отопления.

Если давление в обратном трубопроводе тепловой сети меньше, чем статическое давление в местной системе отопления, то для поддержания необходимого давления в системе устанавливают на обратном трубопроводе регулятор давления (подпора).

**Индивидуальное автоматическое регулирование** температуры воздуха в отапливаемых помещениях осуществляют регуляторами, устанавливаемыми непосредственно у нагревательных приборов.

На расширительных баках систем водяного отопления рекомендуется устанавливать приборы для автоматической подпитки систем открыванием электромагнитного вентиля или клапана на водопроводной линии при нижнем уровне воды в баке и закрыванием при верхнем уровне.

В разветвленных водяных сетях систем теплоснабжения зданий следует предусматривать регуляторы давления в ответвлениях, идущих к системам отопления, вентиляции и кондиционирования воздуха.

## 19.4. АВТОМАТИЧЕСКОЕ РЕГУЛИРОВАНИЕ СИСТЕМ ГОРЯЧЕГО И ХОЛОДНОГО ВОДОСНАБЖЕНИЯ

Системы горячего водоснабжения с емкими и скоростными пароводяными подогревателями (см. рис. 19.3, а), открытыми баками, подогреваемыми паром, и скоростными водяными подогревателями для автоматического регулирования температуры горячей воды оснащаются клапанами, установленными на паропроводе или на подающем трубопроводе теплосети.

Системы горячего водоснабжения с непосредственным водоразбором (см. рис. 19.3, б) следует оснащать приборами для автоматического регулирования температуры горячей воды, смешивая воду из подающего трубопровода тепловой сети и обратную воду из местной системы отопления или циркуляционного трубопровода.

Водопроводные вводы в здания оборудуются приборами для автоматического регулирования давления включением и отключением насосов.

## 19.5. АВТОМАТИЧЕСКАЯ ЗАЩИТА ОБОРУДОВАНИЯ И БЛОКИРОВАНИЕ

С целью повышения надежности работы санитарно-технических систем и установок следует предусматривать автоматическую защиту оборудования и блокирование.

**Автоматическую защиту** воздухонагревателей от замерзания необходимо осуществлять при выключенном системе, если возможно проникание в воздухонагреватель воздуха с отрицательной температурой, и при работающей системе, если возможно падение давления или нарушение температурного графика сетевой воды при отрицательной температуре воздуха, поступающего в воздухонагреватель.

При остановленном кондиционере или приточной системе в случае снижения температуры воздуха перед воздухонагревателем до  $-3^{\circ}\text{C}$  датчик 11 (см. рис. 19.1, б) открывает регулирующий клапан 9 на трубопроводе теплоносителя и закрывает его, если температура воздуха перед воздухонагревателем станет выше  $+3^{\circ}\text{C}$  независимо от действия других регуляторов, соединенных с клапаном 9. Для

предохранения воздухонагревателя от замерзания в момент запуска системы предусматривается предварительное открытие клапана 9 на трубопроводе теплоносителя, что обеспечивает прогрев воздухонагревателя до открытия клапана (заслонки) 8 в канале наружного воздуха и включения вентилятора 3.

Защиту воздухонагревателей при неработающей системе можно также осуществлять периодическим открытием клапана 9 по команде датчика 10, установленного в трубопроводе обратной воды, если температура ее станет ниже 30 °С. Для осуществления этого способа защиты воздухонагревателя при остановленной системе необходимо обеспечить минимальный пропуск (протечку) теплоносителя через воздухонагреватель, для чего параллельно регулирующему клапану 9 подключают обводную линию с установленной на ней шайбой (на рисунке не показано).

Защита воздухонагревателей при работающей системе осуществляется датчиком температуры 10, сигнализирующим об аварии или отключающим систему и открывающим регулирующий клапан 9 при снижении температуры воды в обратном трубопроводе до 20–30 °С.

При температуре воздуха, поступающего в воздухонагреватель, выше 5 °С датчик температуры обратной воды 10 должен быть отключен датчиком температуры воздуха перед воздухонагревателем.

Автоматическую защиту воздухонагревателей от замерзания необходимо проектировать для местностей с расчетными наружными температурами холодного периода года минус 5 °С и ниже (расчетные параметры Б).

В системах утилизации теплоты следует предусматривать устройства защиты от замерзания промежуточного теплоносителя и от образования наледи на теплообменной поверхности теплоутилизаторов.

**Автоматическое блокирование** следует проектировать для:

а) открывания и закрывания воздушных клапанов (наружного, рециркуляционного и удаляемого воздуха), а также направляющих аппаратов при включении и отключении вентиляторов;

б) открывания и закрывания клапанов систем вентиляции и кондиционирования, соединенных воздуховодами, для полной или частичной взаимозаменяемости при выходе из строя одной из систем;

в) закрывания клапанов на воздуховодах для помещений, защищаемых установками газового пожаротушения, при отключении вентиляторов систем вентиляции этих помещений;

г) включения резервного оборудования при выходе из строя основного;

д) включения и отключения подачи теплоносителя и холдоносителя при включении и отключении соответственно воздухонагревателей и воздухоохладителей;

е) включения систем аварийной вентиляции при образовании в воздухе рабочей зоны концентрации вредных веществ, превышающих ПДК, а также концентраций горючих веществ в воздухе помещений, превышающих 10% нижнего концентрационного предела распространения пламени по газо-, паро- и пылевоздушным смесям.

Вентиляторы вытяжных систем, обслуживающих местные отсосы от технологического оборудования, рекомендуется блокировать с пусковым устройством этого оборудования.

Блокирование не встроенных в технологическое оборудование вентиляторов (при отсутствии резервных) для систем местных отсосов, удаляющих вредные вещества 1-го и 2-го классов опасности или взрывоопасные смеси, следует проектировать, предусматривая остановку технологического оборудования при выходе из строя вентиляторов, а при невозможности остановки технологического оборудования следует предусматривать включение аварийной сигнализации.

Для систем кондиционирования воздуха и приточной вентиляции, работающих с переменным расходом наружного воздуха, рекомендуется предусматривать блокировочные устройства для обеспечения подачи минимального расчетного расхода наружного воздуха в холодный период года, а для систем кондиционирования – также и в теплый период, когда энталпия наружного воздуха превышает энталпию внутреннего воздуха.

При регулировании теплоотдачи воздухонагревателей, работающих на паре, необходимо блокировать клапан на паропроводе с тем, чтобы при закрытых полностью створках воздушного клапана перед воздухонагревателем прекращалась бы подача пара в воздухонагреватель.

Электродвигатели фильтров, насосов, вытяжных вентиляторов рекомендуется блокировать с электродвигателями приточных венти-

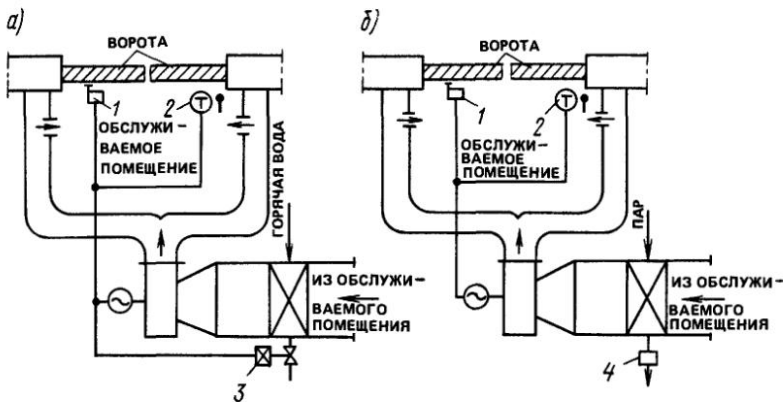


Рис. 19.5. Воздушно-тепловые завесы с теплоносителем водой (а) и теплоносителем паром (б)

1—конечный выключатель, фиксирующий открытие ворот; 2—датчик температуры; 3—двуихпозиционный клапан, 4—конденсато-отводчик

ляторов при дистанционном (диспетчерском) управлении системами, а также при управлении системами со щитов автоматизации.

Для электродвигателя вентилятора воздушной или воздушно-тепловой завесы (рис. 19.5) следует предусматривать блокирование с механизмом открывания ворот, дверей и технологических проемов, обслуживаемых завесами. Кроме того, необходимо отключать вентилятор воздушно-тепловой завесы и сокращать до минимума подачу теплоносителя в воздухонагреватели после закрытия ворот, дверей и технологических проемов, но не ранее восстановления нормируемой температуры воздуха в помещении.

Для вытяжных вентиляционных систем, в составе которых имеются мокрые пылеуловители, следует предусматривать блокирование вентилятора с подачей воды в пылеуловители, обеспечивая:

- включение подачи воды при включении вентилятора;
- отключение подачи воды при остановке вентилятора;
- остановку вентилятора при прекращении подачи воды или падении уровня воды в пылеуловителе;
- запрещение включения вентилятора при отсутствии воды или уровне воды в пылеуловителе ниже заданного.

Для зданий и помещений, оборудованных автоматическими установками пожаротушения или сигнализацией о возникновении пожара,

следует осуществлять блокирование электро-приемников (кроме электроприемников оборудования, присоединенного к однофазной сети освещения) систем вентиляции, кондиционирования и воздушного отопления, а также систем противодымной вентиляции с этими установками, предусматривая:

- отключение при пожаре систем вентиляции, кроме систем подачи воздуха в тамбуры-шлюзы при помещениях категорий А и Б;
- включение при пожаре систем противодымной вентиляции;
- открывание дымовых клапанов на этаже пожара или в дымовой зоне, в которой произошел пожар.

Необходимость полного или частичного отключения систем вентиляции должна определяться по технологическим требованиям.

Системы вентиляции, блокированные с автоматическими установками тушения пожара, следует оборудовать дистанционными устройствами для отключения систем вентиляции и включения систем противодымной вентиляции, если указанные автоматические установки не имеют дистанционного управления.

Дистанционные устройства для отключения систем вентиляции помещений, оборудуемых автоматическими установками тушения пожара или сигнализации о возникновении пожара, следует размещать вне этих помещений.

При наличии требований одновременного отключения всех систем вентиляции в помещениях категорий А и Б дистанционные устройства следует предусматривать снаружи здания.

Для помещений категории В допускается предусматривать дистанционное отключение систем вентиляции для отдельных зон площадью не менее 2500 м<sup>2</sup>.

В жилых зданиях приборы дистанционного включения систем противодымной вентиляции следует размещать в шкафах противопожарных кранов.

## 19.6. УПРАВЛЕНИЕ ЭЛЕКТРОДВИГАТЕЛЯМИ И ДИСПЕТЧЕРИЗАЦИЯ

Управление санитарно-техническими системами в зависимости от расположения средств управления подразделяется на местное, дистанционное и диспетчерское.

При местном управлении электродвигателями кнопки и ключи управления размещают на местных щитах или непосредственно у электродвигателей.

При дистанционном управлении кнопки и ключи управления располагают в помещениях, обслуживаемых системами вентиляции и кондиционирования воздуха, или на щитах управления и автоматизации, находящихся в других помещениях.

При диспетчерском управлении кнопки или ключи управления устанавливают на диспетчерских щитах, располагаемых в специально

выделенных помещениях диспетчерских пунктов.

Диспетчеризацию автоматизированных санитарно-технических систем рекомендуется предусматривать для крупных промышленных предприятий и общественных зданий. На диспетчеризацию возлагаются централизованное управление работой систем, централизованный контроль наиболее характерных параметров, сигнализация их состояния и сигнализация аварийного отключения систем.

Диспетчеризация должна обеспечивать оперативность контроля и управления, полное или частичное сокращение дежурного персонала у местных щитов автоматизации и у оборудования, экономию холода- и теплоносителя и электроэнергии.

Диспетчеризацию санитарно-технических систем целесообразно объединять с диспетчеризацией систем электроснабжения, водоснабжения, тепло- и холодоснабжения, а в обоснованных случаях – и с диспетчеризацией основных технологических процессов.

Диспетчерскому персоналу необходимо обеспечить возможность дистанционного измерения основных параметров состояния воздуха в помещениях, а также параметров тепло- и холдоносителя. В ряде случаев желательна замена контроля параметров сигнализацией об их предельных значениях или отклонении от заданных значений.

# Глава 20

## ПРОТИВОПОЖАРНЫЕ ТРЕБОВАНИЯ

### 20.1. ОБЩИЕ ПОЛОЖЕНИЯ

Отопление, вентиляцию и кондиционирование воздуха следует проектировать, соблюдая «Противопожарные нормы» СНиП 2.01.02-85 и противопожарные требования, содержащиеся в СНиП 2.04.05-86 «Отопление, вентиляция и кондиционирование воздуха», СНиП 2.09.02-85 «Производственные здания», СНиП 2.08.01-89 «Жилые здания», СНиП 2.08.02-89 «Общественные здания и сооружения», СНиП 2.09.04-87 «Административные и бытовые здания», СНиП 2.09.04-86 «Сооружения промышленных предприятий», СНиП 2.11.01-85 «Складские здания» и СНиП 2.04.14-88 «Тепловая изоляция оборудования и трубопроводов».

По взрывопожарной и пожарной опасности помещения и здания разделяются на категории А, Б, В, Г и Д в зависимости от размещенных в них технологических процессов и свойств находящихся веществ и материалов. Категории зданий и помещений устанавливаются в технологической части проекта.

Строительные материалы по горючести (воздгораемости) разделяются на три группы: негорючие (нестгораемые), трудногорючие (трудносгораемые) и горючие (сгораемые), причем терминами в скобках пользоваться не следует. Группы горючести строительных материалов определяются стандартами СЭВ 382-76 и 2437-80.

Условия применения электрического оборудования определяются «Правилами устройства электроустановок» (ПУЭ), согласно которым взрывоопасные помещения подразделяются на пять классов: В-I, В-Іа, В-Іб, В-II и В-ІІа; пожароопасные – на три класса: П-I, П-2 и П-2а.

Горячие поверхности отопительного и вентиляционного оборудования, трубопроводов и воздуховодов, размещаемых в помещениях, в которых они создают опасность воспламенения газов, паров, аэрозолей или пыли, следует изолировать, чтобы температура на поверхности

теплоизоляционной конструкции была не менее чем на 20% ниже температуры их самовоспламенения.

Теплоизоляционные конструкции из горючих материалов не допускается проектировать для оборудования и трубопроводов, расположенных в зданиях (кроме зданий IVa и V степеней огнестойкости) одно- и двухквартирных жилых домов и охлаждаемых помещений ходильников; при этом допускается применение из горючих материалов пароизоляционного слоя голщиной не более 2 мм, окраски или пленки толщиной не более 0,4 мм, покровного слоя трубопроводов, расположенных в технических подвальных этажах и подпольях с выходом только наружу в зданиях I и II степеней огнестойкости при устройстве вставок длиной 3 м из негорючих материалов не менее чем через 30 м длины трубопровода. При пересечении противопожарной преграды следует предусматривать теплоизоляционные конструкции из негорючих материалов в пределах размеров противопожарной преграды.

Нестандартизированное оборудование, воздуховоды и теплоизоляционные конструкции следует проектировать из материалов, разрешенных к применению в строительстве.

### 20.2. СИСТЕМЫ ОТОПЛЕНИЯ

Температуру теплоносителя для систем с местными отопительными приборами, размещаемыми в помещениях категорий А, Б и В, следует принимать не менее чем на 20% ниже температуры самовоспламенения газов, паров, аэрозолей и пыли, выделяющихся в помещении, но не выше: при отсутствии выделений пыли – при теплоносителе воде 150° С и паре 130° С; при выделении горячей пыли – 110° С в помещениях категорий А и Б и 130° С – категорий В.

В помещениях категорий А, Б и В, а также в помещениях зданий IIIб, IV, IVa и V степени огнестойкости не допускается отопление газовыми или электрическими приборами с темпе-

ратурой на поверхности выше 110° С.

В помещениях категорий А и Б следует проектировать, как правило, воздушное отопление. Допускается применение систем водяного или парового отопления с местными нагревательными приборами, за исключением помещений, в которых хранятся или применяются вещества, образующие при контакте с водой или водяными парами взрывоопасные смеси, или вещества, способные к самовозгоранию или взрыву при взаимодействии с водой.

Расстояние от поверхности трубопроводов, отопительных приборов и воздухонагревателей с теплоносителем температурой 105° С и выше до конструкций из горючих материалов следует принимать не менее 100 мм; при меньшем расстоянии следует предусматривать тепловую изоляцию этих конструкций негорючими материалами.

В местах пересечения перекрытий, внутренних стен и перегородок трубопроводы отопления и внутреннего теплоснабжения следует прокладывать в гильзах из негорючих материалов, предусматривая заделку зазоров в гильзах негорючими материалами, обеспечивая нормируемый предел огнестойкости ограждений.

Прокладка или пересечение в одном канале трубопроводов отопления с трубопроводами горючих жидкостей с температурой вспышки паров 170° С и менее или горючих и агрессивных паров и газов не допускается.

В помещениях категорий А, Б и В отопительные приборы систем водяного и парового отопления следует применять с гладкой поверхностью без оребрения, допускающей легкую очистку:

а) радиаторы секционные или панельные одинарные типов Зс-11, М-140, РД-90, Стандарт-90, КЛТ (одинарные), причем приборы Зс-11 и КЛТ при условии установки на расстоянии не менее 100 мм от стены в свету;

б) радиаторы секционные или панельные спаренные или одинарные для помещений, в которых отсутствуют горючая пыль или горючие отходы производства типов М-140-АО, Зс-21 и КЛТ (спаренные), причем все эти приборы следует размещать на расстоянии не менее 100 мм от стен помещения; применение конвекторов допускается в помещениях категории В, если в них отсутствует выделение горючей пыли.

Применение других приборов, кроме приборов из стальных гладких труб, требует согласования с органами пожарного надзора.

В лестничных клетках отопительные приборы не должны выступать из плоскости стен на высоте до 2,2 м от поверхности ступеней и площадок лестницы.

Отопительные приборы следует ограждать съемными экранами из негорючих материалов в помещениях для наполнения и хранения баллонов со сжатыми и сжиженными горючими и негорючими газами при любой температуре теплоносителя, а также в помещениях складов и кладовых категорий А, Б и В в местах складирования горючих материалов в цехах при температуре теплоносителя более 130° С. Экраны следует размещать на расстоянии не менее 100 мм от приборов отопления в свету. Конвекторы с кожухом ограждать экранами не требуется.

Печное отопление не допускается применять для помещений категорий А, Б и В.

### 20.3. СИСТЕМЫ ВЕНТИЛЯЦИИ, КОНДИЦИОНИРОВАНИЯ ВОЗДУХА И ВОЗДУШНОГО ОТОПЛЕНИЯ

Температуру теплоносителя для воздухонагревателей систем вентиляции, кондиционирования воздуха и воздушного отопления или воздухонагревателей, располагаемых в помещениях категории В, а также для воздушно-тепловых завес в помещениях категорий А, Б и В следует принимать в соответствии с указаниями в п. 20.2. Предельная температура теплоносителя для установок, располагаемых вне обслуживаемых помещений, 150° С.

Температуру воздуха при выходе из воздухораспределителей систем воздушного отопления следует принимать не более 60° С и не менее чем на 20% ниже температуры самовоспламенения газов, паров, аэрозолей и пыли, выделяющихся в помещении, но не выше 50° С у наружных дверей и 70° С у наружных ворот и технологических проемов при выпуске воздуха из воздушных завес.

Концентрация горючих газов, паров, аэрозолей и пыли в воздухе, удаляемом системами местных отсосов, не должна превышать 50% нижнего концентрационного предела распространения пламени при атмосферном давлении и температуре удаляемой смеси.

Системы вытяжной общеобменной вентиляции для помещений категорий А и Б следует проектировать с искусственным побуждением. Системы с естественным побуждением для этих помещений допускается применять, если заданный воздухообмен из нижней и верхней зон может быть обеспечен при безветрии в теплый период года.

Системы общеобменной вытяжной вентиляции для помещений категорий А и Б и системы местных отсосов взрывоопасных веществ, удаляемых из этого помещения, следует проектировать с резервным вентилятором, обеспечивающим поддержание в воздухе помещения концентрации взрывоопасных веществ, не превышающей 0,1 нижнего концентрационного предела распространения пламени по смесям взрывоопасных веществ с воздухом. Системы местных отсосов взрывоопасных смесей следует проектировать с резервным вентилятором, если при остановке основного вентилятора не может быть прекращено выделение горючих веществ из обслуживаемого оборудования.

Устанавливая в воздуховодах огнезадерживающие клапаны в месте пересечения воздуховодами противопожарных преград, допускается в пределах противопожарного отсека проектировать общеобменные системы вентиляции, кондиционирования воздуха и воздушного отопления:

а) системы, обслуживающие помещения категории Д с присоединенными к ним воздуховодами, обслуживающими помещения категории В общей площадью не более 200 м<sup>2</sup>;

б) системы, обслуживающие помещения категорий А и Б, расположенные не более чем в трех этажах, с присоединением к ним воздуховодов из расположенных на тех же этажах помещений категории Д, складов категорий А и Б площадью по 55 м<sup>2</sup> или менее каждый и административно-бытовые помещения, всего присоединенных помещений и складов не более 200 м<sup>2</sup>;

в) системы, обслуживающие помещения категории В с присоединенными к ним воздуховодами из помещений категории Д, складов категорий В площадью 55 м<sup>2</sup> или менее каждый; административно-бытовые помещения не более чем на трех этажах; всего присоединенных помещений и складов не более 200 м<sup>2</sup>;

г) общие системы для нескольких складов одной из категорий А, Б или В либо складовых

горючих материалов (площади не ограничены), расположенных на одном этаже.

Общеобменные системы без установки огнезадерживающих клапанов следует проектировать для:

а) помещений категорий А, Б и В в любых сочетаниях и складов категорий А, Б и В в любых сочетаниях общей площадью не более 1100 м<sup>2</sup>, если эти помещения расположены в одноэтажном здании и имеют выходы только наружу;

б) помещений категории В и отдельных административно-бытовых помещений, размещенных на площади производственного помещения;

в) жилых и общественных помещений, предусматривая отдельные системы по требованиям СНиП 2.08.01-89 и 2.08.02-89;

г) общественных помещений и отдельных помещений площадью не более 200 м<sup>2</sup> категории Д.

Системы местных отсосов вредных или горючих веществ следует проектировать отдельными от других систем. К круглосуточно работающей системе общеобменной вытяжной вентиляции, имеющей резервный вентилятор, можно присоединять местные отсосы вредных или горючих веществ, от которых не требуется очистка воздуха.

Системы местных отсосов веществ, соединение которых может образовать взрывоопасную смесь или создать более опасные и вредные вещества, следует проектировать отдельными.

Общие системы допускается проектировать для каждой из следующих групп складов: категорий А и Б, складов категории В и складовых горючих материалов общей площадью не более 50 м<sup>2</sup>, размещенных не более чем в трех этажах, при установке огнезадерживающих клапанов в местах пересечения противопожарных преград каждого из складов или складовых.

Для складов категорий А, Б и В, в которых выделяются горючие газы и пары, необходима вентиляция с искусственным побуждением, за исключением складов, в которых эти выделения легче воздуха и требуемый воздухообмен не более двухкратного; в них допускается естественная вытяжная вентиляция из верхней зоны. При этом для складов вместимостью более 10 т должна быть устроена вытяжная вентиляция с искусственным побуждением на требуемый

воздухообмен, включаемая при входе в склад.

В помещениях категорий А и Б надлежит обеспечивать отрицательный дисбаланс воздуха.

Общие приемные устройства наружного воздуха для приточного оборудования не следует делать, если оборудование не допускается размещать в общем помещении.

Рециркуляция воздуха не допускается из помещений категорий А и Б, кроме воздушных и воздушно-тепловых завес у наружных ворот и дверей. Не допускается рециркуляция из 5-метровых зон вокруг оборудования, в котором могут образовываться взрывоопасные смеси (например, окрасочные камеры), и из систем местных отсосов взрывоопасных смесей.

В помещениях категорий А и Б необходимо устраивать аварийную вентиляцию по требованиям технологов. Аварийная вентиляция должна иметь искусственное побуждение, как правило, она должна быть вытяжной. В одноэтажных зданиях, в которых выделяются горючие газы и пары легче воздуха, допускается приточная аварийная вентиляция. При отсутствии технологических данных о расходе воздуха принимается 8-кратный аварийный воздухообмен в помещениях высотой до 6 м, а в помещениях высотой более 6 м принимается не менее  $50 \text{ м}^3/\text{ч}$  на  $1 \text{ м}^2$  площади пола помещения. В насосных и компрессорных станциях категорий А и Б указанный выше воздухообмен проектируется в дополнение к воздухообмену, обеспечивающему основными системами.

Для аварийной вентиляции следует использовать основные системы вытяжной вентиляции, обеспечивающие расход воздуха, достаточный для аварийной вентиляции. При отсутствии резервных вентиляторов у основных систем проектируется резервный вентилятор\* только для системы, имеющей максимальный расход воздуха. Если расход воздуха основных систем недостаточен для аварийной вентиляции, то к большей из этих систем надлежит установить резервный вентилятор и предусмотреть аварийный вентилятор на недостающий расход. К аварийным вентиляторам не требуется проектировать резервных вентиляторов.

Оборудование во взрывозащищенном исполнении необходимо принимать для вытяжных систем, удаляющих воздух из помещений категорий А и Б; для оборудования, размещенного в упомянутых помещениях или в вытяжных воздуховодах из этих помещений, и для систем местных отсосов взрывоопасных смесей. Оборудование приточных систем, размещенное в помещениях для вентиляционного оборудования, допускается в обычном исполнении при условии установки взрывозащищенных обратных клапанов в воздуховодах, пересекающих стену помещения, в котором оборудование установлено.

Оборудование для помещений категорий А и Б и для систем местных отсосов взрывоопасных смесей не допускается размещать в подвале.

Пылеуловители для сухой очистки взрывоопасной пылевоздушной смеси следует устанавливать перед вентилятором вне производственных зданий, открыто или в отдельных зданиях на расстоянии не менее 10 м от стен обслуживаемого и других зданий.

Пылеуловители для сухой очистки пожароопасной пылевоздушной смеси следует размещать вне зданий I и II степени огнестойкости непосредственно у стен, если по всей высоте здания и на расстоянии не менее 2 м по горизонтали от габаритов пылеуловителя не имеется окон или имеются окна неоткрывающиеся с двойными рамами, металлическими переплетами с армированными стеклами или из стеклоблоков; вне зданий III–V степени огнестойкости на расстоянии не менее 10 м от стен; внутри производственных зданий в отдельных помещениях для вентиляционного оборудования вместе с вентиляторами и другими пылеуловителями пожароопасных пылевоздушных смесей при условии механизированного непрерывного удаления горючей пыли.

Пылеотстойные камеры для взрыво- и пожароопасной пыли применять не допускается.

Оборудование приточных систем, обслуживающее помещения категорий А и Б, не допускается размещать вместе с оборудованием вытяжных систем, а также с оборудованием систем, работающих с рециркуляцией воздуха в общем помещении для вентиляционного оборудования.

В местах пересечения воздуховодами стен помещения для вентиляционного оборудова-

\* При учете одновременно одной аварии производства или вентиляции установка резервного вентилятора не обязательна.

ния, обслуживающего помещения категорий А и Б и помещения, расположенные на их площади, следует предусматривать обратные взрывозащищенные клапаны. Оборудование приточных систем с рециркуляцией воздуха, обслуживающее помещение категории В, не допускается размещать в общих помещениях для вентиляционного оборудования, кроме оборудования приточных и вытяжных систем, обслуживающих помещения категории В.

Оборудование вытяжных систем общеобменной вентиляции, обслуживающее помещения категорий А и Б, допускается размещать в общем помещении для вентиляционного оборудования вместе с оборудованием местных отсосов взрывоопасных смесей без пылеуловителей или с мокрыми пылеуловителями, если в воздуховодах исключено отложение горючих веществ. Оборудование вытяжных систем из помещений категории В не следует размещать в общем помещении с оборудованием вытяжных систем из помещений категории Г.

Помещения для вентиляционного оборудования вытяжных систем следует относить к категориям помещений, которые они обслуживают, а помещения для оборудования систем местных отсосов, удаляющих взрывоопасные смеси, относить к категориям А или Б; если они имеют пылеуловители мокрой очистки, размещенные перед вентиляторами, то помещения для этого оборудования допускается (при обосновании) относить к категории помещения, которое они обслуживают, или к категории Д.

Помещения для оборудования приточных систем следует относить к категории В, если в этих помещениях размещены фильтры, содержащие 75 л и более масла в одной системе, или если система работает с рециркуляцией воздуха из помещения категории В.

В помещениях для вентиляционного оборудования, обслуживающего помещения категорий А и Б, и для оборудования систем местных отсосов взрывоопасных смесей запрещено отводить места для ремонтных работ, регенерации масла и других целей, а в помещениях для вытяжных систем из помещений этих категорий – устройство тепловых пунктов.

Помещения для вентиляционного оборудования допускается размещать за противопожарной стеной 1-го типа данного противопожарного отсека или в пределах противопо-

жарной зоны в зданиях I, II и III степени огнестойкости за противопожарной стеной 2-го типа. Помещение должно непосредственно примыкать к противопожарной стене обслуживаемого отсека и в нем не следует размещать оборудование для помещений соседнего противопожарного отсека. На воздуховодах, пересекающих противопожарную стену, следует предусмотреть огнезадерживающие клапаны.

Помещения для сухих пылеуловителей систем местных отсосов взрывоопасных смесей не следует размещать под помещениями с массовым (кроме аварийных ситуаций) пребыванием людей.

Воздуховоды для помещений жилых, общественных и административно-бытовых зданий, а также для производственных зданий категорий Г и Д I и II степени огнестойкости и помещений этих категорий соединяются в системы с помощью вертикальных или горизонтальных коллекторов.

Воздуховоды зданий III и V степени огнестойкости категорий Г и Д помещений тех же категорий не допускается присоединять к вертикальным коллекторам.

Позажные ответвления присоединяются к вертикальным коллекторам через воздушный затвор, образующийся присоединением ответвлений под потолком вышележащего этажа или под потолком данного этажа, при наличии вертикального участка в месте присоединения длиной не менее 2 м.

К горизонтальным коллекторам можно присоединять воздуховоды не более пяти позажных ответвлений. Допускается прямое присоединение позажных ответвлений к вертикальному коллектору через огнезадерживающий клапан, размещаемый на стене помещения или коллектора. Воздуховоды зданий больничных палат и особо чистых помещений лечебно-профилактических учреждений соединяются в системы с помощью горизонтальных коллекторов.

Позажные ответвления к местным эжекционным доводчикам допускается присоединять к вертикальному коллектору в пределах данного и ниже расположенного этажа.

На ответвлениях от вертикального коллектора, через которые при пожаре может поступать дым из нижних этажей в верхние, если они не защищены воздушным затвором, следует устанавливать обратные клапаны при диаметре

воздуховода 200 мм и более и сечении 200 × 200 мм и более.

Воздуховоды для помещений категорий А, Б и В и воздуховоды местных отсосов взрывоопасных смесей в зданиях любых категорий взрывопожарной опасности следует проектировать, предусматривая установку самозакрывающегося огнезадерживающего клапана при выходе воздуховода из обслуживаемого помещения на противопожарной преграде этого помещения. При этом никаких ограничений к компоновке системы воздуховодов не предъявляется. Для перечисленных случаев могут быть запроектированы системы без огнезадерживающих клапанов со следующими ограничениями: для помещений категорий В должна быть запроектирована отдельная система, а для помещений категорий А и Б—общая система, в обоих случаях с отдельными воздуховодами для каждого помещения, присоединяемыми к вертикальному или горизонтальному коллектору; на ответвлениях, для защиты от проникания дыма из нижних этажей в верхние, в месте присоединения к коллектору должен быть установлен обратный клапан; коллектор может быть размещен в помещении для вентиляционного оборудования, снаружи здания, в помещении любой категории или в двух помещениях одной категории.

В противопожарных стенах и перегородках, разделяющих помещения, а также отделяющих помещения от коридоров, допускается устройство отверстий для перетекания воздуха, если в помещении отсутствуют вредные вещества 1- и 2-го классов опасности, а концентрация других вредных веществ не превышает ПДК. Отверстия должны быть защищены огнезадерживающими клапанами, автоматически закрывающимися при пожаре.

Группа помещений площадью не более 300 м<sup>2</sup> (кроме складов) в зданиях любой категории с выходами в общий коридор, отнесенная к категории В или к категориям А и Б, рассматривается как одно помещение и может быть присоединена к одному транзитному воздуховоду, в начале которого должен быть установлен огнезадерживающий клапан. Транзитные воздуховоды от нескольких групп таких помещений, присоединенные к общему коллектору, образуют приточную или вытяжную систему. Имеющиеся в этих помещениях мест-

ные отсосы должны собираться в отдельные системы. Воздуховоды к коллектору прокладываются по коридору.

Воздуховоды должны изготавляться из негорючих материалов для жилых, общественных и административно-бытовых зданий, для помещений категорий А, Б и В, для кладовых горючих материалов, для коллекторов и транзитных воздуховодов, внутри помещений для вентиляционного оборудования, чердаков и подвалов, для местных отсосов взрывоопасных смесей и для воздуха с температурой 80° С и более. Антикоррозийная защита допускается горючими материалами толщиной не более 0,4 мм. Воздуховоды из трудногорючих материалов допускается применять для одноэтажных жилых, общественных и административно-бытовых зданий, кроме помещений с массовым пребыванием людей, для производственных помещений категорий Г и Д (кроме коллекторов и транзитных участков) и для прокладки внутри обслуживаемых производственных помещений. Воздуховоды из горючих материалов допускается применять внутри обслуживаемых производственных помещений. Для транзитных воздуховодов, обслуживающих помещения категорий А и Б, следует применять воздуховоды класса П (плотные). Воздуховоды для помещений категорий А и Б и для местных отсосов взрывоопасных веществ не допускается прокладывать в подвалах.

Транзитные воздуховоды и коллекторы, обслуживающие помещения жилых, общественных, административно-бытовых и производственных зданий I и II степени огнестойкости категорий Г и Д, от ближайшей к обслуживаемому помещению противопожарной преграды с нормируемым пределом огнестойкости 0,75 ч и более на всем протяжении до помещения для вентиляционного оборудования следует проектировать с пределом огнестойкости 0,5 ч в зданиях, имеющих два этажа и более, и 0,25 ч в одноэтажных зданиях и в пределах одного этажа в более высоких зданиях. Транзитные воздуховоды, обслуживающие помещения категорий А, Б и В и кладовые горючих материалов или прокладываемые через эти помещения, следует проектировать с пределом огнестойкости 0,25 ч в одноэтажных зданиях или в пределах одного этажа зданий с любым числом этажей и 0,5 ч за пределами обслуживаемого этажа, а также в складах и

кладовых на всех этажах. Для помещений общественных и административно-бытовых зданий, а также для помещений категорий В (кроме складов), Г и Д допускается проектировать воздуховоды из негорючих материалов с ненормируемым пределом огнестойкости, предусматривая установку огнезадерживающих клапанов при пересечении каждой противопожарной преграды с пределом (нормируемым) огнестойкости 0,75 ч и более. Транзитные воздуховоды допускается проектировать из трудногорючих материалов при прокладке каждого в отдельной шахте, кожухе или гильзе из негорючих материалов с пределом огнестойкости 0,5 ч; из негорючих материалов с пределом огнестойкости ниже нормируемого при прокладке воздуховодов в общей шахте из негорючих материалов с пределом огнестойкости 0,5 ч.

Транзитные воздуховоды систем местных отсосов взрывоопасных смесей и воздуховоды для тамбуров-шлюзов при помещениях категорий А и Б следует проектировать с пределом огнестойкости 0,5 ч; с таким же пределом огнестойкости проектируются коллекторы для воздуховодов, обслуживающих помещения категорий А, Б и В; коллекторы для воздуховодов, обслуживающих помещения категорий Г и Д в зданиях III - V степени огнестойкости, а также транзитные воздуховоды, прокладываемые через межэтажные перекрытия этих зданий, должны иметь предел огнестойкости 0,5 ч.

Огнезадерживающие клапаны в отверстиях и воздуховодах, пересекающих противопожарные стены и перегородки (преграды), должны иметь предел огнестойкости 1 ч при прегrade с нормируемым пределом огнестойкости 2,5 ч; 0,5 ч при преграде 0,75 ч и 0,25 ч при преграде той же огнестойкости.

Расстояние по прямой от края устья источника выброса из систем местных отсосов взрывоопасной парогазопылевоздушной смеси до ближайшей точки возможных источников воспламенения следует принимать не менее  $l = 4Dq/q_z \geq 10$ , где  $D$  - диаметр устья источника, м;  $q$  - концентрация горючих газов, паров и пыли в устье выброса;  $q_z$  - концентрация упомянутых веществ, равная 10% нижнего концентрационного предела распространения пламени; выбросы должны производиться вертикально вверх без зонтов на трубах.

На случай пожара необходимо предусматривать отключение (автоматическое и дистан-

ционное) систем вентиляции, кондиционирования воздуха и воздушного отопления, кроме систем подачи воздуха в тамбуры-шлюзы при помещениях категорий А и Б, включение систем противодымной вентиляции и открывание дымовых клапанов в коридоре на этаже пожара и в помещении, в котором произошел пожар, либо в части помещения в «дымовой зоне» этого помещения; открывание клапанов должно производиться автоматически; необходимость и порядок отключения систем, удаляющих горючие вещества или вредные газы через местные отсосы или общееобменной вентиляцией, должны определяться технологическими требованиями. Управление дистанционными устройствами должно, как правило, размещаться на пульте управления оборудования здания, кроме случаев, когда в зданиях категорий А и Б предполагается быстрое распространение пожара; в этом случае управление должно размещаться вне здания.

#### 20.4. УДАЛЕНИЕ ДЫМА ПРИ ПОЖАРЕ ИЗ КОРИДОРОВ ИЛИ ХОЛЛОВ

Удаление дыма из коридоров (предназначенных для эвакуации людей) или холлов (при отсутствии коридора) следует проектировать для жилых зданий высотой более 10 этажей, общественных зданий высотой 10 надземных этажей и более или для 9-этажных зданий и зданий с меньшим числом этажей, имеющих высоту\* более 26,5 м от средней планировочной отметки земли до отметки пола верхнего этажа (не считая верхнего технического этажа), из коридоров, не имеющих световых проемов в наружных ограждениях, длиной более 12 м, предназначенных для эвакуации людей, в зданиях любого назначения, из коридоров производственных и административно-бытовых зданий высотой более 26,5 м от планировочной отметки земли до отметки чистого пола верхнего этажа. Удаление дыма из коридоров или холлов, этажей, на которых из всех помещений предусмотрено удаление дыма, проектировать не нужно.

Расход дыма, кг/ч, удаляемого из коридо-

\* Высоту зданий предполагается унифицировать, приняв ее равной 26,5 м, без указания этажности.

ТАБЛИЦА 20.1. ДЫМОВЫЕ КЛАПАНЫ ОДЕССКОГО ЭКСПЕРИМЕНТАЛЬНОГО РЕМОНТНО-МЕХАНИЧЕСКОГО ЗАВОДА

Обозначение клапана	Площадь проходного сечения, м <sup>2</sup> , не менее	Установочные размеры, мм, не более			Масса, кг, не более	Пределы огнестойкости, ч, не менее
		длина <i>l</i>	высота <i>h</i>	ширина <i>b</i>		
КПДШГ-25	0,25	750	500	—	21	1
КПДШВ-25	0,25	500	750	—	21	1
КПДШК-25	0,25	600	600	—	21	1
КПДШК-30	0,30	650	650	140	25	1
КПДШК-35	0,35	700	700	—	29	1
КПДШК-40	0,40	750	750	—	34	1

Примечание Тип привода для открытия клапана: электрический автоматический, для закрытия ручной. Напряжение сети 220 В, время срабатывания 1 с.

ра, следует определять по формуле:

для жилого дома

$$G_{sm} = 3420 B H^{1.5} n; \quad (20.1)$$

для общественного, административно-бытового, производственного и складского здания

$$G_{sm} = 4300 B H^{1.5} n K_d, \quad (20.2)$$

где *B* – ширина большей створки двери, м, при выходе из коридора или холла в защищаемый от дыма объем (лестничную клетку, вестибюль, лифтовый холл, непосредственно наружу или наружу через помещение); *H* – высота двери, м; при высоте двери меньше 2 м следует принимать *H* = 2 м; *n* – коэффициент, зависящий от ширины створок *B*, м, дверей, открываемых при пожаре на лестничные клетки или наружу (данные М. М. Грудзинского):

Ширина *B*, м . . . . . 0,6 0,9 1,2 1,8 2,4

Жилые здания . . . . . 1,0 0,82 0,7 0,51 0,41

Общественные, административно-бытовые и производственные здания . . . 1,05 0,91 0,8 0,62 0,5

*K<sub>d</sub>* – коэффициент продолжительности открытия дверей, равный 0,8 при эвакуации 30 чел. или менее через одну дверь и 1 при большем числе людей.

Расход воздуха, подсываемого через неплотности закрытых дымовых клапанов в коридорах всех этажей, кроме этажа, на котором произошел пожар, и неплотности дымовой шахты, можно принимать из расчета 120 кг/ч на 1 м длины шахты. Более точно расход воздуха можно определить поэлементным расчетом в зависимости от неплотностей клапана и материала стенок шахты. Плотность дымовых газов, удаляемых из коридоров, принимается 0,61 кг/м<sup>3</sup>; плотность газов перед вентилятором определяется по формуле

$$\rho_{sm} = (G_{sm} + G_A) / G_{sm} / 0,61 + G_A / 1,2; \quad (20.3)$$

температура газов

$$t_{sm} = (353 - 273 \rho_{sm}) / \rho_{sm}. \quad (20.4)$$

где *G<sub>sm</sub>* и *G<sub>A</sub>* – расход дыма и воздуха, кг/ч; *t<sub>sm</sub>* – температура, °С.

Дымовые клапаны (табл. 20.1) следует размещать под потолком коридора или холла, присоединяя их непосредственно к дымовой шахте или через ответвление длиной не более 15 м. Дымовой клапан предназначается для обслуживания коридора длиной не более 30 м или для части коридора, выделенной перегородкой с дверями.

Удаление дыма из коридоров или холла производится отдельными системами с искусственным побуждением. В пределах противопожарного отсека здания допускается присоединять две дымовые шахты к одному вентилятору, рассчитанному на больший расход дыма одной из шахт, с учетом подсосов воздуха через неплотности обеих шахт.

**Пример 20.1.** Рассчитать удаление дыма из коридоров 17-этажного жилого здания. Высота двери при выходе из коридора на незадымляемую лестничную клетку 2-го типа 2 м, ширина створки двери 0,8 м, *n* = 0,89.

**Решение.** По формуле (20.1) определяем расход дыма, удаляемого из коридора, *G<sub>sm</sub>* = 3420 · 0,8 · 2<sup>1.5</sup> · 0,89 = 6890 кг/ч.

Высота дымовой шахты до вентилятора равна: 16,5 · 2,8 = 46,2 м.

Подсос воздуха в дымовую шахту составляет: 46,2 · 120 = 5540 кг/ч.

Плотность дыма перед вентилятором определяем по формуле (20.3)

$$S_{sm} = (6890 + 5540)/(6890/0,61 + 5540/1,2) = 0,78 \text{ кг}/\text{м}^3;$$

температура дыма по формуле (20.4) равна:

$$t_{sm} = (353 - 273 \cdot 0,78)/0,78 = 180^\circ\text{C}.$$

Расчет каналов дымоудаления и выбор вентилятора производится так же, как выбор и расчет дымососа (см. гл. 22).

Для дымоудаления применяют обычные радиальные вентиляторы, в условиях пожара они могут работать 45–60 мин.

## 20.5. УДАЛЕНИЕ ДЫМА НЕПОСРЕДСТВЕННО ИЗ ПОМЕЩЕНИЙ, В КОТОРЫХ ПРОИЗОШЕЛ ПОЖАР

Удаление дыма следует проектировать из каждого производственного или складского помещения с постоянными рабочими местами или с постоянным пребыванием людей, относенного к категории А, Б или В, и помещения категории Г или Д в зданиях IVa степени огнестойкости, а также из каждого помещения без естественного освещения площадью 55 м<sup>2</sup> и более, предназначенного для хранения или переработки горючих материалов в общественном, жилом или административно-бытовом здании (если не предусмотрено удаление дыма из коридоров или холлов), и из гардеробных площадью более 200 м<sup>2</sup>, не имеющих естественного освещения.

Расход дыма для помещений\* площадью 1600 м<sup>2</sup> и менее, кг/ч:

$$G_1 = 3584 \Sigma A_d [h_0 (\gamma_{ext} - \gamma) / (\rho_{ext} + 0,7 v_v^2 \rho_{ext}^2)^{0,5}], \quad (20.5)$$

где  $G_1$  – расход дыма, соответствующий поступлению воздуха через двери эвакуационных выходов горящего помещения, препятствующий прониканию дыма в другие помещения; расчет по формуле (20.5) производится для холодного периода года (параметры Б) и проверяется для теплого периода, если расчетная скорость ветра в теплый период больше, чем в холодный; расчет принимается большая из этих величин;  $\Sigma A_d$  – суммарная эквивалентная площадь дверей эвакуационных выходов из горящего помещения, м<sup>2</sup>;  $h_0 = 0,5H + 0,2$  – расстояние от границы дыма до середины высоты двери;  $H$  – высота двери, м;  $\gamma_{ext}$  – удельный вес наружного воздуха и дыма, Н/м<sup>3</sup>;

\* Расход дыма может рассчитываться также по размерам «очага пожара». См. «Водоснабжение и санитарная техника», – 1991, № 2.

$\rho_{ext}$  – плотность наружного воздуха, кг/м<sup>3</sup>;  $v_v$  – расчетная скорость ветра, м/с; учитывается для дверей, через которые эвакуация направляется в сторону наветренного фасада здания, для местностей с расчетной скоростью ветра более 1 м/с (параметры Б); ограничивается 5 м/с.

Суммарная эквивалентная площадь  $\Sigma A_d$ , м<sup>2</sup>, дверей эвакуационных выходов из горящего помещения для местностей с расчетной скоростью ветра не более 1 м/с определяется для всех выходов вместе, а при скорости более 1 м/с – отдельно для выходов на фасад с наибольшей эквивалентной площадью (рассматриваются как выходы на наветренный фасад) и вместе для всех остальных выходов по формуле

$$\Sigma A_d = [\Sigma A_1 + K_1 \Sigma A_2 + K_2 \Sigma A_3] K_3, \quad (20.6)$$

где  $\Sigma A_1$ ,  $\Sigma A_2$ ,  $\Sigma A_3$  – суммарные площади дверей соответственно одинарных, открывающихся прямо наружу; первых дверей, для прохода через которые наружу требуется открыть еще одну дверь  $A_2$ ; то же, но требуется открыть еще две или большее число дверей  $A_3$ ;  $K_1$ ,  $K_2$  – коэффициенты для определения эквивалентной площади последовательно расположенных дверей, определяемые по формулам:

$$K_1 = (1 + 1/n^2)^{-0,5}; \quad (20.7)$$

$$K_2 = (1 + 1/n^2 + 1/m^2)^{-0,5}; \quad (20.8)$$

$$m = \Sigma A''_3 / \Sigma A_3; \quad (20.9)$$

где  $K_3$  – коэффициент относительной продолжительности открытия дверей: для одинарных дверей  $K_3 = 0,03 \leq 1$ ; для двойных дверей  $K_3 = 0,05 \leq 1$ , где  $t$  – среднее число людей, выходящих через каждую дверь;  $K_3$  – принимается не менее 0,8 при одной двери в помещении; 0,7 – при двух дверях; 0,6 – при трех; 0,5 – при четырех и 0,4 – при пяти и большем числе дверей.

Помещения площадью более 1600 м<sup>2</sup> делятся на «дымовые зоны» для того, чтобы при пожаре удаление расчетного расхода дыма производилось только из той дымовой зоны, на площади которой произошло загорание.

По планировочным условиям площадь дымовой зоны может быть выбрана любой, не превышающей 1600 м<sup>2</sup>.

Удаление дыма непосредственно из помещений одно- и двухэтажных зданий и из верхнего этажа многоэтажных зданий, как правило, следует осуществлять через дымовые шахты, незадуваемые фонари с открывающимися фрамугами или через открывающиеся зенитные фонари; с площади шириной не более 15 м допускается удаление дыма через окна в наружных стенах с открывающимися фрамугами,

ТАБЛИЦА 20.2. УДЕЛЬНЫЙ РАСХОД ДЫМА  $q_{sm}$  НА 1 М<sup>2</sup> ПЛОЩАДИ ПОПЕРЕЧНОГО СЕЧЕНИЯ ДЫМОВОЙ ШАХТЫ С ДЕФЛЕКТОРОМ ПРИ ЕСТЕСТВЕННОЙ ТЯГЕ

Расчетная температура воздуха, °C	Удельный вес дыма, Н/м <sup>3</sup>	Значения $q_{sm}$ , тыс.кг/(ч·м <sup>2</sup> ), при расчетной высоте шахты или расположении фрамуги, м								
		4	6	8	10	12	14	16	18	20
(+ 20) – (+ 40)	4–9	15	18	21	24	26	28	30	31	33
	4–6	15,9	19,3	22,5	25,3	27,6	29,7	31,7	33,8	35,6
(– 5) – (– 16)	6–9	17	20,6	24	26,9	29,4	31,6	34	36	38
	4–6	17	20,6	24	26,9	29,4	31,6	34	36	38
(– 16) – (– 36)	6–9	18,9	23,1	26,9	30,2	33	35,5	38,1	40,4	42
	4–6	17,9	21,8	25,4	28,6	31,2	33,5	36	38	40,3
(– 36) – (– 50)	6–9	19,9	24,2	28,2	31,7	34,6	37,2	40	42,4	44,6

Примечания: 1. Удельный расход дыма для шахт, длина которых превышает 2 м, принимается с коэффициентом  $K_1 = 0,8/(1,5 + \zeta)^{0,5}$ , где  $\zeta = 2\Delta P/(v^2 \rho_{sm})$ ;  $\Delta P$  – потери давления на трение и местные сопротивления, Па, участка шахты длиной  $H_m > 2$  м,  $\rho_{sm} = \gamma/9,81$  – плотность дыма;  $v$  – скорость дыма в шахте, м/с 2. Удельный расход дыма для фрамуг фонарей и окон принимается с коэффициентом  $K = 0,75 \sin \alpha$ , где  $\alpha$  – угол открытия фрамуги.

расположенными не менее чем на 0,2 м выше дверей эвакуационных выходов, считая до нижнего края фрамуги.

Площадь поперечного сечения шахт и открывающихся фрамуг  $A_o$ , м<sup>2</sup>, определяется по формуле

$$A_o = G/K q_{sm}, \quad (20.10)$$

где  $G$  – расход дыма, кг/ч, удаляемого из помещения, равный  $G_1$  и определяемый по формуле (20.5) или удаляемого из каждой дымовой зоны;  $K = 1$  – для дымовых шахт и  $K = 0,75 \sin \alpha$  – для открывающихся незадуваемых фрамуг фонарей и окон, где угол открытия фрамуг:  $q_{sm}$  – удельный расход дыма, кг/ч на 1 м<sup>2</sup> площади дымовой шахты, при естественной тяге (табл. 20.2).

В зданиях с тремя этажами и более удаление дыма следует осуществлять вытяжными системами с искусственным побуждением. К вентилятору допускается присоединять вертикальный коллектор с ответвлениями не более чем к четырем помещениям на каждом этаже, ответвления должны быть закрыты дымовыми клапанами. В помещении, в котором произо-

шел пожар, клапан автоматически открывается по сигналу датчика. Производительность вентилятора определяется большим из расходов присоединенных помещений и подсосами воздуха через неплотности закрытых клапанов и неплотности воздуховодов.

В каждой дымовой зоне следует размещать равное число дымовых клапанов, объединяя их в группы и присоединяя их к вытяжному коллектору или дымовой шахте. Расстояние между группами клапанов не должно превышать 30 м. Для увеличения эффективности дымоудаления дымовые зоны рекомендуется ограждать занавесами в пределах высоты ферм, но не менее чем на высоту 1,5 м от потолка.

Расход воздуха, кг/ч, через неплотности закрытых шторчатых дымовых клапанов составляет (по данным И. И. Ильинского)

$$G_v = 40,3(\Delta P f_v)^{0,5} n, \quad (20.11)$$

где  $\Delta P$  – разность давления по обе стороны клапана, Па;  $f_v$  – площадь проходного сечения клапана м<sup>2</sup>;  $n$  – число закрытых клапанов в системе

Дымоудаление следует рассчитывать на температуру наружного воздуха и скорость ветра для холодного периода года (параметры Б). Для местностей, в которых скорость ветра в теплый период года превышает таковую в холодный период, расчеты необходимо проводить на теплый и холодный периоды, принимая в проекте большую величину\*.

Скорость движения дыма в клапанах, шахтах и воздуховодах при естественной тяге следует принимать по расчету, а при искусственном побуждении — по экономическим соображениям. Избыточное давление, развиваемое вентилятором, рекомендуется гасить в конфузорах факельного выброса. Выброс дыма в атмосферу нужно предусматривать не менее чем на 2 м от кровли здания и 5 м от приемных устройств для приточного наружного воздуха.

Удельный вес дыма при удалении из помещений объемом 10 тыс. м<sup>3</sup> и менее  $\gamma_{sm,m} = 4 \text{ Н/м}^3$  — при горении жидкостей и газов, 5 Н/м<sup>3</sup> — при горении твердых тел и 6 Н/м<sup>3</sup> — при горении волокнистых веществ. При удалении из помещений большего объема удельный вес определяется по формуле

$$\gamma_{sm} = \gamma_{sm,m} + 0,05(V - 10) \leqslant 9, \quad (20.12)$$

где  $V$  — объем помещения, тыс. м<sup>3</sup>/ч.

**Пример 20.2.** Для цеха категории Б размером  $120 \times 144 \times 4,8 = 82944 \text{ м}^3$  (рис. 20.1). Рассчитать удаление дыма при пожаре. Для эвакуации служат пять дверей площадью  $5 \times 2,4 \times 0,9 = 10,8 \text{ м}^2$ . При эвакуации в северном направлении нужно открыть три первых, две вторых и одну третью двери, а в западном направлении, выходя из двух первых дверей, нужно открыть одну вторую и одну третью дверь. Расчетная температура воздуха минус 24° С, скорость ветра в холодный период 13,5, в теплый 4,7 м/с.

**Решение.** Удельный вес дыма по формуле (20.12) составит:  $\gamma_{sm} = 6 + 0,05(82,9 - 10) = 9,6$  — принято 9 Н/м<sup>3</sup>.

Удельный вес воздуха  
 $3463/(273 - 24) = 13,9 \text{ Н/м}^3$ , плотность воздуха 1,42 кг/м<sup>3</sup>.

\* Расчетную скорость ветра, указанную в СНиП 2.04.05-86 с коэффициентом обеспеченности 0,8, для расчетов дымоудаления предложено ограничить 5 м/с в целях сокращения затрат на системы дымоудаления.

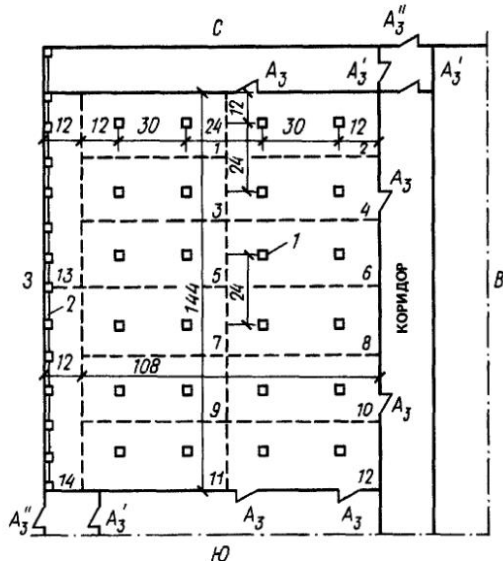


Рис. 20.1. План цеха к примеру расчета 20.1 ( $A$  — эвакуационные выходы из горящего помещения); 1 — шахты дымоудаления; 2 — окна с открывающимися фрамугами

1. По формуле (20.5) определяем расход дыма при площади  $A_d = 1 \text{ м}^2$ :

а) для дверей в наветренной стене горящего помещения

$$G = 3584 [(2,4/2 + 0,2)(13,9 - 9)1,42 + 0,7 \cdot 13,5^2 \cdot 1,42^2]^{0,5} = 58560 \text{ кг/(ч} \cdot \text{м}^2\text{)};$$

б) для дверей в других стенах

$$G = 3584 [(2,4/2 + 0,2)(13,9 - 9)1,42]^{0,5} = 11186 \text{ кг/(ч} \cdot \text{м}^2\text{)}; \text{ ветер увеличивает расход дыма в } 5,2 \text{ раза.}$$

Для выхода через любую дверь помещения необходимо открыть еще две двери.

2. По формуле (20.9) находим величины  $n$  и  $m$ : для одной двери в северной стене  $n = 1$  и  $m = 1$ ; для двух дверей в восточной стене  $n = 0,5$  и  $m = 0,5$ ; для двух дверей в южной стене  $n = 0,5$  и  $m = 0,5$ . При этом  $K_2 = 0,577$  для дверей северной стены и 0,34 для восточной и южной стен.

В помещении работают 80 чел., т.е. при эвакуации на одну дверь приходится  $80/5 = 16$  чел. Тогда  $K_3 = 0,05 \cdot 16 = 0,8$ .

Эквивалентная по расходу площадь дверей по формуле (20.6) на наветренной восточной стене здания с двумя дверями для выхода из помещения составит:

$$\begin{aligned}\Sigma A_d &= 2 \cdot 0,9 \cdot 2,4 \cdot K_2 K_3 = \\ &= 4,32 \cdot 0,34 \cdot 0,8 = 1,175 \text{ м}^2;\end{aligned}$$

одной двери на северной стене помещения

$$\Sigma A_d = 0,9 \cdot 2,4 \cdot 0,577 \cdot 0,8 = 0,997 \text{ м}^2;$$

двух дверей на южной стене  $1,175 \text{ м}^2$ , а всего для северной и южной стен, не испытывающих давления ветра,  $1,175 + 0,997 = 2,172 \text{ м}^2$ .

3. Определим расход дыма за счет воздуха, поступающего через двери наветренной стены:

$$G_1 = 58560 \cdot 1,175 = 68808 \text{ кг/ч};$$

двери северной и южной стен

$$G_1 = 11186 \cdot 2,172 = 24296 \text{ кг/ч}.$$

Общий расход дыма составит  $G_1 = 93104 \text{ кг/ч}$ .

По планировочным условиям принимаем  $n_1 = 14$  дымовых зон, из них 12 зон размером по  $54 \cdot 24 = 1296 \text{ м}^2$  и две приоконные зоны площадью по  $72 \cdot 12 = 864 \text{ м}^2$ . Число зон  $n_1 > n$ , поэтому принимаем расход дыма для каждой зоны  $G_1 = 93104 \text{ кг/ч}$ .

Для каждой из 12 дымовых зон проектируем дымовые шахты с дефлекторами площадью поперечного сечения шахт  $93104/19740 = 4,7 \text{ м}^2$ .

Здесь  $19740 \text{ кг}/(\text{ч} \cdot \text{м}^2)$  – расход дыма на  $1 \text{ м}^2$  сечения шахты высотой  $4,8 - 2,4 - 0,2 + 2 = 4,2 \text{ м}$ , принятый по табл. 20.2 (в расчете не учтено ограничение скорости ветра до  $5 \text{ м/с}$ ).

В каждой дымовой зоне проектируем по две дымовые шахты площадью по  $2,4 \text{ м}^2$ . В каждой шахте устанавливаем по шесть дымовых клапанов КПДШк площадью  $0,4 \text{ м}^2$  (см. табл. 20.1).

Удаление дыма из двух зон, примыкающих к окнам, проектируем через верхнеподвесные фрамуги, ось которых находится на высоте  $1,3 \text{ м}$  от нижнего уровня стояния дыма. Фрамуги открываются на  $45^\circ$ . Коэффициент в формуле (20.10)  $K = 0,75 \cdot 0,707 = 0,53$ . При температуре наружного воздуха минус  $24^\circ\text{C}$  и расчетной высоте  $1,3 \text{ м}$   $q_{sm} = 1,3 \cdot 18,9 = 6,14 \text{ тыс. кг/ч}$  (см. табл. 20.2). Площадь открывающихся фрамуг в каждой зоне должна быть  $93104/(6140 \cdot 0,53) = 28,6 \text{ м}^2$  или по  $2,4 \text{ м}^2$  в каждом 6-метровом шаге колонн приоконной зоны. Площадь фрамуг в  $28,6/4,7 = 6$  раз больше площади сечения шахт.

## 20.6. ПРИТОЧНАЯ ПРОТИВОДЫМНАЯ ВЕНТИЛЯЦИЯ

Наружный воздух при пожаре следует подавать в лифтовые шахты в зданиях с незадымляемыми лестничными клетками, в незадымляемые лестничные клетки 2-го типа, в тамбуры-шлюзы при незадымляемых лестничных клетках 3-го типа и при незадымляемых лестничных клетках, не имеющих выхода непосредственно наружу, в тамбуры-шлюзы перед лифтами в подвальном этаже производственных и общественных административно-бытовых зданий и в тамбуры-шлюзы перед лестницами в подвальном этаже с помещениями категории В. В зданиях категорий А и Б в тамбуры-шлюзы при незадымляемых лестничных клетках следует подавать воздух постоянно из расчета создания в них избыточного давления 20 Па при закрытых дверях. Данные по незадымляемым лестничным клеткам приведены в СНиП 2.01.02-85.

Расход наружного воздуха для приточной противодымной вентиляции должен рассчитываться на поддержание при пожаре давления воздуха не менее 20 Па: в лифтовых шахтах при закрытых дверях на всех этажах, кроме нижнего; в нижней части каждого отсека незадымляемых лестничных клеток 2-го типа при открытых дверях, на пути эвакуации из коридоров и холлов на этаже пожара, в лестничную клетку и из здания наружу, при закрытых дверях из коридоров и холлов на всех остальных этажах; в тамбурах-шлюзах на этаже пожара в зданиях с незадымляемыми лестничными клетками 3-го типа при одной открытой двери в коридор или холл: в тамбурах-шлюзах перед лифтами в подвальных этажах общественных и производственных зданий при закрытых дверях; в тамбуры-шлюзы перед лестницами в подвальном этаже с помещениями категории В при одной открытой двери в подвальный этаж.

Давление воздуха в лифтовой шахте, Па, при незадымляемой лестничной клетке 1-го типа и вестибюле при незадымляемой лестничной клетке 2-го типа определяется по формуле

$$P_t = 0,7 v^2 \rho_{ext} + 20, \quad (20.13)$$

где  $v$  – расчетная скорость ветра, м/с;  $\rho_{ext}$  – плотность наружного воздуха,  $\text{кг}/\text{м}^3$ , при параметрах Б в холодный период года.

Расход наружного воздуха, кг/ч, подава-

ТАБЛИЦА 20.3. СРЕДНИЙ РАСХОД ПРИТОЧНОГО ВОЗДУХА В ЛЕСТИЧНУЮ КЛЕТКУ  $G_{ml}$ , кг/ч, НА КАЖДЫЙ ЭТАЖ СО ВТОРОГО ПО ВЕРХНИЙ В ЗАВИСИМОСТИ ОТ ДАВЛЕНИЯ В ЛИФТОВОЙ ШАХТЕ НА ПЕРВОМ ЭТАЖЕ  $P_{l,1}$ , Па

$P_{l,1}$	Значения $G_{ml}$ , кг/ч, при числе этажей							
	10–14				15–20			21–27
	и числе дверей							
	4	8	16	4	8	16	4	8
50	900	1400	1700	1250	1450	1750	1350	1550
100	1300	1700	2100	1550	1600	2150	1650	1900
150	1650	2050	2400	1800	2100	2450	1900	2150
200	1900	2250	2700	—	—	—	—	—

емого в лифтовую шахту, при незадымляемой лестничной клетке определяется по формуле

$$G_l = G_{l,1} + [G_{ml} - 5(t_{ext} + 25)](N - 1), \quad (20.14)$$

где  $G_{l,1}$  – расход наружного воздуха через открытые двери лифтовой шахты на этаже пожара, который определяется по формулам при z-образном входе в тамбур у наружной двери:

при двух лифтах

$$G_l = 2950 + 1000 \times (8.8 P_{l,1} - 12)^{0.5}; \quad (20.15)$$

при трех лифтах

$$G_l = 4350 + 1000 \times (12.95 P_{l,1} - 11.5)^{0.5}; \quad (20.16)$$

$G_{ml}$  – средний расход воздуха, выходящего из лифтовых шахт, на каждом этаже со второго и выше, через неплотности закрытых дверей, кг/ч.

$$G_{ml} = 1050 + 5.2 P_t + 20(N - 1) + 30(n - 4); \quad (20.17)$$

$P_t$  – определяется по формуле (20.13),  $N$  и  $n$  – соответственно число этажей в здании и среднее число дверей на этаже здания.

Давление, развиваемое вентилятором, Па, подающим воздух в лифтовую шахту, определяется по формуле

$$P_{vi} = \Delta P_s + P_{l,1} - N h (\gamma_{ext} - \gamma_l), \quad (20.18)$$

где  $\Delta P_s$  – потеря давления в сети, Па, до входа воздуха в лифтовую шахту;  $N$  и  $h$  – число этажей зданий и высота этажа, м;  $\gamma_{ext} - \gamma_l$  – разность удельных весов наружного воздуха и воздуха в лифтовой шахте; при  $-45^\circ\text{C}$  разность равна 1,7; при  $-35^\circ\text{--}15^\circ\text{C}$  при  $-25^\circ\text{--}1,1$ ; при  $-15^\circ\text{--}0,85$ ; при  $-10^\circ\text{--}0,7$ ; при  $-5^\circ\text{--}0,56$ .

Расход воздуха, подаваемого в незадымляемую лестничную клетку 2-го типа и лифтовую шахту при ней, расположенные так, что из

двери поэтажного коридора люди выходят в лифтовый холл и из него на лестничную клетку, затем, опустившись на первый этаж, выходят в вестибюль и наружу, определяется по формуле

$$G_{gl} = G_{ml}(N - 1) + G_d + 0,91 G_{sm}, \quad (20.19)$$

где  $G_{ml}$  – средний расход воздуха, приходящийся на каждый этаж со второго по верхний, определяемый по табл. 20.3, в зависимости от давления воздуха в лифтовой шахте на уровне первого этажа  $P_{l,1}$ , определяемого по формуле

$$P_{l,1} = C P_{l,0} - c \Delta P_N, \quad (20.20)$$

$C = 2$  и  $c = 0,1$  при двух лифтах;  $C = 1,56$  и  $c = 0,067$  при трех и  $C = 1,4$  и  $c = 0,053$  при четырех лифтах;  $P_{l,0}$  – давление в вестибюле, определяемое по формуле (20.13) (подставив вместо  $P_t$ ); давление на закрытые двери при выходе из лифтового холла верхнего этажа на лестничную клетку 2-го незадымляемого типа, согласно СНиП 2.04.05–86, не должно превышать 150 Па, при этом давление в вестибюле (для рассматриваемой планировки)  $P_{l,0}$  не должно превышать величин, указанных в табл. 20.4;

$G_d$  – расход наружного воздуха через открытую входную дверь в здание при обычно употребляемом z-образном входном тамбуре определяется по формуле

$$G_d = 4566 P_{l,0}^{0.5}; \quad (20.21)$$

$G_{sm}$  – расход дыма, удалаемого из коридора системой противодымной вытяжной вентиляции на этаже, на котором произошел пожар; определяется по формуле (20.11) или (20.2).

Разность давления в лестничной клетке и лифтовой шахте на уровне верхнего этажа равна:  $\Delta P_N = P_{vi} - P_{l,N}$ . Для рассматриваемого случая рекомендуется принимать не более 100 Па при подаче всего воздуха для лестничной клетки и лифтовой шахты одним вентилятором в лестничную клетку с последующей перечачкой части воздуха в лифтовую шахту.

При независимой подаче в лестничную

ТАБЛИЦА 20.4. ПРЕДЕЛЬНЫЕ ЗНАЧЕНИЯ ДАВЛЕНИЯ В ВЕСТИБЮЛЕ  $P_{t,0}$ 

Число этажей в здании	Число лифтов	Значения $P_{t,0}$ , Па, при числе дверей на этаже					
		16		8			
		при температуре наружного воздуха, °C					
		-45	-25	-5	-45	-25	-5
10–14	2	75	85	96	—	—	—
	3	90	100	—	—	—	—
15–20	2	50	65	90	90	110	—
	3	60	80	100	120	—	—
	4	70	90	110	—	—	—
20–27	3	35	60	80	50	80	100
	4	45	75	90	60	90	—

клетку и лифтовую шахту отдельным вентилятором  $\Delta P_N$  следует принимать 50 Па.

Как видно из табл. 20.4, необходимое давление воздуха в вестибюле при расчетной его температуре  $-45^{\circ}\text{C}$  обеспечивается в пределах скорости ветра от  $[(35 - 20)/(0,7 \cdot 1,55)]^{0,5} = 3,7 \text{ м/с}$  до  $[(120 - 20)/(0,7 \cdot 1,55)]^{0,5} = 9,6 \text{ м/с}$ , хотя расчетные скорости ветра доходят до  $17,5 \text{ м/с}$  (Новороссийск). Следовательно, полный эффект по защите эвакуационных выходов из здания не всегда достижим.

Расход воздуха, поступающего в лестничную клетку, определяется по рис. 20.2 в зависимости от принятой разности давления  $\Delta P_N$  между лестничной клеткой и лифтовой шахтой при учете давления в лифтовой шахте  $P_l$ .

Расход воздуха, поступающего в лифтовую шахту  $G_l$ , определяют по формуле

$$G_l = G_{gl} - G_{m1}. \quad (20.22)$$

Давление воздуха, Па, создаваемое вентилятором, подающим суммарный расход воздуха  $G_{gl}$ , кг/ч, в лестничную клетку и лифтовую шахту, равен:

$$\Delta P_v = \Delta P_{vl} + \Delta P_N, \quad (20.23)$$

где  $\Delta P_{vl}$  – определяется по формуле (20.18);  $\Delta P_N$  – разность давления между лестничной клеткой и лифтовой шахтой на верхнем этаже здания, принимаемая не более 100 Па.

Расчеты подачи воздуха в лестничные клетки и лифтовые шахты при других планиров-

ках приведены в Пособии к СНиП 2.04.05–86.

Расход наружного воздуха, кг/ч, подаваемого в тамбур-шлюз при незадымляемой лестничной клетке 3-го типа, рассчитывается по формуле

$$G = 6000 A + 120 l, \quad (20.24)$$

где  $A$  – площадь двери,  $\text{м}^2$ , на входе в тамбур-шлюз из коридора или холла на этаже пожара;  $l$  – длина воздуховода с закрытыми клапанами, по которому подводится воздух, м.

**Пример 20.3.** Запроектировать подачу воздуха в незадымляемую лестничную клетку 2-го типа и в лифтовую шахту для двух лифтов в жилом 17-этажном доме с четырьмя квартирами на каждом этаже в Новгороде при расчетной скорости ветра 5 м/с в холодный период года (параметры Б).

Подача воздуха предусматривается одной приточной системой в лестничную клетку, откуда воздух отводится в лифтовую шахту воздуховодом или через специальное отверстие в разделяющей стене.

1. По формуле (20.13) определяем давление воздуха в вестибюле при расчетной скорости ветра 5 м/с

$$P_l = 0,7 \cdot 5^2 \cdot 1,434 + 20 = 45 \text{ Па.}$$

2. Задаемся рекомендуемой разностью давлений между лестничной клеткой и лифтовой шахтой на верхнем этаже  $\Delta P_N = 100 \text{ Па}$  и по формуле (20.20) определяем давление в лифтовой шахте на первом этаже

$$P_{l,1} = 2 \cdot 45 - 0,1 \cdot 100 = 80 \text{ Па.}$$

3. По табл. 20.3 при этом давлении, интерполируя, находим средний расход воздуха через неплотности закрытых дверей лифтовой шахты  $G_{m1} = 1430 \text{ кг/ч.}$

4. По формуле (20.21) находим расход воздуха через открытые входные двери здания

$$G_d = 4566 \cdot 45^{0,5} = 30\,600 \text{ кг/ч.}$$

5. Суммарный расход воздуха, подаваемого в лестничную клетку и лифтовую шахту, определим по формуле (20.19)

$$G_{gl} = 1430(17 - 1) + 30\,600 + 3420 \cdot 0,8 \cdot 2^{1,5} / 1,1 = 6890 \cdot 0,91 = 59\,750 \text{ кг/ч,}$$

где  $6890 \text{ кг/ч}$  – расход воздуха, поступающего в коридор этажа, на котором произошел пожар, через дверь размером  $0,8 \times 2 \text{ м}$ ; расход определен по формуле (20.1), причем расход дыма приведен к расходу воздуха с помощью коэффициента 0,91.

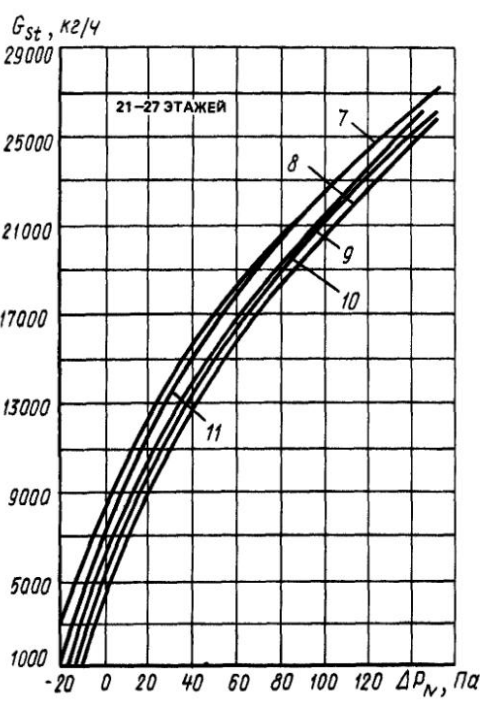
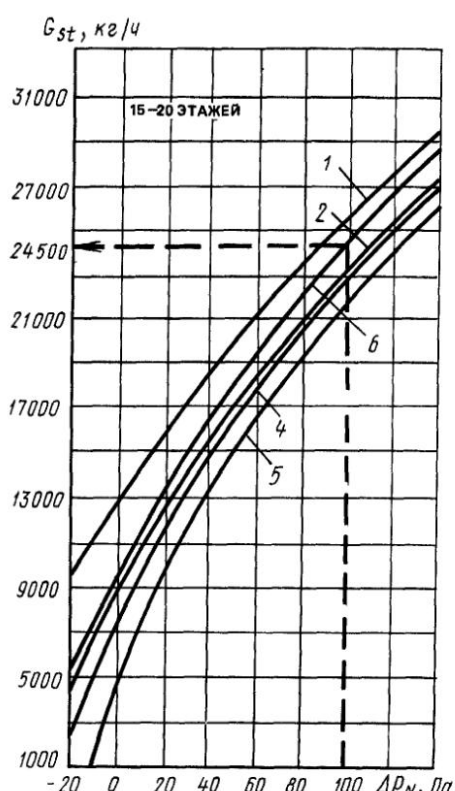
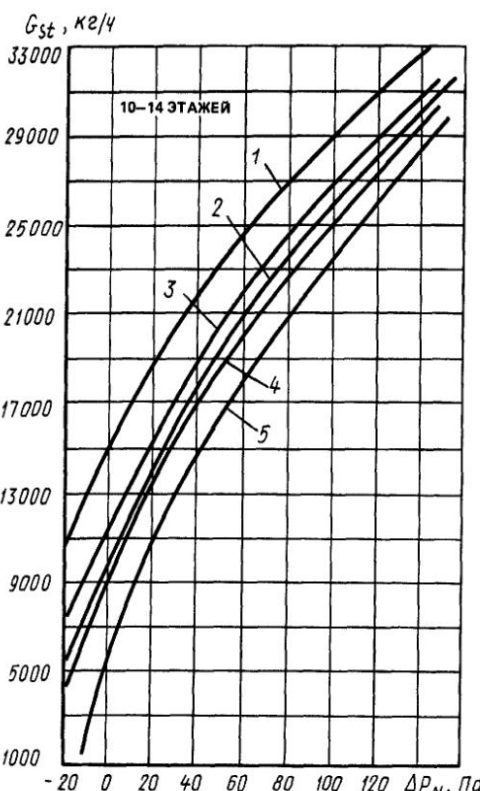


Рис. 20.2. Номограммы для определения расхода наружного воздуха  $G_{st}$ , нагнетаемого в незадымляемую лестничную клетку 2-го типа в зависимости от разности давления между лестничной клеткой и лифтовой шахтой  $\Delta P_N$  на уровне верхнего этажа и от давления в лифтовой шахте на первом этаже  $p_1$

1 и 2 - два лифта при  $p_1$  120 и 60 Па, 3, 4, 5 - три лифта при  $p_1$  130, 80 и 30 Па, 6, 7, 8 - три лифта при  $p_1$  140, 90 и 40 Па, 9, 10, 11 - четыре лифта при  $p_1$  140, 80 и 20 Па

6. Расход воздуха, подаваемого в лестничную клетку, при  $\Delta P_N = 100$  Па и  $P_{l,1} = 80$  Па по рис. 20.3 равен 24 500 кг/ч.

7. Расход воздуха, пропускаемого из лестничной клетки в лифтовую шахту, вычисляем по формуле (20.22):

$$G_l = 59\,750 - 24\,500 = 35\,250 \text{ кг/ч.}$$

8. Давление, создаваемое вентилятором для подачи воздуха в лестничную клетку, при потерях давления в воздуховодах у вентилятора  $P_s$  определяем по формулам (20.23) и (20.18):  $\Delta P_v = P_s + 80 + 100 - 17 \cdot 2,8 (1,43 - 1,22) = P_s + 170$  Па.

# Глава 21

## НИЗКОТЕМПЕРАТУРНЫЕ ВТОРИЧНЫЕ ЭНЕРГОРЕСУРСЫ

### 21.1. ИСТОЧНИКИ, ПОТРЕБИТЕЛИ И ЦЕЛЕСООБРАЗНОСТЬ ИСПОЛЬЗОВАНИЯ НИЗКОТЕМПЕРАТУРНЫХ ВТОРИЧНЫХ ЭНЕРГОРЕСУРСОВ

В связи с общим энергетическим дефицитом необходимо искать пути экономии тепловой энергии в системах вентиляции и кондиционирования зданий различного назначения. Одним из направлений совершенствования и сокращения энергоемкости систем вентиляции и кондиционирования является использование для нагрева приточного воздуха теплоты низкотемпературных вторичных энергоресурсов (ВЭР).

В качестве теплоносителя ВЭР может использоваться теплота:

- содержащаяся в воздухе, удаляемом системами местной или общеобменной вентиляции;
- газовоздушной смеси, удаляемой от технологического оборудования;
- воды оборотных систем, охлаждающих технологическое оборудование и др.

Достаточно широкое распространение получили системы утилизации с воздухо-воздушными теплоутилизаторами (регенеративными и рекуперативными), а также с жидкостно-воздушными теплоутилизаторами и промежуточным теплоносителем.

Если утилизированной теплоты недостаточно для обеспечения заданной температуры приточного воздуха, проектируются дополнительные воздухонагреватели. Площадь поверхности нагрева дополнительных воздухонагревателей рассчитывается с учетом неравномерности их тепловой нагрузки в различных эксплуатационных режимах (при защите от обмерзания теплоутилизационного оборудования, при изменении параметров и расходов теплоносителей ВЭР и т. д.).

Как правило, расчет теплоутилизационного оборудования выполняется для холодного периода года. Возможная экономия холода на обработку приточного воздуха в теплый пери-

од года определяется в этом случае с учетом площади теплообменной поверхности подобранныго теплоутилизационного оборудования (ТО).

Системы утилизации ВЭР для отопления, вентиляции и кондиционирования зданий различного назначения следует проектировать в соответствии с требованиями СНиП 2.04.05–86. Необходимо учитывать, что температура носителей ВЭР в одноконтурных системах утилизации не должна превышать максимально допустимую по техническим условиям на ТО; не допускается использовать также носители ВЭР, содержащие вещества, способные оказать на оборудование разрушающее воздействие.

При использовании теплоты ВЭР воздуха или газовоздушных смесей, содержащих осаждающиеся пыли и аэрозоли, необходимо на входе в ТО обеспечивать снижение концентрации пыли и аэрозолей до уровней, соответствующих техническим условиям на оборудование, путем очистки воздуха или газовоздушных смесей перед поступлением в ТО; отключением ТО от носителя ВЭР на время, когда оно не используется; путем очистки теплообменных поверхностей от загрязнения.

Резервное теплоснабжение от первичного источника теплоты (ТЭЦ, котельной) для систем утилизации проектируется в том случае, если, согласно СНиП 2.04.05–86, не допускается сокращение тепловой мощности потребителя. При этом тепловая мощность от первичного источника определяется с учетом режима поступления и потребления ВЭР, а также в зависимости от допустимого отклонения параметров воздуха в помещении. Например, для систем круглогодичного и круглосуточного кондиционирования необходимо предусматривать 100%-ный резерв теплоты; для систем приточной вентиляции, совмещенной с воздушным отоплением, достаточно предусмотреть резерв теплоты в объеме, обеспечивающем температуру воздуха в помещении, как при дежурном отоплении.

Целесообразность и очередность исполь-

зования теплоты различных теплоносителей ВЭР для отопления, вентиляции и кондиционирования, выбор схем и теплоутилизационного оборудования определяются технико-экономическим расчетом. Как правило, в первую очередь используется теплота носителей ВЭР, имеющих более высокую температуру или энталпию. Теплота воздуха, удаляемого системами вытяжной вентиляции, используется в тех случаях, когда не допустимы рециркуляция воздуха из помещения или применение других ВЭР с большим потенциалом.

При наличии на предприятии или в здании нескольких различных теплоносителей ВЭР, которые могут использоваться в одних и тех же теплопотребляющих системах, устанавливается приоритет использования теплоты ВЭР для каждого теплоносителя. Для этого определяют величину теплового потока, продолжительность и режим использования в течение периода теплопотребления каждого из теплоносителей ВЭР, выбирают приблизительные схемные решения систем утилизации ВЭР, производят ориентировочный подбор теплоутилизационного оборудования, определяют его ориентировочную стоимость по методике, приведенной в Рекомендациях по определению экономической эффективности систем обеспечения микроклимата при использовании вторичных энергоресурсов (ЦНИИПромзданий, 1986), а также затраты, связанные со строительством и эксплуатацией систем утилизации.

В качестве критерия для определения приоритета использования теплоты различных теплоносителей ВЭР рекомендуется принимать показатель экономической эффективности  $R^{(i)}$ , характеризующий полученную экономию средств в системе утилизации на единицу утилизированной теплоты,

$$R^{(i)} = \frac{Q_{yt}^{(i)} C - Z^{(i)} - EK^{(i)}}{Q_{yt}^{(i)}},$$

где  $Q_{yt}^{(i)}$  – возможная годовая экономия тепловой энергии за счет утилизации теплоты  $i$ -го теплоносителя ВЭР, ГДж/год;  $C$  – цена тепловой энергии теплоносителя первичного источника теплоты, руб.;  $Z^{(i)}$  – эксплуатационные затраты, связанные с утилизацией теплоты  $i$ -го теплоносителя ВЭР, руб.;  $K^{(i)}$  – капитальные затраты, необходимые для строительства теплоутилизационной системы, использующей теплоту  $i$ -го теплоносителя ВЭР (включая стоимость здания, занятого дополнительным оборудованием), руб.;  $E$  – нормативный коэффициент эффективности капитальных вложений.

Вариант использования теплоты теплоносителя ВЭР, обеспечивающий наибольшую экономию средств на единицу утилизированной теплоты, является предпочтительным.

При выполнении технико-экономического сопоставления необходимо соблюдать условия сопоставимости рассматриваемых альтернативных вариантов проектных решений: обеспечение одинаковых расходов и параметров приточного воздуха; выбор оптимального решения по каждому варианту.

## 21.2. СИСТЕМЫ УТИЛИЗАЦИИ ТЕПЛОТЫ ВЭР В ЖИДКОСТНО-ВОЗДУШНЫХ ТЕПЛОУТИЛИЗАТОРАХ С ПРОМЕЖУТОЧНЫМ ТЕПЛОНОСИТЕЛЕМ

### 21.2.1. Общие положения

Системы утилизации теплоты удаляемого воздуха в жидкостно-воздушных теплоутилизаторах с промежуточным теплоносителем (СУПТ) состоят из теплоутилизационных блоков (ТУБ), размещенных в каналах удаляемого воздуха и в приточных установках.

ТУБ в каналах удаляемого воздуха комплектуются теплоутилизаторами-воздухохладителями, в каналах приточного воздуха – теплоутилизаторами-воздухонагревателями. Все ТУБ соединены трубопроводами в замкнутый циркуляционный контур, по которому при помощи насоса перемещается промежуточный теплоноситель. Теплоноситель при прохождении через ТУБ в потоке горячего удаляемого воздуха нагревается, затем поступая в ТУБ в потоке холодного наружного воздуха охлаждается, нагревая приточный воздух.

Необходимость применения насоса в таких системах снижает надежность системы и требует дополнительных затрат электроэнергии. Однако в СУПТ обеспечивается полная аэродинамическая изоляция потоков удаляемого и приточного воздуха, исключающая возможность переноса вредных, взрыво- и пожароопасных веществ, запахов, бактерий и других загрязнений из удаляемого воздуха, а также обеспечивается возможность утилизации теплоты воздуха вытяжных установок, размещенных на значительном расстоянии от приточных.

Наибольшее распространение получили СУПТ с рекуперативными теплоутилизаторами,

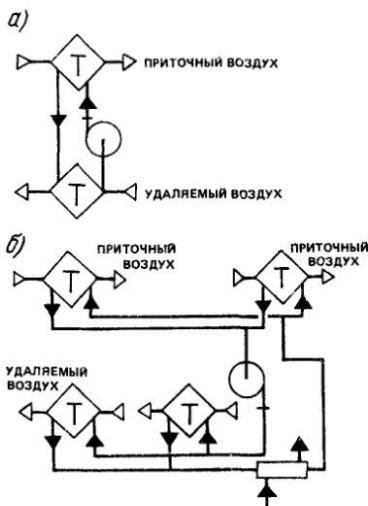


Рис. 21.1. Схемы системы утилизации с промежуточным теплоносителем без подогрева (а) и с подогревом (б)

использующими теплоту удаленного из помещения воздуха систем общебменной вентиляции и местных отсосов, теплоту технологических выбросов. При утилизации теплоты низкотемпературного воздуха, как правило, не обеспечивается требуемый нагрев приточного воздуха. В этом случае необходимо подводить дополнительную теплоту от первичного (централизованного) источника теплоты (ГЭЦ, котельной), предусматривая додрев воздуха в дополнительных воздухонагревателях или дополнительный подогрев промежуточного теплоносителя в водоподогревателе. В первом случае системы называются СУПТ без подогрева промежуточного теплоносителя (рис. 21.1, а), во втором случае — СУПТ с подогревом промежуточного теплоносителя (рис. 21.1, б).

Температурная эффективность СУПТ без подогрева на 10–20% больше, чем СУПТ с подогревом, но конструктивные решения (из-за необходимости установки дополнительных воздухонагревателей, подмешивающих насосов и т. д.) и автоматизация первой системы несколько сложнее. Целесообразность применения одной из систем определяется технико-экономическим сопоставлением.

Утилизация теплоты удаленного влажного воздуха при охлаждении его ниже температуры «точки росы» воздуха сопровождается конден-

сацией водяного пара на теплообменной поверхности теплоутилизаторов-воздухоохладителей. В этих условиях при отрицательных температурах наружного воздуха ниже критической температуры  $t_{\text{вн}}^{\text{кр}}$ , при которой температура теплообменной поверхности становится ниже 0°C, начинается процесс образования инея на поверхности теплоутилизатора-воздухоохладителя, что приводит к увеличению аэродинамического сопротивления (потери давления по воздуху) теплоутилизаторов в каналах удаленного воздуха. В таких системах необходимо предусматривать защиту этих теплоутилизаторов от инеевобразования.

В СУПТ в качестве промежуточного теплоносителя могут использоваться незамерзающие растворы солей и вода. Теплоноситель выбирается на основании теплотехнического расчета СУПТ по конечной температуре теплоносителя  $t_{\text{жк}}$  после ТУБ приточных установок: при  $t_{\text{жк}} \leq 7^{\circ}\text{C}$  принимается незамерзающий раствор, при  $t_{\text{жк}} > 7^{\circ}\text{C}$  — вода.

Из незамерзающих растворов солей рекомендуется применять водный 27%-ный раствор хлористого кальция ( $\text{CaCl}_2$ ) с ингибиторной добавкой, предотвращающей коррозию трубопроводов, арматуры, оборудования. В качестве ингибиторной добавки рекомендуется использовать вещество НОЖ-2И в количестве 3% общей массы раствора. Раствор хлористого кальция с добавкой НОЖ-2И не вызывает коррозии черных и цветных металлов, взрыво- и пожаробезопасен, температура замерзания минус 45°C, температура кипения 100°C, водородный показатель pH 6,5–8,5. Раствор теплоносителя приготавливается на объекте весовым способом, используя водопроводную воду. Концентрация хлористого кальция в незамерзающем растворе промежуточного теплоносителя подбирается такой, чтобы температура замерзания его  $t_{\text{жк}}^{\text{зам}}$  была на 10°C ниже температуры теплоносителя после ТУБ приточных установок при расчетной температуре  $t_{\text{вн}}^{(p)}$  наружного воздуха в холодный период года (параметры Б) — для СУПТ с подогревом теплоносителя либо ниже или равна  $t_{\text{вн}}^{(p)}$  — для СУПТ без подогрева теплоносителя.

Температура замерзания раствора незамерзающего теплоносителя при различной концентрации  $\text{CaCl}_2$  составляет:

Содержание $\text{CaCl}_2$ в водном растворе, %	5	10	15
Температура замерзания, °C	-2,3	-5,65	-10,8

Содержание $\text{CaCl}_2$ в водном растворе, %	20	25	27	30
Температура замерзания, $^{\circ}\text{C}$	-18,3	-29,75	-45	-55

Вода, используемая как промежуточный теплоноситель в СУПТ, должна удовлетворять требованиям, предъявляемым к воде тепловых сетей в закрытых контурах при температуре теплоносителя  $45^{\circ}\text{C}$  и выше. Вода с температурой ниже  $45^{\circ}\text{C}$  в закрытых контурах циркуляции должна иметь  $\text{pH} = 6,5 - 8,5$ , карбонатную жесткость не более 3 мг-экв/л, содержать растворенного кислорода не более 0,1 мг/л и взвешенных веществ не более 10 мг/л.

Основные физические свойства рекомендуемых теплоносителей приведены в табл. 21.1.

### 21.2.2. Конструктивные, аэро-, гидродинамические и теплотехнические характеристики СУПТ и жидкостно-воздушных теплоутилизаторов

В качестве теплоутилизаторов в СУПТ могут использоваться воздухонагреватели центральных кондиционеров КТЦЗ (ВН), воздухонагреватели биметаллические со спирально-накатным оребрением типа КСк, калориферы стальные пластинчатые типа КВСБ-ПУЗ и КВББ-ПУЗ. Конструктивные характеристики воздухонагревателей и калориферов приведены в прил. II и III.

Тип теплоутилизатора определяется на основании технико-экономического сопоставления ТУБ, комплектуемых теплоутилизаторами различных типов и разной глубины (число рядов трубок по ходу движения воздуха) при различных схемах обвязки их трубопроводами. Схемы обвязки ТУБ трубопроводами, как правило, следует проектировать с противоточным

движением воздуха и теплоносителя. Скорость движения теплоносителя в трубках теплоутилизаторов должна быть во всех режимах эксплуатации не менее 0,35 м/с при теплоносителе воде и не менее 0,25 м/с при незамерзающем теплоносителе.

Теплоутилизационные блоки собираются из отдельных теплоутилизаторов, устанавливаемых параллельно и последовательно по ходу воздуха. Расчетом можно определить оптимальное распределение поверхности нагрева (соответственно число рядов трубок) в ТУБ приточных и вытяжных установок. Допускается комплектовать ТУБ для всех установок теплоутилизаторами одного типа с одинаковым числом рядов трубок по глубине.

Насосы, водоподогреватели, запорно-регулирующая арматура в СУПТ принимаются обычные, как для внутренних санитарно-технических систем.

Для повышения надежности работы СУПТ предусматривается установка двух циркуляционных насосов (рабочий и резервный). Мощность электродвигателя насоса определяется с учетом плотности теплоносителя. Циркуляционные насосы устанавливают, как правило, по ходу движения теплоносителя после ТУБ вытяжных установок на трубопроводах с нагретым за счет утилизированной теплоты теплоносителем.

Для ТУБ вытяжных установок для сбора и удаления конденсата при относительной влажности удаляемого воздуха  $\varphi_{\text{в.2}} < 60\%$  предусматриваются дренажные трубы, при  $\varphi_{\text{в.2}} \geq 60\%$  – поддоны под теплоутилизаторами.

В системах с незамерзающим теплоносителем необходимо предусматривать бак для приготовления раствора (после заполнения системы в нем может храниться запас раствора для подпитки), расширительный бак для ком-

ТАБЛИЦА 21.1. ОСНОВНЫЕ ФИЗИЧЕСКИЕ СВОЙСТВА ТЕПЛОНОСИТЕЛЕЙ

Теплоноситель	$t, ^{\circ}\text{C}$	$c, \text{кДж}/(\text{кг} \cdot ^{\circ}\text{C})$	$\rho, \text{кг}/\text{м}^3$	$\lambda, \text{Вт}/(\text{м} \cdot ^{\circ}\text{C})$	$\mu \cdot 10^3, \text{Па} \cdot \text{с}^2$	$v, 10^6, \text{м}^2/\text{с}$	$a \cdot 10^6, \text{м}^2/\text{с}$	$Pr$
27%-ный водный раствор хлористого кальция	0	2,825	1260	0,5325	4,76	3,78	0,143	33,22
Вода	70 0	4,19 4,21	977,8 999,9	0,66 0,56	3,98 1,749	0,415 1,789	0,161 0,132	2,58 13,5

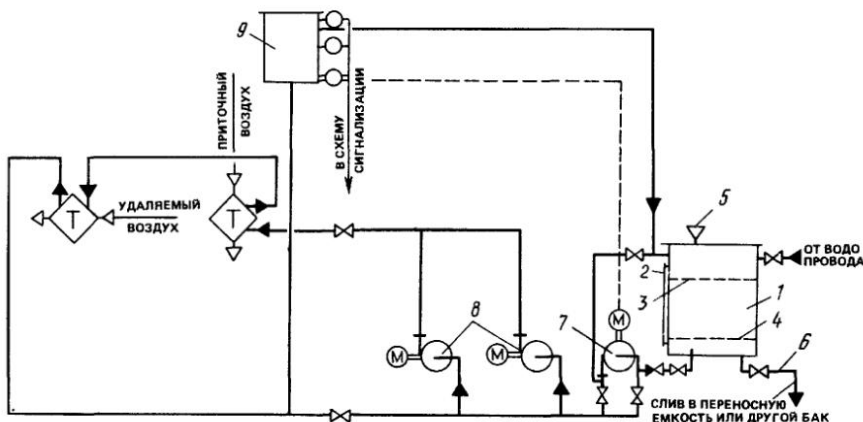


Рис. 21.2. Схема системы утилизации с двумя баками и подпиточным насосом

1 — бак для приготовления раствора; 2 — водомерное стекло; 3 и 4 — верхний и нижний уровень заполнения бака; 5 — устройство для заполнения бака раствором; 6 — спускной трубопровод, 7 — подпиточный насос; 8 — циркуляционный насос, 9 — расширительный бак

Рис. 21.3. Определение потерь давления по воздуху в одном теплообменнике

←

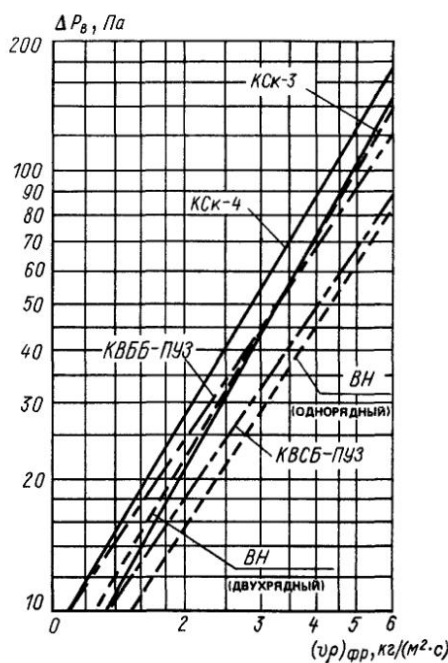
циальные емкости для повторного использования, так как сбрасывать такой раствор в канализацию не допускается. Кроме того, в помещениях для приготовления раствора предусматривается приемник для слива в него случайных проливов и подвод водопроводной воды.

Схема системы с двумя (расширительным и растворным) баками и подпиточным насосом, который включается автоматически или вручную по сигналу о снижении уровня раствора, приведена на рис. 21.2.

Как правило, поверхности оборудования ТУБ, трубопроводов, баков и арматуры СУПТ теплоизолируются с целью предотвращения выпадения конденсата на их поверхности, а также с целью уменьшения потери теплоты.

Аэродинамические характеристики (потери давления по воздуху)  $\Delta P_v$  теплообменников-теплоутилизаторов в зависимости от массовой скорости движения воздуха во фронтальном сечении ( $v \rho$ )<sub>фп</sub> приведены на рис. 21.3.

Гидравлический расчет СУПТ при теплоносителе воде выполняется традиционным методом. При гидравлическом расчете СУПТ при теплоносителе растворе хлористого кальция потери давления на трение в трубопроводах



пенсации расширения теплоносителя и удаления воздуха.

Объем промежуточного теплоносителя определяется с учетом вместимости системы (трубопроводов, теплоутилизаторов, расширительного бака) и объема, необходимого для подпитки.

В системах с раствором хлористого кальция при необходимости демонтажа или промывки системы раствор сливаются в бак для приготовления или сбора раствора или в спе-

**ТАБЛИЦА 212 ПОТЕРИ ДАВЛЕНИЯ НА ТРЕНИЕ  $\Delta P_x$  В ТРУБОПРОВОДАХ (НА 1 М)  
ПРИ ТЕПЛОНОСИТЕЛЕ ВОДНОМ РАСТВОРЕ ХЛORISTOGO KAL'CIYA**

Скорость движения теплоносителя, м/с	Значения $\Delta P_x$ , Па/м <sup>2</sup> , при диаметре трубопровода, мм					
	32	40	50	70	102	150
0,5	200	119,1	110,177	72,3	46,1	26,8
0,7	373,8	277,2	204,2	133,4	84,6	50,6
1,0	725	535,9	404,9	259,5	163,7	99,3
1,2	1018,2	750	548,8	367,5	231,5	140
1,5	1527,4	1155,6	944	555	354,3	209,9
2,0	2639	1965	1476,8	952,7	607,3	365,2

принимают по табл. 212, а потери давления в теплоутилизаторах определяют по формуле

$$\Delta P_x = C_x w^2, \quad (211)$$

где  $C_x$  — коэффициент для одного теплообменника, определяемый по табл. 213. При последовательно-параллельной обвязке ТУБ значение  $C_x$  принимается с учетом количества теплообменников, соединенных последовательно по теплоносителю.

**ТАБЛИЦА 213 КОЭФФИЦИЕНТ  $C_x$  ДЛЯ РАСЧЕТА ПОТЕРИ ДАВЛЕНИЯ ПО ТЕПЛОНОСИТЕЛЮ (РАСТВОР  $\text{CaCl}_2$ )**

Тип теплообменника	Индекс	Коэффициент $C_x$ , (Па $\text{с}^2$ )/м <sup>4</sup>
Воздухонагреватель биметаллический со спирально-накатным оребрением КСк3	КСк3-6-02ХЛЗА КСк3-7-02ХЛЗА КСк3-8-02ХЛЗА КСк3-9-02ХЛЗА КСк3-10-02ХЛЗА КСк3-11-02ХЛЗА КСк3-12-02ХЛЗА	15782 16884 18018 19152 21420 44730 83601
Воздухонагреватель биметаллический со спирально-накатным оребрением КСк4	КСк4-6-02ХЛЗА КСк4-7-02ХЛЗА КСк4-8-02ХЛЗА КСк4-9-02ХЛЗА КСк4-10-02ХЛЗА КСк4-11-02ХЛЗА КСк4-12-02ХЛЗА	16947 18081 19215 27481 22554 48384 92610
Калорифер стальной пластинчатый КВББ-ПУЗ	КВС6В-ПУЗ КВС7Б-ПУЗ КВС8Б-ПУЗ КВС9Б-ПУЗ КВС10Б-ПУЗ КВС11Б-ПУЗ КВС12Б-ПУЗ	18554 19656 20790 21924 24192 25830 40824

*Продолжение табл. 213*

Тип теплообменника	Индекс	Коэффициент $C_x$ , (Па $\text{с}^2$ )/м <sup>4</sup>
Калорифер стальной пластинчатый КВББ-ПУЗ	КВБ6Б-ПУЗ КВБ7Б-ПУЗ КВБ8Б-ПУЗ КВБ9Б-ПУЗ КВБ10Б-ПУЗ КВБ11Б-ПУЗ КВБ12Б-ПУЗ	16443 17577 18711 19807 25578 27279 45171
Базовый теплообменник центральных кондиционеров КТЦ3 (без обводного канала)	$H = 1$ , однорядный $B = 0,828$ , двухрядный	11781 24633
	$H = 1$ , однорядный $B = 1,655$ , двухрядный	15246 28224
	$H = 1,25$ , однорядный $B = 0,828$ , двухрядный	13734 27594
	$H = 1,25$ , однорядный $B = 1,655$ , двухрядный	19788 33705
	$H = 1,5$ , однорядный $B = 1,655$ , двухрядный	21924 41948
	$H = 2$ , однорядный $B = 1,655$ , двухрядный	28476 55692

Примечание  $H$  — высота теплообменника, м,  
 $B$  — длина трубок в теплообменнике, м

Как указывалось выше, СУПТ включает две группы теплообменников: теплоутилизаторы – воздухохладители в потоке удалаемого воздуха и теплоутилизаторы – воздухонагреватели в потоке приточного. Поэтому расчет тепломассопереноса в таких системах отличается от расчета группы одиночных теплообменников (воздухонагревателей приточных установок) тем, что помимо параметров приточного и удалаемого воздуха неизвестной является еще температура жидкости на входе в теплообменники. Кроме того, теплоутилизатор–воздухохладитель может работать как в «сухом» режиме, так и в режиме с выпадением конденсата на всей или части поверхности.

Основной теплотехнической характеристикой СУПТ является общий относительный перепад температур по приточному воздуху  $\theta_{\text{об1}}$ , определяемый по формуле

$$\theta_{\text{об1}} = \frac{t_{\text{в.н1}} - t_{\text{в.н1}}}{t_{\text{в.н2}} - t_{\text{в.н1}}}, \quad (21.2)$$

где  $t_{\text{в.н1}}$ ,  $t_{\text{в.н2}}$  – начальные температуры приточного и удалаемого воздуха, °С;  $t_{\text{в.н1}}$  – конечная температура приточного воздуха, °С.

### 21.2.3. Технологические схемы

СУПТ могут предусматриваться для одиночных установок (одна приточная и одна вытяжная) или для группы установок (несколько приточных и вытяжных) с индивидуальными ТУБ в каждой установке, либо для группы установок (несколько приточных и вытяжных) с одним ТУБ для всех приточных и с индивидуальными ТУБ в каждой вытяжной установке или с одним ТУБ для всех вытяжных установок и с индивидуальными ТУБ в каждой приточной установке.

В одну систему целесообразно объединять группы приточных и вытяжных установок с одинаковым режимом работы, с близкими начальными параметрами воздуха в каждой из групп.

Для нормального функционирования систем утилизации с промежуточным теплоносителем необходимо предусматривать средства контроля и автоматизации, обеспечивая поддержание температуры приточного воздуха и защиту от замерзания теплоносителя, от инеевобразования на теплообменной поверхности

ТУБ вытяжных установок, от опорожнения контура промежуточного теплоносителя.

Зашиту ТУБ от инеевобразования предусматривают путем периодического отключения насоса циркуляционного контура или приточной установки либо устройства обвода по теплоносителю. Следует иметь в виду, что периодическое отключение насоса или приточной установки возможно только в СУПТ, в которых промежуточный теплоноситель имеет температуру замерзания раствора, равную минимальной расчетной температуре наружного воздуха.

Способ защиты от замерзания теплоутилизаторов приточных установок определяется в зависимости от температуры замерзания принятого теплоносителя, скорости теплоносителя, запаса по теплообменной поверхности дополнительных воздухонагревателей, необходимости резервирования теплоснабжения СУПТ и т. д.

В серии 904.02.26-86 СантехНИИпроектом разработано 48 технологических схем и автоматизации СУПТ.

На рис. 21.4, а приведена принципиальная схема СУПТ без подогрева промежуточного теплоносителя. Поддержание температуры приточного воздуха обеспечивается постепенным открытием клапана 3 по сигналу датчика температуры 8 при повышении температуры приточного воздуха и закрытием клапана 1 ТУБ приточной установки, если температура приточного воздуха продолжает расти. Регулирование теплопроизводительности ТУБ и соответственно установка клапана 1 не требуется, если температура воздуха после ТУБ в течение всего отопительного сезона ниже требуемой температуры приточного воздуха.

Зашита промежуточного теплоносителя от замерзания обеспечивается открытием клапана 1 по сигналу датчика температуры 2, если температура теплоносителя после ТУБ приточной установки снижается ниже заданной, и последующим отключением вентилятора приточной установки при дальнейшем уменьшении температуры.

Зашита теплоносителя воды от замерзания в трубках дополнительного воздухонагревателя обеспечивается открытием клапана 8 по сигналу датчика 7 при снижении температуры теплоносителя после воздухонагревателя ниже допустимой или по сигналу датчика 6 при

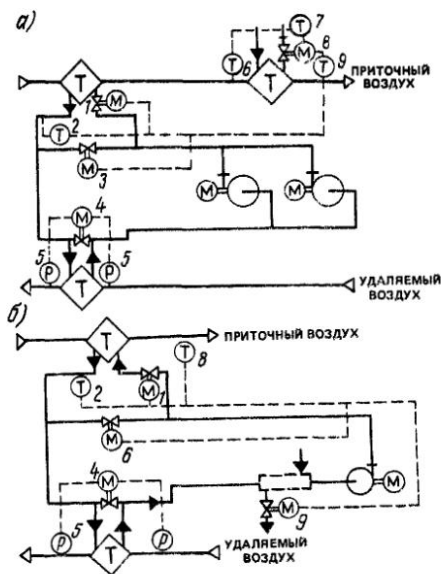


Рис. 21.4. Принципиальные схемы СУПТ без подогрева промежуточного теплоносителя (а) и с подогревом (б)

снижении температуры воздуха перед воздухонагревателем в нерабочее время ниже 2–3°C. Защита от инесообразования на теплообогретой поверхности ТУБ вытяжных установок предусматривается открытием клапана 4 по сигналу датчика перепада давлений 5 в вытяжном канале и пропуском части промежуточного теплоносителя в обвод ТУБ вытяжных установок.

На рис. 21.4, б приведена принципиальная схема СУПТ с подогревом промежуточного теплоносителя. Поддержание температуры приточного воздуха обеспечивается постепенным закрытием клапана 9 при повышении температуры приточного воздуха по сигналу датчика температуры 8 и открытием клапана 6, если температура приточного воздуха продолжает расти. Для систем, в которых предусматриваются индивидуальные регулирующие клапаны у каждого ТУБ приточных установок, поддерживается температура промежуточного теплоносителя с коррекцией по температуре наружного воздуха; при повышении температуры приточного воздуха по сигналу датчика 8 закрывается клапан 1. Защита промежуточного теплоносителя от замерзания и инеообра-

зования в ТУБ вытяжных установок аналогична схеме на рис. 21.4, а.

#### 21.2.4. Инженерный метод расчета СУПТ

Для выполнения теплотехнического расчета СУПТ имеется автоматизированная программа расчета СУТ-2 для ЕС ЭВМ в системе ОС. Программа хранится в МНИИТЭП (Московском научно-исследовательском и проектном институте экспериментального проектирования). Автоматизированная программа, повышая точность расчета и сокращая трудоемкость проектирования, позволяет рассчитывать СУПТ с подогревом и без подогрева промежуточного теплоносителя, проводить многовариантное проектирование, выбирать оптимальную по экономической эффективности систему утилизации, определять часовую и годовую экономию тепловой энергии.

МНИИТЭП (д-р техн. наук М. Я. Поз и канд. техн. наук В. И. Сенатова) разработан также графоаналитический метод расчета СУПТ, приведенный в серии 904.02.26-86 «Системы вентиляции зданий с утилизацией теплоты удалаемого воздуха в жидкостно-воздушных теплоутилизаторах с промежуточным теплоносителем».

Для СУПТ с одиночными установками или группами приточных и вытяжных установок с близкими начальными параметрами воздуха в каждой группе (разница температур до 10°C или относительной влажности до 20%), а также для ориентировочных расчетов и расчетов на стадии проекта допускается пользоваться упрощенным графоаналитическим методом.

**Упрощенный графоаналитический метод расчета СУПТ без подогрева промежуточного теплоносителя.** Теплотехнический расчет выполняется в такой последовательности.

1. Выбирают параллельную или последовательно-параллельную (рис. 21.5) схему при соединения ТУБ группы *m* приточных и группы *n* вытяжных установок к циркуляционному контуру промежуточного теплоносителя.

2. Задается тип теплоутилизаторов, их количество во фронтальном сечении ТУБ, схема обвязки по теплоносителю.

Число рядов трубок *n* в ТУБ по глубине принимается в зависимости от степени суро-

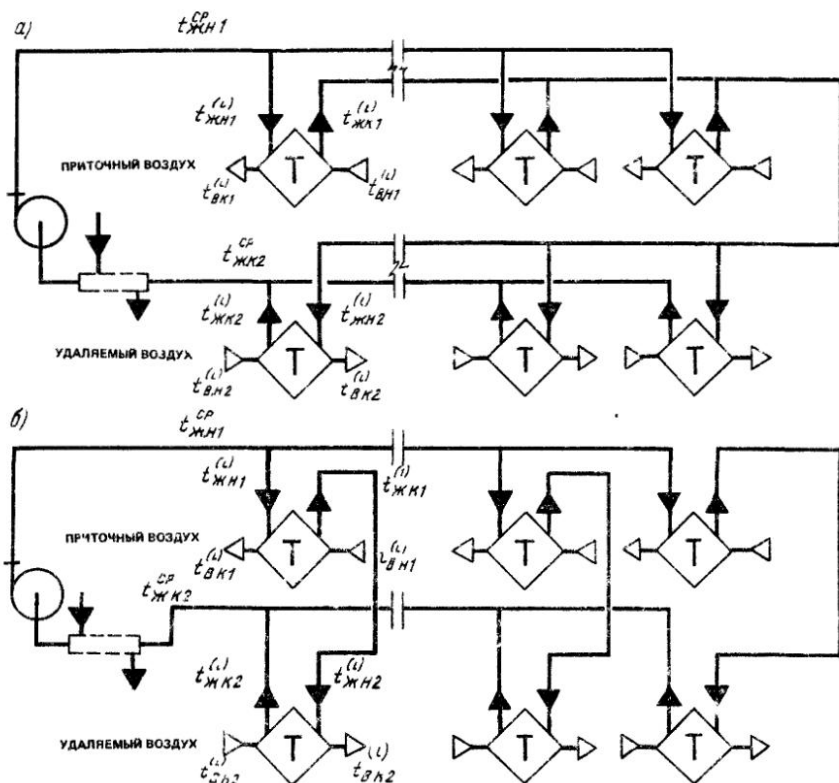


Рис. 21.5 Схемы параллельного (а) и последовательного (б) присоединения ТУБ к циркуляционному контуру

вости наружного климата в холодный период года равным 8–9 рядам при  $\tau > -5000^{\circ}\text{C}\cdot\text{ч}$ , 10–12 рядам трубок при  $-5000 \geq \tau \geq -26000^{\circ}\text{C}\cdot\text{ч}$  и 16 рядам трубок при  $\tau < -26000^{\circ}\text{C}\cdot\text{ч}$

Величина  $\tau$  определяется по формуле

$$\tau = t_{\text{вн}1}^{\text{ср}} - t_{\text{вн}1}^{(0)}$$
 (21.3)

где  $t_{\text{вн}1}^{(0)}$  – длительность отопительного периода, ч,  $t_{\text{вн}1}^{\text{ср}}$  – средняя температура наружного воздуха за отопительный период,  $^{\circ}\text{С}$

3 Площадь живого сечения по теплоносителю  $f_{\text{ж}}^{\text{u}}$ , фронтального сечения по воздуху  $f_{\text{вн}1}^{\text{u}}$  поверхности нагрева  $F^{\text{u}}$  для каждого ТУБ принимают по данным для воздухонагревателей, выбранных в качестве теплоутилизаторов.

4 Средние параметры для группы  $m$  приточных и  $n$  вытяжных установок

$t_{\text{вн}1}^{\text{ср}}, t_{\text{вн}2}^{\text{ср}}$  – средние начальные температуры приточного и удалаемого воздуха,  $^{\circ}\text{С}$ ,

$\varphi_{\text{вн}2}^{\text{ср}}$  – средняя начальная относительная влажность удалаемого воздуха, %,

$t_{\text{вн}2}^{\text{ср}}$  – средняя начальная энталпия удалаемого воздуха,  $\text{kДж}/\text{кг}$

5 Среднюю температуру двух потоков воздуха  $t_{\text{вн}}^{\text{ср}}$  определяют по формуле

$$t_{\text{вн}}^{\text{ср}} = \frac{t_{\text{вн}2}^{\text{ср}} + t_{\text{вн}1}^{(0)\text{мин}}}{2},$$
 (21.4)

где  $t_{\text{вн}1}^{(0)\text{мин}}$  – наименьшая величина из начальных температур приточного воздуха для  $m$  приточных установок,  $^{\circ}\text{С}$

6 Выбирают вид теплоносителя при  $t_{\text{вн}}^{\text{ср}} < 12^{\circ}\text{C}$  – водный раствор хлористого кальция, при  $t_{\text{вн}}^{\text{ср}} \geq 12^{\circ}\text{C}$  – воду

7 Оптимальное отношение водяных эквивалентов потоков воздуха и теплоносителя  $W_1^{\text{opt}}$  для ТУБ приточных установок определяют по формуле

$$W_1^{\text{opt}} = 0,55 + 0,4 \frac{\sum G_{\text{вн}1}}{\sum G_{\text{вн}2}} - 0,006 (\varphi_{\text{вн}2}^{\text{ср}} - 30),$$
 (21.5)

где  $\Sigma G_{\text{в1}}$  и  $\Sigma G_{\text{в2}}$ —суммарные расходы приточного и удалаемого воздуха, кг/ч.

8. Расход промежуточного теплоносителя в системе вычисляют по формуле

$$G_{\text{x}} = \Sigma G_{\text{в1}} c_{\text{в}} / W_1^{\text{int}} c_{\text{x}}, \quad (21.6)$$

где  $c_{\text{в}}$ ,  $c_{\text{x}}$ —теплоемкость воздуха и теплоносителя.

9. Расход теплоносителя для каждой приточной  $G_{\text{в1}}^{(i)}$  и вытяжной  $G_{\text{в2}}^{(i)}$  установки определяют по формуле

$$G_{\text{x}}^{(i)} = G_{\text{в}}^{(i)} G_{\text{x}} / \Sigma G_{\text{в}}, \quad (21.7)$$

где  $G_{\text{в}}^{(i)}$ ,  $\Sigma G_{\text{в}}$ —массовый расход одной приточной и общий расход всех приточных установок или массовый расход одной вытяжной и общий расход всех вытяжных установок, кг/ч.

10. Скорость движения теплоносителя в трубках теплоутилизаторов каждой приточной  $w_1^{(i)}$  и вытяжной  $w_2^{(i)}$  установки, среднее значение скорости  $w_2^{\text{ср}}$  для  $n$  вытяжных, а также при теплоносителе воде  $w_1^{\text{ср}}$  для  $m$  приточных установок вычисляют по формулам:

$$w^{(i)} = \frac{G^{(i)}}{3600 f_{\text{x}}^{(i)}}, \quad (21.8)$$

$$w^{\text{ср}} = \frac{\Sigma G}{3600 \Sigma f_{\text{x}}}, \quad (21.9)$$

где  $f_{\text{x}}^{(i)}$ ,  $\Sigma f_{\text{x}}$ —площадь живого сечения, м<sup>2</sup>, прохода по теплоносителю  $i$ -го ТУБ или суммарная для  $n$  вытяжных установок либо для  $m$  приточных установок.

Если  $w^{(i)} > 1,5$  м/с, то  $W_1$  принимается равным единице и расчет повторяется по формулам (21.6) и (21.7).

11. Массовую скорость движения воздуха во фронтальном сечении каждой приточной  $(vp)_{\text{фр1}}^{(i)}$  и вытяжной  $(vp)_{\text{фр2}}^{(i)}$ , среднее значение для  $n$  вытяжных установок  $(vp)_{\text{фр2}}^{\text{ср}}$ , а также при теплоносителе воде  $(vp)_{\text{фр1}}^{\text{ср}}$  для  $m$  приточных установок определяют по формулам:

$$(vp)_{\text{фр}}^{(i)} = \frac{G_{\text{в}}^{(i)}}{3600 f_{\text{фр}}^{(i)}}, \quad (21.10)$$

$$(vp)_{\text{фр}}^{\text{ср}} = \frac{\Sigma G_{\text{в}}}{3600 \Sigma f_{\text{фр}}}, \quad (21.11)$$

где  $f_{\text{фр}}^{(i)}$ ,  $\Sigma f_{\text{фр}}$ —площадь фронтального сечения, м<sup>2</sup>,  $i$ -го ТУБ или суммарная площадь ТУБ для  $n$  вытяжных или  $m$  приточных установок;  $G_{\text{в}}$ ,  $\Sigma G_{\text{в}}$ —массовый расход, кг/ч,  $i$ -го ТУБ либо общий расход ТУБ для  $n$  вытяжных или  $m$  приточных установок.

12. Безразмерный параметр для каждого ТУБ приточной  $Fo_1^{(i)}$  и вытяжной  $Fo_2^{(i)}$  установки вычисляют по формуле

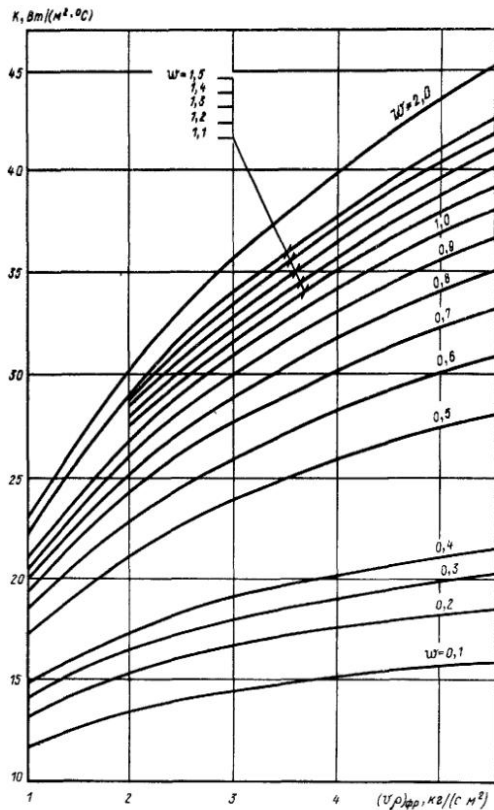


Рис. 21.6. Определение коэффициентов теплопередачи  $K$  воздухонагревателей КТЦ-3 двухрядных (раствор  $\text{CaCl}_2$ ).

$$Fo^{(i)} = \frac{3,6 K^{(i)} F^{(i)}}{G_{\text{в}}^{(i)} c_{\text{в}}}, \quad (21.12)$$

где  $K^{(i)}$ —находят по рис. 21.6–21.8 при соответствующих значениях  $w^{(i)}$  и  $(vp)_{\text{фр}}^{(i)}$ ; при теплоносителе воде  $K^{(i)}$  находят по данным для воздухонагревателей, выбранных в качестве теплоутилизаторов;  $c_{\text{в}}$ —удельная теплоемкость воздуха, кДж/(кг·°С);  $K^{(i)}$ ,  $F^{(i)}$ ,  $G_{\text{в}}^{(i)}$ —соответственно коэффициент теплопередачи, Вт/(/м<sup>2</sup>·°С), площадь поверхности нагрева, м<sup>2</sup>, и массовый расход воздуха, кг/ч, каждой приточной и вытяжной установки.

13. Отношение водяных эквивалентов потоков  $W_2$  для ТУБ вытяжных установок будет равно:

$$W_2 = \frac{\Sigma G_{\text{в2}} c_{\text{в}}}{G_{\text{x}} c_{\text{x}}}. \quad (21.13)$$

14. Общий относительный перепад температур  $\theta^{(i)}$  для условных установок с объемным

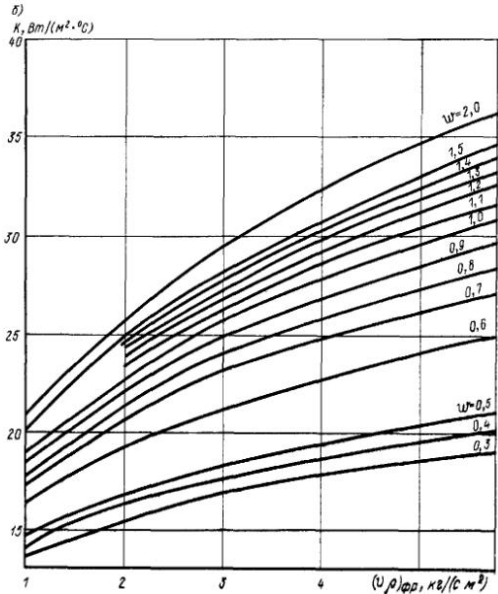
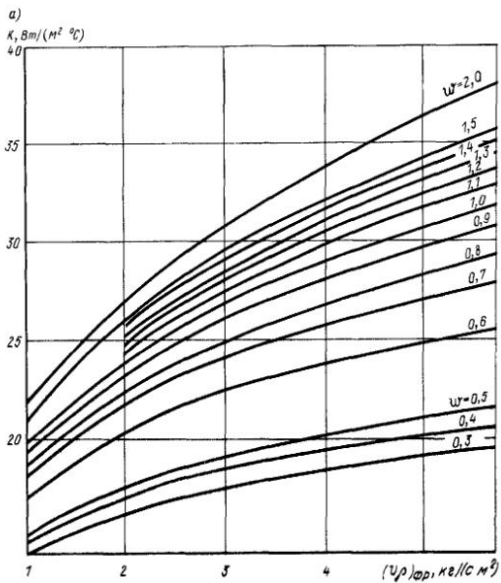
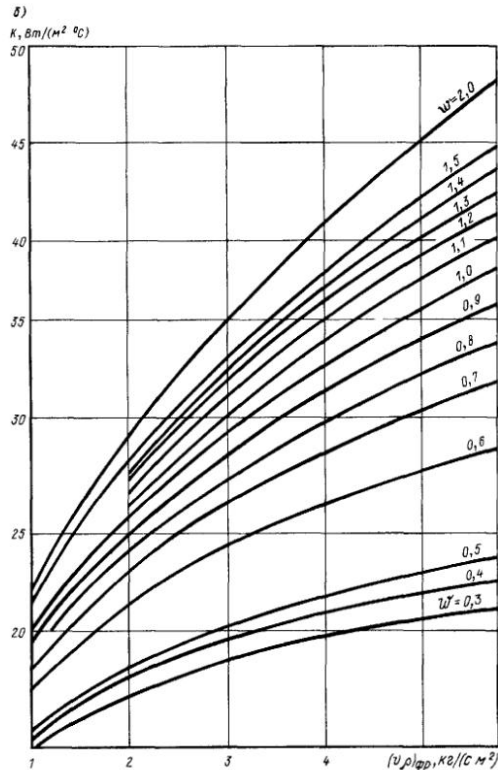
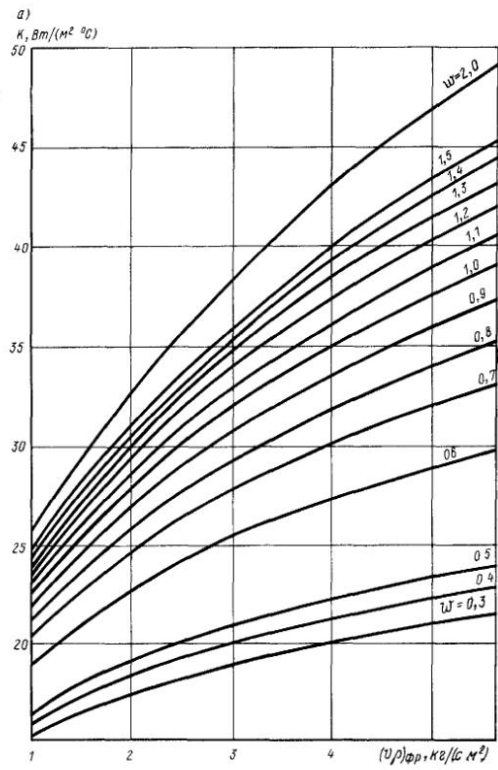


ТАБЛИЦА 21.4. ОТНОСИТЕЛЬНЫЕ ПЕРЕПАДЫ ТЕМПЕРАТУР  $\theta$   
ДЛЯ ГРУППЫ ТЕПЛООБМЕННИКОВ (ПО ХОДУ ВОЗДУХА)

Параметр	Значения $\theta$ при отношении водяных эквивалентов							
	0,5	0,7	0,9	1,1	1,4	2,0	3,0	4,0
0,3	0,259	0,246	0,235	0,226	0,215	0,196	0,172	0,153
0,4	0,323	0,306	0,292	0,28	0,264	0,237	0,204	0,178
0,5	0,281	0,359	0,341	0,326	0,305	0,271	0,228	0,196
0,6	0,431	0,406	0,385	0,366	0,341	0,3	0,248	0,209
0,7	0,476	0,448	0,423	0,401	0,372	0,324	0,268	0,219
0,8	0,517	0,485	0,457	0,432	0,4	0,345	0,276	0,226
0,9	0,553	0,518	0,488	0,46	0,424	0,362	0,286	0,232
1,0	0,586	0,549	0,515	0,485	0,445	0,378	0,294	0,236
1,1	0,617	0,576	0,541	0,507	0,464	0,391	0,301	0,239
1,2	0,644	0,601	0,564	0,527	0,481	0,402	0,306	0,242
1,3	0,668	0,625	0,585	0,546	0,496	0,413	0,311	0,244
1,4	0,691	0,644	0,604	0,564	0,511	0,422	0,315	0,245
1,5	0,712	0,665	0,623	0,58	0,524	0,43	0,318	0,246
1,6	0,731	0,682	0,638	0,593	0,536	0,437	0,32	0,247
1,7	0,748	0,699	0,652	0,607	0,546	0,443	0,323	0,248
1,8	0,764	0,714	0,665	0,62	0,556	0,449	0,324	0,248
1,9	0,779	0,729	0,677	0,632	0,565	0,454	0,326	0,249
2,0	0,793	0,742	0,69	0,643	0,574	0,458	0,327	0,249
2,1	0,806	0,755	0,703	0,652	0,582	0,462	0,328	0,249
2,2	0,818	0,765	0,714	0,66	0,589	0,466	0,329	0,249
2,3	0,829	0,776	0,722	0,67	0,596	0,469	0,33	0,25
2,4	0,839	0,788	0,732	0,678	0,602	0,472	0,33	0,25
2,5	0,849	0,797	0,742	0,685	0,608	0,474	0,331	0,25
2,6	0,858	0,806	0,751	0,693	0,613	0,477	0,331	0,25
2,7	0,866	0,814	0,756	0,701	0,618	0,479	0,332	0,25
2,8	0,875	0,822	0,765	0,708	0,623	0,481	0,332	0,25
2,9	0,881	0,83	0,772	0,713	0,628	0,483	0,332	0,25
3,0	0,888	0,837	0,78	0,72	0,632	0,484	0,332	0,25
3,1	0,895	0,844	0,786	0,726	0,636	0,486	0,332	0,25
3,2	0,901	0,85	0,792	0,731	0,64	0,487	0,332	0,25
3,3	0,907	0,856	0,798	0,736	0,643	0,488	0,333	0,25
3,4	0,912	0,862	0,804	0,741	0,646	0,489	0,333	0,25
3,5	0,917	0,868	0,809	0,746	0,65	0,49	0,333	0,25

расходом воздуха, равным расходу воздуха каждой приточной  $L_1^{(i)}$  и вытяжной  $L_2^{(i)}$ , принимается по табл. 21.4:  $\theta_1^{(i)}$  при соответствующих значениях  $F_{O_1}^{(i)}$  и  $W_1$ ;  $\theta_2^{(i)}$  – при соответствующих значениях  $F_{O_2}^{(i)}$  и  $W_2$ .

15. Определяем общий относительный перепад температур:

$\theta_{ob.1}^{(n)}$  для условной системы с объемным расходом удалаемого воздуха  $L_{a2}^{cp}$

$$\begin{array}{|c|c|} \hline 7a & 7b \\ \hline 8a & 8b \\ \hline \end{array}$$

Рис. 21.7. Определение коэффициентов теплопередачи  $K$  калориферов КСк3 (а) и КСк4 (б) (раствор  $\text{CaCl}_2$ )

Рис. 21.8. Определение коэффициентов теплопередачи  $K$  калориферов КВСП-ПУЗ (а) и КВББ-ПУЗ (б) (раствор  $\text{CaCl}_2$ )

$$\theta_{ob.1}^{(n)} = \frac{\sum (\theta_{ob.1}^{(i)} L_{a2}^{(i)})}{\sum L_{a2}^{(i)}}, \quad (21.14)$$

$\theta_{ob.1}^{(m)}$  для условной системы с объемным расходом приточного воздуха  $L_{a1}^{cp}$

$$\theta_{ob.1}^{(m)} = \frac{\sum (\theta_{ob.1}^{(i)} L_{a1}^{(i)})}{\sum L_{a1}^{(i)}}, \quad (21.15)$$

где  $L_{a2}^{(i)}$  и  $L_{a1}^{(i)}$  – объемный расход воздуха каждой вытяжной и каждой приточной установки.

16. Средний общий относительный перепад температур  $\theta_{ob.1}^{cp}$  для системы утилизации составит:

$$\theta_{ob.1}^{cp} = \frac{\theta_{ob.1}^{(n)} + \theta_{ob.1}^{(m)}}{2}. \quad (21.16)$$

При теплоносителе воде

ТАБЛИЦА 21.5. ПОПРАВОЧНЫЕ КОЭФФИЦИЕНТЫ  $\xi_k$ ,  $\xi_\theta$ ,  $\xi_{\theta_{06}}$  ПРИ ТЕПЛОНОСИТЕЛЕ ВОДЕ

w, м/с	Поправочный коэффициент $\xi$	$(\nu p)_{\phi p} = 2 \text{ кг}/(\text{м}^2 \cdot ^\circ\text{C})$						$(\nu p)_{\phi p} = 4 \text{ кг}/(\text{м}^2 \cdot ^\circ\text{C})$		
		Средняя температура воздуха $t_a^{\phi p}$ , $^\circ\text{C}$								
		7	20	40	60	80	100	7	20	40
0,2	$\xi_k$	1,36	1,48	1,57	1,62	1,66	1,69	1,64	1,78	1,88
	$\xi_\theta$	1,11	1,15	1,17	1,18	1,19	1,2	1,19	1,22	1,25
	$\xi_{\theta_{06}}$	1,15	1,21	1,24	1,26	1,27	1,29	1,27	1,32	1,36
0,5	$\xi_k$	1,36	1,48	1,57	1,62	1,66	1,69	1,56	1,69	1,8
	$\xi_\theta$	1,11	1,15	1,17	1,18	1,19	1,2	1,17	1,2	1,23
	$\xi_{\theta_{06}}$	1,15	1,21	1,24	1,26	1,27	1,29	1,24	1,29	1,33
1,0	$\xi_k$	1,05	1,14	1,21	1,25	1,28	1,31	1,12	1,22	1,29
	$\xi_\theta$	1,02	1,05	1,07	1,08	1,09	1,1	1,04	1,07	1,09
	$\xi_{\theta_{06}}$	1,02	1,07	1,1	1,11	1,12	1,14	1,05	1,1	1,13
1,5	$\xi_k$	1,01	1,1	1,17	1,2	1,23	1,26	1,05	1,14	1,21
	$\xi_\theta$	1,0	1,03	1,06	1,07	1,08	1,08	1,02	1,05	1,07
	$\xi_{\theta_{06}}$	1,01	1,05	1,08	1,09	1,1	1,11	1,03	1,07	1,09
2,0	$\xi_k$	1,0	1,09	1,16	1,19	1,22	1,25	1,03	1,12	1,18
	$\xi_\theta$	1,0	1,03	1,05	1,06	1,07	1,08	1,01	1,04	1,06
	$\xi_{\theta_{06}}$	1,0	1,04	1,07	1,08	1,09	1,11	1,01	1,05	1,08
0,2	$\xi_k$	1,94	1,99	2,03	1,84	2,0	2,12	2,19	2,24	2,29
	$\xi_\theta$	1,26	1,27	1,28	1,24	1,27	1,3	1,32	1,33	1,34
	$\xi_{\theta_{06}}$	1,38	1,39	1,41	1,35	1,39	1,44	1,48	1,49	1,51
0,5	$\xi_k$	1,86	1,9	1,94	1,74	1,89	2,0	2,07	2,12	2,16
	$\xi_\theta$	1,24	1,25	1,26	1,22	1,25	1,28	1,29	1,3	1,31
	$\xi_{\theta_{06}}$	1,35	1,37	1,38	1,31	1,36	1,4	1,43	1,45	1,46
1,0	$\xi_k$	1,33	1,36	1,39	1,19	1,29	1,37	1,41	1,44	1,47
	$\xi_\theta$	1,10	1,11	1,12	1,06	1,09	1,12	1,13	1,14	1,15
	$\xi_{\theta_{06}}$	1,15	1,16	1,17	1,08	1,13	1,16	1,18	1,19	1,2
1,5	$\xi_k$	1,25	1,28	1,31	1,12	1,22	1,29	1,33	1,36	1,39
	$\xi_\theta$	1,08	1,09	1,1	1,04	1,07	1,09	1,11	1,11	1,12
	$\xi_{\theta_{06}}$	1,11	1,13	1,14	1,05	1,1	1,13	1,15	1,16	1,17
2,0	$\xi_k$	1,22	1,25	1,28	1,05	1,14	1,21	1,25	1,28	1,31
	$\xi_\theta$	1,07	1,08	1,09	1,02	1,05	1,07	1,08	1,09	1,1
	$\xi_{\theta_{06}}$	1,09	1,11	1,12	1,02	1,07	1,1	1,11	1,12	1,14

Примечание.  $t_a^{\phi p}$  определяется по формуле (21.4).

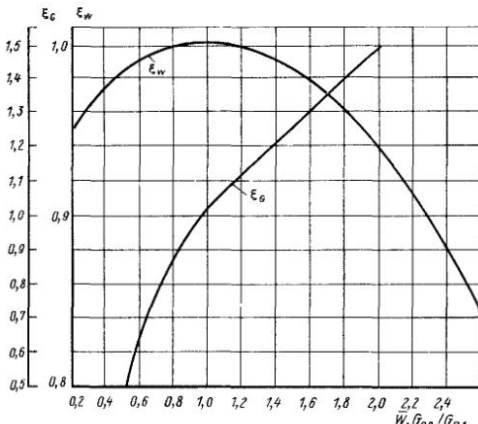


Рис. 21.9. Определение поправочных коэффициентов  $\xi_G$  и  $\xi_W$

Рис. 21.10. Определение поправочного коэффициента  $\xi_\varphi$  при  $\Delta\varphi = 10\text{--}60\%$

$$\theta_{\text{об},1}^{\text{cp}} = \frac{\theta_{\text{б},06}^{(m)} \xi_{\theta_{\text{б},06}}^{(m)} + \theta_{\text{б},06}^{(n)} \xi_{\theta_{\text{б},06}}^{(n)}}{2}, \quad (21.17)$$

где  $\xi_{\theta_{\text{б},06}}^{(m)}$  и  $\xi_{\theta_{\text{б},06}}^{(n)}$  — поправочные коэффициенты, учитывающие теплофизические свойства воды, принимаемые по табл. 21.5 при  $t_{\text{в},1}^{\text{cp}}$  и соответствующих значениях  $w_1^{\text{cp}}, (w_1)^{\text{cp}}_{\text{в},1}$  и  $w_2^{\text{cp}}, (w_2)^{\text{cp}}_{\text{в},2}$ .

17. Поправочный коэффициент  $\xi_W$  при  $W_1 = 1$  определяют по графику на рис. 21.9 по значению  $\bar{W}$

$$\bar{W} = 1/W_1^{\text{opt}}, \quad (21.18)$$

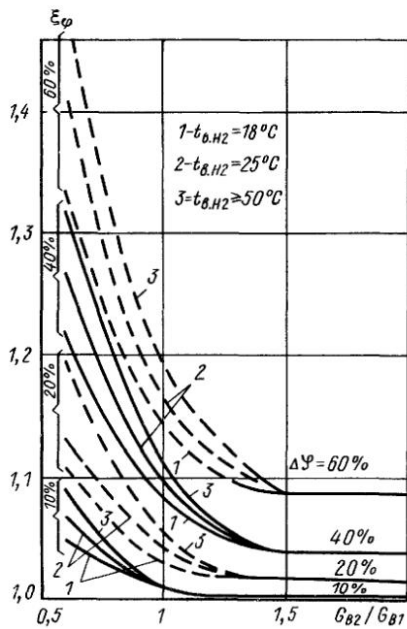
где  $W_1^{\text{opt}}$  вычисляется по формуле (21.5).

18. Поправочный коэффициент  $\xi_G$ , учитывающий неравенство расходов приточного и удалаемого воздуха, определяют по графику на рис. 21.9 по значению  $\bar{G}_{\text{в}}$

$$\bar{G}_{\text{в}} = \Sigma G_{\text{в},2} / \Sigma G_{\text{в},1}. \quad (21.19)$$

ТАБЛИЦА 21.6. ГРАНИЧНОЕ ЗНАЧЕНИЕ  
ОТНОСИТЕЛЬНОЙ ВЛАЖНОСТИ  
УДАЛЯЕМОГО ВОЗДУХА

$t_{\text{в},\text{н},2}, ^\circ\text{C}$	Значения $\Phi_{\text{сух}}$ , %, при $t_{\text{в},\text{н},1}, ^\circ\text{C}$			
	-20	-30	-40	-50
18	26	17,7	11,7	8,7
25	22	15,4	10	7
50	11,5	8,7	6,7	4



19. Границное значение относительной влажности удалаемого воздуха  $\Phi_{\text{сух}}$ , при которой не происходит конденсации влаги на поверхности ТУБ принимают по табл. 21.6 при  $t_{\text{в},1}^{\text{cp}}$  и  $t_{\text{в},2}^{\text{cp}}$ . Если  $\Phi_{\text{в},\text{н},2}^{\text{cp}} > (\Phi_{\text{сух}} + 5)$ , то установка работает с выпадением конденсата.

20. Поправочный коэффициент  $\xi_G$ , учитывающий выпадение конденсата, определяют по графику на рис. 21.10 по  $\Delta\varphi$

$$\Delta\varphi = \Phi_{\text{в},\text{н},2}^{\text{cp}} - (\Phi_{\text{сух}} + 5). \quad (21.20)$$

21. Уточненная величина среднего общего относительного перепада температур  $\theta_{\text{об},1}^{\text{cp}(\Phi)}$  будет равна:

$$\theta_{\text{об},1}^{\text{cp}(\Phi)} = \theta_{\text{об},1}^{\text{cp}} \xi_W \xi_G \xi_\varphi. \quad (21.21)$$

22. Средняя температура  $t_{\text{в},\text{k},1}^{\text{yt}(\text{cp})}$  приточного воздуха после приточных ТУБ составит:

$$t_{\text{в},\text{k},1}^{\text{yt}(\text{cp})} = t_{\text{в},\text{n},1}^{\text{cp}} + \theta_{\text{об},1}^{\text{cp}(\Phi)} (t_{\text{в},\text{n},2}^{\text{cp}} - t_{\text{в},\text{n},1}^{\text{cp}}). \quad (21.22)$$

23. Средний относительный перепад температур  $\theta_1^{\text{cp}}$  условной приточной установки с суммарным расходом воздуха определяют по формуле

$$\theta_1^{\text{cp}} = \frac{1 + G_{\text{в},1}}{W_1 + 1/\theta_{\text{об},1}^{\text{cp}(\Phi)}}. \quad (21.23)$$

24. Среднюю температуру промежуточно-

го теплоносителя  $t_{\text{ж},k2}^{\text{cp}}$  после ТУБ вытяжных установок вычисляют по формуле

$$t_{\text{ж},k2}^{\text{cp}} = t_{\text{в},h1}^{\text{cp}} + \frac{t_{\text{в},k1}^{\text{yt(cp)}} - t_{\text{в},h1}^{\text{cp}}}{\theta_1^{\text{cp}}}. \quad (21.24)$$

25. Среднюю температуру промежуточного теплоносителя  $t_{\text{ж},k1}^{\text{cp}}$  после ТУБ приточных установок определяют по формуле

$$t_{\text{ж},k1}^{\text{cp}} = t_{\text{в},h1}^{\text{cp}} - W_1(t_{\text{в},k1}^{\text{yt(cp)}} - t_{\text{в},h1}^{\text{cp}}). \quad (21.25)$$

26. Уточняют вид теплоносителя: при  $t_{\text{ж},k1}^{\text{cp}} > 7^\circ\text{C}$  принимаем воду, при  $t_{\text{ж},k1}^{\text{cp}} \leq 7^\circ\text{C}$  – незамерзающие растворы солей. Если выбор теплоносителя по п.2 оказался неверным, расчет повторяется по пп. 7–25 для другого теплоносителя.

27. Часовой расход  $\theta_q^{\text{yt(cp)}}$  утилизированной теплоты в расчетном режиме вычисляют по формуле

$$\theta_q^{\text{yt(cp)}} = \sum G_{\text{в},1} c_{\text{в}} \theta_{061}^{\text{cp}(\Phi)} (t_{\text{в},h2}^{\text{cp}} - t_{\text{в},h1}^{\text{cp}}) D, \quad (21.26)$$

где  $D$  – коэффициент, равный 1 в системе МКГСС, или 1/3600 в СИ.

28. Часовой расход теплоты  $\theta_q^{\text{yt(cp)}}$  от первичного источника теплоты, необходимый для подогрева приточного воздуха, будет равен:

$$\theta_q^{\text{yt(cp)}} = \sum G_{\text{в},1} c_{\text{в}} (t_{\text{в},k1}^{\text{cp}} - t_{\text{в},k1}^{\text{yt(cp)}}) D. \quad (21.27)$$

29. Средняя энталпия  $t_{\text{ж},k2}^{\text{cp}}$  удалаемого воздуха после ТУБ вытяжных установок

$$t_{\text{ж},k2}^{\text{cp}} = \frac{t_{\text{в},h2}^{\text{cp}} - \sum G_{\text{в},1} c_{\text{в}} (t_{\text{в},k1}^{\text{yt(cp)}} - t_{\text{в},h1}^{\text{cp}})}{\sum G_{\text{в},2}}. \quad (21.28)$$

30. Средние конечные температуру  $t_{\text{ж},k2}^{\text{cp}}$  и влагосодержание  $d_{\text{ж},k2}^{\text{cp}}$  удалаемого воздуха после ТУБ вытяжных установок определяют по  $i-d$ -диаграмме для точки с координатами  $t_{\text{ж},k2}^{\text{cp}}$  и  $\varphi = 100\%$ .

31. Температуру промежуточного теплоносителя  $t_{\text{ж},h2}$  на входе в ТУБ приточных установок определяют с учетом нагрева теплоносителя в трубопроводах циркуляционного контура; допускается принимать  $t_{\text{ж},h2} = t_{\text{ж},k1}^{\text{cp}}$ .

32. При  $t_{\text{ж},h2} \leq 0^\circ\text{C}$  находят критическую температуру наружного воздуха  $t_{\text{в},h1}^{\text{kp(cp)}}$ , ниже которой начинается обмерзание поверхности ТУБ вытяжных установок,

$$t_{\text{в},h1}^{\text{kp(cp)}} = \frac{-A(t_{\text{в},h2}^{\text{cp}} - D) + t_{\text{в},h2}^{\text{cp}}(AB - C)}{1 + AB - C}, \quad (21.29)$$

где  $D$  – коэффициент, равный 9,63 кДж/кг (2,3 ккал/кг);

$$A = \frac{\Psi \alpha_{\text{ж},2}^{\text{cp}}}{\alpha_{\text{ж},2}^{\text{cp}} c_{\text{в}}}; \quad (21.30)$$

$$B = \frac{\theta_{061}^{\text{cp}(\Phi)} \sum G_{\text{в},1} c_{\text{в}}}{\sum G_{\text{в},2}}; \quad (21.31)$$

$$C = \frac{\theta_1^{\text{cp}(\Phi)}}{\theta_1^{\text{cp}}} - W_1 \theta_{061}^{\text{cp}(\Phi)}, \quad (21.32)$$

$\Psi$  – коэффициент преобразования: для КСк3, КСк4  $\Psi = 16,48$ ; для КВСБ, КВББ  $\Psi = 15,82$ ; для ВН  $\Psi = 11,0$ ;  $\alpha_{\text{ж},2}^{\text{cp}}$  и  $\alpha_{\text{ж},2}^{\text{cp}}$  – средние коэффициенты наружного и внутреннего теплообмена,  $\text{Вт}/(\text{м}^2 \cdot {}^\circ\text{C})$ ; принимаются по рис. 21.11 и 21.12.

Если  $t_{\text{в},h1}^{\text{kp(cp)}} \geq t_{\text{в},h1}^{\text{cp}}$  в холодный период года, необходимо предусматривать защиту от обмерзания ТУБ.

Упрощенный графоаналитический метод расчета СУПТ с подогревом промежуточного теплоносителя. Теплотехнический расчет выполняется в такой последовательности.

1. Расчет выполняется по пп. 1–14 (см. предыдущий пример).

2. Средние параметры  $(F\phi'_1)^{\text{cp}}$  и  $(F\phi'_2)^{\text{cp}}$  для условной приточной и условной вытяжной установок вычисляем по формуле

$$(F\phi')^{\text{cp}} = \frac{\Sigma (F\phi'^{(i)} L_b^{(i)})}{\Sigma L_b}, \quad (21.33)$$

где  $F\phi'^{(i)}$ ,  $L_b^{(i)}$ ,  $\Sigma L_b$  – безразмерный параметр, объемный расход воздуха одной, общий объемный расход всех установок в приточном или вытяжном канале.

3. Средние относительные перепады температур для условной приточной  $\theta_1^{\text{cp}}$  и условной вытяжной  $\theta_2^{\text{cp}}$  установок принимаем по табл. 21.4 при соответствующих значениях  $(F\phi'_1)^{\text{cp}}$ ,  $W_1$ ,  $(F\phi'_2)^{\text{cp}}$  и  $W_2$ .

При теплоносителе воде значения  $\theta_1^{\text{cp}}$  и  $\theta_2^{\text{cp}}$  принимаются с поправками  $\xi_{\theta 1}$  и  $\xi_{\theta 2}$  по табл. 21.5 при  $t_{\text{в},h1}^{\text{cp}}$  и соответствующих  $w^{\text{cp}}$  и  $(w\rho)^{\text{cp}}$ .

4. Среднюю температуру промежуточного теплоносителя  $t_{\text{ж},h1}^{\text{cp}}$  на входе в ТУБ приточных установок определяем по формуле

$$t_{\text{ж},h1}^{\text{cp}} = t_{\text{в},h1}^{\text{cp}} + \frac{t_{\text{в},k1}^{\text{cp}} - t_{\text{в},h1}^{\text{cp}}}{\theta_1^{\text{cp}}}, \quad (21.34)$$

где  $t_{\text{в},k1}^{\text{cp}}$  – средняя конечная температура приточного воздуха,  ${}^\circ\text{C}$ .

5. Среднюю температуру промежуточного теплоносителя  $t_{\text{ж},k1}^{\text{cp}}$  после ТУБ приточных установок определяем по формуле

$$t_{\text{ж},k1}^{\text{cp}} = t_{\text{в},h1}^{\text{cp}} - W_1 (t_{\text{в},k1}^{\text{cp}} - t_{\text{в},h1}^{\text{cp}}). \quad (21.35)$$

6. Уточняем вид теплоносителя и схему утилизации: при  $t_{\text{ж},k1}^{\text{cp}} \leq 7^\circ\text{C}$  применяется не-

замерзающий теплоноситель; при  $t_{\text{ж},k1}^{\text{cp}} > 7^{\circ}\text{C}$  – вода.

При  $t_{\text{ж},k1}^{\text{cp}} \geq t_{\text{в},n2}^{\text{cp}}$  ТУБ вытяжных установок работают в режиме нагрева удаляемого воздуха. В этом случае целесообразно применять СУПТ без подогрева промежуточного теплоносителя.

7. Средние коэффициенты теплопередачи  $K_2^{\text{cp}}$ , наружного  $\alpha_{\text{ж}}^{\text{cp}}$  и внутреннего  $\alpha_{\text{в}}^{\text{cp}}$  теплообмена для условной вытяжной установки находим по графикам на рис. 21.6–21.8, 21.11, 21.12 по известным  $(v\rho)_{\text{ф},2}^{\text{cp}}$  и  $w_2^{\text{cp}}$ .

При теплоносителе воде  $K_2^{\text{cp}}$  принимается с поправкой  $\xi_{\text{к}}$ , учитывающей теплофизические свойства воды, по известным  $w_2^{\text{cp}}$ ,  $(v\rho)_{\text{ф},2}^{\text{cp}}$  и  $t_{\text{в}}^{\text{cp}}$  (см. табл. 21.5).

8. Относительный перепад температуры  $\theta_{\text{pc}}^{\text{cp}}$ , соответствующий температуре точки росы удаляемого воздуха, определяем по формуле

$$\theta_{\text{pc}}^{\text{cp}} = \frac{K_2^{\text{cp}}}{\alpha_{\text{в},2}^{\text{cp}}} (1 - \theta_2^{\text{cp}}) + \theta_2^{\text{cp}}. \quad (21.36)$$

9. Температуру точки росы  $t_{\text{pc},2}^{\text{cp}}$ , ниже которой ТУБ вытяжных установок работают в режиме с выпадением конденсата, вычисляем по формуле

$$t_{\text{pc}}^{\text{cp}} = t_{\text{в},n2}^{\text{cp}} - \theta_{\text{pc}}^{\text{cp}} (t_{\text{в},n2}^{\text{cp}} - t_{\text{ж},n2}^{\text{cp}}), \quad (21.37)$$

где  $t_{\text{ж},n2}^{\text{cp}} = t_{\text{ж},k1}$ .

10. Границное значение относительной влажности удаляемого воздуха  $\varphi_{\text{сух}}$ , при которой не происходит конденсации, находим на  $i-d$ -диаграмме на пересечении линии  $t_{\text{в},n2}^{\text{cp}}$  с линией влагосодержания  $d$  точки с координатами  $t_{\text{pc},2}^{\text{cp}}$  и  $\varphi = 100\%$ .

11. Поправочный коэффициент  $\xi_{\text{ф}}^{\text{cp}}$ , учитывающий выпадение конденсата, определяем по пп. 19 и 20.

12. Уточненная величина относительного перепада температур потока удаляемого воздуха  $\theta_2^{\text{cp}(\Phi)}$

$$\theta_2^{\text{cp}(\Phi)} = \theta_2^{\text{cp}} \xi_{\text{ф}}^{\text{cp}}. \quad (21.38)$$

13. Среднюю конечную температуру удаляемого воздуха  $t_{\text{в},k2}^{\text{cp}}$  вычисляем по формуле

$$t_{\text{в},k2}^{\text{cp}} = t_{\text{в},n2}^{\text{cp}} - \theta_2^{\text{cp}(\Phi)} (t_{\text{в},n2}^{\text{cp}} - t_{\text{ж},n2}^{\text{cp}}). \quad (21.39)$$

14. Конечную температуру промежуточного теплоносителя  $t_{\text{ж},k2}^{\text{cp}}$  после ТУБ вытяжных установок определяем по формуле

$$t_{\text{ж},k2}^{\text{cp}} = t_{\text{ж},n2}^{\text{cp}} + W_2 (t_{\text{в},n2}^{\text{cp}} - t_{\text{в},k2}^{\text{cp}}). \quad (21.40)$$

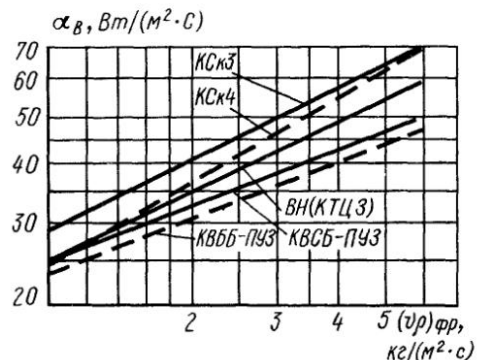


Рис. 21.11. Определение коэффициентов наружного теплообмена для воздухонагревателей типа КСк3, КСк4, КВББ-ПУЗ, КВСБ-ПУЗ и ВН

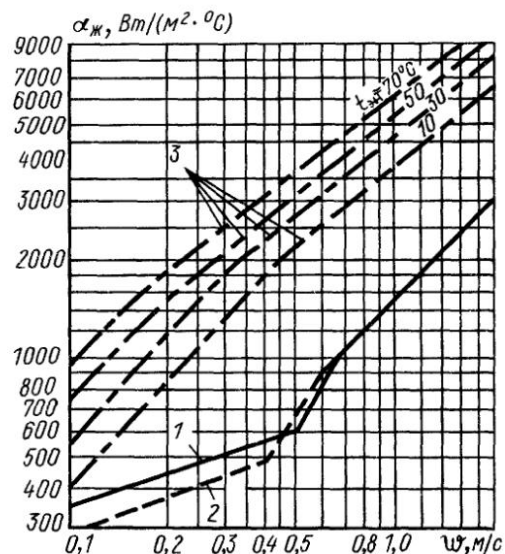


Рис. 21.12. Определение коэффициентов внутреннего теплообмена  $\alpha_{\text{ж}}$  для воздухонагревателей 1 – типа КСК, КВСБ-ПУЗ и КВББ-ПУЗ с незамерзающим теплоносителем; 2 – типа КСК КВСБ-ПУЗ, КВББ-ПУЗ и ВН с незамерзающим теплоносителем; 3 – типа КСК КВСБ-ПУЗ и ВН с теплоносителем воды

15. Часовой расход утилизированной теплоты  $Q_{\text{ут}}^{\text{т}}$

$$Q_{\text{ут}}^{\text{т}} = G_{\text{ж}} c_{\text{ж}} (t_{\text{ж},k2}^{\text{cp}} - t_{\text{ж},n2}^{\text{cp}}) D. \quad (21.41)$$

16. Часовой расход теплоты от первичного источника теплоты в водоподогревателе  $Q_{\text{впд}}^{\text{т}}$  по формуле

ТАБЛИЦА 21.7. ИСХОДНЫЕ ДАННЫЕ ДЛЯ РАСЧЕТА

Установка	Расход воздуха			Параметры воздуха				
	$L_{\text{в.н},1}^{(i)}$ , м <sup>3</sup> /ч	$L_{\text{в.н},2}^{(i)}$ , м <sup>3</sup> /ч	$G_{\text{в}}^{(i)}$ , кг/ч	$t_{\text{в.н},2}^{(i)}$ , °C	$\Phi_{\text{в.н},2}^{(i)}$ , %	$t_{\text{в.н},2}^{(i)}$ , кДж/кг	$t_{\text{в.н},1}^{(i)}$ , °C	$t_{\text{в.н},1}^{(i)}$ , °C
В1	31500	24000	28800	18	10	21,56		
В2	31500	26000	31200	21	40	37,05		
П1	31500	25000	30000				-25	18
П2	31500	30000	36000				-25	20

$t_{\text{в.н},1}^{\text{ср}(i)} = -3,6^{\circ}\text{C}$ ; отопительный период 213 дн.; режим работы двухсменный;  $t^{\text{ср.н}} = 2352$  ч.

ТАБЛИЦА 21.8. ТЕХНИЧЕСКИЕ ХАРАКТЕРИСТИКИ ТЕПЛОУТИЛИЗАТОРОВ

Установка	Теплоутилизатор	Коли- чество	Число рядов трубок	$f_{\Phi p}^{(i)}$	$f_{\Phi}^{(i)}$	$F^{(i)}$
					м <sup>2</sup>	
В1	КСк4-12-02ХЛЗА	3	12	2,488	0,0052	498,75
В2	КСк4-12-02ХЛЗА	3	12	2,488	0,0052	498,75
П1	КСк4-12-02ХЛЗА	3	12	2,488	0,0052	498,75
П2	КСк4-12-02ХЛЗА	3	12	2,488	0,0052	498,75

$$Q_{\text{в.н}}^{\text{вод}} = G_{\text{в.н}} c_{\text{в.н}} (t_{\text{в.н},1}^{\text{вод}} - t_{\text{в.н},2}^{\text{вод}}) D, \quad (21.42)$$

где  $t_{\text{в.н},1}^{\text{вод}} = t_{\text{в.н},1}^{\text{ср}}$ ;  $t_{\text{в.н},2}^{\text{вод}} = t_{\text{в.н},2}^{\text{ср}}$ ;

$D$  – коэффициент, равный 1 в системе МКГСС, или 1/3600 в СИ.

17. Далее расчет выполняется по пп. 29–32.

**Пример расчета СУПТ с подогревом.** Исходный данные для расчета приведены в табл. 21.7.

В качестве основного оборудования для ТУБ приточных и вытяжных установок используются типовые приточные камеры 2ПК. Схема присоединения ТУБ к циркуляционному контуру – параллельная (см. рис. 21.5, а). Расчет выполняется в СИ.

Требуется определить технические характеристики ТУБ, вид теплоносителя,  $G_{\text{в.н}}$ ,  $t_{\text{в.н},1}^{\text{ср}}$ ,  $t_{\text{в.н},1}^{\text{ср}}, t_{\text{в.н},2}^{\text{ср}}$ ,  $Q_{\text{в.н}}^{\text{ср}}$ ,  $Q_{\text{в.н}}^{\text{вод}}$ ,  $t_{\text{в.н},2}^{\text{ср}}$ .

**Порядок расчета.**

1. В качестве теплоутилизаторов для ТУБ принимаем воздухонагреватели КСк4. Находим  $\tau$  по формуле (21.3):

$$\tau = (-3,6)2532 = -91152^{\circ}\text{C} \cdot \text{ч}; \quad -5000 > \tau = -91152 \geq -26000^{\circ}\text{C} \cdot \text{ч}.$$

Выбираем ТУБ для вытяжных и приточных установок с 12 рядами трубок.

2. Из прил. II выписываем технические характеристики теплоутилизаторов и записываем их в табл. 21.8.

3. Определяем средние параметры воздуха:

$$t_{\text{в.н},2}^{\text{ср}} = \frac{18 \cdot 28800 + 21 \cdot 31200}{60000} = 19,56^{\circ}\text{C};$$

$$t_{\text{в.н},2}^{\text{ср}} = \frac{21,56 \cdot 28800 + 37,05 \cdot 31200}{60000} = 29,6 \text{ кДж/кг};$$

$$\Phi_{\text{в.н},2}^{\text{ср}} = \frac{10 \cdot 28800 + 40 \cdot 31200}{60000} = 25,6\%;$$

$$t_{\text{в.н},1}^{\text{ср}} = \frac{(-25)30000 + (-25)36000}{66000} = -25^{\circ}\text{C}.$$

4. Определяем  $t_{\text{в.н},1}^{\text{ср}}$

$$t_{\text{в.н},1}^{\text{ср}} = \frac{18 \cdot 30000 + 20 \cdot 36600}{66000} = 19,3^{\circ}\text{C}.$$

5. По формуле (21.4) вычисляем  $t_{\text{в.н}}^{\text{ср}}$

$$t_{\text{в.н}}^{\text{ср}} = \frac{19,56 + (-25)}{2} = -2,72^{\circ}\text{C}.$$

Так как  $t_{\text{в.н}}^{\text{ср}} < 12^{\circ}\text{C}$ , то в качестве теплоносителя принимаем незамерзающий раствор  $\text{CaCl}_2$ .

6. Определяем  $W_1^{\text{опт}}$  по формуле (21.5)

$$W_1^{\text{опт}} = 0,55 + 0,4 \frac{66000}{60000} - 0,006(25,6 - 30) = 1,02,$$

ТАБЛИЦА 21.9. РЕЗУЛЬТАТЫ РАСЧЕТОВ

Установка	$G_{\text{в}}^{(i)}$ , кг/ч	$w^{(i)}$ , м/с	$(vp)_{\phi p}^{(i)}$ , кг/(м <sup>2</sup> · с)	$\Delta P_b^{(i)}$ , кПа/м <sup>2</sup>	$K_b^{(i)}$ , Вт/(м <sup>2</sup> · °C)	$F_0^{(i)}$	$\theta^{(i)}$
B1	11042	0,47	3,2	18,0	20,5	1,27	0,57
B2	11963	0,51	3,48	21,0	21,5	1,22	0,56
П1	10458	0,433	3,35	18,6	20,4	1,21	0,52
П2	12548	0,53	4,02	27,0	23,5	1,16	0,55

где  $\Sigma G_{\text{в}1} = 66000$  кг/ч,  $\Sigma G_{\text{в}2} = 60000$  кг/ч.

$$W_1^{\text{опт}} = W_1^{(1)} = W_1^{(2)}$$

7. По формулам (21.6), (21.7) рассчитаем

$$G_{\text{в}} = \frac{66000 \cdot 1,006}{1,02 \cdot 2,825} = 23006 \text{ кг/ч};$$

$$G_{\text{в}1}^{(1)} = \frac{30000 \cdot 23006}{66000} = 10458 \text{ кг/ч};$$

$$G_{\text{в}2}^{(2)} = \frac{36000 \cdot 23006}{66000} = 12548 \text{ кг/ч}.$$

В пп. 7–13 приводятся расчеты для одного теплоутилизатора, для других теплоутилизаторов – в табл. 21.9 (п. 14).

8. Находим  $w_1^{(i)}$  и  $w_2^{\text{ср}}$  по формулам (21.8), (21.9):

$$w_1^{(i)} = \frac{10458}{3600 \cdot 1260 \cdot 0,0052} = 0,433 \text{ м/с};$$

$$w_2^{\text{ср}} = \frac{23006}{3600 \cdot 1260 \cdot 0,0052 \cdot 2} = 0,49 \text{ м/с}.$$

9. Определим  $(vp)_{\phi p1}^{(i)}$ ,  $(vp)_{\phi p2}^{(i)}$ ,  $(vp)_{\phi p2}^{\text{ср}}$  по формулам (21.10), (21.11)

$$(vp)_{\phi p2}^{(i)} = \frac{28800}{3600 \cdot 2,488} = 3,2 \text{ кг}/(\text{м}^2 \cdot \text{с});$$

$$(vp)_{\phi p2}^{\text{ср}} = \frac{60000}{3600 \cdot 4,976} = 3,35 \text{ кг}/(\text{м}^2 \cdot \text{с}).$$

10. Находим  $\Delta P_b^{(i)}$  по графикам на рис. 21.3:  $\Delta P_{\text{в}1}^{(2)} = 62 \cdot 3 = 186$  Па = 18,6 кПа/м<sup>2</sup>, где 62 Па – потеря давления в одном теплообменнике.

11. Определяем  $F_0^{(i)}$  и  $F_0^{(i)}$  по формуле (21.12):

$$F_0^{(i)} = \frac{3,6 \cdot 20,4 \cdot 498,75}{30000 \cdot 1,006} = 1,21,$$

где  $K_1^1 = 20,4$  Вт/(м<sup>2</sup> · °C);  $c_{\text{в}} = 1,006$  кДж/(кг · °C).

12. Вычисляем  $W_2$  по формуле (21.13):

$$W_2 = \frac{60000 \cdot 1,006}{23006 \cdot 2,825} = 0,93.$$

13. Находим  $\theta_1^{(i)}$  и  $\theta_2^{(i)}$  по табл. 21.4.

Для условной установки  $L_1^{(1)} = 25000$  м<sup>3</sup>/ч при  $W_1 = 1,02$  и  $F_0^{(1)} = 1,21$   $\theta_1^{(1)} = 0,52$ .

14. Результаты расчетов по пп. 7–13 приведены в табл. 21.9.

15. Определим  $(F_0')^{\text{ср}}$  и  $(F_0')^{\text{ср}}$  для условной приточной и условной вытяжной установок с общим объемным расходом  $\Sigma L_{\text{в}1} = 55000$  м<sup>3</sup>/ч и  $\Sigma L_{\text{в}2} = 50000$  м<sup>3</sup>/ч по формуле (21.33)

$$(F_0')^{\text{ср}} = \frac{1,21 \cdot 25000 + 1,16 \cdot 30000}{55000} = 1,18;$$

$$(F_0')^{\text{ср}} = \frac{1,27 \cdot 24000 + 1,22 \cdot 26000}{50000} = 1,24.$$

16. Найдем  $\theta_1^{\text{ср}}$  и  $\theta_2^{\text{ср}}$  по табл. 21.4. Для условной установки с  $\Sigma L_{\text{в}1} = 55000$  м<sup>3</sup>/ч при  $(F_0')^{\text{ср}} = 1,18$ ,  $W_1 = 1,02$   $\theta_1^{\text{ср}} = 0,58$ .

Для условной установки с  $\Sigma L_{\text{в}2} = 50000$  м<sup>3</sup>/ч при  $(F_0')^{\text{ср}} = 1,24$  и  $W_2 = 0,93$   $\theta_2^{\text{ср}} = 0,57$ .

17. Определим  $t_{\text{в},\text{н}1}^{\text{ср}}$  по формуле (21.34)

$$t_{\text{в},\text{н}1}^{\text{ср}} = -25 + \frac{19,3 - (-25)}{0,58} = 51,3^{\circ}\text{C}.$$

18. Вычислим  $t_{\text{в},\text{k}1}^{\text{ср}}$  по формуле (21.35)

$$t_{\text{в},\text{k}1}^{\text{ср}} = 51,3 - 1,02 [19,3 - (-25)] = 6,1^{\circ}\text{C}.$$

19. Так как  $t_{\text{в},\text{k}1}^{\text{ср}} < 7^{\circ}\text{C}$ , в качестве теплоносителя сохраняется незамерзающий раствор хлористого кальция.

20. Находим  $K_2^{\text{ср}}$ ,  $a_{\text{в}2}^{\text{ср}}$  для условной вытяжной установки по рис. 21.6, 21.11 и 21.12.

При  $(vp)_{\phi p2}^{\text{ср}} = 3,35$  кг/(м<sup>2</sup> · с) и  $w_2^{\text{ср}} = 0,49$  м/с  $K_2^{\text{ср}} = 20,8$  Вт/(м<sup>2</sup> · °C);  $a_{\text{в}2}^{\text{ср}} = 50$  Вт/(м<sup>2</sup> · °C);  $a_{\text{в}2}^{\text{ср}} = 600$  Вт/(м<sup>2</sup> · °C).

21. Определим  $\theta_{\text{pc}}^{\text{ср}}$  по формуле (21.36)

$$\theta_{\text{pc}}^{\text{ср}} = \frac{20,8}{50} (1 - 0,57) + 0,57 = 0,74.$$

22. Вычислим  $t_{\text{pc}2}^{\text{ср}}$  по формуле (21.37)

$$t_{\text{pc}2}^{\text{ср}} = 19,56 - 0,74 (19,56 - 6,1) = 9,5^{\circ}\text{C},$$

где  $t_{\text{pc}2}^{\text{ср}} = t_{\text{в},\text{k}2}^{\text{ср}} = 6,1^{\circ}\text{C}$ ,

23. Находим по  $i-d$ -диаграмме влагосо-

держание  $d_b = 7,3 \text{ г/кг}$  для точки с координатами  $t_{pc2}^{cp} = 9,5^\circ\text{C}$  и  $\varphi = 100\%$ . Затем для точки, полученной на пересечении  $d_b = 7,3 \text{ г/кг}$  и линии температуры  $t_{b,n2}^{cp} = 19,56^\circ\text{C}$ , находим  $\Phi_{cux} = 51\%$ , при которой не происходит конденсации  $\Phi_{b,n2}^{cp} = 25,6\% < \Phi_{cux} + 5 = 51 + 5 = 56\%$ .

Следовательно, установки работают без выпадения конденсата,  $\theta_2^{cp} = \theta_2^{cp(\Phi)}$ .

24. Вычислим  $t_{b,k2}^{cp}$  по формуле (21.39)

$$t_{b,k2}^{cp} = 19,56 - 0,57(19,56 - 6,1) = 11,9^\circ\text{C}.$$

25. Определим  $t_{k,k2}^{cp}$  по формуле (21.40)

$$t_{k,k2}^{cp} = 6,1 + 0,93(19,56 - 11,9) = 13,2^\circ\text{C}.$$

26. Вычислим  $Q_q^{yt}$  по формуле (21.41):

$$Q_q^{yt} = 23006 \cdot 2,85(13,2 - 6,1)/3600 = 129 \text{ кВт.}$$

27. Определим  $Q_q^{vol}$  по формуле (21.42)

$$Q_q^{vol} = 23006 \cdot 2,85(51,3 - 13,2)/3600 = 693 \text{ кВт,}$$

где  $t_{k,k}^{vol} = t_{k,n1}^{cp} = 51,3^\circ\text{C}$ ;  $t_{k,n}^{vol} = t_{k,n2}^{cp} = 13,2^\circ\text{C}$ .

28. Вычислим коэффициенты  $A$ ,  $B$ ,  $C$  по формулам (21.30)–(21.32)

$$A = \frac{16,48 \cdot 50}{600 \cdot 1,006} = 1,365;$$

$$B = \frac{0,575 \cdot 66000 \cdot 1,006}{60000} = 0,636,$$

где  $\theta_{661}^{cp}$  определяется по формуле

$$\theta_{661}^{cp} = \frac{\theta_1^{cp} + \theta_2^{cp}}{2} = \frac{0,58 + 0,57}{2} = 0,575;$$

$$C = \frac{0,575}{0,58} - 1,02 \cdot 0,575 = 0,4.$$

29. Определим  $t_{b,n1}^{kp(cp)}$  по формуле (21.29)

$$t_{b,n1}^{kp(cp)} = \frac{-1,365(29,6 - 9,63) + 19,56(1,365 \cdot 0,636 - 0,4)}{1 + 1,365 \cdot 0,636 - 0,4} = -12,3^\circ\text{C}.$$

## Глава 22

# РАСЧЕТ ВОЗДУХОВОДОВ И ВЕНТИЛЯЦИОННЫХ КАНАЛОВ

Воздуховоды и каналы необходимо проектировать в соответствии с требованиями СНиП, учитывая возможности максимальной индустриализации строительно-монтажных работ и применение при этом сборных конструкций из унифицированных деталей, изготавляемых на заводах или в заготовительных мастерских.

При проектировании воздуховодов и каналов для зданий и сооружений, отнесенных по пожарной опасности к категориям  $A$ ,  $B$ ,  $V$  и  $E$ , следует дополнительно учитывать требования соответствующих нормативных документов.

### 22.1. РАЗМЕРЫ И МАССА ВОЗДУХОВОДОВ

Размеры круглых и прямоугольных стальных воздуховодов надлежит принимать по табл. 22.1–22.3, прямоугольных асбестоцементных и бетонных коробов – по табл. 22.4, круглых и прямоугольных воздуховодов из винилпластичных материалов – по табл. 22.5 и 22.6.

**ТАБЛИЦА 22 1 НОРМИРУЕМЫЕ РАЗМЕРЫ КРУГЛЫХ ВОЗДУХОВОДОВ ИЗ ЛИСТОВОЙ СТАЛИ**

<i>d, мм</i>	Площадь поперечного сечения, м <sup>2</sup>	Периметр, мм	Площадь поверхности 1 м, м <sup>2</sup>
100	0,0079	314	0,314
125	0,0123	392	0,392
160	0,02	502	0,502
200	0,0314	628	0,628
250	0,0049	785	0,785
315	0,0615	879	0,879
355	0,099	1115	1,115
400	0,126	1256	1,26
450	0,159	1413	1,41
500	0,96	1570	1,57
560	0,246	1760	1,76
630	0,312	1978	1,98
710	0,396	2230	2,23
800	0,501	2512	2,51
900	0,635	2830	2,83
1000	0,785	3140	3,14
1120	0,985	3520	3,52
1250	1,23	3930	3,93
1400	1,54	4400	4,4
1600	2,01	5030	5,03
1800	2,54	5652	5,65
2000	3,14	6280	6,28

**ТАБЛИЦА 22 2 НОРМИРУЕМЫЕ РАЗМЕРЫ ПРЯМОУГОЛЬНЫХ ВОЗДУХОВОДОВ ИЗ ЛИСТОВОЙ СТАЛИ**

Внутренний размер, мм	Площадь поперечного сечения м <sup>2</sup>	Периметр, мм	Площадь поверхности 1 м, м <sup>2</sup>	Внутренний размер, мм	Площадь поперечного сечения, м <sup>2</sup>	Периметр, мм	Площадь поверхности 1 м, м <sup>2</sup>
100 × 150	0,015	500	0,5	600 × 600	0,36	2400	2,4
150 × 150	0,0225	600	0,6	600 × 800	0,48	2800	2,8
150 × 250	0,0375	800	0,8	600 × 1000	0,6	3200	3,2
150 × 300	0,045	900	0,9	600 × 1250	0,75	3700	3,7
250 × 250	0,0625	1000	1,0	800 × 800	0,64	3200	3,2
250 × 300	0,075	1100	1,1	800 × 1000	0,8	3600	3,6
250 × 400	0,1	1300	1,3	800 × 1200	0,96	4000	4,0
250 × 500	0,125	1500	1,5	800 × 1600	1,28	4800	4,8
400 × 400	0,16	1600	1,6	1000 × 1000	1,0	4000	4,0
400 × 500	0,2	1800	1,8	1000 × 1250	1,25	4500	4,5
400 × 600	0,24	2000	2,0	1000 × 1600	1,6	5200	5,2
400 × 800	0,32	2400	2,4	1000 × 2000	2,9	6000	6,0
500 × 500	0,25	2000	2,0	1250 × 1250	1,56	5000	5,0
500 × 600	0,3	2200	2,2	1250 × 1600	2,0	5700	5,7
500 × 800	0,4	2600	2,6	1250 × 2000	2,5	6500	6,5
500 × 1000	0,5	3000	3,0	1600 × 1600	2,56	6400	6,4
				1600 × 2000	3,2	7200	7,2

Примечания 1 Толщину листовой стали для воздуховодов прямоугольного сечения рекомендуется принимать в зависимости от размеров большей стороны, мм

до 250 включ.	0,5
300–1000 »	0,7
1250–2000 »	0,9

*Продолжение табл 22 1*

Примечания 1 В качестве нормируемых размеров допускается принимать наружные размеры по перечного сечения воздуховода, указанные в табл 22 3

2 Толщину листовой стали для воздуховодов, по которым перемещается воздух с температурой не выше 80 °C, диаметром до 200, 250, 450, 500–800, 900, 1250, 1400–1600, 1800–2000 мм, следует принимать соответственно 0,5, 0,6, 0,7, 1,0, 1,2, 1,4 мм

3 Для изготовления воздуховодов, по которым предусматривается перемещение воздуха с температурой более 80 °C или воздуха с механическими примесями, а также для воздуховодов, требующих обработки поверхности перед антикоррозийной защитой, допускается применять листовую сталь толщиной до 1,5 мм Для воздуховодов, по которым предусматривается перемещение абразивной пыли, толщина стали должна быть обоснована

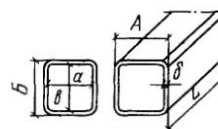
ТАБЛИЦА 22.3. НОРМИРУЕМЫЕ РАЗМЕРЫ КРУПНОГАБАРИТНЫХ ПРЯМОУГОЛЬНЫХ ВОЗДУХОВОДОВ ИЗ ЛИСТОВОЙ СТАЛИ

Внутренний размер, мм	Площадь поперечного сечения, м <sup>2</sup>	Периметр, мм	Площадь поверхности 1 м, м <sup>2</sup>	Внутренний размер, мм	Площадь поперечного сечения, м <sup>2</sup>	Периметр, мм	Площадь поверхности 1 м, м <sup>2</sup>
2000 × 2000	4,0	8000	8	3200 × 2000	6,4	10 400	10,4
2500 × 1200	3,0	7400	7,4	3200 × 2500	8,0	11 400	11,4
2500 × 1600	4,0	8200	8,2	3200 × 3200	10,24	12 800	12,8
2500 × 2000	5,0	9000	9,0	4000 × 2500	10,0	13 000	13,0
2500 × 2500	6,25	10000	10,0	4000 × 3200	12,8	14 400	14,4
3200 × 1600	5,12	9600	9,6				

Примечание. Для воздуховодов прямоугольного сечения, имеющих одну из сторон более 2000 мм, и воздуховодов сечением 2000 × 2000 мм толщина стали должна быть обоснована.

Для изготовления воздуховодов допускается применять сталь меньшей толщины по сравнению с указанной в примечаниях к табл. 22.1 и 22.2 при обосновании (отсутствие необходимости в дальних перевозках воздуховодов и др.).

ТАБЛИЦА 22.4. РАЗМЕРЫ И МАССА АСБЕСТОЦЕМЕНТНЫХ КОРОБОВ ПРЯМОУГОЛЬНОГО СЕЧЕНИЯ



a мм	b мм	Допускаемые отклонения	Площадь живого сечения, м <sup>2</sup>	A Б мм		Площадь наружной поверхности 1 м, м <sup>2</sup>	L	Допускаемые отклонения	Толщина стенок δ	Расчетная масса 1 м короба, кг
				A	Б					
150	200		0,03	168	218	0,732				7,7
150	300		0,045	168	318	0,912				10,0
200	200	От +8 до -3	0,04	218	218	0,8	4000	-150	9	10,5
200	300		0,06	218	318	1,032				11,2

ТАБЛИЦА 22.5. РАЗМЕРЫ И МАССА КРУГЛЫХ ВОЗДУХОВОДОВ ИЗ ВИНИПЛАСТА

d, мм	Площадь поперечного сечения, м <sup>2</sup>	Периметр, мм	Площадь поверхности 1 м, м <sup>2</sup>	Масса, кг, 1 м воздуховода из винипласта толщиной, мм		
				2	3	4
160	0,0201	502	0,502	1,39	—	—
200	0,0314	628	0,628	1,74	—	—
250	0,0491	785	0,785	—	3,26	—
315	0,078	989	0,989	—	4,12	—
400	0,126	1256	1,26	—	—	6,98
500	0,196	1570	1,57	—	—	8,73
630	0,312	1978	1,98	—	—	11,02
800	0,503	2512	2,51	—	—	14,06

Примечание. Плотность винипласта принята  $\rho = 1400 \text{ кг}/\text{м}^3$ .

## 22.2. РАЗМЕРЫ ВЕНТИЛЯЦИОННЫХ КАНАЛОВ

Схемы устройства вентиляционных каналов показаны на рис. 22.1. Размеры кирпичных вентиляционных каналов следует принимать по табл. 22.7, каналов из двойных шлакогипсовых или шлакобетонных плит с воздушной проложкой – по табл. 22.8–22.9, каналов из пеноглинистых или пеностеклянных плит – по табл. 22.10

ТАБЛИЦА 22.6 РАЗМЕРЫ И МАССА ПРЯМОУГОЛЬНЫХ ВОЗДУХОВОДОВ ИЗ ВИНИПЛАСТА

A мм	B мм	Площадь попереч- ного сечения, $m^2$	Периметр, мм	Площадь поверх- ности 1 м, $m^2$	$d_{av}$ , мм	Масса, кг, 1 м воздуховода из винипласта толщиной, мм		
						2	3	4
100	160	0,016	520	0,52	125	1,42	—	—
100	200	0,02	600	0,6	140	1,66	—	—
160	200	0,032	720	0,72	180	1,98	—	—
200	250	0,05	900	0,9	225	—	—	—
200	400	0,08	1200	1,2	280	—	4,95	—
250	400	0,1	1300	1,3	315	—	5,4	—
250	500	0,125	1500	1,5	315	—	—	8,25
400	500	0,2	1800	1,8	450	—	—	9,96
400	800	0,32	2400	2,4	500	—	—	13,29
500	800	0,4	2600	2,6	630	—	—	14,4
500	1000	0,5	3000	3	630	—	—	16,65

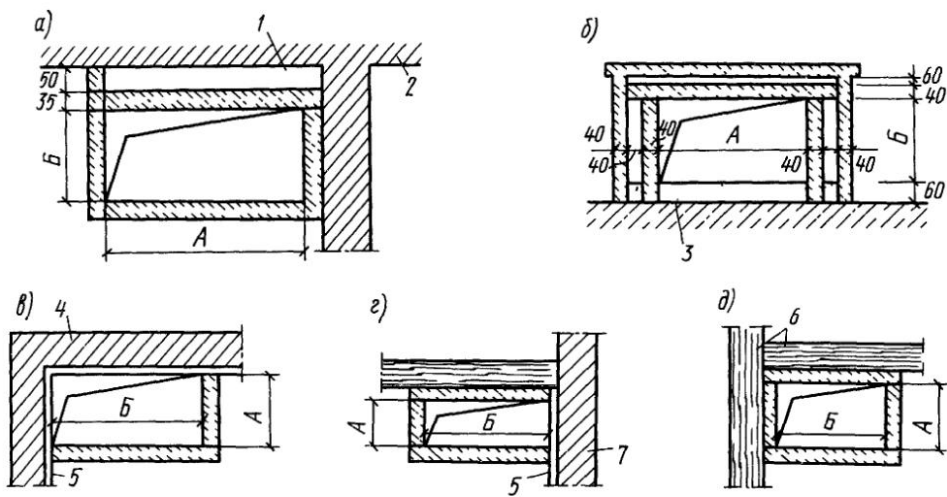


Рис. 22.1 Схемы устройства вентиляционных каналов

а — вертикальный канал с воздушной прослойкой у наружной стены, б — чердачный канал с двойными стенками, в — д — вертикальные каналы у внутренних стен, 1 — воздушная прослойка, 2 — наружная стена, 3 — железобетонное перекрытие, 4 — кирпичная стена или железобетонная плита, 5 — затирка, 6 — сгораемые перегородки или перекрытие 7 — кирпичная стена

ТАБЛИЦА 22.7 РАЗМЕРЫ КАНАЛОВ ИЗ КИРПИЧА

Размер в кирпичах	в мм	Площадь попереч- ного сечения, $m^2$	Размер		Площадь попереч- ного сечения, $m^2$	Размер		Площадь попереч- ного сечения, $m^2$
			в кирпичах	в мм		в кирпичах	в мм	
1/2 × 1/2	140 × 140	0,02	1 1/2 × 1 1/2	400 × 400	0,16	2 × 2 1/2	530 × 650	0,35
1/2 × 1	140 × 270	0,038	1 1/2 × 2	400 × 530	0,21	2 × 3	530 × 790	0,42
1 × 1	270 × 270	0,073	1 1/2 × 2 1/2	400 × 650	0,26	2 × 4	530 × 1060	0,56
1 × 1 1/2	270 × 400	0,111	1 1/2 × 3	400 × 790	0,32	2 1/2 × 2 1/2	650 × 650	0,43
1 × 2	270 × 530	0,143	2 × 3	530 × 530	0,28	2 1/2 × 3	650 × 790	0,52

ТАБЛИЦА 22.8. ПЛОЩАДЬ ЖИВОГО СЕЧЕНИЯ, М<sup>2</sup> (В ЧИСЛИТЕЛЕ), И ПРОПУСКНАЯ СПОСОБНОСТЬ, М<sup>3</sup>/Ч (В ЗНАМЕНАТЕЛЕ), КАНАЛОВ ИЗ ШЛАКОГИПСОВЫХ И ШЛАКОБЕТОННЫХ ПЛИТ ПРИ СКОРОСТИ ВОЗДУХА 1 М/С

Б, мм	Площадь живого сечения и пропускная способность каналов при А, мм							
	150	250	350	450	550	650	750	850
220	0,033 118	0,055 198	0,077 278	0,096 352	0,121 435	0,143 515	0,165 592	0,187 680
320	0,048 172	0,08 288	0,112 404	0,144 520	0,176 635	0,208 750	0,24 865	0,272 980
420	0,063 226	0,105 380	0,147 530	0,189 680	0,231 830	0,273 980	0,325 1130	0,357 1280
520	0,078 280	0,13 470	0,182 655	0,234 845	0,286 1030	0,338 1220	0,39 1400	0,442 1580
620	0,093 334	0,155 560	0,217 780	0,279 1000	0,341 1230	0,402 1440	0,465 1670	0,527 1900
720	0,108 388	0,18 650	0,257 910	0,324 1160	0,396 1430	0,467 1680	0,54 1940	0,612 2200
820	0,123 444	0,205 740	0,297 1040	0,37 1380	0,45 1620	0,532 1910	0,615 2210	0,697 2500
920	0,138 500	0,23 830	0,322 1160	0,415 1500	0,505 1815	0,6 2160	0,69 2480	0,782 2810

ТАБЛИЦА 22.9. РАСХОД, М<sup>3</sup>, ШЛАКОГИПСОВЫХ ИЛИ ШЛАКОБЕТОННЫХ ПЛИТ НА 1 М ДЛИНЫ ДВОЙНОГО КАНАЛА

Б, мм	Расход плит на 1 м двойного канала при А, мм							
	150	250	350	450	550	650	750	850
220	2,1	2,3	2,5	2,7	2,9	3,1	3,3	3,5
320	2,5	2,7	2,9	3,1	3,3	3,5	3,7	3,9
420	2,9	3,1	3,3	3,5	3,7	3,9	4,1	4,3
520	3,3	3,5	3,7	3,9	4,1	4,3	4,5	4,7
620	3,7	3,9	4,1	4,3	4,5	4,7	4,9	5,1
720	4,1	4,3	4,5	4,7	4,9	5,1	5,3	5,5
820	4,5	4,7	4,9	5,1	5,3	5,5	5,7	5,9
920	4,9	5,1	5,3	5,5	5,7	5,9	6,1	6,3

### 22.3. РАСЧЕТ ВОЗДУХОВОДОВ И КАНАЛОВ ПРИТОЧНЫХ И ВЫТЯЖНЫХ СИСТЕМ ВЕНТИЛЯЦИИ ОБЩЕГО НАЗНАЧЕНИЯ

Системы вентиляции общего назначения служат для подачи и удаления незапыленного воздуха с температурой до 80 °С.

Общие потери давления, Па, в сети воз-

духоводов для стандартного воздуха ( $t = 20^\circ\text{C}$  и  $\rho = 1,2 \text{ кг}/\text{м}^3$ ) определяются по формуле

$$p = \Sigma (Rl + z), \quad (22.1)$$

где  $R$  – потери давления на трение на расчетном участке сети, Па, на 1 м;  $l$  – длина участка воздуховода, м;  $z$  – потери давления на местные сопротивления на расчетном участке сети, Па.

Потери давления на трение  $R$ , Па, на 1 м в круглых воздуховодах определяют по формуле

$$R = \frac{\lambda \rho v^2}{d^2}, \quad (22.2)$$

где  $\lambda$  – коэффициент сопротивления трения;  $d$  – диаметр воздуховода, м;  $v$  – скорость движения воздуха в воздуховоде, м/с;  $\rho$  – плотность воздуха, перемещаемого по воздуховоду,  $\text{кг}/\text{м}^3$ ;  $\rho v^2/2$  – скоростное (динамическое) давление, Па.

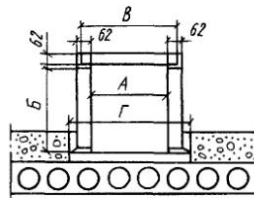
Коэффициент сопротивления рассчитывается по формуле Альтшуля

$$\lambda = 0,11 (K_s/d + 68/\text{Re})^{0,25}, \quad (22.3)$$

где  $K_s$  – абсолютная эквивалентная шероховатость поверхности воздуховода из листовой стали, равная 0,1 мм;  $d$  – диаметр воздуховода, мм;  $\text{Re}$  – число Рейнольдса.

Для воздуховодов, выполненных из других материалов с абсолютной эквивалентной шероховатостью  $K_s \geq 0,1 \text{ мм}$  (табл. 22.11), значе-

ТАБЛИЦА 22.10. РАЗМЕРЫ, ММ, КАНАЛОВ ИЗ ПЕНОГЛИНИСТЫХ ИЛИ ПЕНОСТЕКЛЯННЫХ ПЛИТ



Размер плит, мм	Сечение канала, мм	A	B	Г	Объем 1 м, м³	Масса 1 м, кг
600 × 600 × 62	200 × 310	200	300	400	0,08	25,3
	300 × 310	300	300	600	0,1	31,2
	300 × 410	300	400	600	0,12	35,1
	300 × 610	300	600	400	0,14	42,9
	400 × 310	400	300	600	0,12	35,1
	410 × 410	400	400	600	0,13	39
	400 × 610	400	600	600	0,16	46,8
	400 × 810	400	600	600	0,18	54,6
	200 × 310	200	300	300	0,08	25,3
800 × 800 × 62	300 × 310	300	300	400	0,1	29,3
	300 × 410	300	400	500	0,11	33,2
	300 × 510	300	500	500	0,12	35,1
	300 × 610	300	600	400	0,14	41
	400 × 310	400	300	500	0,11	33,2
	400 × 410	400	400	500	0,12	37,1
	400 × 510	400	500	600	0,14	41
	400 × 610	400	600	500	0,15	45
	400 × 810	400	800	500	0,18	52,7
	600 × 310	600	300	800	0,14	42,9
	600 × 410	600	400	800	0,16	46,8
	600 × 510	600	500	800	0,17	50,7
	600 × 610	600	600	800	0,18	54,6
	600 × 810	600	800	800	0,21	62,4

ние  $R$  принимается с поправочным коэффициентом  $n$  на потери давления на трение, приведенным в табл. 22.12.

Рекомендуемые скорости движения воздуха в воздуховодах, жалюзийных решетках и клапанах приведены в табл. 22.13.

Экономически целесообразную скорость движения воздуха в воздуховодах при механическом побуждении с достаточной точностью следует определять по формуле\*

$$v^{\text{ex}} = 26,4 L^{0,04} \left( \frac{S_{\text{в}}}{S_{\text{н}} \cdot n} \right)^{0,32} \left( \frac{1}{\rho} \right)^{0,32} \left( \frac{1}{1 + K_z} \right)^{0,32} \times$$

$$\times [\bar{K}(E_u + \bar{K}_z)]^{0,32} \left( \frac{1}{n} \right)^{0,08}, \quad (22.4)$$

ТАБЛИЦА 22.11. АБСОЛЮТНАЯ ЭКВИВАЛЕНТНАЯ ШЕРОХОВАТОСТЬ МАТЕРИАЛОВ, ПРИМЕНЯЕМЫХ ДЛЯ ИЗГОТОВЛЕНИЯ ВОЗДУХОВОДОВ

Материал	$K_z$ , мм	Материал	$K_z$ , мм
Листовая сталь	0,1	Шлакобетонные плиты	1,5
Винипласт	0,1	Кирпич	4
Асбестоцементные плиты или трубы	0,11	Штукатурка (по металлической сетке)	10
Фанера	0,12	Шлакоалебастровые плиты	1

\* Методика определения экономически целесообразной скорости движения воздуха разработана канд. техн. наук Б. А. Крупновым.

ТАБЛИЦА 22.12. ПОПРАВОЧНЫЕ КОЭФФИЦИЕНТЫ  $n$  НА ПОТЕРИ ДАВЛЕНИЯ НА ТРЕНИЕ, УЧИТЫВАЮЩИЕ ШЕРОХОВАТОСТЬ МАТЕРИАЛА ВОЗДУХОВОДОВ

$v_a$ , м/с	$n$ при $K_s$ , мм				$v_a$ , м/с	$n$ при $K_s$ , мм			
	1	1,5	4	10		1	1,5	4	10
0,2	1,04	1,06	1,15	1,31	6,2	1,45	1,58	1,99	2,49
0,4	1,08	1,11	1,25	1,48	6,4	1,45	1,59	2	2,5
0,6	1,11	1,16	1,33	1,6	6,6	1,46	1,6	2,01	2,51
0,8	1,13	1,19	1,4	1,69	6,8	1,47	1,6	2,02	2,52
1	1,16	1,23	1,46	1,77	7	1,47	1,61	2,03	2,54
1,2	1,18	1,25	1,5	1,84	7,2	1,48	1,62	2,04	2,55
1,4	1,2	1,28	1,55	1,95	7,4	1,48	1,62	2,04	2,56
1,6	1,22	1,31	1,58	1,95	7,6	1,48	1,63	2,05	2,57
1,8	1,24	1,33	1,62	2	7,8	1,49	1,63	2,05	2,57
2	1,25	1,35	1,65	2,04	8	1,49	1,64	2,06	2,58
2,2	1,27	1,37	1,68	2,08	8,2	1,5	1,64	2,07	2,59
2,4	1,28	1,38	1,7	2,11	8,4	1,5	1,64	2,07	2,6
2,6	1,29	1,4	1,73	2,14	8,6	1,5	1,65	2,08	2,61
2,8	1,31	1,42	1,75	2,17	8,8	1,51	1,65	2,09	2,62
3	1,32	1,43	1,77	2,2	9	1,51	1,66	2,1	2,62
3,2	1,33	1,44	1,79	2,23	9,2	1,52	1,66	2,1	2,63
3,4	1,34	1,46	1,81	2,25	9,4	1,52	1,67	2,11	2,64
3,6	1,35	1,47	1,83	2,28	9,6	1,52	1,67	2,11	2,65
3,8	1,36	1,48	1,85	2,3	9,8	1,53	1,68	2,12	2,65
4	1,37	1,49	1,86	2,32	10	1,53	1,68	2,12	2,66
4,2	1,38	1,5	1,87	2,34	10,5	1,54	1,69	2,14	2,67
4,3	1,39	1,51	1,89	2,36	11	1,54	1,7	2,15	2,69
4,6	1,4	1,52	1,9	2,37	11,5	1,55	1,7	2,16	2,71
4,8	1,4	1,53	1,92	2,39	12	1,56	1,71	2,17	2,72
5	1,41	1,54	1,93	2,41	12,5	1,56	1,72	2,18	2,73
5,2	1,42	1,55	1,94	2,42	13	1,57	1,73	2,19	2,74
5,4	1,43	1,56	1,95	2,44	13,5	1,57	1,73	2,2	2,75
5,6	1,43	1,56	1,96	2,45	14	1,58	1,74	2,2	2,76
5,8	1,44	1,57	1,97	2,46	14,5	1,58	1,74	2,21	2,77
6	1,44	1,58	1,98	2,48	15	1,59	1,75	2,22	2,78

ТАБЛИЦА 22.13. СКОРОСТИ ДВИЖЕНИЯ ВОЗДУХА, ДОПУСКАЕМЫЕ В ВОЗДУХОВОДАХ, ЖАЛЮЗИЙНЫХ РЕШЕТКАХ И КЛАПАНАХ ПРИТОЧНЫХ И ВЫТЯЖНЫХ СИСТЕМ ОБЩЕГО НАЗНАЧЕНИЯ

Элемент системы	$v_a$ , м/с
-----------------	-------------

**Естественное движение воздуха**

Воздуховоды горизонтальные:

приточные разводящие Не более 1,5  
вытяжные сборные То же

Жалюзийные решетки и клапаны:

приточные у пола 0,2–0,5  
приточные у потолка 0,5–1  
вытяжные 0,5–1**Механическое побуждение**

Воздуховоды в производственных зданиях:

магистральные До 12  
ответвления — 6*Продолжение табл. 22.13*

Элемент системы	$v_a$ , м/с
-----------------	-------------

Воздуховоды в общественных и вспомогательных зданиях:

магистральные До 8  
ответвления — 5

Примечание Жалюзийные решетки и клапаны рассмотрены в гл. 8

где  $L$  расход воздуха,  $\text{м}^3/\text{ч}$ , в участке;  $S_p$  – прямые затраты на прокладку воздуховодов, руб/ $\text{м}^2$ , с учетом затрат на теплоизоляционные материалы и работы. Если для прокладки воздуховодов требуется увеличение высоты помещения, устройство технического этажа или подшивного потолка, следует учитывать дополнительные затраты на строительные работы, приведенные к  $1 \text{ м}^2$  воздуховода;  $S_{\text{га}}$  – годовая плата за электроэнергию, руб/(кВт·год), определяемая в соответствии с Прейскурантом 09-01 и зависящая от продолжительности работы вентиляционной установки, ч, и энергоснабжающей организацией;  $\rho$  – плотность

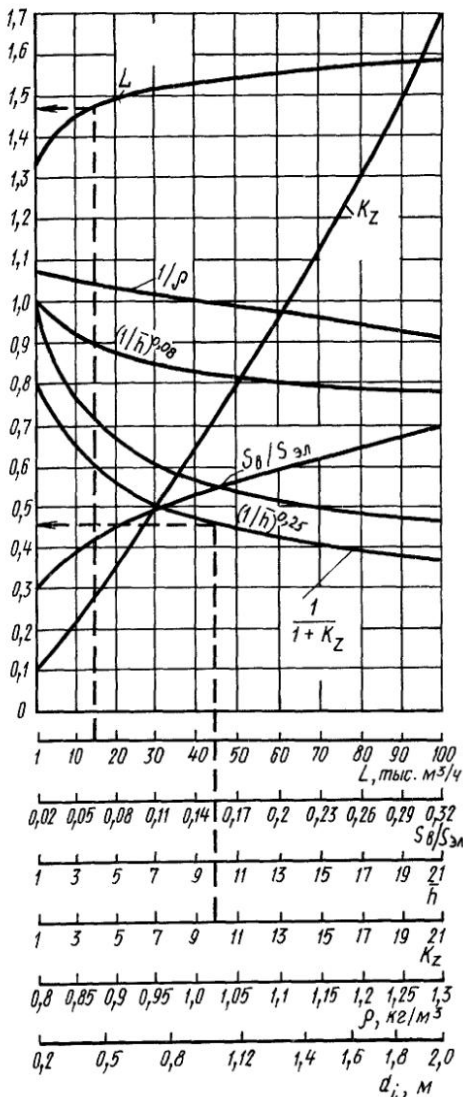


Рис. 22.2. Номограмма вспомогательных величин для определения  $v^*$

воздуха,  $kg/m^3$ ;  $K_z$  — коэффициент, выражающий отношение потерь давления в местных сопротивлениях к потерям давления на трение;  $\bar{K}$  — коэффициент, учитывающий в относительных единицах накладные расходы в размере 13,3%, плановые накопления в размере 8%, а также добавки к нормам затрат труда и заработной плате при прокладке воздуховодов на высоте по Сб. 20 СНиП IV-5-82;  $\bar{K} = 1,213 - 1,277$ ;  $E_n$  — нормативный коэффициент эффективности капитальных вложений;  $E_n = 0,12$ ;  $K_s$  — коэффициент, учитывающий в относительных единицах амортизационные отчисления на полное восстановление и капиталь-

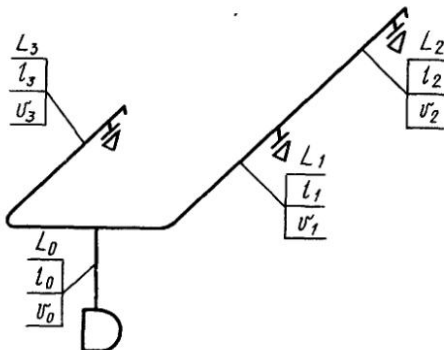


Рис. 22.3. Расчетная схема сети воздуховодов для определения экономической целесообразной скорости воздуха

ный ремонт (в соответствии с Нормами амортизационных отчислений по основным фондам народного хозяйства),  $K_s = 0,123 - 0,243$ ;  $\bar{n}$  — относительная шероховатость внутренней поверхности воздуховодов, показывающая, во сколько раз действительная абсолютная шероховатость больше шероховатости металлических воздуховодов, равной 0,0001 м:

$$K_z = 71,4 \frac{\zeta d^{1,25}}{l} \frac{1}{(\bar{n})^{0,25}}, \quad (22.5)$$

где  $\zeta$  — сумма коэффициентов местных сопротивлений в участке;  $d$  — диаметр воздуховода, м, принимаемый предварительно при скорости 5–8 м/с;  $l$  — длина участка, м.

При определении скорости движения воздуха на участках конкретной вентиляционной сети переменными величинами являются  $L$ ,  $l$ ,  $d$ ,  $\zeta$ ,  $K_z$ ,  $n$ ,  $S_b$ .

Значения отдельных множителей в формуле (22.4) и значение  $K_z$  можно определить по графику на рис. 22.2.

**Пример 22.1.** Определить экономически целесообразную скорость движения воздуха в участках воздуховодов сети (рис. 22.3) из оцинкованной стали  $\delta = 1,2$  мм, если известно:  $\rho = 1,2 \text{ кг}/\text{м}^3$ ;  $\bar{K} = 1,213$ ;  $K_s = 0,123$ ;  $\bar{n} = 1$ ;  $S_{3\lambda} = 60 \text{ руб}/(\text{кВт}\cdot\text{год})$  стоимость воздуховодов неизолированных  $S_b = 7 \text{ руб}/\text{м}^2$  (1-й вариант), изолированных минераловатными матами марки 200 в обкладке из стеклоткани  $\delta = 40$  мм и с оберткой по изоляции стеклотканью  $S_b = 10 \text{ руб}/\text{м}^2$  (2-й вариант), изолированных и прокладываемых в техническом этаже ориентировано  $S_b = 18 \text{ руб}/\text{м}^2$  (3-й вариант).

**Решение:** 1. Находим предварительно диа-

ТАБЛИЦА 22.14. РЕЗУЛЬТАТЫ РАСЧЕТОВ ПО ОПРЕДЕЛЕНИЮ СКОРОСТЕЙ В ВОЗДУХОВОДЕ

Участок	$L$ , тыс. $m^3/\text{ч}$	$l$ , м	$d$ , м	$\zeta$	$K_z$	$v^{\text{эк}}$ , м/с			$d^{\text{расч}}$ , м			$v^{\text{расч}}$ , м/с		
						для вариантов								
						1	2	3	1	2	3	1	2	3
Основной	60	8	1,6	1	15,6	5,3	6,0	7,2	2	1,8	1,6	5,3	6,6	8,1
1	40	16	1,4	1,35	8,9	6,2	7,1	8,5	1,6	1,4	1,25	5,5	7,3	9,0
2	20	12	1,0	1,35	8,1	6,1	7,0	8,3	1,12	1,0	0,9	5,6	7,1	8,7
3	20	18	1,0	1,35	8,1	6,4	7,3	8,7	1,0	1,0	0,9	7,0	7,1	8,7

метры воздуховодов, значения  $\zeta$  и  $K_z$  (табл. 22.14).

2. Определяем экономически целесообразную скорость движения воздуха  $v^{\text{эк}}$  на участках по формуле (22.4) для трех вариантов.

3. Находим расчетные значения воздуховодов  $d^{\text{расч}}$  и расчетные скорости  $v^{\text{расч}}$  в соответствии со значениями  $v^{\text{эк}}$ .

Для воздуховодов прямоугольного сечения за расчетную величину  $d$  принимается эквивалентный диаметр  $d_{\text{ев}}$ , при котором потери давления в круглом воздуховоде при той же скорости воздуха равны потерям в прямоугольном воздуховоде.

Значения эквивалентных диаметров, м, определяют по формуле

$$d_{\text{ев}} = 2AB/(A + B), \quad (22.6)$$

где  $A$  и  $B$  – размеры сторон прямоугольного воздуховода.

Следует иметь в виду, что в прямоугольном воздуховоде и соответствующем ему круглом воздуховоде с условным диаметром  $d_{\text{ев}}$  при равенстве скоростей движения воздуха расходы воздуха не совпадают.

Значения скоростного (динамического) давления и удельные потери давления на трение, рассчитанные по формулам Л. С. Клячко, для круглых стальных воздуховодов при транспортировании чистого воздуха с температурой 20 °C и  $\rho = 1,2 \text{ кг}/\text{м}^3$  приведены в табл. 22.15.

Потери давления  $z$ , Па, на местные сопротивления определяются по формуле

$$z = \Sigma \zeta \frac{\rho v^2}{2}, \quad (22.7)$$

где  $\Sigma \zeta$  – сумма коэффициентов местных сопротивлений на расчетном участке воздуховода.

Значения коэффициентов местных сопро-

тивлений деталей приточных и вытяжных систем приведены в табл. 22.16–22.35\* узлов ответвлений и отводов воздуховодов из унифицированных деталей – в табл. 22.36–22.43\*.

Расчет потерь давления в местных сопротивлениях вблизи входа и выхода вентиляторов приведен в п. 22.4.

Значения  $\zeta_0$  на входе в горизонтальный коллектор, барабанный коллектор и горизонтальный сборник следует принимать равными соответственно 1; 0,8; 0,8; значения  $\zeta_1$  на выходе из горизонтального коллектора, барабанного коллектора, горизонтального сборника и бункера циклонов – равными 0,5.

При температуре транспортируемого воздуха, не равной 20 °C, потери давления, вычисленные по формуле (22.1), следует принимать с поправочными коэффициентами  $K_1$  и  $K_2$  соответственно на трение и на местные сопротивления (табл. 22.44).

При невозможности увязки потерь давления по ответвлению воздуховодов в пределах 10% следует устанавливать диафрагмы преимущественно на вертикальных участках.

\* Руководство по расчету воздуховодов из унифицированных деталей А3-804; ВСН 353/86 Минмонтажспецстроя; Рекомендации по выбору способов подачи и типов воздухораспределительных устройств в промзданиях А3-960.

ТАБЛИЦА 22.15 РАСЧЕТ МЕТАЛЛИЧЕСКИХ ВОЗДУХОВОДОВ КРУГЛОГО СЕЧЕНИЯ (ПЕРВАЯ СТРОКА - КОЛИЧЕСТВО ВОЗДУХА,  $M^3/Ч$ ; ВТОРАЯ СТРОКА - ПОТЕРИ ДАВЛЕНИЯ НА ТРЕНИЕ НА 1 М ДЛИНЫ ВОЗДУХОВОДА,  $KGS/M^2$ ; ТРЕТЬЯ СТРОКА - Т.Ж., Па)

Скорость движения воздуха, м/с	Динамическое давление кгс/м <sup>2</sup>	Па	Диаметр воздушного, мм													
			80	100	110	125	140	160	180	200	225	250	280	315	355	400
0,5	0,01	0,1	9	15	17	20	30	35	45	55	70	90	110	140	180	225
			0,0056	0,0053	0,005	0,0048	0,004	0,0035	0,003	0,0026	0,0023	0,002	0,0017	0,0015	0,0013	0,0011
			0,0549	0,052	0,049	0,0473	0,04	0,0347	0,03	0,0263	0,0227	0,0199	0,0172	0,0149	0,0123	0,011
0,6	0,02	0,2	0,01	0,0084	0,0077	0,0066	0,0057	0,0048	0,0042	0,0036	0,0032	0,0027	0,0024	0,0021	0,0018	0,0016
			0,0981	0,0824	0,0755	0,065	0,0564	0,0478	0,0412	0,0336	0,031	0,0273	0,0237	0,0205	0,0176	0,0152
0,7	0,03	0,3	0,014	0,0115	0,0102	0,0086	0,0075	0,0063	0,0055	0,0048	0,0041	0,0036	0,003	0,0027	0,0023	0,002
			0,137	0,113	0,0999	0,0852	0,0789	0,0625	0,054	0,0473	0,0408	0,0358	0,031	0,0268	0,023	0,0199
0,8	0,04	0,4	0,019	0,0145	0,0129	0,011	0,0095	0,008	0,0069	0,006	0,0052	0,0046	0,004	0,0034	0,0029	0,0025
			0,1864	0,142	0,126	0,108	0,0934	0,079	0,0682	0,0598	0,0516	0,0452	0,0393	0,0339	0,0292	0,0251
0,9	0,05	0,5	0,0235	0,0178	0,0158	0,0135	0,0117	0,0099	0,0085	0,0074	0,0064	0,0056	0,0049	0,0042	0,0036	0,0031
			0,231	0,175	0,155	0,132	0,115	0,097	0,0838	0,0735	0,0634	0,0556	0,0482	0,0416	0,0359	0,0309
1	0,06	0,6	0,0283	0,0214	0,019	0,0162	0,0140	0,0119	0,0103	0,009	0,0077	0,0068	0,0059	0,005	0,0043	0,0037
			0,278	0,206	0,186	0,159	0,136	0,117	0,1	0,083	0,0762	0,0666	0,058	0,05	0,0431	0,037
1,2	0,09	0,9	0,0389	0,0295	0,0262	0,0223	0,0193	0,0164	0,0141	0,0124	0,011	0,0094	0,0081	0,007	0,006	0,0052
			0,382	0,289	0,257	0,219	0,19	0,161	0,139	0,122	0,105	0,092	0,0798	0,0689	0,0593	0,0511
1,4	0,12	1,2	0,051	0,0386	0,0343	0,0292	0,0253	0,0214	0,0185	0,0162	0,014	0,0123	0,0107	0,0092	0,0079	0,0068
			0,50	0,379	0,336	0,286	0,249	0,211	0,182	0,159	0,137	0,12	0,105	0,0902	0,0777	0,0699
1,6	0,16	1,5	0,0644	0,0487	0,0433	0,0369	0,032	0,027	0,0234	0,0205	0,0177	0,0155	0,0135	0,0116	0,01	0,0096
			0,632	0,478	0,425	0,362	0,314	0,266	0,229	0,201	0,174	0,152	0,132	0,114	0,0981	0,0845
1,8	0,2	1,9	0,0792	0,0599	0,0552	0,0453	0,0393	0,0393	0,0333	0,0207	0,0252	0,0217	0,0191	0,0165	0,0143	0,0106
			0,777	0,588	0,522	0,445	0,386	0,327	0,282	0,247	0,213	0,187	0,162	0,14	0,121	0,104
2	0,24	2,4	0,0952	0,072	0,0639	0,0545	0,0473	0,04	0,0346	0,0303	0,026	0,0229	0,0199	0,0172	0,0148	0,0127
			0,934	0,707	0,627	0,535	0,464	0,393	0,339	0,297	0,256	0,225	0,195	0,168	0,145	0,125
2,5	0,38	3,7	0,141	0,106	0,0945	0,0805	0,0699	0,0592	0,0511	0,0448	0,0386	0,0333	0,0294	0,0254	0,0218	0,019
			1,38	1,04	0,927	0,79	0,686	0,58	0,501	0,439	0,379	0,328	0,288	0,249	0,214	0,186

Продолжение табл. 22.15

Скорость движения воздуха, м/с	Динамическое давление кгс/м <sup>2</sup>	Диаметр воздуховода, мм												
		80	100	110	125	140	160	180	200	225	250	280	315	
3	0,55	5,4	0,194	0,146	0,13	0,114	0,0962	0,0814	0,0702	0,0616	0,0466	0,0404	0,0351	0,0265
		1,9	1,44	1,28	1,09	0,943	0,798	0,689	0,604	0,521	0,457	0,397	0,344	0,26
3,5	0,75	7,3	0,254	0,192	0,17	0,145	0,126	0,107	0,092	0,0806	0,0696	0,061	0,059	0,0465
		2,4	1,38	1,67	1,42	1,24	1,05	0,902	0,79	0,683	0,59	0,524	0,456	0,397
4	0,98	9,6	0,32	0,242	0,215	0,183	0,159	0,139	0,116	0,102	0,088	0,0778	0,0682	0,0594
		3,14	2,38	2,11	1,8	1,56	1,32	1,14	0,99	0,863	0,763	0,669	0,583	0,441
4,5	1,24	12,1	0,394	0,296	0,264	0,225	0,196	0,165	0,143	0,135	0,109	0,0966	0,0846	0,0738
		3,86	2,92	2,59	2,21	1,92	1,62	1,4	1,23	1,07	0,94	0,83	0,724	0,548
5	1,53	15	0,473	0,368	0,318	0,271	0,235	0,199	0,172	0,152	0,138	0,117	0,103	0,0895
		4,64	3,51	3,12	2,66	2,31	1,95	1,69	1,49	1,3	1,16	1,01	0,878	0,664
5,5	1,85	18,2	0,559	0,423	0,376	0,338	0,278	0,235	0,205	0,1810	0,158	0,14	0,122	0,107
		5,49	4,15	3,68	3,14	2,73	2,31	2,01	1,76	1,55	1,37	1,2	1,05	0,909
6	2,2	21,6	0,651	0,493	0,437	0,373	0,323	0,275	0,24	0,212	0,185	0,164	0,143	0,125
		6,39	4,83	4,29	3,66	3,17	2,7	2,36	2,08	1,82	1,61	1,41	1,23	1,07
6,5	2,58	26,4	0,749	0,567	0,503	0,425	0,373	0,319	0,278	0,246	0,214	0,19	0,166	0,145
		7,35	5,56	4,93	4,21	3,66	3,13	2,73	2,41	2,1	1,86	1,63	1,42	1,07
7	3	29,4	0,853	0,645	0,573	0,493	0,427	0,365	0,319	0,282	0,246	0,217	0,19	0,166
		8,37	6,33	5,62	4,79	4,19	3,58	3,12	2,76	2,41	2,13	1,87	1,63	1,41
7,5	3,44	33,7	0,962	0,726	0,646	0,553	0,485	0,415	0,361	0,32	0,279	0,246	0,215	0,188
		11,7	9,44	7,14	6,34	5,43	4,75	4,07	3,55	3,14	2,78	2,42	2,12	1,85
8,0	3,9	38,4	1,08	0,815	0,723	0,623	0,545	0,467	0,407	0,336	0,14	0,277	0,243	0,212
		11,7	8,89	7,92	6,83	5,98	5,35	4,58	3,99	3,53	3,08	2,72	2,36	2,08
8,5	4,42	43,3	1,2	0,906	0,808	0,696	0,6	0,522	0,455	0,408	0,35	0,31	0,272	0,206
		11,7	8,89	7,92	6,83	5,98	5,12	4,46	3,88	3,44	3,04	2,66	2,32	2,02

Продолжение табл. 22.15

Скорость движения воздуха, м/с	Динамическое давление кгс/м <sup>2</sup>	Диаметр воздуховода, мм																
		80	100	110	125	140	160	180	200	225	250	280	315	355	400			
9,0	4,95	48,6	1,32	1	255	310	400	500	650	825	1020	1290	1590	1995	2525	3205	4070	
			1,3	9,83	8,8	7,58	6,64	6,68	4,95	0,677	0,579	0,505	0,447	0,389	0,244	0,263	0,229	0,199
10	6,12	60	1,59	1,28	1,09	0,937	0,821	0,703	0,613	0,555	0,725	0,915	1,130	1,430	1,756	2,085	2,58	2,24
			1,56	11,9	10,7	9,19	8,06	6,8	6,01	4,40	0,937	0,821	0,703	0,542	0,418	0,366	0,319	0,277
11	7,4	72,6	1,88	1,45	1,3	1,12	0,978	0,837	0,729	0,645	0,562	0,645	0,725	0,837	0,947	1,045	1,155	1,240
			1,42	18,4	12,7	11	9,59	8,21	7,16	6,33	5,52	6,33	7,16	8,21	9,48	10,72	11,95	13,19
12	8,8	86,4	2,2	1,7	1,52	1,31	1,15	0,982	0,856	0,757	0,66	0,583	0,61	0,757	0,856	0,945	1,045	1,155
			2,16	21,6	16,7	14,9	12,8	11,3	9,63	8,39	7,42	6,47	5,72	6,47	7,42	8,39	9,63	10,88
13	10,35	101	2,55	1,97	1,76	1,52	1,33	1,14	0,991	0,876	0,764	0,675	0,764	0,876	0,991	1,090	1,190	1,290
			2,5	19,3	17,3	14,9	13	11,2	9,72	8,6	7,49	6,63	7,49	8,6	9,72	10,88	11,95	13,19
14	12	118	2,92	2,25	2,08	1,74	1,52	1,3	1,14	1	0,875	1,14	1,14	1,14	1,14	1,14	1,14	1,14
			28,7	22,1	19,8	17	14,9	12,8	11,1	9,85	8,58	7,59	7,59	7,59	7,59	7,59	7,59	7,59
15	13,75	135	3,32	2,56	2,29	1,97	1,73	1,48	1,29	1,14	0,993	0,993	0,993	0,993	0,993	0,993	0,993	0,993
			32,5	39,5	480	620	775	1015	1280	2000	2475	3100	3925	4990	6330	7,59	7,59	7,59
16	15,65	153	3,73	2,88	2,58	2,22	1,94	1,66	1,45	1,28	1,12	0,988	1,28	1,28	1,45	2,145	2,650	3,235
			36,6	28,2	25,3	21,8	19,1	16,3	14,2	12,6	11	9,7	11	9,7	11	14,2	19,5	24,10
17	17,7	173	4,17	3,22	2,88	2,48	2,17	1,86	1,62	1,43	1,25	1,12	1,12	1,12	1,12	1,12	1,12	1,12
			40,9	31,6	28,2	24,3	21,3	18,2	15,9	14,1	12,3	10,8	9,48	10,8	12,3	15,9	18,2	22,90
18	19,8	194	4,63	3,57	3,2	2,75	2,41	2,06	1,8	1,59	1,39	1,23	1,23	1,23	1,23	1,23	1,23	1,23
			45,5	35	31,4	27	23,7	20,3	17,7	15,6	13	12	10,5	12	12	15	17,7	20,3
19	22,1	217	5,12	4,63	3,57	3,2	2,75	2,41	2,06	1,8	1,59	1,39	1,23	1,23	1,23	1,23	1,23	1,23
			50,2	38,7	34,6	29,8	26,1	22,4	19,5	17,2	15	13	11,6	13	13	15	17,2	20,3
20	24,5	240	5,62	4,33	3,88	3,34	2,93	2,5	2,18	1,93	1,68	1,49	1,3	1,3	1,3	1,3	1,3	1,3
			42,48	38	32,8	28,7	24,6	21,4	18,9	16,5	14,6	12	11,1	11,1	11,1	11,1	11,1	11,1

Примечание. Воздуховоды диаметром 80 мм предназначены только для систем аспирации на зерноперерабатывающих предприятиях.

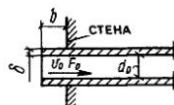
Скорость движения воздуха, м/с	Динамическое давление кин/м <sup>2</sup>	Диаметр воздуховода, мм													
		450	500	560	630	710	800	900	1000	1120	1250	1400	1600	1800	2000
0,5	0,01 0,1	285	355	445	560	715	905	1145	1415	1770	2210	2770	3620	4580	5650
0,6	0,02 0,2	345	425	530	670	855	1085	1375	1695	2130	2650	3325	4940	5470	6785
0,7	0,03 0,3	400	495	620	785	1000	1265	1600	1980	2480	3090	3880	5065	6410	7910
0,8	0,04 0,4	450	565	710	900	1140	1445	1830	2260	2840	3535	4430	5790	7330	9040
0,9	0,05 0,5	570	710	890	1120	1425	1810	2290	2825	3545	4415	5540	7235	9160	11310
1	0,06 0,6	615	635	800	1010	1280	1630	2060	2545	3190	3975	4990	6515	8245	10180
1,2	0,09 0,9	685	850	1055	1345	1710	2170	2750	3390	4255	5300	6650	8685	10990	13570
1,4	0,12 1,2	800	990	1240	1570	1995	2530	3200	3960	4965	6185	7755	10130	12820	16830
1,6	0,16 1,5	915	1130	1420	1795	2280	2895	3664	4523	5675	7065	8865	11580	14660	18090
2	0,24 2,4	1145	1415	1775	2244	2850	3620	4580	5655	7090	8835	11080	14470	18320	27620
2,5	0,38 3,7	1430	1765	2216	2805	3663	4523	5725	7065	8865	11040	13850	18090	22900	28300

Продолжение табл 22.15

Скорость движения воздуха, м/с	Динамическое давление килопаскаль, кПа	Диаметр воздуховода, мм														
		450	500	560	630	710	800	900	1000	1120	1250	1400	1600	1800	2000	
3	0,55	5,4	1715	2120	2660	3365	4275	5330	6870	8480	10600	13250	16620	21700	27480	33920
			0,0231	0,0205	0,0179	0,0156	0,0136	0,0118	0,0103	0,0091	0,0079	0,0073	0,00689	0,0064	0,00552	0,0045
3,5	0,75	7,3	0,227	0,201	0,176	0,153	0,133	0,116	0,101	0,0894	0,0783	0,0689	0,0604	0,0517	0,0445	0,0398
			2000	2475	3100	3925	4990	6330	9015	9895	12410	15460	19390	23330	32060	39580
4	0,98	9,6	0,307	0,27	0,238	0,207	0,18	0,157	0,137	0,121	0,106	0,0993	0,0981	0,0669	0,0660	0,0553
			0,301	0,266	0,233	0,203	0,177	0,154	0,134	0,119	0,104	0,0914	0,0865	0,0597	0,0528	
4,5	1,24	12,1	0,486	0,443	0,404	0,3545	0,4490	0,5700	0,7235	0,9160	1,1310	1,4180	1,7670	22,160	28950	36640
			0,477	0,422	0,377	0,322	0,28	0,244	0,213	0,188	0,165	0,145	0,1277	0,109	0,0943	0,0834
5	1,53	15	0,590	0,522	0,457	0,399	0,347	0,302	0,263	0,237	0,204	0,179	0,157	0,134	0,117	0,104
			0,579	0,512	0,449	0,391	0,34	0,296	0,253	0,2232	0,2	0,176	0,154	0,132	0,115	0,102
5,5	1,85	18,2	0,7073	0,622	0,545	0,475	0,413	0,359	0,313	0,277	0,243	0,213	0,187	0,16	0,139	0,123
			0,689	0,61	0,534	0,466	0,405	0,352	0,307	0,272	0,238	0,209	0,183	0,157	0,137	0,181
6	2,2	21,6	0,824	0,729	0,639	0,557	0,484	0,421	0,367	0,325	0,285	0,25	0,219	0,188	0,164	0,145
			0,809	0,715	0,627	0,546	0,475	0,413	0,36	0,319	0,279	0,246	0,215	0,184	0,16	0,142
6,5	2,58	25,4	0,9995	0,844	0,774	0,645	0,561	0,488	0,425	0,376	0,329	0,29	0,254	0,217	0,189	0,168
			0,937	0,828	0,726	0,632	0,555	0,479	0,417	0,369	0,323	0,284	0,249	0,213	0,186	0,164
7	3	29,4	4000	4945	6200	7855	9975	12660	16030	19790	24820	30920	38790	50660	64120	79160
			0,109	0,0967	0,0847	0,0739	0,0642	0,0559	0,0481	0,0431	0,0377	0,0332	0,0291	0,0249	0,0217	0,0192
7,5	3,44	33,7	4290	5300	6645	8410	10680	13560	17170	21200	26590	33120	41540	54260	68670	84780
			1,22	1,08	0,943	0,822	0,632	0,555	0,479	0,417	0,369	0,323	0,284	0,249	0,213	0,186
8	3,9	38,4	4580	5655	7090	8975	11400	14470	17320	22620	28370	35340	44330	57900	73280	90460
			1,08	0,124	0,108	0,0945	0,0821	0,0714	0,0622	0,055	0,0482	0,0424	0,0372	0,0313	0,0277	0,0245
8,5	4,42	43,3	4865	6000	7530	9530	12110	15370	19460	24020	30130	37530	47080	61500	77800	96100
			1,05	0,138	0,121	0,105	0,0917	0,0798	0,0695	0,0615	0,0539	0,0474	0,0415	0,0355	0,031	0,0274
			1,19	1,03	1,19	1,03	0,9	0,785	0,638	0,603	0,529	0,465	0,407	0,349	0,304	0,269

Скорость движения воздуха, м/с	Динамическое давление кгс/м <sup>2</sup>	Па	Диаметр воздуховода, мм													
			450	500	560	630	710	800	900	1000	1120	1250	1400	1600	1800	2000
9	4,95	48,6	5150	6360	7980	10100	12830	16280	20610	25440	31900	39750	49870	65130	82440	101800
10	6,12	60	5725	7070	8865	11220	14250	18100	22900	28270	35460	44170	55410	72370	91600	113100
11	7,4	72,6	6300	7790	9752	12340	15680	19900	25200	31100	39000	48600	60950	79600	100800	124400
12	8,8	86,4	7440	9190	11530	14590	18530	23500	29770	36750	46100	57420	72030	94100	119100	147000
13	10,35	101	8015	9900	12400	15700	19950	25330	32060	39600	49650	61850	77550	101300	128200	158300
14	12	118	8175	9880	12280	15950	19950	25330	32060	39600	49650	61850	77550	101300	128200	158300
15	13,75	135	8585	10600	13300	16830	21380	27140	34350	42400	53200	66250	83100	108600	137400	169600
16	15,65	153	9730	12010	15070	19070	24230	30760	38930	48060	60290	75090	94200	123000	155700	192200
17	17,7	173	10300	12700	15950	20190	25640	32550	41200	50870	63800	79480	99700	130220	165000	203500
18	19,8	194	11450	14130	17750	22440	28500	36200	45800	56540	70900	88350	110800	144700	183200	226200
19	22,1	217	10880	13430	16840	21320	27080	34380	43500	53700	67400	84000	105300	137500	174000	214900
20	24,5	240	11450	14130	17750	22440	28500	36200	45800	56540	70900	88350	110800	144700	183200	226200

ТАБЛИЦА 22.16. ЗНАЧЕНИЯ  $\zeta_0$   
ЦИЛИНДРИЧЕСКОЙ ТРУБЫ,  
ЗАДЕЛАННОЙ В СТЕНУ



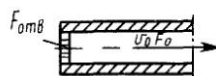
$\delta/d_0$	Значения $\zeta_0$ при $b/d_0$						
	0	0,002	0,01	0,05	0,2	0,5	1
0 0,02 и бо- лее	0,5	0,57	0,68	0,8	0,92	1	0,94
	0,5	0,51	0,52	0,65	0,66	0,72	0,72

Примечание. Значение  $\zeta_0$  соответствует скоро-  
сти в трубе  $v_0$

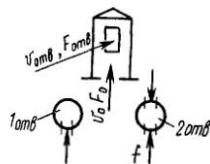
ТАБЛИЦА 22.18. ЗНАЧЕНИЯ  $\zeta_0$  ДЛЯ ПРЯМОГО КАНАЛА С СЕТКОЙ ИЛИ РЕШЕТКОЙ, ПЕРВОГО  
БОКОВОГО И ПОСЛЕДНЕГО  
БОКОВОГО ОТВЕРСТИЯ

Элемент системы	Значения $\zeta_0$ при $F_{\text{отв}}/F_0$												
	0,2	0,3	0,4	0,5	0,6	0,7	0,8	0,9	1,0	1,2	1,4	1,6	1,8

Прямой канал с сеткой — — 4 2,65 1,97 1,58 1,32 1,14 — — — — — —

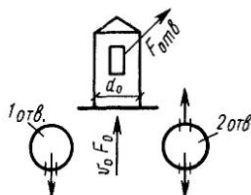


Первое боковое отвер-  
стие:



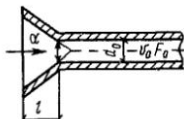
одно отверстие 64,5 30 14,9 9 6,27 4,54 3,54 2,7 2,28 — — — 2,01 — — 1,1  
два отверстия (одно — 17 12 8,75 6,85 5,5 4,54 3,84 — — — 2,01 — — 1,1  
против другого)

Последнее боковое от-  
верстие:



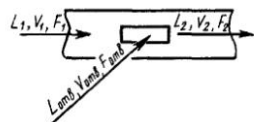
одно отверстие 65,7 30 16,4 10,8 7,3 5,5 4,48 3,67 3,16 2,44 — — — 2,9 2,52 2,25  
два отверстия (одно 67,7 33 17,2 11,6 8,45 6,8 5,88 5 4,3 3,47 — — — 2,9 2,52 2,25  
против другого)

ТАБЛИЦА 22.17. ЗНАЧЕНИЯ  $\zeta_0$   
КОНИЧЕСКОГО КОЛЛЕКТОРА



$l/d_0$	Значения $\zeta_0$ при $\alpha$ , град						
	0	10	30	60	100	140	180
0,025	1	0,96	0,9	0,8	0,69	0,59	0,5
0,05	1	0,93	0,8	0,67	0,58	0,53	0,5
0,1	1	0,8	0,55	0,41	0,41	0,44	0,5
0,25	1	0,68	0,3	0,17	0,22	0,34	0,5
0,6	1	0,46	0,18	0,13	0,21	0,33	0,5
1	1	0,32	0,14	0,1	0,18	0,3	0,5

Примечание. В прямом канале с сеткой или решеткой  $F_{\text{отв}}$  — живое сечение сетки.

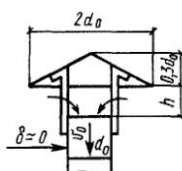
ТАБЛИЦА 22.19. ЗНАЧЕНИЯ  $\zeta_0$  СРЕДНЕГО ОТВЕРСТИЯ

$F_{\text{отв}}/F_1$	Значения $\zeta_{\text{отв}}$ (вход)					Значения $\zeta_1$ (проход)				
	при $Q_{\text{отв}}/Q_2$									
	0,1	0,2	0,3	0,4	0,5	0,1	0,2	0,3	0,4	0,5
0,1	0,8	1,3	1,4	1,4	1,4	0,1	-0,1	-0,8	-2,6	-6,6
0,2	-1,4	0,9	1,3	1,4	1,4	0,1	0,2	-0,01	-0,6	-2,1
0,4	-9,5	0,2	0,9	1,2	1,3	0,2	0,3	0,3	0,2	-0,2
0,6	-21,2	-2,5	0,3	1	1,2	0,2	0,3	0,4	0,4	0,3

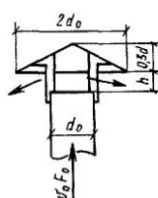
Примечание.  $\zeta_{\text{отв}}$  — относится к скорости в отверстии  $v_{\text{отв}}$ ;  $\zeta_1$  — к скорости в воздуховоде  $v_1$ .

ТАБЛИЦА 22.20. ЗНАЧЕНИЯ  $\zeta_0$  ПРИТОЧНЫХ И ВЫТЯЖНЫХ ШАХТ С ЗОНТОМ

Тип шахты	Значения $\zeta_0$ при $h/d_0$														
	0,1	0,2	0,25	0,3	0,35	0,4	0,5	0,6	0,63	0,7	0,8	0,86	0,9	1	
Приотчная	2,63	1,83	—	1,53	—	1,39	1,31	1,19	—	1,15	1,08	—	1,07	—	1,05



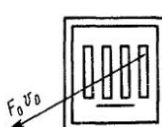
Вытяжная 4 2,3 1,9 1,6 1,4 1,3 1,15 — 1,1 — — 1 — 1 —



Примечание. По серии 1.494-32 для приточных шахт с зонтом круглого и квадратного сечения  $\zeta_0 = 1,4$ , для прямоугольного сечения  $\zeta_0 = 1,25$ ; для вытяжных шахт с зонтом круглого и квадратного сечения  $\zeta_0 = 1,3$ , для прямоугольного сечения  $\zeta_0 = 1,15$ , для дефлекторов  $\zeta_0 = 0,64$ .

ТАБЛИЦА 22.21. ЗНАЧЕНИЯ  $\zeta_0$  РЕШЕТКИ ЩЕЛЕВОЙ ТИПА Р И ЦИЛИНДРИЧЕСКОЙ ТРУБЫ

Элемент системы	Эскиз	$\eta_0$
Решетка щелевая типа Р (серия 1.494-10)		2,0



Продолжение табл. 22.21

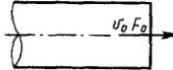
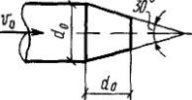
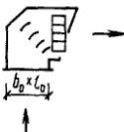
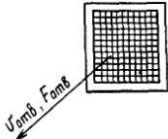
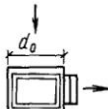
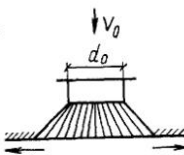
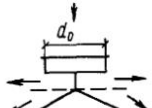
Элемент системы	Эскиз	$\eta_0$
Цилиндрическая труба		1,1
Цилиндрическая труба с конфузором		4,5

ТАБЛИЦА 22.22. ЗНАЧЕНИЯ  $\zeta_0$  ВОЗДУХОРАСПРЕДЕЛИТЕЛЕЙ РАЗЛИЧНЫХ ТИПОВ

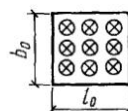
Тип воздухораспределителя	Эскиз	$\zeta_0$
Воздухораспределитель для подачи воздуха компактной струей типа ВГК (серия 4.904-68)		1,9
Решетка, сетка, перфорация, отверстия с параллельными направляющими лопатками		1,8
Воздухораспределитель приколонный регулируемого типа НРВ (серия 4.904-37)		3
Воздухораспределитель перфорированный круглый типа ВПК (серия 5.904-6)		2,4
Воздухораспределитель двухструйный шестидиффузорный прямоугольного сечения типа ВДШп (серия 4.904-29 и I.494-29)		1,3
Воздухораспределитель для сосредоточенной подачи воздуха типа ВСП (серия 5.904-18)		2,5
Воздухораспределитель регулируемого типа ВР (серия 5.904-21)		1,5–1,7

## Тип воздухораспределителя

## Эскиз

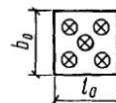
 $\zeta_0$ 

Воздухораспределитель эжекционный панельный штампованный типа п-ВЭПш (серия 1.904-38)



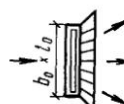
330

Устройство для напольной раздачи воздуха типа УВН (серия 5.904-36)



650

Решетка вентиляционная унифицированная типа РВ



1,3–2,4

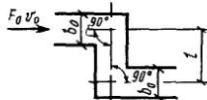
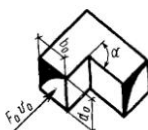
Воздухораспределитель вихревой регулируемый типа ВВР (серия 5.904-40)



1,2–2,3

ТАБЛИЦА 22.23. ЗНАЧЕНИЯ  $\zeta_0$  КОЛЕНА С ОСТРЫМИ КРОМКАМИ, Z-ОБРАЗНОГО 90 И 30° КВАДРАТНОГО И КРУГЛОГО СЕЧЕНИЯ

Колено с острыми кромками	Колено z-образное 90
---------------------------	----------------------

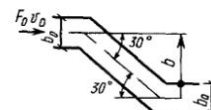


$\alpha$ , град	$\zeta_0$	$l/b_0$	$\zeta_0$	$l/b_0$	$\zeta_0$
0	0	0	0	2,4	3,65
20	0,13	0,4	0,62	2,8	3,3
30	0,16	0,6	0,9	3,2	3,2
45	0,32	0,8	1,61	4	3,8
60	0,56	1	2,63	5	2,92
75	0,81	1,2	3,61	6	2,8
90	1,2	1,4	4,01	7	2,7
110	1,9	1,6	4,18	9	2,6
130	2,6	1,8	4,22	10	2,45
150	3,2	2	4,18	15 и более	2,3
180	3,6				

Продолжение табл 22.23

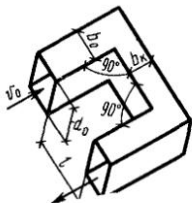
$\alpha$ , град	$\zeta_0$	Колено с острыми кромками			Колено z-образное 90°		
		$l/b_0$	$\zeta_0$	$l/b_0$	$\zeta_0$	$l/b_0$	$\zeta_0$

Примечания. 1. Для колена z-образного 30°  $\zeta_0 = 0,16$  при  $l/b_0 = 15$ . 2. Для колена прямоугольного



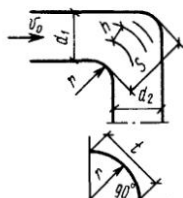
сечения значение  $\zeta_0$  следует умножить на величину с:

$d_0/b_0$	0,25	0,5	0,75	1	1,5	2
$c$	1,1	1,07	1,04	1	0,95	0,9
$d_0/b_0$	3	4	5	6	7	8
$c$	0,83	0,78	0,75	0,72	0,71	0,7

ТАБЛИЦА 22.24. ЗНАЧЕНИЯ  $\zeta_0$  КОЛЕНА П-ОБРАЗНОГО 90°

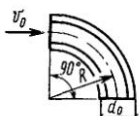
$b_k/b_0$	Значения $\zeta_0$ при $l/b_0$											
	0	0,2	0,4	0,6	0,8	1	1,2	1,4	1,6	1,8	2	2,4
0,5	7,9	6,9	6,1	5,4	4,7	4,3	4,2	4,3	4,44	4,6	4,8	5,3
0,73	4,5	3,6	2,9	2,5	2,4	2,3	2,3	2,3	2,4	2,6	2,7	3,2
1	3,6	2,5	1,8	1,4	1,3	1,2	1,2	1,3	1,4	1,5	1,6	2,3
2	3,9	2,4	1,5	1	0,8	0,7	0,7	0,6	0,6	0,6	0,6	0,7

Примечание. При прямоугольном сечении значение  $\zeta_0$  следует умножить на величину  $c$  (см. стр. 216).

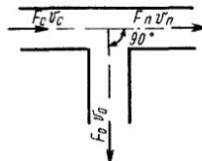
ТАБЛИЦА 22.25. ЗНАЧЕНИЯ  $\zeta_0$  КОЛЕНА 90° С НАПРАВЛЯЮЩИМИ ЛОПАТКАМИ  
 $t = 0,2 - 0,5 d$ ,  $r = 0,14 - 0,35 d$ 

$r/d_1$	0	0,1	0,24	0,3
$\zeta_0$	0,4	0,35	0,2	0,2

Примечание.  $d_k = 0,67 \frac{S}{n+1} \left(1 + \frac{k-1}{n}\right)$ , где  $k$ —порядковый номер лопатки;  $n = 1,4$  ( $S/t$ )—общее число лопаток,  $t$ —длина лопатки.

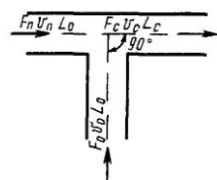
ТАБЛИЦА 22.26 ЗНАЧЕНИЯ  $\zeta_0$  ОТВОДА 90° ШТАМПОВАННОГО КРУГЛОГО СЕЧЕНИЯ

$R/d$	1	1,5	2
$\zeta_0$	0,21	0,17	0,15

ТАБЛИЦА 22.27 ЗНАЧЕНИЯ  $\zeta_0$  И  $\zeta_n$  ТРОЙНИКА ПРЯМОГО 90° ПРИТОЧНОГО ПРЯМОУГОЛЬНОГО СЕЧЕНИЯ

$v_0/v_c$	$F_n = F_c$		$v_n/v_c$	Значения $\zeta_0$ и $\zeta_n$	
	$\zeta_0$	$\zeta_n$		$\zeta_0$	$\zeta_n$
0,4	9,4	0,4	0,4	Определяется по формуле	4,4
0,5	6,2	0	0,5		2,0
0,6	4,2	-0,1	0,6	$\zeta_0 = (v_c/v_0)^2$	0,8
0,8	2,3	-0,1	0,8		0,1
1	1,6	0	1		0
1,2	1,2		1,2		0,1
1,4	1		1,4		0,2
1,6	0,8		1,6		0,4
1,8	0,7		1,8		0,6
2	0,7		2,0		0,8
2,2	0,7				
2,4	0,7				

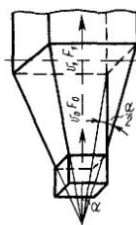
Примечание. Коэффициент местного сопротивления тройника штангообразного определяется так же, как для бокового отверстия прямого тройника, крестовины — как для прямого тройника.

ТАБЛИЦА 22.28 ЗНАЧЕНИЯ  $\zeta_0$  И  $\zeta_n$  ТРОЙНИКА ПРЯМОГО 90° ВЫТЯЖНОГО ПРЯМОУГОЛЬНОГО СЕЧЕНИЯ  $F_n = F_c$ 

$F_0/F_n$	Значения $\zeta_0$ (в чисителе) и $\zeta_n$ (в знаменателе) при $L_0/L_c$									
	0,1	0,2	0,3	0,4	0,5	0,6	0,7	0,8	0,9	1
0,1	0,3	0,9	1	1	1	1	1	1	1	1
	0,2	0,5	0,9	1,5	2,5	4,4	8,4	20	82	—
0,2	— 1,7	0,6	1	1	1	1	1	1	1	1
	0,2	0,4	0,8	1,3	2,1	3,7	7,1	16,7	69	—
0,4	— 2,4	— 0,6	0,7	—	1,1	1,1	1,1	1,1	1,1	1,1
	0,2	0,4	0,6	1	1,6	2,8	5,2	12,3	51	—
0,6	— 21	— 2,7	0,1	0,9	1,1	1,	1,2	1,2	1,2	1,2
	0,2	0,4	0,6	0,8	1,3	2,2	4,1	9,5	39	—
0,8	— 37	— 5,5	— 0,7	0,6	1,1	1,2	1,3	1,3	1,2	1,2
	0,8	0,4	0,5	0,7	1,1	1,8	3,3	7,6	31	—
1	— 50	— 8,8	— 1,7	0,3	1,1	1,3	1,3	1,3	1,3	1,3
	0,3	0,4	0,5	0,7	1	1,6	2,8	6,3	2,5	—

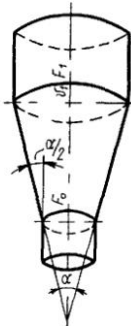
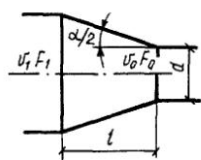
ТАБЛИЦА 22.29 ЗНАЧЕНИЯ  $\zeta_0$  ДИФФУЗОРОВ ПИРАМИДАЛЬНЫХ И КОНИЧЕСКИХ В СИТИ

Тип диффузора	$F_0/F_1$	Значения $\zeta_0$ при $\alpha$ , град									
		10	12	14	16	18	20	24	28	30	40
Пирамидальный	0,2	0,14	0,17	0,2	0,24	0,28	0,31	0,4	0,49	—	0,59
	0,25	0,13	0,16	0,18	0,21	0,24	0,27	0,35	0,43	—	0,52
	0,3	0,11	0,13	0,16	0,19	0,22	0,24	0,31	0,38	—	0,46
	0,4	0,09	0,1	0,12	0,14	0,16	0,18	0,23	0,28	—	0,34
	0,5	0,07	0,08	0,09	0,1	0,12	0,13	0,17	0,2	—	0,24
	0,6	0,05	0,06	0,07	0,07	0,08	0,09	0,11	0,14	—	0,16

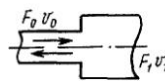


Продолжение табл. 22.29

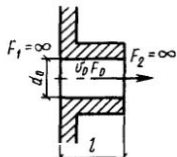
Тип диффузора	$F_0/F_1$	Значения $\zeta_0$ при $\alpha$ , град										
		10	12	14	16	18	20	24	28	30	40	
Конический	0,2	0,12	0,14	0,17	0,19	—	0,25	0,32	—	0,43	—	0,61
	0,25	0,1	0,12	0,15	0,17	—	0,22	0,28	—	0,37	—	0,49
	0,3	0,09	0,11	0,13	0,15	—	0,2	0,25	—	0,33	—	0,42
	0,4	0,08	0,09	0,1	0,12	—	0,15	0,19	—	0,25	—	0,35
	0,5	0,06	0,07	0,08	0,09	—	0,11	0,14	—	0,18	—	0,25
	0,6	0,05	0,05	0,06	0,07	—	0,08	0,1	—	0,12	—	0,17

ТАБЛИЦА 22.30. ЗНАЧЕНИЯ  $\zeta_0$  КОНФУЗОРА В СЕТИ(ПРИ ПРЯМОУГОЛЬНОМ СЕЧЕНИИ  $d = \frac{2ab}{a+b}$ )

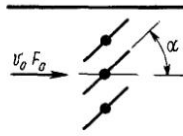
$l/d$	Значения $\zeta_0$ при $\alpha$ , град			
	10	20	30	40
0,1	0,41	0,34	0,27	0,24
0,15	0,39	0,29	0,22	0,18
0,6	0,29	0,2	0,15	0,13
Свыше 0,6	$\zeta_0 = 0,1$			

ТАБЛИЦА 22.31. ЗНАЧЕНИЯ  $\zeta_0$  ИЗМЕНЕНИЯ ПОПЕРЕЧНОГО СЕЧЕНИЯ

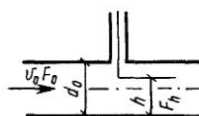
$F_0/F_1$	Значения $\zeta_0$ при внезапном изменении сечения потока	
	расширении	сужении
0	0	0,5
0,1	0,81	0,45
0,2	0,64	0,4
0,3	0,5	0,35
0,4	0,36	0,3
0,5	0,25	0,25
0,6	0,16	0,2
0,7	0,09	0,15
0,8	0,04	0,1
1	0	0

ТАБЛИЦА 22.32. ЗНАЧЕНИЯ  $\zeta_0$  ОТВЕРСТИЯ С УТОЛЩЕННЫМИ КРАЯМИ

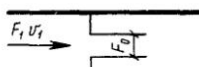
$l/d_0$	0	0,2	0,4	0,6	0,8	1	1,2	1,4	1,6	1,8	2	4
$\zeta_0$	2,89	2,72	2,6	2,34	1,95	1,76	1,68	1,63	1,61	1,55	1,56	1,56

ТАБЛИЦА 22.33. ЗНАЧЕНИЯ  $\zeta_0$  ДРОССЕЛЬ-КЛАПАНА

Количество сгворок $n$	Значения $\zeta_0$ при $\alpha$ , град									
	0	10	20	30	40	50	60	70	80	90
1	0,04	0,3	1,1	2,5	8	20	60	200	1500	6000
2	0,07	0,4	1,1	2,5	5,5	12	30	90	160	7000
3	0,12	0,12	0,8	2	5	10	19	40	160	7000
4	0,13	0,25	0,8	2	4	8	15	30	110	6000
5	0,15	0,2	0,7	1,8	3,5	7	19	28	80	5000

ТАБЛИЦА 22.34. ЗНАЧЕНИЯ  $\zeta_0$  ШИБЕРА  
(ПРИ ПРЯМОУГОЛЬНОМ СЕЧЕНИИ  $d = \frac{2ab}{a+b}$ )

$h/d_0$	$F_h/F_0$	Значения $\zeta_0$ для воздухово-дов	
		круглых	прямоуголь-ных
0	0	$\infty$	$\infty$
0,1	—	—	193
0,2	0,25	35	44,5
0,3	0,38	10	17,8
0,4	0,5	4,6	8,12
0,5	0,61	2,06	4,02
0,6	0,71	0,98	2,08
0,7	0,81	0,44	0,95
0,8	0,9	0,17	0,39
0,9	0,96	0,06	0,09
1	1	0	0

ТАБЛИЦА 22.35. ЗНАЧЕНИЯ  $\zeta_0$  ДИАФРАГМЫ НА ПРЯМОМ УЧАСТКЕ

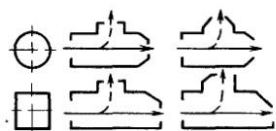
$F_0/F_1$	0,5	0,55	0,6	0,65	0,7	0,75	0,8	0,85	0,9	0,95	1
$\zeta_1$	3,75	2,89	1,9	1,41	0,93	0,69	0,41	0,25	0,13	0,05	0

ТАБЛИЦА 22.36. ЗНАЧЕНИЯ  $\zeta$  УЗЛОВ ОТВЕТВЛЕНИЯ КРУГЛОГО СЕЧЕНИЯ В РЕЖИМЕ НАГНЕТАНИЯ

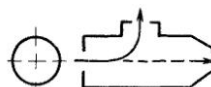
$L_0/L_c$	Значения $\zeta_0$ при $f_0/f_c$							
	0,65	0,6	0,5	0,4	0,3	0,25	0,2	0,1
0,05	—	—	—	—	29,5	19,8	12,0	2,5
0,1	—	—	19,8	12,0	6,2	4,1	2,5	0,7
0,2	7,5	6,2	4,1	2,5	1,3	0,95	0,7	0,5
0,3	3,0	2,5	1,7	1,1	0,7	0,6	0,55	0,45
0,4	1,65	1,4	0,95	0,7	0,6	0,55	0,55	—
0,5	1,05	0,9	0,7	0,6	0,55	0,55	0,45	—
0,6	0,8	0,7	0,6	0,5	0,5	0,5	0,45	—
0,7	0,65	0,6	0,55	0,5	0,5	0,45	—	—
0,8	0,55	0,55	0,5	0,55	—	—	—	—
0,9	0,5	0,5	0,5	—	—	—	—	—
0,95	0,5	0,5	—	—	—	—	—	—

ТАБЛИЦА 22.37. ЗНАЧЕНИЯ  $\zeta$  УЗЛОВ ОТВЕТВЛЕНИЯ КРУГЛОГО И ПРЯМОУГОЛЬНОГО СЕЧЕНИЙ В РЕЖИМЕ НАГНЕТАНИЯ

Проход



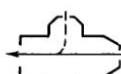
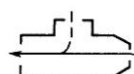
Ответвление



$L_0/L_c$	Значения $\zeta$ при $f_b/f_c$					Значения $\zeta$ при $f_0/f_c$							
	1,0	0,8	0,65	0,6	0,5	0,65	0,6	0,5	0,4	0,3	0,25	0,2	0,1
0,05	0,2	0,25	0,3	0,3	0,3	—	—	94,7	59,9	33,1	22,6	14,2	3,4
0,1	0,15	0,2	0,3	0,3	0,3	—	—	22,6	14,2	7,8	5,35	3,4	1,0
0,2	0,15	0,2	0,25	0,25	0,3	9,2	7,8	5,4	3,4	2,0	1,4	1,0	0,55
0,3	0,15	0,2	0,25	0,25	0,3	4	3,4	2,4	1,6	1,0	0,8	0,65	0,55
0,4	0,2	0,25	0,3	0,3	0,3	2,25	1,9	1,4	1,0	0,7	0,6	0,55	0,5
0,5	0,3	0,4	0,4	0,4	0,35	1,5	1,3	1,0	0,75	0,6	0,55	0,55	—
0,6	0,75	0,7	0,6	0,6	0,55	1,1	1,0	0,8	0,65	0,55	0,55	0,5	—
0,7	2,0	1,55	1,25	1,1	0,9	0,9	0,8	0,7	0,6	0,5	0,5	0,5	—
0,8	—	4,5	3,3	2,9	2,2	0,8	0,7	0,6	0,55	0,5	0,5	0,5	—
0,9	—	—	—	—	10,0	0,7	0,65	0,55	0,5	—	—	—	—
0,95	—	—	—	—	—	0,65	0,6	0,55	0,5	—	—	—	—

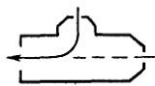
ТАБЛИЦА 22.38. ЗНАЧЕНИЯ  $\zeta$  УЗЛОВ ОТВЕТВЛЕНИЯ

		Проход								Ответвление			
$f_n/f_c$	$l_0/l_c$	Значения $\zeta$ при $f_0/f_c$											
		0,65	0,6	0,5	0,4	0,3	0,25	0,2	0,1	0,65	0,6	0,5	0,4
1	0,05	—	—	—	—	—	—	0,1	0,1	—	—	—	—
	0,1	—	—	—	0,15	0,2	0,2	0,2	0,2	—	—	—	—4,8
	0,2	—	0,2	0,2	0,25	0,3	0,3	0,35	0,45	—	1,35	-0,17	0,73
	0,3	0,35	0,35	0,4	0,45	0,5	0,6	0,6	0,9	0,47	0,73	1,11	1,39
	0,4	0,55	0,55	0,6	0,7	0,8	1	1,1	—	1,32	1,3	1,39	1,42
	0,5	0,75	0,8	1	1,15	1,5	—	—	—	1,35	1,4	1,42	1,38
	0,6	1,2	1,3	1,6	2	—	—	—	—	1,41	1,42	1,39	1,29
0,8	0,1	—	—	—	—	0,2	0,25	0,25	0,3	—	—	—	—
	0,2	—	—	0,3	0,3	0,3	0,35	0,4	0,55	—	—	-0,26	0,68
	0,3	0,35	0,35	0,4	0,4	0,5	0,55	0,6	1	0,33	0,68	1,03	1,33
	0,4	0,5	0,5	0,6	0,7	0,8	0,9	1,0	1,7	1,19	1,26	1,37	1,34
	0,5	0,75	0,8	0,9	1,1	1,3	1,5	1,8	3,1	1,32	1,37	1,34	1,34
	0,6	1,1	1,2	1,4	1,8	2,3	2,7	3,3	6,1	1,35	1,34	1,34	1,25
0,65	0,2	—	—	0,25	0,25	0,3	0,35	0,4	0,5	—	—	-0,97	0,32
	0,3	0,35	0,35	0,35	0,4	0,45	0,5	0,55	0,85	0,0	0,32	0,89	1,24
	0,4	0,4	0,45	0,5	0,55	0,7	0,8	0,9	1,4	0,98	1,12	1,32	1,39
	0,5	0,6	0,65	0,75	0,85	1,1	1,3	1,5	2,6	1,28	1,34	1,39	1,34
	0,6	0,9	1,0	1,2	1,5	1,9	2,2	2,7	5,0	1,35	1,39	1,35	1,29
	0,7	1,5	1,75	2,2	2,8	3,8	4,5	5,5	10,0	1,38	1,4	1,35	1,19
	0,8	—	—	0,25	0,25	0,3	0,35	0,35	0,45	—	-3,61	-1,5	0,12
0,6	0,2	—	0,25	0,25	0,25	0,3	0,35	0,35	0,45	—	-0,57	0,12	0,61
	0,3	0,3	0,3	0,3	0,3	0,4	0,45	0,5	0,75	—	-0,57	0,12	0,61
	0,4	0,4	0,4	0,5	0,5	0,65	0,7	0,8	1,3	0,74	0,94	1,24	1,36
	0,5	0,6	0,6	0,7	0,8	1,0	1,2	1,4	2,4	1,15	1,3	1,36	1,34
	0,6	0,85	0,9	1,1	1,4	1,8	2,1	2,5	4,5	1,29	1,36	1,35	1,27
	0,7	1,45	1,6	2,0	2,6	3,4	4,0	5,0	9,5	1,38	1,4	1,3	1,19
	0,8	3,1	3,5	4,7	6,1	8,4	9,3	12,8	25,2	1,39	1,33	1,25	1,1
0,5	0,2	0,2	0,2	0,2	0,25	0,25	0,3	0,3	0,4	-	7,49	-6,04	-3,12
	0,3	0,25	0,3	0,3	0,3	0,35	0,4	0,4	0,6	-	1,7	-0,91	0,11
	0,4	0,35	0,4	0,4	0,45	0,55	0,6	0,65	1,0	0,26	0,56	0,99	1,24
	0,5	0,5	0,5	0,6	0,7	0,8	0,95	1,1	1,9	0,92	1,04	1,24	1,3
	0,6	0,75	0,8	0,9	1,15	1,4	1,7	2,0	3,5	1,17	1,24	1,3	1,26
	0,7	1,2	1,3	1,6	2,1	2,7	3,2	3,9	7,4	1,38	1,32	1,28	1,18
	0,8	2,6	2,9	3,7	4,9	6,7	8,0	10,0	19,5	1,34	1,3	1,23	1,1



## КРУГЛОГО СЕЧЕНИЯ В РЕЖИМЕ ВСАСЫВАНИЯ

Ответвление

Значения  $\zeta$  при  $f_0/f_c$ 

0,3	0,25	0,2	0,1	0,65	0,6	0,5	0,4	0,3	0,25	0,2	0,1
—	—	—	—	—	—	—	—	—	—	—	—
1,35	— 0,17	0,73	1,42	—	—	—	— 9,8	— 5,9	— 4,2	— 2,8	— 0,7
1,35	1,39	1,42	1,12	—	— 4,1	— 2,9	— 1,8	0,9	— 0,6	— 0,3	0
1,42	1,39	1,29	0,23	— 1,6	— 1,3	— 0,8	— 0,4	0,0	0	0,1	0,2
1,35	1,26	1,12	—	— 0,45	— 0,3	— 0,1	0,1	0,2	0,3	0,3	—
1,24	—	—	—	0,05	0,1	0,2	0,3	0,4	—	—	—
—	—	—	—	0,25	0,3	0,4	0,5	—	—	—	—
— 1,62	— 0,26	0,68	1,34	—	—	—	—	— 5,3	— 3,8	— 2,5	— 0,6
1,26	1,37	1,34	1,07	—	—	—	— 2,5	— 1,5	— 0,8	— 0,4	— 0,2
1,34	1,35	1,25	0,76	— 1,35	— 1,1	— 0,6	— 0,2	0	0,2	0,2	0,25
1,32	1,25	1,07	—	0,35	— 0,2	0	0,2	0,3	0,35	0,35	0,3
1,24	1,07	0,91	—	0,1	0,2	0,3	0,4	0,45	0,4	0,4	0,3
1,07	0,94	0,76	—	0,35	0,4	0,5	0,5	0,55	0,5	0,5	0,35
1,12	1,32	1,39	1,09	—	—	— 2,3	— 1,35	— 0,6	— 0,35	— 0,1	0,2
1,39	1,35	1,29	0,77	— 1,2	— 0,95	— 0,45	— 0,05	0,15	0,25	0,35	0,35
1,32	1,25	1,09	—	— 0,2	— 0,05	0,1	0,3	0,45	0,45	0,5	0,35
1,23	1,09	0,92	—	0,15	0,25	0,4	0,5	0,55	0,55	0,55	0,4
1,09	0,95	0,77	—	0,4	0,45	0,5	0,6	0,65	0,6	0,6	0,4
0,98	0,83	—	—	0,5	0,6	0,65	0,7	0,7	0,65	0,6	0,4
0,94	1,24	1,36	1,1	—	— 3,3	— 2,2	— 1,3	— 0,6	— 0,35	— 0,05	0,2
1,36	1,35	1,27	0,77	— 1,15	— 0,9	— 0,4	0	0,2	0,3	0,35	0,3
1,32	1,25	1,1	—	— 0,15	0,0	0,1	0,3	0,5	0,5	0,5	0,3
1,23	1,1	0,92	—	0,2	0,3	0,4	0,5	0,6	0,6	0,55	0,4
1,1	0,95	0,77	—	0,45	0,55	0,6	0,65	0,65	0,65	0,6	0,4
0,98	0,84	—	—	0,55	0,6	0,65	0,75	0,7	0,65	0,6	0,4
0,88	—	—	—	0,65	0,7	0,75	0,75	0,7	0,65	0,6	0,4
0,56	0,99	1,24	1,1	— 3,55	— 3,0	— 2,0	— 1,1	— 0,4	— 0,15	0,1	0,3
1,24	1,3	1,26	0,79	— 1	— 0,8	— 0,3	0,0	0,3	0,4	0,45	0,45
1,29	1,23	1,1	—	— 0,15	0	0,2	0,4	0,55	0,55	0,55	0,45
1,22	1,1	0,94	—	0,25	0,3	0,45	0,6	0,65	0,65	0,65	0,45
1,1	0,98	0,79	—	0,45	0,55	0,6	0,65	0,7	0,7	0,65	0,45
1,0	0,85	—	—	0,55	0,6	0,7	0,7	0,7	0,7	0,65	0,45
0,89	—	—	—	0,65	0,7	0,75	0,75	0,75	0,75	0,7	0,5

ГАБЛИНА 22.39 ЗНАЧЕНИЯ УЗЛОВ ОТВЕТВЛЕНИЯ ПРЯМОУГОЛЬНОГО СЕЧЕНИЯ В РЕЖИМЕ НАГНЕТАНИЯ

ТАБЛИЦА 22-40 ЗНАЧЕНИЯ УЗЛОВ ОБЕСПЕЧЕНИЯ ПРЯМОУГОЛЬНОГО СЕЧЕНИЯ В РЕЖИМЕ ВСАСЫВАНИЯ



ТАБЛИЦА 22.41. ЗНАЧЕНИЯ  $\zeta$  УЗЛОВ ОТВЕТВЛЕНИЯ ПРЯМОУГОЛЬНОГО СЕЧЕНИЯ С ВРЕЗКОЙ ПЕРЕХОДА В ЗАГЛУШКУ В РЕЖИМЕ ВСАСЫВАНИЯ

$f_n/f_c$	$f_0/f_c$	Проход					Ответвление				
		Значения $\zeta$ при $L_0/L_c$									
		0,9	0,8	0,7	0,6	0,5	0,9	0,8	0,7	0,6	0,5
0,5	0,6	—	—	4,2	2,2	1,45	—	—	0,65	0,45	-0,15
	0,5	—	—	—	1,55	1,0	—	—	0,55	0,5	0,25
0,4	0,7	—	5,85	2,55	1,6	—	—	0,75	0,5	0,00	-1,2
	0,6	—	—	1,75	1,1	0,85	—	—	0,5	0,15	-0,6
0,35	0,7	—	2,75	1,45	1,1	—	—	0,7	0,45	-0,15	-1,5
	0,6	—	—	0,8	0,65	0,65	—	0,55	0,4	0,0	-0,85
0,3	0,8	—	1,4	1,15	—	—	0,9	0,75	0,35	-0,55	-2,5
	0,7	—	0,35	0,55	0,70	—	—	0,6	0,35	-0,3	-1,75
0,25	0,8	-6,65	-0,6	0,45	—	—	0,9	0,7	0,25	-0,75	-2,85
	0,7	—	-1,3	0,00	0,45	—	—	0,55	0,25	-0,5	-2,00
0,2	0,8	-12,00	-1,6	0,13	—	—	0,85	0,65	0,15	-0,95	-3,2

ТАБЛИЦА 22.42. ЗНАЧЕНИЯ  $\zeta$  УЗЛОВ ОТВЕТВЛЕНИЯ ПРЯМОУГОЛЬНОГО СЕЧЕНИЯ С ВРЕЗКОЙ ПЕРЕХОДА В ЗАГЛУШКУ В РЕЖИМЕ НАГНЕТАНИЯ

$L_0/L_c$	Проход					Ответвление						
	Значения $\zeta$ при $f_n/f_c$											
	0,5	0,45	0,4	0,35	0,3	0,25	0,2	0,9	0,8	0,7	0,6	0,5
0,5	0,46	0,4	0,4	0,4	0,4	0,4	0,45	2,00	1,5	1,10	0,80	0,55
0,6	0,65	0,60	0,55	0,5	0,5	0,5	0,5	1,25	0,95	0,75	0,55	0,40
0,7	1,1	0,95	0,85	0,75	0,7	0,6	0,6	0,90	0,70	0,55	0,45	0,35
0,8	2,5	2,1	1,8	1,5	1,3	1,0	0,9	0,70	0,55	0,45	0,40	0,35
0,9	11,0	8,9	7,5	6,0	4,7	3,5	2,5	0,55	0,45	0,40	0,35	0,30

ТАБЛИЦА 22.43. ЗНАЧЕНИЯ  $\zeta$  ОТВОДОВ ПРЯМОУГОЛЬНОГО СЕЧЕНИЯ

<i>b</i>	Значения $\zeta$ при <i>h</i> , равном											
	100	150	250	300	400	500	600	800	1000	1250	1600	2000
100	0,08											
	0,06											
150	0,18	0,16	0,14	0,13								
	0,13	0,11	0,1	0,09								
250	0,28	0,25	0,24	0,22	0,21							
	0,2	0,18	0,17	0,16	0,15							
300	0,36	0,32										
	0,26	0,23										
400	0,41		0,37	0,35	0,33	0,31						
	0,29		0,26	0,25	0,24	0,22						
500	0,51		0,45	0,43	0,41	0,38	0,36					
	0,36		0,32	0,3	0,29	0,27	0,26					
600			0,53	0,5	0,48	0,44	0,42	0,4				
			0,37	0,35	0,34	0,31	0,3	0,28				
800			0,65	0,62	0,59	0,55	0,52	0,5	0,46			
			0,46	0,44	0,42	0,39	0,37	0,35	0,33			
1000				0,72	0,68	0,64	0,6	0,58	0,54	0,51		
				0,51	0,48	0,45	0,43	0,41	0,38	0,36		
1250					0,76	0,71	0,57	0,64	0,6	0,57		
					0,54	0,5	0,48	0,45	0,42	0,4		
1600						0,83	0,78	0,75	0,7	0,66		
						0,59	0,55	0,53	0,49	0,47		
2000							0,87	0,83	0,78			
							0,62	0,59	0,55			

Примечание. В числителе приведен коэффициент сопротивления отводов с углом 90°, в знаменателе – с углом 45°.

ТАБЛИЦА 22.44. ПОПРАВОЧНЫЕ КОЭФФИЦИЕНТЫ  $K_1$  И  $K_2$  НА ПОТЕРИ ДАВЛЕНИЯ, УЧИТЫВАЮЩИЕ ТЕМПЕРАТУРУ ПЕРЕМЕШАЕМОГО ВОЗДУХА

Temperatura vzduха <i>t</i> , °C	Поправочные коэффициенты на потери давления		Temperatura vzduха <i>t</i> , °C	Поправочные коэффициенты на потери давления	
	на трение <i>K</i> <sub>1</sub>	на местные сопро- тивления <i>K</i> <sub>2</sub>		на трение <i>K</i> <sub>1</sub>	на местные сопро- тивления <i>K</i> <sub>2</sub>
-30	1,15	1,2	60	0,91	0,88
-20	1,12	1,16	70	0,89	0,86
-10	1,09	1,11	80	0,87	0,83
0	1,05	1,07	90	0,85	0,81
10	1,02	1,03	100	0,83	0,79
20	1	1	125	0,8	0,74
30	0,98	0,97	150	0,77	0,7
40	0,95	0,94	175	0,74	0,66
50	0,93	0,91	200	0,7	0,62

## 22.4. РАСЧЕТ ПОТЕРЬ ДАВЛЕНИЯ В МЕСТНЫХ СОПРОТИВЛЕНИЯХ ВБЛИЗИ ВЕНТИЛЯТОРОВ\*

Потери давления в местных сопротивлениях, расположенных в непосредственной близости от вентилятора (на расстоянии до пяти диаметров  $5D_0$  от входного отверстия и трех гидравлических диаметров  $3D_r$  от выходного отверстия), определены по результатам совместных испытаний вентилятора с этим элементом. Таким образом учитывается взаимное влияние течений в элементе и в вентиляторе на величину потерь давления.

Гидравлический диаметр выходного отверстия вентилятора определяют по формуле

$$D_r = 4F_v/\Pi_v, \quad (22.8)$$

где  $F_v$ ,  $\Pi_v$  – площадь и периметр выходного отверстия вентилятора,  $\text{м}^2$ .

Потери давления в местных сопротивлениях вблизи вентилятора  $z$ , Па, рассчитывают по формуле

$$z = \Sigma \zeta p_{dv}, \quad (22.9)$$

где  $\Sigma \zeta$  – сумма коэффициентов местных сопротивлений вблизи входа и выхода вентилятора.

Динамическое давление вентилятора  $p_{dv}$ , Па, при заданном расходе воздуха определяют по выражению

$$p_{dv} = \frac{\rho}{2} \left( \frac{L}{F_v} \right)^2, \quad (22.10)$$

где  $\rho$  – плотность перемещаемого воздуха,  $\text{кг}/\text{м}^3$ ;  $L$  – расход воздуха в сети (производительность вентилятора),  $\text{м}^3/\text{ч}$ .

Величина  $\zeta$  зависит от вида местного сопротивления, его геометрических характеристик, аэродинамической схемы вентилятора, режима его работы.

Значения  $\zeta$  получены при фиксированном расходе воздуха для трех характерных режимов работы вентилятора: оптимального, соответствующего расходу  $L_{opt}$ ,  $\text{м}^3/\text{ч}$ , при максимальном КПД вентилятора  $\eta_{max}$ , и на границах рабочей области аэродинамической характеристики вентилятора, соответствующих  $0,9\eta_{max}$  при малых расходах  $L_1$  и больших расходах  $L_2$ . При промежуточном расположении рабо-

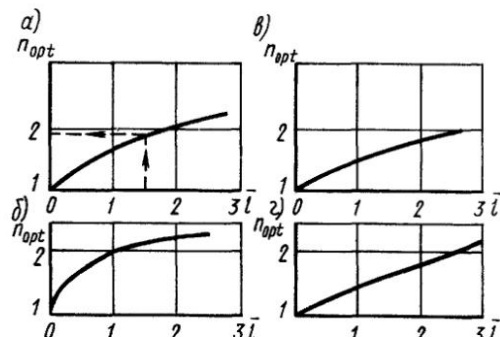


Рис. 22.4. Оптимальные геометрические характеристики пирамидальных диффузоров, размещенные на выходе радиальных вентиляторов с лопатками, загнутыми вперед (а), и с лопатками, загнутыми назад (б), плоских диффузоров, размещенных на выходе радиальных вентиляторов с лопатками, загнутыми вперед (в), и с лопатками, загнутыми назад (г)

чей точки на характеристике вентилятора величина  $\xi$  определяется интерполяцией.

Значения  $\zeta$  местных сопротивлений, размещенных перед входом радиальных вентиляторов с лопатками, загнутыми вперед и назад, приведены в табл. 22.45, местных сопротивлений, размещенных на выходе радиальных вентиляторов, – в табл. 22.46 и 22.47.

Местные сопротивления, усиливающие неравномерность воздушного потока перед вентилятором (прямоугольное колено или коробка, диффузор, тройник и т. п.), рекомендуется размещать не ближе  $5D_0$  от его входного отверстия.

Диффузор за вентилятором, с одной стороны, является местным сопротивлением, а с другой при выборе его оптимальной геометрии способствует повышению статического давления вентиляторной установки. Геометрия диффузора характеризуется безразмерной длиной  $\bar{T} = L/D_r$  и степенью расширения  $n$ , представляющей собой отношение площади выхода и диффузора  $F$  к площади выходного отверстия вентилятора;  $n = F/F_v$ . Выбор оптимальных геометрических параметров пирамидальных (рис. 22.4, а, б) и плоских (рис. 22.4, в, г) диффузоров гарантирует максимальное увеличение статического давления на заданной длине.

Рекомендуется за вентилятором сначала размещать диффузор с геометрическими параметрами, близкими к оптимальным, а затем другие местные сопротивления (табл. 22.47).

\* Материал подготовлен канд.техн.наук.  
Л. А. Бычковой.

ТАБЛИЦА 22.45 ЗНАЧЕНИЯ  $\zeta$  ОТВОДОВ, КОЛЕН, КОНФУЗОРОВ И ДИФФУЗОРОВ, РАЗМЕЩЕННЫХ ПЕРЕД ВХОДОМ РАДИАЛЬНОГО ВЕНТИЛЯТОРА

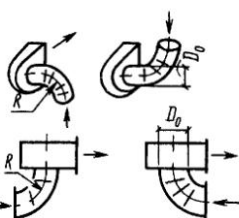
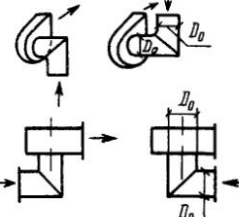
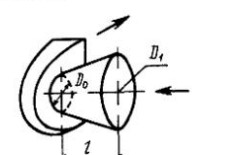
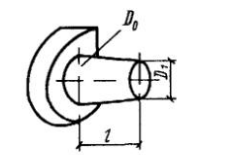
Фасонный элемент	Геометрическая характеристика фасонного элемента	Тип вентилятора	Значения $\zeta$ при расходах		
			$L_1$	$L_{opt}$	$L_2$
Отвод круглого сечения		Лопатки загнуты вперед	0,4	0,4	0,35
		$R = 1 - 1,5 D_0$			
		Лопатки загнуты назад	0,4	0,45	0,35
Колено с острыми кромками		Лопатки загнуты вперед	2	2	2
					
		Лопатки загнуты назад	1	1	1
Конфузор	$\bar{l} = l/D_0 = 1,5$ $n = (D_0/D_1)^2 = 0,4 - 0,7$	Лопатки загнуты вперед	0	0	0
					
	$\bar{l} = l/D_0 = 1;$ $n = (D_0/D_1)^2 = 0,7,$ $\bar{l} = 1,2; n = 0,5;$ $\bar{l} = 1,4; n = 0,4$	Лопатки загнуты назад	0,7	0,3	0,2
			0,8	0,4	0,3
			0,5	0,1	0,1
Диффузор	$n = (D_0/D_1)^2 = 1,5$		0	0,2	0,2
	$\bar{l} = l/D_0 = 0,5$ $n = 2$		0,5	0,8	0,7
					
	$\bar{l} = 0,8$ $n = 1,5$ $n = 2$	Лопатки загнуты вперед	0,1	0,15	0,1
			0,3	0,3	0,2
	$\bar{l} = 1,5$ $n = 1,5$ $n = 2$		0,2	0,2	0,15
			0,7	0,5	0,7
	$\bar{l} = 0,8$ $n = 1$ $n = 2$		0,5	0,5	0,5
			0,5	0,8	0,8
	$\bar{l} = 1,4$ $n = 1,5$ $n = 2$	Лопатки загнуты назад	0,2	0,3	0,3
			0,2	0,2	0,7

ТАБЛИЦА 22.46 ЗНАЧЕНИЯ  $\zeta$  ДИФФУЗОРОВ, РАЗМЕЩЕННЫХ НА ВЫХОДЕ РАДИАЛЬНОГО ВЕНТИЛЯТОРА

Фасонный элемент	Характеристика диффузора		Тип вентилятора	Значения $\zeta$ при расходах		
	$t = l/D_r$	$n = F/F_0$		$L_1$	$L_{opt}$	$L_2$
Пирамидальный диффузор	1	1,5 2	1,5 2 2,5	0,4 0,75	0,2 0,7	0,2 0,5
			Лопатки загнуты вперед	0,3 0,55 0,8	0,1 0,35 0,5	0,15 0,35 0,55
	2,5	2 2,5 3		0,35 0,4 0,55	0,1 0,3 0,3	0,1 0,3 0,45
	1	1,5 2 2,5	Лопатки загнуты назад	1,1 1,25 1,5	0,25 0,2 0,6	0,1 0,15 0,7
	1,5	1,5 2 2,5		1,1 1,25 1,5	0,15 0,2 0,45	0,15 0,15 0,2
Плоский диффузор	1	1,2 1,5 1,8	1,2 1,5 1,8 2	0,2 0,3 0,45	0,1 0,2 0,5	0,1 0,35 0,6
			Лопатки загнуты вперед	0,1 0,2 0,22 0,25	0,05 0,1 0,2 0,35	0,1 0,2 0,35 0,55
	2,5	1,5 2 2,5		0,1 0,15 0,3	0,1 0,15 0,4	0,1 0,35 0,6
	1	1,2 1,5 1,8	1,2 1,5 1,8 2	1 1 1,2	0,05 0,15 0,45	0,1 0,2 0,6
	1,5	1,2 1,5 1,8 2	Лопатки загнуты назад	1 1 1,2 1,2	0,05 0,2 0,3 0,4	0,15 0,2 0,35 0,45
	2,5	1,5 2 2,5		1 1,2 1,2	0,15 0,15 0,4	0,1 0,25 0,45

ТАБЛИЦА 22.47. ЗНАЧЕНИЯ  $\zeta$  ОТВОДОВ, ДИФФУЗОРОВ, ПЕРЕХОДНИКОВ И СОСТАВНЫХ ЭЛЕМЕНТОВ, РАЗМЕЩЕННЫХ НА ВЫХОДЕ РАДИАЛЬНОГО ВЕНТИЛЯТОРА

Фасонный элемент	Геометрическая характеристика фасонного элемента	Тип вентилятора	Значения $\zeta$ при расходах		
			$L_1$	$L_{opt}$	$L_2$
Отвод квадратного (прямоугольного) сечения	$R = (1 - 1,5) D_r$	Лопатки вперед загнуты	0,2	0,3	0,3
			0,6	0,2	0,3
Диффузор с отводом квадратного сечения	Диффузор: $n = F/F_v = 2$ ; $\alpha = 14^\circ$ .	Лопатки загнуты вперед	0,4	0,2	0,2
			0,2	0,2	0,2
Переходник с квадратного (прямоугольного) на круглое сечение	—	Лопатки загнуты вперед	0,2	0,2	0,2
			0,1	0,1	0,1
Составные элементы	Диффузор: $l = l/D_r = 1 - 1,5$ ; $n = F/F_v = 1,5 - 2,6$ .	Лопатки загнуты назад	2	0,7	0,7
			Короб $H = H/D_r = 1 - 2$		
	Отвод $R = D_r$				

**Пример 22.2.** Определить коэффициент местного сопротивления  $\zeta$  и оптимальную степень расширения  $n$  при фиксированной безразмерной длине  $T = 1,5$  пирамидального диффузора за вентилятором ВЦ-14-46.

По рис. 22.4 для вентиляторов с лопатками, загнутыми вперед, находим, что длине  $T = 1,5$  соответствует оптимальная степень расширения  $n = 1,9$ . Коэффициент местного сопротивления  $\zeta$ , согласно табл. 22.46, составит: при оптимальном режиме 0,31, при малых расходах на левой границе рабочей области аэродинамической характеристики вентилятора  $\zeta = 0,5$ , при больших расходах на правой границе рабочей области  $\zeta = 0,31$ .

## 22.5. РАСЧЕТ ДИАФРАГМ ДЛЯ КРУГЛЫХ И ПРЯМОУГОЛЬНЫХ ВОЗДУХОВОДОВ

Размеры отверстий диафрагм в зависимости от диаметра круглых или сечения пря-

моугольных воздуховодов и требуемого коэффициента местного сопротивления приведены в табл. 22.48 и 22.49.

При расчете сечения диафрагм необходимо обеспечивать условие, чтобы потери давления в диафрагме при соответствующей скорости воздуха в воздуховоде были равны избыточному давлению, которое требуется погасить на данном ответвлении сети.

**Пример 22.3.** Подобрать размер отверстия диафрагмы для погашения избыточного давления  $p = 78,3$  Па в воздуховоде диаметром 400 мм при скорости воздуха в нем  $v = 10$  м/с.

По табл. 22.15 определяем скоростное давление  $p_c$  в воздуховоде, соответствующее скорости воздуха  $v = 10$  м/с:  $p_c = 60$  Па.

Вычисляем коэффициент местного сопротивления диафрагмы, необходимый для погашения давления 78,3 Па:

$$\zeta = p/p_c = 78,3/60 = 1,3.$$

По табл. 22.48 необходимый размер отверстия диафрагмы составляет 323 мм.

ТАБЛИЦА 22.48. ДИАМЕТР ОТВЕРСТИЙ ДИАФРАГМ ДЛЯ ВОЗДУХОВОДОВ КРУГЛОГО СЕЧЕНИЯ

$\zeta$	Диаметр отверстия диафрагмы, мм, при диаметре воздуховода, мм													
	100	125	160	200	250	315	355	400	450	500	560	630	710	800
0,3	91	114	146	182	228	287	324	365	410	456	511	574	647	729
0,5	88	110	141	176	220	278	313	353	397	441	494	555	626	705
0,7	86	107	137	172	215	270	305	343	386	429	481	541	609	687
0,9	84	105	134	168	210	264	298	336	378	420	470	529	596	671
1,1	82	103	132	165	206	260	292	329	370	411	461	518	584	658
1,4	80	100	128	160	201	253	285	321	361	401	449	505	570	642
1,6	89	99	126	158	198	249	281	316	356	395	443	498	561	632
1,8	78	97	125	156	195	246	277	312	351	390	436	491	553	624
2	77	96	123	154	192	242	273	308	346	385	431	485	546	616
2,2	76	95	122	152	190	239	270	304	342	380	426	479	540	608
2,4	75	94	120	150	188	237	267	301	338	376	421	474	534	601
2,8	74	92	118	147	184	232	261	295	331	368	412	464	523	589
3,2	72	90	116	145	181	228	257	289	325	361	405	455	513	578
3,6	71	89	114	142	178	224	252	284	320	355	398	448	505	569
4	70	87	112	140	175	220	248	280	315	350	392	441	497	560
4,5	69	86	110	137	172	217	244	275	309	344	385	433	488	550
5,5	67	83	107	133	167	210	236	266	300	333	373	420	473	533
6,5	65	81	104	130	162	204	230	259	292	324	363	408	460	518
7,5	63	79	101	127	158	199	225	253	285	316	354	399	449	506
8,5	62	77	99	124	155	195	220	248	279	310	347	390	440	495
9,5	61	76	97	121	152	191	215	243	273	303	340	382	431	486
10	60	75	96	120	150	189	213	241	271	301	337	379	427	481
11	59	74	95	118	148	186	210	236	266	296	331	372	420	473
12	58	73	93	116	145	183	206	233	262	291	326	366	413	465
13	57	72	92	115	143	180	203	229	258	286	321	361	407	458
14	56	71	90	113	141	178	201	226	254	282	316	356	401	452
15	56	70	89	111	139	176	198	223	251	279	312	351	396	446

ТАБЛИЦА 22.49. РАЗМЕРЫ ОТВЕРСТИЙ ДИАФРАГМ ДЛЯ ВОЗДУХОВОДОВ ПРЯМОУГОЛЬНОГО СЕЧЕНИЯ

$\zeta$	100 × 150	150 × 150	150 × 250	250 × 250	250 × 300	250 × 400	250 × 500	400 × 400	400 × 500	400 × 600	400 × 800	500 × 500	500 × 600	500 × 800
0,2	93 × 143	141 × 141	138 × 238	235 × 235	233 × 283	281 × 381	229 × 479	375 × 375	373 × 473	370 × 570	367 × 767	469 × 469	466 × 566	462 × 762
0,3	89 × 139	137 × 137	133 × 233	228 × 228	226 × 276	223 × 373	221 × 471	364 × 364	361 × 461	357 × 557	353 × 753	456 × 455	452 × 552	445 × 745
0,4	87 × 137	134 × 134	130 × 230	224 × 224	221 × 271	218 × 368	215 × 465	358 × 358	353 × 453	349 × 549	344 × 744	447 × 447	442 × 542	435 × 735
0,5	86 × 136	133 × 133	128 × 228	221 × 221	218 × 268	214 × 364	211 × 461	353 × 353	348 × 448	344 × 544	338 × 738	442 × 442	436 × 536	428 × 728
0,6	84 × 134	130 × 130	125 × 225	217 × 217	214 × 264	209 × 359	206 × 456	346 × 346	341 × 441	336 × 526	329 × 729	433 × 433	427 × 527	418 × 718
0,7	83 × 133	128 × 128	123 × 223	214 × 214	210 × 260	205 × 355	202 × 452	342 × 342	335 × 435	330 × 530	323 × 723	427 × 427	421 × 521	411 × 711
0,8	82 × 132	127 × 127	122 × 222	212 × 212	209 × 259	204 × 354	200 × 450	340 × 340	333 × 433	328 × 528	320 × 720	424 × 424	417 × 517	407 × 707
0,9	81 × 131	126 × 126	120 × 220	209 × 209	206 × 256	200 × 350	196 × 446	335 × 335	328 × 428	322 × 522	314 × 714	418 × 418	411 × 511	400 × 700
1	80 × 130	125 × 125	118 × 218	208 × 208	204 × 254	196 × 348	194 × 444	332 × 332	325 × 425	319 × 519	311 × 711	415 × 415	408 × 508	396 × 696
1,1	78 × 128	123 × 123	116 × 216	205 × 205	201 × 251	195 × 345	190 × 440	327 × 327	320 × 420	313 × 513	304 × 704	409 × 409	401 × 501	389 × 689
1,2	78 × 128	122 × 122	115 × 215	203 × 203	199 × 249	193 × 343	188 × 438	325 × 325	317 × 417	310 × 510	301 × 701	406 × 406	398 × 498	385 × 685
1,3	77 × 127	121 × 121	114 × 214	202 × 202	197 × 247	191 × 341	186 × 436	323 × 323	314 × 414	307 × 507	298 × 698	403 × 403	394 × 494	382 × 682
1,4	76 × 126	120 × 120	113 × 213	200 × 200	196 × 246	189 × 339	184 × 434	320 × 320	311 × 411	305 × 505	295 × 695	400 × 400	391 × 391	378 × 678
1,6	75 × 125	119 × 119	112 × 212	198 × 198	194 × 244	187 × 337	182 × 432	318 × 318	309 × 409	302 × 502	292 × 692	397 × 397	388 × 498	374 × 674
1,8	74 × 124	117 × 117	109 × 209	195 × 195	190 × 240	183 × 333	178 × 428	312 × 312	303 × 403	296 × 496	285 × 685	391 × 391	381 × 481	366 × 666
2	72 × 122	115 × 115	107 × 207	192 × 192	187 × 257	179 × 329	174 × 424	307 × 307	297 × 397	289 × 489	278 × 678	384 × 384	374 × 474	358 × 658
2,2	72 × 122	114 × 114	106 × 206	190 × 190	185 × 235	177 × 327	172 × 422	305 × 305	294 × 394	286 × 486	275 × 675	381 × 381	370 × 470	355 × 655
2,4	70 × 120	112 × 112	103 × 203	187 × 187	182 × 232	173 × 323	168 × 418	299 × 299	288 × 388	280 × 480	268 × 668	374 × 374	363 × 463	347 × 647
2,6	69 × 119	111 × 111	102 × 202	185 × 185	180 × 230	171 × 321	166 × 416	297 × 297	285 × 385	277 × 477	265 × 665	371 × 371	359 × 459	342 × 642
2,8	68 × 118	100 × 110	101 × 201	184 × 184	178 × 228	169 × 319	163 × 413	294 × 294	282 × 382	274 × 474	261 × 661	367 × 367	356 × 456	338 × 638
3	68 × 118	109 × 109	100 × 200	182 × 182	176 × 226	167 × 317	161 × 411	291 × 291	279 × 379	270 × 470	258 × 658	364 × 364	352 × 452	334 × 634
3,2	67 × 117	108 × 108	98 × 198	180 × 180	174 × 224	165 × 315	159 × 409	288 × 288	276 × 376	267 × 467	254 × 654	361 × 361	348 × 448	330 × 630
3,4	66 × 116	108 × 108	98 × 198	179 × 179	173 × 223	164 × 314	158 × 408	287 × 287	275 × 375	266 × 466	253 × 653	359 × 359	346 × 446	328 × 628
3,6	66 × 116	107 × 107	97 × 197	179 × 179	172 × 222	163 × 313	157 × 407	286 × 286	273 × 374	264 × 464	251 × 651	357 × 357	344 × 444	326 × 626
3,8	65 × 115	106 × 106	95 × 195	176 × 176	169 × 219	160 × 310	153 × 403	281 × 281	269 × 369	259 × 459	245 × 645	352 × 352	339 × 439	320 × 620
4	64 × 114	105 × 105	95 × 195	175 × 175	168 × 218	159 × 309	152 × 402	280 × 280	267 × 367	257 × 457	244 × 644	350 × 350	337 × 437	317 × 617
4,5	63 × 113	103 × 103	92 × 192	171 × 171	164 × 214	154 × 304	148 × 398	273 × 274	261 × 361	250 × 450	237 × 637	343 × 343	329 × 429	309 × 609
5	61 × 111	101 × 101	90 × 190	169 × 169	161 × 214	151 × 301	143 × 394	270 × 270	256 × 356	245 × 445	231 × 631	337 × 337	323 × 423	302 × 602
5,5	60 × 110	100 × 100	88 × 188	166 × 166	158 × 208	148 × 298	141 × 391	265 × 265	251 × 351	240 × 440	225 × 625	332 × 332	317 × 417	296 × 596

Размеры отверстия диафрагмы, мм, при сечении прямого уголного воздуховода, мм

$\zeta$	100 × 150	150 × 150	150 × 250	250 × 250	250 × 300	250 × 400	250 × 500	400 × 400	400 × 500	400 × 600	400 × 800	500 × 500	500 × 600	500 × 800
6	59 × 109	98 × 98	87 × 187	164 × 164	156 × 206	146 × 296	138 × 288	262 × 262	248 × 348	237 × 437	221 × 621	328 × 328	313 × 413	291 × 591
6,5	58 × 108	97 × 97	85 × 185	162 × 162	154 × 204	143 × 293	136 × 386	259 × 259	244 × 344	233 × 433	218 × 618	324 × 324	309 × 409	287 × 487
7	57 × 107	96 × 96	84 × 184	160 × 160	152 × 202	141 × 291	134 × 384	256 × 256	241 × 341	229 × 429	214 × 614	320 × 320	304 × 504	282 × 582
7,5	56 × 106	95 × 95	82 × 182	158 × 158	150 × 200	139 × 289	131 × 381	253 × 253	237 × 337	226 × 426	210 × 609	316 × 316	300 × 400	277 × 577
8	55 × 105	93 × 93	80 × 180	155 × 155	147 × 197	135 × 285	128 × 378	248 × 248	232 × 332	220 × 420	204 × 604	310 × 310	294 × 394	270 × 570
8,5	55 × 105	93 × 93	79 × 179	—	146 × 196	134 × 284	126 × 376	247 × 247	230 × 330	218 × 418	202 × 602	308 × 308	292 × 392	268 × 568
9	54 × 104	91 × 91	78 × 178	152 × 152	143 × 193	132 × 282	124 × 374	243 × 243	227 × 327	214 × 414	198 × 598	304 × 304	287 × 387	263 × 563
9,5	53 × 103	90 × 90	77 × 177	—	141 × 191	129 × 279	121 × 371	240 × 240	223 × 323	211 × 411	194 × 594	300 × 300	282 × 382	258 × 558
10	52 × 102	89 × 89	76 × 176	149 × 149	140 × 190	128 × 278	120 × 370	238 × 238	221 × 321	209 × 409	192 × 592	298 × 298	280 × 380	256 × 556
11	51 × 101	88 × 88	74 × 174	147 × 147	138 × 188	125 × 275	117 × 367	235 × 235	217 × 317	205 × 405	188 × 588	294 × 294	276 × 376	251 × 551
12	50 × 100	86 × 86	72 × 172	144 × 144	134 × 184	122 × 271	114 × 364	230 × 230	212 × 311	199 × 399	182 × 582	287 × 287	269 × 369	243 × 543
13	49 × 99	85 × 85	70 × 170	141 × 141	132 × 182	119 × 269	111 × 361	226 × 226	208 × 308	195 × 395	177 × 577	283 × 283	264 × 364	238 × 538
14	48 × 98	84 × 84	70 × 170	140 × 140	131 × 181	118 × 268	110 × 360	225 × 225	206 × 306	193 × 393	175 × 575	281 × 281	261 × 361	235 × 535
15	48 × 98	84 × 84	69 × 169	139 × 139	130 × 180	116 × 266	108 × 358	223 × 223	204 × 304	191 × 391	173 × 573	278 × 278	259 × 359	233 × 533

ТАБЛИЦА 22.50 ЗНАЧЕНИЯ Р ДЛЯ ДИАФРАГМ

$v_1/b_2$	$\zeta$	Значения $P$ , Па, при скорости в воздуховоде, м/с														
		11	12	13	14	15	16	17	18	19	20	21	22	23	24	25
0,4	2,25	163,66	193,06	224,42	264,6	303,8	344,96	390,04	418,45	490	540,96	597,8	656,6	686	698,74	846,72
0,45	1,73	125,44	149,04	172,48	203,84	233,24	265,58	299,88	337,12	375,34	416,5	458,64	504,7	524,3	536,06	649,74
0,5	1,22	89,18	104,86	121,52	143,08	164,64	187,18	211,68	237,16	264,6	294	324,38	356,72	372,4	379,26	458,64
0,55	0,98	71,54	84,28	98	115,64	132,3	150,92	169,54	190,12	212,66	235,2	258,72	284,2	297,92	303,8	367,5
0,6	0,75	54,88	64,68	74,48	88,2	100,94	114,56	129,36	146,02	162,68	180,32	198,94	218,54	228,34	233,24	281,26
0,65	0,55	40,18	47,04	54,88	64,68	74,48	84,48	95,06	106,82	119,56	132,3	146,02	159,74	167,58	170,52	206,78
0,7	0,342	24,5	29,4	34,3	40,18	46,06	52,92	58,8	66,64	74,48	82,32	91,14	99,96	103,88	105,84	128,38
0,75	0,245	17,64	21,56	24,5	29,4	33,32	37,24	42,14	48,02	52,92	58,8	64,68	71,54	75,46	76,44	92,12
0,8	0,145	10,78	12,74	14,7	16,66	19,6	22,54	25,48	28,42	31,36	34,3	41,16	43,12	44,1	53,9	53,9

$$\alpha = 20^\circ \quad (\lg \alpha = 0,364)$$

Продолжение табл. 22.50

$t_1/v_2$	$\zeta$	Значения $P$ , Па, при скорости в воздуховоде, м/с															
		11	12	13	14	15	16	17	18	19	20	21	22	23	24	25	
$\alpha = 25^\circ$ ( $\lg \alpha = 0,466$ )																	
0,4	2,59	188,16	223,44	258,72	303,8	343	396,9	448,84	504,7	562,52	622,3	686	754,6	788,9	803,6	970,2	
0,45	2	145,04	174,44	199,92	235,2	270,48	307,72	345,94	389,06	434,14	480,2	529,2	583,1	607,6	617,4	749,7	
0,5	1,4	101,92	120,54	139,16	164,64	189,14	215,6	243,04	272,44	303,8	336,14	370,44	406,7	426,3	436,1	524,3	
0,55	1,16	83,3	94,66	114,66	135,24	154,84	176,4	198,94	223,44	248,92	276,36	308,7	335,16	349,86	356,72	431,2	
0,6	0,89	64,68	76,44	88,2	104,87	120,54	137,2	153,86	173,46	193,06	213,64	235,2	259,7	274,4	333,2		
0,65	0,63	46,06	54,88	62,72	74,48	85,26	97,02	113,68	122,5	136,22	150,92	166,6	183,26	191,1	195,02	235,2	
0,7	0,37	26,46	32,34	37,24	43,12	49,98	56,84	63,7	71,5	80,36	89,18	98,0	107,8	112,7	114,66	139,16	
0,75	0,27	25,48	23,52	26,46	31,36	36,26	41,16	47,04	52,92	58,8	64,68	71,54	82,32	83,3	100,94		
0,8	0,172	12,74	14,7	16,66	20,58	23,52	26,46	29,4	33,32	37,24	41,16	46,06	49,98	51,94	52,92	64,68	
$\alpha = 30^\circ$ ( $\lg \alpha = 0,577$ )																	
0,4	2,89	209,72	248,92	288,12	320,06	340,04	390,04	442,96	499,8	562,52	627,2	693,8	764,4	839,86	877,1	896,7	1087,8
0,45	2,25	163,66	194,04	224,42	264,6	303,8	344,96	384,16	438,06	488,04	540,96	595,84	654,64	685,02	697,7	833,98	
0,5	1,6	116,62	138,18	159,74	188,18	215,6	245	276,36	311,64	346,92	384,16	426,3	468,44	490	507,64	603,68	
0,55	1,27	92,12	109,76	126,42	148,96	171,5	195,02	219,52	246,96	274,4	304,78	336,14	369,46	385,14	392	475,3	
0,6	0,94	68,6	81,34	93,1	110,74	126,42	144,06	162,68	182,28	203,84	225,4	250,88	275,38	288,12	294	355,74	
0,65	0,68	49,98	58,8	67,62	80,36	89,18	103,88	117,6	132,3	147	162,68	181,3	198,94	207,76	211,68	255,78	
0,7	0,427	31,36	36,26	42,14	49,98	57,82	65,66	73,5	83,3	92,12	101,92	108,78	119,56	125,44	127,4	153,86	
0,75	0,31	22,54	26,45	30,38	36,26	42,14	48,02	54,9	60,76	67,62	74,48	82,32	90,16	94,08	96,04	116,62	
0,8	0,195	13,72	16,66	19,6	22,54	26,45	30,38	33,32	38,22	42,14	47,04	51,94	57,82	59,78	60,76	73,5	
$\alpha = 35^\circ$ ( $\lg \alpha = 0,7$ )																	
0,4	3,14	227,36	270,48	313,6	369,46	423,36	482,16	543,9	610,54	681,1	754,6	828,1	911,4	950,6	970,2	1176	
0,45	2,42	176,4	208,74	241,08	284,2	326,34	372,4	419,44	470,4	524,3	580,16	641,9	700,7	735	749,7	906,5	
0,5	1,7	123,48	146,02	169,02	199,92	229,32	260,68	294	331,24	368,48	408,66	450,8	495,88	519,4	529,2	638,96	
0,55	1,35	98	116,62	134,26	158,76	182,28	207,76	233,24	262,64	294	323,4	356,72	392	409,64	416,5	505,68	
0,6	1,01	73,5	86,24	100,94	118,58	136,22	154,84	174,44	196	219,52	243,04	268,52	294,98	307,72	313,6	380,24	
0,65	0,745	53,9	63,7	74,48	88,2	99,96	114,66	129,36	145,04	161,7	178,36	196,98	216,58	225,4	279,3		
0,7	0,478	34,3	41,16	48,02	55,86	64,68	73,5	82,32	93,1	103,88	114,66	126,42	139,16	145,04	147,98	179,34	
0,75	0,34	24,5	29,4	34,3	40,18	46,06	51,94	58,8	65,66	73,5	81,34	90,16	98,98	102,9	104,86	127,4	
0,8	0,203	14,7	17,64	20,58	23,52	27,44	31,36	35,28	39,2	44,1	49	53,9	59,78	61,74	63,7	76,44	

Причесание Величина  $\zeta$  отнесена к скорости  $v_1$

## 22.6. РАСЧЕТ КОНУСНЫХ ДИАФРАГМ

Диаметр горловины, мм, конусной диафрагмы (рис. 22.5, табл. 22.4–22.49) определяется по формуле

$$d_2 = d_1 \sqrt{v_1/v_2}, \quad (22.11)$$

где  $d_1$  – диаметр воздуховода, мм;  $v_1/v_2$  – отношение скорости воздуха в воздуховоде к скорости воздуха в горловине (определяется в зависимости от избыточного давления, которое требуется погасить диафрагмой, и принятого угла раскрытия конуса).

Длину конуса диафрагмы, мм, вычисляют по формуле

$$l = (d_1 - d_2) 2 \operatorname{tg} \alpha, \quad (22.12)$$

где  $\operatorname{tg} \alpha$  – тангенс угла раскрытия конуса.

Потери давления  $p$  при различных соотношениях  $v_1/v_2$  и разном угле раскрытия конуса (от 20 до 35°) приведены в табл. 22.50.

**Пример 22.4.** Требуется погасить избыточное давление, равное 117,6 Па, при скорости в ответвлении  $v_1 = 11$  м/с и диаметре ответвления  $d_1 = 180$  мм.

В табл. 22.50\* (в графе, соответствующей скорости 11 м/с) выбираем число, близкое к 117,6, и принимаем диафрагму с углом раскрытия  $\alpha = 30^\circ$ , при этом  $v_1/v_2 = 0,5$  ( $p = 116,62$  Па).

Диаметр горловины по формуле (22.11)

$$d_2 = d_1 \sqrt{v_1/v_2} = 180$$

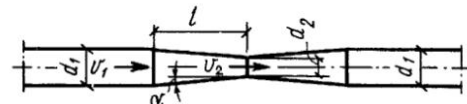


Рис. 22.5. Схема диафрагмы

$$\sqrt{0,5} = 180 \cdot 0,7 = 126 \text{ мм.}$$

Длину конуса определим по формуле (22.12)

$$l = \frac{d_1 - d_2}{2 \operatorname{tg} \alpha} = \frac{180 - 126}{2 \cdot 30^\circ} = \frac{54}{2 \cdot 0,577} = 47 \text{ мм.}$$

Пример расчета сети воздуховодов общего назначения приведен в табл. 22.51 и на рис. 22.6.

## 22.7. РАСЧЕТ ВОЗДУХОВОДОВ СИСТЕМ АСПИРАЦИИ\*

Системы аспирации проектируют для удаления запыленного воздуха от укрытий и местных отсосов технологического оборудования.

Металлические воздуховоды систем аспирации следует предусматривать из прямых участков, отводов, тройников и крестовин круглого сечения. Воздуховоды диаметрами 80, 110, 140, 180, 225, 280 мм, которые могут быть использованы в системах аспирации, следует рассчитывать по табл. 22.15. Радиус отвода принимается равным не менее  $2D$ . В тройниках

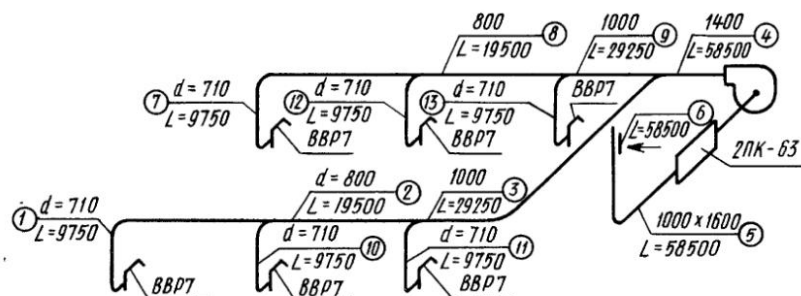


Рис. 22.6. Расчетная схема сети воздуховодов общего назначения

\* Табл. 22.50 составлена ВНИИОТ (С.-Петербург).

\* См. руководство по расчету воздуховодов из унифицированных деталей А3-804.

ТАБЛИЦА 22.51 РАСЧЕТНАЯ ТАБЛИЦА СЕТИ ВОЗДУХОВОДОВ ОБЩЕГО НАЗНАЧЕНИЯ

№ участка	Количество воздуха $L$ , $\text{м}^3/\text{ч}$	Длина участка $l$ , м	Размер воздуховода $d$ , мм	Потери давления на трение		Динамическое давление $\frac{p_v}{\rho_a 2}$ , Па	Сумма коэффициентов местного сопротивлений $\zeta$ , Па	Потери давления на местные сопротивления $z$ , Па	Общие потери давления на участке $Rl + z$ , Па	
				на 1 м $R$ , Па	на всем участке $Rl$ , Па					
1	BVP-7 9750	— 9750	18	6,84 6,84	710 710	0,6 —	10,8 —	28 28	1,6 0,74	44,8 20,7
2	19 500	12	10,8	800	1,26	15,1	72	0,28	20,16	
3	29 250	24	10,4	1000	0,865	20,8	64	0,87	55,7	
4	58 500	5	10,62	1400	0,6	3,0	67,6	1,1	74,43	
5	58 500	4	10,15	1000 × 1600	0,64	2,56	61,85	0,72	44,53	
2ПК-63	58 500	—	—	—	—	—	—	—	77,43	
6	58 500	—	5,0	—	—	—	15	2	47,09	
7	BVP-7 9750	— 9750	6,84 6,84	710 710	— 0,6	— 10,8	28 28	1,6 0,74	411,6 20,7	
8	19 500	12	10,8	800	1,26	15,1	72	0,28	20,16	
9	29 250	6	10,4	1000	0,865	5,19	64	0,35	22,4	
10	BVP-7 9750	— 9750	6,0	6,84 6,84	710 710	— 0,6	28 28	1,6 1,37	38,36	
11	BVP-7 9750	— 9750	6	6,84 6,84	710 710	— 0,6	3,6 28	— 1,57	44,8 43,96	

$$\Sigma(Rl + z)_{y_1+2} = 188,08 \text{ Па; неуязвка } (188,08 - 139,18)/188,08 = 26\%.$$

$$\Sigma(Rl + z)_{y_1+2} = 188,08 \text{ Па; неуязвка } (86,76 - 76,3)/86,76 = 10\%.$$

$$\Sigma(Rl + z)_{y_1+2} = 111,6 \text{ Па; неуязвка } (111,6 - 2 \cdot 92,36)/111,6 = 17\%.$$

$$\Sigma(Rl + z)_{y_1+2} = 111,6 \text{ Па; неуязвка } (111,6 - 2 \cdot 92,36)/111,6 = 17\%.$$

$$\Sigma(Rl + z)_{y_1+2} = 111,6 \text{ Па; неуязвка } (111,6 - 2 \cdot 92,36)/111,6 = 17\%.$$

Увязка давлений на участках 7 и 12 аналогична увязке давлений на участках 1 и 10, увязка на участках 8 и 13 аналогична увязке давлений на участках 2 и 11. Для увязки давлений на участках 9 и 3, 11 и 2, 13 и 8 необходимо подобрать дифрагмы

Примечание. Коэффициент местного сопротивления воздухораспределителя BVP 7, равный 1,6, соответствует углу наклона струи  $\sigma_0 = 10$  град

ТАБЛИЦА 22.52. КОЭФФИЦИЕНТЫ СОПРОТИВЛЕНИЯ ОТВОДОВ КРУГЛОГО СЕЧЕНИЯ СИСТЕМ АСПИРАЦИИ

Центральный угол, град	30	45	60	90
Коэффициент $\zeta$	0,1	0,18	0,21	0,25

и крестовинах прямых, а также в тройниках штанообразных угол  $\alpha$  принимается равным 30 и  $45^\circ$ . Размеры указанных деталей металлических воздуховодов для систем аспирации приведены в А3-804. Коэффициенты местных сопротивлений отводов и тройников круглого сечения даны в табл. 22.52–22.55.

Расчет воздуховодов системы аспирации, как правило, следует начинать с определения количества транспортируемого материала и транспортирующего воздуха исходя из рекомендуемой массовой концентрации смеси  $\mu$ .

Минимально допустимые диаметры воздуховодов для систем аспирации, удаляющих мелкую сухую пыль (земляную пыль, песок, молотую глину и др.), древесные опилки и металлическую стружку, рекомендуется принимать равными 80 мм; для удаления волокнистой пыли (волокна хлопка, шерсти и т. п.) – равными 140 мм.

Воздуховоды аспирационных систем следует рассчитывать, как правило, из условий одновременной работы всех отсосов. При расчете необходимо тщательно увязывать потери давлений в отдельных ответвлениях сети, допуская неувязку не более 5%.

При необходимости для увязки потерь давлений допускается увеличивать объем воздуха, удаляемого от того или иного отсоса, или устанавливать диафрагмы на вертикальных участках аспирационных систем.

Длина ответвлений воздуховодов от коллектора или магистрального сборника до приемника (отсоса от станка) не должна, как правило, превышать 30 м.

Расчет воздуховодов рекомендуется проводить по методу скоростных (динамических) давлений, в котором потери давления в воздуховодах на трение заменяются эквивалентными потерями давления на местные сопротивления.

При перемещении малозапыленного воздуха с концентрацией массы смеси  $\mu \leq 0,01$  кг/кг потери давления, Па, на расчетном участке определяются по формуле

$$p_{\text{уч}} = (\zeta_s + \Sigma \zeta) \frac{\rho v^2}{2}, \quad (22.13)$$

где  $\Sigma \zeta$  – сумма коэффициентов местных сопротивлений на расчетном участке воздуховода;  $\rho v^2/2$  – скопростное (динамическое) давление, Па.

Приведенный коэффициент трения

$$\zeta_s = \frac{\lambda}{d} l, \quad (22.14)$$

где  $\lambda$  – коэффициент сопротивления трения;  $d$  – диаметр воздуховода, мм;  $l$  – длина расчетного участка воздуховода, м.

Значения  $\lambda/d$  следует принимать по табл. 22.56, т. е. расчет воздуховодов допускается производить так же, как и воздуховодов общего назначения, принимая при этом скорости движения воздуха не ниже допускаемых для пыли данного вида.

Потери давления на трение для воздуховодов из гибких металлических рукавов при отсутствии данных следует принимать в 2,5 раза большие величин, приведенных в табл. 22.15.

Для поддержания пыли или транспортируемых материалов во взвешенном состоянии и для подъема осевших частиц при пуске системы скорость движения воздуха  $v$  следует принимать большие скорости трогания частиц транспортируемого материала.

Скорость трогания, м/с, находят по формуле Л. С. Клячко

$$v_{\text{тр}} = 1,3 \sqrt[3]{\rho_n}, \quad (22.15)$$

где  $\rho_n$  – объемная масса материала, кг/м<sup>3</sup>.

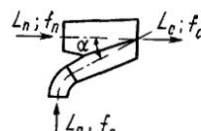
Некоторые практические значения скорости воздуха приведены в табл. 22.57.

При перемещении воздуха с механическими примесями ( $\mu > 0,01$  кг/кг) потери давления в сети на трение, местные сопротивления и подъем транспортируемых с воздухом примесей  $p_n$  следует определять по формуле

$$p_n = 1,1 \Sigma [p_{\text{уч}} (1 + k\mu)] + \Sigma l_n v, \quad (22.16)$$

где  $k$  – опытный коэффициент, зависящий от характера транспортируемого материала, 1,1 – коэффициент на неучтенные потери;  $l_n$  – длина вертикального участка воздуховода, мм;  $\mu$  – объемная концентрация смеси, равная отношению массы транспортируемого материала к объему чистого воздуха.

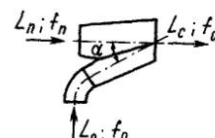
Если  $\Sigma l_n v$  составляет менее 30 Па, ее можно в расчетах не учитывать.

ТАБЛИЦА 22.53 КОЭФФИЦИЕНТЫ МЕСТНОГО СОПРОТИВЛЕНИЯ ТРОЙНИКОВ КРУГЛОГО СЕЧЕНИЯ С УГЛОМ  $\alpha = 30^\circ$  В РЕЖИМЕ ВСАСЫВАНИЯ СИСТЕМ АСПИРАЦИИ

$f_n/f_c$	$L_0/L_c$	Значения $\zeta_n$ при $f_0/f_c$									
		0,8	0,63	0,5	0,39	0,3	0,25	0,19	0,16	0,125	0,1
1	0,05	—	—	—	—	—	—	0,09	0	—0,15	—
	0,1	—	—	—	0,23	0,21	0,18	0,14	0,06	-0,07	-0,28
	0,2	—	0,28	0,27	0,25	0,21	0,15	0,07	-0,06	-0,32	-0,75
	0,3	0,32	0,3	0,28	0,24	0,18	0,06	-0,11	-0,39	-0,95	—
	0,4	0,35	0,31	0,26	0,17	0,04	-0,21	-0,6	—	—	—
	0,5	0,33	0,26	0,13	-0,08	-0,41	-1,05	—	—	—	—
0,8	0,1	—	—	—	0,22	0,19	0,15	0,09	0,01	—	—
	0,2	—	0,28	0,27	0,25	0,22	0,17	0,1	0,01	-0,12	—
	0,3	0,32	0,31	0,28	0,24	0,19	0,1	-0,01	-0,15	-0,39	—
	0,4	0,33	0,3	0,25	0,18	0,08	-0,07	-0,26	-0,55	—	—
	0,5	0,27	0,21	0,12	-0,01	-0,2	-0,51	—	—	—	—
	0,6	0,1	-0,03	-0,24	-0,55	-1,02	—	—	—	—	—
0,6	0,3	—	0,3	0,29	0,26	0,21	0,12	—	—	—	—
	0,4	—	0,3	0,25	0,18	0,09	-0,04	—	—	—	—
	0,5	—	0,16	0,08	-0,04	-0,17	-0,35	—	—	—	—
	0,6	—	-0,14	-0,28	-0,47	-0,71	—	—	—	—	—
	0,7	—	-0,86	-1,21	—	—	—	—	—	—	—
0,5	0,4	—	—	0,31	0,26	—	—	—	—	—	—
	0,5	—	—	0,12	0	—	—	—	—	—	—
	0,6	—	—	-0,32	-0,47	—	—	—	—	—	—
	0,7	—	—	-1,2	-1,48	—	—	—	—	—	—

Продолжение табл. 22.53

$f_n/f_c$	$L_0/L_c$	Значения $\zeta_0$ при $f_0/f_c$									
		0,8	0,63	0,5	0,39	0,3	0,25	0,19	0,16	0,125	0,1
1	0,05	—	—	—	—	-21,44	-10,19	-4,32	-1,75	-0,51	-0,25
	0,1	—	—	—	—	-2,97	-0,08	0,88	0,52	0,71	0,66
	0,2	—	-7,4	-2,97	—	—	—	—	—	—	1,12
	0,3	-3,65	-1,29	0,02	0,65	0,87	0,94	0,99	1,12	1,38	—
	0,4	-1,02	-0,04	0,63	0,95	1,04	1,04	1,09	—	—	—
	0,5	-0,21	0,32	0,79	1,03	1,07	1,07	—	—	—	—
0,8	0,1	—	—	—	—	-13,05	-5,58	-2,42	-0,86	0,01	—
	0,2	—	-9,46	-3,94	-1,37	-0,19	0,35	0,58	0,75	0,97	—
	0,3	-4,76	-1,83	-0,25	0,5	0,78	0,85	0,9	1	1,21	—
	0,4	-1,49	-0,27	0,51	0,89	0,98	0,98	1	1,11	—	—
	0,5	-0,45	0,21	0,74	0,99	1,04	1,01	—	—	—	—
	0,6	-0,05	0,38	0,8	1,02	1,05	—	—	—	—	—
0,6	0,3	—	-2,53	-0,61	0,29	0,64	0,75	—	—	—	—
	0,4	—	-0,58	0,35	0,79	0,91	0,9	—	—	—	—
	0,5	—	0,04	0,65	0,94	0,99	0,95	—	—	—	—
	0,6	—	0,28	0,76	0,98	1,01	—	—	—	—	—
	0,7	—	0,38	0,79	—	—	—	—	—	—	—
0,5	0,4	—	—	0,15	0,66	—	—	—	—	—	—
	0,5	—	—	0,53	0,86	—	—	—	—	—	—
	0,6	—	—	0,68	0,94	—	—	—	—	—	—
	0,7	—	—	0,74	0,96	—	—	—	—	—	—

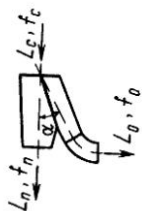
ТАБЛИЦА 22.54. КОЭФФИЦИЕНТЫ СОПРОТИВЛЕНИЯ ТРОЙНИКОВ КРУГЛОГО СЕЧЕНИЯ С УГЛОМ  $\alpha = 45^\circ$  В РЕЖИМЕ ВСАСЫВАНИЯ СИСТЕМ АСПИРАЦИИ

$f_n/f_c$	$L_0/L_c$	Значения $\zeta_n$ при $f_0/f_c$									
		0,8	0,63	0,5	0,39	0,32	0,25	0,2	0,16	0,125	0,1
1	0,05	—	—	—	—	—	—	0,09	0	—0,15	
	0,1	—	—	—	0,23	0,21	0,18	0,14	0,06	-0,07	-0,28
	0,2	—	0,28	0,27	0,25	0,21	0,15	0,07	-0,06	-0,32	-0,75
	0,3	0,32	0,3	0,28	0,24	0,18	0,06	-0,11	-0,39	-0,95	—
	0,4	0,35	0,31	0,26	0,17	0,04	-0,21	-0,6	—	—	—
	0,5	0,33	0,26	0,13	-0,08	-0,41	-1,05	—	—	—	—
0,8	0,1	—	—	—	—	0,26	0,23	0,19	0,13	0,05	—
	0,2	—	0,33	0,32	0,3	0,27	0,22	0,15	0,06	-0,07	—
	0,3	0,38	0,37	0,34	0,3	0,25	0,16	0,15	-0,09	-0,33	—
	0,4	0,41	0,38	0,33	0,26	0,16	0,01	-0,18	-0,47	—	—
	0,5	0,39	0,33	0,24	0,11	-0,08	-0,39	—	—	—	—
	0,6	0,29	0,16	-0,05	-0,36	-0,83	—	—	—	—	—
0,6	0,3	—	0,44	0,43	0,4	0,35	0,26	—	—	—	—
	0,4	—	0,48	0,43	0,36	0,27	0,14	—	—	—	—
	0,5	—	0,43	0,35	0,23	0,1	-0,08	—	—	—	—
	0,6	—	0,28	0,14	-0,05	-0,29	—	—	—	—	—
	0,7	—	-0,12	-0,47	—	—	—	—	—	—	—
0,5	0,4	—	—	0,57	0,52	—	—	—	—	—	—
	0,5	—	—	0,5	0,38	—	—	—	—	—	—
	0,6	—	—	0,27	0,12	—	—	—	—	—	—
	0,7	—	—	-0,14	-0,42	-0,42	—	—	—	—	—

Продолжение табл. 22.54

$f_n/f_c$	$L_0/L_c$	Значения $\zeta_0$ при $f_0/f_c$									
		0,8	0,63	0,5	0,39	0,32	0,25	0,2	0,16	0,125	0,1
1	0,05	—	—	—	—	—	—	-14,63	-5,78	-2,12	
	0,1	—	—	—	-21,88	-10,59	-4,56	-1,87	-0,46	0,39	0,87
	0,2	—	-7,27	-3,23	-1,32	-0,32	0,28	0,63	0,93	1,26	1,56
	0,3	-3,21	-1,16	-0,24	0,21	0,47	0,7	0,91	1,17	1,52	—
	0,4	-0,58	0,09	0,37	0,51	0,64	0,8	1,01	—	—	—
	0,5	0,23	0,45	0,53	0,59	0,67	0,83	—	—	—	—
0,8	0,1	—	—	—	—	-13,45	-5,82	-2,5	-0,81	0,15	—
	0,2	—	-9,33	-4,2	-1,81	-0,59	0,11	0,5	0,8	1,11	—
	0,3	-4,32	-1,7	-0,51	0,06	0,38	0,61	0,82	1,05	1,35	—
	0,4	-1,05	-0,14	0,25	0,45	0,58	0,74	0,92	1,16	—	—
	0,5	-0,01	0,34	0,48	0,55	0,64	0,77	—	—	—	—
	0,6	0,39	0,51	0,54	0,58	0,65	—	—	—	—	—
0,6	0,3	—	-2,4	-0,87	-0,15	0,24	0,51	—	—	—	—
	0,4	—	-0,45	0,09	0,35	0,51	0,66	—	—	—	—
	0,5	—	0,17	0,39	0,5	0,59	0,71	—	—	—	—
	0,6	—	0,51	0,5	0,54	0,61	—	—	—	—	—
	0,7	—	0,51	0,53	—	—	—	—	—	—	—
0,5	0,4	—	—	-0,11	0,22	—	—	—	—	—	—
	0,5	—	—	0,27	0,42	—	—	—	—	—	—
	0,6	—	—	0,42	0,5	—	—	—	—	—	—
	0,7	—	—	0,48	0,52	—	—	—	—	—	—

ТАБЛИЦА 2255 КОЭФФИЦИЕНТЫ СОПРОТИВЛЕНИЯ ТРОЙНИКОВ КРУГЛОГО СЕЧЕНИЯ С УГЛОМ  $\alpha = 30$  И  $45^\circ$  В РЕЖИМЕ НАГНЕТАНИЯ  
СИСТЕМ АСПИРАЦИИ



$f_n/f_c$	$L_0/L_c$	Значения $\zeta_n$ при $f_0/f_c$										Значения $\zeta_n$ при $f_0/f_c$									
		0,8	0,63	0,5	0,39	0,32	0,25	0,19	0,16	0,125	0,1	0,8	0,63	0,5	0,39	0,3	0,25	0,19	0,16	0,125	0,1
1	0,5	—	—	—	—	—	0,17	0,17	0,17	0,17	0,17	—	—	—	—	19,09	11,46	6,81	3,78	2,21	
	0,1	—	—	—	—	0,16	0,16	0,16	0,16	0,16	0,16	—	—	—	—	3,78	1,9	1,31	0,79	0,56	
	0,2	—	0,14	0,14	0,14	0,14	0,14	0,14	0,14	0,14	0,14	—	6,44	3,78	2,21	1,31	0,79	0,56	0,36	0,43	
	0,3	0,13	0,13	0,13	0,13	0,13	0,13	0,13	0,13	0,13	0,13	—	4,41	2,48	1,44	0,89	0,61	0,47	0,43	0,44	
	0,4	0,14	0,14	0,14	0,14	0,14	0,14	0,14	0,14	0,14	0,14	—	2,21	1,3	0,79	0,56	0,46	0,43	0,44	—	
	0,5	0,2	0,2	0,2	0,2	0,2	0,2	—	—	—	—	1,31	0,80	0,36	0,46	0,43	0,44	—	—	—	
0,8	0,1	—	—	0,2	0,2	0,2	0,2	0,2	0,2	0,2	0,2	—	—	—	19,09	11,47	6,8	3,78	1,9	1,31	0,79
	0,2	—	0,18	0,18	0,18	0,18	0,18	0,18	0,18	0,18	0,18	—	6,44	3,78	2,21	1,31	0,79	0,56	0,46	0,43	
	0,3	0,15	0,15	0,15	0,15	0,15	0,15	0,15	0,15	0,15	0,15	—	4,41	2,48	1,44	0,89	0,61	0,47	0,43	0,45	
	0,4	0,14	0,14	0,14	0,14	0,14	0,14	0,14	0,14	0,14	0,14	—	2,21	1,27	0,79	0,56	0,46	0,43	0,44	0,46	
	0,5	0,13	0,13	0,13	0,13	0,13	0,13	0,13	0,13	0,13	0,13	—	1,31	0,8	0,56	0,46	0,43	0,44	—	—	
	0,6	0,2	0,2	0,2	0,2	0,2	0,2	—	—	—	—	—	0,89	0,60	0,47	0,43	0,44	—	—	—	
0,6	0,3	—	0,2	0,2	0,2	0,2	0,2	0,2	—	—	—	—	—	—	2,48	1,44	0,89	0,61	0,47	—	
	0,4	—	0,17	0,17	0,17	0,17	0,17	0,17	0,17	—	—	—	—	—	1,27	0,79	0,56	0,46	0,43	—	
	0,5	—	0,14	0,14	0,14	0,14	0,14	0,14	0,14	—	—	—	—	—	0,8	0,56	0,46	0,43	0,44	—	
	0,6	—	0,13	0,13	0,13	0,13	0,13	0,13	—	—	—	—	—	—	0,6	0,47	0,43	0,44	—	—	
	0,7	—	0,23	—	—	—	—	—	—	—	—	—	—	—	0,5	0,44	—	—	—	—	
0,5	0,4	—	—	0,21	0,21	—	—	—	—	—	—	—	—	—	—	—	—	—	—	—	
	0,5	—	—	0,18	0,18	—	—	—	—	—	—	—	—	—	—	0,56	0,46	—	—	—	
	0,6	—	—	0,14	0,14	—	—	—	—	—	—	—	—	—	—	0,47	0,43	—	—	—	
	0,7	—	—	0,14	0,14	—	—	—	—	—	—	—	—	—	—	0,44	0,43	—	—	—	

Примечание. Прочеркками отмечены сочетания размеров тройников, которые при проектировании практически не встречаются

ТАБЛИЦА 22.56. ЗНАЧЕНИЯ  $\lambda/d$  ДЛЯ МЕТАЛЛИЧЕСКИХ ВОЗДУХОВОДОВ СИСТЕМ АСПИРАЦИИ

<i>d</i> , мм	Значения $\lambda/d$ при скорости воздуха, м/с							
	0,1–3	3,1–6	6,1–9	9,1–12	12,1–15	15,1–18	18,1–21	21,1–25
80	0,418	0,318	0,28	0,257	0,245	0,237	0,231	0,225
100	0,316	0,24	0,212	0,198	0,189	0,183	0,178	0,173
110	0,281	0,213	0,188	0,177	0,169	0,164	0,159	0,155
125	0,239	0,181	0,161	0,153	0,146	0,141	0,137	0,133
140	0,208	0,158	0,141	0,133	0,129	0,123	0,12	0,117
160	0,176	0,133	0,121	0,114	0,109	0,106	0,103	0,1
180	0,152	0,115	0,105	0,1	0,096	0,092	0,09	0,087
200	0,133	0,101	0,093	0,088	0,084	0,081	0,079	0,077
225	0,115	0,088	0,081	0,077	0,073	0,071	0,069	0,067
250	0,101	0,078	0,072	0,068	0,065	0,063	0,061	0,059
280	0,088	0,068	0,063	0,059	0,057	0,055	0,054	0,052
315	0,075	0,06	0,055	0,052	0,05	0,048	0,047	0,045
355	0,065	0,052	0,048	0,045	0,043	0,042	0,041	0,039
400	0,056	0,045	0,041	0,039	0,038	0,036	0,035	0,034

Продолжение табл. 22.56

<i>d</i> , мм	Значения $\lambda/d$ при скорости воздуха, м/с							
	0,1–3	3,1–6	6,1–9	9,1–12	12,1–15	15,1–18	18,1–21	21,1–25
450	0,048	0,039	0,036	0,034	0,033	0,032	0,031	0,03
500	0,042	0,035	0,032	0,029	0,029	0,028	0,027	0,026
560	0,037	0,03	0,028	0,026	0,025	0,025	0,024	0,023
630	0,032	0,027	0,024	0,023	0,022	0,021	0,021	0,02
710	0,028	0,023	0,021	0,02	0,019	0,019	0,018	0,018
800	0,024	0,02	0,018	0,017	0,017	0,016	0,016	0,015
900	0,021	0,018	0,016	0,015	0,015	0,014	0,014	0,013
1000	0,019	0,015	0,014	0,013	0,013	0,012	0,012	0,012
1120	0,016	0,014	0,012	0,012	0,011	0,011	0,011	0,01
1250	0,014	0,012	0,011	0,01	0,01	0,01	0,009	0,009
1400	0,013	0,01	0,01	0,009	0,009	0,008	0,008	0,008
1600	0,011	0,009	0,008	0,008	0,007	0,007	0,007	0,007

Величины  $k$  и  $\mu$  следует принимать по технологическим данным соответствующих отраслей промышленности.

Потери давления, Па, при подъеме транспортируемого материала на высоту  $h$  учитывают при  $\mu = 0,02$  кг/кг по формуле

$$p_{\text{под}} = \rho g \mu h, \quad (22.17)$$

где  $h$  — высота подъема материала, м;  $\mu$  — концентрация смеси, кг/кг.

Разрежение в сборном коллекторе, необходимое для отсоса от наиболее отдаленного станка, при предварительных расчетах следует определить по графику (рис. 22.7).

Расчет сети воздуховодов систем аспирации приведен в табл. 22.58.

**Пример 22.4.** Рассчитать сеть воздуховодов из листовой стали системы аспирации от плоскошлифовальных и обдирочных станков (рис. 22.8).

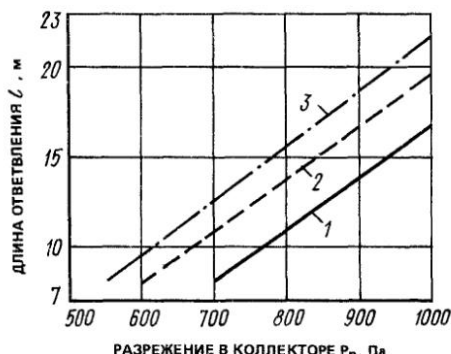


Рис. 22.7. График для приближенного определения разрежения в сборном магистральном коллекторе (1), вертикальном сборнике (2) и горизонтальном сборнике (3)

ТАБЛИЦА 22.57. НЕКОТОРЫЕ ПРАКТИЧЕСКИЕ ЗНАЧЕНИЯ РАСЧЕТНЫХ ВЕЛИЧИН ДЛЯ ПРОЕКТИРОВАНИЯ СИСТЕМ АСПИРАЦИИ

Транспортируемый материал	$\rho$ , кг/м <sup>3</sup>	Скорость движения воздуха в воздуховодах $v$ , м/с	
		вертикальных	горизонтальных
Земляная и песочная пыль, оборотная (горячая) земля, формовочная земля	2600	13	15
Земля и песок влажные	2800	15	18
Глина молотая	2400	14	17
Шамот	2200	14	17
Пыль:			
мелкая минеральная	—	12	14
от матерчатых полировальных кругов	—	10	12
угольная	900–1000	14	15
наждачная минеральная	4000	15,5	19
Гипс, тонкомолотая известь	1250	10	11
Шерсть:			
замасленная	—	18	19
незамасленная	—	19	20
искусственная	—	17	20
мериносовая (замасленная и незамасленная)	—	14	15
лоскут	—	16	18
разрыхленная и	—	17	18
крупные очесы			

Продолжение табл. 22.57

Транспортируемый материал	$\rho$ , кг/м <sup>3</sup>	Скорость движения воздуха в воздуховодах $v$ , м/с	
		вертикальных	горизонтальных

Лен:  
 короткое волокно — 16 18  
 льняная костра — 16 18  
 Снопы тросты — 18 20  
 Хлопок-сырец, разрыхленный хлопок, крупные очесы — 17 18  
 хлопка

Опилки:  
 чугунные 7300 19 23  
 стальные 7800 19 23  
 Шлак подмосковного угля с размером частиц 10–15 мм 1600 20 22

Примечание. Рекомендуемые данные для расчета транспортирования древесных отходов приведены в гл. 9.

Сеть воздуховодов рассчитывается в такой последовательности. На расчетную схему наносят номера участков воздуховодов в порядке присоединения их к горизонтальному коллектору или магистрали.

Заполняют графы 1–6 расчетной таблицы. Минимальные расходы воздуха (графа 4) и ми-

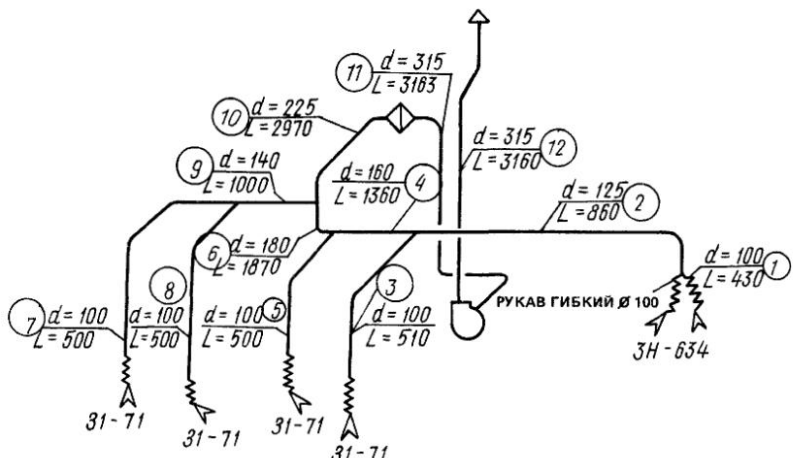


Рис. 22.8. Расчетная схема сети воздуховодов системы аспирации

ТАБЛИЦА 22.58. РАСЧЕТНАЯ ТАБЛИЦА СЕТИ ВОЗДУХОВОДОВ СИСТЕМ АСПИРАЦИИ

№ участка	Оборудование	Марка станка	Заданные максимальные величины				Принимаемые расчетные величины				$\zeta_s = (\lambda/d)l$	$\Sigma\zeta$	$\zeta_s + \Sigma\zeta$	$P_a = \rho v^2/2$ , Па				
			$L_{11}$ , м <sup>3</sup> /ч	$v_1$ , м/с	$I_p$ , м	$L_p$ , м	$t_p$ , м/с	$d$ , мм	$\lambda/d$									
1	2	3	4	5	6	7	8	9	10	II	12	13	14	15				
1	Станок обдирочно-шлифовальный	311-634	400	14,2	1	430	15,25	100	0,183	$2 \times 1 \times 0,183 = 0,366$	3,08	3,446	139,5	481				
2		-	800	18,1	10,4	860	19,5	125	0,137	1,43	0,45	1,88	228,5	430				
3	Станок плоско-шлифовальный	31-71	500	17,7	5,5	-	-	100	0,183	$2 \times 1 \times 0,183 = 0,366$	3,9	5,09	911 Па	187,7				
4		-	1360	18,8	2,6	-	-	160	0,103	$0,183 \times 4,5 = 0,824$	0,267	0,24	5,07	212,4				
5	Универсально-шлифовальный станок	3А-12Л	500	17,7	5,5	510	18	100	0,183	$2 \times 1 \times 0,183 = 0,366$	4,08	5,27	1062,5 Па	107,5				
6		-	1870	20,4	2,5	-	-	180	0,0996	0,224	0,47	0,694	250	173,5				
7	Станок плоско-шлифовальный	31-71	500	17,7	9,4	-	-	100	0,183	$2 \times 1 \times 0,183 = 0,366$	3,62	5,52	1236 Па	1040				
8	То же	31-71	500	17,7	8,2	-	-	100	0,183	$0,183 \times 8,4 = 1,534$	3,78	5,46	187,7	1025				
9		-	1000	18,05	2,1	-	-	140	0,123	$0,123 \times 2,1 = 0,258$	0,6	$\Sigma p_{y_n} 7 = 1040$ Па	1025 Па					
10		-	2870	20	3,3	-	-	225	0,069	$0,069 \times 3,3 = 0,228$	0,5	0,858	195,2					
11		-	3160	11,3	8,5	-	-	315	0,052	$0,44$	1,03	1,47	240	175				
12		-	3160	11,3	13,6	-	-	315	0,052	$0,728$	1,76	2,47	76,7	113				
														189				
														1713 Па				

С учетом 10% запаса на неучтенные потери  $\Sigma p = 1,1 \cdot 1713 = 1885$  Па.

нимимальные скорости (графа 5) принимают по соответствующим нормативным материалам в зависимости от типа обслуживаемого станка. В графе 6 проставляют длины участков.

Расчет начинают с самого неблагоприятного участка, т. е. с участка, имеющего большую длину  $l$  и большее количество местных сопротивлений. В данном примере начинаем расчет с участка № 1.

Для выбранного участка по табл. 22.15, исходя из количества перемещаемого воздуха (графа 4) и минимальной скорости воздуха (графа 5), находят диаметр воздуховода, обеспечивающий ближайшую большую скорость, значение которого вносят в графу 9. Одновременно в графу 8 записывают значения действительной скорости воздуха, а в графу 14 – соответствующее ей скоростное давление.

По табл. 22.56 находят значение  $\lambda/d$  и подставляют в графу 11.

Перемножая величины в графах 6 и 10, получают приведенный коэффициент трения  $\zeta_s$ , значение которого вносят в графу 11.

В графу 12 записывают сумму коэффициентов местных сопротивлений на участке, определяемую по табл. 22.52–22.55.

Сумму величин, помещенных в графах 11 и 12, вносят в графу 13. Умножая величину, приведенную в графе 13, на скоростное давление (графа 14), получают полную потерю давления на расчетном участке, которую подставляют в графу 15.

Аналогично определяют потери давления на остальных участках в порядке их нумерации.

Если полные потери давления на участке получаются меньше расчетных более чем на 5%, то увеличивают количество воздуха до значения, определяемого следующим образом:

а) делением расчетного значения потерь давления на сумму коэффициентов местных сопротивлений (графа 13) получают скоростное давление, которое вносят в графу 14;

б) по табл. 22.15 находят расчетную скорость воздуха, соответствующую полученному в предыдущем пункте скоростному давлению, и записывают ее в графу 8;

в) по диаметру воздуховода (графа 9) и расчетной скорости воздуха (графа 8) находят необходимое количество воздуха, которое подставляют в графу 7.

Если полные потери давления на участке превышают расчетные более чем на 5%, необхо-

димо принять ближайший больший диаметр воздуховода и пересчитать величины, приведенные в графах 10–13, а затем определить необходимый расход воздуха и внести его в графу 7.

Полученные в графе 7 расходы воздуха наносят на схему и путем их суммирования находят общую производительность системы.

Производительность вентилятора с учетом 10%-ного подсоса воздуха через неплотности воздуховодов и 10%-ного подсоса через неплотности циклона составляет  $L = 1,1 \cdot 1,1 \times 2870 = 3460 \text{ м}^3/\text{ч}$ .

Для очистки воздуха принимается циклон 2ЦН-11-630.

Скорость движения воздуха во входном патрубке циклона с площадью  $0,0495 \text{ м}^2$

$$v = \frac{3460}{3600 \cdot 0,0495} = 19,45 \text{ м/с.}$$

Потери давления в циклоне при данной скорости и коэффициенте местного сопротивления циклона  $\zeta_u = 5,2$

$$p_u = \frac{\rho v^2}{2} \zeta_u = 225 \cdot 5,2 = 1172 \text{ Па.}$$

Суммарная потеря давления для подбора вентиляторного агрегата

$$p_{\text{вент}} = 1885 + 1172 = 3057 \text{ Па.}$$

## 22.8. РАСЧЕТ ВОЗДУХОВОДОВ

### СИСТЕМ ВЕНТИЛЯЦИИ

#### ПРИ ЕСТЕСТВЕННОМ ПОБУЖДЕНИИ

Естественную вентиляцию следует рассчитывать, основываясь на действии гравитационных давлений, учитывая при этом наличие механической вентиляции.

Давление ветра надлежит учитывать только при решении вопросов защиты вентиляционных проемов от задувания.

Расчетное гравитационное давление для систем естественной вентиляции жилых, общественных и производственных зданий следует определять для температуры наружного воздуха, равной  $5^\circ\text{C}$ .

Расчетное гравитационное давление, Па, определяют по формуле

$$p = h(\rho_{\text{нар}} - \rho_{\text{вн}})g, \quad (22.18)$$

где  $h$  – высота воздушного столба, м;  $\rho_{\text{нар}}$  и  $\rho_{\text{вн}}$  – плотность наружного воздуха при  $t = 5^\circ\text{C}$  и внутреннего

воздуха,  $\text{кг}/\text{м}^3$ ;  $g$  – ускорение свободного падения,  $\text{м}/\text{с}^2$ .

Высоту воздушного столба  $h$  следует принимать:

а) для вытяжных воздуховодов: при наличии в помещении только вытяжки – от середины вытяжного отверстия до устья вытяжной шахты; при наличии притока – от середины высоты помещения до устья вытяжной шахты;

б) для приточных воздуховодов – от середины высоты приточной камеры до середины высоты помещения.

При необходимости повышения гравитационного давления рекомендуется на вытяжных шахтах предусматривать дефлекторы типа ЦАГИ.

Расчет воздуховодов (определение потерь давления на трение и местные сопротивления) следует вести по формуле (22.1).

Радиус действия вытяжных систем (горизонтальное расстояние между вертикальными осями вытяжной шахты и наиболее удаленного вытяжного отверстия) рекомендуется принимать не более 10 м.

## ПРИЛОЖЕНИЕ I ВЕНТИЛЯТОРЫ

### I.1. ВЕНТИЛЯТОРЫ РАДИАЛЬНЫЕ

#### I.1.1. Вентиляторы радиальные общего назначения (стальные) низкого и среднего давления

Предварительный подбор вентилятора по заданной производительности  $Q$  и оптимальному значению полного давления  $P_v$  производится по сводным графикам аэродинамических характеристик (рис. I.1, I.10, I.14 и I.16), причем величина  $P_v$  уточняется по ближайшей характеристике сводного графика. Полученная точка со значениями  $Q$  и  $P_v$  принимается «рабочей точкой» вентилятора. Окончательный подбор вентилятора осуществляется по графикам индивидуальных характеристик.

Выбор типоразмера вентилятора сводится, как правило, к подбору машины, потребляющей наименьшее количество энергии, т. е. имеющей наибольший КПД в данной «рабочей точке».

На сводных графиках характеристики показаны в границах, рекомендуемых по энергетическим показателям. В графиках индивиду-

альных характеристик эти участки выделены утолщенными линиями.

На графиках индивидуальных характеристик над кривыми давления указаны частоты вращения вентиляторов  $n$ , об/мин, а справа – окружные скорости рабочих колес  $u$ ,  $\text{м}/\text{с}$ . На этих графиках приведены линии постоянного КПД  $\eta$ , а также линии установочных мощностей  $N_y$ , кВт.

По выбранной «рабочей точке» на графиках индивидуальных характеристик находят полное условное обозначение индивидуальной характеристики вентилятора.

По полученному условному обозначению рабочей характеристики вентилятора в табл. I.1; I.7 и I.12 находят тип и установочную мощность двигателя, а также массу вентилятора.

Условное обозначение вентилятора на характеристиках и в табл. I.1; I.7; I.12 составлено в такой последовательности:

1) условное обозначение типа вентиляторов:

Б – для В.Ц4-76; В – для В.Ц14-46; Е – для В.Ц4-75;

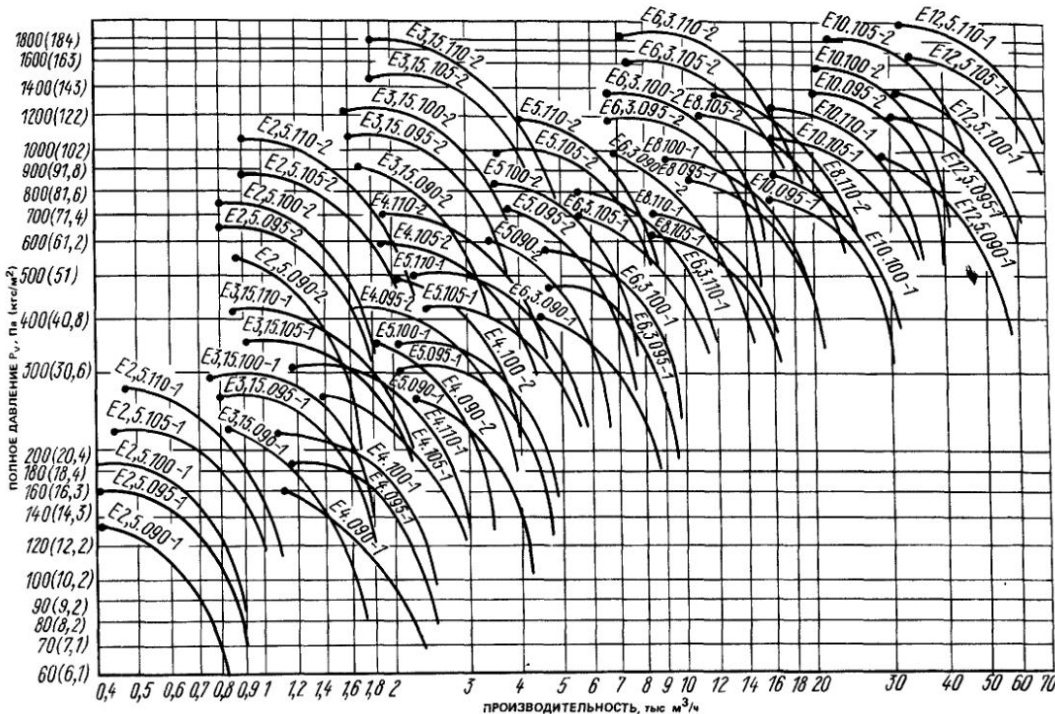


Рис. I.1. Сводный график характеристик вентиляторов В.Ц4-75 (исполнение 1)

2) номер вентилятора (согласно ГОСТ 10616-90\*) соответствует номинальному диаметру рабочего колеса, дм);

3) условное обозначение диаметра колеса (только для вентиляторов с промежуточными диаметрами колес):

090 – при  $D = 0,90D_{\text{ном}}$ ; 095 – при  $D = 0,95D_{\text{ном}}$ ;

100 – при  $D = 1,00D_{\text{ном}}$ ; 105 – при  $D = 1,05D_{\text{ном}}$ ;

110 – при  $D = 1,10D_{\text{ном}}$ ;

4) порядковый номер рабочей характеристики обозначается арабской цифрой – по возрастанию частот вращения для данного вентилятора;

5) буквенный индекс мощности обозначается прописной буквой (в случае когда на данной частоте вращения принята комплектация разными двигателями).

Примеры условных обозначений:

а) вентилятор В.Ц4-75 № 5 с диаметром рабочего колеса, равным  $1,05D_{\text{ном}}$ , с частотой вращения  $n = 1425$  об/мин (вторая характеристика), с двигателем мощностью  $N_y = 2,2$  кВт

тика), с двигателем мощностью  $N_y = 2,2$  кВт  
E5.105-2а;

б) вентилятор В.Ц4-75 № 16 с частотой вращения  $n = 565$  об/мин (четвертая характеристика), с двигателем мощностью  $N_y = 37$  кВт

E16-4;

в) вентилятор В.Ц4-76 № 10 с частотой вращения  $n = 1280$  об/мин (пятая характеристика), с двигателем мощностью  $N_y = 45$  кВт

B10-5;

г) вентилятор В.Ц4-46 № 3,15 с частотой вращения  $n = 1425$  об/мин (вторая характеристика), с двигателем мощностью  $N_y = 2,2$  кВт

B3,15.-2 в.

По заказу потребителя вентиляторы комплектуются виброизолирующими устройствами.

Вентиляторы В.Ц4-75 № 2 – 12,5 с колесом, насыженным непосредственно на вал элект-

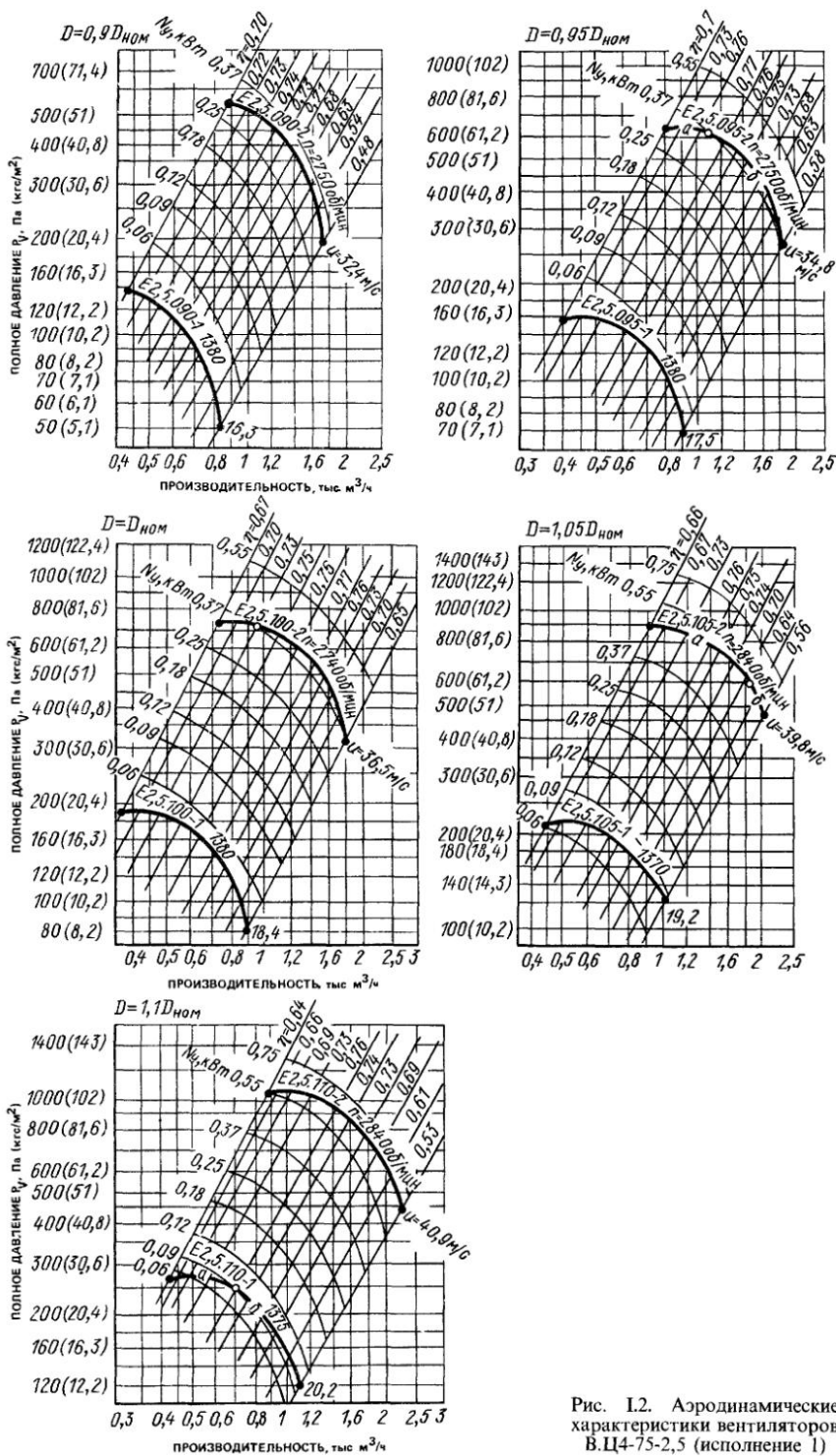


Рис. I.2. Аэродинамические характеристики вентиляторов Б.Ц-4-75-2,5 (исполнение 1)

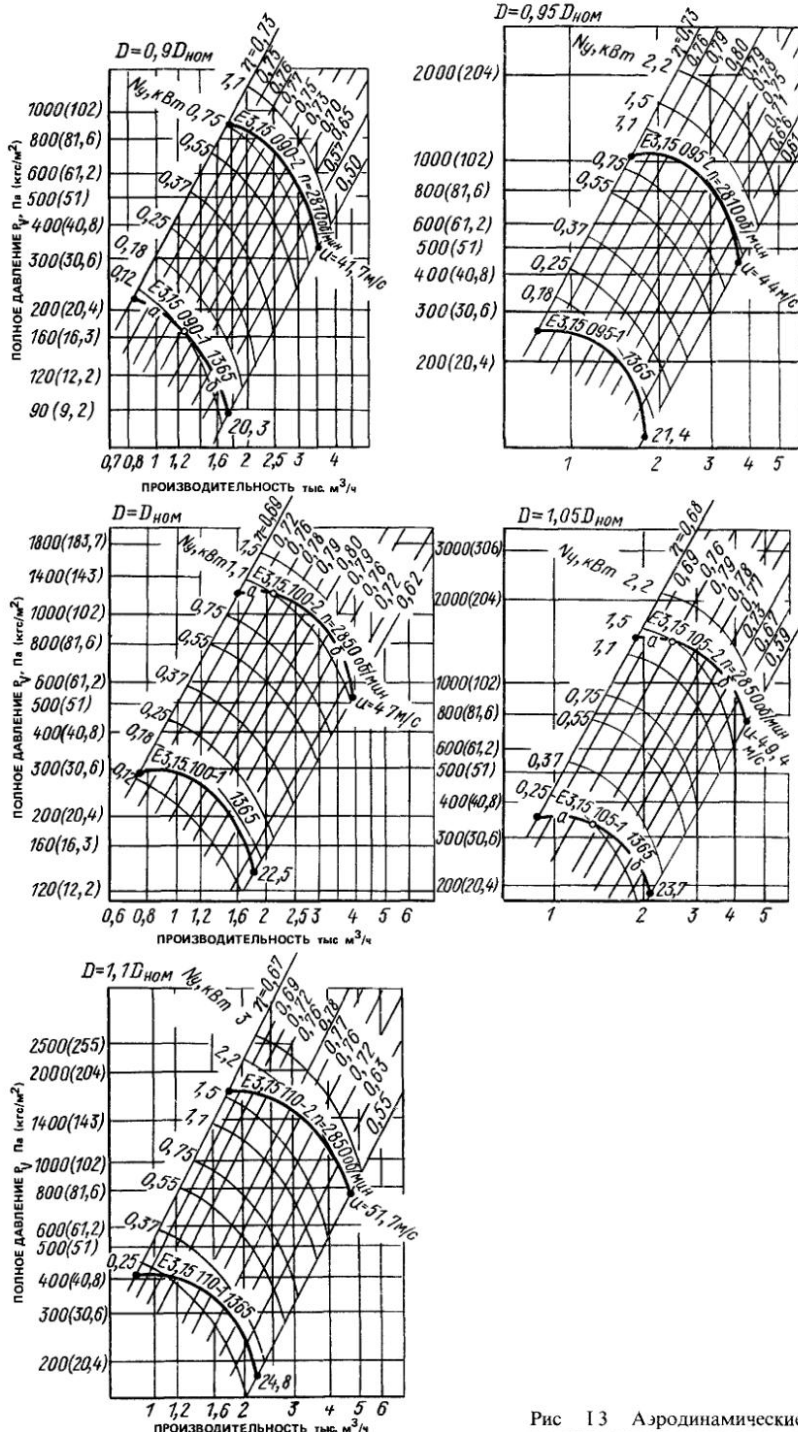


Рис. I 3 Аэродинамические характеристики вентиляторов Ц4-75-3,15 (исполнение 1)

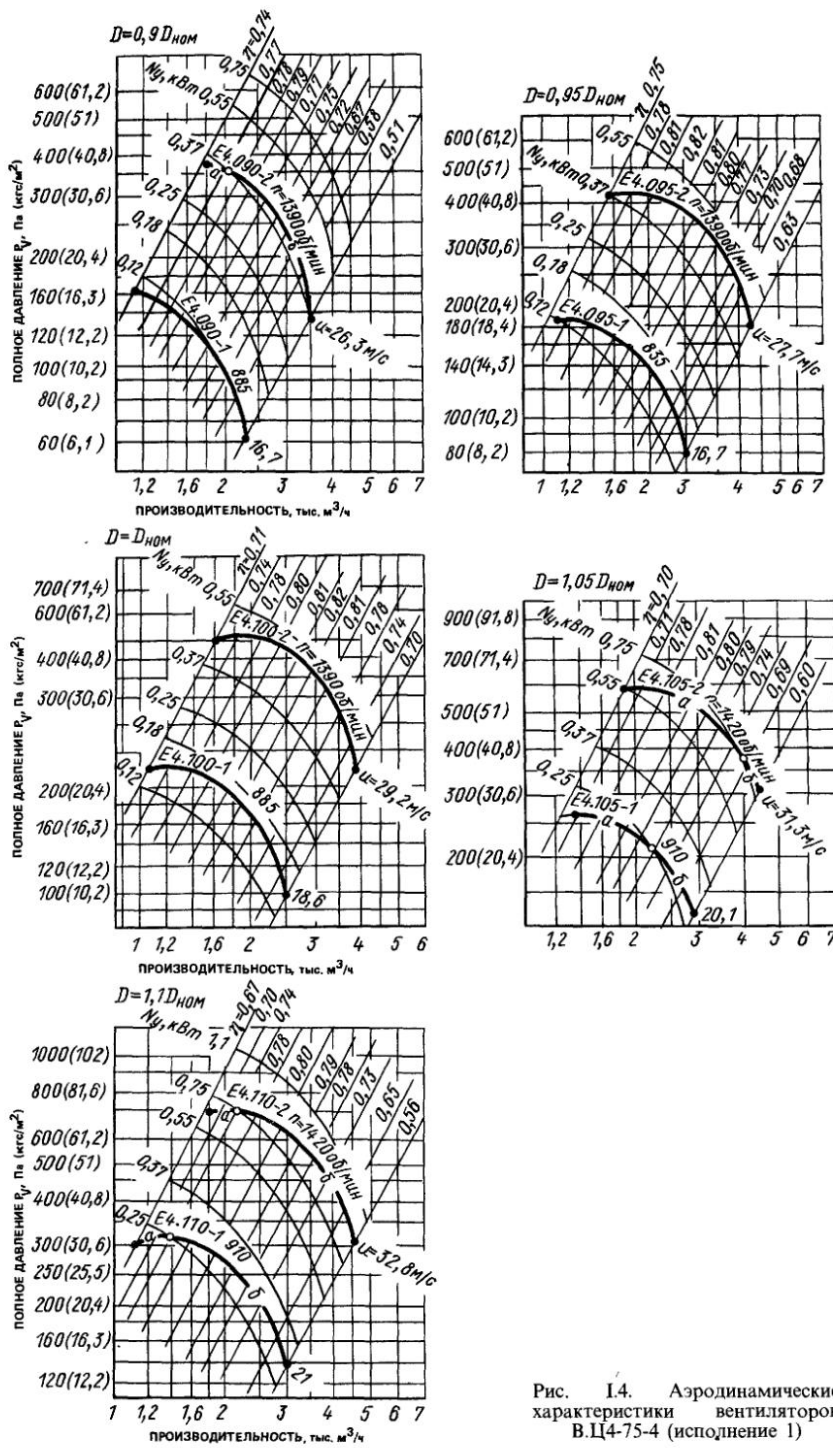


Рис. I.4. Аэродинамические характеристики вентиляторов В.Ц4-75-4 (исполнение 1)

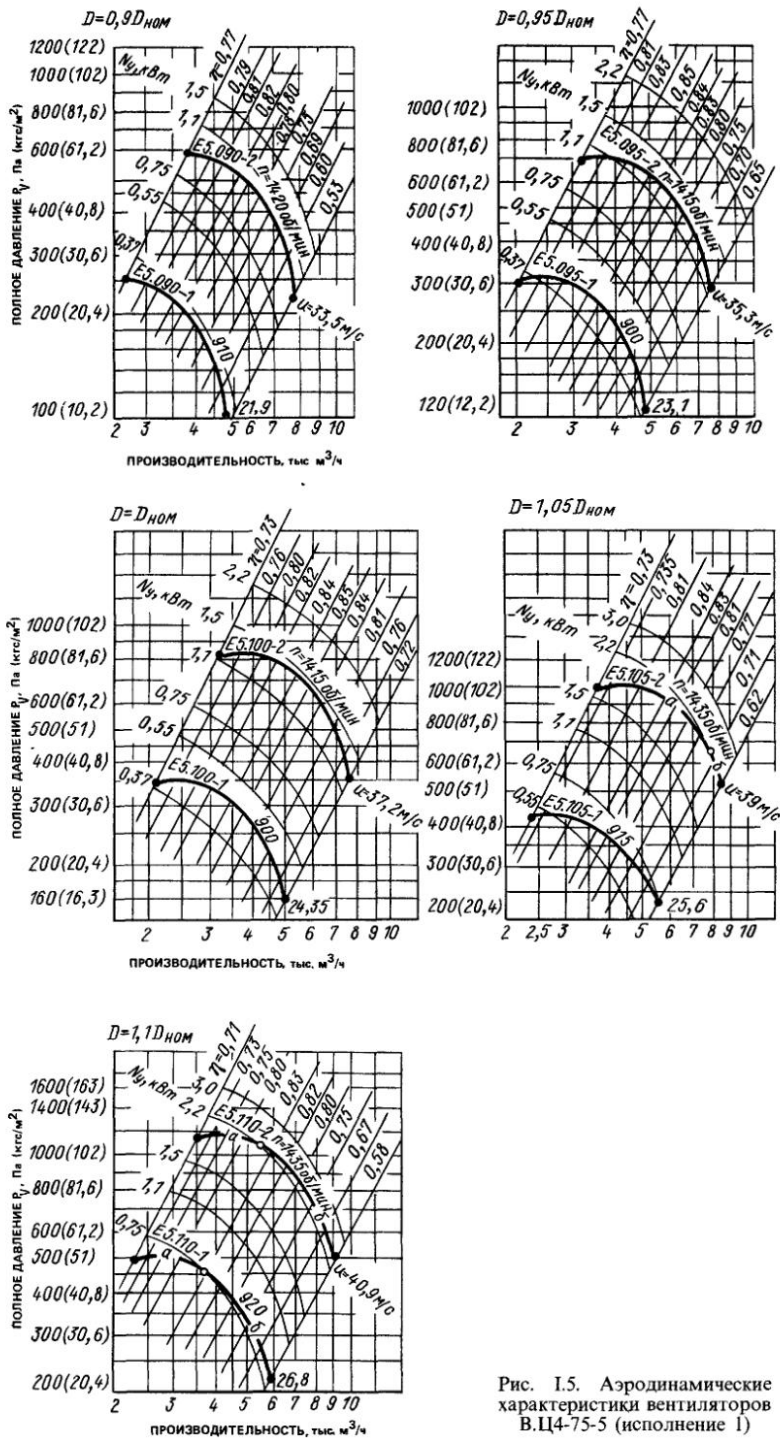


Рис. I.5. Аэродинамические характеристики вентиляторов В.Ц4-75-5 (исполнение I)

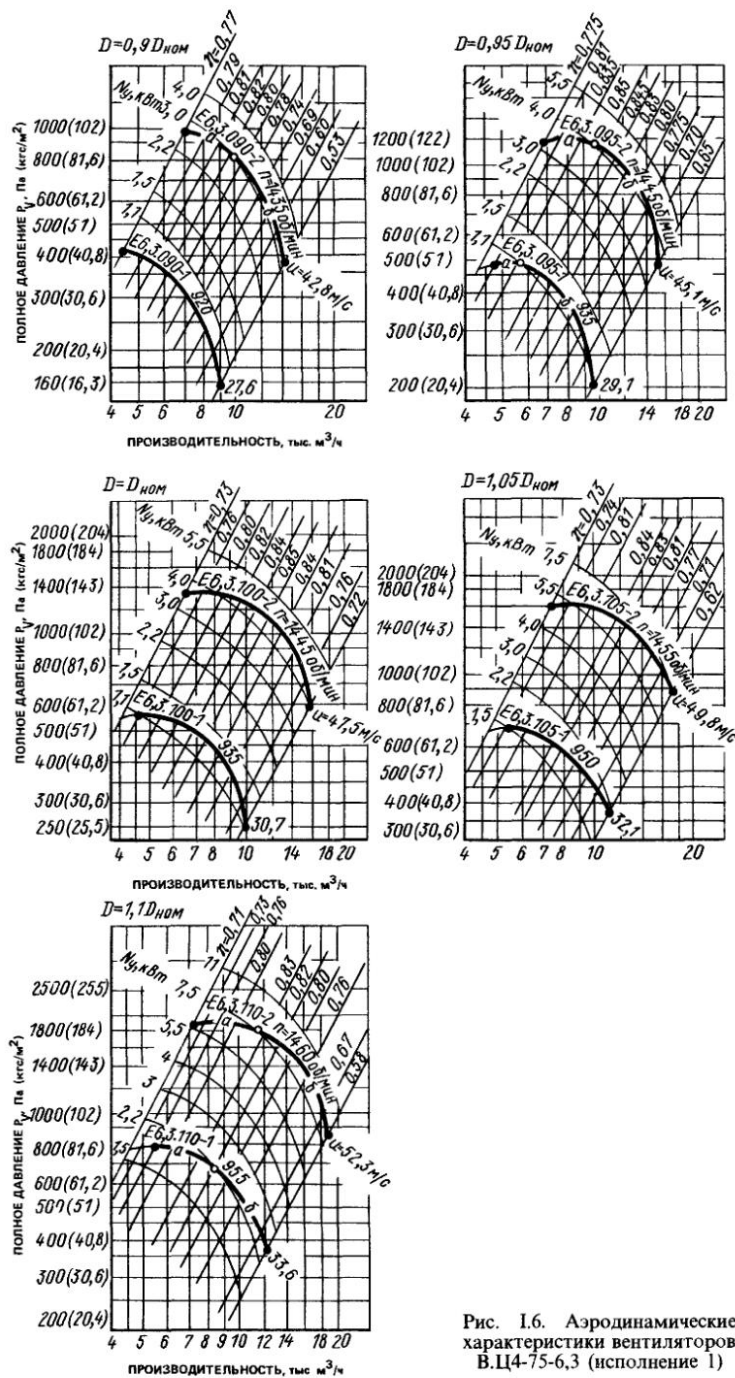


Рис. I.6. Аэродинамические характеристики вентиляторов В.И4-75-6,3 (исполнение 1)

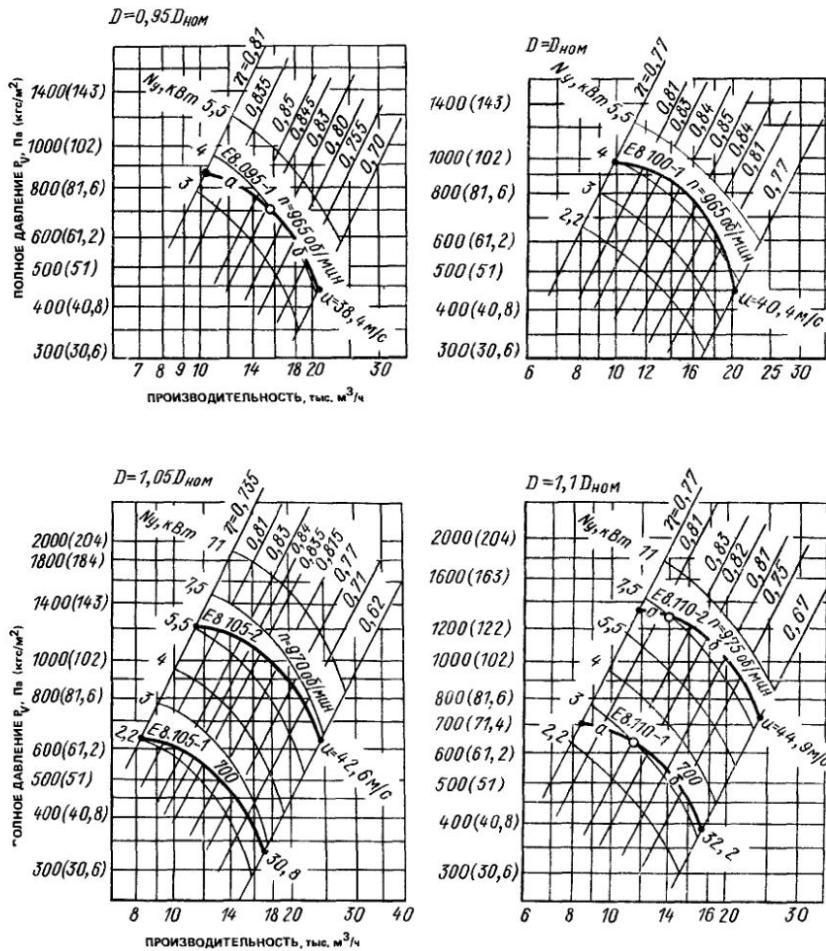


Рис. I.7. Аэродинамические характеристики вентиляторов В.Ц4-75-8 (исполнение 1)

рода двигателя (исполнение 1 по ГОСТ 5976-90) изготавливаются с промежуточными диаметрами колес.

Вентиляторы В.Ц4-75 разработаны по новой аэродинамической схеме взамен вентиляторов В.Ц4-70 и имеют более высокий коэффициент полезного действия.

Сводный график характеристик вентиляторов В.Ц4-75, выполненных по конструктивному исполнению 1 (ГОСТ 5976-90), представлен на рис. I.1, индивидуальные характеристики на рис. I.2–I.9.

Технические данные вентиляторов В.Ц4-75 с промежуточными диаметрами колес (испол-

нение 1) приведены в табл. I.1, основные размеры – в табл. I.2–I.6.

Сводный график характеристик вентиляторов В.Ц4-75 и В.Ц4-76 с ременным приводом (исполнение 6) (по ГОСТ 5976-90) дан на рис. I.10, индивидуальные характеристики – на рис. I.11–I.12.

Технические данные вентиляторов В.Ц4-75 и В.Ц4-76 (исполнение 6) приведены в табл. I.7, основные размеры вентиляторов В.Ц4-75 № 10 и 12,5 – в табл. I.8 и I.9.

На рис. I.13 приведены основные габаритные и присоединительные размеры вентилятора В.Ц4-75-16 (исполнение 6).

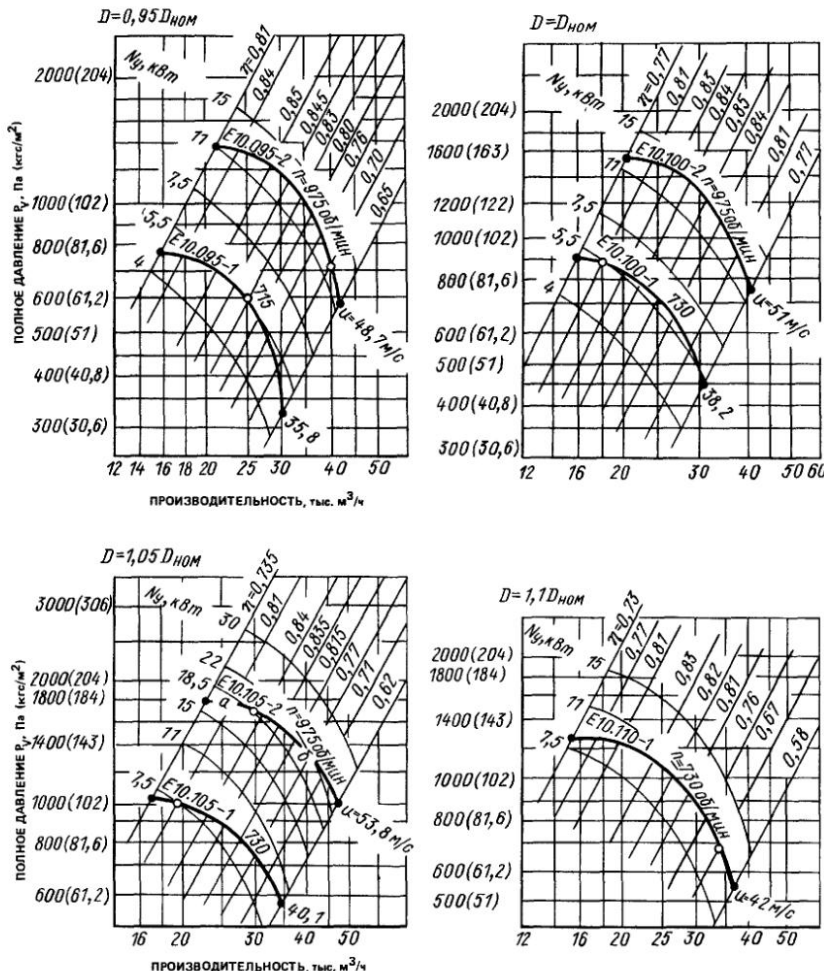


Рис. I.18. Аэродинамические характеристики вентиляторов В.Ц4-75-10 (исполнение 1)

Вентилятор В.Ц4-75-16 изготавливают правого и левого вращения со всеми положениями корпуса. Он поставляется заводом в невиброприводированном исполнении (см. рис. I.13). При необходимости поставки в вибровозприводированном исполнении требуется дополнительная рама. Все остальные размеры вентилятора приведены в Руководстве серии А 3-970.

Основные размеры вентиляторов В.Ц4-76 № 8 и 10 даны в табл. I.10 и I.11.

Сводный график характеристик вентиляторов В.Ц4-46 представлен на рис. I.14, индивидуальные характеристики – на рис. I.15, технические данные – в табл. I.12.

Основные размеры вентиляторов В.Ц4-46-2,5 – В.Ц4-46-8 даны в табл. I.13–I.16.

В табл. I.17 приведены основные размеры вентилятора В.Ц4-46-2. Он изготавливается без передней стойки и без виброприводов.

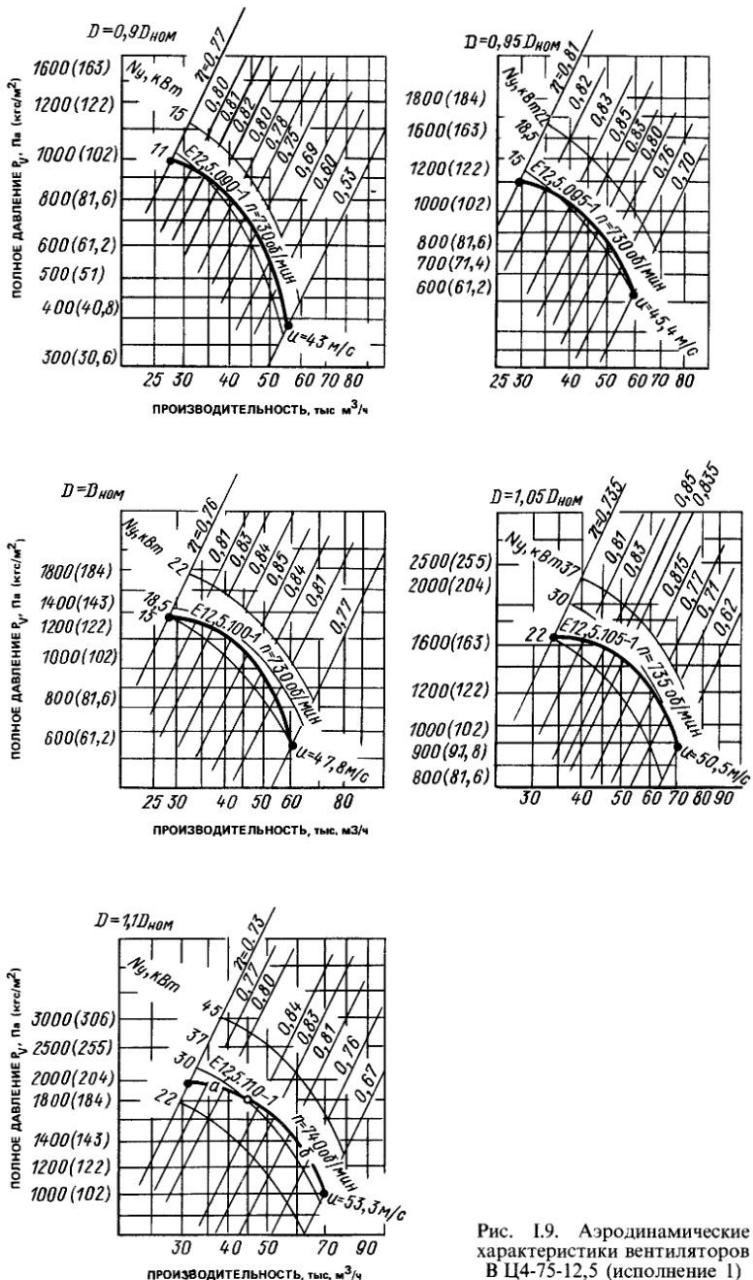


Рис. I.9. Аэродинамические характеристики вентиляторов В Ц4-75-12,5 (исполнение 1)

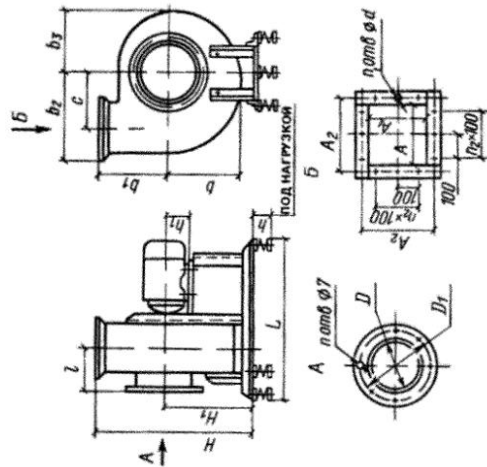
ТАБЛИЦА I.1 ТЕХНИЧЕСКИЕ ДАННЫЕ ВЕНТИЛЯТОРОВ В.Ц4-75 (ИСПОЛНЕНИЕ 1)  
С ПРОМЕЖУТОЧНЫМИ ДИАМЕТРАМИ КОЛЕС

Условное обозна- чение характери- стики	Вентилятор			Двигатель			Масса вен- тилятора (с дви- гателем), кг
	номер	диаметр коле- са, % $D_{ном}$	частота вра- щения $n_v$ , об/мин	тип	мощность, кВт	частота вра- щения $n_d$ , об/мин	
E2,5.090-1			1380	4AA50A4	0,06	1380	24
E2,5.090-2		90	2750	4AA63A2	0,37	2750	27
E2,5.095-1			1380	4AA504A	0,06	1380	24,2
E2,5.095-2a		95	2750	4AA63A2	0,37	2750	27,2
E2,5.095-26			2740	4AA63B2	0,55	2740	27,2
E2,5.100-1			1380	4AA50A4	0,06	1380	24,8
E2,5.100-2		100	2740	4AA63B2	0,55	2740	27,3
E2,5.105-1	2,5		1370	4AA50B4	0,09	1370	24,5
E2,5.105-2a		105	2740	4AA63B2	0,55	2740	27,5
E2,5.105-26			2840	4A71A2	0,75	2840	36,3
E2,5.110-1a			1370	4AA50B4	0,09	1370	24,6
E2,5.110-16		110	1375	4AA56A4	0,12	1375	25,8
E2,5.110-2			2840	4A71A2	0,75	2840	36,4
E3,15.090-1a			1375	4AA56A4	0,12	1375	35,5
E3,15.090-16		90	1365	4AA56B4	0,18	1365	35,5
E3,15.080-2			2810	4A71B2	1,1	2810	46,1
E3,15.095-1	3,15		1365	4AA56B4	0,18	1365	35,8
B3,15.095-2			2810	4A71B2	1,1	2810	46,4
E3,15.100-1			1365	4AA56B4	0,18	1365	36
E3,15.100-2a		100	2810	4A71B2	1,1	2810	46,6
E3,15.100-26			2850	4A80A2	1,5	2850	48,9
E3,15.105-1a			1380	4AA63A4	0,25	1380	38,1
E3,15.105-16			1365	4AA63B4	0,37	1365	38,1
E3,15.105-2a	105		2850	4A80A2	1,5	2850	49,2
E3,15.105-26			2850	4A80B2	2,2	2850	52,2
E3,15.110-1			1365	4AA63B4	0,37	1365	38,3
E3,15.110-2		110	2850	4A80B2	2,2	2850	52,4
E4.090-1			885	4AA63A6	0,18	885	53
E4.090-2a	90		1365	4AA63B4	0,37	1365	53
E4.090-26			1390	4A71A4	0,55	1390	61,8
E4.095-1			885	4AA63A6	0,18	885	53,5
E4.095-2	95		1390	4A71A4	0,55	1390	62,3
E4.100-1		100	885	4AA63A6	0,18	885	53,9
E4.100-2			1390	4A71A4	0,55	1390	62,7
E4.105-1a			890	4AA63B6	0,25	890	54,3
E4.105-16			910	4A71A6	0,37	910	63,1
E4.105-2a	105		1390	4A71B4	0,75	1390	63,1
E4.105-26			1420	4A80A4	1,1	1420	65,4
E4.110-1a			890	4AA63B6	0,25	890	54,8
E4.110-16			910	4A71A6	0,37	910	63,6
E4.110-2a	110		1390	4A71B4	0,75	1390	63,6
E4.110-26			1420	4A80A4	1,1	1420	65,9
E5.090-1	· 90		910	4A71A6	0,37	910	89,4
E5.090-2			1420	4A80A4	1,1	1420	91,8

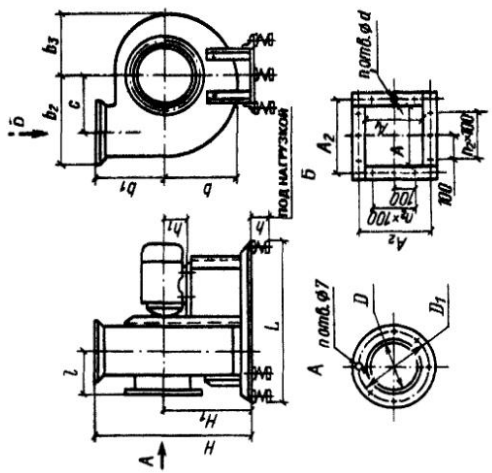
Условное обозна- чение характери- стики	Вентилятор			Двигатель			Масса венти- лятора (с дви- гателем), кг
	номер	диаметр коле- са, % $D_{\text{ном}}$	частота вра- щения $n_{\text{вр}}$ , об/мин	тип	мощность, кВт	частота вра- щения $n_{\text{дв}}$ , об/мин	
E5.095-1		95	900	4A71B6	0,55	900	90,3
E5.095-2			1415	4A80B4	1,5	1415	95,2
E5.100-1		100	900	4A71B6	0,55	900	91,1
E5.100-2			1415	4A80B4	1,5	1415	96
E5.105-1			915	4A80A6	0,75	915	94,3
E5.105-2a	5	105	1425	4A90L4	2,2	1425	105,5
E5.105-26			1435	4A100S4	3	1435	112,8
E5.110-1a			915	4A80A6	0,75	915	95,1
E5.110-16			920	4A80B6	1,1	920	97,6
E5.110-2a		110	1425	4A90L4	2,2	1425	106,3
E5.110-26			1435	4A100S4	3	1435	113,6
E6.3.090-1			920	4A80B6	1,1	920	160,2
E6.3.090-2a		90	1435	4A100S4	3	1435	176,2
E6.3.090-26			1430	4A100L4	4	1430	182,2
E6.3.095-1a			920	4A80B6	1,1	920	161
E6.3.095-16		6,3	935	4A90L6	1,5	935	169,7
E6.3.095-2a			1430	4A100L4	4	1430	183
E6.3.095-26			1445	4A112M4	5,5	1445	197
E6.3.100-1			935	4A90L6	1,5	935	171,7
E6.3.100-2			1445	4A112M4	5,5	1445	199
E6.3.105-1			950	4A100L6	2,2	950	186,3
A6.3.105-2			1455	4A132S4	7,5	1455	221,3
E6.3.110-1a			950	4A100L6	2,2	950	187,7
E6.3.110-16			955	4A112MA6	3	955	201,7
E6.3.110-2a			1455	4A132S4	7,5	1455	222,7
E6.3.110-26			1460	4A132M4	11	1460	238,7
E8.095-1a		95	950	4A112MB6	4	950	301
E8.095-16			965	4A132S6	5,5	965	322
E8.100-1		100	965	4A132S6	5,5	965	322
E8.105-1	8	105	700	4A112MB8	3	700	301
E8.105-2			970	4A132M6	7,5	970	338
E8.110-1a			700	4A112MB8	3	700	301
E8.110-16			720	4A132S8	4	720	322
E8.110-2a		110	970	4A132M6	7,5	970	338
E8.110-26			975	4A160S6	11	975	380
E10.095-1		95	720	4A132M8	5,5	720	438
E10.095-2			975	4A160M6	15	975	505
E10.100-1		100	730	4A160S8	7,5	730	480
E10.100-2			975	4A160M6	15	975	505
E10.105-1	10		730	4A160M8	11	730	505
E10.105-2a		105	975	4A180M6	18,5	975	540
E10.105-26			975	4A200M6	22	975	615
E10.110-1		110	730	4A160M8	11	730	505
E12.5.090-1		90	730	4A180M8	15	730	715
E12.5.095-1		95	735	4A200M8	18,5	735	790
E12.5.100-1	12,5	100	735	4A200M8	18,5	735	790
E12.5.105-1		105	735	4A225M8	30	735	875
E12.5.110-1a			735	4A225M8	30	735	875
E12.5.110-16		110	735	4A250S8	37	735	1010

ТАБЛИЦА 12 ОСНОВНЫЕ ГАБАРИТНЫЕ И ПРИСОЕДИНИТЕЛЬНЫЕ РАЗМЕРЫ, ММ, ВЕНТИЛЯТОРОВ В Ц4-75-2,5 – В Ц4-75-6,3  
ИСПОЛНИЕ 1)

#### (ИСПОЛНЕНИЕ 1)



Продолжение табл I 2



Продолжение табл. I.2

Номер вентилятора	Тип двигателя	H	H <sub>1</sub>	h	h <sub>1</sub>	L	l	c	b	b <sub>1</sub>	b <sub>2</sub>	b <sub>3</sub>	D	D <sub>1</sub>	A	A <sub>1</sub>	A <sub>2</sub>	d	n	n <sub>1</sub>	n <sub>2</sub>	шт.		
																						шт.		
4A80B		1102	694																	80				
4A90L		1112	704																	90				
6,3	4A100S	1122	714	110	100	920	301	409	564	408	656	487	633	660	444	441	470	7	16	20	4			
	4A100L																							
	4A112M	1134	726																					
	4A132S																							
4A132M		1154	746																	132				

Примечания I. Вентиляторы изготавливают правового и левого вращения со всеми положениями корпуса по ГОСТ 5976-90. 2. Установочные размеры приведены в табл. I.3.

ТАБЛИЦА 1.3. УСТАНОВОЧНЫЕ РАЗМЕРЫ, ММ, ВЕНТИЛЯТОРОВ В.Ц4-75-2,5 ÷ В.Ц4-75-4  
(ИСПОЛНЕНИЕ 1)

Номер вентилятора	Тип двигателя	Тип виброподшипника	с	$c_1$	$c_2$	$c_3$	$c_4$	$c_5$	а	$c_6$ для вентилятора					
										правого вращения			левого вращения		
										при угле установки корпуса, град					
										0; 45; 315	135	90; 270	0; 45; 315	135	90; 270
2,5	4AA50 4AA56 4AA63 4A71	Д038	260	400	116	284	85	30	70	+50	-50	0	-50	+50	0
3,15	4AA56 4AA63 4A71 4A80	Д038	340	540	144	396	90	—	70	+50	-50	0	-50	+50	0
4	4AA63 4A71 4A80	Д039	370	620	182	438	140	—	80	+50	-50	0	-50	+50	0
								192	230						

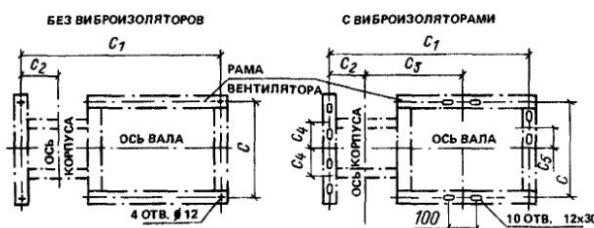
Примечания: 1. План расположения виброподшипников дан для всех положений корпуса, кроме Пр 180° и Л180° (для положений Пр180° и Л180° см. «Руководство» серии А3-970).

2. Знак минус перед размером  $c_6$  означает, что виброподшипник расположен с противоположной стороны от оси вала.

3. Количество виброподшипников - 5.

4. Виброподшипники к полу крепить не требуется.

5. При монтаже вентиляторов на металлоконструкциях виброподшипники следует крепить к ним. Элементы металлоконструкций, к которым крепятся виброподшипники, должны совпадать в плане с соответствующими элементами рамы вентилятора. Отверстия для крепления виброподшипников в металлоконструкции выполняются после корректировки положения виброподшипников.

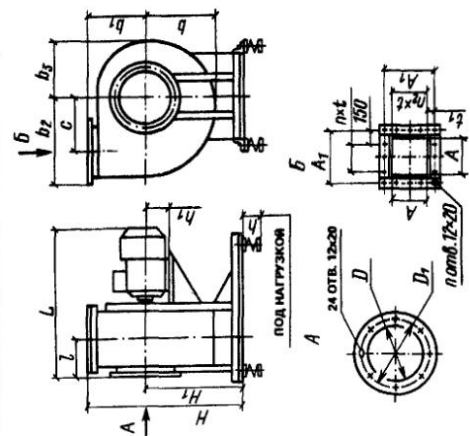
ТАБЛИЦА I.4. УСТАНОВОЧНЫЕ РАЗМЕРЫ, ММ, ВЕНТИЛЯТОРОВ В.Ц4-75 № 5 И 6.3  
(ИСПОЛНЕНИЕ 1)

Номер вентилятора	Тип двигателя	Виброизолятор		c	c <sub>1</sub>	c <sub>2</sub>	c <sub>3</sub>	c <sub>4</sub>	c <sub>5</sub> для вентилятора												
		тип	количество						правого вращения				левого вращения								
		при угле установки корпуса, град				0; 45; 315				135; 180				90; 270							
	4A71								310												
	4A80								320												
5	4A90	Д040		380	660	230	330	130	+100	-100	-40	-100	+100	+40							
	4A100								340												
	4A112	5							350												
	4A90								450												
6,3	4A100	Д041		460	830	285	—	180	+120	-120	-50	-120	+120	+50							
	4A112								470												
	4A132								490												

Примечания: 1. Знак минус перед размером  $c_5$  означает, что виброизолятатор расположен с противоположной стороны.

2. См. примечания 4 и 5 к табл. I.3.

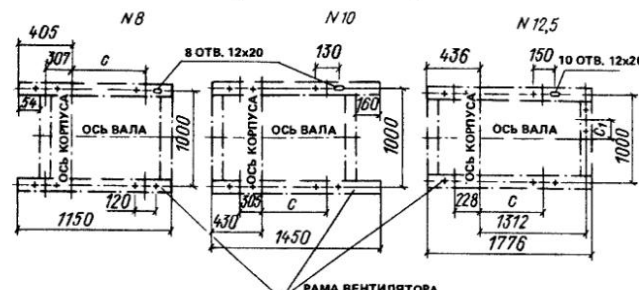
ТАБЛИЦА 1.5. ОСНОВНЫЕ ГАБАРИТНЫЕ И ПРИСОЕДИНЕННИЕ РАЗМЕРЫ, ММ, ВЕНТИЛЯТОРОВ ВЦ4-75-8; ВЦ4-75-10; ВЦ4-75-12,5 С ПРОМЕЖУТОЧНЫМИ ДИАМЕТРАМИ КОЛЕС (ИСПОЛНЕНИЕ 1)



Номер вентилятора	Тип двигателя	<i>H</i>	<i>H</i> <sub>1</sub>	<i>h</i>	<i>h</i> <sub>1</sub>	<i>L</i>	<i>t</i>	<i>c</i>	<i>b</i>	<i>b</i> <sub>1</sub>	<i>b</i> <sub>2</sub>	<i>b</i> <sub>3</sub>	<i>D</i>	<i>D</i> <sub>1</sub>	<i>A</i>	<i>A</i> <sub>1</sub>	<i>t</i>	<i>t</i> <sub>1</sub>	<i>n</i>	<i>n</i> <sub>1</sub>	<i>n</i> <sub>2</sub>	Масса с днищем, кг			
4	4A112MB			112	1090															301	—	150	—	438	
8	4A132S	1460	930	130	132	1120	385	520	715	530	842	615	800	835	560	600	16	2	4	322				480	
8	4A132M																			338				505	
8	4A160S																			380				540	
																									615
10	4A160M	1756	1100	130	160	1370	160	455	650	890	656	1042	765	1000	1035	700	750	20	3	5	505				790
10	4A180M																			540				875	
10	4A200M																			615				1010	
12,5	4A225A	2160	1350	160	225	1730	543	812,5	1110	810	1292	952	1250	1285	875	925	125	25	28	5	7	790			715
12,5	4A250S																			790				438	

Примечания: 1. Вентиляторы изготавливают правового и левого вращения со всеми положениями корпуса, кроме Пр180° и Л180° по ГОСТ 5976-90.  
2. Установочные размеры приведены в табл. 1.6.

ТАБЛИЦА I.6. УСТАНОВОЧНЫЕ РАЗМЕРЫ, ММ, ВЕНТИЛЯТОРОВ В.Ц4-75-8; В.Ц4-75-10; В.Ц4-75-12,5  
(ИСПОЛНЕНИЕ 1)



Номер вентилятора	Тип двигателя	Тип виброподшипника	Количество виброподшипников	c	$c_1$ для вентилятора	
					правого вращения	
					левого вращения	
					при угле установки корпуса, град	
8	4A112MB				0; 45; 315	135
	4A132S				90; 270	0; 45; 315
	4A132M	Д042	4	564	135	90; 270
	4A160S			650	—	—
10	4A132M				784	—
	4A160S				845	—
	4A160M	Д043	4	880	—	—
	4A180M			935	—	—
12,5	4A200M				1025	—
	4A180M				592	—
	4A200M				710	—
	4A225M	Д044	5	840	+ 360	— 360
	4A250S			988	0	— 360

Примечания: 1. Знак минус перед размером  $c_1$  означает, что виброподшипник расположен с противоположной стороны от оси вала.

2. При установке вентиляторов без виброподшипников под фундаментные болты следует использовать отверстия для виброподшипников.

3. См. примечания 4 и 5 к табл. I.3.

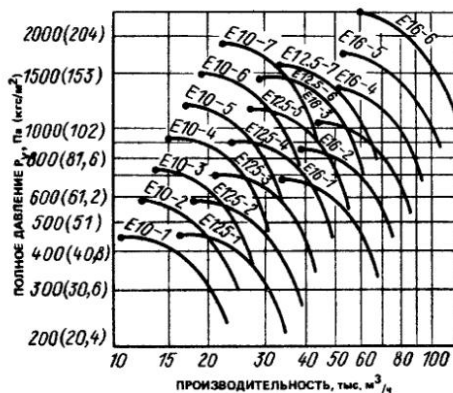


Рис. I.10. Сводный график характеристик вентиляторов В.Ц4-75 и В.Ц4-76 (исполнение 6)

←

→

Рис. I.12. Аэродинамические характеристики вентиляторов В.Ц4-76-8 (а) и В.Ц4-76-10 (б) (исполнение 6)

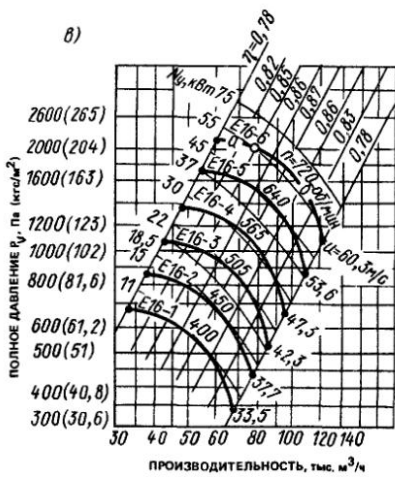
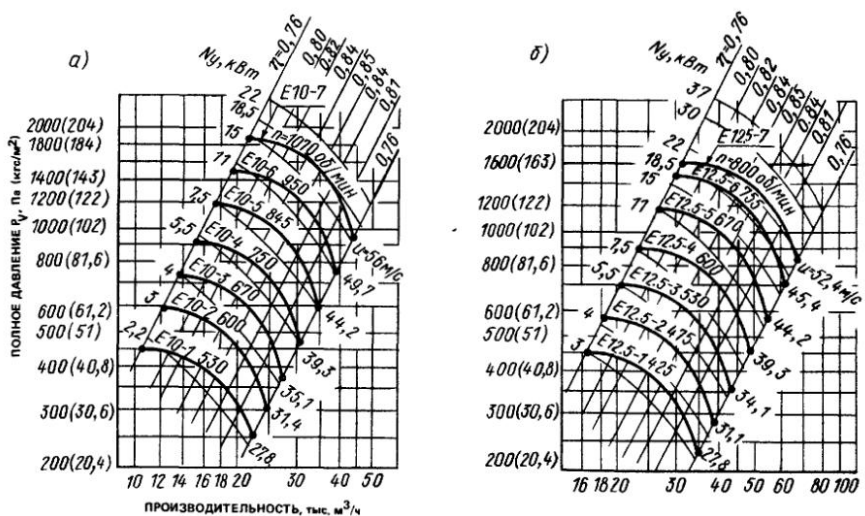


Рис. I.11. Аэродинамические характеристики вентиляторов В.Ц4-75-10 (*a*), В.Ц4-75-12,5 (*b*), В.Ц4-75-16 (*c*) (исполнение 6)

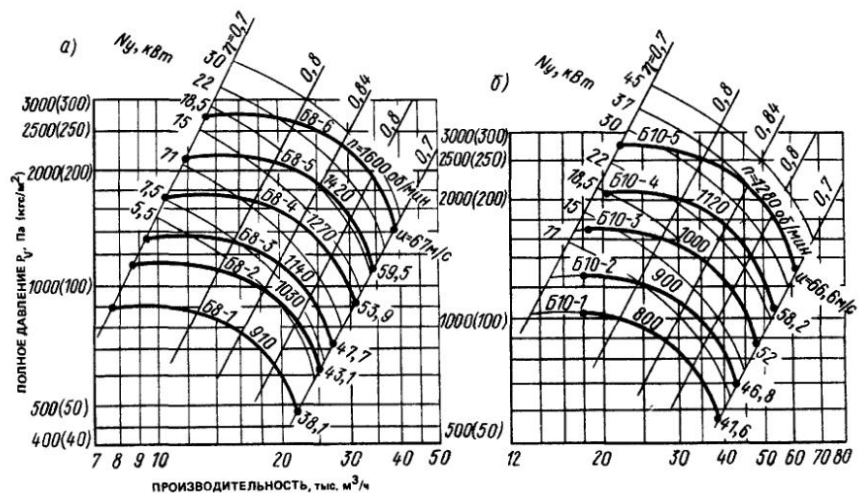
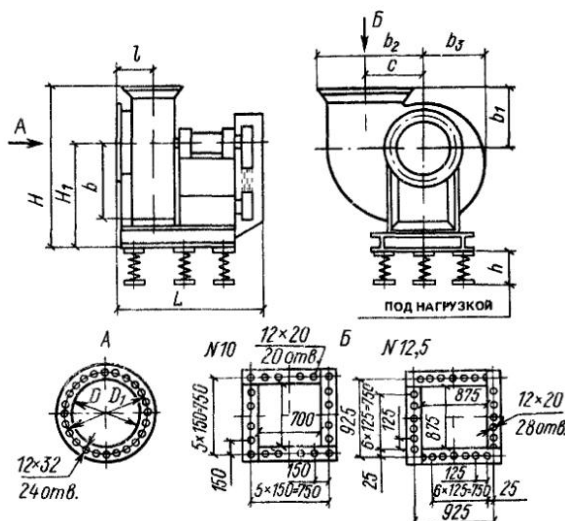


ТАБЛИЦА I.7. ТЕХНИЧЕСКИЕ ДАННЫЕ ВЕНТИЛЯТОРОВ В.Ц4-75 И В.Ц4-76 (ИСПОЛНЕНИЕ 6)

Условное обозначение характеристики	Вентилятор		Двигатель			Масса вентилятора (с двигателем), кг
	номер	частота вращения $n_a$ , об/мин	тип	мощность, кВт	частота вращения $n_{дв}$ , об/мин	
<b>Вентиляторы В.Ц4-75</b>						
E10-1	10	530	4A112MA6	3	955	600
E10-2		600	4A112MB6	4	950	600
E10-3		670	4A132S6	5,5	965	620
E10-4		750	4A132M6	7,5	970	636
E10-5		845	4A160S6	11	975	678
E10-6		950	4A160M6	15	975	703
E10-7		1070	4A180M6	18,5	975	738
E12,5-1	12,5	425	4A112MB6	4	950	920
E12,5-2		475	4A132S6	5,5	965	960
E12,5-3		530	4A132M6	7,5	970	980
E12,5-4		600	4A160S6	11	975	1020
E12,5-5		670	4A160M6	15	975	1060
E12,5-6		755	4A200M6	22	975	1165
E12,5-7		800	4A200L6	30	980	1210
E16-1	16	400	4A160S4	15	1465	2065(2425)*
E16-2		450	4A160M4	18,5	1465	2095(2450)
E16-3		505	4A180M4	30	1470	2125(2485)
E16-4		565	4A200M4	37	1475	2200(2560)
E16-5		640	4A225M4	55	1480	2285(2645)
E16-6a		720	4A225M4	55	1480	2285(2645)
E16-6б		720	4A250S4	75	1480	2465(2825)
<b>Вентиляторы В.Ц4-76</b>						
B8-1	8	910	4A112MA4	5,5	1445	546
B8-2		1030	4A132S4	7,5	1455	575
B8-3		1140	4A132M4	11	1460	605
B8-4		1270	4A160S4	15	1465	647
B8-5		1420	4A180S4	22	1470	717
B8-6		1600	4A180M4	30	1470	767
B10-1	10	800	4A132M4	11	1460	790
B10-2		900	4A160S4	15	1465	830
B10-3		1000	4A180S4	22	1470	876
B10-4		1120	4A180M4	30	1470	933
B10-5		1280	4A200L4	45	1475	1070

\* В скобках приведена масса вентиляторов в виброизолированном исполнении.

ТАБЛИЦА I.8. ОСНОВНЫЕ ГАБАРИТНЫЕ И ПРИСОЕДИНИТЕЛЬНЫЕ РАЗМЕРЫ, ММ,  
ВЕНТИЛЯТОРОВ В.Ц4-75-10 И В.Ц4-75-12,5 (ИСПОЛНЕНИЕ 6)

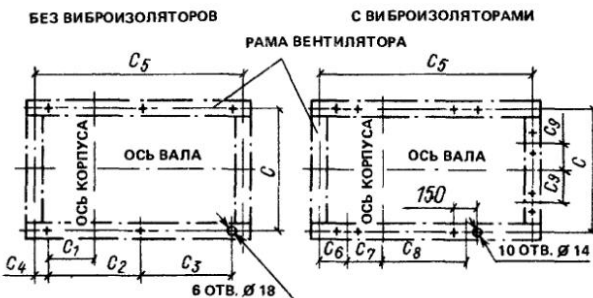


Номер вентилятора	Тип двигателя	<i>H</i>	<i>H<sub>1</sub></i>	<i>h</i>	<i>L</i>	<i>l</i>	<i>c</i>	<i>b</i>	<i>b<sub>1</sub></i>	<i>b<sub>2</sub></i>	<i>b<sub>3</sub></i>	<i>D</i>	<i>D<sub>1</sub></i>	Масса (с двигателем), кг
10	4A112MA6													600
	4A112MB6													600
	4A132S6													620
	4A132M6	1845	1200	125	1553	454	650	890	650	1040	770	1000	1035	636
	4A160S6													678
	4A160M6													703
	4A180M6													738
12,5	4A112MB6													920
	4A132S6													960
	4A132M6	2355	1540	110	1947	543,5	812	1109	815	1290	955	1250	1285	980
	4A160S6													1020
	4A160M6													1060
	4A200M6													1165
	4A200L6													1210

Примечания: 1. Вентиляторы изготавливают правого и левого вращения со всеми положениями корпуса по ГОСТ 5976-90.

2. Установочные размеры приведены в табл. I.9.

ТАБЛИЦА 1.9. УСТАНОВОЧНЫЕ РАЗМЕРЫ, ММ, ВЕНТИЛЯТОРОВ В.Ц4-75-10 И В.Ц4-75-12,5  
(ИСПОЛНЕНИЕ 6)



Номер вентилятора	Тип двигателя	c	$c_1$	$c_2$	$c_3$	$c_4$	$c_5$	$c_6$	$c_7$	$c_8$	c <sub>9</sub> для вентилятора							
											правого вращения				левого вращения			
											при угле установки корпуса, град							
											0; 45; 315	135	90; 270	0; 45; 315	135	90; 270		
10	4A112MA6										590							
	4A112MB6										590							
	4A132S6										605							
	4A132M6	840	376	720	540	63	1408	143	296	625	+285	-285	0	-285	+285	0		
	4A160S6										635							
	4A160M6										655							
	4M180M6										685							
12,5	4A112MB6										785							
	4A132S6										805							
	4A132M6	1080	404	785	750	114	1753	211	306	905	+400	-400	0	-400	+400	0		
	4A160S6										855							
	4A160M6										875							
	4A200M6										930							
	4A200L6										975							

Примечания: 1. Знак минус перед размером  $c_9$  означает, что виброизолятор расположен с противоположной стороны от оси вала.

2. Тип виброизолятора – равночастотный (черт. В.Ц4-75-10-11-08,09).  
 3. См. примечания 1, 3, 4, 5 к табл. I.3.

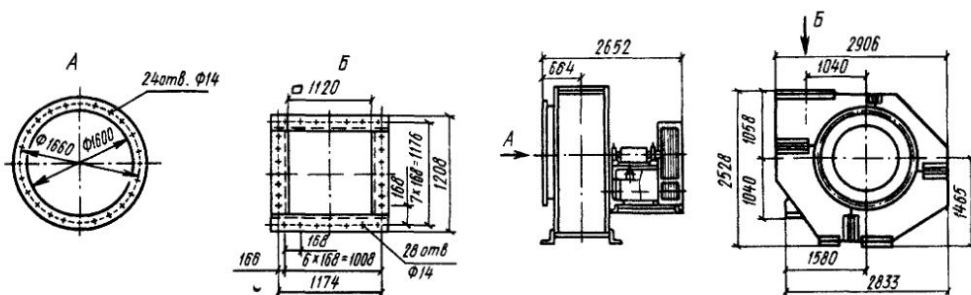
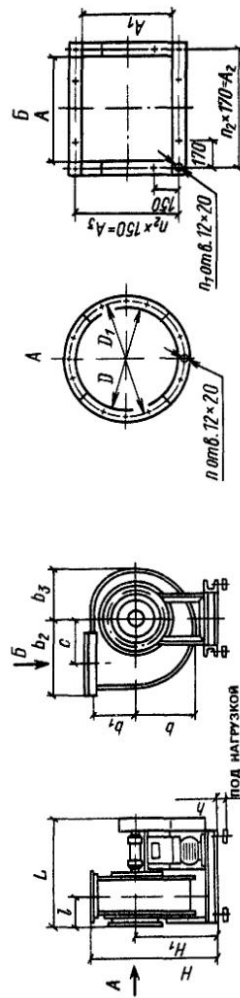


Рис. I.13. Вентилятор ВЦ4-75-16 (исполнение 6)

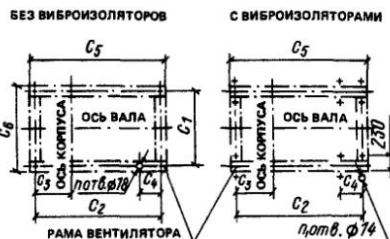
ТАБЛИЦА I.10. ОСНОВНЫЕ ГАБАРИТНЫЕ И ПРИСОЕДИННИТЕЛЬНЫЕ РАЗМЕРЫ, ММ, ВЕНТИЛЯТОРОВ В.Ц4-76-8 И В.Ц4-76-10  
(ИСПолнение 6)



Номер вентилятора	Тип двигателя	<i>H</i>	<i>H</i> <sub>1</sub>	<i>h</i>	<i>L</i>	<i>I</i>	<i>c</i>	<i>b</i>	<i>b</i> <sub>1</sub>	<i>b</i> <sub>2</sub>	<i>b</i> <sub>3</sub>	<i>D</i>	<i>D</i> <sub>1</sub>	<i>A</i>	<i>A</i> <sub>1</sub>	<i>A</i> <sub>2</sub>	<i>A</i> <sub>3</sub>	<i>n</i>	<i>n</i> <sub>1</sub>	<i>n</i> <sub>2</sub>	Масса (с двигателем), кг
4A112MA4																			546		
4A132S4																			575		
4A132M4	1545	1005	57 ÷ 88		368	560	778	540	920	660	800	830	640	560	680	600	16	16	4	605	
8	4A160S4																		647		
	4A180S4																		717		
	4A180M4																		767		
	4A132M4																		790		
	4A160S4																		830		
10	4A180S4	1900	1230	57 ÷ 88		462	698	968	670	1145	815	1000	1035	810	710	850	750	24	20	5	876
	4A180L4																		933		
	4A200L4																		1070		

Примечания 1. Установочные размеры приведены в табл. I.11.  
2. См. примеч. 1 к табл. I.2.

ТАБЛИЦА I.11. УСТАНОВОЧНЫЕ РАЗМЕРЫ, ММ, ВЕНТИЛЯТОРОВ В.Ц4-76-8 И В.Ц4-76-10  
(ИСПОЛНЕНИЕ 6) ДЛЯ ВСЕХ ПОЛОЖЕНИЙ КОРПУСОВ (КРОМЕ Пр180° И Л180°)



Номер венги- лятора	Тип двигателя	Количество виб- роизолятов	$c_1$	$c_2$	$c_3$	$c_4$	$c_5$	$c_6$	$n$	$n_1$
			шт.							
8	4A112MA4	4	750	950	208	—	1184	782	4	8
	4A132S4									
	4A132M4									
	4A160S4									
10	4A180S4	6	840	950	208	240	1255	872	6	12
	4A180M4									
	4A132M4									
	4A160S4									
10	4A180S4	6	840	1200	260	500	1408	872	6	12
	4A180M4									
	4A200L4					250	1478			

Примечания: 1. Установочные размеры для вентиляторов с положениями корпуса Пр180° и Л180° приведены в Руководстве, серии А3-907.

2. Тип виброзолятора 1980-8.05.000.

3. См. примечания 4 и 5 к табл. I.3.

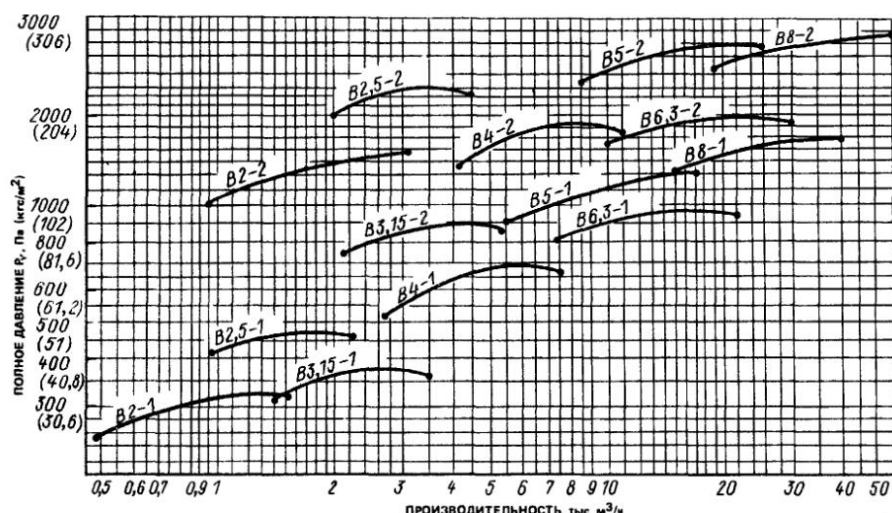


Рис. I.14. Сводный график характеристик вентиляторов В.Ц4-46 (исполнение 1)

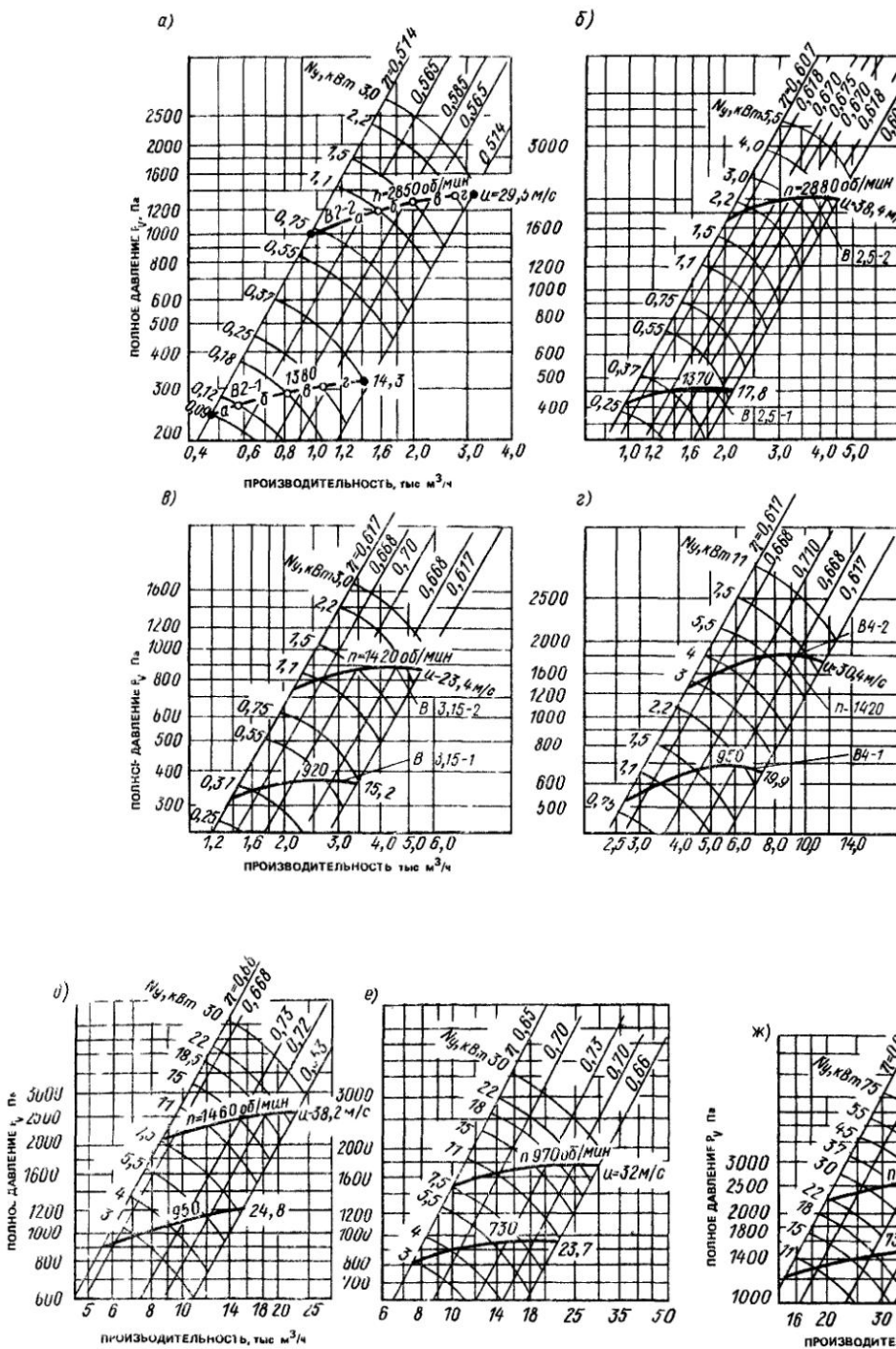


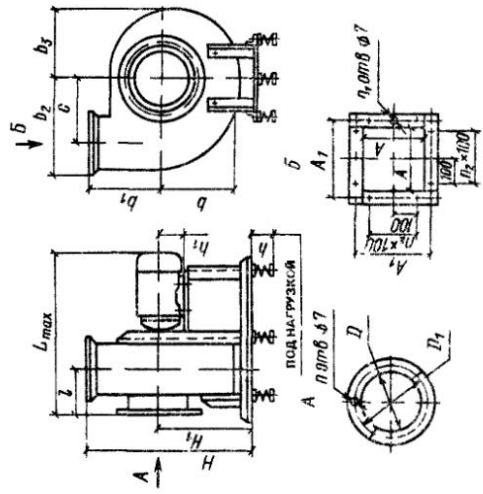
Рис. 115 Аэродинамические характеристики вентиляторов В Ц14-46-2 (а), В Ц14-46-2,5 (б), В Ц14-46-3,15 (в), В Ц14-46-4 (г.), В Ц14-46-5 (д), В Ц14-46-6,3 (е), В Ц14-46-8 (ж) (исполнение 1)

ТАБЛИЦА I.12. ТЕХНИЧЕСКИЕ ДАННЫЕ ВЕНТИЛЯТОРОВ В.Ц14-46 (ИСПОЛНЕНИЕ 1)

Условное обозна- чение характеристики	Вентилятор		Двигатель			Масса вентилято- ра (с двигателем), кг
	номер	частота вращения $n_{\text{в}}$ , об/мин	тип	мощность, кВт	частота вращения $n_{\text{дл}}$ , об/мин	
B2-1а		1375	4AA56A4	0,12	1375	20,5
B2-1б		1365	4AA56B4	0,18	1365	20,5
B2-1в	2	1380	4AA63A4	0,25	1380	24,3
B2-1г		1365	4AA63B4	0,37	1365	24,3
B2-2а		2810	4A71B2	1,1	2810	33,1
B2-2б		2850	4A80A2	1,5	2850	35,5
B2-2в		2850	4A80B2	2,2	2850	38
B2-2г		2850	4A90L2	3	2840	46,3
B2,5-1а		1365	4AA63B4	0,37	1365	33,1
B2,5-1б		1390	4A71A4	0,55	1390	42,1
B2,5-2а	2,5	2850	4A80B2	2,2	2850	47,1
B2,5-2б		2840	4A90L2	3	2840	55,7
B2,5-2в		2880	4A100S2	4	2880	63,5
B2,5-2г		2880	4A100L2	5,5	2880	69
B3,15-1а		900	4A71B6	0,55	900	52,6
B3,15-1б		915	4A80A6	0,75	915	54,9
B3,15-2а	3,15	1420	4A80A4	1,1	1420	54,9
B3,15-2б		1415	4A80B4	1,5	1415	57,9
B3,15-2в		1425	4A90L4	2,2	1425	66,2
B4-1а		920	4A80B6	1,1	920	76,7
B4-1б		935	4A90L6	1,5	935	86,2
B4-1в	4	950	4A100L6	2,2	950	99,2
B4-2а		1430	4A100L4	4	1430	99,2
B4-2б		1445	4A112M4	5,5	1445	115
B4-2в		1445	4A132S4	7,5	1455	139
B5-1а		955	4A112MA6	3	955	145
B5-1б		950	4A112MB6	4	950	145
B5-1в	5	965	4A132S6	5,5	965	166
B5-1г		970	4A132M6	7,5	970	181
B5-2а		1460	4A132M4	11	1460	181
B5-2б		1465	4A160S4	15	1465	224
B5-2в		1465	4A160M4	18,5	1465	249
B5-2г		1470	4A180S4	22	1470	264
B5-2д		1470	4A180M4	30	1470	284
B6,3-1а		720	4A132S8	4	720	224
B6,3-1б		720	4A132M8	5,5	720	232
B6,3-1в	6,3	730	4A160S8	7,5	730	275,6
B6,3-1г		730	4A160M8	11	730	299,6
B6,3-2а		975	4A160S6	11	975	275,6
B6,3-2б		975	4A160M6	15	975	299,6
B6,3-2в		975	4A180M6	18,5	975	334,6
B6,3-2г		975	4A200M6	22	975	410,6
B8-1а		730	4A180M8	15	730	408,6
B8-1б		735	4A200M8	18,5	735	503,6
B8-1в	8	730	4A200L8	22	730	544,4
B8-1г		735	4A225M8	30	735	590,4
B8-2а		980	4A200L6	30	980	544,4
B8-2б		980	4A225M6	37	980	590,4
B8-2в		985	4A250S6	45	985	725,4
B8-2г		985	4A250M6	55	985	770,4

ТАБЛИЦА I.13 ОСНОВНЫЕ ГАБАРИТНЫЕ И ПРИСОЕДИНИТЕЛЬНЫЕ РАЗМЕРЫ, ММ, ВЕНТИЛЯТОРОВ В Ц14-46-2,5 ... В Ц14-46-4  
(ИСПОЛНЕНИЕ 1)

(ИСПОЛНЕНИЕ 1)

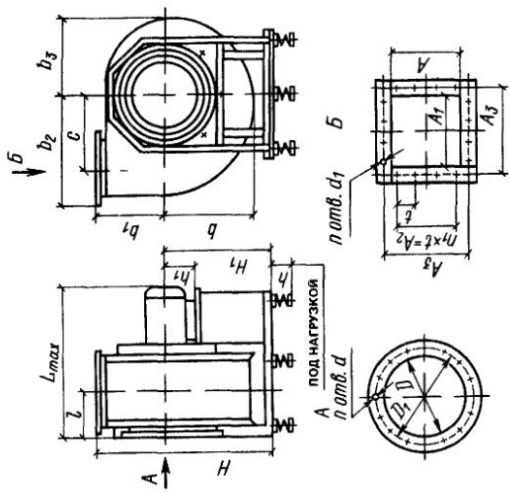


## Продолжение табл. I.3

Номер последовательности изделия	Тип двигателя	H	H <sub>1</sub>	h	h <sub>1</sub>	L <sub>max</sub>	l	c	b	b <sub>1</sub>	b <sub>2</sub>	b <sub>3</sub>	D	D <sub>1</sub>	A	A <sub>1</sub>	n	n <sub>1</sub>	n <sub>2</sub>	Масса (с двигателем), кг	
																				шт	шт
	4A71	631	391	49	71																52,6
	4A80A	640	400	48	80																54,9
3,15	4A80Б	650	410	47	90	590	177	208	295	240	347	255	323	345	224	255	8	12	2	57,9	
	4A90J1	650	410	43	90																66,2
	4A100S	660	420	40	100																73,5
	4A80A	771	480	62,5	80																73,7
	4A80P			115																	76,7
	4A90JL	781	490	57,5	90	705															86,2
4	4A100S	791	500	85	100																93,2
	4A100L			83																	99,2
	4A112M	80	512	78,5	112	725															115
	4A132S			532	71																135
	4A132M	823	66,5	132	755																155

Гарантическая 1 Установочные размеры приведены в табл. I.5  
2 См примеч к табл. I.2

ТАБЛИЦА I 14. ОСНОВНЫЕ ГАБАРИТНЫЕ И ПРИСОЕДИНИТЕЛЬНЫЕ РАЗМЕРЫ, ММ, ВЕНТИЛЯТОРОВ В.Д14-46-5 – В.Ц14-46-8



Продолжение табл. I.14

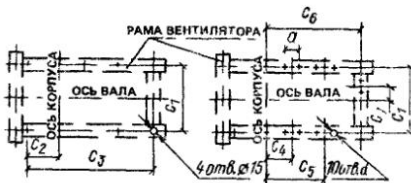
Номер вентилятора	Тип двигателя	<i>H</i>	<i>H<sub>1</sub></i>	<i>h</i>	<i>h<sub>1</sub></i>	<i>L<sub>max</sub></i>	<i>l</i>	<i>c</i>	<i>b</i>	<i>b<sub>1</sub></i>	<i>b<sub>2</sub></i>	<i>b<sub>3</sub></i>	<i>D</i>	<i>D<sub>1</sub></i>	<i>d</i>	<i>d<sub>1</sub></i>	<i>A</i>	<i>A<sub>1</sub></i>	<i>A<sub>2</sub></i>	<i>A<sub>3</sub></i>	<i>t</i>	<i>n</i>	<i>n<sub>1</sub></i>	Масса (с движагаемым вл.)
																							203	
																							224	
																							232	
6,3	4A160S	1140	720	82		1210	298	410	565	420	657	486	630	660	7	7	448	445	400	470	100	20	4	275,6
																								299,6
	4A160M																							334,6
	4A180M																							410,6
	4A200M																							450,6
	4A200L																							366,6
	4A160S																							391,6
	4A160M																							408,6
	4A180M																							544,4
8	4A200M	1438	905	105		1538	378	520	714	533	835	625	800	850	10	11	567	563	600	600	150	16	4	503,6
	4A200L																							590,4
	4A225M																							725,4
	4A250S																							770,4
	4A250M																							

Примечания. 1. Вентиляторы изготавливают правого и левого вращения со всеми положениями корпуса по ГОСТ 5976-90 (кроме Пр180° и Л180°).

2. Установочные размеры приведены в табл. I.15.

ТАБЛИЦА 115 УСТАНОВОЧНЫЕ РАЗМЕРЫ, ММ, ВЕНТИЛЯТОРОВ В Ц14-46-5 – В Ц14-46-8  
(ИСПОЛНЕНИЕ 1)

БЕЗ ВИБРОИЗОЛЯТОРОВ С ВИБРОИЗОЛЯТОРАМИ

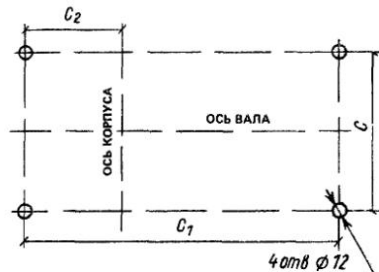


Номер	Тип двигателя	Тип виброизолятора	$c_1$	$c_2$	$c_3$	$c_4$	$c_5$	$c_6$	с <sub>7</sub> для вентилятора						a	d		
									правого вращения			левого вращения						
									при 1/10е установки корпуса град									
									0, 45 315	135 270	90, 270	0, 45, 315	135 270	90, 270				
5	4A112M					280			+225	-225	0	-225	+225	0				
	4A132S	Д040				296			+200	-200	0	-200	+200	0		12		
	4A132M					334			+175	-175	0	-175	+175	0				
	4A160S		410	95,5	600	22	540		384	+150	-150	0	-150	+150	0	100	—	
	4A160M	Д041				422			+125	-125	0	-125	+125	0		14		
	4A180S					422			+12°	-125	0	-125	+125	0				
	4A180M					484			+100	-100	0	-100	+100	0				
6,3	4A112M					221			+200	-200	0	-200	+200	0				
	4A132S	Д041				311			+200	-200	0	-200	+200	0		100		
	4A132M					308			+175	-175	0	-175	+175	0				
	4A160S		460	153	650	176	384	582	+150	-150	0	-150	+150	0				
	4A160M					421			+150	-150	0	-150	+150	0		14		
	4A180M	Д042				496			+125	-125	0	-150	+125	0		120		
	4A200M					596			+100	-100	0	-100	+100	0				
	4A200L					646			+100	-100	0	-100	+100	0				
8	4A160S					398			+150	-150	0	-150	+150	0				
	4A160M	Д042				435			+150	-150	0	-150	+150	0				
	4A180M					486			+125	-125	0	-125	+125	0		120		
	4A200M		606	212,5	1050	196	573	894	+100	-100	0	-100	+100	0				
	4A200L					623			+100	-100	0	-100	+100	0				
	4A225M	Д043				698			+100	-100	0	-100	+100	0		130		
	4A250S					773			+75	-75	0	-75	+75	0				
	4A250M					823			+75	-75	0	-75	+75	0				

Примечания 1 Знак минус перед размером  $c_7$  означает, что виброизолятор расположен с противоположной стороны от оси вала

2 См примеч 3, 4 и 5 к табл I3

ТАБЛИЦА I 16 УСТАНОВОЧНЫЕ РАЗМЕРЫ, ММ, ВЕНТИЛЯТОРОВ В Ц14-46-2,5 – В Ц14-46-4



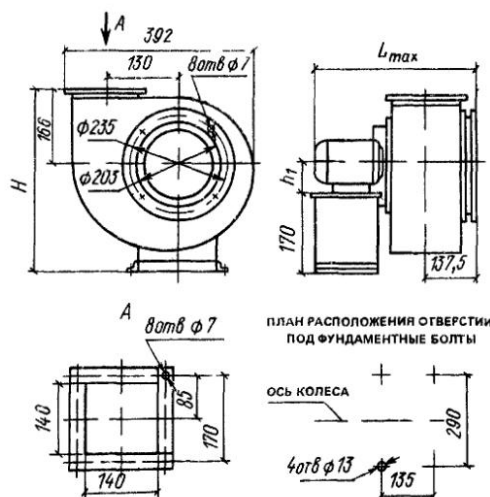
Номер вентилятора	$c$	$c_1$	$c_2$
2,5	260	400	177
3,15	340	560	197
4	370	650	225

Примечание Установочные размеры вентиляторов на виброизоляторах приведены в Руководстве по подбору радиальных вентиляторов общего назначения для санитарно-технических систем АЗ-907

### 1.1.2. Вентиляторы радиальные общего назначения (стальные) высокого давления

Подбор вентиляторов высокого давления производится аналогично подбору вентиляторов низкого и среднего давления (см стр 246) Но

ТАБЛИЦА I 17 ОСНОВНЫЕ ГАБАРИТНЫЕ, ПРИСОЕДИНИТЕЛЬНЫЕ И УСТАНОВОЧНЫЕ РАЗМЕРЫ, ММ, ВЕНТИЛЯТОРА В Ц14-46-2 (ИСПОЛНЕНИЕ 1)\*



Тип двигателя	$H$	$h_1$	$L_{\max}$	Масса (с двигателем), кг
4AA56	393	56	425	20,5
4AA63	400	63	430	24,3
4A71	408	71	450	33,1
4A80A	417	80	460	35,5
4A80B	417	80	480	38
4A90L	427	90	510	50

\* См примеч 1 к табл I 2

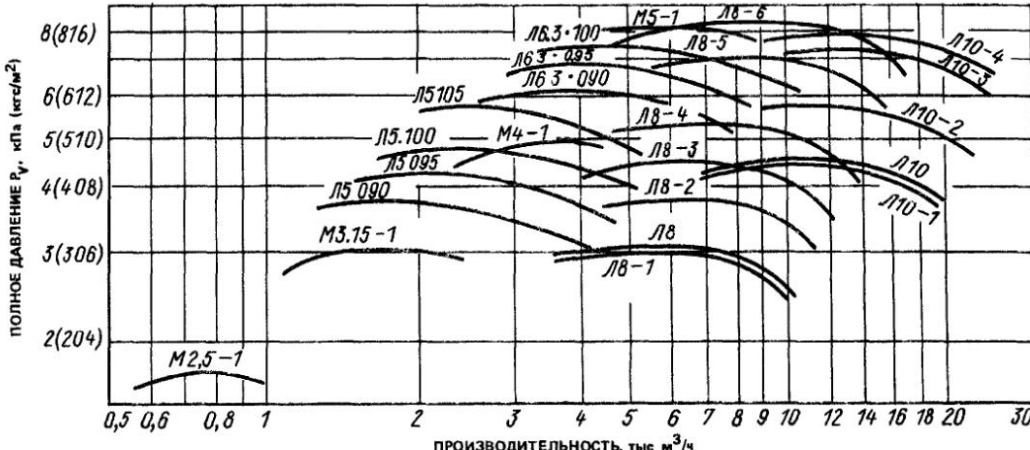


Рис I 16 Сводный график характеристик вентиляторов высокого давления

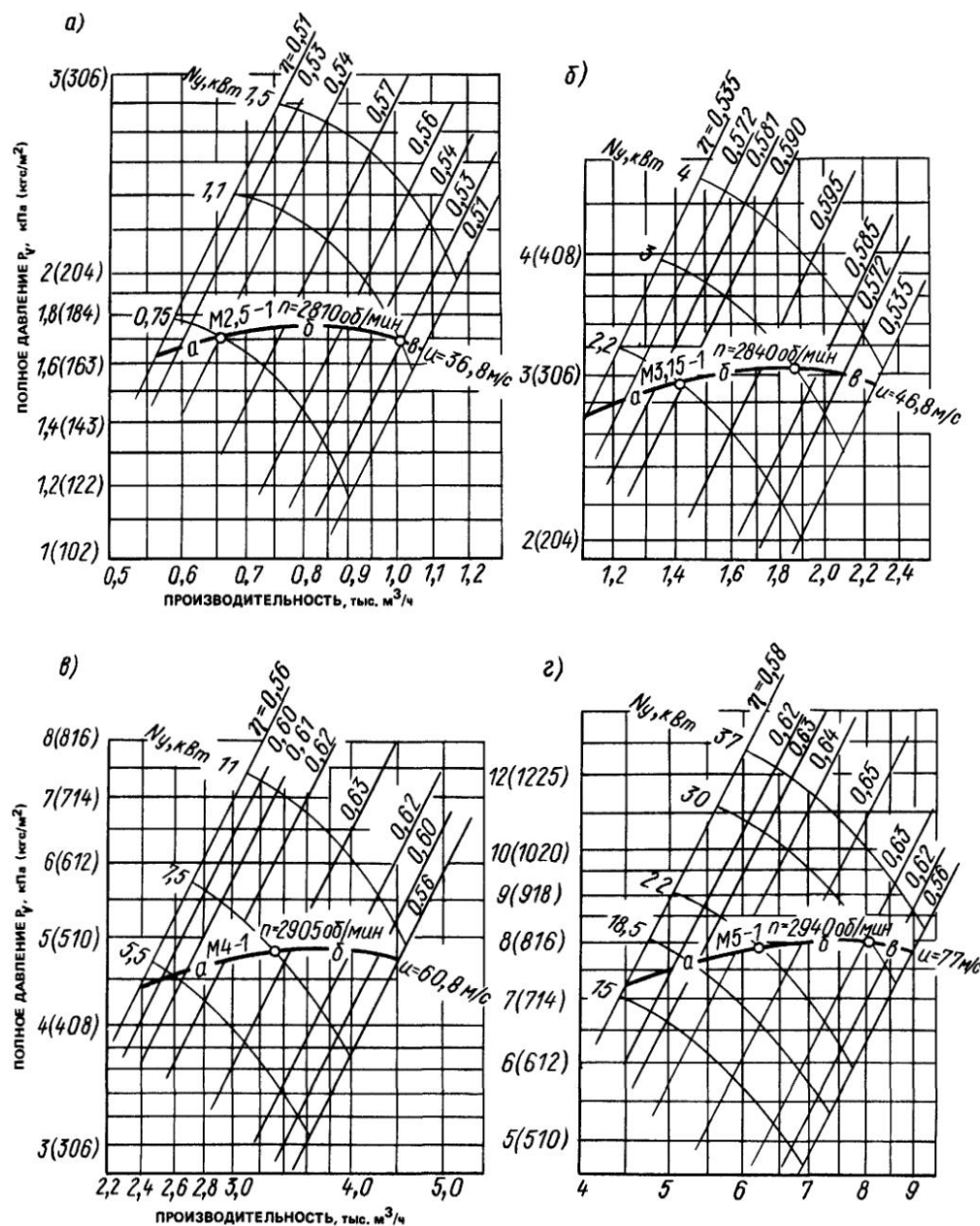


Рис. I.17. Аэродинамические характеристики вентиляторов BP-12-26-2,5 (а); BP-12-26-3,15 (б); BP-12-26-4 (в) и BP-12-26-5 (г) (исполнение 1)

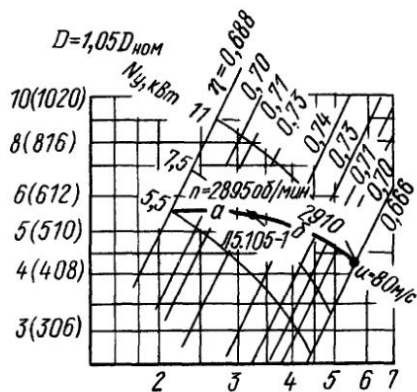
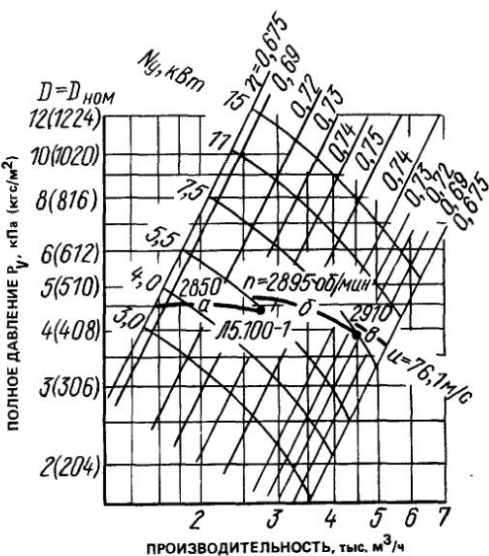
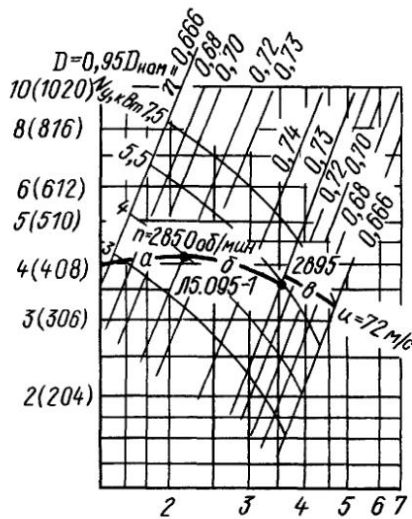
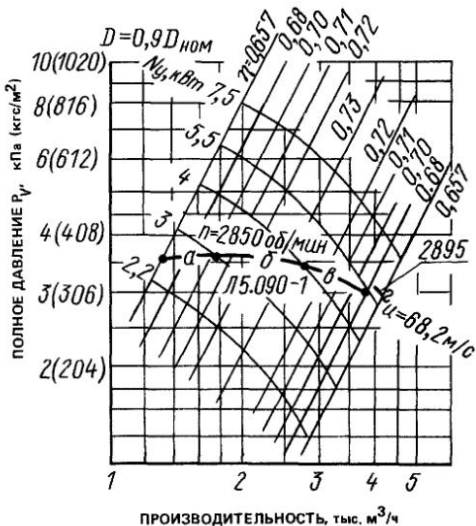


Рис. I.18. Аэродинамические характеристики вентиляторов В.Ц6-28-5 (исполнение 1)

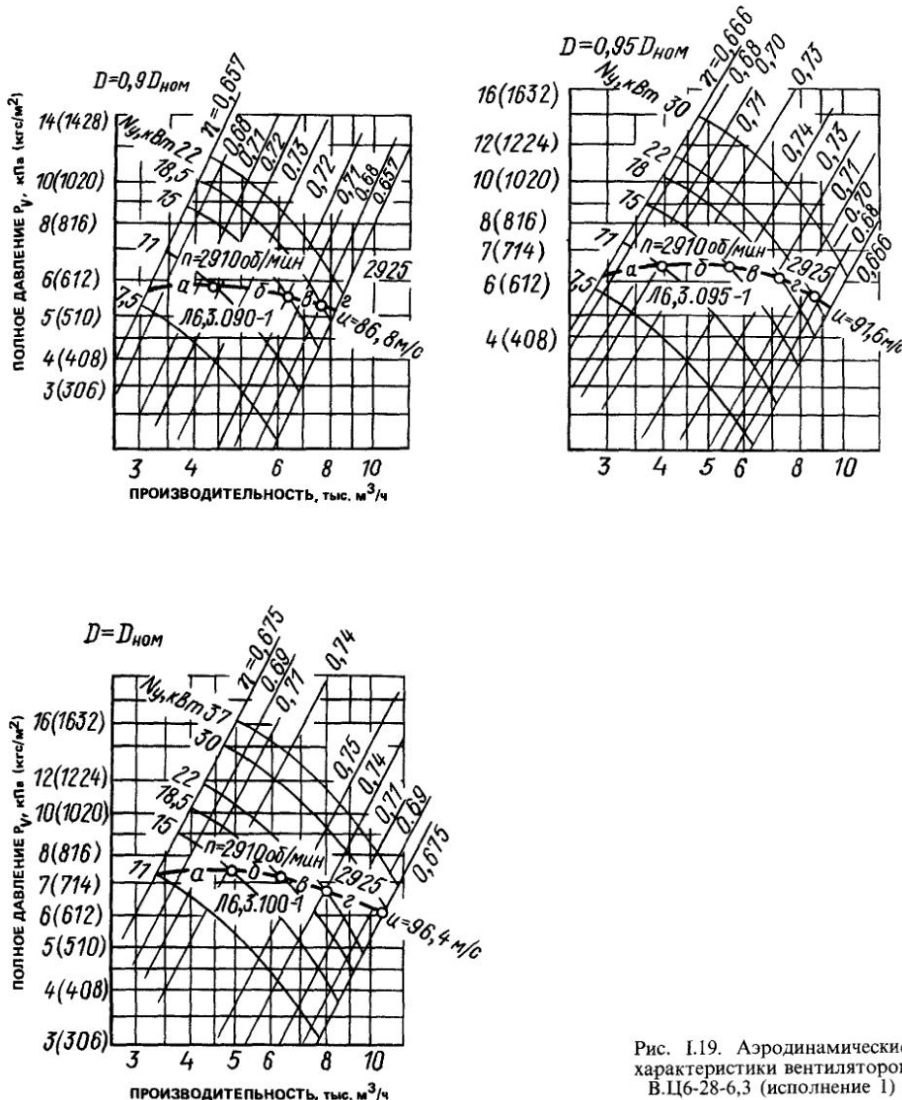


Рис. I.19. Аэродинамические характеристики вентиляторов В.Ц6-28-6,3 (исполнение 1)

аналогии с вентиляторами низкого и среднего давления на сводном графике (рис. I.16), на индивидуальных характеристиках (рис. I.17–I.21) и в табл. I.18 введены условные обозначения.

Тип вентиляторов обозначается: М – для ВР-12-26; Л – для В.Ц6-28. Остальные части условного обозначения аналогичны приведенным в п. I.1.

Технические данные вентиляторов высокого

го давления приведены в табл. I.18, основные размеры вентиляторов ВР 12-26 – в табл. I.19, вентиляторов В.Ц6-28 № 5 и 6,3 (исполнение 1) – в табл. I.20 и I.21, В.Ц6-28 № 8 и 10 (исполнение 1) – в табл. I.22 и I.23, В.Ц6-28 № 8 и 10 (исполнение 6) – в табл. I.24 и I.25.

Вентиляторы ВР.12-26 изготавливают без виброизолятаторов, В.Ц6-28 по заказу потребителя могут поставляться с виброизолятаторами.

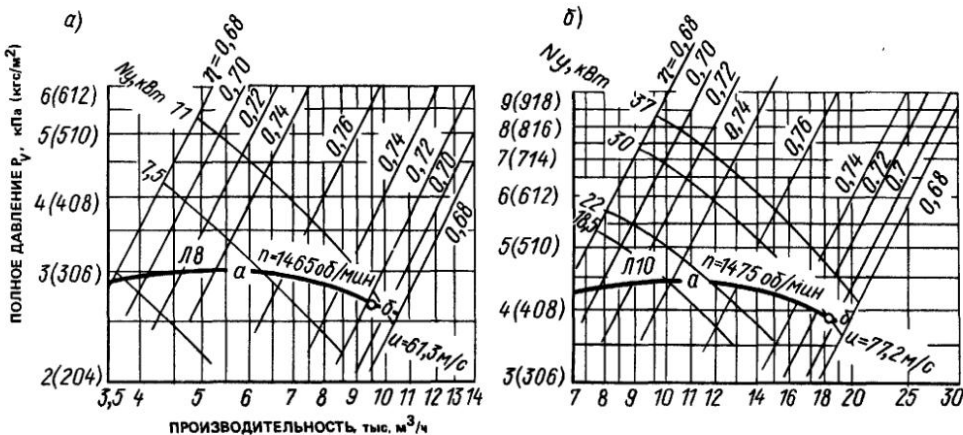


Рис. I.20. Аэродинамические характеристики вентиляторов В.Ц6-28-8 (а) и В.Ц6-28-10 (б) (исполнение 1)

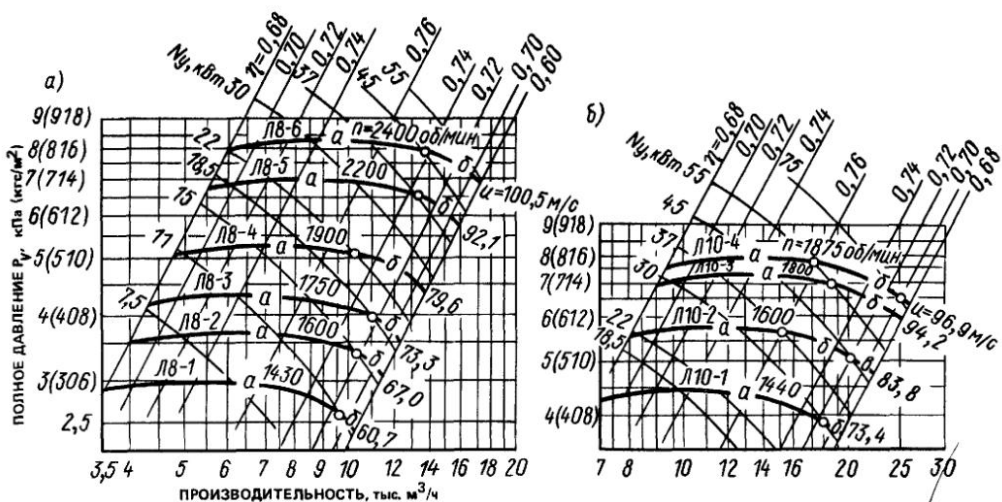


Рис. I.21. Аэродинамические характеристики вентиляторов В.Ц6-28-8 (а) и В.Ц6-28-10 (б) (исполнение 6)

ТАБЛИЦА I.18. ТЕХНИЧЕСКИЕ ДАННЫЕ ВЕНТИЛЯТОРОВ ВЫСОКОГО ДАВЛЕНИЯ

Условное обоз- значение характеристики	Вентилятор			Двигатель			Масса вентиля- гора (с двига- телем), кг
	номер	диаметр колеса, % $D_{ном}$	частота вращения $n_a$ , об/мин	тип	мощность, кВт	частота вра- щения $n_d$ , об/мин	
<b>Вентиляторы ВР-12-26 (исполнение 1)</b>							
M2,5-1a	2,5	—	2810	4A71A2	0,75	2810	55,7
M2,5-1б			2810	4A71B2	1,1	2810	55,7
M2,5-1в			2810	4A80A2	1,5	2810	58,3
M3,15-1a	3,15	—	2840	4A80B2	2,2	2840	74,3
M3,15-1б			2840	4A90L2	3	2840	83
M3,15-1в			2840	4A100S2	4	2840	90
M4-1a	4	—	2905	4A112M2	7,5	2905	156
M4-1б			2905	4A132M2	11	2905	195
M5-1a	5	—	2940	4A180S2	22	2940	340
M5-1б			2940	4A180M2	30	2940	360
M5-1в			2940	4A200M2	37	2940	430
<b>Вентиляторы В.Ц6-28 (исполнение 1)</b>							
Л5.090-1a	90	—	2850	АИР90L2	3	2850	103
Л5.090-1б			2850	АИР100S2	4	2850	109
Л5.090-1в			2850	АИР100L2	5,5	2850	115
Л5.090-1г			2895	АИР112M2	7,5	2895	131
Л5.095-1a	95	—	2850	АИР100S2	4	2850	109
Л5.095-1б			2850	АИР100L2	5,5	2850	115
Л5.095-1в			2895	АИР112M2	7,5	2895	131
Л5.100-1a	100	—	2850	АИР100L2	5,5	2850	115
Л5.100-1б			2895	АИР112M2	7,5	2895	131
Л5.100-1в			2910	АИР132M2	11	2910	157
Л5.105-1a	105	—	2895	АИР112M2	7,5	2895	131
Л5.105-1б			2910	АИР132M2	11	2910	157
Л6,3.090-1a	90	—	2910	АИР132M2	11	2910	226
Л6,3.090-1б			2910	АИР160S2	15	2910	272
Л6,3.090-1в			2910	АИР160M2	18,5	2910	287
Л6,3.090-1г			2925	АИР180S2	22	2925	305

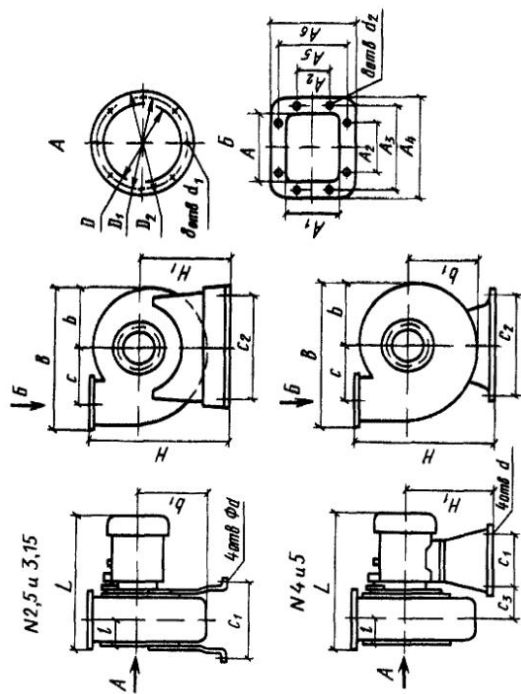
Продолжение табл. I.18

Условное обозначение характеристики	Вентилятор			Двигатель			Масса вентилятора (с двигателем), кг
	номер	диаметр колеса, % $D_{ном}$	частота вращения $n_в$ , об/мин	тип	мощность, кВт	частота вращения $n_{дв}$ , об/мин	
Л6.3.095-1а			2910	АИР132М2	11	2910	226
Л6.3.095-1б			2910	АИР160С2	15	2910	272
Л6.3.095-1в	6,3	95	2910	АИР160М2	18,5	2910	287
Л6.3.095-1г			2925	АИР180С2	22	2925	305
Л6.3.100-1а			2910	АИР160С2	15	2910	272
Л6.3.100-1б		100	2910	АИР160М2	18,5	2910	287
Л6.3.100-1в			2925	АИР180С2	22	2925	305
Л6.3.100-1г			2915	АИР180М2	30	2925	325
Л8-а	8		1460	4A132M4	11	1460	375
Л8-б			1465	4A160S4	15	1465	417
Л10-а			1470	4A180M4	30	1470	685
Л10-б	10	-	1475	4A200M4	37	1475	760

## Вентиляторы В.Ц6-28 (исполнение 6)

Л8-1а			1430	4A132M4	11	1460	635
Л8-1б			1430	4A160S4	15	1465	677
Л8-2а			1600	4A160S4	15	1465	685
Л8-2б			1600	4A160M4	18,5	1465	720
Л8-3а			1750	4A160M4	18,5	1470	740
Л8-3б	8	-	1750	4A180S4	22	1470	760
Л8-4а			1900	4A180S4	22	1470	740
Л8-4б			1900	4A180M4	30	1470	760
Л8-5а			2200	4A200M4	37	1475	855
Л8-5б			2200	4A200L4	45	1475	895
Л8-6а			2400	4A200L4	45	1475	895
Л8-6б			2400	4A225M4	55	1480	940
Л10-1а			1440	4A180M4	30	1470	915
Л10-1б			1440	4A200M4	37	1475	990
Л10-2а			1600	4A200M4	37	1475	1000
Л10-2б			1600	4A200L4	45	1475	1040
Л10-2в	10		1600	4A225M4	55	1475	1085
Л10-3а			1800	4A225M4	55	1475	1095
Л10-3б			1800	4A250S4	75	1480	1230
Л10-4а			1875	4A225M4	55	1475	1095
Л10-4б			1875	4A250S4	75	1480	1230

ГАБЛИЦА 19 ОСНОВНЫЕ ГАБАРИТНЫЕ, ПРИСОЕДИНИТЕЛЬНЫЕ И УСТАНОВОЧНЫЕ РАЗМЕРЫ, ММ, ВЕНТИЛЯТОРОВ ВР-12-26 № 2,5-5  
(ИСПЛЮЧЕНИЕ 1)



## Продолжение табл. I.19

Номер вентилятора	Тип двигателя	<i>L</i>	<i>l</i>	<i>H</i>	<i>H</i> <sub>1</sub>	<i>B</i>	<i>b</i>	<i>b</i> <sub>1</sub>	<i>c</i>	<i>c</i> <sub>1</sub>	<i>c</i> <sub>2</sub>	<i>c</i> <sub>3</sub>	<i>D</i>	<i>D</i> <sub>1</sub>	<i>D</i> <sub>2</sub>	<i>A</i>	<i>A</i> <sub>1</sub>	<i>A</i> <sub>2</sub>	<i>A</i> <sub>3</sub>	<i>A</i> <sub>4</sub>	<i>A</i> <sub>5</sub>	<i>A</i> <sub>6</sub>	<i>d</i>	<i>d</i> <sub>1</sub>	<i>d</i> <sub>2</sub>	
4A180C2	756																									
4A180M2	796	102	790	470	780	335	373	300	400	460				400	460	560	200	150	100	252	290	202	240	18	M10	10
4A200M2	854																									

4A180C2 756

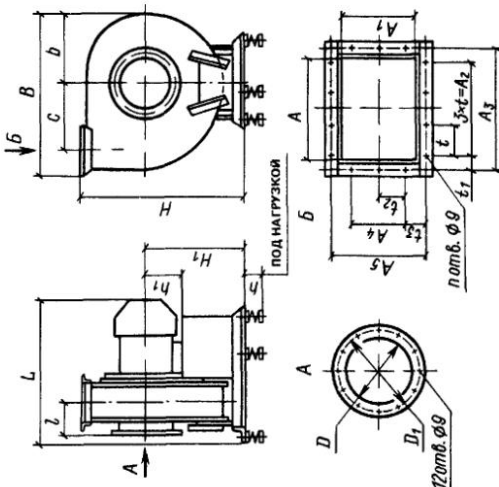
4A180M2 796

4A200M2 854

142

157

Примечание. Вентиляторы изготавливают правого и левого вращения с положениями корпуса 0; 90; 180 и 270° по ГОСТ 5976-90.

ТАБЛИЦА I.20. ОСНОВНЫЕ ГАБАРИТНЫЕ И ПРИСОЕДИНИТЕЛЬНЫЕ РАЗМЕРЫ, ММ, ВЕНТИЛЯТОРОВ В.Ц6-28-5 И В.Ц6-28-6,3  
(ИСПОЛНЕНИЕ 1)

Номер вентилятора	Тип двигателя	<i>H</i>	<i>H<sub>1</sub></i>	<i>h</i>	<i>L</i>	<i>l</i>	<i>c</i>	<i>B</i>	<i>b</i>	<i>D</i>	<i>D<sub>1</sub></i>	<i>A</i>	<i>A<sub>1</sub></i>	<i>A<sub>2</sub></i>	<i>A<sub>3</sub></i>	<i>A<sub>4</sub></i>	<i>A<sub>5</sub></i>	<i>t</i>	<i>t<sub>1</sub></i>	<i>t<sub>2</sub></i>	<i>t<sub>3</sub></i>	<i>n, л/с</i>	
	ИИР90L2	90	549																				
	АИР100S2	100	572																				
5	АИР100L2	796	490	100	603	121	300	763	338	250	280	200	150	195	233	65	186	65	19	-	60,5	12	
	АИР112M2	112	634																				
	АИР132M2	132	697																				

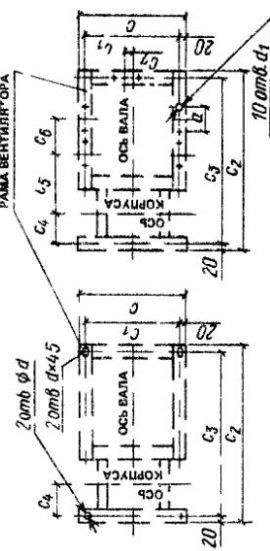
6,3	АИР132M2	132	751																			
	АИР160S2	160	883																			
	АИР160M2	1038	650	160	913	153	378	963	425	315	360	252	189	240	298	160	235	80	29	30	37,5	14
	АИР180S2	180	883																			
	АИР180M2	180	933																			

Примечания 1 Вентиляторы изготовлены из правого и левого вращения со всеми положениями корпуса по ГОСТ 5976-90  
 2 Установочные размеры приведены в табл. 121

ТАБЛИЦА I 21 УСТАНОВОЧНЫЕ РАЗМЕРЫ ММ ВЕНТИЛЯТОРОВ В И6-28-5 И В Ц6-28-6-3 (ИСПОЛЧНЕНИЕ 1)

БЕЗ ВИБРОКОМПЛЕКСА

С ВИБРОКОМПЛЕКСАМИ

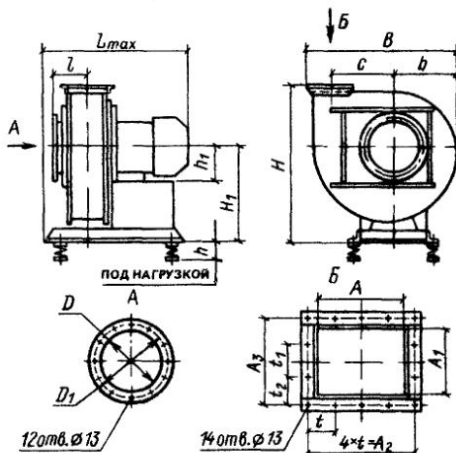


Номер внешней рамы	Тип вентиля- тора	Тип вибро- изолятора	a	c	c <sub>1</sub>	c <sub>2</sub>	c <sub>3</sub>	c <sub>4</sub>	c <sub>5</sub>	c <sub>6</sub>	<i>c</i> <sub>7</sub> для вентиляторов		<i>d</i> , <i>d</i> <sub>1</sub>								
											правого вращения										
											при угле установки корпуса град	левого вращения									
	АИР90L2	Д040	100	430	390	715	675	150	180	129	0,45	315	135	180	90, 270	0,45, 315	135, 180	90, 270			
5	АИР100S2										196	173	+80	-80	+30	-80	+80	-30	13	8,5	
	АИР100L2																			131	
6,3	АИР112M2																			185	168
	АИР132M2																			210	131
2	АИР132M2																			215	
	АИР160S2																				210
2	АИР160M2	Д042	120	500	460	960	910	195			+100	-100	+40	-100	+100	+100	-40	-40	15	10,5	
	АИР180S2																				210
2	АИР180M2																				210

Примечания 1 Знак минус перед размером *c*<sub>7</sub> означает, что виброзолятр расположен с противоположной стороны от оси вала

2 См. примечания 3, 4 и 5 к табл. 1

ТАБЛИЦА 122. ОСНОВНЫЕ ГАБАРИТНЫЕ И ПРИСОЕДИНИТЕЛЬНЫЕ РАЗМЕРЫ, ММ,  
ВЕНТИЛЯТОРОВ В.Ц6-28-8 И В.Ц6-28-10 (ИСПОЛНЕНИЕ 1)

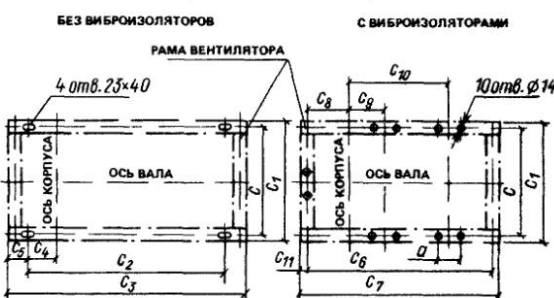


Номер вентилятора	$H$	$H_1$	$h$	$h_1$	$L_{\max}$	$l$	$c$	$B$	$b$	$D$	$D_1$	$A$	$A_1$	$A_2$	$A_3$	$t$	$t_1$	$t_2$
8	1210	705	130	160	950	181	480	1220	530	320	430	320	240	370	292	92,5	100	96
10	1490	855	140	200	1180	225	600	1520	665	400	540	400	300	458	360	114,5	120	120

Примечания. 1. Вентиляторы изготавливают правого и левого вращения со всеми положениями корпуса (кроме Пр180° и Л180°) по ГОСТ 5976-90.

2 Установочные размеры приведены в табл. I.23.

ТАБЛИЦА 123. УСТАНОВОЧНЫЕ РАЗМЕРЫ, ММ, ВЕНТИЛЯТОРОВ В.Ц6-28-8 И В.Ц6-28-10 (ИСПОЛНЕНИЕ 1)



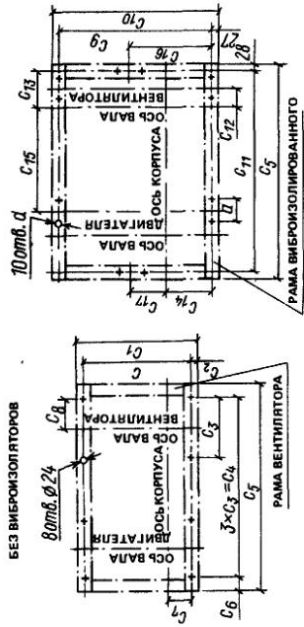
Номер вентилятора	Тип двигателя	Тип виб-роизолято-ра	$c$	$c_1$	$c_2$	$c_3$	$c_4$	$c_5$	$c_6$	$c_7$	$c_8$	$c_9$	$c_{10}$	$c_{11}$	$a$
8	4A160S4														
	4A160M4	Д042	580	636	685	785	141	50	580	785	165	60	415	28	120

85

10 4A200M4 Д043 670 740 800 1040 173 120 970 1040 265 200 540 35 130  
Примечание. См. примечания 3, 4 и 5 к табл. I.3.

ТАБЛИЦА I.24. УСТАНОВОЧНЫЕ РАЗМЕРЫ, ММ, ВЕНТИЛЯТОРОВ В.Ц6-28-8 И В.Ц6-28-10 (ИСПОЛНЕНИЕ 6)

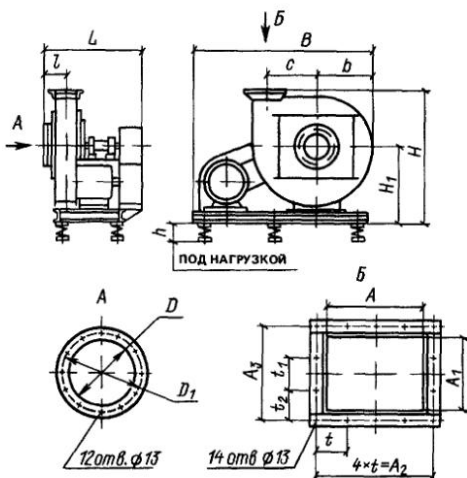
с вибропоглотителями



Номер вентилятора	Тип двигателя	Тип виброборозолителя	<i>a</i>	<i>c</i>	<i>c</i> <sub>1</sub>	<i>c</i> <sub>2</sub>	<i>c</i> <sub>3</sub>	<i>c</i> <sub>4</sub>	<i>c</i> <sub>5</sub>	<i>c</i> <sub>6</sub>	<i>c</i> <sub>7</sub>	<i>c</i> <sub>8</sub>	<i>c</i> <sub>9</sub>	<i>c</i> <sub>10</sub>	<i>c</i> <sub>11</sub>	<i>c</i> <sub>12</sub>	<i>c</i> <sub>13</sub>	<i>c</i> <sub>14</sub>	<i>c</i> <sub>15</sub>	<i>c</i> <sub>16</sub>	<i>c</i> <sub>17</sub>
	<u>4A132M4</u>																			745	120
	<u>4A160S4</u>																			932	160
	<u>4A160M4</u>	<u>Д043</u>	130	585	631	23	500	1500	1660	80	17	238	765	819	1604	100	290	162	995	220	
	<u>4A180S4</u>																			995	270
	<u>4A180M4</u>																			1020	330
	<u>4A200M4</u>																			1095	440
8	<u>4A200L4</u>	<u>Д044</u>	150																	1158	472
	<u>4A225M4</u>																			1220	537
	<u>4A180M4</u>																			410	
	<u>4A200M4</u>																			510	
10	<u>4A200L4</u>	<u>Д045</u>	180	635	689	27	560	1680	1900	110	0	253	831	885	1844	200	335	192	640	—	223
	<u>4A225M4</u>																			680	
	<u>4A250S4</u>																			830	

Примечание. См. примечания 3, 4 и 5 к табл. I.3.

ТАБЛИЦА I 25 ОСНОВНЫЕ ГАБАРИТНЫЕ И ПРИСОЕДИНИТЕЛЬНЫЕ РАЗМЕРЫ, ММ,  
ВЕНТИЛЯТОРОВ В Ц6-28-8 И В Ц6-28-10 (ИСПОЛНЕНИЕ 6)



Номер вентилятора	$H$	$H_1$	$h$	$L$	$l$	$c$	$B$	$b$	$D$	$D_1$	$A$	$A_1$	$A_2$	$A_3$	$t$	$t_1$	$t_2$
8	1350	845	145–175	1060	181	480	1885	530	320	430	320	240	370	292	92,5	100	96
10	1620	995	160–175	1135	225	600	2210	665	400	540	400	300	458	360	114,5	120	120

Примечания 1 Вентиляторы изготавливают правого и левого вращения с положениями корпуса Пр0°, Пр45°, Пр90°, Пр135°, Л0°, Л45°, Л90°, Л270° и Л315° по ГОСТ 5976–90

2 Установочные размеры приведены в табл. I.25

### I.1.3. Вентиляторы радиальные пылевые

Подбор пылевых вентиляторов производится аналогично вентиляторам общего назначения. Сводный график аэродинамических характеристик приведен на рис. I.22, индивидуальные характеристики – на рис. I.23 и I.24, а.

В условном обозначении типа пылевых вентиляторов принято П для вентиляторов

В.ЦП6-45 Технические данные пылевых вентиляторов приведены в табл. I.26.

Вентиляторы В.ЦП6-45 изготавливают с расположением двигателей справа или слева от корпуса.

Основные габаритные и присоединительные размеры вентиляторов В.ЦП6-45-5 и В.ЦП6-45-6,3 приведены в табл. I.27 и I.28, вентилятора В.ЦП6-45-8 – на рис. I.24, б, в.

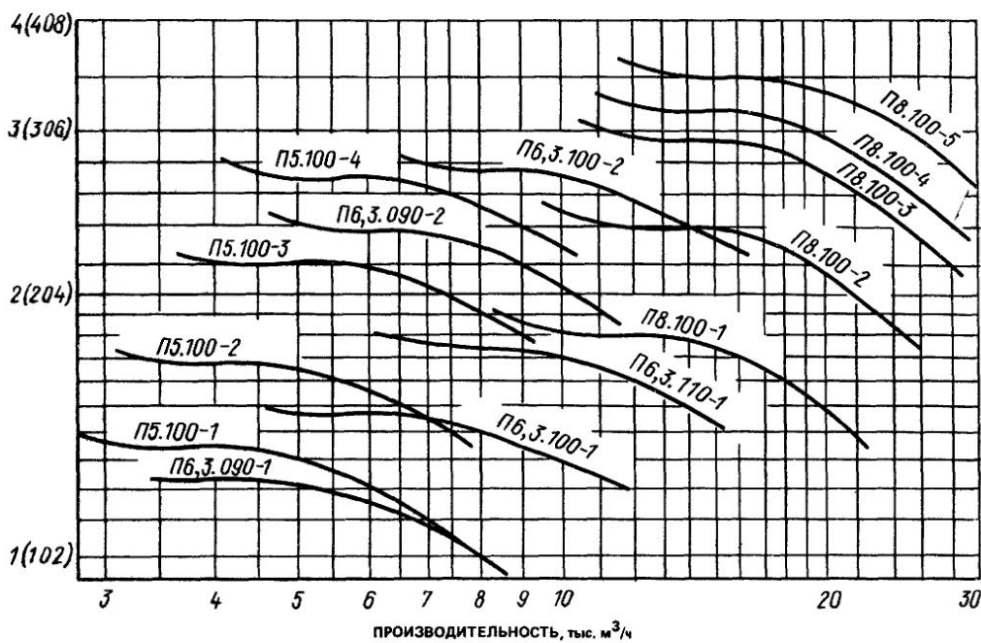


Рис. I.22. Сводный график характеристик пылевых вентиляторов

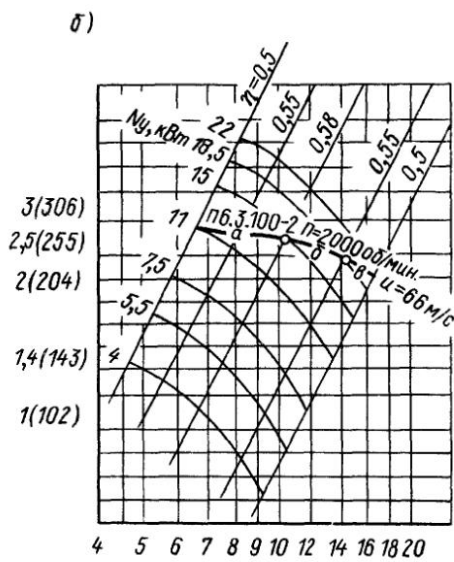
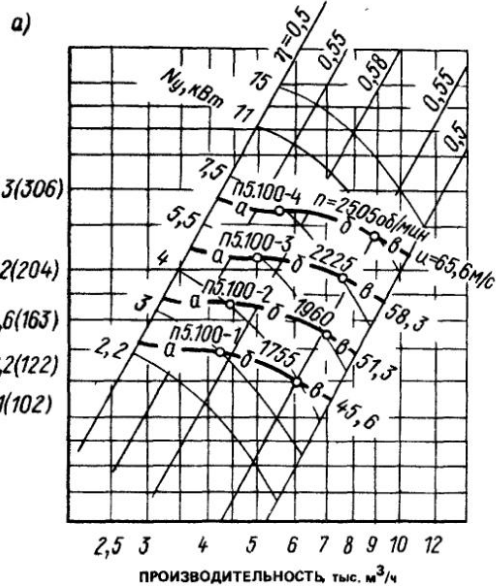
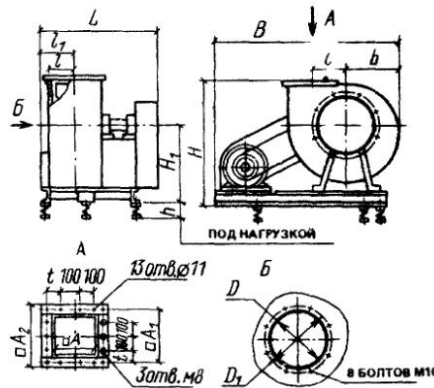


Рис. I.23. Аэродинамические характеристики пылевых вентиляторов В.ЦП6-45-5 (a) и В.ЦП6-45-6,3 (б) (исполнение 6)

ТАБЛИЦА 1.26. ТЕХНИЧЕСКИЕ ДАННЫЕ ПЫЛЕВЫХ ВЕНТИЛЯТОРОВ В.ЦП6-45 (ИСПОЛНЕНИЕ 6)

Условное обозначение характеристики	Вентилятор			Двигатель			Масса вентилятора (с двигателем), кг
	номер	диаметр колеса, % $D_{\text{ном}}$	частота вращения $n_{\text{в}}$ , об/мин	тип	мощность, кВт	частота вращения $n_{\text{дв}}$ , об/мин	
П5.100-1а	5	100	1755	4A100S4	3	1430	361
П5.100-1б				4A100L4	4	1430	367
П5.100-1в				4A112M4	5,5	1445	380
П5.100-2а	5	100	1960	4A100L4	4	1430	367
П5.100-2б				4A112M4	5,5	1445	381
П5.100-2в				4A132S4	7,5	1455	402
П5.100-3а	5	100	2225	4A112M4	5,5	1445	380
П5.100-3б				4A132S4	7,5	1455	402
П5.100-3в				4A132M4	11	1460	418
П5.100-4а	5	100	2505	4A132S4	7,5	1455	402
П5.100-4б				4A132M4	11	1460	418
П5.100-4в				4A160S4	15	1465	460
П6.3.090-2а	90	90		4A132S4	7,5	1455	507
П6.3.090-2б				4A132M4	11	1460	518
П6.3.090-2в				4A160S4	15	1465	560
П6.3.100-2а	6,3	100	2000	4A160S4	15	1465	560
П6.3.100-2б				4A160M4	18,5	1465	585
П6.3.100-2в				4A180S4	22	1470	600
П8.100-1а	8	100	1285	4A160S4	15	1465	655
П8.100-1б				4A160M4	18,5	1465	680
П8.100-1в				4A180S4	22	1470	695
П8.100-2а	8	100	1440	4A160M4	18,5	1465	685
П8.100-2б				4A180S4	22	1470	700
П8.100-2в				4A180M4	30	1470	725
П8.100-3а	8	100	1615	4A180S4	18,5	1470	730
П8.100-3б				4A180M4	30	1470	810
П8.100-3в				4A200M4	37	1475	820
П8.100-4а			1650	4A200M4	37	1475	814
П8.100-4б				4A200L4	45	1475	860

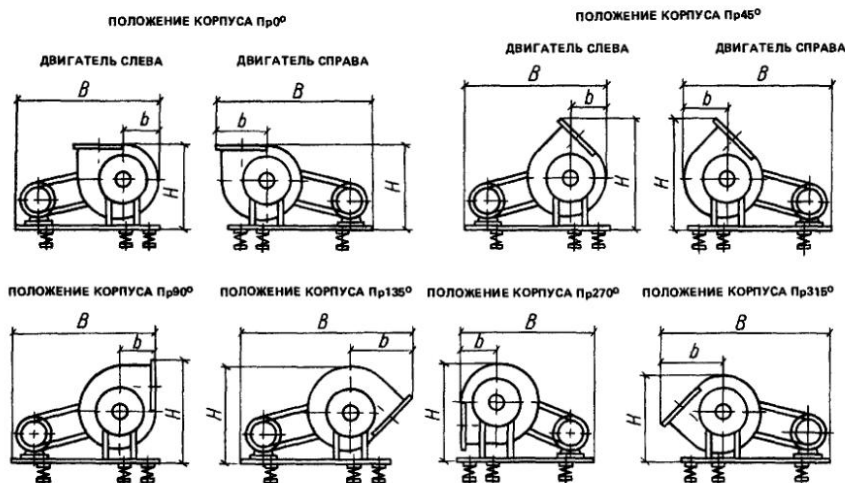
ТАБЛИЦА 1.27. ОСНОВНЫЕ ГАБАРИТНЫЕ И ПРИСОЕДИНИТЕЛЬНЫЕ РАЗМЕРЫ, ММ, ВЕНТИЛЯТОРОВ В.ЦП6-45-5 И В.ЦП6-45,6,3 (ИСПОЛНЕНИЕ 6)



Номер вентилятора	<i>L</i>	<i>I</i>	<i>l<sub>1</sub></i>	<i>H</i>	<i>H<sub>1</sub></i>	<i>h</i>	<i>B</i>	<i>b</i>	<i>c</i>	<i>D</i>	<i>D<sub>1</sub></i>	<i>A</i>	<i>A<sub>1</sub></i>	<i>A<sub>2</sub></i>	<i>t</i>
5	790	154	205	830	530	115–122	1470	335	250	420	460	300	342	372	71
6,3	885	193	243	972	600	110–120	1605	520	315	530	590	378	420	450	110

Примечание. Вентиляторы изготавливают правого и левого вращения со всеми положениями корпуса (кроме Пр 180° и Л 180°) по ГОСТ 5976–90 с расположением двигателей справа или слева (см. табл. I.28).

ТАБЛИЦА I.28. ГАБАРИТНЫЕ РАЗМЕРЫ, ММ, ВЕНТИЛЯТОРОВ В.ЦП6-45 № 5 И 6,3 (ИСПОЛНЕНИЕ 6) ПРИ РАЗЛИЧНЫХ ПОЛОЖЕНИЯХ КОРПУСА И ДВИГАТЕЛЯ



Номер вентилятора	Положение корпуса											
	Пр 0°						Пр 45°					
	двигатель слева			двигатель справа			двигатель слева			двигатель справа		
	<i>H</i>	<i>b</i>	<i>B</i>	<i>H</i>	<i>b</i>	<i>B</i>	<i>H</i>	<i>b</i>	<i>B</i>	<i>H</i>	<i>b</i>	<i>B</i>
5	830	335	1370	830	435	1470	1050	315	1350	1050	390	1425
6,3	980	382	1565	980	540	1725	1270	350	1535	1270	476	1660

Номер вентилятора	Положение корпуса											
	90°			135°			270°			315°		
	двигатель слева			двигатель слева			двигатель справа			двигатель справа		
	<i>H</i>	<i>b</i>	<i>B</i>	<i>H</i>	<i>b</i>	<i>B</i>	<i>H</i>	<i>b</i>	<i>B</i>	<i>H</i>	<i>b</i>	<i>B</i>
5	966	298	1335	920	520	1555	865	298	1335	846	520	1555
6,3	1180	360	1550	1095	650	1835	1005	360	1550	970	650	1835

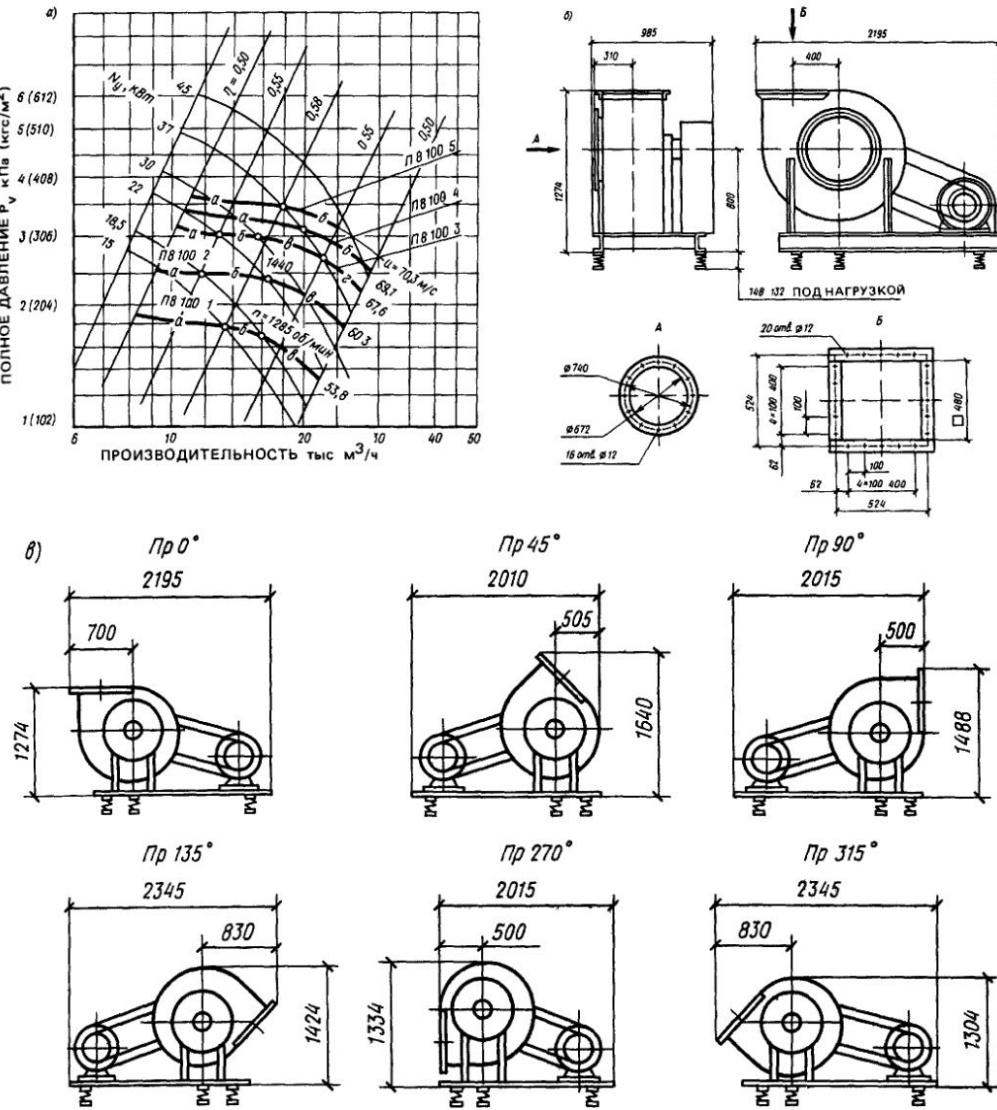


Рис I 24 Вентилятор пылевой В ЦП6-45-8 (исполнение 6)

а - характеристика; б и в - габаритные и присоединительные размеры

## 1.2. ВЕНТИЛЯТОРЫ КРЫШНЫЕ

### 1.2.1. Вентиляторы крышные радиальные

Сводный график характеристик крышных радиальных вентиляторов приведен на рис. I.25.

Вентиляторы № 4; 5; 6,3 изготавливают в не-виброизолированном исполнении с колесом, насаженным непосредственно на вал двигателя. Разработаны эти вентиляторы с двумя вариантами рабочих колес: с плоскими лопатками,

имеющими угол выхода  $45^\circ$ , и гнутыми лопатками с углом выхода  $25^\circ$ .

Вентиляторы ВКР № 8 и 12,5 изготавливают в виброизолированном исполнении, причем № 8—с колесом, насаженным на вал двигателя, а № 12,5—с ременным приводом.

Технические данные вентиляторов приведены в табл. I.29, основные габаритные и установочные размеры вентиляторов общего назначения (стальных) — в табл. I.30, коррозионно-стойких вентиляторов из титановых сплавов — на рис. I.26.

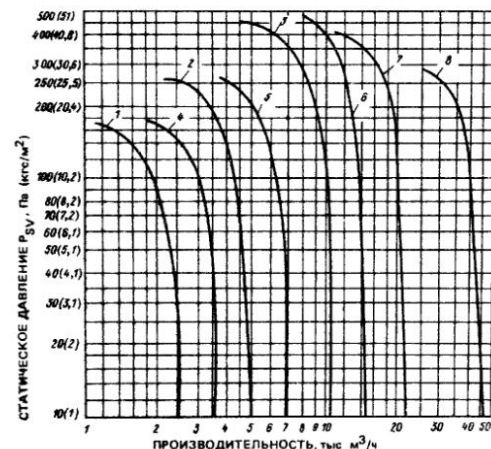


Рис. I.25. Аэродинамические характеристики крышных радиальных вентиляторов

1 — VKP4.00 25.6, 2 — VKP5.00 25.6, 3 — VKP6.30 25.6, 4 — VKP4.00 45.6,  
5 — VKP5.00 45.6, 6 — VKP6.30 45.6 и VKP7.30 45.6, 7 — VKP8.00,  
8 — VKP12.50

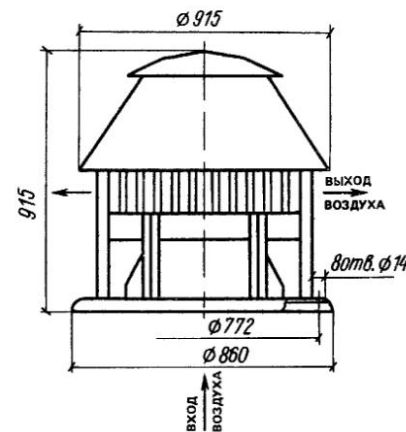


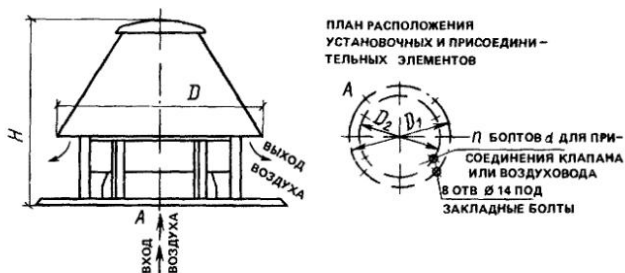
Рис. I.26. Вентилятор крышный радиальный коррозионностойкий из титановых сплавов ВКРТ6.30.45.6

ТАБЛИЦА I.29. ТЕХНИЧЕСКИЕ ДАННЫЕ КРЫШНЫХ РАДИАЛЬНЫХ ВЕНТИЛЯТОРОВ

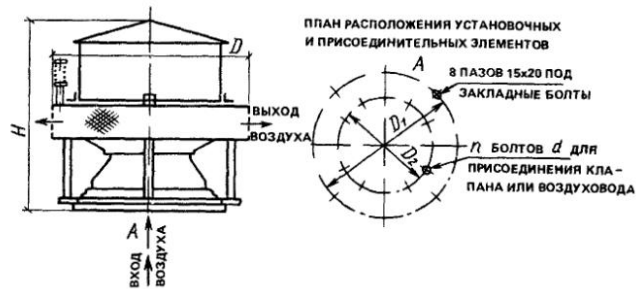
Вентилятор		Двигатель			
обозначение	частота вращения $n_v$ , об/мин	мощность, кВт	частота вращения $n_d$ , об/мин	тип	исполнение по способу монтажа (ГОСТ 2479-79)
VKP4.00.25.6	890	0,25	890	4AA63B6	IM 3081
VKP5.00.25.6	900	0,55	900	4A71B6	IM 3081
VKP6.30.25.6	935	1,5	935	4A90L6	IM 3081
VKP4.00.45.6	910	0,37	910	4A71A6	IM 3081
VKP5.00.45.6	915	0,75	915	4A80A6	IM 3081
VKP6.30.45.6	950	2,2	950	4A100L6	IM 3081
VKP8.00-01	700	3,0	700	4A112MB8	IM 3081
VKP12.50-01	380	4,0	950	4A112MB6	IM 1081
VKRT6.30.45.6	950	2,2	950	4A100L6X	IM 3081

ТАБЛИЦА 1.30 ОСНОВНЫЕ ГАБАРИТНЫЕ И УСТАНОВОЧНЫЕ РАЗМЕРЫ, ММ, СТАЛЬНЫХ КРЫШНЫХ ВЕНТИЛЯТОРОВ ВКР4,00, ВКР5,00 И ВКР6,30 (НЕВИБРОИЗОЛИРОВАННЫХ) И ВКР8,00 И ВКР12,50 (ВИБРОИЗОЛИРОВАННЫХ)

ВКР 4,00 – ВКР 6,30



ВКР 8,00 – ВКР 12,50



Вентилятор	H	D	$D_1$	$D_2$	d	n, шт.	Масса с двигателем, кг
ВКР4,00.25,6*	715	750		435		6	51
ВКР5,00.25,6*	800	940		535		8	76
ВКР6,30.25,6*	960	1114	772	658	M6	8	116
ВКР4,00.45,6	715	750		435		6	60,7
ВКР5,00.45,6	800	940		535		8	79,3
ВКР6,30.45,6	960	1114		658		8	128,8
ВКР8,00	1150	1150	1072	830	M8	12	310
ВКР12,50	1650	1750	1522	1295	M10	18	620

\* В настоящее время серийно не выпускаются

## I.2.2. Вентиляторы крышные осевые

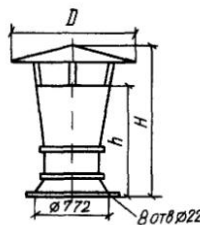
Крышные осевые вентиляторы (табл. I.31) могут применяться только в децентрализован-

ных установках общеобменной вытяжной вентиляции без сети воздуховодов (при статическом давлении  $p_{sv} = 0$ ). Габаритные и установочные размеры приведены в табл. I.32.

ТАБЛИЦА I.31. ТЕХНИЧЕСКИЕ ДАННЫЕ КРЫШНЫХ ОСЕВЫХ ВЕНТИЛЯТОРОВ

Показатель	Номер вентилятора		
	4	5	6,3
Максимальная производительность вентилятора при работе без сети воздуховодов (при $p_{sv} = 0$ ), м <sup>3</sup> /ч	3100	6000	12600
Потребляемая мощность, кВт	0,1	0,3	0,9
Двигатель:			
типа	4AA63B4	4A71A4	4A80A4
исполнение по способу монтажа (ГОСТ 2479-79)	1М 3681	1М 3681	1М 3681
мощность, кВт	0,37	0,55	1,1
частота вращения, об/мин	1365	1390	1420

ТАБЛИЦА I.32. ОСНОВНЫЕ ГАБАРИТНЫЕ И УСТАНОВОЧНЫЕ РАЗМЕРЫ, ММ,  
СТАЛЬНЫХ КРЫШНЫХ ОСЕВЫХ  
ВЕНТИЛЯТОРОВ



Номер вентилятора	H	h	D	Масса, кг
4	1150	870	800	48
5	1310	960	1000	70
6,3	1570	1000	1260	93

ПРИЛОЖЕНИЕ II  
ВОЗДУХОНАГРЕВАТЕЛИ (КАЛОРИФЕРЫ)

**II.1. ВОЗДУХОНАГРЕВАТЕЛИ  
БИМЕТАЛЛИЧЕСКИЕ  
СО СПИРАЛЬНО-НАКАТНЫМ  
ОРЕБРЕНИЕМ**

Воздухонагреватели (калориферы) биметаллические со спирально-накатным оребрением типов КСк3, КСк4, КП3-СК и КП4-СК предназначены для нагревания воздуха в системах воздушного отопления, вентиляции, кондиционирования и сушильных установках. Воздух, поступающий в воздухонагреватели, по предельно допустимой концентрации вредных веществ должен соответствовать ГОСТ 12.1.005-88, не должен содержать липких веществ и волокнистых материалов, запыленность не должна превышать  $0,5 \text{ мг}/\text{м}^3$ .

В качестве теплоносителя в воздухонагревателях КСк3 и КСк4 может использоваться горячая вода (или перегретая) с температурой до  $180^\circ\text{C}$  и рабочим избыточным давлением до 1,2 МПа, удовлетворяющая требованиям СНиП 2-04.07-88. Теплоносителем в воздухонагревателях КП3-СК и КП4-СК является пар с рабочим избыточным давлением до 1,2 МПа и температурой  $190^\circ\text{C}$ . Воздухонагреватели соответствуют ГОСТ 27330-87\*. КСк3 и КСк4 выпускаются по ТУ 22-5757-84, КП3 и КП4 – по ТУ 22-5756-84.

Воздухонагреватели изготавливают двух моделей: КСк3 и КП3 – средняя модель, КСк4 и КП4 – большая модель.

В зависимости от присоединительных размеров воздухонагреватели каждой модели под-

**ТАБЛИЦА II.1. НОМЕНКЛАТУРА И ТЕХНИЧЕСКИЕ ХАРАКТЕРИСТИКИ  
ВОЗДУХОНАГРЕВАТЕЛЕЙ КСк3**

Обозначение	Площадь поверхности теплообмена со стороны воздуха $F, \text{ м}^2$	Площадь сечения, $\text{м}^2$				Число ходов для движения теплоносителя $n_x$	Длина теплопередающей трубы $l, \text{ м}$	Масса, кг, не более
		фронтального $f_{\text{в}}$	для прохода теплоносителя $f_w$	патрубка $f_u$	распределительно-сборных коллекторов $f_k$			
КСк3-6-02АХЛ3	13,26	0,267					0,53	38
КСк3-7-02АХЛ3	16,34	0,329					0,655	44
КСк3-8-02АХЛ3	19,42	0,392	0,000846	0,001006	0,00172	6	0,78	50
КСк3-9-02АХЛ3	22,5	0,455					0,905	56
КСк3-10-02АХЛ3	28,66	0,581					1,155	68
КСк3-11-02АХЛ3	83,12	1,66	0,002576	0,002205			1,655	176
КСк3-12-02АХЛ3	125,27	2,488	0,003881	0,002205	0,00172	4	1,655	259

ТАБЛИЦА II.2. КОНСТРУКТИВНЫЕ РАЗМЕРЫ, ММ, ВОЗДУХОНАГРЕВАТЕЛЕЙ КСк3-6 – КСк3-10  
(РИС. II.1, а)

Обозначение	<i>A</i>	<i>A</i> <sub>1</sub>	<i>A</i> <sub>2</sub>	<i>A</i> <sub>3</sub>	Количество	
					шагов <i>n</i> <sub>1</sub>	отверстий <i>n</i>
КСк3-6-02АХЛЗ	530	578	602	650	4	18
КСк3-7-02АХЛЗ	655	703	727	775	5	20
КСк3-8-02АХЛЗ	780	828	852	900	6	22
КСк3-9-02АХЛЗ	905	953	977	1025	7	24
КСк3-10-02АХЛЗ	1155	1203	1227	1275	8	28

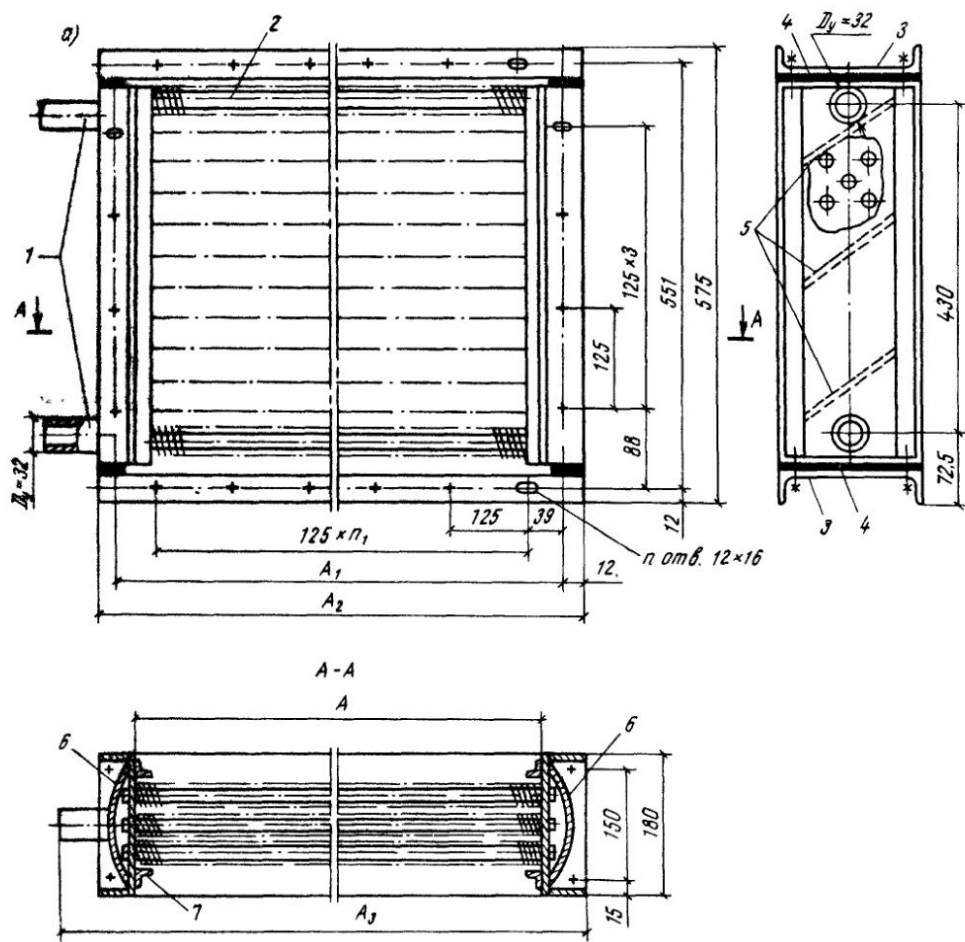
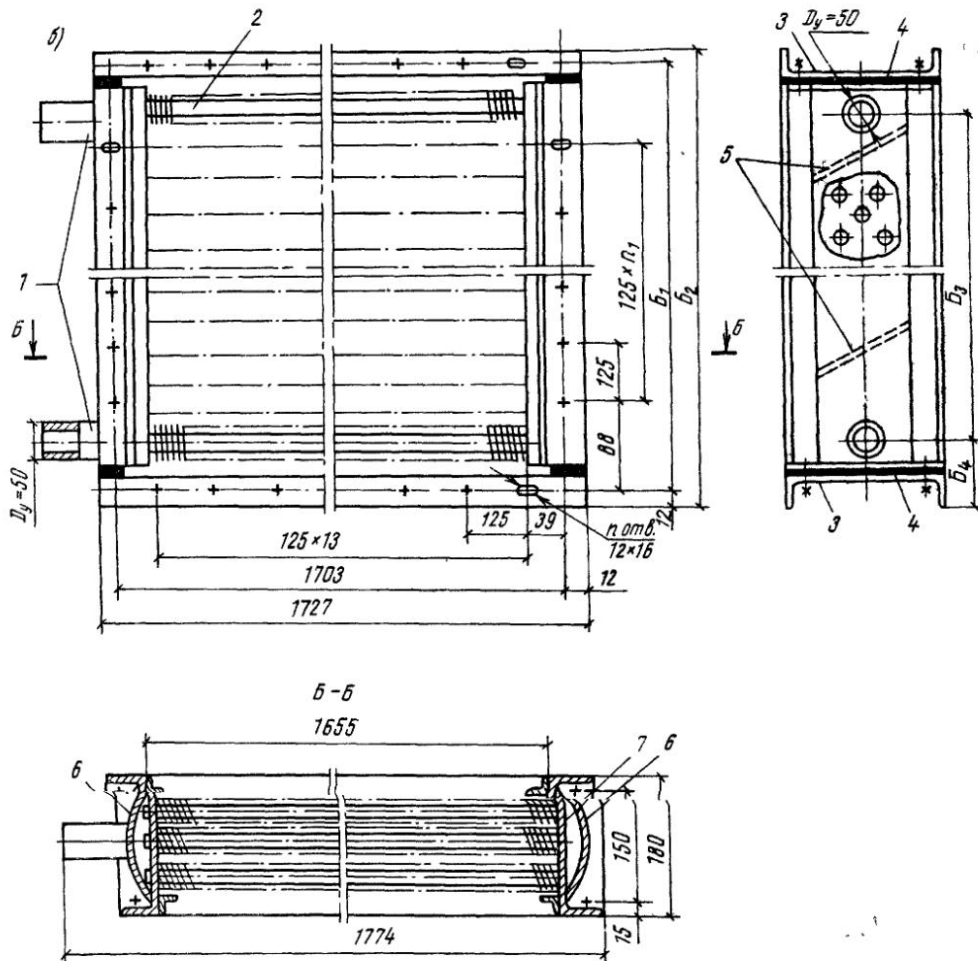
Рис. II.1. Калориферы КСк3-6-02ХЛЗА – КСк3-10-02ХЛЗА (а) и КСк3-11-02ХЛЗА и КСк3-12-02ХЛЗА (б)  
1 – патрубки для подвода и отвода теплоносителя; 2 – теплонаправляющая трубка теплообменного элемента, 3 – боковые щитки;  
4 – уплотнительные прокладки; 5 – перегородки в распределительно-сборных коллекторах; 6 – крышка; 7 – трубная решетка

ТАБЛИЦА П.3. КОНСТРУКТИВНЫЕ РАЗМЕРЫ, ММ, ВОЗДУХОНАГРЕВАТЕЛЕЙ КСк3-11 И КСк3-12  
(РИС. П.1.6)

Обозначение	<i>B</i>	<i>B</i> <sub>1</sub>	<i>B</i> <sub>2</sub>	<i>B</i> <sub>3</sub>	<i>B</i> <sub>4</sub>	Количество	
						шагов <i>n</i> <sub>1</sub>	отверстий <i>n</i>
КСк3-11-02АХЛЗ	1003	1051	1075	912	81,5	7	44
КСк3-12-02АХЛЗ	1503	1551	1575	1392	91,5	11	52



разделяются на семь типоразмеров – с № 6 по № 12.

Воздухонагреватели состоят из биметаллических теплообменных элементов, трубных решеток, крышек с перегородками и боковых щитков. Теплообменный элемент выполнен из определенного количества теплопередающих трубок в зависимости от модели и типоразмера воздухонагревателя. Воздухонагреватели КСк3 и КП3 имеют три ряда трубок по направлению воздуха, а КСк4 и КП4 – четыре.

Теплопередающая трубка изготавливается из двух трубок, насаженных одна на другую: внутренняя трубка – стальная наружным диаметром 16 мм с толщиной стенки 1,2 мм, наружная трубка – алюминиевая с накатным на ней оребрением. Теплопередающие трубы своими конусами вварены в трубчатые решетки с по-перечным шагом между трубками 41,5 мм, продольным шагом 36 мм.

У воздухонагревателей КСк3 и КСк4 к трубчатым решеткам привариваются крышки, образуя распределительно-сборные коллекторы. Одна из крышек глухая, другая имеет два патрубка для подвода и отвода теплоносителя, многоходовое движение которого организуется с помощью перегородок, устанавливаемых в распределительно-сборных коллекторах. Воздухонагреватели КСк3 и КСк4 следует устанавливать с горизонтальным расположением теплопередающих трубок.

У воздухонагревателей КП3 и КП4 в крышках, приваренных к трубным решеткам,

имеются патрубки для подвода пара и отвода конденсата. Воздухонагреватели с № 6 по № 10 снабжены одним патрубком для подвода пара и одним патрубком для отвода конденсата, а воздухонагреватели № 11 и № 12 – двумя патрубками для подвода пара и одним патрубком для отвода конденсата. Воздухонагреватели КП3 и КП4 одноходовые и устанавливаются с вертикальным расположением теплопередающих трубок и патрубков. При этом патрубки для отвода пара должны быть сверху, а патрубок для отвода конденсата – снизу.

В воздухонагревателях КСк3, КСк4, КП3, КП4 боковые щитки крепятся к торцам трубных решеток болтовыми соединениями. Между щитками и трубными решетками устанавливаются уплотнительные прокладки. Продольные края боковых щитков и трубных решеток отогнуты так, что образуются фланцы с отверстиями для присоединения калориферов к элементам отопительно-вентиляционных систем. Присоединительные отверстия располагаются с единым шагом 125 мм.

Пример условного обозначения КСк3-5-02АХЛЗ, ТУ 22-5757-84; КП46-СК-01АУ3, ТУ 22-5756-84:

КСк3 и КП4 – шифр модели;  
5 и 6 – номер типоразмера;  
СК – теплообменный элемент;  
01А и 02А – модификация конструкции;  
ХЛ и У – климатическое исполнение;  
3 – категория размещения согласно ГОСТ  
15150–69 \*.

**ТАБЛИЦА 11.4 НОМЕНКЛАТУРА И ТЕХНИЧЕСКИЕ ХАРАКТЕРИСТИКИ  
ВОЗДУХОНАГРЕВАТЕЛЕЙ КСк4**

Обозначение	Площадь поверхности теплообмена со стороны воздуха $F$ , м <sup>2</sup>	Площадь сечения, м <sup>2</sup>				Число ходов для движения теплоносителя $n_x$	Длина теплоизолирующей трубки $l$ , м	Масса, кг, не более
		фронтального $f_{\text{в}}$	для прохода теплоносителя $f_w$	патрубка $f_u$	распределительно-сборочных коллекторов $f_k$			
КСк4-6-02АХЛ3	17,42	0,267					0,53	45
КСк4-7-02АХЛ3	21,47	0,329					0,655	53
КСк4-8-02АХЛ3	25,52	0,392	0,001112	0,001006	0,0022	6	0,78	61
КСк4-9-02АХЛ3	29,57	0,455					0,905	68
КСк4-10-02АХЛ3	37,66	0,581					1,155	85
КСк4-11-02АХЛ3	110,05	1,66	0,00341	0,002205			1,655	223
КСк4-12-02АХЛ3	166,25	2,488	0,005151	0,002205	0,0022	4	1,655	331

**ТАБЛИЦА II.5. КОНСТРУКТИВНЫЕ РАЗМЕРЫ, ММ, ВОЗДУХОНАГРЕВАТЕЛЕЙ КСк4-6 – КСк4-10  
(РИС. II.2, а)**

Обозначение	<i>A</i>	<i>A</i> <sub>1</sub>	<i>A</i> <sub>2</sub>	<i>A</i> <sub>3</sub>	Количество	
					шагов <i>n</i> <sub>1</sub>	отверстий <i>n</i>
<b>KСк4-6-02АХЛ3</b>	530	578	602	650	4	18
<b>KСк4-7-02АХЛ3</b>	655	703	727	775	5	20
<b>KСк4-8-02АХЛ3</b>	780	828	852	900	6	22
<b>KСк4-9-02АХЛ3</b>	905	953	977	1025	7	24
<b>KСк4-10-02АХЛ3</b>	1155	1203	1227	1275	9	28

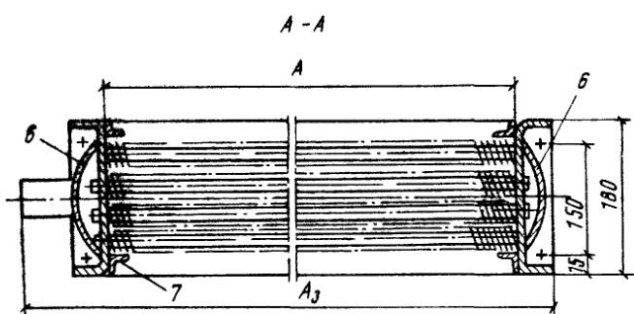
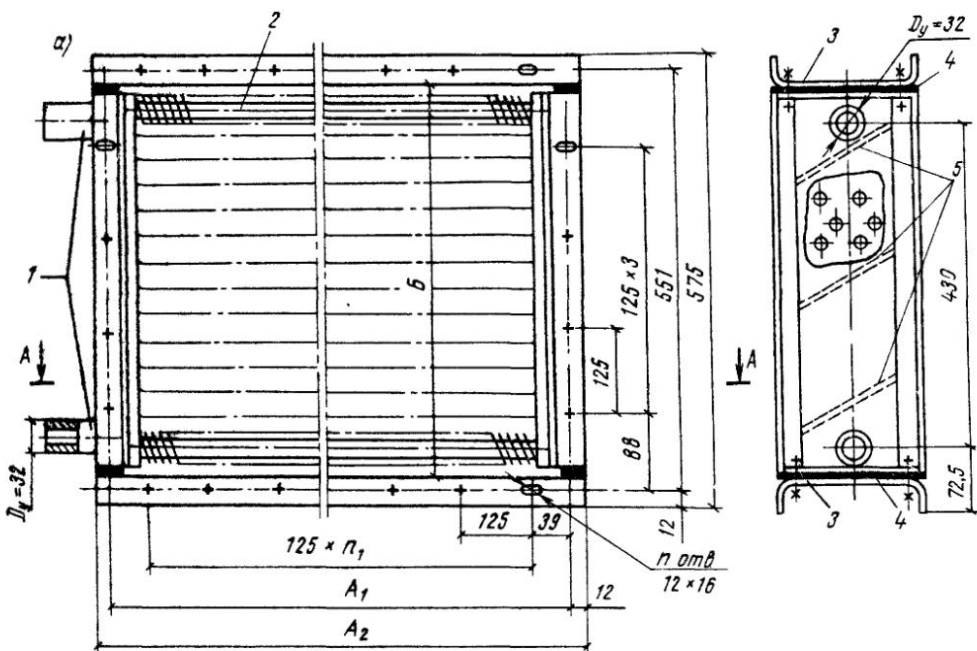


ТАБЛИЦА П.6. КОНСТРУКТИВНЫЕ РАЗМЕРЫ, ММ, ВОЗДУХОНАГРЕВАТЕЛЕЙ КСк4-11 И КСк4-12  
(РИС. П.2.6)

Обозначение	<i>B</i>	<i>B</i> <sub>1</sub>	<i>B</i> <sub>2</sub>	<i>B</i> <sub>3</sub>	<i>B</i> <sub>4</sub>	Количество	
						шагов <i>n</i> <sub>1</sub>	отверстий <i>n</i>
КСк4-11-02АХЛЗ	1003	1051	1075	912	81,5	7	44
КСк4-12-02АХЛЗ	1503	1551	1575	1392	91,5	11	52

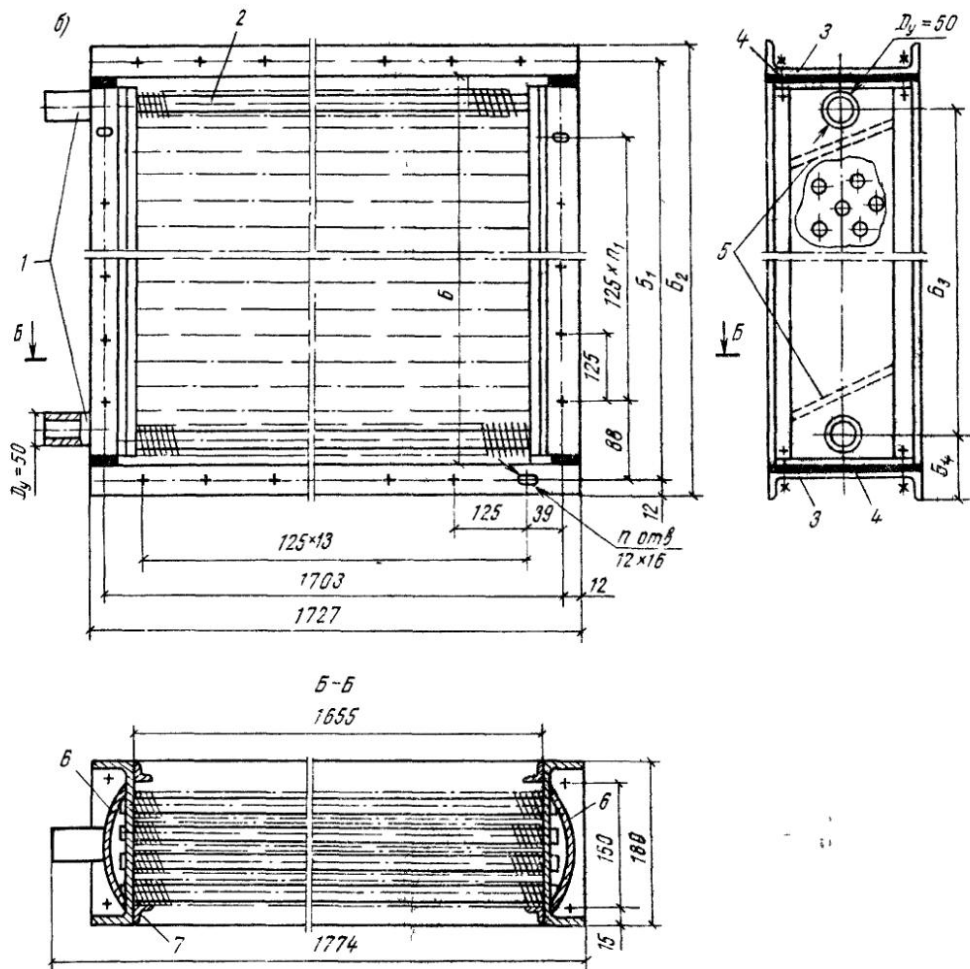


Рис. П.2. Калориферы КСк4-6-02ХЛ3А – КСк4-10-02ХЛ3А (а) и КСк4-11-02ХЛ3А и КСк4-12ХЛ3А (б)

1 – патрубки для подвода и отвода теплоносителя; 2 – теплопередающая трубка теплообменного элемента; 3 – боковые щитки; 4 – уплотнительные прокладки; 5 – перегородки в распределительно-сборочных коллекторах; 6 – крышка; 7 – грубыя решетка

ТАБЛИЦА II 7 ДАННЫЕ ДЛЯ ПОДБОРА ВОЗДУХОНАГРЕВАТЕЛЕЙ КСк3 И КСк4

Массовая скорость движения воздуха во фронтальном сечении $(v\rho)_w$ , кг/(м <sup>2</sup> с)	Коэффициент теплопередачи $K$ , Вт/(м <sup>2</sup> °C), при скорости движения теплоносителя по трубкам $w$ , м/с										Аэродинамическое сопротивление $\Delta P_a$ , Па
	0,2	0,3	0,4	0,5	0,6	0,7	0,8	0,9	1	1,2	
<b>Воздухонагреватели КСк3</b>											
1,5	26,69	28,58	29,98	31,14	32,11	32,96	33,69	34,35	34,98	36,07	12,73
2	30,27	32,41	34	35,31	36,42	37,37	38,2	38,96	39,67	40,9	21,56
2,5	33,36	35,72	37,46	38,91	40,13	41,18	42,1	42,93	43,72	45,07	32,43
3	36,13	38,68	40,58	42,14	43,47	44,6	45,6	46,5	47,35	48,82	45,3
3,5	38,65	41,39	43,42	45,09	46,51	47,72	48,79	49,75	50,66	52,23	60,08
4	40,98	43,88	46,03	47,8	49,3	50,59	51,72	52,74	53,71	55,37	76,73
4,5	43,12	46,18	48,44	50,3	51,89	53,24	54,43	55,5	56,52	58,27	95,2
5	45,16	48,35	50,72	52,68	54,33	55,75	57	58,12	59,19	61,02	115,47
5,5	47,08	50,49	52,88	54,92	56,65	58,13	59,42	60,6	61,71	63,62	137,5
6	48,91	52,38	54,94	57,06	58,85	60,39	61,74	62,95	64,11	66,1	161,26
6,5	50,66	54,24	56,9	59,09	60,95	62,54	63,93	65,2	66,39	68,45	186,73
7	52,32	56,03	58,77	61,03	62,95	64,6	66,04	67,34	68,58	70,7	213,89
<b>Воздухонагреватели КСк4</b>											
1,5	24,11	25,73	26,94	27,91	28,72	29,44	30,09	30,66	31,19	32,12	17,68
2	27,79	29,66	31,06	32,18	33,11	33,94	34,7	35,34	35,96	37,03	28,88
2,5	31,05	33,13	34,7	35,94	36,99	37,91	38,76	39,48	40,16	41,37	42,24
3	33,98	36,27	37,98	39,35	40,49	41,5	42,42	43,21	43,96	45,28	57,65
3,5	36,68	39,15	41	42,47	43,71	44,8	45,79	46,65	47,46	48,88	74,97
4	39,21	41,84	43,82	45,39	46,71	47,88	48,94	49,86	50,72	52,24	94,15
4,5	41,57	44,37	46,65	48,13	49,53	50,77	51,9	52,87	53,78	55,39	115,08
5	43,8	46,74	48,96	50,71	52,18	53,49	54,68	55,7	56,66	58,36	137,73
5,5	45,91	49	51,31	53,15	54,7	56,06	57,31	58,88	59,39	61,17	162,03
6	47,94	51,16	53,58	55,5	57,12	58,54	59,84	60,96	62,02	63,88	187,94
6,5	49,87	53,22	55,74	57,74	59,42	60,9	62,26	63,42	64,52	66,45	215,42
7	51,74	55,22	57,88	59,91	61,65	63,19	64,59	65,8	66,94	68,95	244,45

ТАБЛИЦА II 8 ГИДРАВЛИЧЕСКОЕ СОПРОТИВЛЕНИЕ ВОЗДУХОНАГРЕВАТЕЛЕЙ КСк3 И КСк4

Обозначение	Номер типо-размера	Коэффициент $A$	Гидравлическое сопротивление $\Delta p_w$ , кПа, при $\rho_w = 970$ кг/м <sup>3</sup> и скорости движения теплоносителя по трубкам $w$ , м/с										
			0,2	0,3	0,4	0,5	0,6	0,7	0,8	0,9	1	1,2	
КСк3-02АХЛ3	6	12,12	0,48	1,09	1,94	3,03	4,36	5,94	7,76	9,82	12,12	17,45	
	7	12,97	0,52	1,17	2,08	3,24	4,67	6,36	8,3	10,51	12,97	18,68	
	8	13,83	0,55	1,24	2,21	3,46	4,98	6,78	8,85	11,2	13,83	19,92	
	9	14,68	0,59	1,32	2,35	3,67	5,28	7,19	9,4	11,89	14,68	21,14	
	10	16,39	0,66	1,48	2,62	4,1	5,9	8,03	10,49	13,28	16,39	23,6	
	11	34,25	1,37	3,08	5,48	8,56	12,38	16,78	21,92	27,74	34,25	49,32	
	12	64,29	2,57	5,79	10,29	16,07	23,14	31,50	41,15	52,07	64,29	92,58	
КСк4-02АХЛ3	6	13,01	0,52	1,17	2,08	3,25	4,68	6,37	8,33	10,54	13,01	18,73	
	7	13,87	0,55	1,25	2,22	3,47	4,99	6,8	8,88	11,23	13,87	19,97	
	8	14,72	0,59	1,32	2,36	3,68	5,3	7,21	9,42	11,92	14,72	21,2	
	9	15,58	0,62	1,4	2,49	3,9	5,61	7,63	9,97	12,62	15,58	22,44	
	10	17,29	0,69	1,56	2,77	4,32	6,22	8,47	11,07	14	17,29	24,9	
	11	37,15	1,49	3,34	5,94	9,29	13,37	18,2	23,78	30,09	37,15	53,5	
	12	71,19	2,85	6,41	11,39	17,8	25,63	34,88	45,56	57,66	71,19	102,51	

ТАБЛИЦА II.9 КОДЫ ПО ОКП ВОЗДУХОНАГРЕВАТЕЛЕЙ КСк3 И КСк4

Обозначение	Код по ОКП	Обозначение	Код по ОКП
КСк3-6-02АХЛ3	48 6353 2360 48 6353 2361*	КСк4-6-02АХЛ3	48 6353 2384 48 6353 2385*
КСк3-7-02АХЛ3	48 6353 2362 48 6353 2363*	КСк4-7-02АХЛ3	48 6353 2386 48 6353 2387*
КСк3-8-02АХЛ3	48 6353 2364 48 6353 2365*	КСк4-8-02АХЛ3	48 6353 2388 48 6353 2389*
КСк3-9-02АХЛ3	48 6353 2366 48 6353 2367*	КСк4-9-02АХЛ3	48 6353 2390 48 6353 2391*
КСк3-10-02АХЛ3	48 6353 2368 48 6353 2369*	КСк4-10-02АХЛ3	48 6353 2392 48 6353 2393*
КСк3-11-02АХЛ3	48 6353 2370 48 6353 2371*	КСк4-11-02АХЛ3	48 6353 2394 48 6353 2395*
КСк3-12-02АХЛ3	48 6353 2372 48 6353 2373*	КСк4-12-02АХЛ3	48 6353 2396 48 6353 2397*

\* Поставка на экспорт.

ТАБЛИЦА II.10. НОМЕНКЛАТУРА И ТЕХНИЧЕСКИЕ ХАРАКТЕРИСТИКИ ВОЗДУХОНАГРЕВАТЕЛЕЙ КП3-СК

Обозначение	Площадь поверхности теплообмена со стороны воздуха $f$ , $\text{м}^2$	Площадь сечения, $\text{м}^2$		Длина теплонаправляющей трубы $l$ , м	Масса, кг, не более
		фронтального $f_{\text{ф}}$	для прохода теплоносителя $f_{\text{w}}$		
КП36-СК-01АУ3	13,26	0,267		0,53	38
КП37-СК-01АУ3	16,34	0,329		0,655	44
КП38-СК-01АУ3	19,42	0,392	0,005082	0,78	50
КП39-СК-01АУ3	22,5	0,455		0,905	56
КП310-СК-01АУ3	28,66	0,581		1,155	68
КП311-СК-01АУ3	83,12	1,66	0,0103	1,655	176
КП312-СК-01АУ3	125,27	2,488	0,0155	1,655	259

ТАБЛИЦА II 11 КОНСТРУКТИВНЫЕ РАЗМЕРЫ ММ ВОЗДУХОНАГРЕВАТЕЛЕЙ КП36 СК – КП310 СК (РИС. II 3 а)

Обозначение	<i>A</i>	<i>A</i> <sub>1</sub>	<i>A</i> <sub>2</sub>	<i>A</i> <sub>3</sub>	Количество		
					отверстий <i>n</i>	шагов <i>n</i> <sub>1</sub>	<i>n</i> <sub>2</sub>
КП36 СК 01АУ3	530	578	602	670	18		4
КП37 СК-01АУ3	655	703	727	795	20		5
КП38 СК 01АУ3	780	828	852	920	22	3	6
КП39 СК 01АУ3	905	953	977	1045	24		7
КП310 СК 01АУ3	1155	1203	1227	1295	28		9

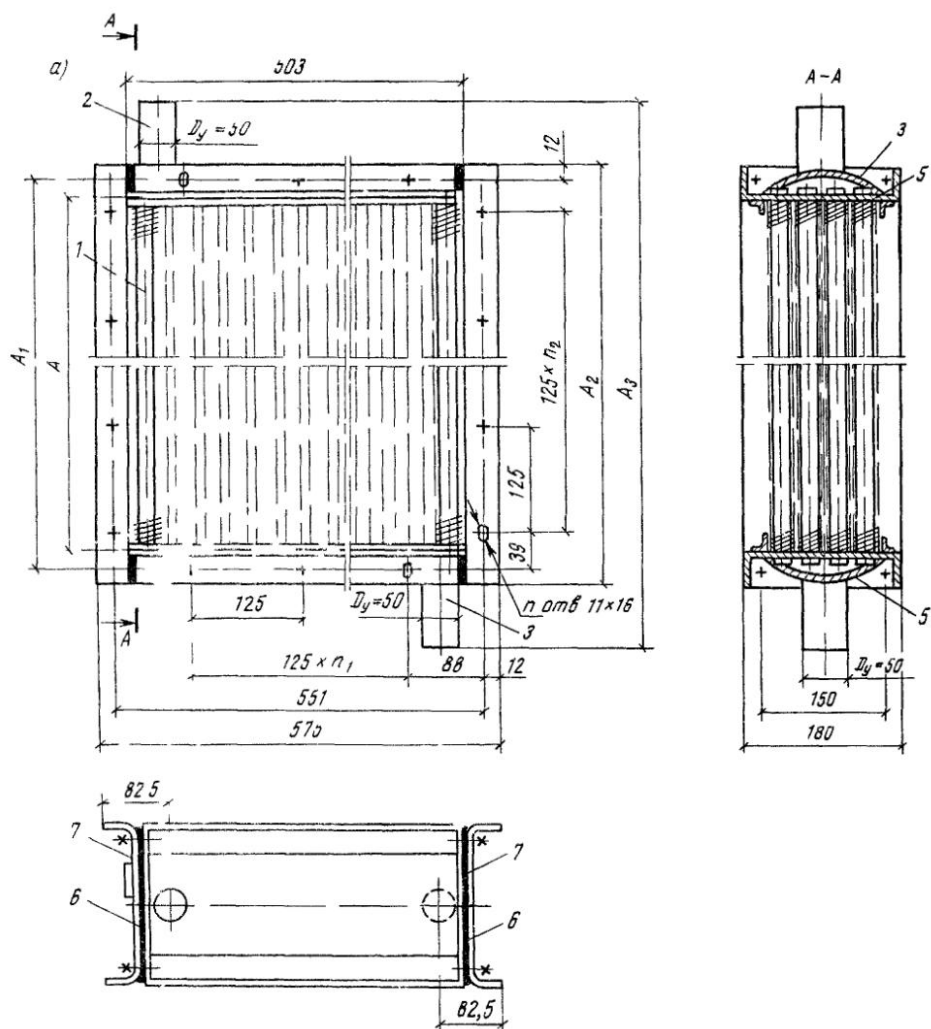


ТАБЛИЦА II.12. КОНСТРУКТИВНЫЕ РАЗМЕРЫ, ММ, ВОЗДУХОНАГРЕВАТЕЛЕЙ КП311-СК И КП312-СК (РИС. II.3,б)

Обозначение	<i>B</i>	<i>B</i> <sub>1</sub>	<i>B</i> <sub>2</sub>	<i>c</i>	<i>c</i> <sub>1</sub>	Диаметр условного прохода патрубков <i>D</i> <sub>y</sub> , мм	Количество		
							отвер- стий <i>n</i>	шагов	<i>n</i> <sub>1</sub>
КП311-СК-01УЗ	1003	1051	1075	291	538	65	44	7	
КП312-СК-01УЗ	1503	1551	1575	416	788	80	52	11	13

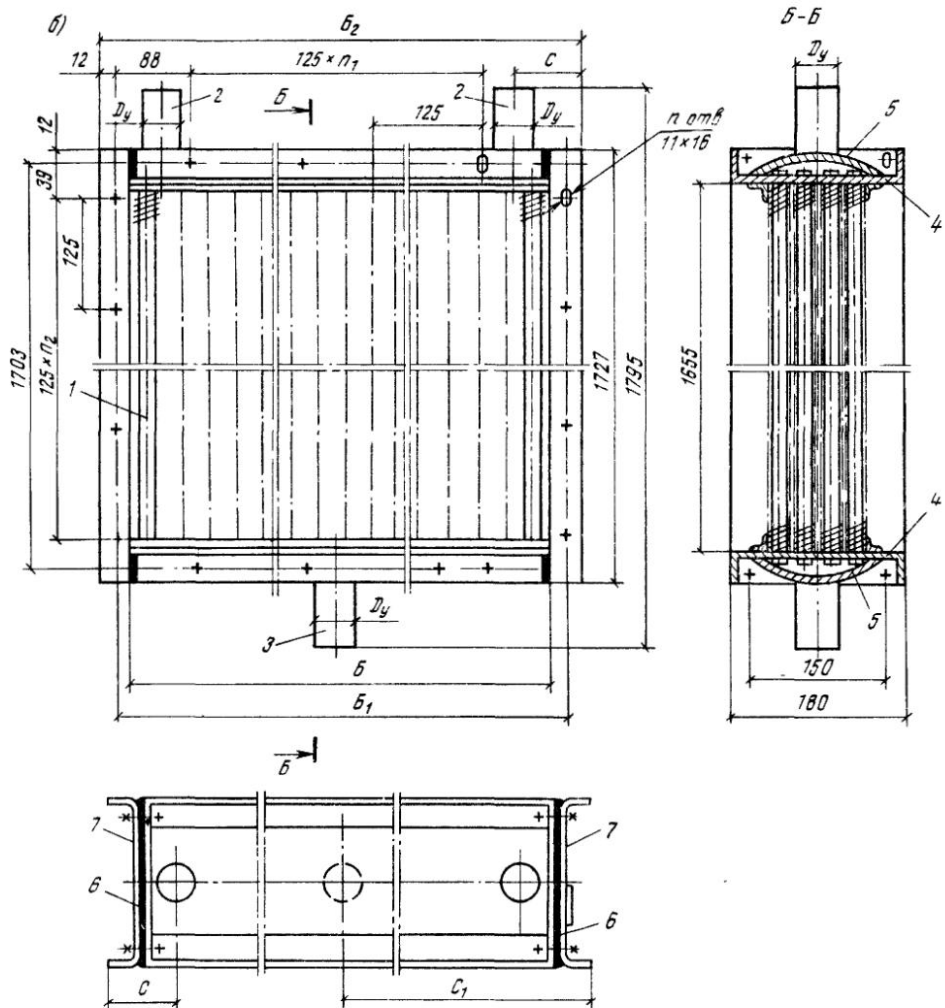


Рис. II.3. Воздухонагреватели (калориферы) КП36-СК-01УЗА - КП310-СК-01УЗА(а), КП311-СК-01УЗА и КП312-СК-01УЗА (б)

1 - тепlopераедающая трубка теплообменного элемента; 2 - патрубок для подвода пара; 3 - патрубок для отвода конденсата;  
4 - трубная решетка; 5 - крышка; 6 - уплотнительные прокладки; 7 - боковые щитки

ТАБЛИЦА II 13 НОМЕНКЛАТУРА И ТЕХНИЧЕСКИЕ ХАРАКТЕРИСТИКИ ВОЗДУХОНАГРЕВАТЕЛЕЙ КП4-СК

Обозначение	Площадь поверхности теплообмена со стороны воздуха $F$ , м <sup>2</sup>	Площадь сечения, м <sup>2</sup>		Длина теплопередающей трубы $l$ , м	Масса, кг, не более
		фронтально го $f_{\text{ф}}$	для прохода теплоносителя $f_w$		
КП46-СК-01АУ3	17,42	0,267		0,53	45
КП47-СК-01АУ3	21,47	0,329		0,655	53
КП48-СК-01АУ3	25,52	0,392	0,00668	0,78	61
КП49-СК-01АУ3	29,57	0,455		0,905	68
КП410-СК-01АУ3	37,66	0,581		1,155	85
КП411-СК-01АУ3	110,05	1,66	0,0136	1,655	223
КП412-СК-01АУ3	166,25	2,488	0,0206	1,655	331

ТАБЛИЦА II 14 Коды по ОКП ВОЗДУХОНАГРЕВАТЕЛЕЙ КП3-СК И КП4-СК

Обозначение	Код по ОКП	Обозначение	Код по ОКП
КП36-СК-01АУ3	48 6353 1281	КП46-СК-01АУ3	48 6353 1306
КП37-СК-01АУ3	48 6353 1283	КП47-СК-01АУ3	48 6353 1308
КП38-СК-01АУ3	48 6353 1285	КП48-СК-01АУ3	48 6353 1310
КП39-СК-01АУ3	48 6353 1287	КП49-СК-01АУ3	48 6353 1312
КП310-СК-01АУ3	48 6353 1289	КП410-СК-01АУ3	48 6353 1314
КП311-СК-01АУ3	48 6353 1291	КП411-СК-01АУ3	48 6353 1316
КП312-СК-01АУ3	48 6353 1293	КП412-СК-01АУ3	48 6353 1318

ТАБЛИЦА II.1.5. КОЭФФИЦИЕНТ ТЕПЛОПЕРЕДАЧИ К И АЭРОДИНАМИЧЕСКОЕ СОПРОТИВЛЕНИЕ  $\Delta P_a$  ВОЗДУХОНАГРЕВАТЕЛЕЙ КП3-СК И КП4-СК

Обозначение	Коэффициент теплопередачи $K$ , $\text{Вт}/(\text{м}^2 \cdot ^\circ\text{C})$ , при массовой скорости движения воздуха во фронтальном сечении ( $v\rho_a$ , $\text{кг}/(\text{м}^2 \cdot \text{с})$ )	воздуха во фронтальном сечении ( $v\rho_a$ , $\text{кг}/(\text{м}^2 \cdot \text{с})$ )										
		1,5	2	2,5	3	3,5	4	4,5	5	5,5	6	6,5
КП36-СК-01АУ3	37,24	41,86	45,81	49,32	52,52	55,42	58,14	60,67	63,08	65,31	67,47	69,53
КП37-СК-01АУ3	36,73	41,28	45,18	48,64	51,79	54,66	57,84	59,83	62,60	64,42	66,54	68,56
КП38-СК-01АУ3	36,31	40,81	44,66	48,08	51,19	54,03	56,68	59,15	61,49	63,68	65,77	67,78
КП39-СК-01АУ3	35,95	40,41	44,22	47,61	50,69	53,5	56,13	58,57	60,89	63,05	65,13	67,11
КП310-СК-01АУ3	35,38	39,76	43,52	46,85	49,88	52,65	55,23	57,63	59,92	62,05	64,09	66,04
КП311-СК-01АУ3	34,55	38,83	42,5	45,75	48,71	51,41	53,93	56,28	58,51	60,59	62,59	64,49
КП312-СК-01АУ3	34,55	38,83	42,5	45,75	48,71	51,41	53,93	56,28	58,51	60,59	62,59	64,49
$\Delta P_a$ , Па	12,73	21,56	32,43	45,3	60,08	76,73	95,2	115,47	137,5	161,26	186,73	213,89
КП46-СК-01АУ3	32,39	37,14	41,31	45,05	48,47	51,67	54,63	57,44	60,11	62,65	65,1	67,43
КП47-СК-01АУ3	32,14	36,86	41	44,71	48,1	51,28	54,22	57	59,65	62,17	64,61	66,91
КП48-СК-01АУ3	31,94	36,63	40,74	44,43	47,8	50,96	53,88	56,65	59,28	61,78	64,2	66,5
КП49-СК-01АУ3	31,77	36,44	40,52	44,19	47,54	50,69	53,59	56,31	58,96	61,45	63,86	66,14
КП410-СК-01АУ3	31,5	36,12	40,17	43,80	47,13	50,24	53,12	55,85	58,45	60,91	63,3	65,56
КП411-СК-01АУ3	31,09	35,65	39,65	43,24	46,52	49,6	52,44	55,13	57,7	60,13	62,49	64,72
КП412-СК-01АУ3	31,09	35,65	39,65	43,24	46,52	49,6	52,44	55,13	57,7	60,13	62,49	64,72
$\Delta P_a$ , Па	17,68	28,88	42,24	57,65	74,97	94,15	115,08	137,73	162,03	187,94	215,42	244,45

ТАБЛИЦА II.16. КОНСТРУКТИВНЫЕ РАЗМЕРЫ, ММ, ВОЗДУХОНАГРЕВАТЕЛЕЙ КП46-СК – КП410-СК (РИС. II.4, а)

Обозначение	<i>A</i>	<i>A</i> <sub>1</sub>	<i>A</i> <sub>2</sub>	<i>A</i> <sub>3</sub>	Количество		
					отверстий <i>n</i>	шагов	
					<i>n</i>	<i>n</i> <sub>1</sub>	<i>n</i> <sub>2</sub>
КП46-СК-01АУ3	530	578	602	670	18		4
КП47-СК-01АУ3	655	703	727	795	20		5
КП48-СК-01АУ3	780	828	852	920	22	3	6
КП49-СК-01АУ3	905	953	977	1045	24		7
КП410-СК-01АУ3	1155	1203	1227	1295	28		9

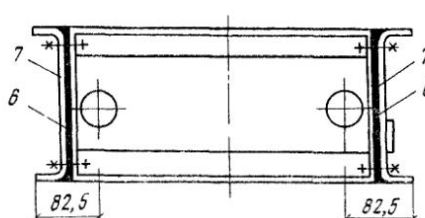
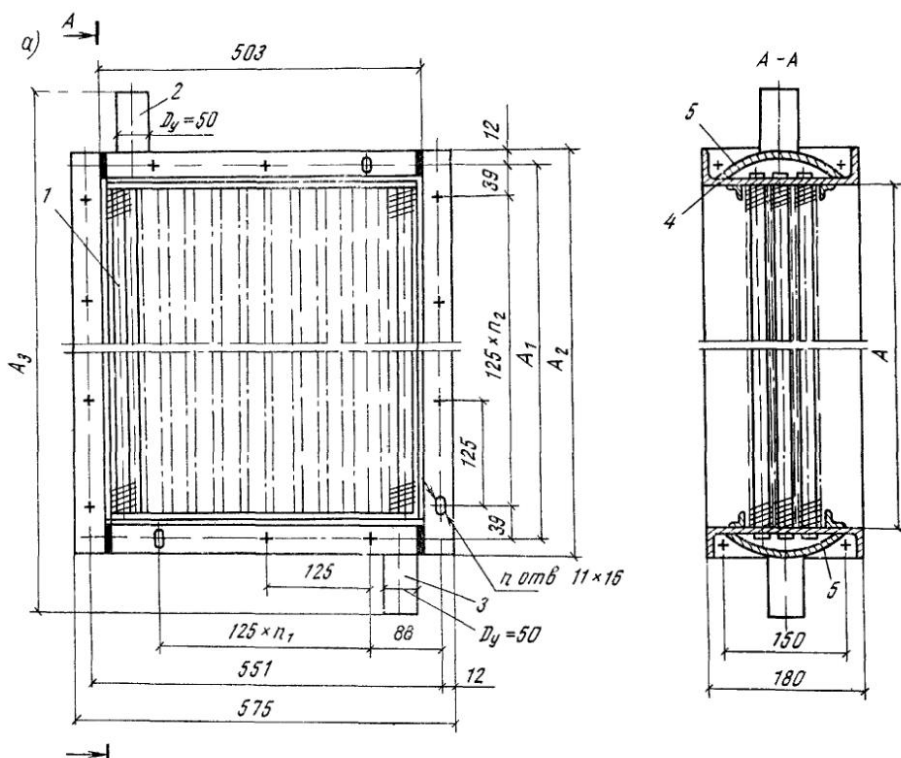


ТАБЛИЦА II.17. КОНСТРУКТИВНЫЕ РАЗМЕРЫ, ММ, ВОЗДУХОНАГРЕВАТЕЛЕЙ КП411-СК И КП412-СК (РИС. II.4, б)

Обозначение	<i>B</i>	<i>B</i> <sub>1</sub>	<i>B</i> <sub>2</sub>	<i>c</i>	<i>c</i> <sub>1</sub>	Диаметр условного прохода патрубков <i>D</i> <sub>y</sub> , мм	Количество		
							отверс- тий <i>n</i>	шагов	<i>n</i> <sub>1</sub>
									<i>n</i> <sub>2</sub>
КП411-СК-01АУ3	1003	1051	1075	291	538	65	44	7	
КП412-СК-01АУ3	1503	1551	1575	416	788	80	52	11	13

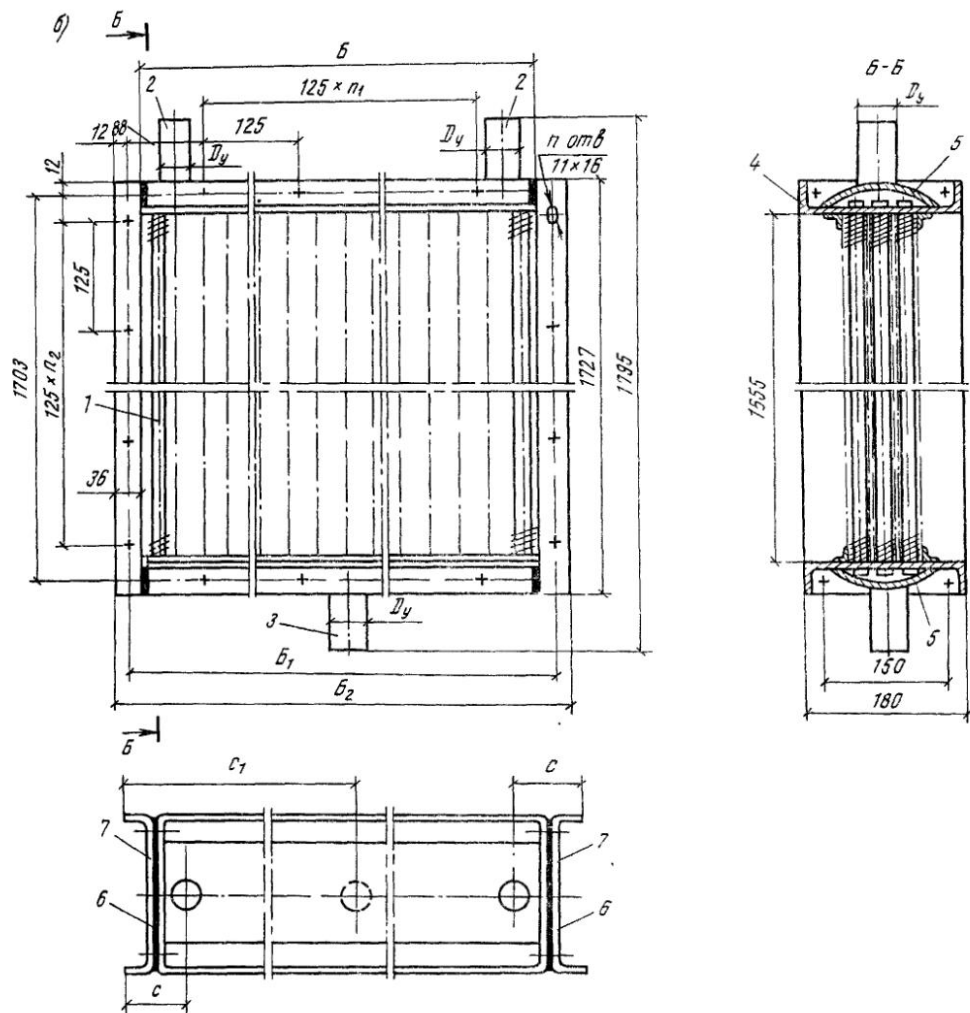


Рис. II.4. Воздухонагреватели (калориферы) КП46-СК-01УЗА – КП410-СК-01УЗ (а) и КП411-СК-01УЗА и КП412-СК-01УЗА (б)

1 - теплонаправляющая трубка теплообменного элемента, 2 - патрубок для подвода пара, 3 - патрубок для отвода конденсата, 4 - трубная решетка; 5 - крышка; 6 - уплотнительная прокладка, 7 - боковые щитки

## II.2. КАЛОРИФЕРЫ СТАЛЬНЫЕ С ГОФРИРОВАННЫМИ ПЛАСТИНАМИ И ПЛОСКООВАЛЬНЫМИ ТРУБКАМИ

Калориферы стальные с гофрированными пластинами и плоскоовальными трубками КВБ5, КВБ8, КВБ10 и КВБ11 предназначены для нагревания воздуха с запыленностью не более 0,15 мг/м<sup>3</sup> в системах вентиляции, воздушного отопления, кондиционирования и в сушильных установках. Теплоноситель – горячая вода или пар. Рассчитаны на гидравлическое давление теплоносителя до 1,2 МПа. Калориферы изготавливаются в соответствии с ТУ 36-1710-83.

Теплоотдающую поверхность калориферов образуют плоскоовальные стальные трубы с наружными размерами поперечного сечения 73,8 × 10,8 мм, на которые с шагом 3,7 мм насажены стальные гофрированные

пластины толщиной 0,5 мм. Калориферы № 5, 8, и 10 имеют по одному входному и выходному патрубку для подвода и отвода теплоносителя, а калорифер № 11 – два входных и выходных патрубка.

Калориферы КВБ выпускаются четырех типоразмеров.

Пример условного обозначения КВБ8-П-01У3: ТУ 36-1710-83;

К – калорифер;

В – теплоноситель;

Б – большая модель;

8 – номер типоразмера,

П – пластинчатый;

01 – модификация конструкции;

У – климатическое исполнение;

3 – категория размещения согласно ГОСТ 15150–69\*.

ТАБЛИЦА II 18 НОМЕНКЛАТУРА И ТЕХНИЧЕСКИЕ ХАРАКТЕРИСТИКИ КАЛОРИФЕРОВ КВБ

Обозначение	Площадь поверхности теплообмена со стороны воздуха $F_v$ , м <sup>2</sup>	Площадь сечения, м <sup>2</sup>				Число ходов для движения теплоносителя $n_x$	Длина теплопередающей трубы $l$ , м	Масса, кг, не более
		фронтального $f_h$	для теплоносителя $f_w$	патрубка $f_n$	распределительных коллекторов $f_s$			
КВБ5-П-01У3	20,77	0,4396	0,0012			4	1,163	92
КВБ8-П-01У3	18,74	0,3964	0,0016	0,00119	0,00281	4	0,788	85
КВБ10-П-01У3	27,7	0,585	0,0016			4	1,163	120
КВБ11-П-01У3	78,8	1,668	2 × 0,0016			4 × 2	1,663	325

ТАБЛИЦА II 19 ГИДРАВЛИЧЕСКОЕ СОПРОТИВЛЕНИЕ КАЛОРИФЕРОВ КВБ

Обозначение	Коэффициент $A$	Гидравлическое сопротивление $\Delta P_{w^*}$ Па, при $\rho_w = 970 \text{ кг}/\text{м}^3$ и скорости движения теплоносителя по трубкам $w$ , м/с								Масса, кг, не более
		0,2	0,3	0,4	0,5	0,6	0,7	0,8	0,9	
КВБ5-П-01У3	11,39	0,46	1,03	1,82	2,85	4,1	5,58	7,39	9,22	11,39
КВБ8-П-01У3	12,17	0,49	1,09	1,95	3,04	4,38	5,98	7,79	9,86	12,17
КВБ10-П-01У3	13,83	0,55	1,24	2,21	3,46	4,98	6,78	8,85	11,2	13,83
КВБ11-П-01У3	16,06	0,64	1,45	2,57	4,01	5,78	7,87	10,28	13	16,06

ТАБЛИЦА II 20 КОНСТРУКТИВНЫЕ РАЗМЕРЫ, ММ, КАЛОРИФЕРОВ КВБ5, КВБ8 И КВБ10  
(РИС. II 5)

Обозначение	4	$A_1$	$A_2$	$B$	$b_1$	$B_2$	$B_3$	Количество шагов	
								$n_1$	$n_2$
КВБ5-П-01У3	1163	1203	1291	378	426	450	305	9	2
КВБ8-П-01У3	788	828	915	503	551	575	420	6	3
КВБ10-П-01У3	1163	1203	1290	503	551	575	420	9	3

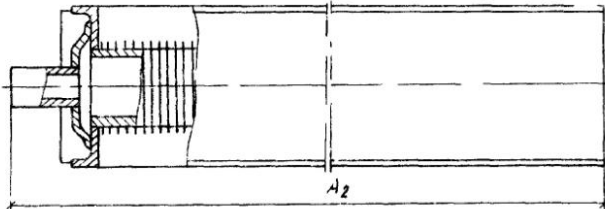
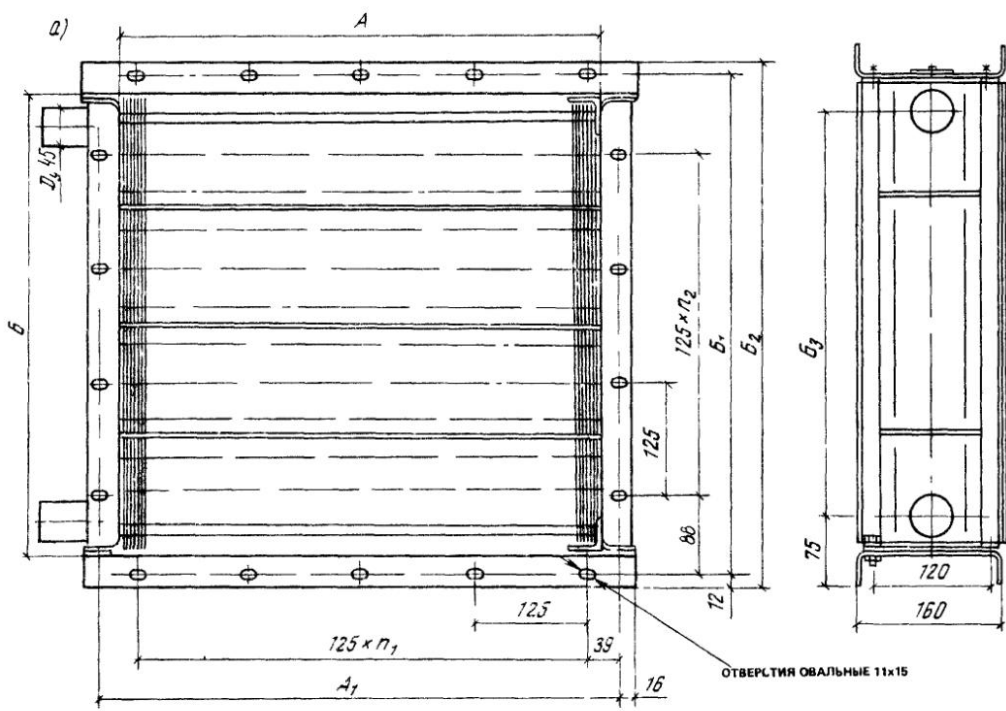
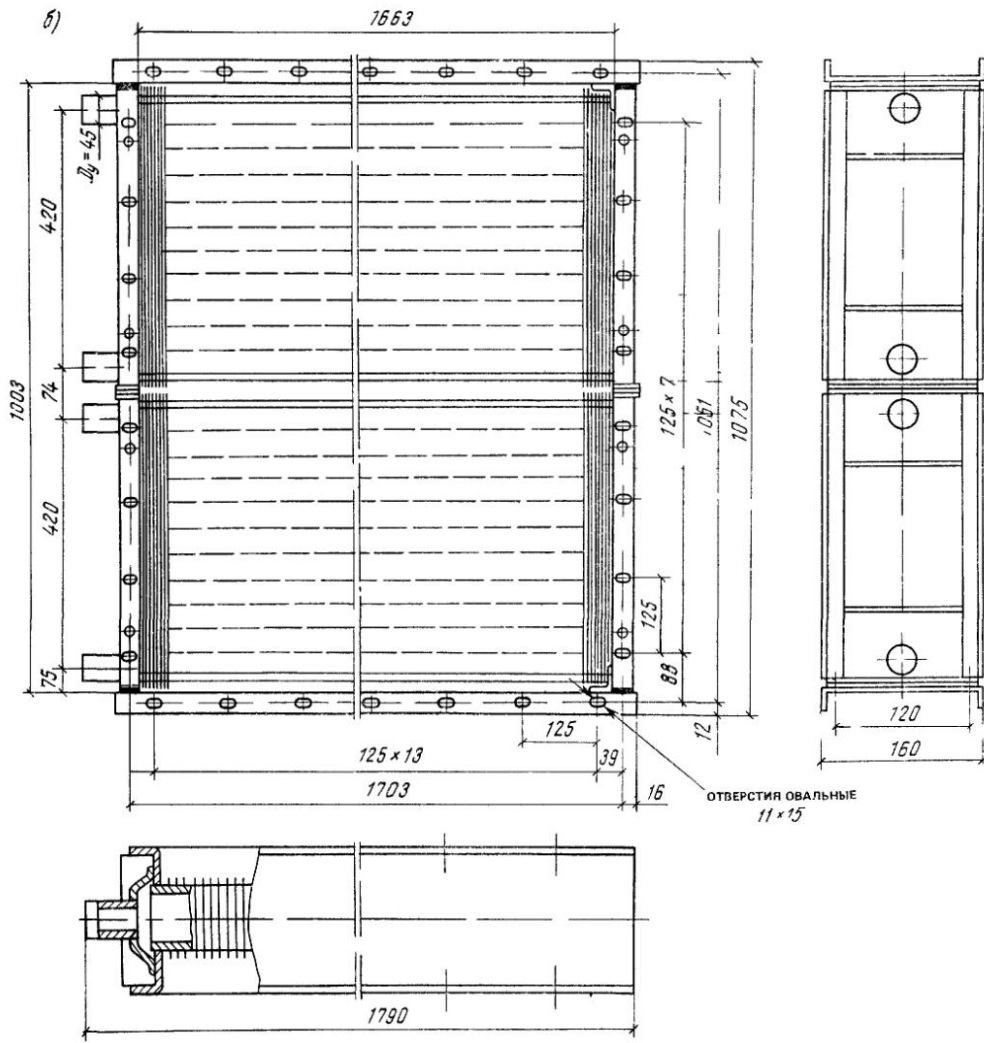


Рис. II 5 Калориферы стальные пластинчатые KBV5-KBV8 и KBV10 (а) и KBV11 (б)



### II.3. КАЛОРИФЕРЫ СТАЛЬНЫЕ ПЛАСТИНЧАТЫЕ

Калориферы стальные пластинчатые КВСБ-П и КВББ-П предназначены для нагревания воздуха с предельно допустимым содержанием химически агрессивных веществ по ГОСТ 12.1.005-88, с запыленностью не более 0,5 мг/м<sup>3</sup>, не содержащего липких веществ и волокнистых материалов, в системах кондиционирования, вентиляции, воздушного отопления и в сушильных установках.

Теплоноситель горячая вода с рабочим избыточным давлением до 1,2 МПа и температурой до 180 °С.

Калориферы изготавливают в климатических исполнениях согласно ГОСТ 15150-69\*;

а) для эксплуатации в районах с умеренным климатом (У) и категории размещения 3;

б) для эксплуатации в районах с тропическим климатом (Т) и категории размещения 3.

Изготавливают калориферы двух моделей: КВСБ-П – средняя модель и КВББ-П – большая модель, имеющие по направлению движения воздуха соответственно три и четыре ряда тепlopерающих трубок.

В зависимости от присоединительных размеров калориферы каждой модели подразделяются на семь типоразмеров с № 6 по 12.

Присоединительные размеры калориферов соответствуют ТУ 22-5893-84.

Пример условного обозначения КВС7Б-П-У3, ТУ 22-4459-84; КВБ9Б-П-13; ТУ 22-4459-84:

К – калорифер;

В – теплоноситель вода;

С, Б – модель (средняя, большая);

7, 9 – номер типоразмера;

Б – модификация конструкции;

П – пластинчатый;

У, Т – климатическое исполнение (У – умеренный климат, Т – тропический климат);

3 – категория размещения (согласно ГОСТ 15150-69\*).

ТАБЛИЦА II.21. ДАННЫЕ ДЛЯ ПОДБОРА КАЛОРИФЕРОВ КВБ

Массовая скорость движения воздуха во фронтальном сечении ( $v\rho$ ) <sub>н</sub> , кг/(м <sup>2</sup> · с)	Коэффициент теплопередачи $K$ , Вт/(м <sup>2</sup> · °С), при скорости движения теплоносителя по трубкам $w$ , м/с										Аэродинамическое сопротивление $\Delta P_a$ , Па
	0,2	0,3	0,4	0,5	0,6	0,7	0,8	0,9	1	1,2	
1,5	25,76	27,14	28,17	28,99	29,68	30,28	30,8	31,27	31,7	32,46	15,03
2	28,94	30,49	31,65	32,57	33,28	34,02	34,61	35,14	35,62	36,47	24,02
2,5	31,68	33,38	34,64	35,65	36,5	37,23	37,88	38,46	38,99	39,91	34,65
3	34,11	35,93	37,29	38,38	39,3	40,09	40,78	41,41	41,98	42,97	46,51
3,5	36,3	38,25	39,7	40,85	41,83	42,67	43,41	44,08	44,68	45,74	59,8
4	38,32	40,38	41,9	43,12	44,15	45,04	45,83	46,52	47,16	48,28	74,34
4,5	40,19	42,35	43,95	45,23	46,31	47,24	48,06	48,8	49,47	50,64	90,07
5	41,94	44,19	45,86	47,2	48,33	49,3	50,15	50,92	51,62	52,85	106,95
5,5	43,6	45,93	47,67	49,06	50,24	51,24	52,13	52,93	53,66	54,93	124,93
6	45,16	47,58	49,38	50,82	52,03	53,08	54	54,83	55,58	56,9	143,96
6,5	46,65	49,15	51,01	52,43	53,75	54,83	55,78	56,64	57,41	58,78	164,03
7	48,07	50,65	52,56	54,09	55,38	56,5	57,48	58,36	59,16	60,57	185,09

Примечание. Коэффициент теплопередачи  $K$  калориферов типа КВБ-П при теплоносителе вода  $K = 26,9 (v\rho)^{0,405} w^{0,129}$ . Сопротивление проходу воздуха  $\Delta P_a = 7,76(v\rho)^{1,63}$ .

ТАБЛИЦА II 22. ТЕХНИЧЕСКИЕ ХАРАКТЕРИСТИКИ КАЛОРИФЕРОВ КВСБ

Обозначение	Площадь поверхности теплообмена со стороны воздуха $F, \text{ м}^2$	Площадь сечения, $\text{м}^2$			Число ходов для движения теплоносителя $n_x$	Длина теплопередающей трубки, $l, \text{ м}$	Масса, кг
		фронталь-ного $f_s$	для прохода теплоносителя $f_w$	трубка $f_n$			
KBC6Б-П-У3	12,92	0,267				0,53	55
KBC7Б-П-У3	15,92	0,329				0,655	65
KBC8Б-П-У3	18,96	0,392	0,00087	0,00101	6	0,78	75
KBC9Б-П-У3	22,02	0,455				0,905	85
KBC10Б-П-У3	28,11	0,581				1,555	105
KBC11Б-П-У3	80,3	1,66	0,00261	0,00221	1		
KBC12Б-П-У3	120,36	2,488	0,00392	0,003		1,655	273
						1,655	401

ТАБЛИЦА II.23. ПРИСОЕДИНИТЕЛЬНЫЕ И ГАБАРИТНЫЕ РАЗМЕРЫ, ММ, КАЛОРИФЕРОВ  
КВС6Б – КВС10Б (РИС. II.6, а)

Обозначение	$A$	$A_1$	$A_2$	$A_3$	Количество	
					шагов $n_1$	отверстий $n$
КВС6Б-П-УЗ	530	578	602	651	4	16
КВС7Б-П-УЗ	655	703	727	776	5	18
КВС8Б-П-УЗ	780	828	852	901	6	20
КВС9Б-П-УЗ	905	953	977	1026	7	22
КВС10Б-П-УЗ	1155	1203	1227	1276	9	26

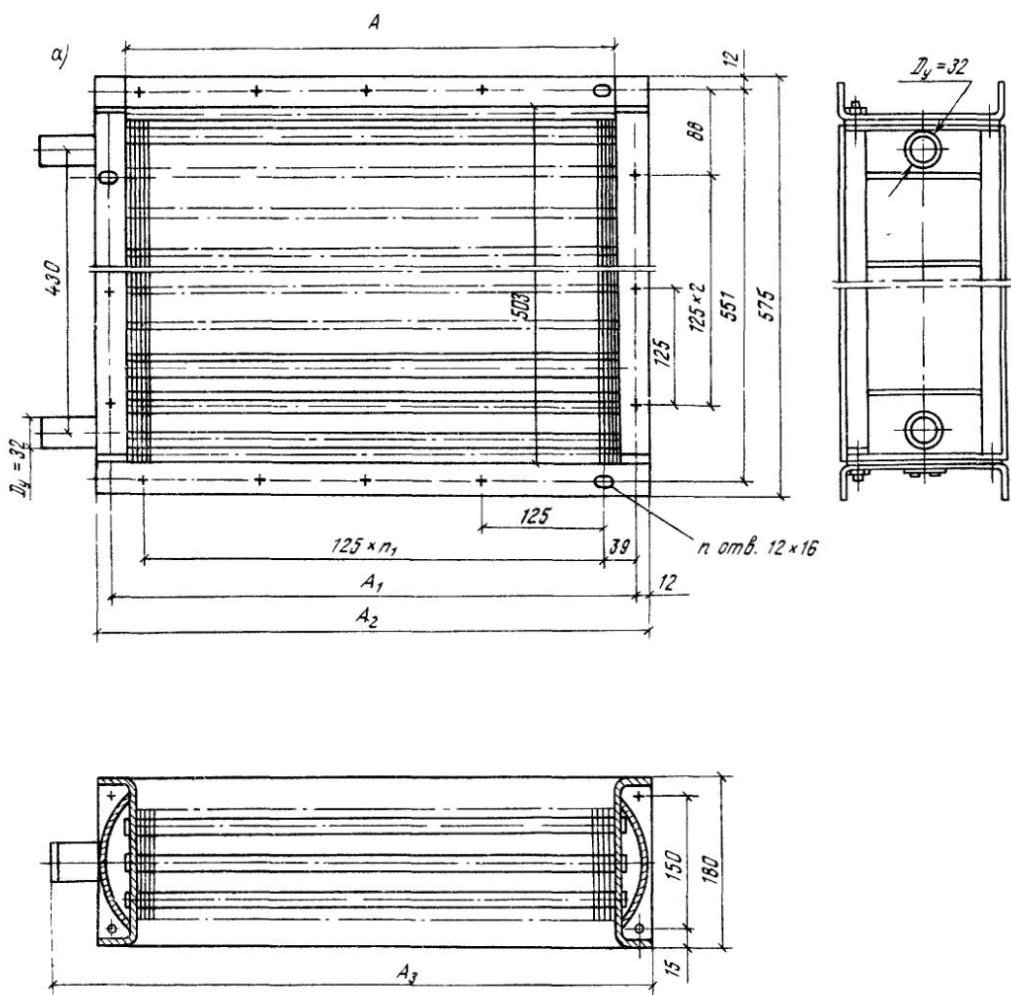


ТАБЛИЦА II 24 ПРИСОЕДИНИТЕЛЬНЫЕ И ГАБАРИТНЫЕ РАЗМЕРЫ, ММ, КАЛОРИФЕРОВ  
КВС11Б И КВС12Б (РИС. II 6, б)

Обозначение	$b$	$b_1$	$b_2$	$b_3$	Диаметр условного прохода патрубков $D_y$ , мм	Количество	
						шайбов $n_1$	отверстий $n$
КВС11Б-П-УЗ	1003	1051	1075	912	50	7	44
КВС12Б-П-УЗ	1503	1551	1575	1412	50	11	52

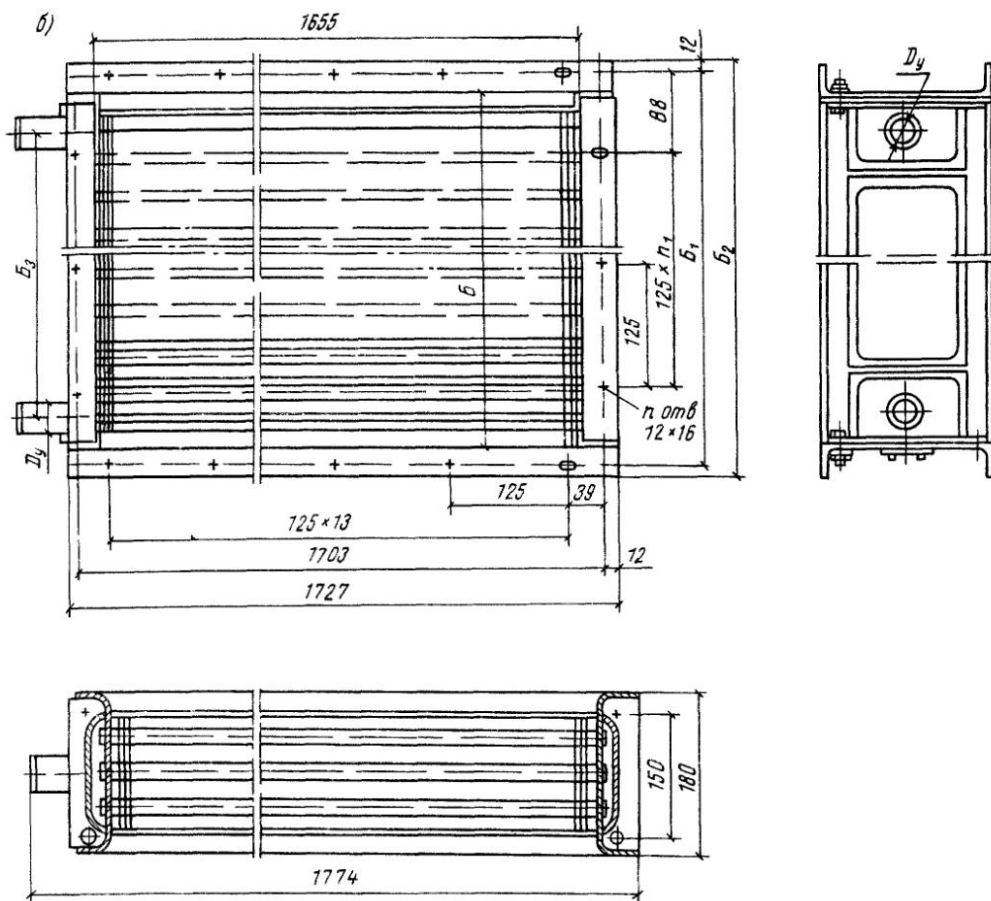


Рис. II 6 Каляриферы стальные пластинчатые КВС6Б – КВС10Б (а), КВС11Б и КВС12Б (б)

ТАБЛИЦА II.25 ДАННЫЕ ДЛЯ ПОДБОРА КАЛОРИФЕРОВ КВСБ

Массовая скорость движения воздуха во фронтальном сечении ( $v_p$ ), $\text{кг}/(\text{м}^2 \cdot \text{с})$	Коэффициент теплопередачи $K$ , $\text{Вт}/(\text{м}^2 \cdot ^\circ\text{C})$ , при скорости движения теплоносителя по трубкам $w$ , $\text{м}/\text{с}$										Аэродинамическое сопротивление $\Delta P_s$ , $\text{Па}$
	0,2	0,3	0,4	0,5	0,6	0,7	0,8	0,9	1	1,2	
1,5	21,55	22,72	23,58	24,27	24,86	25,36	25,81	26,2	26,57	27,21	11,1
2	23,83	25,12	28,08	26,85	27,49	28,05	28,64	28,98	29,38	30,08	17,21
2,5	25,77	27,16	28,2	29,03	29,73	30,33	30,86	31,33	31,76	32,53	24,19
3	27,47	28,95	30,06	30,94	31,68	32,89	32,89	33,4	33,86	34,67	31,94
3,5	28,99	30,56	31,72	32,65	33,44	34,71	34,71	35,25	35,73	36,59	40,4
4	30,38	32,02	33,94	34,22	35,04	36,37	36,37	36,94	37,44	38,34	49,53
4,5	31,65	33,37	34,64	35,66	36,52	37,91	37,91	38,49	39,02	39,96	59,27
5	32,84	34,62	35,94	37	37,88	38,65	39,33	39,94	40,49	41,46	69,6
5,5	33,96	35,8	37,16	38,25	39,17	39,96	40,66	41,29	41,86	42,87	80,49
6	35,01	36,9	38,31	39,43	40,38	41,2	41,92	42,57	43,15	44,19	91,91
6,5	36,0	37,95	39,4	40,55	41,53	42,37	43,11	43,78	44,38	45,45	103,85
7	36,95	38,95	40,43	41,62	42,62	43,48	44,24	44,92	45,55	46,64	116,27

ТАБЛИЦА II.26. ТЕХНИЧЕСКИЕ ХАРАКТЕРИСТИКИ КАЛОРИФЕРОВ КВББ

Обозначение	Площадь по- верхности теплообмена со стороны воздуха $F$ , $\text{м}^2$	Площадь сечения, $\text{м}^2$				Число ходов для движе- ния тепло- носителя $n_x$	Длина теплопе- редающей трубы $l$ , $\text{м}$	Масса, кг
		фронталь- ного $f_b$	для прохо- да тепло- носителя $f_w$	патрубка $f_n$	распредели- тельно-сбор- ных колlek- торов $f_k$			
КВБ6Б-П-У3	17,22	0,267					0,53	71
КВБ7Б-П-У3	21,22	0,329					0,655	84
КВБ8Б-П-У3	25,29	0,392	0,00116	0,00101	0,00245	6	0,78	97
КВБ9Б-П-У3	29,34	0,455					0,905	111
КВБ10Б-П-У3	37,48	0,581					1,155	137
КВБ11Б-П-У3	107,08	1,66	0,00348	0,00221	0,00409	4	1,655	359
КВБ12Б-П-У3	160,49	2,488	0,00592	0,00358			1,655	529

ТАБЛИЦА П.27. ДАННЫЕ ДЛЯ ПОДБОРА КАЛОРИФЕРОВ КВББ

Массовая скорость движения воздуха во фронтальном сечении ( $v_f$ ), $\text{кг}/(\text{м}^2 \cdot \text{с})$	Коэффициент теплопередачи $K$ , $\text{Вт}/(\text{м}^2 \cdot ^\circ\text{C})$ , при скорости движения теплоносителя по трубкам $w$ , $\text{м}/\text{с}$										Аэродинамиче- ское сопротивле- ние $\Delta P_a$ , Па
	0,2	0,3	0,4	0,5	0,6	0,7	0,8	0,9	1	1,2	
1,5	20,43	21,53	22,35	23,01	23,57	24,04	24,46	24,84	25,18	25,79	15,35
2	22,59	23,81	24,72	25,45	26,06	26,59	27,05	27,47	27,85	28,52	23,8
2,5	24,43	25,75	26,73	27,52	28,18	28,75	29,75	29,7	30,11	30,83	33,45
3	26,04	27,44	28,49	29,33	30,03	30,64	31,18	31,66	32,1	32,87	44,17
3,5	27,48	28,97	30,07	30,95	31,7	32,34	32,91	33,41	33,87	34,69	55,87
4	28,79	30,35	31,51	32,44	33,22	33,89	34,48	35,01	35,5	36,35	68,49
4,5	30,01	31,63	32,84	33,72	34,62	35,31	35,93	36,49	36,99	37,88	81,97
5	31,13	32,82	34,07	35,07	35,92	36,64	37,28	37,86	38,37	39,3	96,26
5,5	32,19	33,93	35,23	36,26	37,13	37,88	38,55	39,14	39,18	40,63	111,32
6	33,18	34,98	36,31	37,38	38,28	39,05	39,74	40,35	40,91	41,89	127,11
6,5	34,13	35,97	37,34	38,44	39,37	40,16	40,86	41,49	42,07	43,08	143,61
7	35,02	36,92	38,33	39,45	40,4	41,22	41,94	42,59	43,18	44,21	160,8

ТАБЛИЦА П.28. ГИДРАВЛИЧЕСКОЕ СОПРОТИВЛЕНИЕ КАЛОРИФЕРОВ КВСБ  $\Delta P_w$ , кПа

Тип калорифера	Номер калорифера	Коэффициент $A$	Тип калорифера	Номер калорифера	Коэффициент $A$
КВСБ-П-УЗ	6	14,25	КВББ-П-УЗ	6	12,63
	7	15,1		7	13,49
	8	15,96		8	14,34
	9	16,81		9	15,2
	10	18,52		10	16,91
	11	19,8		11	20,91
	12	31,36		12	34,61

ТАБЛИЦА II 29 ПРИСОЕДИНИТЕЛЬНЫЕ И ГАБАРИТНЫЕ РАЗМЕРЫ, ММ, КАЛОРИФЕРОВ КВБ6Б И КВБ10Б (РИС. II 7, а)

Обозначение	$A$	$A_1$	$A_2$	$A_3$	Количество	
					шагов $n_1$	отверстий $n$
КВБ6Б-П-УЗ	530	578	602	651	4	16
КВБ7Б-П-УЗ	655	703	727	776	5	18
КВБ8Б-П-УЗ	780	828	852	901	6	20
КВБ9Б-П-УЗ	905	953	977	1026	7	22
КВБ10Б-П-УЗ	1155	1203	1227	1276	9	26

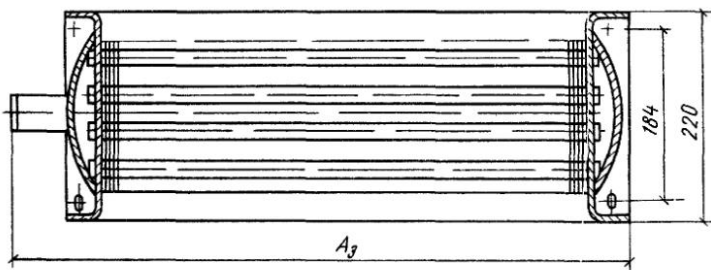
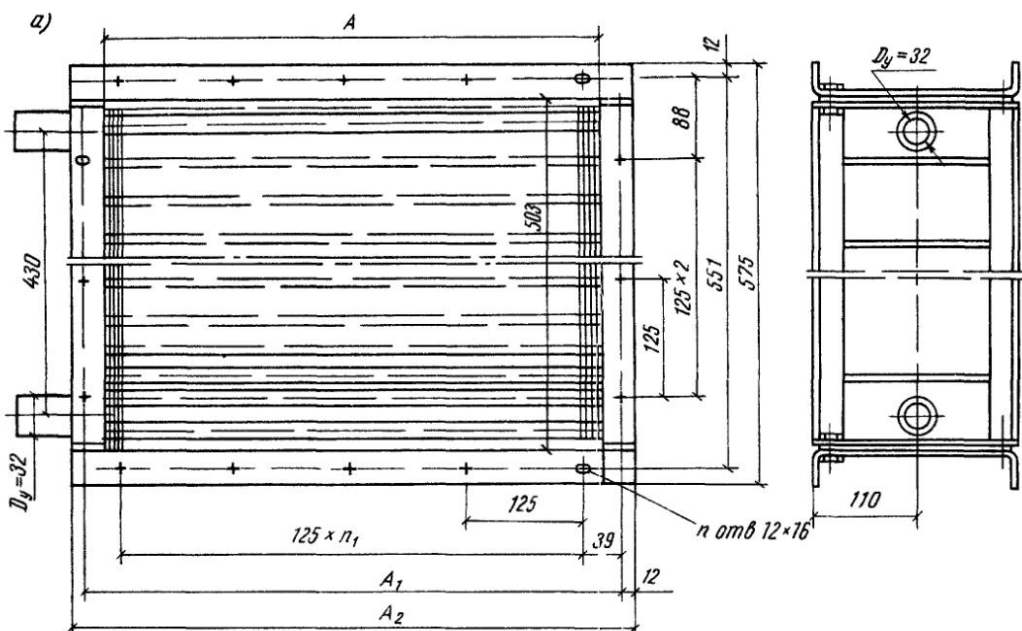


ТАБЛИЦА П.30 ПРИСОЕДИНИТЕЛЬНЫЕ И ГАБАРИТНЫЕ РАЗМЕРЫ, ММ, КАЛОРИФЕРОВ  
КВБ11Б И КВБ12Б (РИС П.7.б)

Обозначение	$B$	$B_1$	$B_2$	$B_3$	Диаметр условного прохода патрубков $D_v$ , мм	Количество	
						шагов $n_1$	отверстий $n$
КВБ11Б-П-УЗ	1003	1051	1075	912	50	7	44
КВБ12Б-П-УЗ	1503	1551	1575	1392	65	11	52

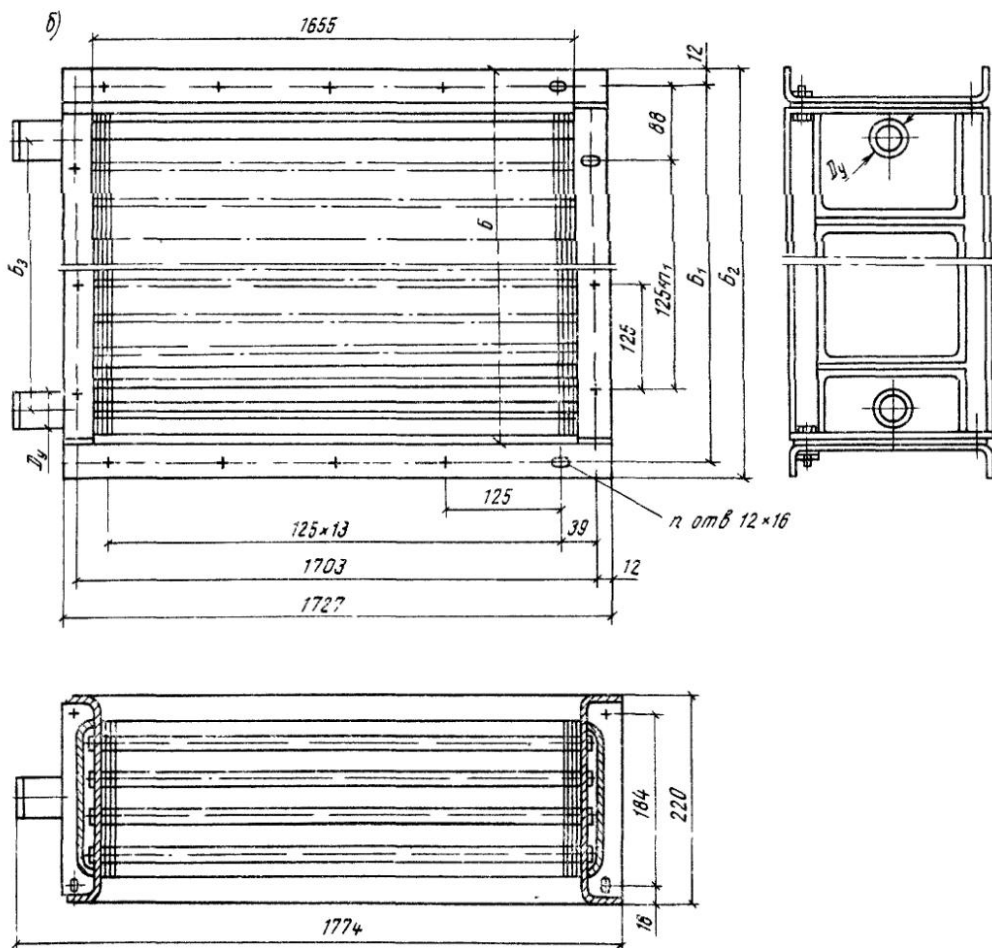


Рис. П.7. Калориферы стальные пластинчатые KVBB11B – KVBB12B (а), KVBB11B и KVBB12B (б)

# ЦЕНТРАЛЬНЫЕ КОНДИЦИОНЕРЫ И КОНДИЦИОНЕРЫ-ТЕПЛОУТИЛИЗАТОРЫ КТЦЗ

## III.1. ЦЕНТРАЛЬНЫЕ КОНДИЦИОНЕРЫ

Кондиционеры КТЦЗ изготавливают только по четырем базовым (типовым) схемам компоновки оборудования и их модификациям, образующимся путем доукомплектования, замены или исключения отдельных видов оборудования из базовых схем. Кондиционеры могут работать в двух режимах производительности по воздуху – номинальной и максимальной. Отличие кондиционеров максимальной производительности от кондиционеров номинальной производительности состоит в том, что при сохранении габаритных размеров увеличивается производительность по воздуху в 1,25 раза, что позволяет улучшить показатели по занимаемой площади и объему на строительных объектах. Кондиционеры, которые укомплектованы масляными фильтрами, применяются только с номинальной производительностью.

По базовым схемам 1, 2, 3 (см. рис. III.1) изготавливают центральные кондиционеры, а по базовой схеме 4 – кондиционеры-теплоутилизаторы (табл. III.1 и III.2). Базовые схемы 1, 3, 4 имеют десять индексов (обозначений), т. е. для всего ряда кондиционеров КТЦЗ-10, КТЦЗ-20, КТЦЗ-31,5, КТЦЗ-40, КТЦЗ-63, КТЦЗ-80, КТЦЗ-125, КТЦЗ-160, КТЦЗ-200, КТЦЗ-250, а базовая схема 2 имеет четыре индекса (обозначения), т. е. КТЦЗ-31,5, КТЦЗ-40, КТЦЗ-63, КТЦЗ-80.

При заказе модификаций базовых схем количество оборудования каждого наименования не должно превышать указанных ниже величин:

камера орошения – 1 шт.

воздухонагреватель:

первого подогрева – 2 шт. (не более четырех рядов трубок)

второго подогрева – 1 шт. (не более двух рядов трубок)

фильтр воздушный – 1 шт.

вентиляционный агрегат – 1 шт.

клапан воздушный – 3 шт.

блок приемный – 1 шт.

блок присоединительный – 1 шт.

камера воздушная – 1 шт.

камера обслуживания – 4 шт.

блок тепломассообмена БТМ 2,2–3 – 1 шт.

блок теплоутилизации – 1 шт.

В отдельных обоснованных случаях допускается заказывать кондиционер с минимальным или максимальным количеством оборудования. Минимальное количество оборудования, входящего в состав модификации базовой схемы, должно включать не менее трех наименований основного оборудования (камера орошения, блок тепломассообмена, блок теплоутилизации, фильтр воздушный, воздухонагреватель, вентиляторный агрегат, блок приемный, клапан воздушный). Максимальное количество оборудования, комплектуемого дополнительно к модификации базовой схемы, может составлять не более трех наименований указанного ниже оборудования

камера орошения – 1 шт.

блок тепломассообмена БТМ 2,1–3 – 1 шт.  
воздухонагреватель:

первого подогрева – 1 шт. (не более двух рядов трубок)

второго » – 1 шт. (однорядный)

блока тепломассообмена – 3 шт. (не более шести рядов трубок)

блока теплоутилизации – 4 шт. (не более восьми рядов трубок)

клапан воздушный – 2 шт.

вентиляторный агрегат для рециркуляции – 1 шт.

камера воздушная – 2 шт.

камера обслуживания – 2 шт.

Аэродинамическое сопротивление кондиционеров по базовым схемам или их модификациям определяется путем суммирования аэродинамических сопротивлений отдельных видов оборудования, составляющих базовую схему или ее модификацию.

Масса базовой схемы или ее модификации определяется путем суммирования масс отдельных видов оборудования, составляющих базовую схему или ее модификацию.

ТАБЛИЦА III.1. НОМЕНКЛАТУРА ЦЕНТРАЛЬНЫХ КОНДИЦИОНЕРОВ И КОНДИЦИОНЕРОВ-ТЕПЛОУТИЛИЗАТОРОВ КТЦЗ С БАЗОВЫМИ СХЕМАМИ КОМПОНОВКИ ОБОРУДОВАНИЯ

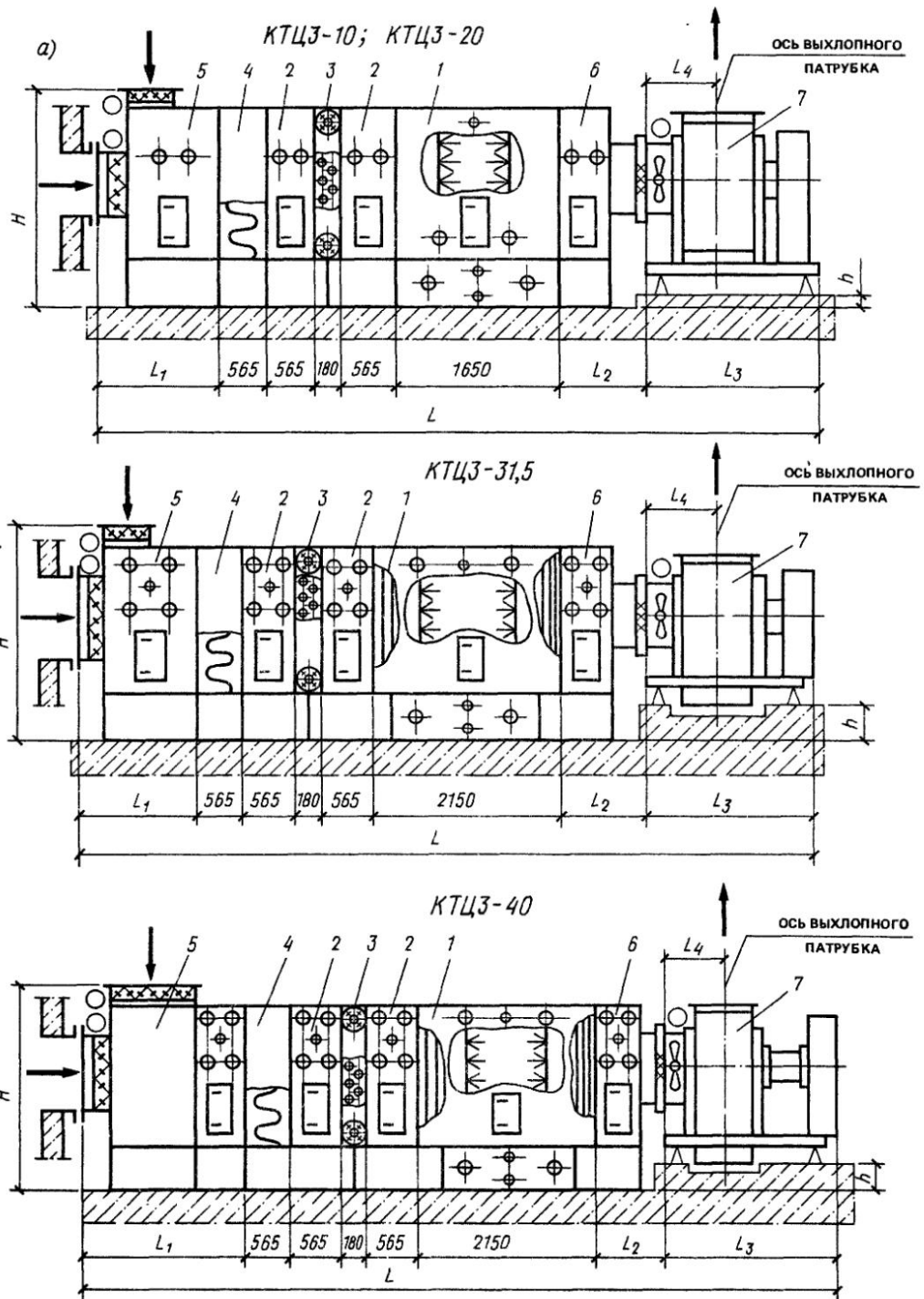
Номер базовой схемы	Индексы кондиционеров различных типов				
	КТЦЗ-10	КТЦЗ-20	КТЦЗ-31,5	КТЦЗ-40	КТЦЗ-63
1	01.1	02.1	03.1	04.1	06.1
2	—	—	03.2	04.2	06.2
3	01.3	02.3	03.3	04.3	06.3
4	01.4	02.4	03.4	04.4	06.4

Продолжение табл. III.1

Номер базовой схемы	Индексы кондиционеров различных типов				
	КТЦЗ-80	КТЦЗ-125	КТЦЗ-160	КТЦЗ-200	КТЦЗ-250
1	08.1	12.1	16.1	20.1	25.1
2	08.2	—	—	—	—
3	08.3	12.3	16.3	20.3	25.3
4	08.4	12.4	16.4	20.4	25.4

ТАБЛИЦА III.2. ГАБАРИТНЫЕ РАЗМЕРЫ, ММ, КОНДИЦИОНЕРОВ КТЦЗ (РИС. III.1)

Тип кондиционера	<i>L</i>	<i>L</i> <sub>1</sub>	<i>L</i> <sub>2</sub>	<i>L</i> <sub>3</sub>	<i>L</i> <sub>4</sub>	<i>H</i>	<i>h</i>
КТЦЗ-10	6955	1440	740	1250	580	1952	217
КТЦЗ-20	7560	1440	770	1825	705	1952	-18
КТЦЗ-31,5	8125	1440	810	1850	725	2845	530
КТЦЗ-40	8690	2005	810	1850	725	3345	530
КТЦЗ-63	9740	1440	810	2900	950	2845	255
КТЦЗ-80	10305	2005	810	2900	950	3345	255
КТЦЗ-125	11125	2005	1020	3510	1120	4845	530
КТЦЗ-160	13655	2520	—	6543	3187	5845	350
КТЦЗ-200	13955	2005	—	7180	3664	4845	390
КТЦЗ-250	14420	2520	—	7130	3615	5845	390



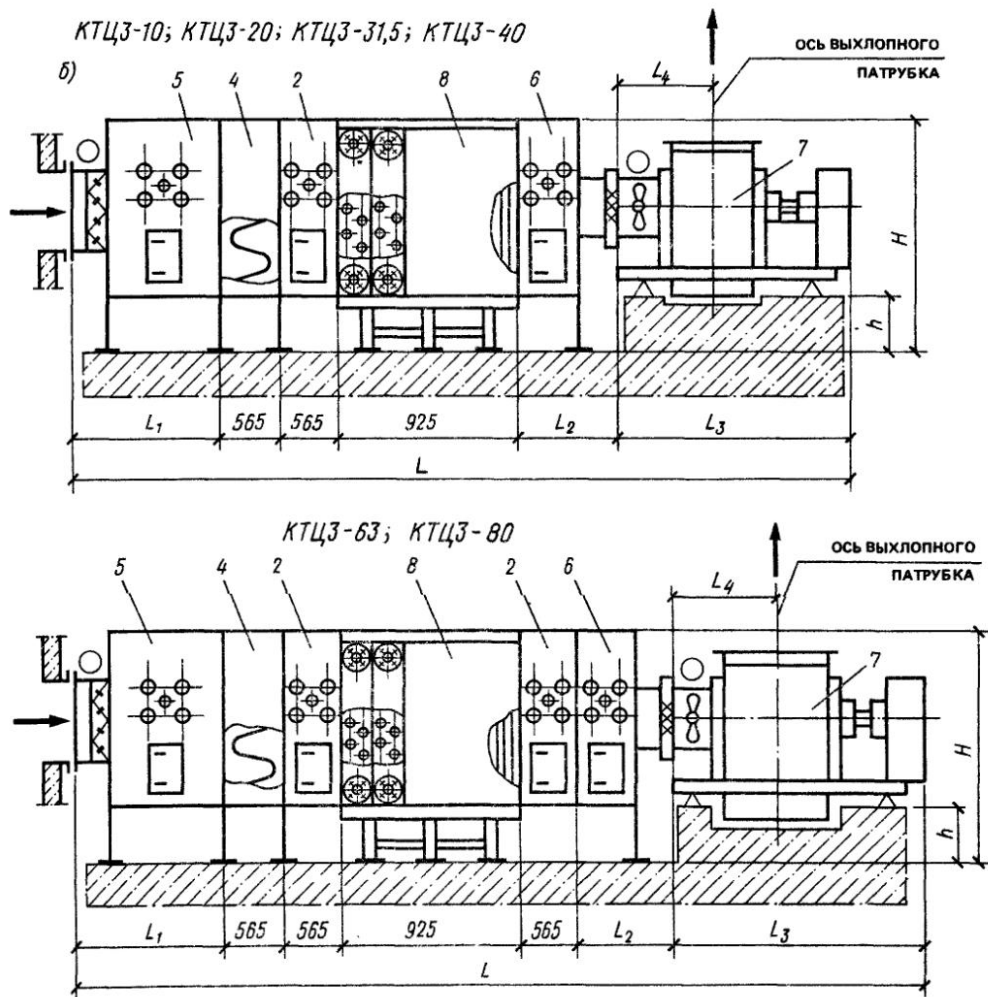


Рис. III.1. Центральные кондиционеры (базовая схема 1, 2, 3) (а) и кондиционеры-теплоутилизаторы (базовая схема 4) (б)

1 - камера орощения; 2 - камера обслуживания; 3 - воздухонагреватели; 4 - фильтр воздушный; 5 - блок приемный; 6 - блок присоединительный; 7 - вентиляторные агрегаты; 8 - блок теплоутилизации с четырехрядным теплообменником

ТАБЛИЦА III.3. КОНСТРУКТИВНЫЕ ИСПОЛНЕНИЯ ОБОРУДОВАНИЯ,  
ВХОДЯЩЕГО В СОСТАВ БАЗОВЫХ СХЕМ

Оборудование	Условное обозначение	Тип кондиционера	Номер базовой схемы	Исполнение
Камера орошения	ОКФ-3	КТЦЗ-10; КТЦЗ-20	1	Правая, исполнение по плотности форсунок -2
		КТЦЗ-31,5 ÷ КТЦЗ-250	2	Исполнение по плотности форсунок -2
Воздухонагреватель	ОКС1-3 ОКС2-3	КТЦЗ-31,5 ÷ КТЦЗ-80	2	Правая, исполнение по плотности форсунок -2
	ВН1-3 ВН2-3	КТЦЗ-31,5 ÷ КТЦЗ-80 КТЦЗ-10 ÷ КТЦЗ-250	2 2	Однорядный, без обводного канала Двухрядный, без обводного канала
Блок теплообмена	БТМ2.1-3	КТЦЗ-10 ÷ КТЦЗ-250	3	Правый
Блок теплоутилизации	БТ4-3	КТЦЗ-10; КТЦЗ-20	4	«
Фильтр воздушный	ФР1-3	КТЦЗ-10 ÷ КТЦЗ-250 КТЦЗ-31,5 ÷ КТЦЗ-80	1, 3, 4 2	Сухой, для атмосферной пыли
Вентиляторный агрегат	ВКЭ1-3	КТЦЗ-10 ÷ КТЦЗ-125; КТЦЗ-31,5 ÷ КТЦЗ-80	1, 3, 4 2 1, 3, 4,	Полное (условное давление 1,2 кПа, привод направляющего аппарата – электрический. Положение корпуса и направление вращения – Пр. 0°)
	ВКЭ2-3	КТЦЗ-160 ÷ КТЦЗ-250		
Блок приемный	БСЭ1-3	КТЦЗ-10 ÷ КТЦЗ-250	1, 3	Привод клапана воздушного – электрический
	БПЭ-3	КТЦЗ-31,5 ÷ КТЦЗ-80 КТЦЗ-10 ÷ КТЦЗ-250	2 4	

## III.2. КОНДИЦИОНЕРЫ-ТЕПЛОУТИЛИЗАТОРЫ

Кондиционеры-теплоутилизаторы КТЦЗ-10, КТЦЗ-20, КТЦЗ-31,5, КТЦЗ-40, КТЦЗ-63, КТЦЗ-80, КТЦЗ-125, КТЦЗ-160, КТЦЗ-200, КТЦЗ-250 базовой схемы 4 (см. рис. III.2) предназначены для работы по утилизации теплоты (или холода) в системе вытяжной вентиляции с целью снижения энергопотребления теплоты (или холода) вентиляционных выбросов. Температура воздуха вентиляционных выбросов, поступающих в кондиционер-теплоутилизатор, не должна превышать 70 °С.

В кондиционерах-теплоутилизаторах использован способ утилизации теплоты (или холода) с промежуточным теплоносителем, ко-

торый предполагает наличие групп теплообменников, соединенных между собой колцевым трубопроводом с циркуляционным насосом и запорно-регулирующей аппаратурой (насос и запорно-регулирующая аппаратура выбираются проектантом для конкретных условий и заводом-изготовителем кондиционеров не поставляются). В качестве промежуточного теплоносителя применяют воду или незамерзающие растворы, который выбирается в зависимости от исходных данных и функционального назначения системы утилизации.

Кондиционер-теплоутилизатор включает следующее оборудование: блок теплоутилизации, блок приемный, фильтр воздушный, камеру обслуживания, блок присоединительный, вентиляторный агрегат.

### III.3. КАМЕРЫ ОРОШЕНИЯ

Камеры орошения изготавливают трех типов:

- 1) форсуночные камеры орошения ОКФ-3;
- 2) сеточные камеры орошения ОКС1-3 без водонагревателя;
- 3) сеточные камеры орошения ОКС2-3 с водонагревателем.

**Камеры орошения ОКФ-3** (рис. III.2, табл. III.4 и III.5) применяются в центральных кондиционерах КТЦЗ производительностью по воздуху 10, 20, 31,5; 40, 63, 80, 125, 160, 200 и 250 тыс. м<sup>3</sup>/ч; камеры орошения ОКС1-3 и ОКС2-3 – в центральных кондиционерах КТЦЗ производительностью по воздуху 31,5; 40, 63 и 80 тыс. м<sup>3</sup>/ч.

Камера орошения ОКФ-3 предназначена для осуществления политропических и адиабатических процессов тепловлажностной обработки воздуха.

Камеры орошения изготавливают в двух исполнениях, отличающихся друг от друга плотностью форсунок.

**Камеры орошения ОКС** (рис. III.3 и III.4, табл. III.6) являются универсальным контактным аппаратом, предназначенным для эффективного осуществления политропических и адиабатических процессов тепловлажностной обработки воздуха в составе центральных кондиционеров. Камеры орошения ОКС изготавливают в двух исполнениях, отличающихся друг от друга плотностью форсунок.

Для осуществления политропических процессов тепловлажностной обработки рекомендуется применять камеру орошения с большей плотностью, при адиабатических процессах – с меньшей плотностью.

Камеры орошения помимо работы в политропическом режиме на холодной воде могут работать в режиме испарительного нагрева с низкопотенциальным теплоносителем.

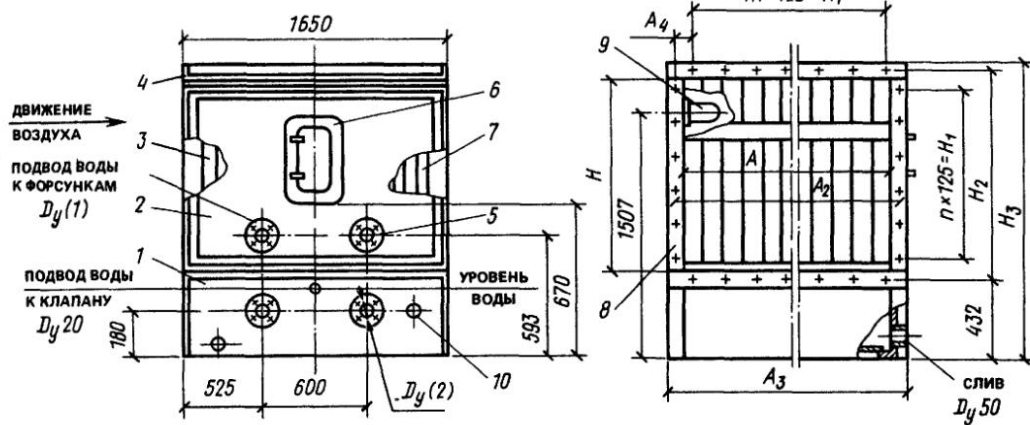


Рис. III.2. Камеры орошения ОКФ-3

1 – бак, 2 – стена передняя; 3 – воздухораспределитель; 4 – потолок; 5 – коллекторный ряд; 6 – дверка; 7 – каплеуловитель; 8 – стена; 9 – светильник; 10 – муфта

ТАБЛИЦА III.4. ТЕХНИЧЕСКИЕ ХАРАКТЕРИСТИКИ КАМЕРЫ ОРОШЕНИЯ ОКФ-3

Кондиционер			Камера орошения									
индекс	тип	исполн- ение	диаметр услов- ного прохода, мм		количество стоя- ков, шт., в ряду по ходу воздуха			количество фор- сунок, шт.			Масса, кг, не более	
			$D_y$ (1)-к форсункам	$D_y$ (2)- перелив или к насосу	пер- вом	вто- ром	всего	на од- ном стояке	всего в ряду по ходу воз- духа	вто- ром		
01.01304	КТЦЗ-10	— 1 2	65	100	2	1	3	6	12	6	18	406
02.01304	КТЦЗ-20	— 1 2	65	100	4	3	7	6	24	18	42	647
03.01304	КТЦЗ-31,5	— 1 2	100	125	4	3	7	9	36	27	63	1083
04.01304	КТЦЗ-40	— 1 2	100	125	4	3	7	12	48	36	84	1244
06.01304	КТЦЗ-63	— 1 2	125	250	9	7	16	9	81	63	144	1911
08.01304	КТЦЗ-80	— 1 2	125	250	9	7	16	12	108	84	192	2055
12.01304	КТЦЗ-120	— 1 2	125	250	18	14	32	9	162	126	288	3173
16.01304	КТЦЗ-160	— 1 2	125	250	18	14	32	12	216	168	384	3655
20.01304	КТЦЗ-200	— 1 2	125	300	26	20	46	9	234	180	414	4561
25.01304	КТЦЗ-250	— 1 2	125	300	26	20	46	12	312	240	552	5250

ТАБЛИЦА III.5. ОСНОВНЫЕ РАЗМЕРЫ КАМЕР ОРОШЕНИЯ ОКФ-3 (РИС. III.2)

Кондиционер	Исполнение	Размеры, мм										<i>m</i>	<i>n</i>
		<i>A</i>	<i>A<sub>1</sub></i>	<i>A<sub>2</sub></i>	<i>A<sub>3</sub></i>	<i>A<sub>4</sub></i>	<i>H</i>	<i>H<sub>1</sub></i>	<i>H<sub>2</sub></i>	<i>H<sub>3</sub></i>			
индекс	тип												
01.01304	КТЦЗ-10	$\frac{1}{2}$	825	750	876	905	63	1250	1125	1301	1747	6	9
02 01304	КТЦЗ-20	$\frac{1}{2}$	1652	1625	1703	1732	39	1250	1125	1301	1747	13	9
03.01304	КТЦЗ-31,5	$\frac{1}{2}$	1652	1625	1703	1732	39	2000	1875	2051	2640	13	15
04.01304	КТЦЗ-40	$\frac{1}{2}$	1652	1625	1703	1732	39	2500	2375	2551	3140	13	19
06 01304	КТЦЗ-63	$\frac{1}{2}$	3402	3375	3453	3482	39	2000	1875	2051	2640	27	15
08 01304	КТЦЗ-80	$\frac{1}{2}$	3402	3375	3453	3482	39	2500	2375	2551	3140	27	19
12.01304	КТЦЗ-125	$\frac{1}{2}$	3402	3375	3453	3482	39	4000	3875	4051	4640	22	21
16.01304	КТЦЗ-160	$\frac{1}{2}$	3402	3375	3453	3482	39	5000	4875	5041	5640	27	39
20 01304	КТЦЗ -200	$\frac{1}{2}$	5152	5125	5203	5232	39	4000	3875	4051	4640	41	31
25 01304	КТЦЗ-250	$\frac{1}{2}$	5152	5125	5203	5232	39	5000	4875	5051	5640	41	39

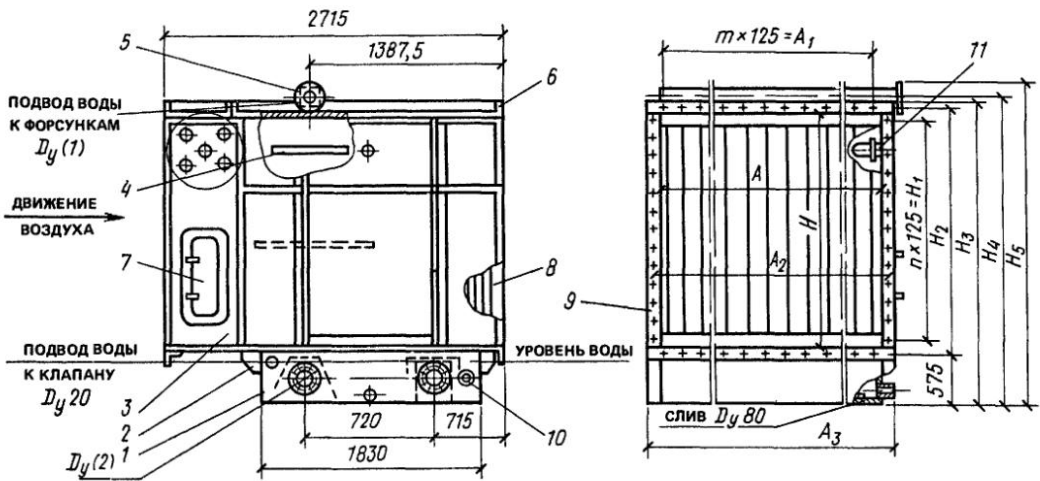


Рис. III 3 Камеры орошения ОКС1-3 (КТЦЗ-31,5, КТЦЗ-40, КТЦЗ-63, КТЦЗ-80)

1-бак, 2-раскос, 3-стена передняя, 4-сеточное устройство, 5-коллектор, 6-потолок, 7-дверка, 8-каплеуловитель, 9-стенка, 10-муфта, 11-светильник

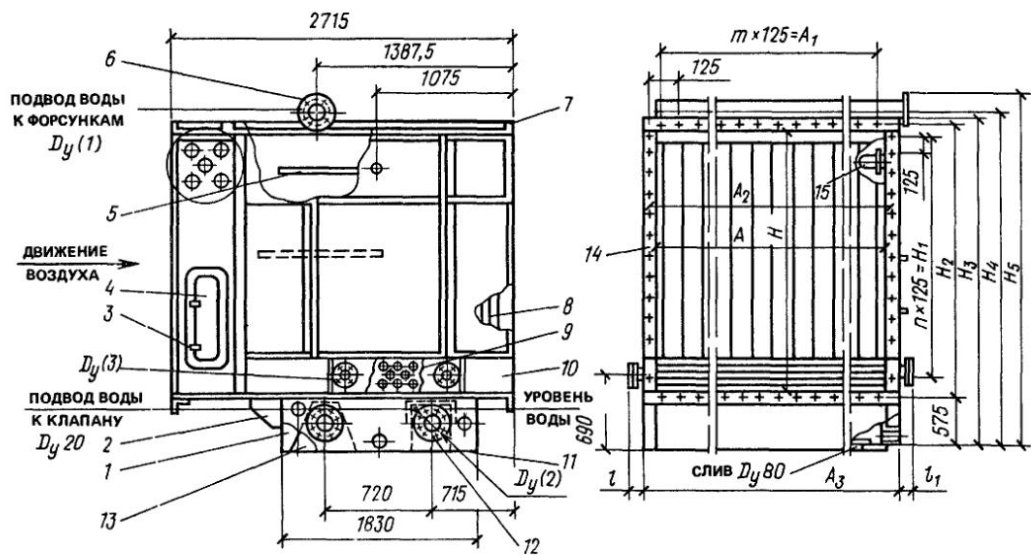


Рис. III 4 Камеры орошения ОКС2-3 (КТЦЗ-31,5, КТЦЗ-40, КТЦЗ-63, КТЦЗ-80)

1-бак, 2-раскос, 3-стена передняя, 4-дверка, 5-сегчатое устройство, 6-коллектор, 7-потолок, 8-каплеуловитель, 9-воздухонагреватель, 10, 14-стенки, 11-узел перелива, 12-муфта, 13-фильтр, 15-светильник

ТАБЛИЦА III.6. ТЕХНИЧЕСКИЕ ХАРАКТЕРИСТИКИ И ОСНОВНЫЕ РАЗМЕРЫ КАМЕР ОРОШЕНИЯ  
ОКС1-3, ОКС2-3 (РИС. III.3, III.4)

Кондиционер		Тип камеры орошения	Количество форсунок для исполнения		Диаметр условного прохода, мм		
индекс	тип		1	2	$D_y$ (1) к форсункам	$D_y$ (2) перелив или к насосу	$D_y$ (3)
03.01204	КТЦЗ-31,5	OKC1-3	20	24	125	125	—
03.01404		OKC2-3					50
04.01204	КТЦЗ-40	OKC1-3	24	30	125	125	—
04.01404		OKC2-3					50
06.01204	КТЦЗ-63	OKC1-3	40	48	125	250	—
06.01404		OKC2-3					50
08.01204	КТЦЗ-80	OKC1-3	52	60	125	250	—
08.01404		OKC2-3					50

*Продолжение табл. III.6*

### III.4. ВОЗДУХОНАГРЕВАТЕЛИ

Воздухонагреватели (рис. III.5) предназначены для тепловой обработки воздуха до заданных параметров. Теплоносителем служит горячая или перегретая вода с температурой от 70 до 180°C и давлением до 1,2 МПа (12 кгс/см<sup>2</sup>) (табл. III.7).

Воздухонагревателями комплектуются центральные кондиционеры КТЦЗ производительностью по воздуху 10 - 250 тыс. м<sup>3</sup>/ч всех базовых схем и их модификаций. Воздухонагреватели могут быть применены в системах воздушного отопления и вентиляции.

Для осуществления различных способов регулирования температуры обрабатываемого воздуха воздухонагреватели изготавливают без обводного канала ВН и с обводным каналом или клапаном ВНО (табл. III.8). Запыленность воздуха, поступающего на воздухонагреватель, не должна превышать 0,5 мг/м<sup>3</sup>.

Рис. III.5 Воздухонагреватели без обводного канала ВН1-3 ВН1,5-3 и ВН2-3

1 базовые теплообменники 2 стеки 3 опоры

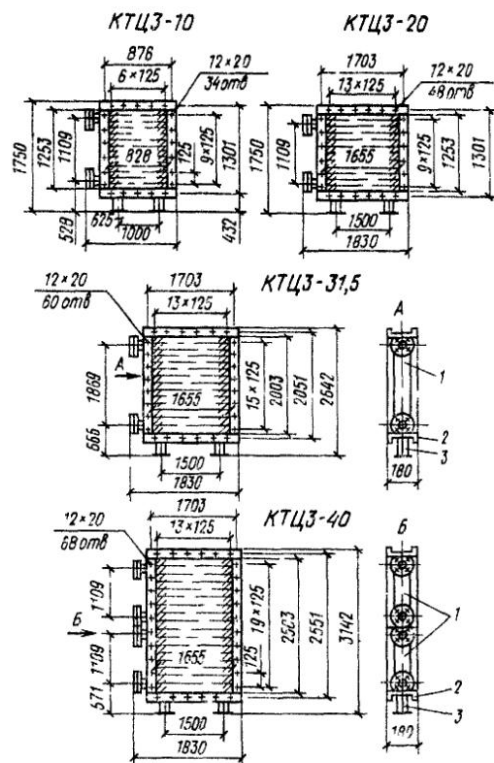


ТАБЛИЦА III.7 АЭРОДИНАМИЧЕСКОЕ СОПРОТИВЛЕНИЕ ВОЗДУХОНАГРЕВАТЕЛЕЙ

Режим работы кондиционера	Аэродинамическое сопротивление воздухонагревателей, Па (кгс/м <sup>2</sup> ), не более						
	без обводного канала			с обводным каналом или клапаном			
	1-рядный	1,5-рядный	2-рядный	1-рядный	1,5-рядный	2-рядный	
С номинальной производительностью по воздуху	37(3,77)	44,2(4,5)	63(6,4)	55(5,6)	72,9(7,4)	93(9,48)	
С максимальной производительностью по воздуху	49(4,99)	67,1(6,8)	83(8,46)	79(8,05)	110,7(11,3)	133(13,56)	

ТАБЛИЦА III.8 ТЕХНИЧЕСКИЕ ХАРАКТЕРИСТИКИ ВОЗДУХОНАГРЕВАТЕЛЕЙ

Воздухонагреватель	Индекс	Количество рядов	Тип кондиционера	Количество базовых теплообменников				Площадь поверхности сплошного обмена, м <sup>2</sup>	Площадь фронта нагрева сопротивления, м <sup>2</sup>	Масса единице
				1 м	1,25 м	1,5 м	2 м			
	01 10114	1						18,4		
	01 10314	1,5						27,2		
	01 10214	2						36,8		
	02 10114	1						37,3		
	02 10314	1,5						55,25		
	02 10214	2						16		
	03 10114	1						60,4		
	03 10314	1,5						88,7		
	03 10214	2						120,8		
	04 10114	1						74,6		
	04 10314	1,5						110,5		
	04 10214	2						149,2		
Без обводного канала ВН	06 10114	1						120,8		
	06 10314	1,5						177,4		
	06 10214	2						241,6		
	08 10114	1						149		
	08 10314	1,5						21		
	08 10214	2						298,4		
	12 10114	1						241,0		
	12 10314	1,5						354,2		
	12 10214	2						451,2		
	16 10114	1						360		
	16 10314	1,5						449,4		
	16 10214	2						601,6		
	20 10114	1						362,4		
	20 10314	1,5						532,2		
	20 10214	2						724,8		
	25 10114	1						451,2		
	25 10314	1,5						659,1		
	25 10214	2						902,4		
С обводным каналом или краном ВНО	01 11114	1						14,55		
	01 11314	1,5						20,2		
	01 11214	2						27,1		
	02 11114	1						29,6		
	02 11314	1,5						42,4		
	02 11214	2						50,2		

Продолжение табл. III.9

Воздухонагреватель	Индекс	Количество рядов	Тип кондиционера	Количество базовых теплообменников				Площадь поверхности теплообмена, м <sup>2</sup>	Площадь фронтального сечения, м <sup>2</sup>	Масса, кг, не более
				1 м	1,25 м	1,5 м	2 м			
	03.11114	1						45		180
	03.11314	1,5	КТЦЗ-31,5	—	—	1	—	65,5	2,49	235
	03.11214	2						90		290
	04.11114	1						60,4		235
	04.11314	1,5	КТЦЗ-40	—	—	—	1	88,7	3,315	306
	04.11214	2						120,8		380
С обводным каналом или клапаном ВНО	06.11114	1						90		360
	06.11314	1,5	КТЦЗ-63	—	—	2	—	131	4,975	465
	06.11214	2						180		575
	08.11114	1						120,8		455
	08.11314	1,5	КТЦЗ-80	—	—	—	2	177,4	6,63	600
	08.11214	2						241,6		745
	12.11114	1						180		680
	12.11314	1,5	КТЦЗ-125	—	—	4	—	262	9,96	890
	12.11214	2						360		1110
	16.11114	1						241,6		875
	16.11314	1,5	КТЦЗ-160	—	—	—	4	354,8	13,25	1155
	16.11214	2						483,2		1450
	20.11114	1						270		1080
	20.11314	1,5	КТЦЗ-200	—	—	6	—	393	14,94	1385
	20.11214	2						540,2		1725
	25.11114	1						362		1420
	25.11314	1,5	КТЦЗ-250	—	—	—	6	532,2	19,89	1840
	25.11214	2						724,8		2280

### III.5. БЛОКИ ТЕПЛОМАССООБМЕНА

Блоки тепломассообмена (рис. III.6, табл. III.9–III.10) применяются в центральных кондиционерах КТЦЗ производительностью по воздуху 10–250 тыс. м<sup>3</sup>/ч. Изготавляются в двух вариантах: 1-й вариант – с насосом и обвязкой оросительной сети БТМ 2.1-3; 2-й вариант – без насоса и без обвязки оросительной сети БТМ 2.2-3. Обвязка разрабатывается проектной организацией, а изготавливается на месте монтажа.

Блоки тепломассообмена предназначены для адиабатического охлаждения и увлажнения воздуха в любой период года с помощью оросительной системы;

для охлаждения и осушения воздуха в теплый период года холодной водой в поверхностных теплообменниках.

В качестве теплоносителя для нагрева воздуха в теплообменниках блока служит вода с температурой до 180 °С и давлением 1,2 МПа (12 кгс/см<sup>2</sup>). При использовании блока тепломассообмена в качестве воздухоохладителя холодоносителем служит холодная вода с давлением не более 1,2 МПа (12 кгс/см<sup>2</sup>).

Аэродинамическое сопротивление блока тепломассообмена при номинальном режиме работы 180 (18), при максимальном – 280 Па (2 кгс/м<sup>2</sup>).

Блоки тепломассообмена изготавливают в левом и правом исполнении.

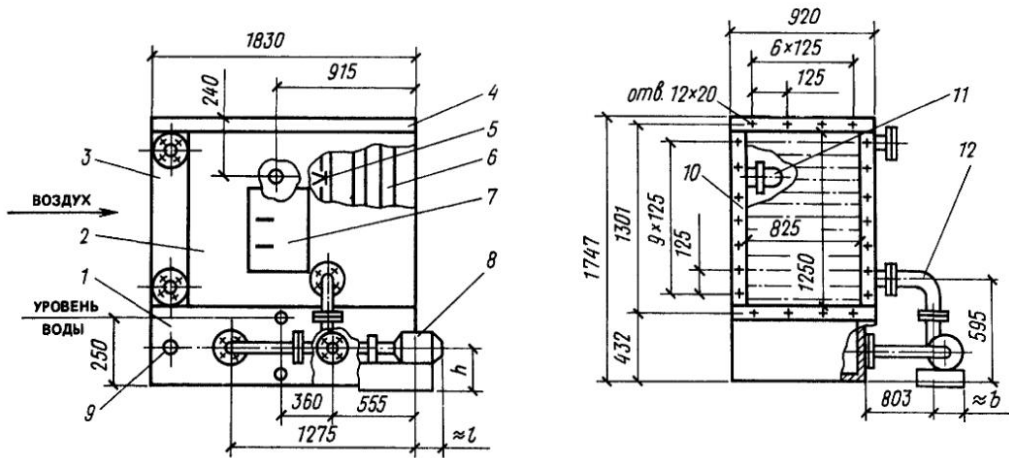


Рис. III.6. Блоки тепломассообмена BTM2.1-3, BTM2.2-3

1—бак, 2, 10—стенка передняя и задняя; 3—теплообменник, 4—потолок; 5—осушительная система; 6—каплеуловитель, 7—дверка, 8—насос (для блока BTM2.1-3), 9—муфта, 11—светильник, 12—трубопровод обвязки блока BTM2.1-3; 13—резиновая заглушка

ТАБЛИЦА III.9. КОЛИЧЕСТВО И ТИПОРАЗМЕРЫ БАЗОВЫХ ТЕПЛООБМЕННИКОВ  
ДЛЯ БЛОКОВ ТЕПЛОМАССООБМЕНА BTM2.1-3, BTM2.2-3

Индекс	Тип кондиционера	Количество двухрядных базовых теплообменников			Индекс	Тип кондиционера	Количество двухрядных базовых теплообменников		
		1,25 м	1,5 м	2 м			1,25 м	1,5 м	2 м
01.02124	KTCZ-10	1	—	—	08.02124	KTCZ-80	4	—	—
01.02224					08.02224				
02.02124	KTCZ-20	1	—	—	12.02124	KTCZ-125	—	—	4
02.02224					12.02224				
03.02124	KTCZ-31,5	—	—	1	16.02124	KTCZ-160	—	4	2
03.02224					16.02224				
04.02124	KTCZ-40	2	—	—	20.02124	KTCZ-200	—	—	6
04.02224					20.02224				
06.02124	KTCZ-63	—	—	2	25.02124	KTCZ-250	—	6	3
06.02224					25.02224				

ТАБЛИЦА III.10. ГАБАРИТНЫЕ РАЗМЕРЫ И МАССА КРУПНОГАБАРИТНЫХ УЗЛОВ БЛОКОВ ТЕПЛОМАССООБМЕНА БТМ 2.1-3, БТМ 2.2-3

Узел	Тип кондиционера	Блок тепломас-сообмена	Размеры, мм	Масса, кг
Бак	КТЦЗ-31,5; КТЦЗ-40	БТМ 2.1-3 и БТМ 2.2-3	600 × 1739 × 1830	191
	КТЦЗ-63 ÷ КТЦЗ-160		600 × 1830 × 3489	393
	КТЦЗ-200; КТЦЗ-250		600 × 1830 × 5239	556
Стенки (передняя и задняя)	КТЦЗ-31,5 ÷ КТЦЗ-63 КТЦЗ-125 ÷ КТЦЗ-200	БТМ 2.1-3 и БТМ 2.2-3	42 × 1650 × 1750	65
	КТЦЗ-40 ÷ КТЦЗ-80 КТЦЗ-160 ÷ КТЦЗ-250		42 × 1650 × 2250	83
Потолок	КТЦЗ-31,5; КТЦЗ-40	БТМ 2.1-3 и БТМ 2.2-3	42 × 1739 × 1830	68
	КТЦЗ-63 ÷ КТЦЗ-160		42 × 1830 × 3489	120
	КТЦЗ-200; КТЦЗ-250		42 × 2013 × 2618	120
Насос	КТЦЗ-10	БТМ 2.1-3	299 × 335 × 832	92
	КТЦЗ-20 ÷ КТЦЗ-63		332 × 375 × 1030	134
	КТЦЗ-80		485 × 495 × 1390	310
	КТЦЗ-125		505 × 574 × 1495	415
	КТЦЗ-160; КТЦЗ-200		515 × 585 × 1555	460
	КТЦЗ-250		575 × 585 × 1645	550

### III.6. БЛОКИ ТЕПЛОУТИЛИЗАЦИИ

Блоки теплоутилизации предназначены для вторичного использования теплоты (или холода) удаляемого из помещения воздуха путем отбора их промежуточным теплоносителем, циркулирующим между теплообменниками блока теплоутилизации и воздухонагрева-

телем центрального кондиционера, с целью подогрева или охлаждения обрабатываемого наружного воздуха. Блоки теплоутилизации изготавливают без обводного канала БТ4-3 (рис. III.7) и с обводным каналом БТ04-3 (рис. III.8). Максимальное давление промежуточного теплоносителя не должно превышать 1,2 МПа (12 кгс/см<sup>2</sup>).

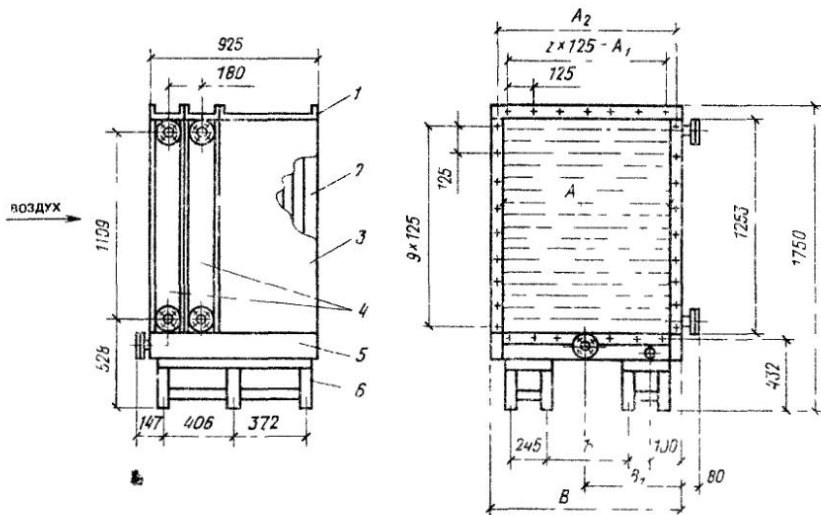


Рис. III 7 Блоки теплоутилизации BT4-3

1 потолок, 2 каплеуловитель, 3 стена, 4 теплообменник, 5 бак, 6 подставка

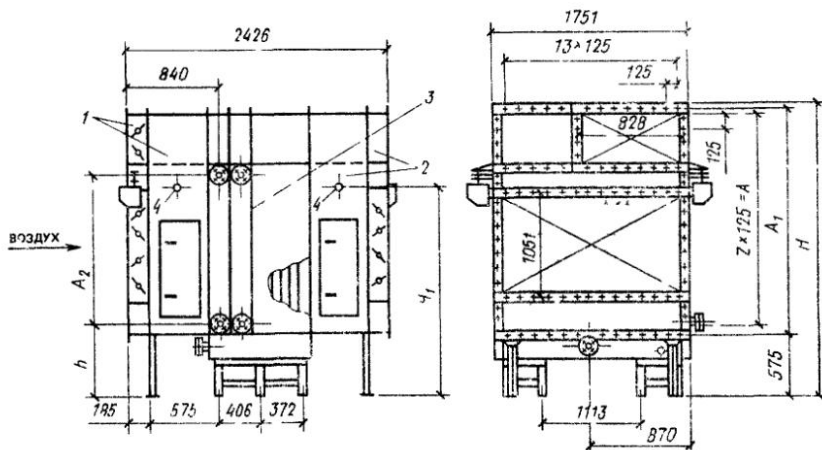


Рис. III 8 Блок теплоутилизации BT04-3

1 и 2 узлы распределения воздуха входной и выходной, 3 член теплообмена, 4 светофильтр

Блоки теплоутилизации без обводного канала БТ4-3 (табл. III.11) применяются для работы в режиме с влаговыпадением.

Аэродинамическое сопротивление блока при номинальном режиме кондиционера-теплоутилизатора 210 (21), при максимальном – 290 Па (29 кгс/м<sup>2</sup>).

Блоки теплоутилизации с обводным каналом БТ04-3 (табл. III.12) целесообразно при-

менять в условиях, когда возможно инеобразование на поверхностях теплоотдающих элементов теплообменников (при обработке центральным кондиционером воздуха с отрицательной температурой).

Аэродинамическое сопротивление блока при номинальном режиме работы кондиционера-теплоутилизатора – 370 (37), при максимальном – 480 Па (48 кгс/см<sup>2</sup>).

ТАБЛИЦА III.11. КОМПЛЕКТАЦИЯ ТЕПЛООБМЕННИКОВ БЛОКОВ ТЕПЛОУТИЛИЗАЦИИ БТ4-3 БАЗОВЫМИ ТЕПЛООБМЕННИКАМИ

Типоразмеры базовых теплообменников	Индекс блока теплоутилизации							
	03.03044	04.03044	06.03044	08.03044	12.03044	16.03044	20.03044	25.03044
1,25 м	—	4	—	8	—	—	—	—
1,5 м	—	—	—	—	—	8	—	12
2 м	2	—	4	—	8	4	12	6

ТАБЛИЦА III.12. КОМПЛЕКТАЦИЯ ТЕПЛООБМЕННИКОВ БЛОКОВ ТЕПЛОУТИЛИЗАЦИИ БТ04-3 БАЗОВЫМИ ТЕПЛООБМЕННИКАМИ

Типоразмеры базовых теплообменников	Индекс блока теплоутилизации							
	03.03144	04.03144	06.03144	08.03144	12.03144	16.03144	20.03144	25.03144
1,5 м	2	—	4	—	8	—	12	—
2 м	—	2	—	4	—	8	—	12

Основные размеры блоков теплоутилизации приведены в табл. III.13

ТАБЛИЦА III.13. ОСНОВНЫЕ РАЗМЕРЫ, ММ, БЛОКОВ ТЕПЛОУТИЛИЗАЦИИ (РИС. III.7 И III.8)

Индекс	Тип кондиционера	A	A <sub>1</sub>	A <sub>2</sub>	B	B <sub>1</sub>	H	H <sub>1</sub>	b	h	Количе- ство шагов z	Масса, кг, не более
01.03044	КТЦ-10	828	750	876	920	456	—	—	286	—	6	485
02.03044	КТЦ-20	1655	1625	1703	1747	870	—	—	1113	—	13	808
03.03144	КТЦ-31,5	1875	2051	1365	—	—	2643	1903	—	668	15	1620
04.03144	КТЦ-40	2375	2551	1869	—	—	3143	2403	—	666	19	1910

## III.7. ФИЛЬТРЫ ВОЗДУШНЫЕ

Фильтры воздушные ФР1-3 (рис. III.9) предназначены для очистки воздуха, поступающего в кондиционер, от атмосферной пыли при среднегодовой запыленности воздуха до 1 мг/м<sup>3</sup>

и кратковременной запыленности до 10 мг/м<sup>3</sup>. Фильтры не предназначены для очистки воздуха от волокнистой пыли.

Эффективность очистки воздуха с материалом ФРНК-ПГ не менее 88%, с материалом ИФП-1 не менее 90%.

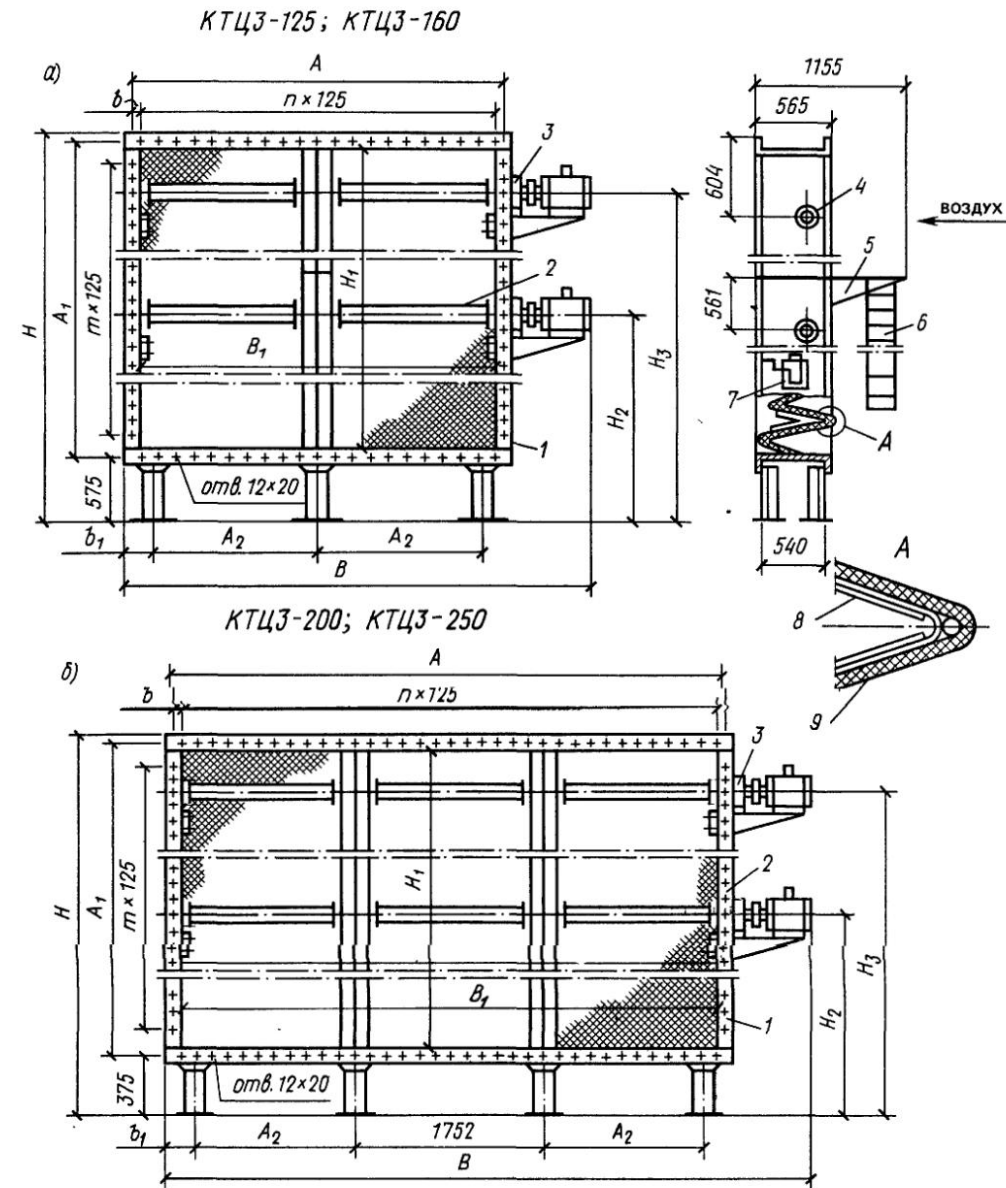


Рис. III.9. Фильтры воздушные ФР1-3

*а*—КТЦЗ-125; КТЦЗ-160; *б*—КТЦЗ-200; КТЦЗ-250; 1—корпус; 2—катушка; 3—электропривод; 4—отверстие для подсоединения пылевытяжной системы; 5—площадка; 6—лестница; 7—мановакуумметр (на стенке со стороны обслуживания); 8—неподвижная решетка; 9—фильтрующий материал

Удельная воздушная нагрузка на фронтальное сечение фильтра: номинальная – 10 000, максимальная – 12 500 м<sup>3</sup>/(ч·м<sup>2</sup>) (табл. III.14, III.15).

**Фильтры воздушные ФР2-3** предназначены для очистки воздуха, поступающего в кондиционер, от атмосферной и волокнистой пыли при среднегодовой запыленности 1 мг/м<sup>3</sup> и кратковременной запыленности до 10 мг/м<sup>3</sup>.

Эффективность очистки воздуха от минеральной пыли 88%, от волокнистой – 98%.

Удельная воздушная нагрузка на фронтальное сечение фильтра: номинальная – 10 000, максимальная – 12 500 м<sup>3</sup>/(ч·м<sup>2</sup>) (табл. III.15).

**Фильтры воздушные ФС-3** (табл. III.16) предназначены для очистки воздуха от пыли

в системах кондиционирования и приточной вентиляции при запыленности воздуха до 10 мг/м<sup>3</sup>.

Фильтры не предназначены для очистки воздуха от волокнистой пыли и для кондиционеров максимальной производительности.

Для смачивания фильтрующих сеток в качестве замасливателя применяются масла:

масло висциновое с температурой застывания минус 20 °C (ГОСТ 7611–75\*);

масло индустриальное И-12А, И-20А с температурой застывания минус 30 °C (ГОСТ 20799–75\*);

масло приборное МВП с температурой застывания минус 60 °C (ГОСТ 1805–76\*).

ТАБЛИЦА III.14. ОСНОВНЫЕ РАЗМЕРЫ, ММ, ФИЛЬТРОВ ВОЗДУШНЫХ ФР1-3 (РИС. III.9)

Индекс	Тип кондиционера	<i>A</i>	<i>A<sub>1</sub></i>	<i>A<sub>2</sub></i>	<i>B</i>	<i>B<sub>1</sub></i>	<i>b</i>	<i>b<sub>1</sub></i>	<i>H</i>	<i>H<sub>1</sub></i>	<i>H<sub>2</sub></i>	<i>H<sub>3</sub></i>	<i>h</i>	<i>m</i>
01.21134	КТЦ3-10	876		625	905	825	63	141,5						6
			1301						1750	1250	—	—	—	9
02.21134	КТЦ3-20				1732									
03.21134	КТЦ3-31,5	1703	2051			1652			2640	2000	2332	—	13	15
04.21134	КТЦ3-40		2551			2300			3140	2500	2832	—	—	19
06.21134	КТЦ3-63		2051						2640	2000	2332	—	—	15
08.21134	КТЦ3-80		2551						3140	2500	2832	—	—	19
		3453												27
12.21134	КТЦ3-125		4051			4070	3402		4640	4000	2332	4332	31	
16.21134	КТЦ3-160		5051						5640	5000	2832	5332	39	
20.21134	КТЦ3-200		4051						4640	4000	2332	4332	31	
		5203				5800	5152							41
25.21134	КТЦ3-250		5051						5640	5000	2832	5332	39	

ТАБЛИЦА III.15. ТЕХНИЧЕСКИЕ ХАРАКТЕРИСТИКИ ФИЛЬТРОВ ФР1-3 И ФР2-3

Индекс	Тип кондиционера	Фильтрующий материал				Прокладочное полотно				Количество выпанелей высотой, м	Масса, кг, не более		
		размеры полотна, м	количество полотен для заправки, шт.	количество поставляемых полотен, шт.		размеры, м	количество полотен для заправки	количество поставляемых полотен					
ФРНК-ПГ	ИФП-1	ФРНК-ПГ	ИФП-1	ФРНК-ПГ	ИФП-1					1,25	2	2,5	
<b>Фильтры ФР1-3</b>													
01.21134	КТЦ3-10	0,865 × 7,5	0,83 × 7,5	1	1	4	8	—	—	1	—	115	
02.21134	КТЦ3-20	1,73 × 7,5	1,66 × 7,5	1	1	4	8	—	—	1	—	168	
03.21134	КТЦ3-31,5	1,73 × 12	1,66 × 12	1	1	4	8	—	—	1	—	276	
04.21134	КТЦ3-40	1,73 × 15	1,66 × 15	1	1	4	8	—	—	1	—	333	
06.21134	КТЦ3-63	1,73 × 12	1,66 × 12	2	2	8	16	—	—	2	—	536	
08.21134	КТЦ3-80	1,73 × 15	1,66 × 15	2	2	8	16	—	—	—	—	644	
12.21134	КТЦ3-125	1,73 × 12	1,66 × 12	4	4	16	32	—	—	4	—	1091	
16.21134	КТЦ3-160	1,73 × 15	1,66 × 15	4	4	16	32	—	—	4	—	1296	
20.21134	КТЦ3-200	1,73 × 12	1,66 × 12	6	6	24	48	—	—	6	—	1622	
25.21134	КТЦ3-250	1,73 × 15	1,66 × 15	6	6	24	48	—	—	—	—	1940	
<b>Фильтры ФР2-3</b>													
01.21124	КТЦ3-10	0,865 × 7,5	0,83 × 7,5	1	1	4	8	0,9 × 7,5	1	4	1	—	118
02.21124	КТЦ3-20	1,73 × 7,5	1,66 × 7,5	1	1	4	8	1,8 × 7,5	1	4	1	—	173
03.21124	КТЦ3-31,5	1,73 × 12	1,66 × 12	1	1	4	8	1,8 × 12	1	4	—	—	282
04.21124	КТЦ3-40	1,73 × 15	1,66 × 15	1	1	4	8	1,8 × 15	1	4	—	—	340
06.21124	КТЦ3-63	1,73 × 12	1,66 × 12	2	2	8	16	1,8 × 12	2	8	—	—	548
08.21124	КТЦ3-80	1,73 × 15	1,66 × 15	2	2	8	16	1,8 × 15	2	8	—	—	569
12.21124	КТЦ3-125	1,73 × 12	1,66 × 12	4	4	16	32	1,8 × 12	4	16	—	—	1113
16.21124	КТЦ3-160	1,73 × 15	1,66 × 15	4	4	16	32	1,8 × 15	4	16	—	—	1325
20.21124	КТЦ3-200	1,73 × 12	1,66 × 12	6	6	24	48	1,8 × 12	6	24	—	—	1652
25.21124	КТЦ3-250	1,73 × 15	1,66 × 15	6	6	24	48	1,8 × 15	6	24	—	—	1977

Примечание. В фильтрах используется эластичная резина (мощность 0,25 кВт, частота вращения 1440 об/мин).

ТАБЛИЦА III.16. ТЕХНИЧЕСКИЕ ХАРАКТЕРИСТИКИ ФИЛЬТРОВ ФС-3

Индекс	Тип кондиционера	Пропускная способность по воздуху, тыс.м <sup>3</sup> /ч	Удельная воздушная нагрузка, тыс.м <sup>3</sup> /(ч·м <sup>2</sup> )	Площадь фронтального сечения, м <sup>2</sup>
01.20024	КТЦЗ-10	10	10	1,04
02.20024	КТЦЗ-20	20	10	2,07
03.20024	КТЦЗ-31,5	31,5	10,6	3,15
04.20024	КТЦЗ-40	40	10,6	3,94
06.20024	КТЦЗ-63	63	10,6	6,31
08.20024	КТЦЗ-80	80	10,6	7,88
12.20024	КТЦЗ-125	125	10,6	12,62
16.20024	КТЦЗ-160	160	10,6	16,76
20.20024	КТЦЗ-200	200	10,6	18,9
25.20024	КТЦЗ-250	250	10,6	23,64

Продолжение табл. III.16

Объем бака до рабочего уровня масла, м <sup>3</sup>	Скорость движения по ходу воздуха фильтрующих сеток, см/мин		Электродвигатель			Масса (без замасливателя), кг
	первой	второй	тип	мощность, кВт	частота вращения, об/мин	
0,1 0,145	13 ± 10	5,6 ± 0,5	4АА63А4	0,25	1440	255 340
0,27						650
0,27						700
0,42						1030
0,42	16 ± 1	7 ± 0,5	АИР80А4	1,1	1400	1120
0,42						1400
0,42						1590
0,57						2090
0,57						2300

Примечание. Аэродинамическое сопротивление фильтров 100 Па; эффективность очистки воздуха 80%.

—  
—

### III.8. УСТАНОВКА РЕГЕНЕРАЦИОННАЯ УР-1-02А

Установка УР-1-02А (рис. III.10) предназначена для восстановления фильтрующих свойств объемных нетканых фильтровальных материалов марки ФРНК-ПГ и ИФП-1 способом отмычки в воде и последующей сушки подогретым воздухом с целью их повторного использования.

### ТЕХНИЧЕСКАЯ ХАРАКТЕРИСТИКА УСТАНОВКИ УР-1-02А

Производительность регенерации фильтрующего материала, м/ч	3,9
Давление воды перед форсунками, Па (кг/см <sup>2</sup> )	(6,86 – 9,8) · 10 <sup>4</sup> (0,7 – 1)
Расход воды на регенерацию 1 м <sup>2</sup> фильтрующего материала, м <sup>3</sup>	0,6
Температура воздуха для сушки материала, °С	40–45
Установочная мощность, кВт	
вентагрегата	5,5
электропривода	1,1
Тип и номер вентилятора ВЦ4-75,6;3; 01 41214	
Производительность вентагрегата, м <sup>3</sup> /ч	10 000
Тип электродвигателя привода катушки и промывателя	АИР80А4
Воздухонагреватель	01 11214
Масса, кг	950

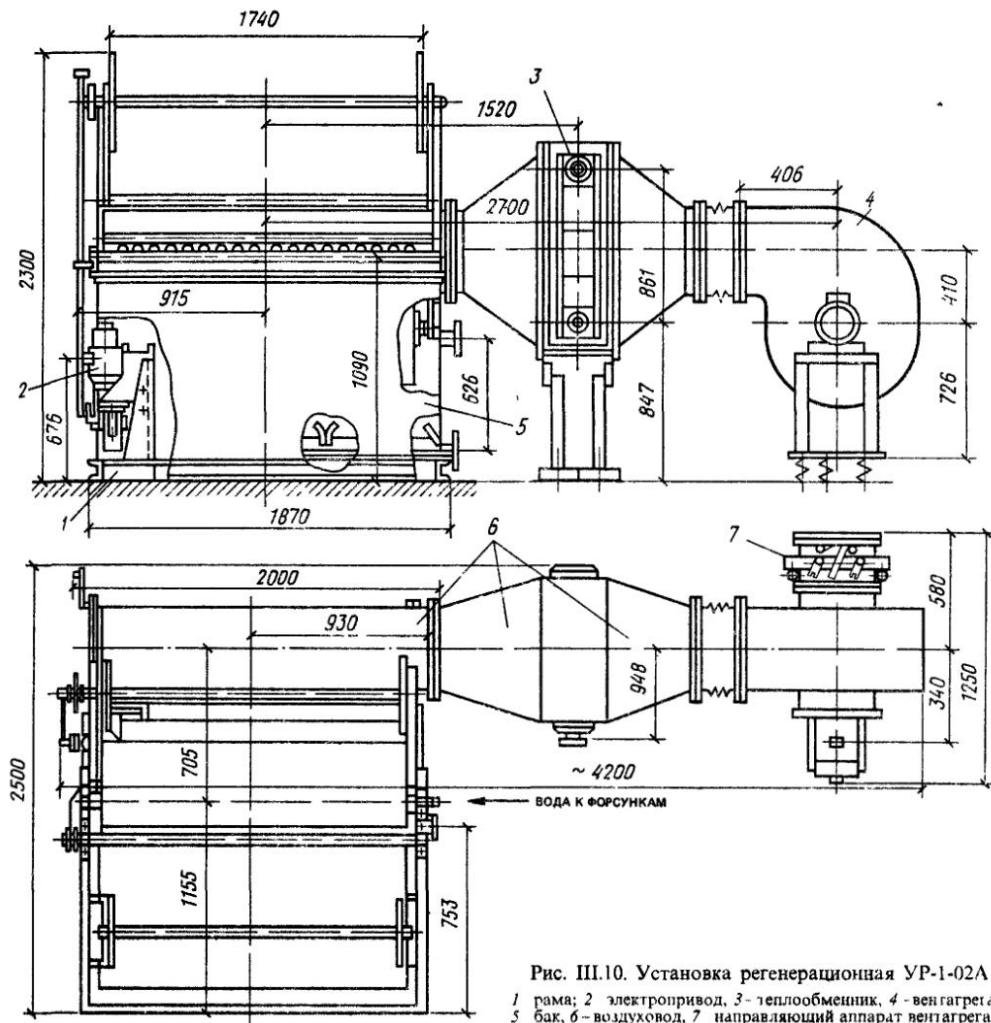


Рис. III.10. Установка регенерационная УР-1-02А  
1 – рама; 2 – электропривод, 3 – теплообменник, 4 – вентагрегат,  
5 – бак, 6 – воздуховод, 7 – направляющий аппарат вентагрегата

### III.9. КАМЕРЫ ОБСЛУЖИВАНИЯ КО-3

Камеры КО-3 предназначены для формирования воздушного потока и обслуживания соседнего оборудования в кондиционере. В дни камеры имеется сливной патрубок для отвода конденсата, образующегося в приемных блоках при поступлении ходового воздуха в кондиционер, или отвода влаги попадающей в камеру обслуживания из соседнего оборудования (камеры орошения, блока теплообмена и блока теплоизоляции) (табл. III 17).

ГЛАВЛЕНІЧІІ 17 ОСНОВНЫЕ ДАННЫЕ  
КАМЕР ОБСЛУЖИВАНИЯ КО-3

Индекс	типа кондиционера	Масса кг не более
01 50004	КТЦ-10	23
02 50004	КТЦ-20	67
03 50004	КТЦ-31,5	78
04 50004	КТЦ-40	85
05 50004	КТЦ-63	106
06 50004	КТЦ-80	114
07 50004	КТЦ-125	140
08 50004	КТЦ-160	150
09 50004	КТЦ-200	160
10 50004	КТЦ-250	170

### III.10. КАМЕРЫ ВОЗДУШНЫЕ КВ 6,5-3 И КВ 1-3

Воздушные камеры предназначены для смешения воздушных потоков и обслуживания соседнего оборудования. Камеры воздушные шириной 505 мм обозначаются КВ 0,5-3, шириной 1080 мм КВ 1-3.

Камеры воздушные поставляются в разобранном виде и собираются на месте монтажа (табл. III 18).

ТАБЛИЦА III-17 ОСНОВНЫЕ ДАННЫЕ  
ВОЗДУШНЫХ КАМЕР КВ

Установочное обозначение	Индекс	типа кондиционера	Масса кг не более
КВ 0,5-3	01 52104	КТЦ-10	53
	02 52104	КТЦ-20	65
	03 52104	КТЦ-31,5	76
	06 52104	КТЦ-63	100
	6 52104	КТЦ-160	151
	25 52104	КТЦ-250	166
КВ1-3	04 52204	КТЦ-40	133
	08 52204	КТЦ-80	167
	12 52204	КТЦ-125	215
	16 52204	КТЦ-160	240
	20 52204	КТЦ-200	253
	25 52204	КТЦ-250	265

### III.11. КЛАПАНЫ ВОЗДУШНЫЕ

Клапаны воздушные (рис. III 11) предназначены для регулирования объемов наружного и рециркуляционного воздуха, поступающего в кондиционер, а также регулирования количества воздуха, проходящего через воздухонагреватель.

Клапаны воздушные нового типоразмера могут применяться во всех кондиционерах, но при этом воздушная нагрузка на фронтальное сечение клапана не должна превышать 5 тыс. м<sup>2</sup> (ч м<sup>2</sup>). При этой нагрузке аэродинамическое сопротивление открытого клапана равно 25 Па.

Клапаны воздушные типа КВР могут быть установлены (при необходимости) в воздушных камерах.

Клапаны воздушные комлектуются электропневматическими, пневматическими или ручными приводами (табл. III 19).

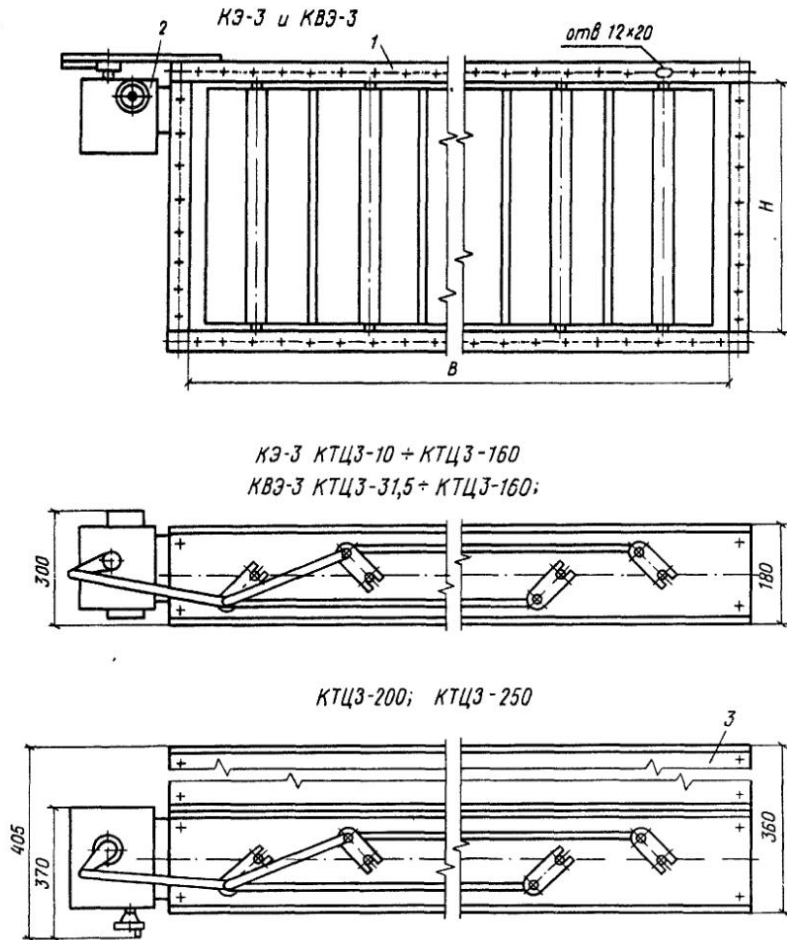


Рис. III.11. Клапаны воздушные КЭ-3 и КВЭ-3

1 - корпус с лопатками; 2 - электропривод, 3 - вставка только для КВЭ-3

ТАБЛИЦА III.19. ТЕХНИЧЕСКИЕ ХАРАКТЕРИСТИКИ КЛАПАНОВ ВОЗДУШНЫХ

Обозначение	Индекс	Тип кондиционера	Привод		Количество лопаток, шт.	Площадь фронтального сечения, м <sup>2</sup>	B	H	Масса, кг, не более
			тип	количество			мм		
<b>Клапаны воздушные</b>									
KЭ 0,5-3	01.33304	КТЦЗ-10			3	0,42	844		48
	03.33304	КТЦЗ-20 ÷ КТЦЗ-40				0,84		503	75
KЭ 1-3	03.34304	КТЦЗ-31,5; КТЦЗ-40	МЭО-40/63-0,25-82	1	6	1,68	1671	1003	101
KЭ 0,5-3	06.33304	КТЦЗ-63 ÷ КТЦЗ-160			12	1,7	3421	503	138
KЭ 1-3	06.34304					3,4		1003	190
KЭ 0,5-3	20.33304	КТЦЗ-200; КТЦЗ-250	МЭО-250/63-0,25-84	1	18	2,6	5171	503	220
KЭ 1-3	20.34304					5,2		1003	300
KП 0,5-3	01.33204	КТЦЗ-10			3	0,42	844		60
	03.33204	КТЦЗ-20 ÷ КТЦЗ-40				0,84		503	87
KП 1-3	03.34304	КТЦЗ-31,5; КТЦЗ-40		1		1,68		1003	113
KП 0,5-3	06.33204	КТЦЗ-63 ÷ КТЦЗ-160			12	1,7	3421	503	150
KП 1-3	06.34204		МИМ-К250-111-153061			3,4		1003	202
KП 0,5-3	20.33204	КТЦЗ-200;			2	18	2,6	503	235
KП 1-3	20.34204	КТЦЗ-250					5,2	1003	315
<b>Клапаны воздушные для обвода воздухонагревателей</b>									
KВЭ 0,25-3	01.32314	КТЦЗ-10			1	0,21	828		33
	02.32314	КТЦЗ-20				0,42	1655		46
KВЭ 0,5-3	03.33314	КТЦЗ-31,5; КТЦЗ-40	МЭО-40/63-0,25-82	1	6	0,84	1671		75
	06.33314	КТЦЗ-63; КТЦЗ-80				1,7		503	138
KВЭ 1-3	12.34314	КТЦЗ-125; КТЦЗ-160			12		3421		
	20.34314	КТЦЗ-200; КТЦЗ-250	МЭО-250/63-0,25-84			3,4		1003	190
					18	5,2	5171		350

Продолжение табл. III.19

Обозначение	Индекс	Тип кондиционера	Привод		Количество лопасток, шт	Площадь фронтального сечения, м <sup>2</sup>	B	H	Масса, кг, не более
			типа	количество			мм	мм	
КВП 0,25-3	01.32214	КТЦЗ-10	МИМ-К250-111-153061	1	6	0,21	828	—	45
	02.32214	КТЦЗ-20				0,42	1655	—	58
КВП 0,5-3	03.33214	КТЦЗ-31,5; КТЦЗ-40	МИМ-К250-111-153061	1	12	0,84	1671	—	87
	06.33214	КТЦЗ-63; КТЦЗ-80				1,7	—	503	150
КВП 1-3	12.34214	КТЦЗ-125; КТЦЗ-160	Ручной	2	18	3,4	3421	—	202
	20.34214	КТЦЗ-200; КТЦЗ-250				5,2	5171	—	365
КВР 0,25-3	01.32114	КТЦЗ-10	Ручной	1	6	0,21	828	—	20
	02.32114	КТЦЗ-20				0,42	1655	—	34
КВР 0,5-3	03.33114	КТЦЗ-31,5; КТЦЗ-40	Ручной	1	12	0,84	1671	—	71
	06.33114	КТЦЗ-63; КТЦЗ-80				1,7	—	503	135
КВР 1-3	12.34114	КТЦЗ-125; КТЦЗ-160	Ручной	18	18	3,4	3421	—	185
	20.34114	КТЦЗ-200; КТЦЗ-250				5,2	5171	—	330

## III.12. БЛОКИ ПРИЕМНЫЕ

Блоки приемные предназначены для приема, регулирования, смешения и распределения по живому сечению объема наружного и ре-

циркуляционного воздуха, поступающего в кондиционер.

Изготавливают блоки двух типов, прямоточные и смесительные.

По типу привода воздушных клапанов

блоки поставляются: прямоточные с электроприводом БПЭ-3, прямоточные с пневмоприводом БПП-3, смесительные с электроприводом БСЭ-3, смесительные с пневмоприводом БСП-3.

Аэродинамическое сопротивление приемных блоков при номинальной производительности кондиционера не более 70 Па (табл. III.20).

ТАБЛИЦА III.20 ОСНОВНЫЕ ДАННЫЕ ПРИЕМНЫХ БЛОКОВ

Тип блока	Индекс	Тип кондиционера	Масса, кг, не более
БПЭ-3	01.51134	КТЦЗ-10	165
	02.51134	КТЦЗ-20	230
	03.51134	КТЦЗ-31,5	300
	04.51134	КТЦЗ-40	325
	06.51134	КТЦЗ-63	525
	08.51134	КТЦЗ-80	570
	12.51134	КГЦЗ-125	1060
	16.51134	КТЦЗ-160	1205
	20.51134	КТЦЗ-200	1445
	25.51134	КТЦЗ-250	1670
БПП-3	01.51124	КТЦЗ-10	175
	02.51124	КТЦЗ-20	240
	03.51124	КТЦЗ-31,5	310
	04.51124	КТЦЗ-40	335
	06.51124	КТЦЗ-63	535
	08.51124	КТЦЗ-80	580
	12.51124	КТЦЗ-125	1070
	16.51124	КТЦЗ-160	1215
	20.51124	КТЦЗ-200	1500
	25.51124	КТЦЗ-250	1725
БСЭ1-3	01.51234	КТЦЗ-10	205
	02.51234	КТЦЗ-20	305
	03.51234	КТЦЗ-31,5	370
	04.51234	КТЦЗ-40	505
	06.51234	КТЦЗ-63	660
	08.51234	КТЦЗ-80	855
	12.51234	КТЦЗ-125	1230
	16.51234	КТЦЗ-160	1700
	20.51234	КТЦЗ-200	1680
	25.51234	КТЦЗ-250	2370
БСЭ2-3	06.51334	КТЦЗ-63	870
	08.51334	КГЦЗ-80	950
	12.51334	КТЦЗ-125	1605
	16.51334	КТЦЗ-160	2095
	20.51334	КТЦЗ-200	2275
БСЭ3-3	25.51334	КТЦЗ-250	2885
	04.51434	КГЦЗ-40	570
	08.51434	КТЦЗ-80	1000
	12.51434	КТЦЗ-125	1600
	20.51434	КГЦЗ-200	2190

### Продолжение табл. III.20

Тип блока	Индекс	Тип кондиционера	Масса, кг, не более
БСП1-3	01.51224	КТЦЗ-10	230
	02.51224	КТЦЗ-20	330
	03.51224	КТЦЗ-31,5	395
	04.51224	КТЦЗ-40	530
	06.51224	КТЦЗ-63	685
	08.51224	КТЦЗ-80	880
	12.51224	КТЦЗ-125	1250
	16.51224	КТЦЗ-160	1690
	20.51224	КТЦЗ-200	1750
	25.51224	КТЦЗ-250	2455
БСП2-3	06.51324	КТЦЗ-63	895
	08.51324	КТЦЗ-80	975
	12.51324	КТЦЗ-125	1625
	16.51324	КТЦЗ-160	2110
	20.51324	КТЦЗ-200	2345
	25.51324	КТЦЗ-250	2995

### III.13. БЛОКИ ПРИСОЕДИНИТЕЛЬНЫЕ

Блоки присоединительные обеспечивают вход обработанного в кондиционере воздуха в вентиляторные агрегаты. Выпускаются блоки присоединительные вентиляторов одностороннего всасывания БП1-3 и двухстороннего всасывания БП2-3.

### III.14. ВЕНТИЛЯТОРНЫЕ АГРЕГАТЫ

Вентиляторные агрегаты предназначены для перемещения воздуха в центральных кондиционерах и подачи его к местам потребления. Во всех кондиционерах применяются вентиляторы радиальные.

В кондиционере КТЦЗ-10 применяется вентилятор одностороннего всасывания по первой схеме исполнения (рис. III.12, а), КТЦЗ-20, КТЦЗ-31,5–КТЦЗ-125 вентиляторы одностороннего всасывания по шестой схеме (рис. III.12, б), в КТЦЗ-160, КТЦЗ-200 КТЦЗ-250 – вентиляторы двухстороннего всасывания по седьмой схеме (рис. III.12, в).

Технические характеристики и основные размеры вентиляторных агрегатов приведены в табл. III.21–III.22.

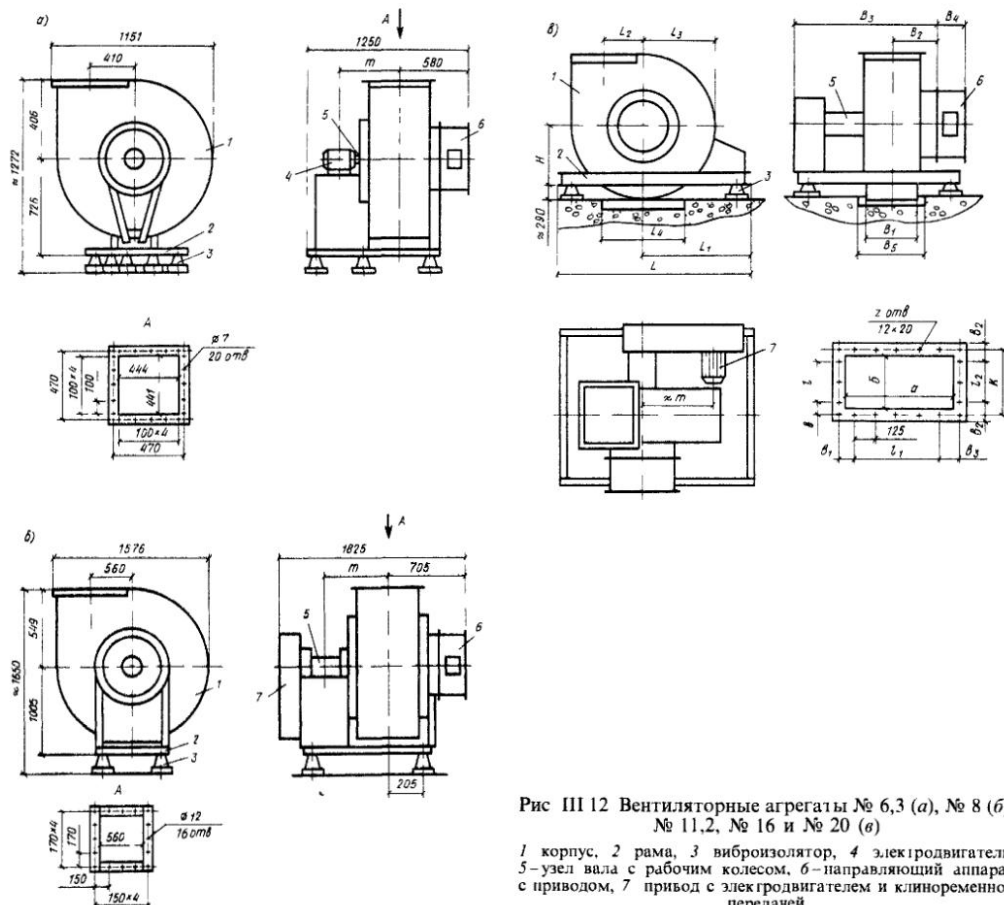


Рис. III.12. Вентиляторные агрегаты № 6, 3 (а), № 8 (б), № 11, 2, № 16 и № 20 (в)

1 - корпус, 2 - рама, 3 - вибропоглоитель, 4 - электродвигатель, 5 - узел вала с рабочим колесом, 6 - направляющий аппарат с приводом, 7 - привод с электродвигателем и клиновременной передачей

ТАБЛИЦА III.21. ГАБАРИТНЫЕ И ПРИСОЕДИНИТЕЛЬНЫЕ РАЗМЕРЫ, ММ, ВЕНТИЛЯТОРНЫХ АГРЕГАТОВ № 11, 2; 16; 20; 16/2; 20/2 (СМ. РИС. III.12, а)

Номер вентиляторного агрегата	<i>H</i>	<i>L</i>	<i>L</i> <sub>1</sub>	<i>L</i> <sub>2</sub>	<i>L</i> <sub>3</sub>	<i>L</i> <sub>4</sub>	<i>B</i> <sub>1</sub>	<i>B</i> <sub>2</sub>	<i>B</i> <sub>3</sub>	<i>B</i> <sub>4</sub>	<i>B</i> <sub>5</sub>	<i>a</i>
11,2	780	3240	1965	728	860	1200	784	475	1600	250	950	784
16	1055	3744	1834	1040	1253	2300	1240	640	2590	310	1270	1120
20	1280	4030	1632	1400	1666	3200	1520	795	3185	325	1550	1600
16/2	1115	3540	3356	1010	1335	2300	2375	—	—	—	2400	1505
20/2	1430	6986	3516	1200	1670	3200	2935	—	—	—	2980	2005

Продолжение табл. III.21

Номер вентиляторного агрегата	<i>b</i>	<i>в</i>	<i>b</i> <sub>1</sub>	<i>b</i> <sub>2</sub>	<i>b</i> <sub>3</sub>	<i>l</i>	<i>l</i> <sub>1</sub>	<i>l</i> <sub>2</sub>	<i>k</i>	<i>m</i>	<i>z</i> , шт
11,2	784	42	42	42	42	750	750	750	834	1315	28
16	1120	32	98	157	92	1125	1000	875	1190	1160	36
20	1400	48	101	110	73	1375	1500	1250	1470	950	49
16/2	2240	—	—	—	—	—	—	—	—	2600	—
20/2	2990	—	—	—	—	—	—	—	—	2810	—

ТЕХНИЧЕСКАЯ ХАРАКТЕРИСТИКА ВЕНТИЛЯТОРНЫХ АГРЕГАТОВ

03.41214	03.41234	0,8	0,8	31,5	665	4A160S6	11	1062
03.41314	03.41334	1,2	1,2	31,5	775	4A180M6	18,5	1129
03.41414	03.41434	КТЦ3-31,5	1,6	1,5	31,5			
			1,3	40		845	4A200M6	22 320
								230 1213
03.41514	03.41534	1,8	1,8	31,5	925	4A200L6	30	1284
04.41214	04.41234	0,8	0,8	40	730	4A160M6	15	1093
04.41314	04.41334	1,2	1,2	40	825	4A200M6	22	1219
04.41414	04.41434	КТЦ3-40	1,6	1,6	40			
			1,25	50		910	4A200L6	30 320
								230 1285
04.41514	04.41534	1,8	1,9	40	970	4A225M6	37	1336
06.41214	06.41234	0,8	0,8	63	465	4A200M6	22	2401
06.41314	06.41334	1,2	1,2	63	540	4A200L6	30	440 545
06.41414	06.41434	КТЦ3-63	1,6	1,5	63			
			1,34	80		595	4A250S6	45
								2666 2371
06.41514	06.41534	1,8	1,8	63	645	4A250M6	55	2783

Продолжение табл. III.22

Индекс вентилятора с приводом направляющим аппарата	Тип кондиционера	Полное давление $P$ , кПа	Производительность $Q \cdot 10^3$ , $\text{м}^3/\text{ч}$	Частота вращения, об/мин	Электродвигатель		$m$ , мм	Количество вибропоглощателей	Масса вращающихся частей (без ротора), кг	Масса, не более
					типа	мощность $N$ , кВт				
08.41214	08.41234	0,8	0,8	80	505	4A200L6	30	2459	—	2459
08.41314	08.41334	1,2	1,2	80	575	4A250S6	45	—	2665	2665
08.41414	08.41434	КТЦЗ-80	1,6	1,6	80	635	4A250M6	55	440	440
				1,29	100				545	2713
08.41514	08.41534	1,8	1,88	80	675	4A280S6	75	—	2995	2995
			1,57	100						
12.41214	12.41234	0,8	0,8	125	410	4A250S6	45	—	3685	3685
12.41314	12.41334	1,2	1,2	125	465	4A250M6	55	330	6	3737
12.41414	12.41434	КТЦЗ-125	1,6	1,6	125	515	4A280S6	75	915	915
			1,19	160						
12.41514	12.41534	1,8	1,93	125	550	4A315S6	110	380	970	4250
—	16.42234	КТЦЗ-160	0,8	0,8	160	540	4A250M6	55	360	5000
—	16.42334	КТЦЗ-160	1,2	1,2	160	605	4A280S6	75	390	5230

—	16.42434	КТЦ3-160	1,6	1,6	160	665	4А315S6	110	1610	6200
—	16.42534		1,8	2	160	715	4А315M6	132	1640	7
—	16.42534		1,8	1,55	200					1120
—	20.42234		0,8	0,8	200	395	4А280S6	75	390	7350
—	20.42334		1,2	1,2	200	450	4А315S6	110	1610	1120
—	20.42434	КТЦ3-200	1,6	1,6	200					7530
—	20.42534		1,8	1,34	250	505	4А315M6	132	1640	10
—	25.42234		0,8	0,8	250	435	4А315S6	110	1610	7550
—	25.42334		1,2	1,2	250	485	4А315M6	132	1640	1730
—	25.42434	КТЦ3-250	1,6	1,7	250	540	А03-400M-10	160	1760	8900
—	25.42534		1,8	2	250	575	А03-400S-8	200	1760	2030
			1,55	315						8500

### III.15. КОНДИЦИОНЕРЫ МЕСТНЫЕ НЕАВТОНОМНЫЕ ТИПА КНБ

Кондиционеры КНБ (рис. III.13, табл. III.23) предназначены для круглогодичного технологического и комфорктного кондиционирования в помещениях производственных и общественных зданий. Кондиционеры могут применяться в системах кондиционирования с тепло- и холодоснабжением от центральных источников (ТЭЦ, центральная котельная, центральная холодильная станция, артезианская скважина). Предельные значения температуры наружного воздуха, обрабатываемого в кондиционере, от 40 до минус 45°C и ниже.

Кондиционеры оснащены электрической системой регулирования и обеспечивают автоматическое поддержание температуры воздуха в помещении с точностью  $\pm 1^{\circ}\text{C}$  и относительной влажности в помещении с точностью  $\pm 7\%$ .

Пример условного обозначения КНБ-6,3-01.

КНБ – кондиционер неавтономный, имеющий запас полного давления на выходе, обеспечивающий поддержание заданной температуры и влажности воздуха и очистку его от пыли.

6,3 – производительность по воздуху, тыс.  $\text{м}^3/\text{ч}$ ;

0,1 – модификация

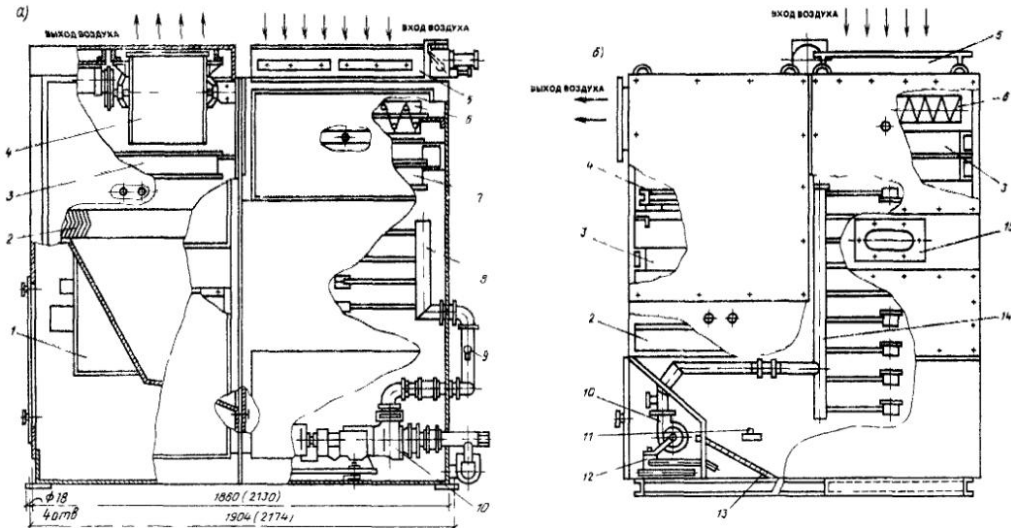


Рис. III.13 Кондиционеры КНБ-3,15-01 и КНБ-6,3-01 (а), КНБ-10-01 и КНБ-20-01 (б)

1 – панель силовая, 2 – сепаратор, 3 и 7 – воздухонагреватели второго и первого подогрева, 4 – вентиляторный агрегат, 5 – клапан воздушный, 6 – фильтр воздушный, 8 – коллектор, 9 – манометр, 10 – насос, 11 – клапан поплавковый, 12 – клапан обратный, 13 – фильтр водяной, 14 – коллектор с форсунками, 15 – смотровое стекло

ТАБЛИЦА III.23. ТЕХНИЧЕСКИЕ ХАРАКТЕРИСТИКИ КОНДИЦИОНЕРОВ КНБ (РИС. III.13)

Показатель	КНБ-3,15-01	КНБ-6,3-01	КНБ-10-01	КНБ-20-01
Производительность по воздуху, м <sup>3</sup> /ч	3150	6300	10 000	20 000
Производительность по холоду при начальной температуре воздуха 30 °C, относительной влажности 40%, начальной температуре теплоносителя 8 °C, кВт	21,5	43	67,5	135
Производительность по теплоте, кВт:				
первого подогрева при начальной температуре воздуха -30 °C, начальной температуре теплоносителя 130 °C	75	150	240	480
второго подогрева при начальной температуре воздуха 11 °C, начальной температуре теплоносителя 70 °C	12,5	25	40	80
Запас полного давления на выходе для воздушных каналов, Па	300	300	300	300
Эффективность очистки воздуха, %	92	92	92	92
Холодоноситель	Холодная вода			
Расход холодоносителя, кг/ч	7800	13 000	20 000	35 000
Рабочее давление теплоносителя перед форсунками, МПа, не более	0,25	0,25	0,25	0,25
Теплоноситель	Горячая вода			
Температура теплоносителя на входе, °C:				
первого подогрева	130	130	130	130
второго »	70	70	70	70
Рабочее давление теплоносителя, МПа, не более	1,18	1,18	1,18	1,18
Расход теплоносителя, кг/ч, не более:				
первого подогрева	1075	2150	3440	6880
второго »	360	720	1150	2300
Установочная мощность, кВт, в том числе:				
вентилятора	0,75	3	5,5	11
насоса	1,5	1,5	2,2	4,4
исполнительного механизма	0,04	0,04	0,04	0,04
Потребляемая мощность при номинальной производительности по воздуху, кВт	2,4	4,4	7,9	14,7
Род тока	Переменный трехфазный			
Частота тока, Гц	50	50	50	50
Напряжение, В:				
в силовой сети	380	380	380	380
в цепи управления	220	220	220	220
Масса кондиционера, кг	720	870	1380	2080
Масса пульта управления, кг	20	20	20	20
Площадь теплообменной поверхности воздухонагревателя, м <sup>2</sup> :				
первого подогрева	11,65	16,94	24,9	24,9
второго »	11,65	11,65	24,9	24,9

Продолжение табл. III.23

Показатель	КНБ-3,15-01	КНБ-6,3-01	КНБ-10-01	КНБ-20-01
Площадь фронтального сечения по воздуху одного воздухонагревателя, м <sup>2</sup> :				
первого подогрева	0,485	0,7	1,05	1,05
второго     »	0,485	0,485	1,05	1,05
Площадь живого сечения по теплоносителю одного воздухонагревателя, м <sup>2</sup> :				
первого подогрева	0,000346	0,000693	0,000693	0,000693
второго     »	0,000346	0,000346	0,000693	0,000693
Количество воздухонагревателей:				
первого подогрева	2	2	2	4
второго     »	1	1	1	1
Расход теплоносителя, кг/ч:				
первого подогрева	1075	2150	3440	6880
второго     »	360	720	1150	2300
Коэффициент теплопередачи, Вт/(м <sup>2</sup> · °С)				
$K = 24,36 (vp)_\phi^{0,494} w^{0,127}$				
Аэродинамическое сопротивление одного воздухонагревателя, Па				
$\Delta P_a = 3,6 (vp)_\phi^{1,75}$				
Гидравлическое сопротивление в одном воздухонагревателе, Па				
$\Delta P_w = Bw^2$ ,				
где коэффициент $B$ для каждого типоразмера принимается равным:				
Типоразмер . . . . .	КНБ-3,15-01	КНБ-6,3-01	КНБ-10-01	КНБ-20-01
В . . . . .	$3,6 \cdot 10^4$	$2,6 \cdot 10^4$	$2,39 \cdot 10^4$	$2,39 \cdot 10^4$

ТАБЛИЦА III.24. ОКТАВНЫЕ УРОВНИ ЗВУКОВОЙ МОЩНОСТИ КОНДИЦИОНЕРОВ, дБ, И КОРРЕКТИРОВАННЫЕ УРОВНИ, дБ·А

Тип кондиционера	Октаавные уровни звуковой мощности шума, дБ, при среднегеометрических частотах октавных полос, Гц							Корректированные уровни, дБ·А
	125	250	500	1000	2000	4000	8000	
КНБ-3,15-01	84	81	82	79	76	69	62	83
	—	—	—	—	—	—	—	—
КНБ-6,3-01	87	85	85	85	79	76	72	88
	94	87	86	86	79	75	68	89
КНБ-10-01	88	88	88	87	81	77	72	90
	95	93	91	91	86	79	73	94
КНБ-20-01	90	91	89	91	87	81	76	94
	96	95	95	95	89	82	76	98
	—	—	—	—	—	—	—	—
	98	97	96	96	92	87	80	99

Примечание. В числителе указаны уровни звуковой мощности шума, излучаемого в воздуховод на нагревания, в знаменателе — шума, излучаемого вокруг кондиционера без присоединенных воздуховодов.

ТАБЛИЦА III.25. КОД ПО ОКП ДЛЯ ПОСТАВКИ КОНДИЦИОНЕРОВ

Тип кондиционера	Код по ОКП для поставки кондиционеров		
	для нужд народного хозяйства	на экспорт в страны с климатом	
		умеренным	тропическим
КНБ-3,15-01 УХЛ4	48 6221 3007	—	—
КНБ-3,15-01 УХЛ4	—	48 6221 3008	—
КНБ-3,15-01 Т4	—	—	48 6221 3009
КНБ-6,3-01 УХЛ4	48 6221 4007	—	—
КНБ-6,3-01 УХЛ4	—	48 6221 4008	—
КНБ-6,3-01 Т4	—	—	48 6221 4009
КНБ-10-01 УХЛ4	48 6221 5007	—	—
КНБ-10-01 УХЛ4	—	48 6221 5008	—
КНБ-10-01 Т4	—	—	48 6221 5009
КНБ-20-01 УХЛ4	48 6221 6001	—	—
КНБ-20-01 УХЛ4	—	48 6221 6002	—
КНБ-20-01 Т4	—	—	48 6221 6003

## III.16. КОНДИЦИОНЕРЫ АВТОНОМНЫЕ ТИПА КПА1

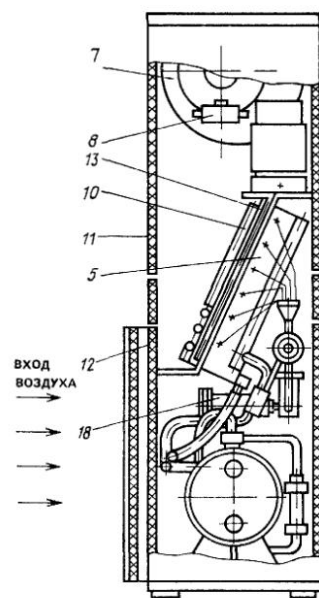
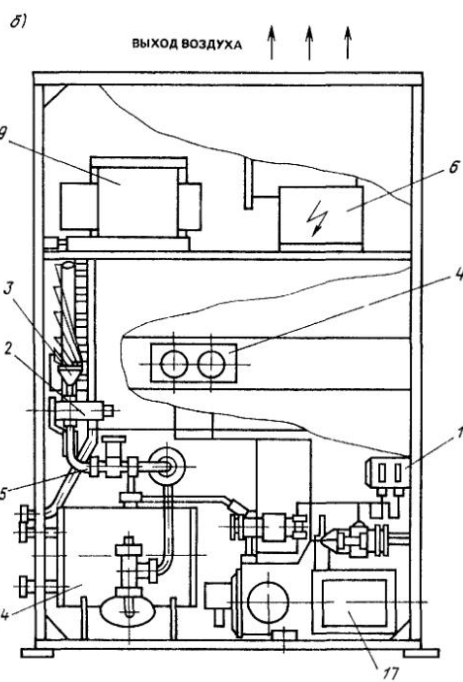
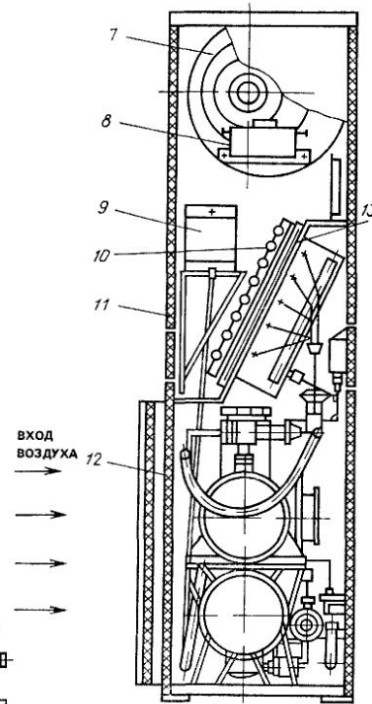
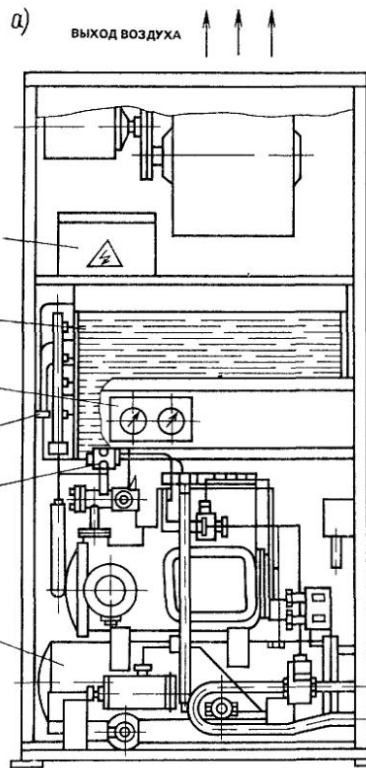
Кондиционеры автономные общего назначения КПА1 с водяным охлаждением конденсатора (рис. III.14, табл. III.26–III.27) предназначены для круглогодичного технологического и комфорtnого кондиционирования в помещениях производственных и общественных зданий. В кондиционерах осуществляются очистка воздуха от пыли, охлаждение, нагрев и увлажнение.

Кондиционеры обеспечивают в обслуживаемых помещениях автоматическое поддер-

жание температуры от 18 до 28°C с точностью  $\pm 1^\circ\text{C}$  и относительной влажности от 30 до 70% с точностью  $\pm 7\%$ . Предельные значения температуры наружного воздуха при эксплуатации от 40 до минус 45°C.

Кондиционеры предназначены для эксплуатации в условиях умеренного климата (УХЛ), категория размещения 4 по ГОСТ 15150–69\*. Кондиционеры изготавливают по ТУ 22–117–20–87.

Пример условного обозначения КПА1-4,4-01; КПА – кондиционер промышленный автономный; 1 – с водяным охлаждением конденсатора; 4,4 – производительность по воздуху, тыс. м<sup>3</sup>/ч; 0,1 – модификация



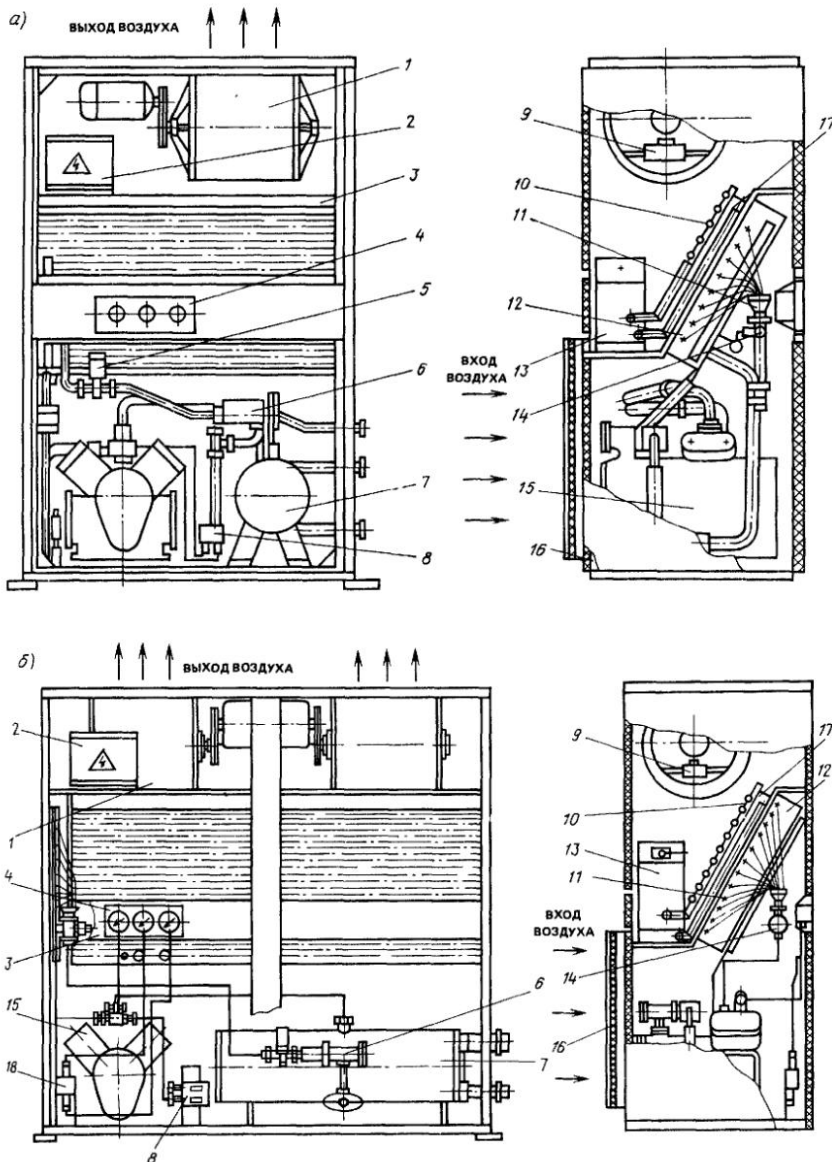


Рис. III.15. Кондиционеры КПА1-7-01 (а) и КПА1-11-01 (б)

1 - агрегат вентиляторный; 2 - клеммник; 3 - панель съемная; 4 - щиток приборов; 5 - вентиль мембранный; 6 - фильтр хладоновый; 7 - конденсатор; 8 - реле давления; 9 - блокирующее устройство; 10 - воздухонагреватель электрический; 11 - распределитель хладона; 12 - воздухоохладитель; 13 - устройство увлажняющее; 14 - вентиль терморегулирующий; 15 - компрессор; 16 - фильтр воздушный; 17 - калорифер (поставляется по особому требованию заказчика); 18 - датчик реле разности давлений

←

Рис. III.14. Кондиционеры КПА1-2,2-01 (а) и КПА1-4,4-01 (б)

1 - агрегат компрессорно-конденсаторный; 2 - вентиль терморегулирующий; 3 - распределитель хладона; 4 - щиток приборов; 5 - воздухоохладитель; 6 - клеммник; 7 - агрегат вентиляторный; 8 - блокирующее устройство; 9 - увлажняющее устройство; 10 - воздухонагреватель электрический; 11 - панель съемная; 12 - фильтр воздушный; 13 - калорифер (поставляется по особому требованию заказчика); 14 - конденсатор; 15 - вентиль электромагнитный; 16 - реле давления, 17 - компрессор, 18 - фильтр хладоновый

ТАБЛИЦА III 26 ТЕХНИЧЕСКИЕ ХАРАКТЕРИСТИКИ КОНДИЦИОНЕРОВ КПА1 (РИС. III 14 И III 15)

Показатель	КПА1-2,2-01	КПА-4,4-01	КПА1-7,0-01	КПА1-11-01
Производительность по воздуху, м <sup>3</sup> /ч	2200	4400	7000	11 000
Производительность по холоду при температуре входящего в кондиционер воздуха 27(±2)°С, относительной влажности 50(±5)% и температуре охлаждающей воды на входе 24(–2)°С кВт	11	22	32	51
Производительность по теплоте, кВт, не менее:				
с электрическим воздухонагревателем	6,3	12	15	24
с калорифером при температуре воды на входе $t_u = 130^{\circ}\text{C}$ , $t_0 = 70^{\circ}\text{C}$	17	34	51	73
Производительность по влаге, кг/ч, не менее	2	4	8,5	10,9
Запас полного давления на выходе для воздушных каналов, Па, не менее	300	300	400	400
Эффективная мощность, кВт	34,5	68,5	98,8	149,2
Эффективность очистки воздуха, %, не менее	85	85	85	85
Холодильный агент	Хладон-12 29	Хладон-22 29	Хладон-22 29	Хладон-22 29
Максимально допустимая температура охлаждающей воды на входе, °С	1,6	3,8	4,9	9
Расход охлаждающей конденсатор воды, м <sup>3</sup> /ч, не более				
Установочная мощность, кВт компрессора	2,1	3,1	5	6,5
вентилятора	0,75	2,2	3	6
воздухонагревателя электрического	6,3	12	15	24
увлажнительного устройства	2	4	9	9
Потребляемая мощность при номинальной производительности по холоду, кВт, не более	3,9	7,9	11,4	18
Частота тока, Гц	50	50	50	50
Давление водопроводной воды перед поплавковым клапаном увлажнительного устройства, МПа (кгс/см <sup>2</sup> )		0,05–0,6 (0,5–6)		
Допустимое давление воды, МПа (кгс/см <sup>2</sup> ), на входе:				
в конденсатор			0,6 (6)	
в воздухонагреватель			1,2 (12)	
Потеря давления по воде в конденсаторе, МПа (кгс/см <sup>2</sup> )	0,1 (1)		0,15 (1,5)	
Напряжение, В:				
силовой цепи	380	380	380	380
цепи управления	220	220	220	220
Масса, кг:				
без калорифера	445	540	780	1120
с калорифером	470	570	820	1180
Код по ОКП	48 6222 4005	48 6222 6006	48 6222 8065	48 6222 8068

**ТАБЛИЦА III 27 ОКТАВНЫЕ УРОВНИ ЗВУКОВОЙ МОЩНОСТИ КОНДИЦИОНЕРОВ, дБ, И КОРРЕКТИРОВАННЫЕ УРОВНИ, дБ А**

Тип кондиционера	Октаавные уровни, дБ, при среднегеометрических частотах октаавных полос, Гц							Корректированные уровни, дБ А
	125	250	500	1000	2000	4000	8000	
КПА1-2,2-01	84	81	77	75	71	67	60	78
	78	78	79	77	73	69	62	82
КПА1-3,5-04	84	81	78	82	76	71	64	84
	80	78	79	82	78	71	64	85
КПА1-4,4-01	85	82	79	82	78	74	65	85
	81	80	80	82	78	75	67	85
КПА1-7,0-01	94	87	86	88	79	75	68	90
	88	83	85	89	79	75	70	91
КПА1-11-01	95	89	88	89	82	79	74	91
	90	86	86	89	82	79	74	91

Примечание В числителе указаны уровни звуковой мощности шума, излучаемого в воздуховод нагнетания, в знаменателе — шума, излучаемого вокруг кондиционера без присоединенных воздуховодов

**ТЕХНИЧЕСКАЯ ХАРАКТЕРИСТИКА  
КОНДИЦИОНЕРА КПА1-3,5-04 (РИС III 16)**

Производительность по воздуху, м <sup>3</sup> /ч	3500
Производительность по холоду при температуре входящего воздуха (41 ± 2)°С, относительной влажности (40 ± 5)% и температуре охлаждающей воды на входе (30 ± 1)°С, кВт	17,6
Производительность по теплоте, кВт, не менее	15
Производительность по влаге, кг/ч, не менее	4
Запас полного давления на выходе для воздушных каналов, Па, не, менее	300
Эффективная мощность, кВт	32,9
Эффективность очистки воздуха, %, не менее	85
Холодильный агент	хладон-12

Максимально допустимая температура охлаждающей воды на входе в конденсатор, °С	40
Расход охлаждающей конденсатор воды, м <sup>3</sup> /ч, не более	2,6
Установочная мощность, кВт	
вентилятора	2,2
компрессора	5
воздухонагревателя	15
увлажнительного устройства	4
Потребляемая мощность при nominalной производительности по холоду, кВт, не более	10
Частота тока, Гц	50
Напряжение, В	
силовой цепи	380
цепи управления	220
Масса, кг, не более	750
Код по ОКП	48 6222 5052

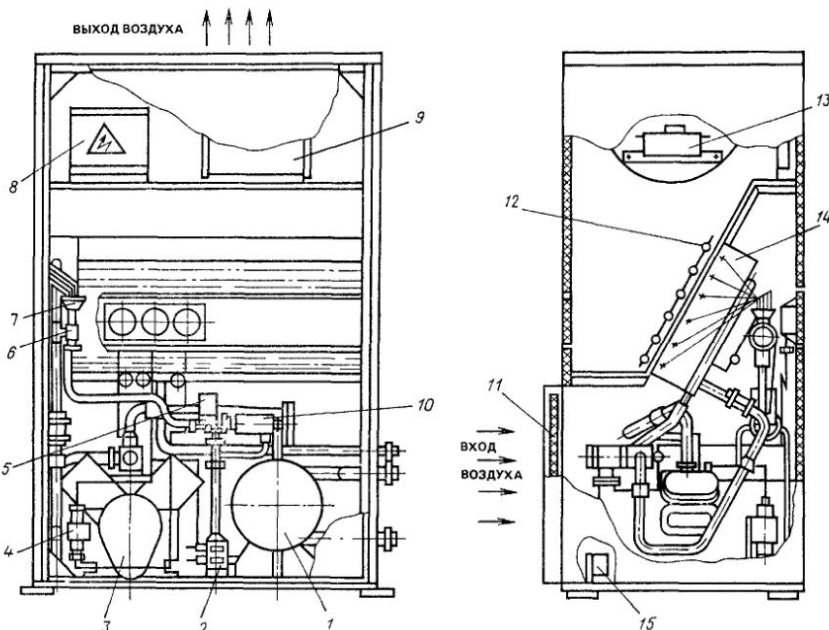


Рис. III.16. Кондиционер КПА1-3,5-04

1 - конденсатор, 2 - реле давления, 3 - компрессор; 4 - датчик-реле разности давления; 5 - вентиль электромагнитный, 6 - вентиль герморегулирующий, 7 - распределитель хладона, 8 - клеммник, 9 - агрегат вентиляторный, 10 - фильтр хладоновый; 11 - фильтр воздушный, 12 - воздухонагреватель, 13 - блокирующее устройство, 14 - воздухоохладитель, 15 - термореле

### III.17. КОНДИЦИОНЕРЫ АВТОНОМНЫЕ ТИПА КТА

**Кондиционер КТА2-5-02** предназначен для круглогодичного технологического и комфорто- го кондиционирования в обслуживаемых помещениях путем охлаждения или подогрева, вентиляции и очистки от пыли. Может применяться в системах кондиционирования диспетчерских пунктов, постов управления, лабораторных помещений, вычислительных центров. Выпускается с приборами по автоматическому регулированию влажности воздуха.

#### ТЕХНИЧЕСКАЯ ХАРАКТЕРИСТИКА КОНДИЦИОНЕРА КТА 2-5-02

Производительность по воздуху (номинальная), м<sup>3</sup>/ч . . . . . 5000–5500 ± 10%  
Холодопроизводительность номинальная (при температуре кипения хладона +6°C, при температуре конденсации +55°C, при относительной влажности воздуха 50%), кВт . . . . . 24,36

Теплопроизводительность (при температуре воды на входе в воздухонагреватель +95°C), кВт . . . . .	36,54
Влагопроизводительность, кг/ч . . . . .	6,45
Запас полного давления на выходе воздушных каналов, Па . . . . .	400
Тип конденсатора . . . . .	воздушный
Расход охлаждающей среды, м <sup>3</sup> /ч . . . . .	11 600
Потребляемая мощность при номинальной производительности по ходу, кВт . . . . .	12,5
Масса, кг, не более . . . . .	1000

**Кондиционер КТА 1-3,5-04 с водяным охлаждением конденсатора** (рис. III.17) применяется на предприятиях metallургической промышленности для обслуживания постов управления прокатных станов, лабораторий, комнат отдыха при температуре окружающей среды до 60°C.

В кондиционере осуществляются очистка воздуха от пыли, охлаждение, нагрев и увлажнение. Обеспечивает в обслуживаемых поме-

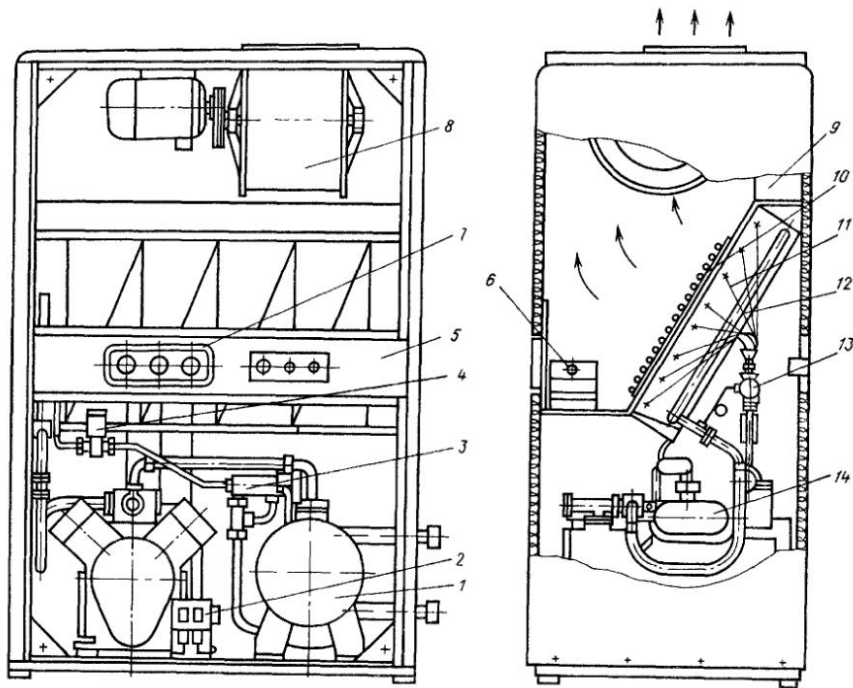


Рис. III.17. Кондиционер автономный КТА 1-3,5-04

1 - конденсатор кожухотрубный; 2 - щиток реле, 3 - фильтр хладоновый; 4 - вентиль мембранный, 5 - панель управления; 6 - устройство увлажняющее, 7 - щиток приборный, 8 - агрегат вентиляторный, 9 - щит управления, 10 - воздухонагреватель электрический, 11 - воздухоохладитель, 12 - фильтр воздушный, 13 - вентиль терморегулирующий, 14 - компрессор

шениях автоматическое поддержание температуры от 18 до 28°C с точностью  $\pm 1^\circ\text{C}$  и относительной влажности 30–70% с точностью  $\pm 5\%$ .

#### ТЕХНИЧЕСКАЯ ХАРАКТЕРИСТИКА КОНДИЦИОНЕРА КТА 1-3,5-04

Производительность по воздуху, $\text{м}^3/\text{ч}$	3150
Производительность по холоду при температуре окружающего воздуха $41 \pm 2^\circ\text{C}$ , относительной влажности 22%, Вт (ккал/ч)	14 500 (12 500)
Производительность по теплу, Вт (ккал/ч), с электрическим воздухонагревателем	15 000 (12 900)
Запас полного давления на выходе для воздушных каналов, Па ( $\text{kгс}/\text{м}^2$ )	300 (30)
Эффективность очистки воздуха, %	85
Влагопроизводительность, $\text{кг}/\text{ч}$	2
Расход воды, охлаждающей конденсатор, $\text{м}^3/\text{ч}$	2,6
Максимально допустимая температура охлаждающей воды на входе, °C	40
Потребляемая мощность в режиме охлаждения с увлажнением	

нием (при номинальной производительности по холоду) кВт 12 (учтена потребляемая мощность вентилятора, компрессора увлажнителя и электрического водонагревателя

Масса, кг . . . . . 800

Октаавные уровни звуковой мощности, дБ, кондиционера КТА 1-3,5-04 в зависимости от среднегеометрических частот октаавных полос, Гц, составляют:

Среднегеометрические частоты октаавных полос, Гц	63	125	250	500
--	----	-----	-----	-----

Октаавные уровни звуковой мощности, дБ	83	83	83	81
--	----	----	----	----

Продолжение

Среднегеометрические частоты октаавных полос, Гц	1000	2000	4000	8000
--	------	------	------	------

Октаавные уровни звуковой мощности, дБ	79	75	69	67
--	----	----	----	----

### III.18. КОНДИЦИОНЕР НЕАВТОНОМНЫЙ ШКАФНОЙ КТН-1,6-01

Кондиционер (рис. III.18) предназначен для нагрева и охлаждения воздуха в обслуживаемых помещениях, в различных зданиях и сооружениях, не содержащих вредных веществ, где имеются центральные источники холода и теплоснабжения. Кондиционер выполняет охлаждение, нагрев воздуха и очистку его от пыли, может работать в ручном и автоматическом режимах управления. Относительная влажность воздуха в помещении кондиционером не регулируется.

Кондиционер рассчитан для работы на рециркуляционном воздухе, а также на смеси рециркуляционного и свежего воздуха.

#### ТЕХНИЧЕСКАЯ ХАРАКТЕРИСТИКА КОНДИЦИОНЕРА КТН-1,6-01

Производительность по воздуху, м <sup>3</sup> /ч	1700
Производительность по холоду при температуре воздуха на входе и кондиционер по сухому термометру 25 °C, по смоченному термометру 19,5 °C, кВт	6,98
Производительность по теплоте, кВт, при температуре воздуха на входе в кондиционер по сухому термометру, °C:	
10 . . . . .	29,07
20 . . . . .	24,4
Эффективность очистки воздуха, %, не более	80
Холодоноситель . . . . .	вода
Температура холодоносителя на входе в кондиционер, °C	8
Рабочее давление холодоносителя, МПа, не более	1
Расход холодоносителя, кг/ч	850
Теплоноситель . . . . .	вода
Температура теплоносителя на входе в кондиционер, °C	95
Рабочее давление теплоносителя, МПа, не более	1
Расход теплоносителя, кг/ч	600
Потребляемая мощность при номинальной производительности по воздуху, кВт	0,26 ± 10%
Масса, кг	160

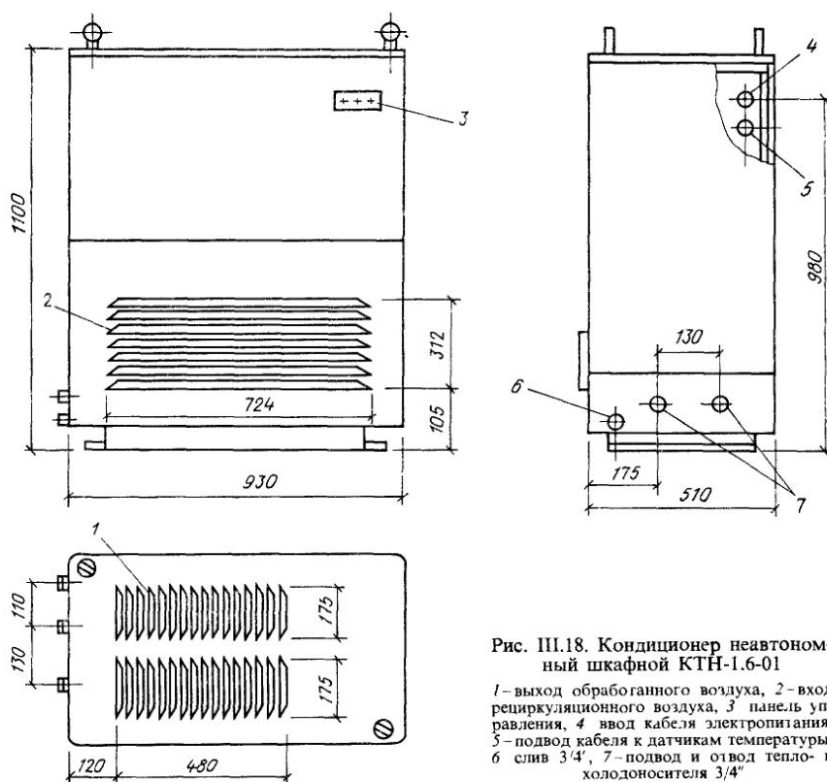


Рис. III.18. Кондиционер неавтономный шкафной КТН-1,6-01

1 - выход обработанного воздуха, 2 - вход рециркуляционного воздуха, 3 - панель управления, 4 - ввод кабеля электропитания, 5 - подвод кабеля к датчикам температуры, 6 - слив 3/4", 7 - подвод и отвод тепло- и холодоносителя 3/4"

### III.19. ДОВОДЧИК ЭЖЕКЦИОННЫЙ Д-Э2-0,56

Доводчик (табл. III.28) предназначен для систем круглогодичного кондиционирования воздуха в промышленных и гражданских зданиях, имеющих централизованное снабжение первичным воздухом, тепло- и холодоносителям.

Доводчики выпускаются в трех исполне-

ниях: Д-Э2-0,56-01 с диаметром эжектирующего сопла 3,5 мм, Д-Э2-0,56-02—4,5 мм и Д-Э2-0,56-03—5,5 мм.

Теплообменники доводчиков изготавливают в двухконтурном исполнении, при необходимости возможна доработка их для одноконтурного исполнения путем установки соединительного калача. Эксплуатация доводчика производится при температуре окружающего воздуха 10—25°C.

ТАБЛИЦА III.28. ОСНОВНЫЕ ТЕХНИЧЕСКИЕ ДАННЫЕ

Показатели	Д-Э2-0,56-01	Д-Э2-0,56-02	Д-Э2-0,56-03
Производительность по воздуху, м <sup>3</sup> /ч	560	650	750
Расход первичного воздуха, м <sup>3</sup> /ч	116 ± 12	170 ± 17	220 ± 22
Коэффициент эжекции	3,83	2,83	2,41
Производительность по холоду при разности температур окружающего воздуха и поступающей в теплообменник воды $\Delta t = 14^{\circ}\text{C}$ , кВт	0,49	1,05	0,95
Производительность по теплоте, кВт	2,71	3	2,7
Давление первичного воздуха, Па, не более		392	
Холодоноситель		Вода	
Температура холодоносителя на входе, °C		12 ± 2	
Расход холодоносителя, кг/ч, не более		400	
Теплоноситель		Вода	
Температура теплоносителя на входе, °C		70 ± 7	
Расход теплоносителя, кг/ч, не более		250	
Рабочее давление холода-, теплоносителя, МПа, не более		1,17	
Габариты, мм:			
длина		1372	
ширина		230	
высота	420	535	
Масса, кг		31—37	

ПРИЛОЖЕНИЕ IV  
ФИЛЬТРЫ И ПЫЛЕУЛОВИТЕЛИ

**IV.1. УНИФИЦИРОВАННЫЕ ЯЧЕЙКОВЫЕ ФИЛЬТРЫ Фя**

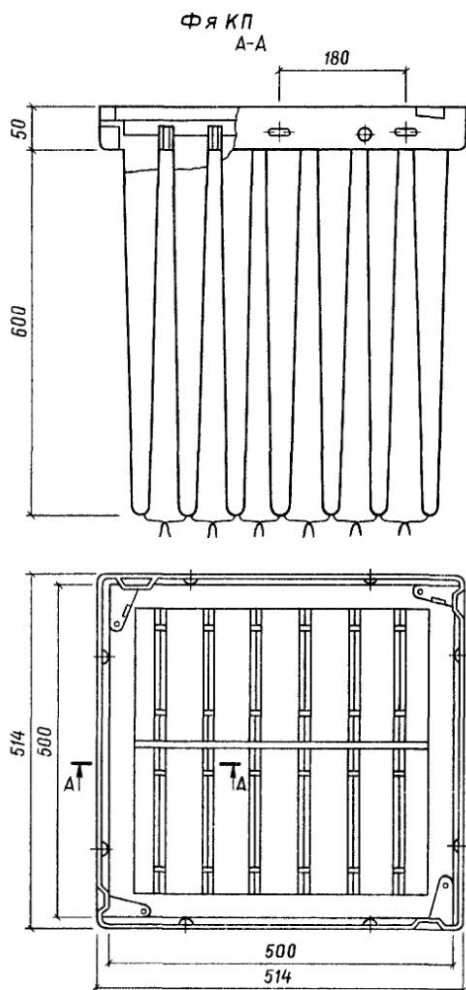
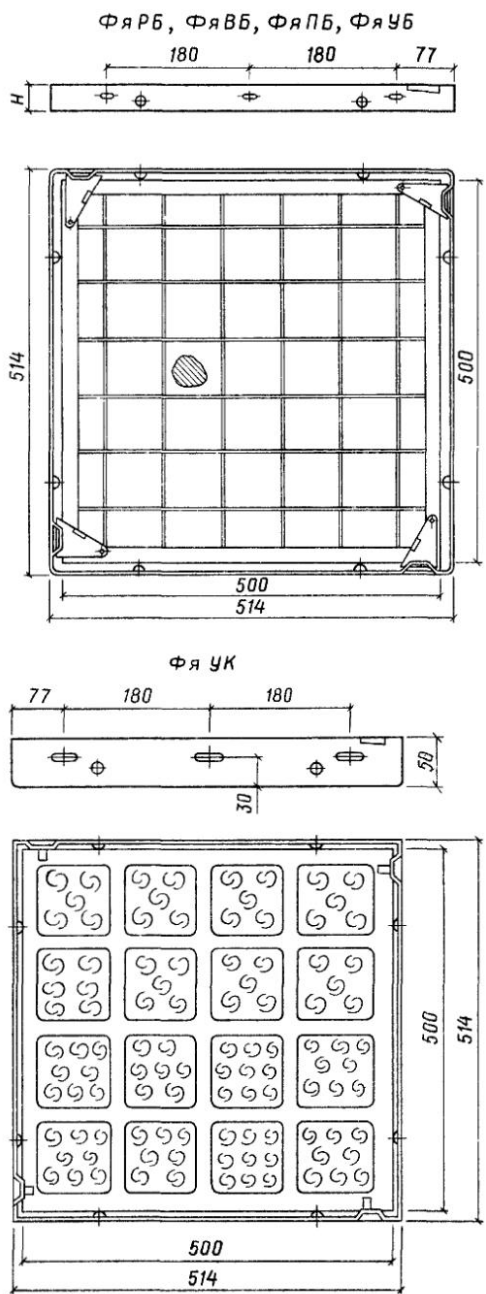


Рис. IV.1. Унифицированные ячейки фильтра Фя

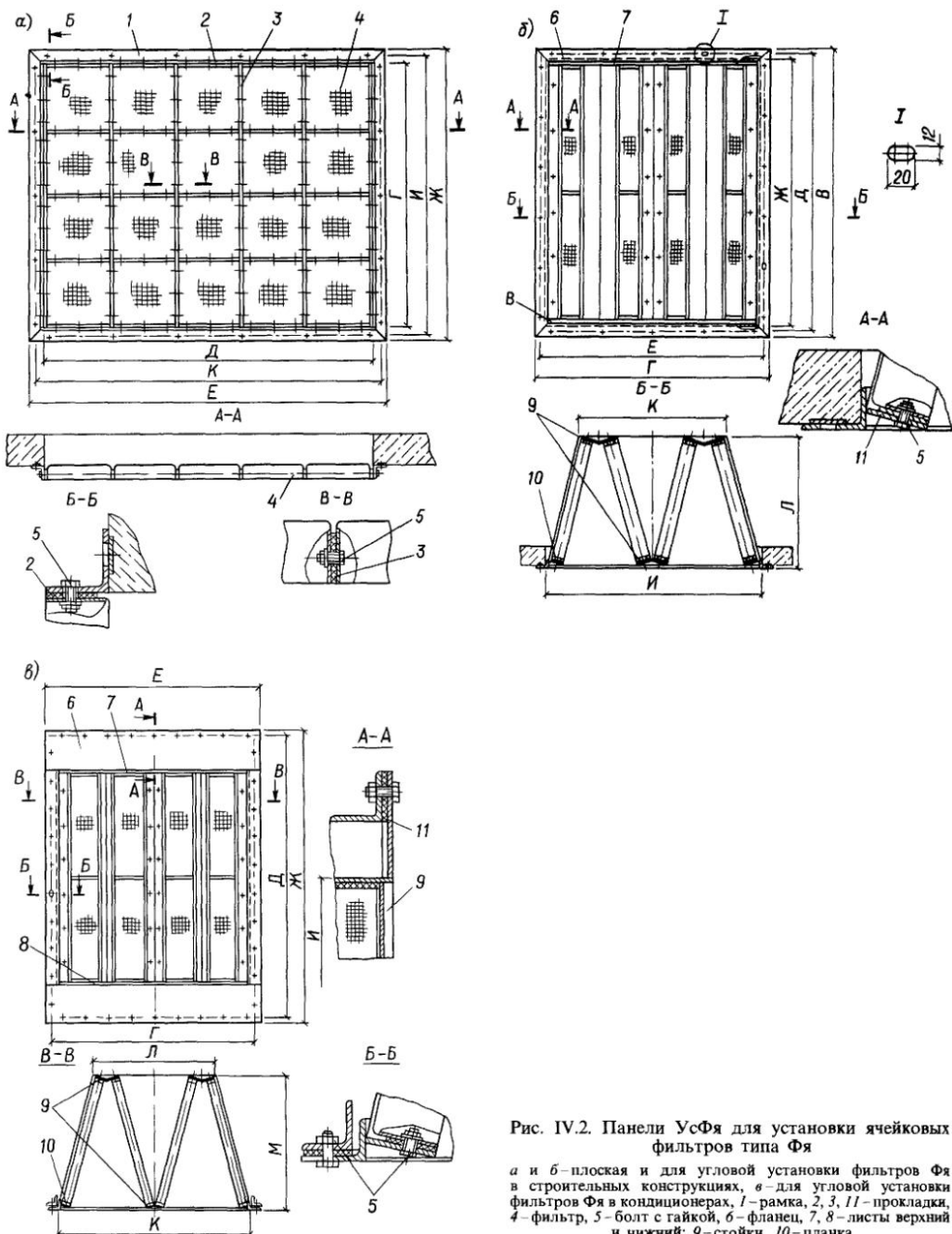
ТАБЛИЦА IV.1. ТЕХНИЧЕСКИЕ ДАННЫЕ ФИЛЬТРОВ ФЯ (РИС. IV.1)

Показатель	ФяВБ	ФяПБ	ФяУБ
Фильтрующий материал	Перфорированная сетка винилпласта (ГОСТ 15976–81)	Пенополиуретан (ОСТ6-05-407-75)	Материал ФСВУ (ТУ21-РСФСР-369-87)
Площадь рабочего сечения, м <sup>2</sup>	0,22	0,22	0,22
Номинальная пропускная способность ячейки, м <sup>3</sup> /ч	1540	1540	1540
Начальное сопротивление, Па	60	60	40
Пылеемкость (при увеличении сопротивления на 100 Па), г/м <sup>2</sup> , входного сечения	2400	400	550
Эффективность очистки, % (по методике СТНИИП)	80	80	80
Глубина фильтра <i>H</i> , мм	32	32	32
Масса, кг	4,2	3,4	2,8

Продолжение табл. IV.1

Показатель	ФяРБ	ФяУК	ФяКП
Фильтрующий материал	Стальная сетка (ГОСТ 3826-82*)	Материал ФСВУ (ТУ21-РСФСР-369-87)	Иглопробивной материал типа ФНИ
Площадь рабочего сечения, м <sup>2</sup>	0,22	0,22	0,22
Номинальная пропускная способность ячейки, м <sup>3</sup> /ч	1540	1540	2500
Начальное сопротивление, Па	50	40	60
Пылеемкость (при увеличении сопротивления на 100 Па), г/м <sup>2</sup> , входного сечения	2300	550	4000
Эффективность очистки, % (по методике СТНИИП)	80	80	92
Глубина фильтра <i>H</i> , мм	50	50	650
Масса, кг	6	2,4	8,8

**IV.2. ПАНЕЛИ УсФя ДЛЯ УСТАНОВКИ ЯЧЕЙКОВЫХ ФИЛЬТРОВ ТИПА Фя  
В СТРОИТЕЛЬНЫХ КОНСТРУКЦИЯХ И ЦЕНТРАЛЬНЫХ СЕКЦИОННЫХ  
КОНДИЦИОНЕРАХ**



**Рис. IV.2. Панели УсФя для установки ячейковых фильтров типа Фя**

**а и б – плоская и для угловой установки фильтров Фя в строительных конструкциях, в – для угловой установки фильтров Фя в кондиционерах, 1 – рамка, 2, 3, 11 – прокладки, 4 – фильтр, 5 – болт с гайкой, 6 – фланец, 7 – листы верхний и нижний, 9 – стойки, 10 – планка**

**ТАБЛИЦА IV.2. ОСНОВНЫЕ ДАННЫЕ ПЛОСКИХ ПАНЕЛЕЙ ДЛЯ УСТАНОВКИ ФИЛЬТРОВ ФЯ В СТРОИТЕЛЬНЫХ КОНСТРУКЦИЯХ (РИС. IV.2, А)**

Шифр	Обозначение	Компоновка ячеек в панели	Количество ячеек в панели	Пропускная способность, тыс. м <sup>3</sup> /ч	Размеры, мм						Масса, кг
					Г	Д	Е	Ж	И	К	
Ус39А1 × 2	Ус39А 00.000	1 × 2	2	3-3,5	522	1040	1120	602	566	1084	27
Ус39А2 × 2	-01	2 × 2	4	4-7	1040	1040	1120	1120	1084	1084	46
Ус39А2 × 3	-02	2 × 3	6	7-10	1040	1558	1638	1120	1084	1602	66
Ус39А3 × 3	-03	3 × 3	9	10 15	1558	1558	1638	1638	1602	1602	94
Ус39А3 × 4	-04	3 × 4	12	15 20	1558	2076	2156	1638	1602	2120	122
Ус39А3 × 5	-05	3 × 5	15	20-25	1558	2594	2674	1638	1602	2638	154
Ус39А4 × 4	-06	4 × 4	16	25-28	2076	2076	2176	2176	2136	2136	168
Ус39А4 × 5	-07	4 × 5	20	28-35	2076	2594	2694	2176	2136	2654	205
Ус39А4 × 6	-08	4 × 6	24	35-37	2076	3112	3212	2176	2136	3172	245
Ус39А5 × 5	-09	5 × 5	25	37-40	2594	2594	2694	2694	2654	2654	255

**ТАБЛИЦА IV.3 ОСНОВНЫЕ ДАННЫЕ ПАНЕЛИ ДЛЯ УГЛОВОЙ УСТАНОВКИ ФИЛЬТРОВ ФЯ В СТРОИТЕЛЬНЫХ КОНСТРУКЦИЯХ (РИС. IV.2, Б)**

Шифр	Обозначение	Компоновка ячеек в панели	Количество ячеек в панели	Пропускная способность, тыс. м <sup>3</sup> /ч	Размеры, мм						Масса, кг		
					В	Г	Д	Е	Ж	И	К		
Ус40А	Ус40А.00.000	2 × 4	8	10	1144	916	1104	876	1052	824	575	530	106
Ус41А	Ус41А 00.000	2 × 6	12	20	1144	1744	1104	1703	1052	1652	1265	515	162
Ус42А	Ус42А.00.000	4 × 6	24	40	2180	1744	2140	1703	2088	1652	1265	515	297

**ТАБЛИЦА IV.4. ОСНОВНЫЕ ДАННЫЕ ПАНЕЛЕЙ ДЛЯ УГЛОВОЙ УСТАНОВКИ ФИЛЬТРОВ ФЯ В КОНДИЦИОНЕРАХ (РИС. IV.2, в)**

Шифр	Обозначение	Компоновка ячеек в панели	Количество ячеек в панели	Пропускная способность, тыс. м <sup>3</sup> /ч	Размеры, мм						Масса, кг		
					Г	Д	Е	Ж	И	К	Л		
Ус51	Ус51.00.000	2 × 4	8	10	876	1301	916	1340	1044	824	575	530	113
Ус52	Ус52.00.000	2 × 6	12	20	1703	1301	1744	1340	1044	1652	1265	515	174
Ус53	Ус53.00.000	3 × 6	18	31,5	1703	2051	1744	2090	1562	1652	1265	515	255
Ус54	Ус54.00.000	4 × 6	24	40	1703	2551	1744	2590	2080	1652	1265	515	322

### IV.3. ФИЛЬТРЫ ФЯЛ

Складчатые волокнистые фильтры ФяЛ типа ЛАИК (ФяЛ-1 и ФяЛ-2) выпускает Серпуховский опытно-экспериментальный завод (рис. IV.3).

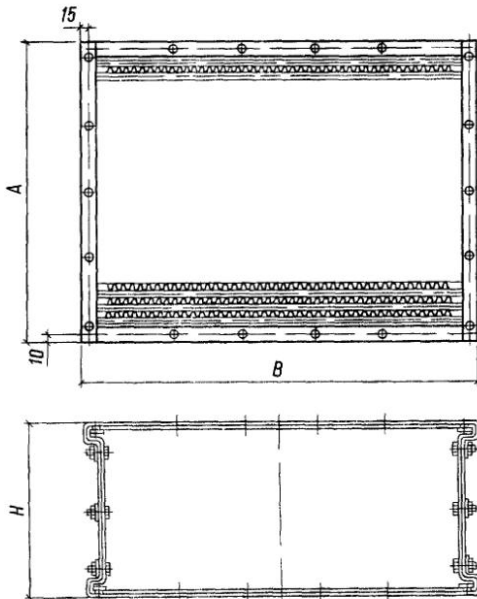


Рис. IV.3 Складчатый волокнистый фильтр типа ФяЛ (ФяЛ-1 и ФяЛ-2)

ТАБЛИЦА IV.5 ОСНОВНЫЕ ДАННЫЕ ФИЛЬТРОВ ФЯЛ

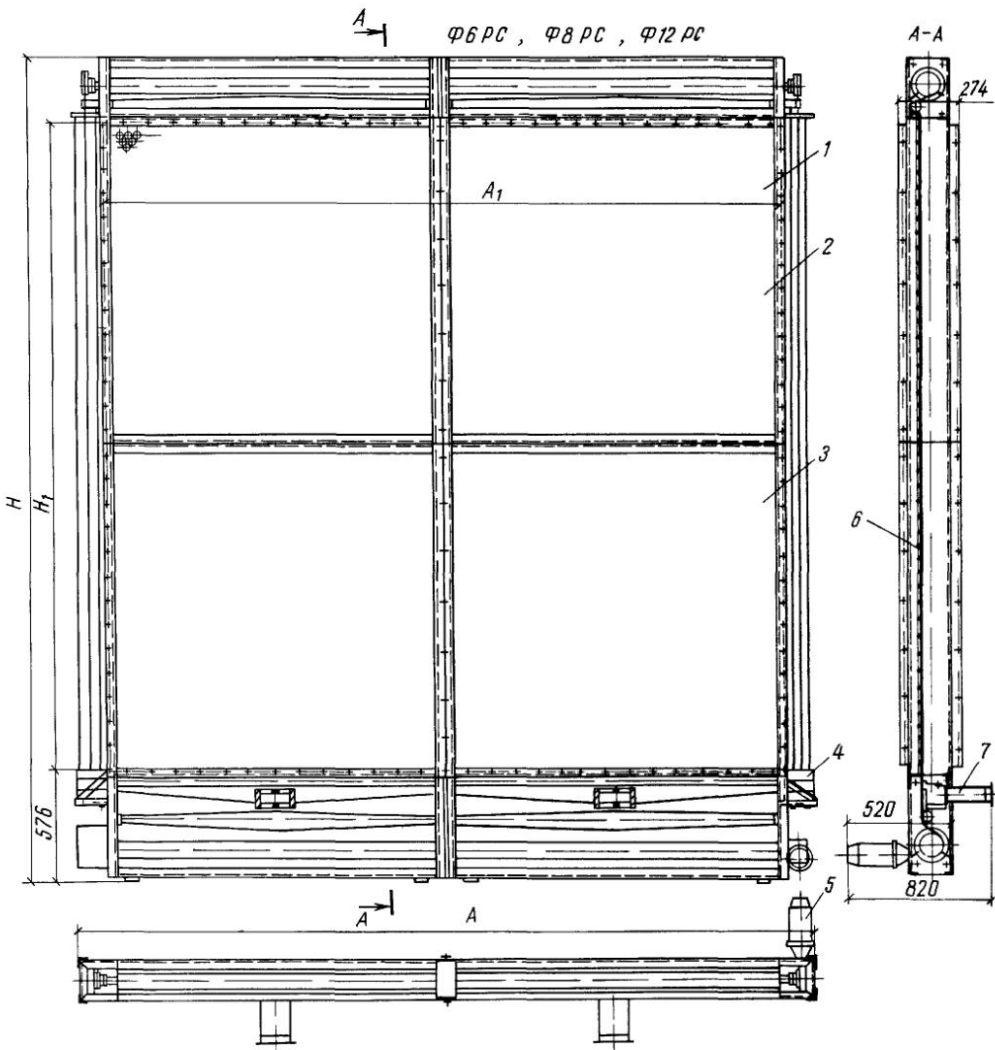
Показатель	ФяЛ-1	ФяЛ-2
Номинальная пропускная способность при удельной воздушной нагрузке 7000 м <sup>3</sup> /(ч·м <sup>2</sup> ), м <sup>3</sup> /ч	2300	2800
Начальное сопротивление, Па	100	$140^{+50}_{-20}$
Площадь, м <sup>2</sup> :		
рабочего сечения фильтрующей поверхности	0,33	0,4
фильтрующей поверхности	16	18
Пылеемкость фильтра (при увеличении сопротивления вдвое), г/м <sup>2</sup> , входного сечения	430	$550 \pm 20$
Эффективность (по методике СТНИИП), %	$99 \pm 1$	$99 \pm 1$
Фильтрующий материал	ФПП-15-1,5	
Масса, кг	43,7	38,0
Габаритные размеры, мм:		
A	550	$460 \pm 3$
B	710	900
H	310	310

### IV.4. ФИЛЬТРЫ ФРС

Рулонные фильтры ФРС выпускает производственное объединение «Калининмашдеталь» (рис. IV.4).

ТАБЛИЦА IV 6. ТЕХНИЧЕСКИЕ ДАННЫЕ ФИЛЬТРОВ ФРС

Показатель	Ф12РС	Ф8РС	Ф6РС	Ф4РС	Ф3РС
Номинальная пропускная способность, м <sup>3</sup> /ч, при удельной воздушной нагрузке 10 000 м <sup>3</sup> /(ч · м <sup>2</sup> )	125 000	80 000	60 000	40 000	31 500
Длина фильтрующего материала на катушке, м	10	6	5	6	5
Необходимый расход воздуха на пневмоочистку, м <sup>3</sup> /ч:	1500	1500	1500	750	750
Масса, кг	600	500	450	350	250
Габаритные размеры, мм:					
A	3825	3835	3835	2105	2105
A <sub>1</sub>	3453	3453	3453	1703	1703
H	4954	3452	2952	3452	2952
H <sub>1</sub>	4051	2551	2051	2551	2051
Вид фильтрующего материала	Ткань капроновая для сит арт. 25	OCT 1746-82 (допускается применение арт. 43 и 70)			
Начальное сопротивление, Па		Не более 50			
Средняя эффективность (при повышении сопротивления до 300 Па), %		95 ± 5			
Необходимое разрежение в системе пневмоочистки, Па		200–300			
Мощность электродвигателя, кВт		0,55			



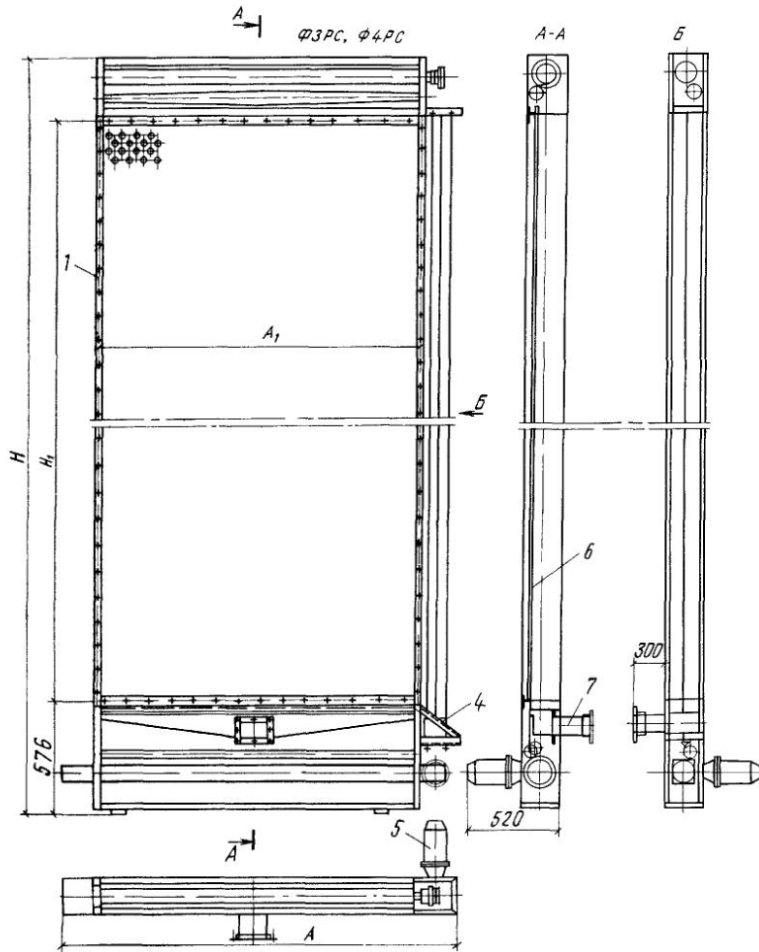


Рис. IV.4. Рулонные фильтры ФРС

1 – каркас фильтра; 2 и 3 – верхняя и нижняя секции, 4 – груз, 5 – узел привода, 6 – фильтрующий материал, 7 – воздуховод

## IV.5. ЭЛЕКТРОФИЛЬТРЫ ФЭ И ЭФ-2М

Электрофильтры ФЭ выпускает Серпуховский опытно-экспериментальный завод (рис. IV.5)

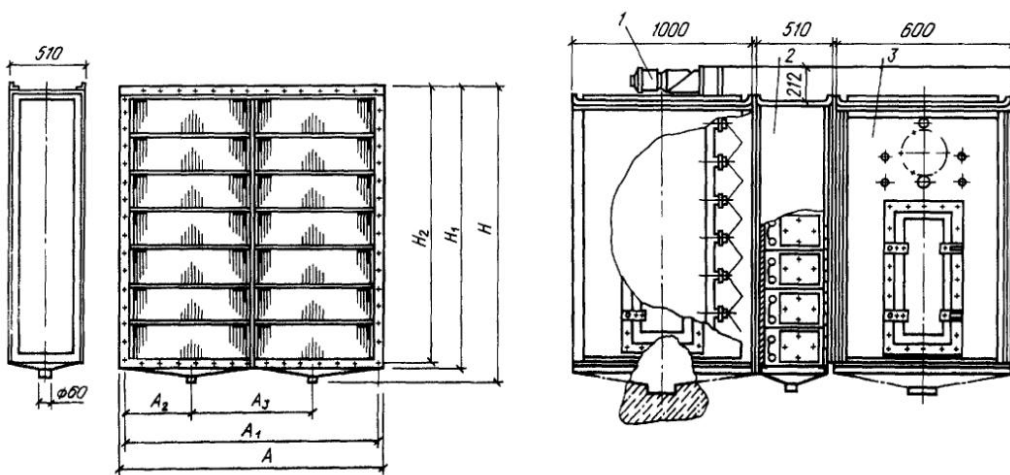


Рис. IV.5. Электрофильтр ФЭ

1 – промывочное устройство; 2 – электрофильтр, 3 – промежуточная камера

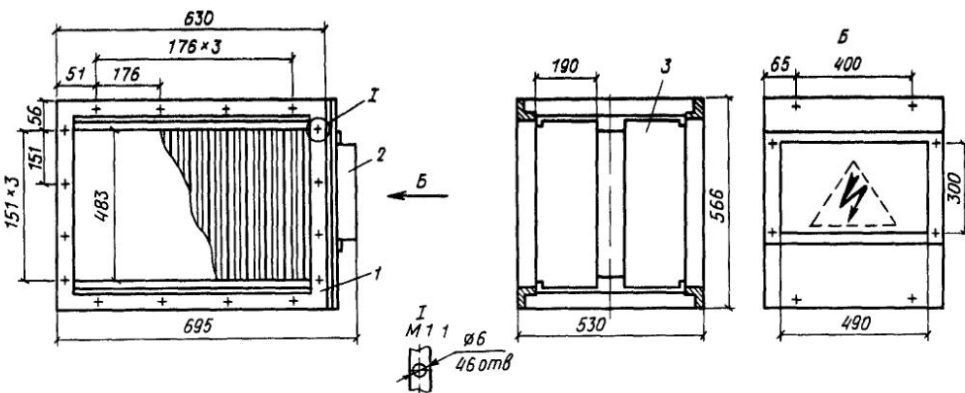


Рис. IV.6 Электрофильтр ЭФ-2М

1 – корпус электрофильтра, 2 – изолиторная коробка, 3 – ячейка

ТАБЛИЦА IV.7. ТЕХНИЧЕСКИЕ ДАННЫЕ ФИЛЬТРОВ ФЭ

Показатель	Ф1Э1	Ф3Э2	Ф5Э3	Ф8Э4	Ф10Э5	Ф14Э6	Ф18Э7
Пропускная способность, м <sup>3</sup> /ч, при скорости воздуха 2 м/с [при удельной воздушной нагрузке 7200 м <sup>3</sup> /(ч·м <sup>2</sup> )]	10 000	19 000	33 000	55 000	65 000	100 000	130 000
Площадь рабочего сечения, м <sup>2</sup>	1,5	2,9	4,9	8,9	9,8	14	18,5
Потребляемый ток, мА	7	14	24	42	54	81	110
Число агрегатов питания мощностью 0,6 кВт	1	1	2	3	3	6	8
Тип промышленного устройства	УС-5	УС-6	УС-7	УС-8	УС-9	УС-10	УС-11
Расход воды, м <sup>3</sup> , для промывки фильтра (при давлении 3 кгс/см <sup>2</sup> )	0,8	1,5	2,6	4,4	5,2	8	10,4
Число ячеек фильтра шириной, мм:							
755	7	14	—	24	—	—	—
965	—	—	12	18	36	54	72
Масса, кг	232	406	547	721	1180	1770	2312
Габаритные размеры, мм:							
A	856	1616	2126	2661	3161	3161	4161
A <sub>1</sub>	820	1580	2090	2625	3125	3125	4125
A <sub>2</sub>	428	423	543	428,5	533,5	533,5	544
A <sub>3</sub>	—	770	1058	902	1047	1047	1031
H	1918	1918	2422	3176	3176	4676	4676
H <sub>1</sub>	1840	1840	2344	3098	3098	4598	4598
H <sub>2</sub>	1804	1804	2308	3062	3062	4562	4562
Эффективность очистки (с противоуносным фильтром), %				90	95		
Начальное сопротивление, Па:							
с противоуносным фильтром				30			
без противоуносного фильтра				5			
Пылеемкость фильтра, г/м <sup>2</sup> , при увеличении его сопротивления (с противоуносным фильтром) в 2 раза				1500			
Напряжение, В:							
на коронирующих электродах				+ 13 000			
на осадительных пластинах				+ 6500			

## ВОЗДУШНЫЕ ЭЛЕКТРОФИЛЬТРЫ ЭФ-2М ВЫПУСКАЕТ КАЗАНСКИЙ ЗАВОД МЕДАППАРАТУРЫ (РИС. IV.6).

### ТЕХНИЧЕСКАЯ ХАРАКТЕРИСТИКА ЭФ-2М

Пропускная способность, м <sup>3</sup> /ч . . . . .	до 2000
Сопротивление фильтра, Па . . . . .	10
Эффективность очистки (по методике СТННИП), % . . . . .	96–99
Пылеемкость, г/м <sup>2</sup> , входного сечения . . . . .	1600
Потребляемый ток, мА . . . . .	4
Масса, кг . . . . .	90

## IV.6. ЦИКЛОНЫ

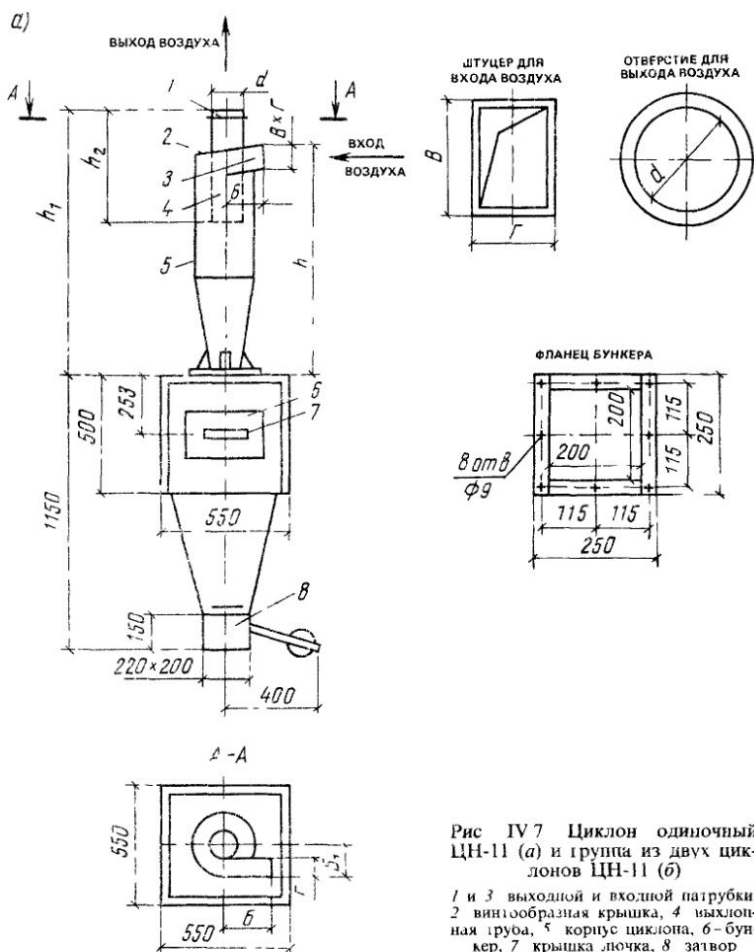


Рис. IV.7 Циклон одиночный ЦН-11 (а) и группа из двух циклонов ЦН-11 (б)

1 и 3 выходной и входной патрубки,  
2 винтообразная крышка, 4 выхлопная труба,  
5 корпус циклона, 6 - бункер,  
7 крышка лопатка, 8 затвор

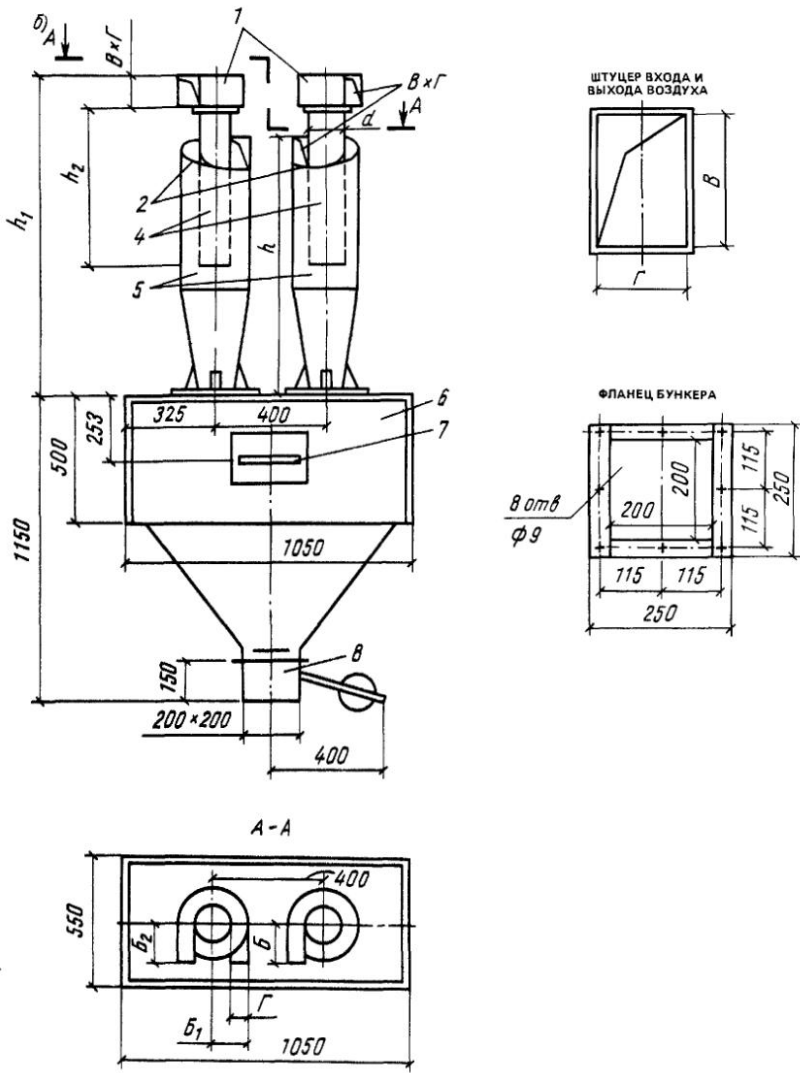


ТАБЛИЦА IV.8. КОНСТРУКТИВНЫЕ РАЗМЕРЫ, ММ, ОДНОЧНЫХ ЦИКЛОНОВ ЦН-11  
(РИС. IV.7, А) И ГРУППЫ ИЗ ДВУХ ЦИКЛОНОВ ЦН-11 (РИС. IV.7, Б)

Диаметр циклона, мм	<i>B</i>	<i>B</i> <sub>1</sub>	<i>B</i> <sub>2</sub>	<i>B</i>	<i>G</i>	<i>h</i>	<i>h</i> <sub>1</sub>	<i>h</i> <sub>2</sub>	<i>d</i>	Общая масса, кг
250	145	125	—	150	120	65	950	1070	465	115,72
								1170	445	187,65
315	183	158	—	190	150	82	1220	1360	580	128,94
								1493	560	221,37

Примечание. В числителе приведены данные для одиночных циклонов, в знаменателе — для группы из двух циклонов ЦН-11.

ТАБЛИЦА IV.9. КОНСТРУКТИВНЫЕ РАЗМЕРЫ КОРПУСА, ММ, ОДИНОЧНОГО ЦИКЛОНА ЦН-11 (РИС. IV.8)

Диаметр циклона <i>D</i> , мм	<i>B</i>	<i>B</i> <sub>1</sub>	<i>B</i>	<i>G</i>	<i>h</i>	<i>h</i> <sub>1</sub>	<i>h</i> <sub>2</sub>	<i>h</i> <sub>3</sub>	<i>d</i>	<i>d</i> <sub>1</sub>	<i>G</i> <sub>0</sub>	Площадь поперечного сечения корпуса циклона, м <sup>2</sup>	Масса циклона, кг
400	240	200	192	104	832	1862	734	800	240	120	80	0,1257	66
500	300	250	240	130	1040	2300	890	1000	300	150	100	0,1963	88
630	378	315	302	164	1310	2870	1095	1260	378	190	125	0,3117	247
800	480	400	384	208	1665	3615	1358	1600	480	240	160	0,5027	391

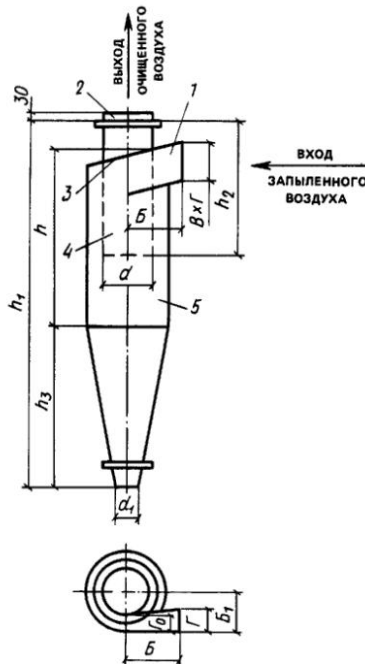


Рис. IV.8. Корпус одиночного циклона ЦН-11

1 и 2 – входной и выходной патрубки; 3 – винтообразная крышка; 4 – выхлопная труба; 5 – цилиндрическая часть корпуса

ТАБЛИЦА IV.10. КОНСТРУКТИВНЫЕ РАЗМЕРЫ, ММ, ЦИКЛОНОВ ЦН-11 НА ПОСТАМЕНТЕ (РИС. IV.9)

Обозначение компоновки	<i>D</i>	<i>A</i>	<i>B</i>	<i>B</i> <sub>1</sub>	<i>B</i>	<i>G</i>	<i>H</i>	<i>H</i> <sub>1</sub>	<i>h</i>	<i>h</i> <sub>1</sub>	<i>d</i>	Общая масса, кг
ЦН-11-400	400	856	240	200	192	104	4665	4880	1500	755	240	1364
ЦН-11-500	500	856	300	250	240	130	5065	5300	1500	755	300	1386
ЦН-11-630	630	1306	378	315	302	164	5885	6145	1800	1055	378	1723
ЦН-11-800	800	1306	480	400	384	208	6565	6855	1800	1055	480	1865

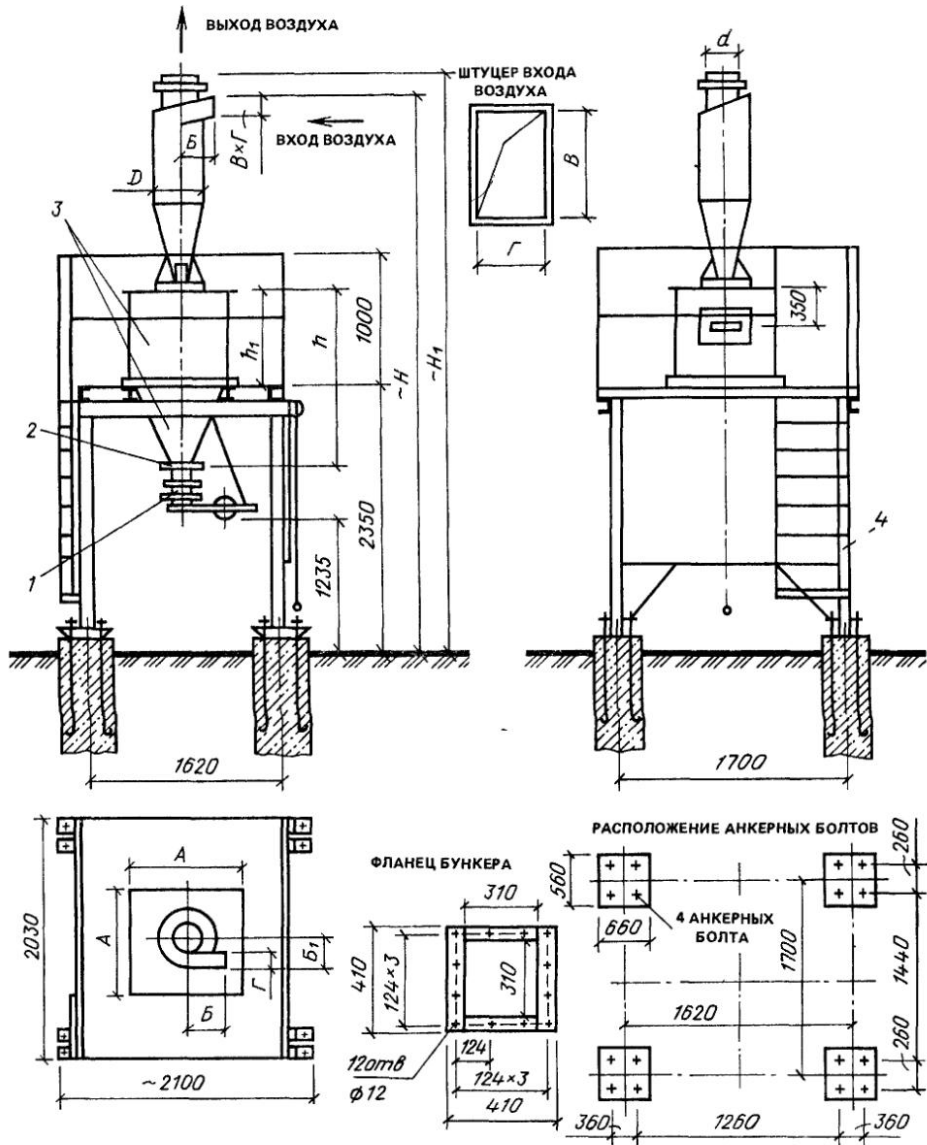
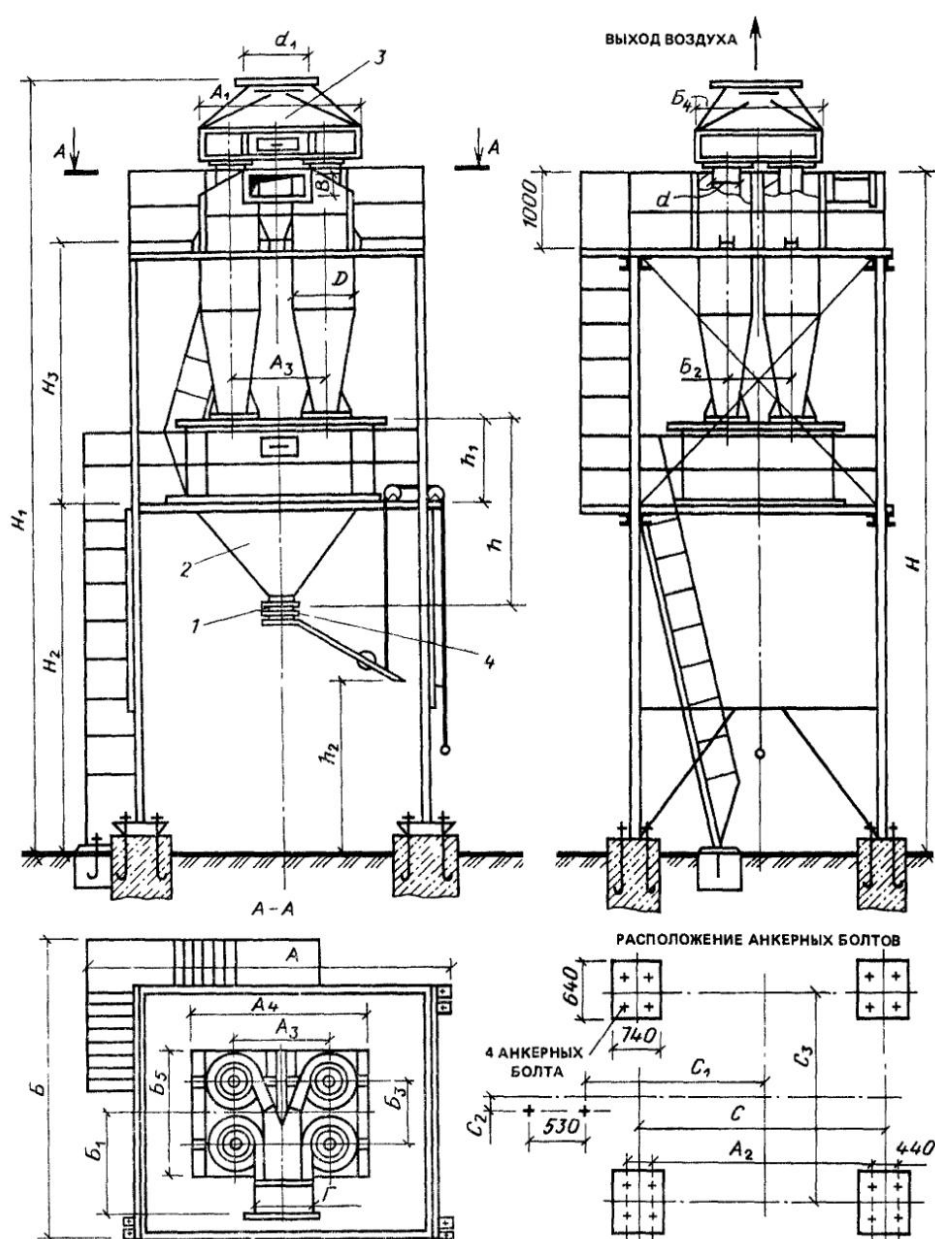


Рис. IV.9. Циклон ЧН-11 на постаменте  
1 – затвор, 2 – фланец бункера; 3 – бункер, 4 – постамент

ТАБЛИЦА IV.11. КОНСТРУКТИВНЫЕ РАЗМЕРЫ, ММ, ГРУППЫ ИЗ ЧЕТЫРЕХ ЦИКЛОНОВ ЦН-11

Обозначение компоновки	<i>D</i>	<i>A</i>	<i>A<sub>1</sub></i>	<i>A<sub>2</sub></i>	<i>A<sub>3</sub></i>	<i>A<sub>4</sub></i>	<i>B</i>	<i>B<sub>1</sub></i>	<i>B<sub>2</sub></i>	<i>B<sub>3</sub></i>	<i>B<sub>4</sub></i>	<i>B<sub>5</sub></i>	<i>B</i>	<i>G</i>
БДН-11-400	400		1076		618	1306		950		440	876	1306	192	426
БДН-11-500	500	4640	1334	3060	770	2060	4040	1070	2520	540	1084	1660	240	530
БДН-11-630	630		1664		972	2060		1215		670	1334	1660	302	670
БДН-11-800	800	4840	2084	3260	1230	2560	4440	1400	2920	840	1684	2060	384	846



НА ПОСТАМЕНТЕ С ВЫХОДОМ ВОЗДУХА ВВЕРХ ЧЕРЕЗ СБОРНИК (РИС. IV.10)

<i>C</i>	<i>C<sub>1</sub></i>	<i>C<sub>2</sub></i>	<i>C<sub>3</sub></i>	<i>H</i>	<i>H<sub>1</sub></i>	<i>H<sub>2</sub></i>	<i>H<sub>3</sub></i>	<i>h</i>	<i>h<sub>1</sub></i>	<i>h<sub>2</sub></i>	<i>d</i>	<i>d<sub>1</sub></i>	Общая масса, кг
3500	1990	155	2860	6865	7850	4250	2000	1800	1055	2740	240	450	5450
				7270	8350		2300	2000	1058		300	630	5980
				7790	8990		2500	2000	1058	2540	378	710	6872
3700	2090	355	3260	8870	1020	4650	3350	2400	1058		480	900	8565

ТАБЛИЦА IV.12. КОНСТРУКТИВНЫЕ РАЗМЕРЫ, ММ, ОДНОЧНЫХ ЦИКЛОНОВ ЦН-15 (РИС. IV.11)

<i>D</i>	<i>H</i>	<i>h</i>	<i>h<sub>1</sub></i>	<i>h<sub>2</sub></i>	<i>h<sub>3</sub></i>	<i>h<sub>4</sub></i>	<i>A</i>	<i>B</i>	<i>V</i>	<i>Г</i>	<i>E</i>	<i>ε</i>	<i>ρ</i>	<i>δ</i>	Масса, кг
400	3617	2696	2240							230	235	148	104	264	385
450	3865	2928	2435	715	785	365	1020	1020		265	265	166	117	297	409
500	4118	3164	2630							295	295	185	130	330	448
550	4721	3571	2995							325	320	203	143	363	569
600	4969	3812	3185	885	965	535	1180	1180		355	350	222	156	396	675
650	5222	4039	3380							385	380	240	169	429	672
700	5545	4275	3580							415	410	259	182	462	733
750	5893	4506	3770	885	1135	535	1276	1276		445	440	277	195	495	783
800	6141	4738	3965							475	470	296	208	528	840

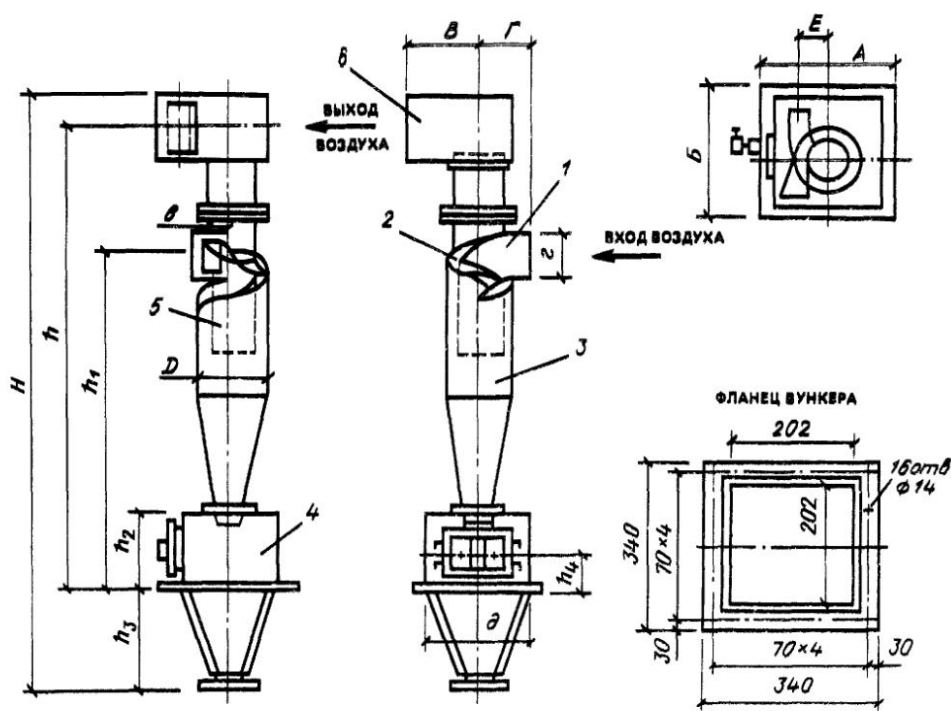


Рис. IV.11. Одиночные циклоны ЦН-15

1 – входной патрубок, 2 – винтообразная крышка, 3 – корпус, 4 – бункер, 5 – выпускная труба, 6 – улитка для выхода газа

Рис. IV.10. Группа из четырех циклонов ЦН-11 на постаменте

1 – фланец бункера, 2 – бункер, 3 – сборник, 4 – затвор

ТАБЛИЦА IV.13. КОНСТРУКТИВНЫЕ РАЗМЕРЫ, ММ, ГРУППЫ ИЗ ДВУХ ЦИКЛОНОВ ЦН-15 С ВЫХОДОМ ВОЗДУХА ЧЕРЕЗ КОЛПАК (РИС. IV.12)

<i>D</i>	<i>d</i>	<i>H</i>	<i>B</i>	<i>G</i>	<i>h<sub>1</sub></i>	Масса, кг
500	370	4770	1000	500	2630	805
550	430	5140	1100	550	2825	938
600	424	5505	1200	600	3075	1042
650	524	5725	1300	650	3325	1190
700	524	6195	1400	600	3580	1315
750	530	6685	1500	750	3825	1517
800	630	6985	1600	700	4075	1780

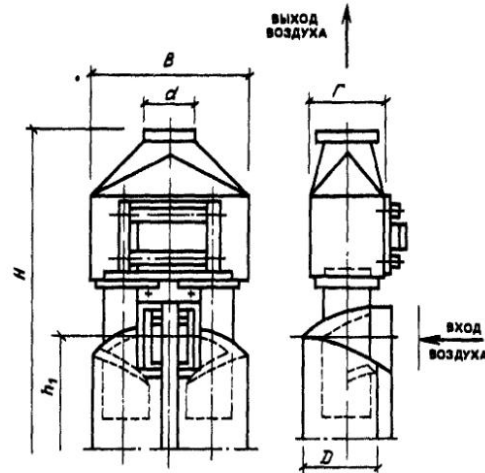
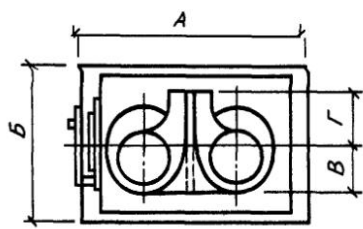
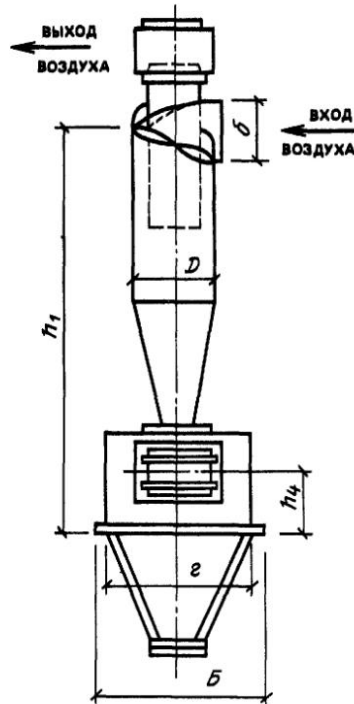
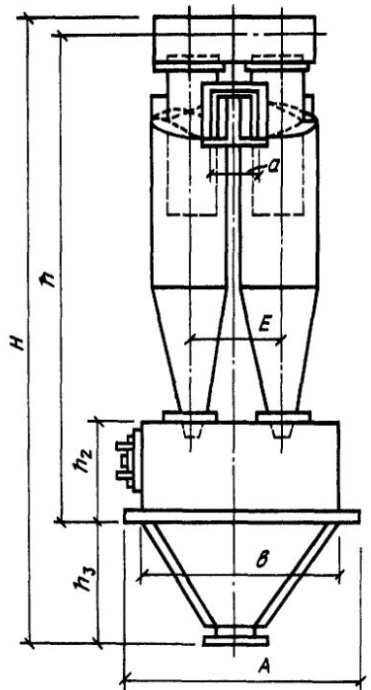


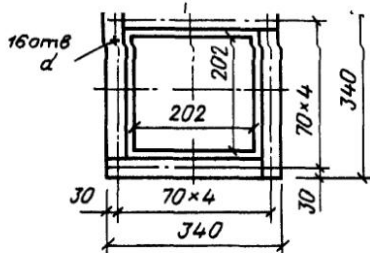
Рис. IV.12. Группа из двух циклонов ЦН-15 с выходом воздуха через колпак

ТАБЛИЦА IV.14. КОНСТРУКТИВНЫЕ РАЗМЕРЫ, ММ, ГРУППЫ ИЗ ДВУХ ЦИКЛОНОВ ЦН-15 С ВЫХОДОМ ВОЗДУХА ЧЕРЕЗ УЛИТКУ (РИС. IV.13)

<i>D</i>	<i>H</i>	<i>h</i>	<i>h<sub>1</sub></i>	<i>h<sub>2</sub></i>	<i>h<sub>3</sub></i>	<i>h<sub>4</sub></i>	<i>A</i>	<i>Б</i>	<i>B</i>	<i>G</i>	<i>E</i>	<i>a</i>	<i>б</i>	<i>в</i>	<i>г</i>	<i>d</i>	Масса, кг
500	4198	3164	2630	715	865	365	1422	1204	295	295	540	300	330	1258	1008	14	749
550	4571	3400	2825	715	985	365	1555	1260	320	325	590	326	353	1380	1050	14	872
600	4919	3692	3075	775	1095	365	1667	1309	350	355	640	352	396	1508	1108	14	982
650	5172	3983	3325	830	970	480	1790	1350	380	385	694	383	429	1630	1150	14	1135
700	5625	4275	3850	885	1115	535	1912	1408	410	415	724	388	462	1758	1208	18	1276
750	6098	4561	3825	940	1285	590	2050	1500	440	445	790	431	495	1880	1280	18	1446
800	6431	4848	4075	995	1315	646	2162	1614	470	475	824	440	528	2008	1408	14	1747



ФЛАНЕЦ БУНКЕРА  $D = 500-600 \text{ ММ}$



ФЛАНЕЦ БУНКЕРА  $D = 650-800 \text{ ММ}$

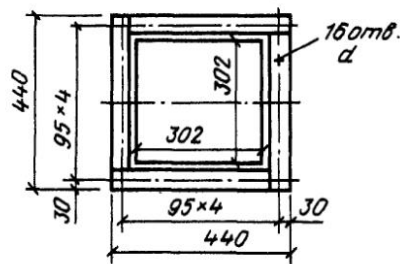


Рис. IV.13. Группа из двух циклонов ЦН-15 с выходом воздуха через улитку

**ТАБЛИЦА IV.15. КОНСТРУКТИВНЫЕ РАЗМЕРЫ, ММ, ГРУППЫ ИЗ ТРЕХ ЦИКЛОНОВ ЦН-15 С ВЫХОДОМ ВОЗДУХА ЧЕРЕЗ КОЛПАК (РИС. IV.14)**

D	d	H	h <sub>1</sub>	B	Г	a	б	Масса, кг
650	612	6800	3226	2110	750	429	429	2319
700	625	7255	3581	2260	700	462	462	2457
750	718	7820	3826	2410	750	495	495	2786
800	718	8205	4076	2560	800	528	528	3116

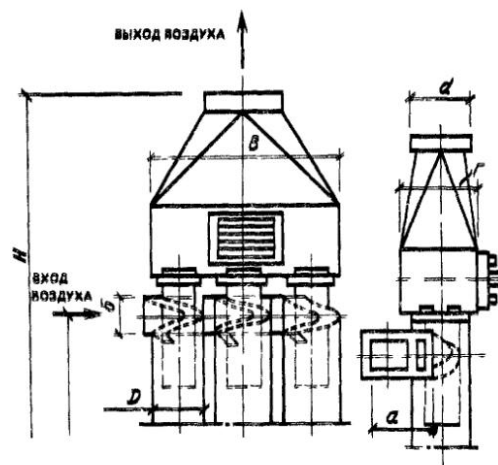


Рис. IV.14. Группа из трех циклонов с ЦН-15 с выходом воздуха через колпак

**ТАБЛИЦА IV.16. КОНСТРУКТИВНЫЕ РАЗМЕРЫ, ММ, ГРУППЫ ИЗ ЧЕТЫРЕХ ЦИКЛОНОВ ЦН-15 С ВЫХОДОМ ВОЗДУХА ЧЕРЕЗ КОЛПАК (РИС. IV.15)**

D	d	H	h	Г	И	a	б	Масса, кг
400	418	4235	2196	1000	455	456	264	1068
450	462	4490	2391	1125	510	508	297	1233
500	515	5070	2631	1250	565	560	330	1474
550	615	5375	2826	1375	615	620	363	1713
600	615	5750	3076	1500	680	672	396	1976
650	716	6080	3326	1620	725	724	429	2229
700	718	6569	3581	1750	780	776	462	2592
750	818	7000	3826	1870	835	828	495	2920
800	820	7470	4076	2000	890	880	523	3108

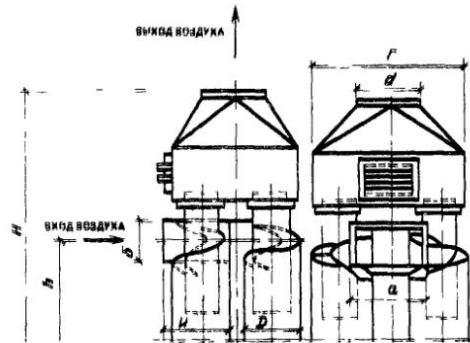


Рис. IV.15. Группа из четырех циклонов ЦН-15 с выходом воздуха через колпак

ТАБЛИЦА IV.17. КОНСТРУКТИВНЫЕ РАЗМЕРЫ, ММ, ГРУППЫ ИЗ ТРЕХ ЦИКЛОВ ЦН-15 С ВЫХОДОМ ВОЗДУХА ЧЕРЕЗ УЛИТКУ (РИС. IV.16)

<i>D</i>	<i>H</i>	<i>h</i>	<i>h</i> <sub>1</sub>	<i>h</i> <sub>2</sub>	<i>h</i> <sub>3</sub>	<i>h</i> <sub>4</sub>	<i>h</i> <sub>5</sub>	<i>h</i> <sub>6</sub>	<i>A</i>	<i>Б</i>	<i>В</i>	<i>Г</i>	<i>Е</i>	<i>Ж</i>	<i>a</i>	<i>б</i>	<i>в</i>	<i>г</i>	Мас-са, кг
650	6430	5887	3985	3326	831	1684	542	481	2605	2640	1110	1115	730	730	589	429	2440	1400	2092
700	6890	6315	4276	3581	886	1804	575	536	2772	1550	1190	1195	780	780	633	462	2610	1300	2313
750	7480	6873	4563	3826	941	2059	607	591	2955	1643	1270	1275	830	830	677	495	2785	1400	2672
800	7862	7221	4849	4076	996	2104	641	646	3124	1750	1350	1355	880	880	718	528	2960	1500	2829

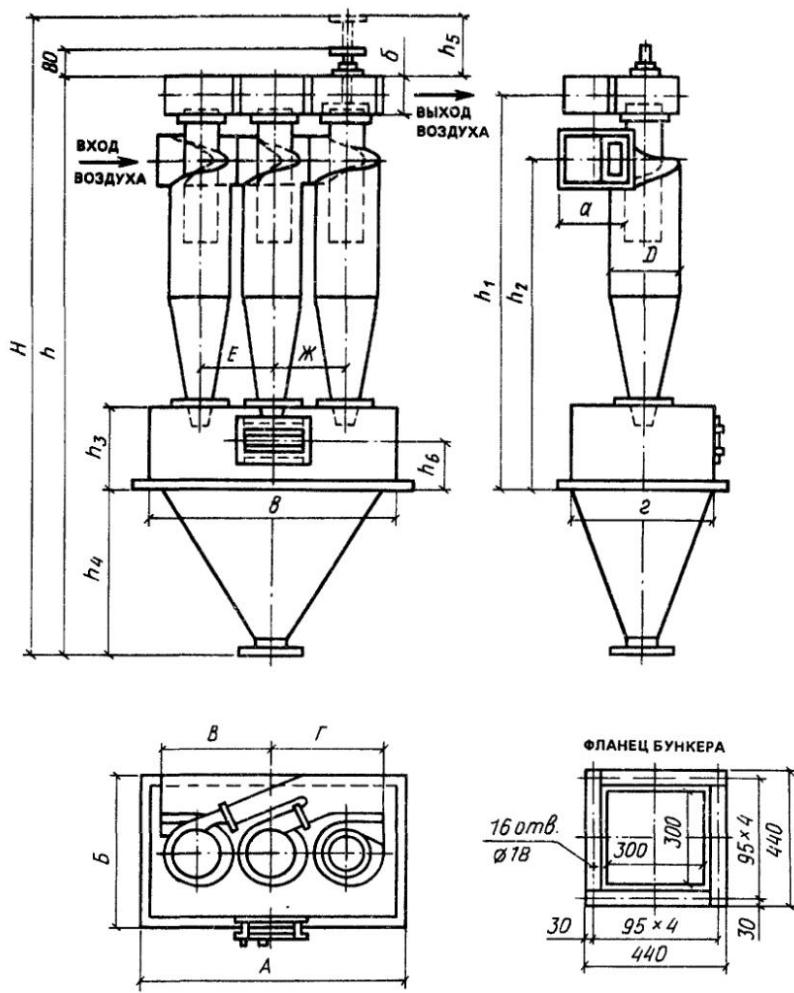


Рис. IV.16. Группа из трех циклонов ЦН-15 с выходом воздуха через улитку

ТАБЛИЦА IV.18. КОНСТРУКТИВНЫЕ РАЗМЕРЫ, ММ, ГРУППЫ ИЗ ЧЕТЫРЕХ ЦИКЛОНОВ ЦН-15 С ВЫХОДОМ ВОЗДУХА ЧЕРЕЗ УЛИТКУ (РИС. IV.17)

<i>D</i>	<i>H</i>	<i>h</i>	<i>h<sub>1</sub></i>	<i>h<sub>2</sub></i>	<i>h<sub>3</sub></i>	<i>h<sub>4</sub></i>	<i>h<sub>5</sub></i>	<i>h<sub>6</sub></i>	<i>A</i>	<i>B</i>	<i>C</i>	<i>E</i>	<i>Ж</i>	<i>a</i>	<i>b</i>	<i>c</i>	Масса, кг		
400	3995	3647	2652	2196	671	829	378	321	1248	1380	455	440	648	456	264	1040	1200	974	
450	4275	3865	3883,5	2391	671	829	410	321	1340	1528	510	510	480	724	508	297	1165	1350	1141
500	4880	4438	3164	2631	716	1104	442	366	1486	1676	565	565	540	800	560	330	1200	1500	1199
550	5247	4771	3401,5	2826	716	1184	476	366	1640	1830	615	620	590	884	620	363	1450	1650	1678
600	5628	5119	3693	3076	776	1224	509	426	1725	1960	610	675	640	960	672	396	1540	1800	1900
650	6014	5472	3984,5	3325	831	1269	542	481	1850	2120	725	730	590	1036	724	429	1660	1950	2148
700	6500	5925	4276	3581	886	1414	575	536	1972	2278	780	785	740	1112	776	462	1790	2100	2580
750	6985	6378	4562,2	3826	941	1559	607	591	2096	2416	835	840	790	1183	826	495	1910	2250	2868
800	7462	6821	4849	4076	996	1704	641	646	2230	2568	890	895	840	1264	880	528	2040	2400	3241

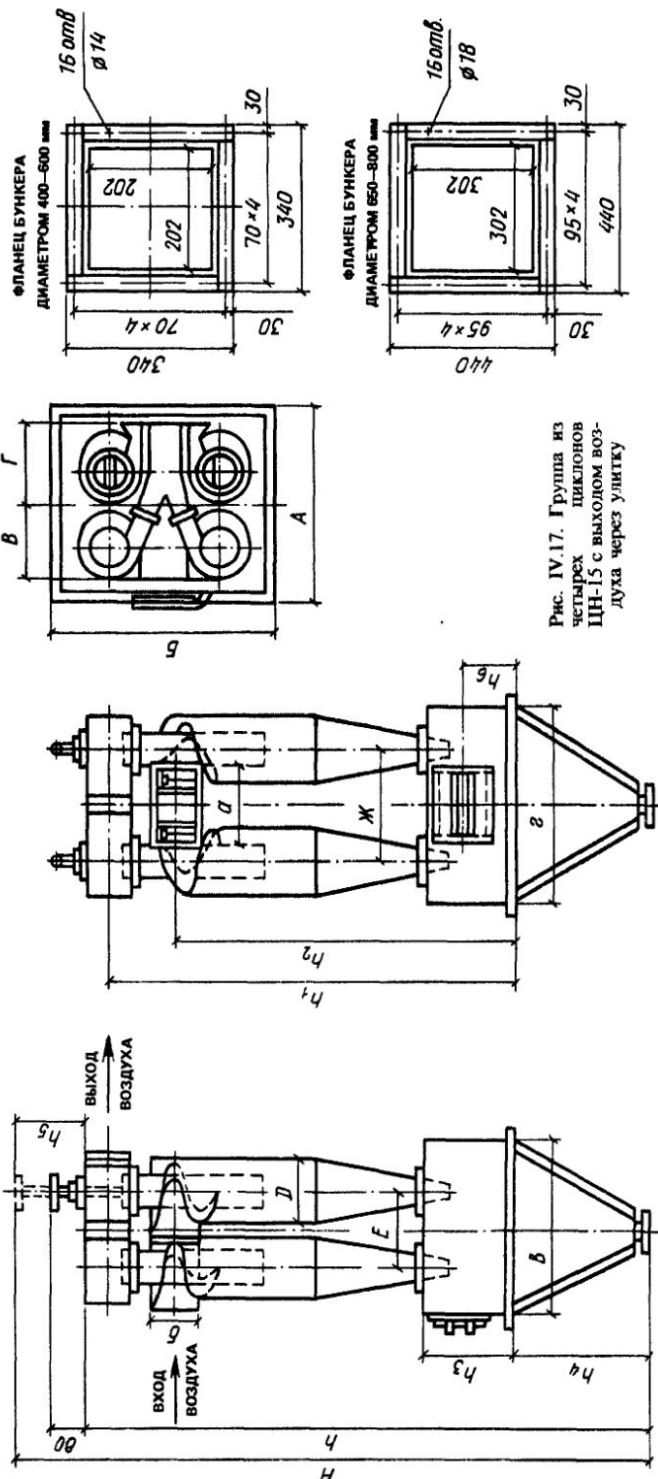


Рис. IV.17. Группа из четырех циклонов ЦН-15 с выходом воздуха через улитку

ТАБЛИЦА IV.19. КОНСТРУКТИВНЫЕ РАЗМЕРЫ, ММ, ЦИКЛОНОВ СИОТ (РИС. IV.18)

№ циклона	<i>A</i>	<i>A<sub>1</sub></i>	<i>A<sub>2</sub></i>	<i>A<sub>3</sub></i>	<i>B</i>	<i>B<sub>1</sub></i>	<i>B<sub>2</sub></i>	<i>B<sub>3</sub></i>	<i>B<sub>4</sub></i>	<i>D</i>	<i>H</i>	<i>h</i>	<i>h<sub>1</sub></i>	<i>h<sub>2</sub></i>	<i>h<sub>3</sub></i>	<i>h<sub>4</sub></i>	<i>d</i>	<i>d<sub>1</sub></i>	<i>d<sub>2</sub></i>	Масса, кг
1	703	368	264	135	675	345	255	355	760	650	1720	1360	235	130	95	595	170	68	325	51
2	1015	532	380	195	970	495	370	510	1100	930	2455	1960	335	175	135	850	245	98	465	102
3	1242	651	465	240	1184	610	450	624	1350	1140	2995	2400	407	305	165	1040	300	120	570	148
4	1428	748	535	275	1363	700	520	718	1550	1310	3440	2765	460	330	185	1195	345	138	655	195
5	1593	835	597	310	1520	780	580	800	1730	1460	3830	3075	525	360	205	1335	385	154	730	244
6	1698	890	635	330	1620	832	615	853	1840	1560	4080	3280	555	370	220	1420	410	164	780	275
7	1943	966	690	355	1758	900	670	926	2000	1690	4428	3555	605	385	240	1540	445	178	845	323

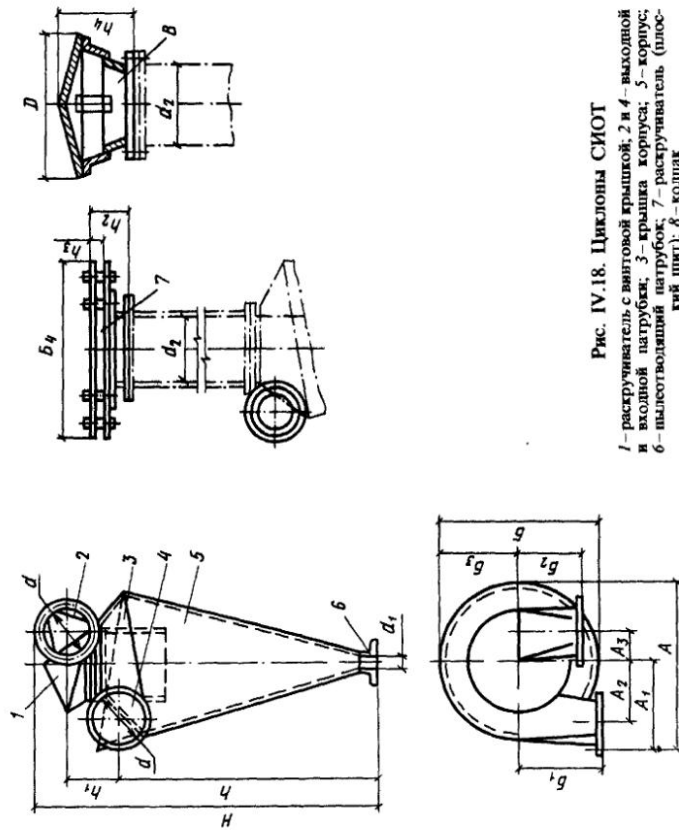


Рис. IV.18. Циклоны СИОТ

*1* – расстроичатель с винтовой крышкой; *2* и *4* – выходной патрубок и крышка корпуса; *3* – крышка корпуса; *5* – кориц; *6* – пылеуловительный патрубок; *7* – распределительная головка (плоский шар); *8* – колпак

ТАБЛИЦА IV.20. ТЕХНИЧЕСКИЕ ДАННЫЕ ЦИКЛОНОВ С ОБРАТНЫМ КОНУСОМ

№ циклона	Внутренний диаметр циклона, мм	Производительность циклона, м <sup>3</sup> /ч, при скорости воздуха во входном патрубке, м/с			Общая масса, кг	
		14	15	16	с бункером	с выдвижным ящиком
1	100	130	140	150	17,46	20,57
2	150	290	302	314	30,55	35,39
3	200	525	563	600	45,7	54,2
4	250	880	900	920	64,8	73
5	300	1170	1250	1330	124,6	97
6	370	1790	1395	2000	169,4	136
7	455	2620	2810	3000	231	192
8	525	3500	3750	4000	438,7	244,8
9	585	4375	4687	5000	528,5	296
10	645	525	5625	6000	588,7	352
11	695	6130	6565	7000	654	401,6

ТАБЛИЦА IV.21. ТЕХНИЧЕСКИЕ ДАННЫЕ ЦИКЛОНОВ КЛАЙПЕДСКОГО ОЭКДМ

№ циклона	Скорость воздуха во входном патрубке, м/с	Производительность циклона, м <sup>3</sup> /ч	Сопротивление циклонов, Па	Площадь сечения, м <sup>2</sup>	
				входного патрубка	цилиндрического стакана
12	13	2200	500		
	14	2360	600		
	15	2540	700		
	16	2700	800	0,042	0,385
	17	2860	900		
	18	3040	1000		

14	14	4230	600		
	15	4540	700		
16	16	4850	800		
	17	5130	900	0,084	0,502
18	18	5430	1000		

16	14	6400	600		
	15	6850	700		
17	17	7800	900	0,127	0,65
	18	8200	1000		
18	14	8100	600		
	15	8700	700		
16	16	9260	800	0,161	0,83
	17	10000	900		
18	18	10400	1000		

20	14	10 000	600		
	15	10 750	700		
16	16	11 450	800	0,2	1,04
	17	12 150	900		
18	18	12 900	1000		

Продолжение табл. IV.21

№ циклона	Скорость воздуха во входном патрубке, м/с	Производительность циклона, м <sup>3</sup> /ч	Сопротивление циклонов, Па	Площадь сечения, м <sup>2</sup>	
				входного патрубка	цилиндрического стакана
22	14	11 900	600		
	15	12 750	700		
	16	13 600	800	0,236	1,32
	17	14 400	900		
24	18	15 250	1000		
	14	14 400	600		
	15	15 400	700		
	16	16 450	800	0,286	1,5
26	17	17 500	900		
	18	18 500	1000		
	14	20 000	600		
	15	21 400	700		
30	16	22 800	800	0,397	2
	17	24 300	900		
	18	25 700	1000		
	14	22 200	600		
34	15	23 750	700		
	16	25 350	800	0,44	2,33
	17	26 950	900		
	18	28 500	1000		
14	14	30 200	600		
	15	32 400	700		
	16	34 600	800	0,6	3
	17	36 700	900		
18	18	38 800	1000		

ТАБЛИЦА IV.22. КОНСТРУКТИВНЫЕ РАЗМЕРЫ, ММ, ЦИКЛОНА С БУНКЕРОМ (РИС. IV.19)

№ циклона	$D_{\text{вн}}$	$D_1$	$D_2$	$D_3$	$D_4$	$A$	$B$	$B_1$	$B$	$H$	$H_1$	$h$	$h_1$	$h_2$	$a$	$a_1$	$a_2$	
1	100	140	165	50	10	268	130	200	75	520	750	200	300	50	100	70	18	
2	150	210	247	75	15	368	195	300	112	780	875	300	400	600	100	200	120	18
3	200	280	330	100	20	468	260	400	150	1040	1000	400	600	900	150	200	137	35
4	250	350	412	125	25	568	325	500	188	1300	1125	500	750	125	240	150	18	
5	300	420	495	150	30	730	930	600	225	1560	1250	600	900	150	200	137	35	
6	370	518	610	185	37	870	481	740	278	1924	1425	740	1110	185	250	157	35	
7	455	637	750	228	45,5	1040	592	910	341	2366	1638	910	1365	228	300	192	35	
8	525	735	866	263	52,5	1254	683	1050	394	2730	1813	1050	1575	263	250	207	55	
9	585	819	965	293	58,5	1374	761	1170	439	3042	1963	1170	1755	293	300	192	55	
10	645	903	1064	323	64,5	1494	839	1290	484	3354	2113	1290	1935	323	250	202	55	
11	695	973	1146	348	69,5	1594	904	1390	521	3614	2238	1390	2085	348	300	152	55	

Рис. IV.19. Циклон с бункером

1—выхлопная труба; 2—входной патрубок; 3—цилиндр; 4—обратный конус; 5—внутренний корпус; 6—бункер; 7—шибер; 8—кольцевая щель; 9—ось цилиндра циклона

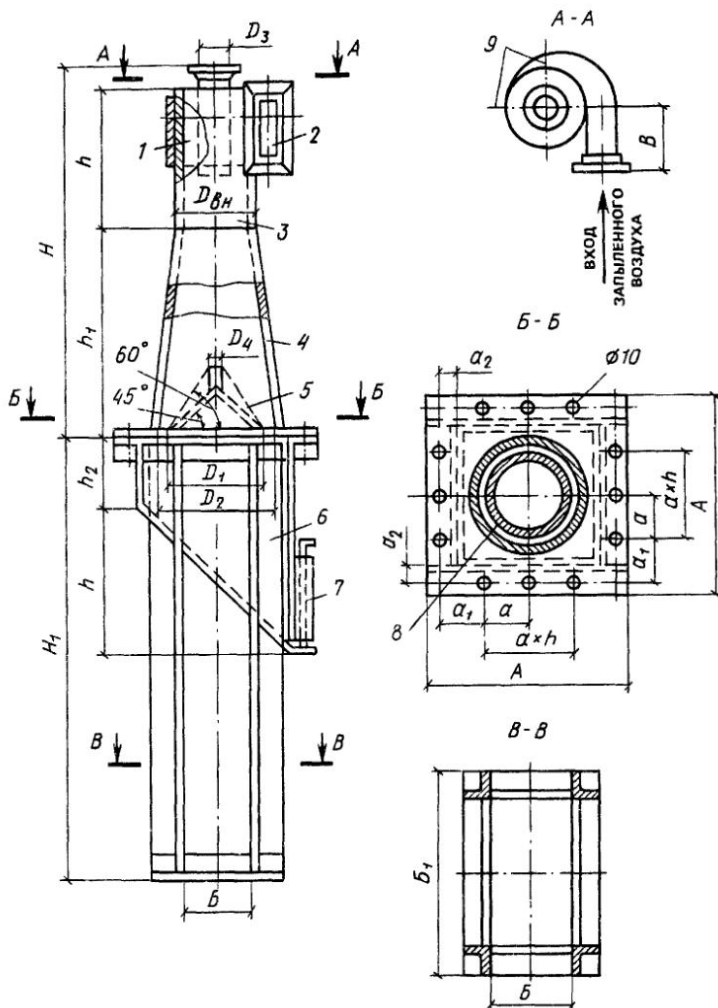


ТАБЛИЦА IV.23. КОНСТРУКТИВНЫЕ РАЗМЕРЫ, ММ.

№ циклона	D	D <sub>1</sub>	D <sub>2</sub>	D <sub>3</sub>	D <sub>4</sub>	A	B	B	Г	E
12	1200	170	700	1150	550	3780	2590	1190	1500	1360
14	1400	220	800	1300	650	4315	2935	1380	1700	1560
15	1600	300	910	1480	740	4915	3335	1580	1940	1760
18	1800	350	1030	1680	840	5565	3775	1790	2200	2020
20	2000	400	1150	1860	930	6150	4170	1980	2450	2260
22	2200	450	1300	2000	1000	6505	4365	2140	2490	2290
24	2400	480	1380	2230	1115	7295	4915	2380	2940	2740
26	2600	540	1595	2400	1215	8010	5415	2595	3300	3100
30	3040	600	1785	2790	1400	9160	6190	2970	3650	3380
34	3400	680	1950	3100	1550	10850	6975	3285	4110	3810

ТАБЛИЦА IV.24. ТЕХНИЧЕСКИЕ ДАННЫЕ ЦИКЛОНОВ Ц ГИПРОДРЕВПРОМА

Тип циклона	Производительность циклона, тыс. м <sup>3</sup> /ч	Площадь сечения входного патрубка, м <sup>2</sup>
Ц-250	0,5–0,7	0,00845
Ц-300	0,9–1	0,01235
Ц-375	1–1,5	0,01755
Ц-450	1,5–2	0,025
Ц-550	2,2–3,2	0,0378
Ц-600	2,6–3,25	0,045
Ц-675	3,25–4,5	0,0533
Ц-730	3,85–4,8	0,0668
Ц-800	4,5–6,6	0,08

Продолжение табл. IV.24

Тип циклона	Производительность циклона, тыс. м <sup>3</sup> /ч	Площадь сечения входного патрубка, м <sup>2</sup>
Ц-870	5,45–6,85	0,0948
Ц-950	6,6–9,5	0,115
Ц-1050	7,95–9,95	0,138
Ц-1150	9,5–14	0,155
Ц-1235	11–13	0,19
Ц-1320	12,55–13,7	0,218
Ц-1400	14–20	0,249
Ц-1500	15–23	0,277
Ц-1600	18,4–23	0,32

## ЦИКЛНОВ КЛАЙПЕДСКОГО ОЭКДМ (РИС. IV.20)

Ж	З	И	К	Л	М	а	б	l	Масса, кг
860	215	260	380	550	1210	220	190	570	263
1010	225	340	400	640	1410	310	270	750	363
1165	230	390	460	730	1600	410	310	850	472,5
1300	275	440	520	830	1800	460	350	970	628,5
1440	280	490	570	920	2000	510	390	1100	1057
1570	305	540	630	1070	2200	550	430	1150	1284
1725	250	590	685	1105	2400	610	470	1250	1352
1800	300	600	795	1200	2600	750	530	1300	1831
2160	345	735	855	1380	3000	760	580	1370	2489
2450	400	840	975	1460	3400	860	700	1550	2897

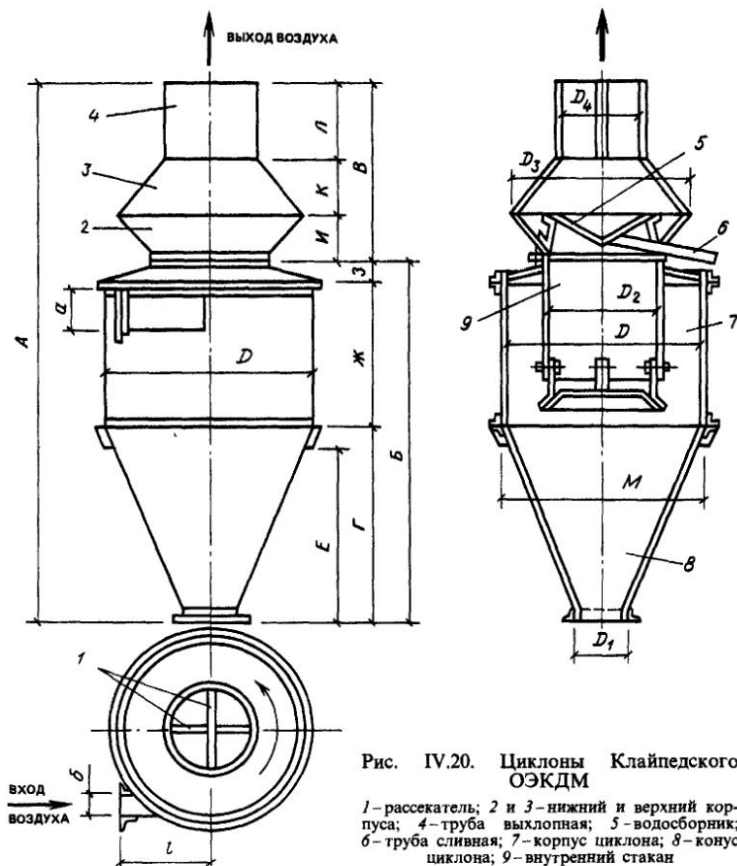


Рис. IV.20. Циклоны Клайпедского ОЭКДМ

1—рассекатель; 2 и 3—нижний и верхний корпуса; 4—труба выхлопная; 5—водоакуматор; 6—труба сливная; 7—корпус циклона; 8—конус циклона; 9—внутренний стакан

ТАБЛИЦА IV.25. КОНСТРУКТИВНЫЕ РАЗМЕРЫ, ММ, ЦИКЛОНОВ Ц ГИПРОДРЕВПРОМА  
(РИС. IV.21)

№ циклонов	$D_{\text{ин}}$	$D_1$	$D_2$	$d$	$d_1$	$H$	$H_1$	$H_2$	$h$	$h_1$	$h_2$	$h_3$	$h_4$	$l$	$A$	Общая масса, кг
Ц-250	250	150	270	100	105	1150	425	600	150	300	75	45	75	190	340	18,2
Ц-300	300	185	340	110	125	1380	525	700	185	370	90	55	90	225	390	26,3
Ц-375	375	225	410	135	150	1720	635	900	225	450	110	70	110	300	470	36
Ц-450	450	270	490	160	170	2035	765	1050	270	540	135	80	135	340	550	53,8
Ц-500	500	330	600	200	205	2505	935	1300	330	660	165	100	165	450	650	71
Ц-600	600	355	655	220	215	2755	1020	1440	360	720	180	110	180	450	730	80
Ц-675	675	400	720	250	230	3053	1130	1600	400	800	200	120	200	570	810	106,5
Ц-730	730	440	795	270	245	3345	1240	1750	440	880	220	130	220	550	865	103,4
Ц-800	800	480	870	300	260	3650	1360	1900	480	960	240	145	240	600	970	165,6
Ц-870	870	520	950	320	285	3980	1480	2080	520	1040	260	155	260	650	1040	184,5
Ц-950	950	575	1030	350	310	4335	1625	2250	575	1150	285	170	285	750	1080	207,5
Ц-1050	1050	630	1145	390	350	4815	1785	2520	630	1260	315	190	315	790	1283	247
Ц-1150	1150	690	1240	420	390	5255	1950	2750	690	1380	345	205	345	900	1300	322,5
Ц-1235	1235	740	1345	460	420	5635	2100	2960	740	1480	370	220	370	930	1406	333
Ц-1320	1320	790	1440	490	450	6045	2240	3170	790	1580	395	240	395	990	1508	462,5
Ц-1400	1400	840	1500	500	480	6395	2370	3350	840	1680	420	250	420	1050	1550	460
Ц-1500	1500	900	1620	550	500	6865	2540	3600	900	1800	450	270	450	1140	1650	516
Ц-1600	1600	960	1750	590	520	7335	2750	3840	960	1920	480	290	480	1200	1740	573

## IV.7. РУКАВНЫЕ ФИЛЬТРЫ

Выпускаются рукавные фильтры СМЦ-101А (РП) (рис. IV.22) и Г4-БФМ (рис. IV.23) (изготовитель – Щебекинский машиностроительный завод).

## ТЕХНИЧЕСКАЯ ХАРАКТЕРИСТИКА РУКАВНЫХ ФИЛЬТРОВ ТИПА РП

Типоразмер фильтра . . . . .	РП1	РП2	РП3
Площадь фильтрующей поверхности, м <sup>2</sup> . . . . .	55	115	205
Рабочая длина рукава, м . . . . .	2,45	5,1	9,1
Производительность продувочного вентилятора, м <sup>3</sup> /ч . . . . .	2000	3000	6000

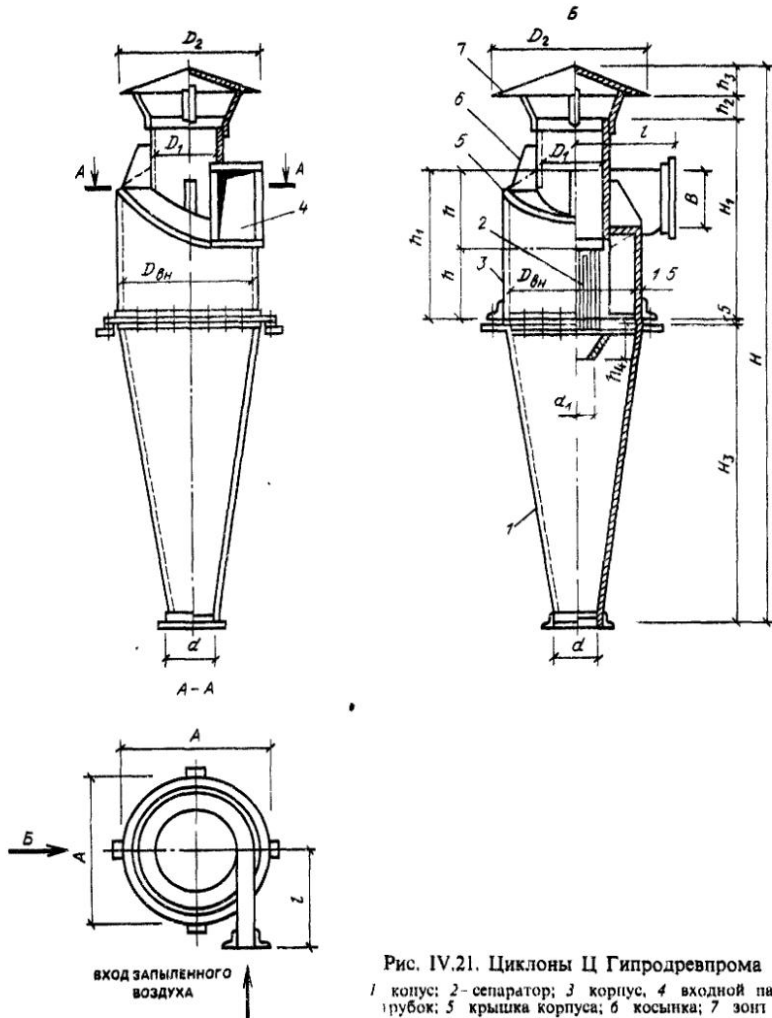


Рис. IV.21. Циклоны Ц Гипродревпрома  
 1 - корпус; 2 - сепаратор; 3 - корцус; 4 - входной патрубок; 5 - крышка корпуса; 6 - зонтичка

Габариты, мм . . . . .	3170 × 1710 × 5700	3170 × 1710 × 8940	3170 × 1710 × 13760
Масса (без электрооборудования), т, не более . . . . .	2,3	3,1	4,3
Фильтрующий материал . . . . .	Лавсан (ТУ 17-РСФСР-8174-75)		
Удельная газовая нагрузка на ткань, м <sup>3</sup> /(м <sup>2</sup> · мин) . . . . .	0,8-1,2		
Допустимая запыленность газа, г/м <sup>3</sup> . . . . .	50		
Диаметр рукавов, мм . . . . .	200		
Количество рукавов:			
в камере . . . . .	18		
в фильтре . . . . .	36		
Сопротивление фильра перед регенерацией, кПа . . . . .	1,9		
Продолжительность регенерации одной камеры, м/с . . . . .	120-180		
Напор продувочного воздуха, кПа . . . . .	0,8-1,5		
Установочная мощность, кВт . . . . .	0,09		

ТАБЛИЦА IV.26. ГАБАРИТНЫЕ И ПРИСОЕДИНИТЕЛЬНЫЕ РАЗМЕРЫ, ММ, ФИЛЬТРОВ ТИПА РП  
(РИС. IV.22)

Типоразмер фильтра	<i>L</i>	<i>H</i>	<i>H</i> <sub>1</sub>	<i>H</i> <sub>2</sub>	<i>H</i> <sub>3</sub>	<i>H</i> <sub>4</sub>	<i>H</i> <sub>5</sub>
РП1	2520	5700	3335	1440	700	2080	2420
РП2	2720	8940	6015	1620	900	5100	5100
РП3	3160	13 760	10 035	1820	1300	9120	9460

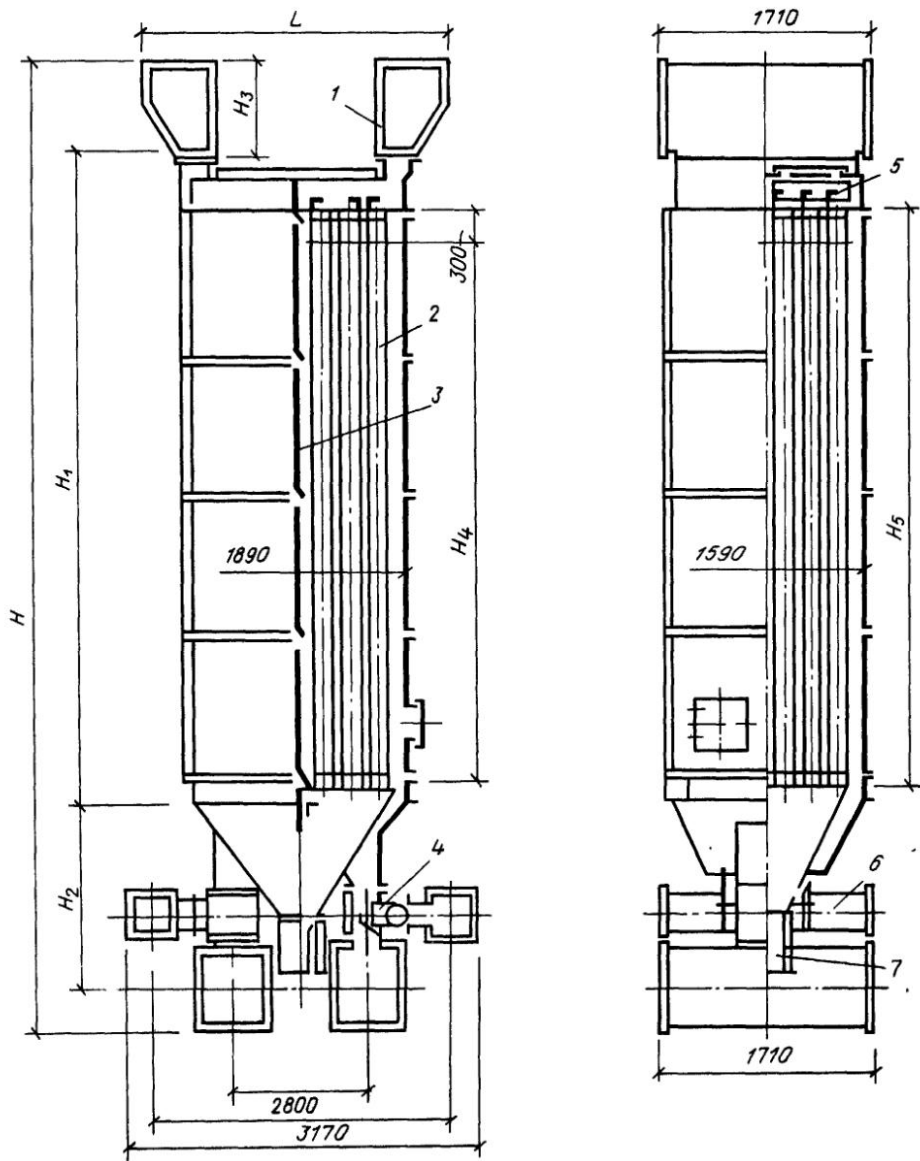


Рис. IV.22. Рукавный фильтр СМЦ-101А (РП)

1 - коллектор; 2 - рукав, 3 - корпус, 4 - клапан; 5 - подвеска; 6 - коллектор продувочного воздуха; 7 - затвор

### ТЕХНИЧЕСКАЯ ХАРАКТЕРИСТИКА РУКАВНЫХ ФИЛЬТРОВ ТИПА Г4-БФМ

Типоразмер фильтра . . .	Г4-1БМФ-30	Г4-1БФМ-45	Г4-1БФМ-60	Г4-1БФМ-90
Площадь фильтрующей поверхности, м <sup>2</sup> . . .	30	45	60	90
Количество секций . . .	2	3	4	6
Количество рукавов . . .	36	54	72	108
Масса, т . . .	1,1	1,4	1,65	2,22
Габариты, мм:				
длина . . .	1435	1970	2490	3532
ширина . . .	1580	1580	1580	1580
высота . . .	4325	4325	4325	4325
Фильтрующий материал . . .				
Диаметр рукава, мм . . .	135			
Сопротивление, кПа . . .	Не более 1,3			
Допустимое разрежение внутри фильтра, кПа . . .	3			
Допустимая запыленность воздуха, г/м <sup>3</sup> . . .	15			
Продолжительность встрихивания рукавов за один цикл, с	12–15			
Интервал между циклами встрихивания, мин . . .	3–4			
Установленная мощность электродвигателей, кВт . . .	Не более 1,4			

### Фильтровальное сукно № 2

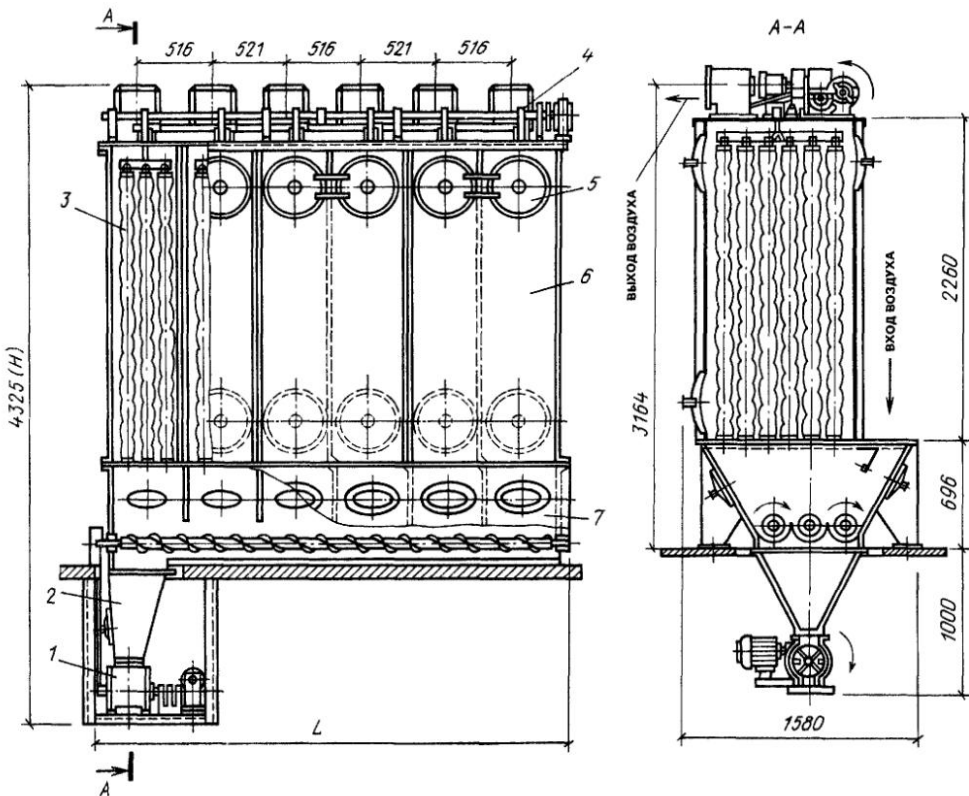


Рис. IV.23. Рукавный фильтр типа Г4-1БФМ

1 – шлюзовой затвор с электроприводом; 2 – сборник пыли; 3 – рукав; 4 – крышка с механизмом встрихивания; 5 – люк; 6 – шкаф;

7 – желоб

#### IV.8. СКОРОСТНЫЕ ПРОМЫВАТЕЛИ СИОТ

ТАБЛИЦА IV.27. ТЕХНИЧЕСКИЕ ДАННЫЕ ПРОМЫВАТЕЛЕЙ СИОТ

Показатель	№ скоростного промывателя СИОТ								
	5	6	7	8	9	10	11	12	13
Диаметр входного патрубка, мм	560	665	790	940	1120	1330	1500	1880	2240
Производительность, тыс. м <sup>3</sup> /ч, при входной скорости, м/с:									
14	12,5	17,5	25	35	50	70	100	140	200
20	17,5	25	35	50	70	100	140	200	280
Расход воды (максимальный), м <sup>3</sup> /ч	2	2,8	3,9	5,5	7,7	11	15,5	22	31
Расчетная нагрузка на строительные конструкции, т	2,2	4	5,5	9	14	22	32	53	95

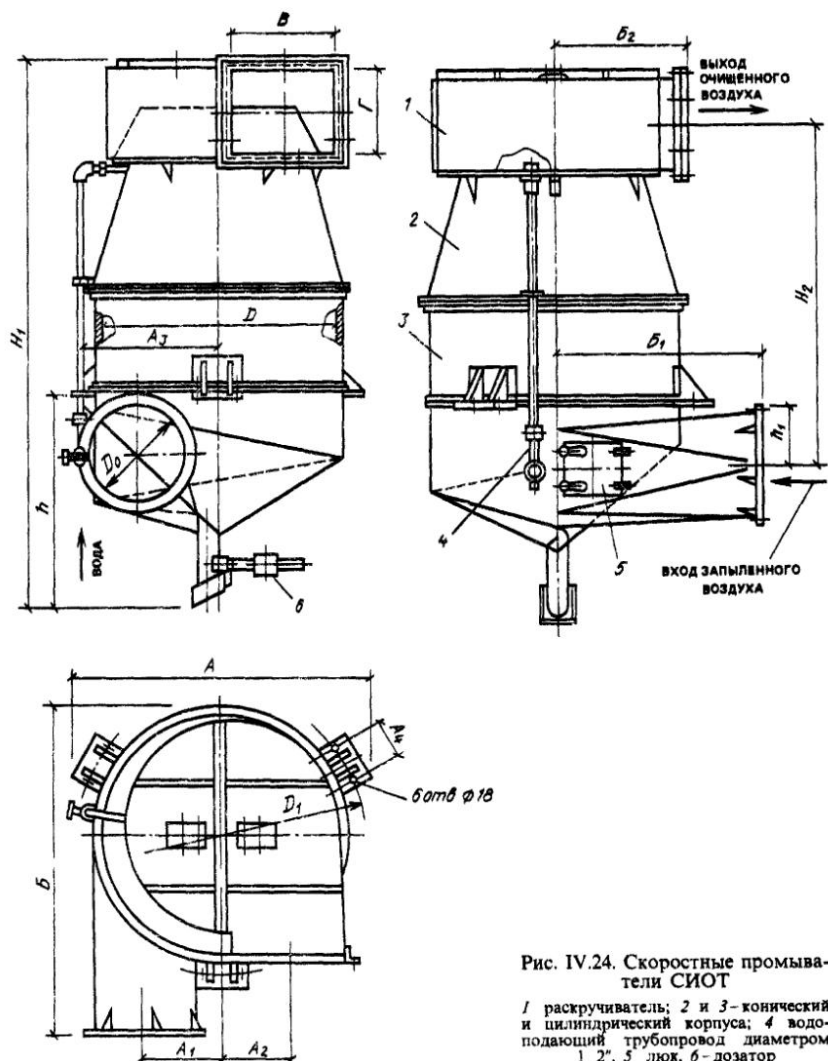


Рис. IV.24. Скоростные промыватели СИОТ

1 - раскручиватель; 2 и 3 - конический и цилиндрический корпуса; 4 - водоподавющий трубопровод диаметром 1 1/2"; 5 - лок, 6 - дозатор

ТАБЛИЦА IV.28. КОНСТРУКТИВНЫЕ РАЗМЕРЫ, ММ, СКОРОСТНЫХ ПРОМЫВАТЕЛЕЙ СИОТ (РИС. IV.24)

№ про- мывате- ля	Обозначение общего вида промывателя	<i>D</i>	<i>D<sub>1</sub></i>	<i>A</i>	<i>A<sub>1</sub></i>	<i>A<sub>2</sub></i>	<i>A<sub>3</sub></i>	<i>A<sub>4</sub></i>	<i>B</i>	<i>B<sub>1</sub></i>	<i>B<sub>2</sub></i>	<i>H<sub>1</sub></i>	<i>H<sub>2</sub></i>	<i>h</i>	<i>h<sub>1</sub></i>	Общая масса, кг	<i>D<sub>0</sub></i>	<i>R</i>	<i>Г</i>
5	Ф105	1344	1545	1590	448	366	784	180	1855	1125	752	3170	1900	1295	367	755	560	618	504
6	Ф106	1596	1795	1800	532	435	910	180	2190	1335	850	3660	2255	1445	430	1070	665	734	600
7	Ф107	1896	2095	2085	632	517	1062	220	2590	1585	947	4250	2674	1632	500	1440	790	870	711
8	Ф108	2256	2515	2500	752	617	1251	230	3160	1885	1200	4970	3161	1835	531	2300	940	1036	846
9	Ф109	2688	2945	2900	896	734	1470	230	3740	2245	1347	5820	3758	1960	692	3150	1120	1234	1008
10	Ф110	3192	3450	3320	1064	872	1722	230	4415	2665	1655	6820	4465	2590	920	4500	1330	1465	1197
11	Ф111	3792	3905	3800	1264	1036	2060	250	5260	3165	1945	8000	5033	3170	1002	5950	1580	1741	1422
12	Ф112	4512	4625	4520	1504	1231	2420	310	6220	3765	2147	9430	6309	3650	1463	8700	1880	2072	1692
13	Ф113	5400	5565	5420	1800	1475	2915	430	7450	4495	2739	11170	7526	4900	2380	14030	2240	2480	2000

ТАБЛИЦА IV 29 РАЗМЕРЫ ФЛАНЦЕВ, ММ, ПАТРУБКОВ ПРОМЫВАТЕЛЕЙ СИОТ (РИС. IV.25)

№ промыва- теля	D	D <sub>1</sub>	D <sub>2</sub>	Число от- верстий <i>n<sub>3</sub></i>	B	B <sub>1</sub>	Г	Г <sub>1</sub>	C	C <sub>1</sub>	a × b	Число шагов	Число от- верстий <i>n<sub>2</sub></i>	
												<i>n</i>	<i>n<sub>1</sub></i>	
5	570	610	640		628	728	514	614	172	191		4	3	14
6	675	715	745	12	744	844	610	710	161	167	13 × 18	5	4	18
7	800	840	870		880	980	721	821	188	195				
8	950	1000	1040		1046	1196	856	1006	189	189		6	5	22
9	1130	1180	1220	16	1244	1394	1018	1168	190	185	17 × 24	7	6	26
10	1340	1390	1430		1475	1625	1207	1357	195	185		8	7	30
11	1590	1640	1680		1751	1901	1432	1582	184	190		10	8	36
12	1890	1940	1980	24	2082	2232	1702	1852	197	199	17 × 24	11	9	40
13	2250	2300	2340		2492	2692	2012	2212	200	193		13	11	48

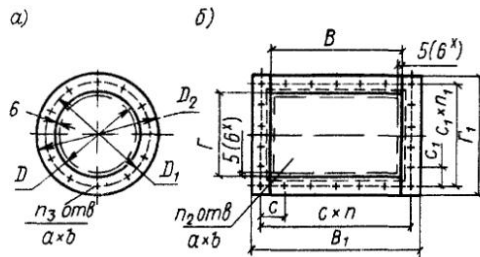


Рис IV 25 Фланцы патрубков входного (а) и выходного (б) (размеры со звездочкой относятся к циклону № 13)

## IV.9. ПЫЛЕУЛОВИТЕЛИ

ГАБЛИЦА IV 30 РАСХОД ВОДЫ НА ОДИН ПЫЛЕУЛОВИТЕЛЬ ТИПА КМП

Индекс установки	Расход воды для пленочного орошения конфузора, м <sup>3</sup> /ч	Максимальный диаметр сопла центральной форсунки, мм	Расход воды, м <sup>3</sup> /ч	Число форсунок
			при периодическом смыыве со стенок каплеуловителя	
КМП2,5-00 00.000	0,65	8,5	1,2	8
КМП3,2-00.00.000	1	12	1,5	10
КМП4,0-00.00.000	1,5	14	1,8	12
КМП5,0-00.00.000	2,2	17	1,8	12
КМП6,3-00.00.000	3	22	2,7	18
КМП7,1-00.00.000	3,4	24	3	20
КМП8,0-00.00.000	3,8	28	3,6	24

ТАБЛИЦА IV.31. ТЕХНИЧЕСКИЕ ДАННЫЕ ПЫЛЕУЛОВИТЕЛЕЙ ПВМ (РИС. IV.26)

Показатель	Типоразмер пылеуловителей							
	3КА	5СА	5КБ	5КМА	10СА	10Б	10КБ	10КМА
Номинальная производительность по воздуху, м <sup>3</sup> /ч	3000	5000			10000			20000
Тип и № установленного вентилятора	В-Ц14-46 № 2,5		В-ЦП6-45 № 5		В-ЦП6-45 № 6,3		В-ЦП6-45 № 8	В-ЦП6-45 № 10
Объем волны в бункере пылеуловителя, м <sup>3</sup>	0,7	1,2	2	0,75	1,45	1,45	2,3	1,25
Масса пылеуловителя без волны и электродвигателя, кг	747	1200	1265	835	2610	1520	1828	1100
Габариты, мм:								
ширина А	1145	1590	1536	1165	2390	2360	1414	2100
длина В	1315	1370	3040	2300	1514	1950	3840	2300
высота H	3185	3575	3600	2505	4145	4140	4000	2550

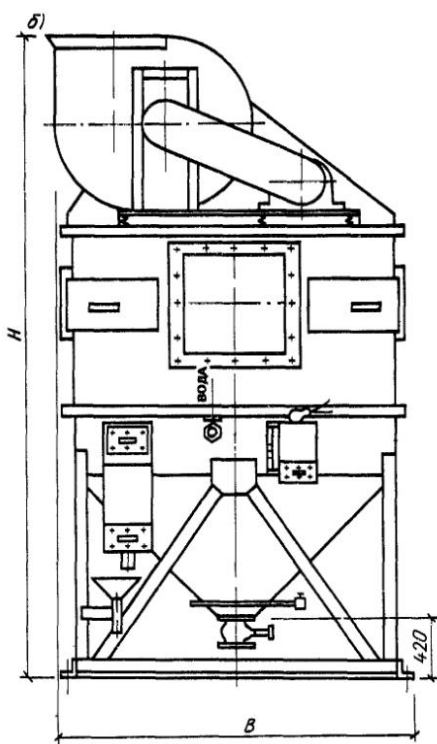
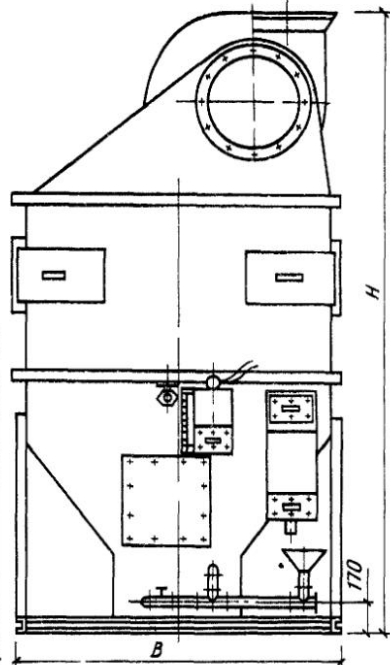
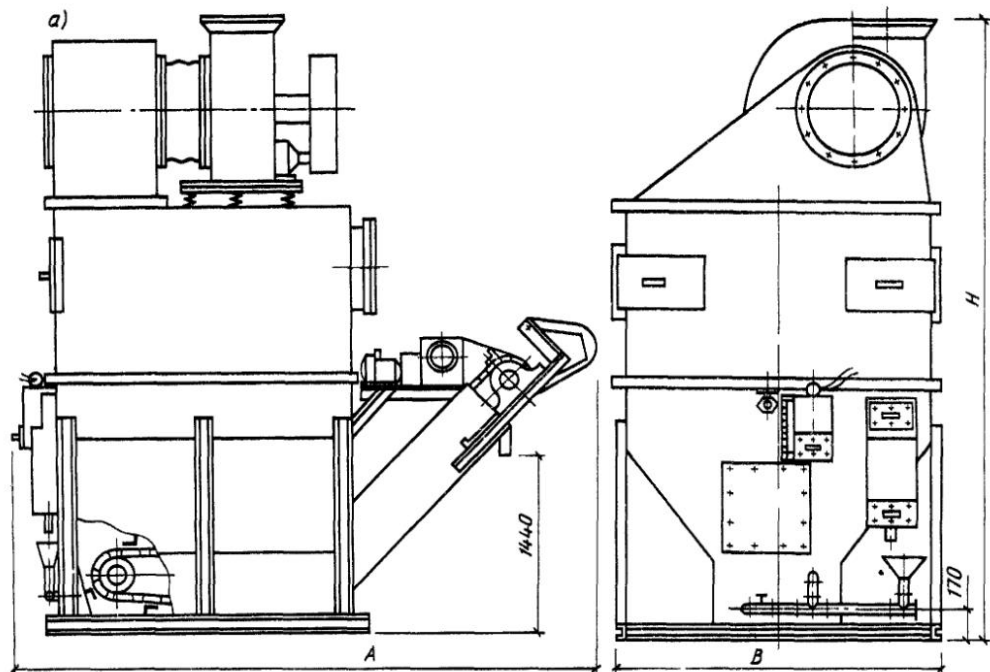


Рис IV 26 Пылеуловители ПВМ

*а*—ПВМКБ со скребковым удалением шлама, *б*—ПВМСА со сливным удалением шлама, *в*—ПВМБ для улавливания плохо смачиваемой мелкой пыли, *г*—ПВМКМА для улавливания алюминиевой, цинковой и гипсовой пылей

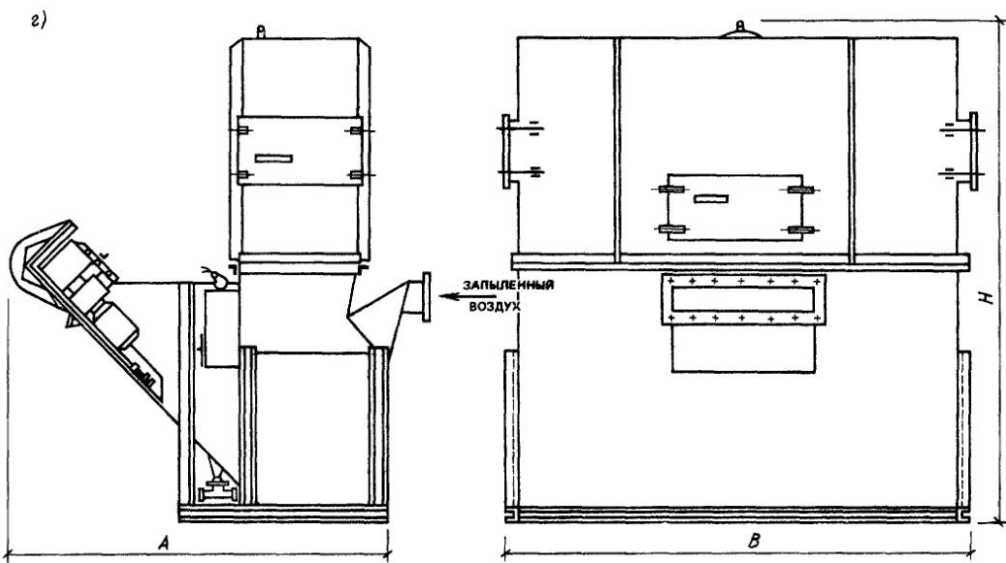
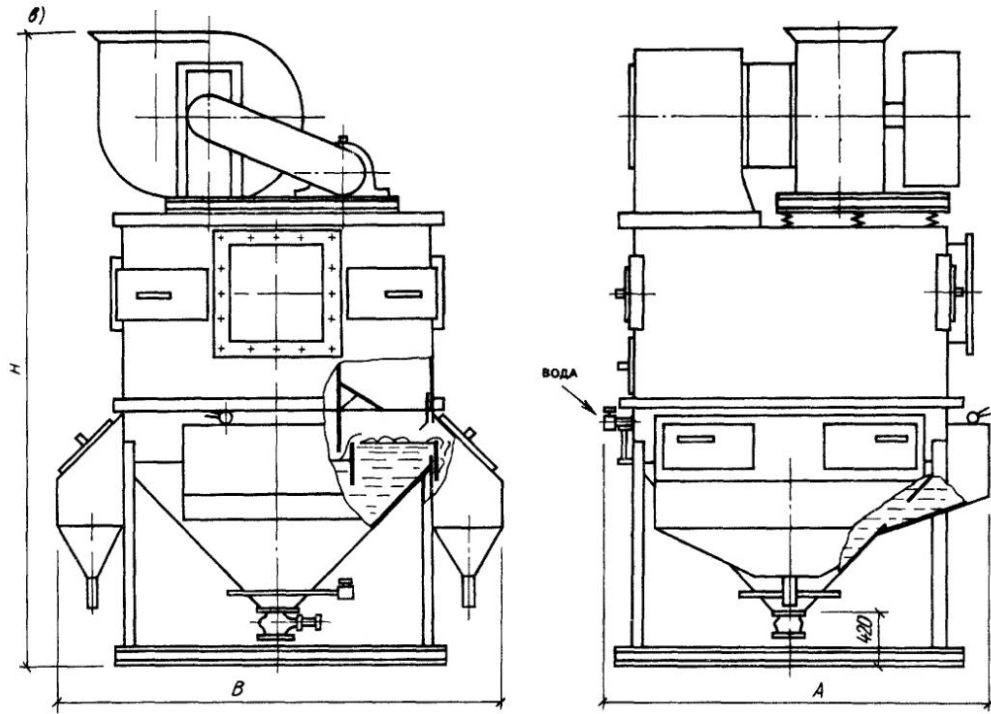


ТАБЛИЦА IV.32. КОМПЛЕКТАЦИЯ ПЫЛЕУЛОВИТЕЛЕЙ ТИПА КМП

Обозначение установки	Индекс	
	трубы коагулатора	кашевуюловителя исполнения
КМП2,5-00,00,000 КМП2,5-00,00,000-01	КМП2,5-01,00,000	КМП2,5-02,00,000 КМП2,5-02,00,000-01
КМП3,2-00,00,000 КМП3,2-00,00,000-01	КМП3,2-02,00,000	КМП3,2-02,00,000 КМП3,2-02,00,000-01
КМП4,0-00,00,000 КМП4,0-00,00,000-01	КМП4,0-01,00,000	КМП4,0-02,00,000 КМП4,0-02,00,000-01
КМП5,0-00,00,000 КМП5,0-00,00,000-01	КМП5,0-01,00,000	КМП5,0-02,00,000 КМП5,0-02,00,000-01
КМП6,3-00,00,000 КМП6,3-00,00,000-01	КМП6,3-01,00,000	КМП6,3-02,00,000 КМП6,3-02,00,000-01
КМП7,1-00,00,000 КМП7,1-00,00,000-01	КМП7,1-01,00,000	КМП7,1-02,00,000 КМП7,1-02,00,000-01
КМП8,0-00,00,000 КМП8,0-00,00,000-01	КМП8,0-01,00,000	КМП8,0-02,00,000 КМП8,0-02,00,000-01

Продолжение табл. IV.32

Обозначение установки	Индекс			Суммарная масса установки, кг
	отвода	гидрозатвора	на опорных лагах	
KMП12,5-00,00,000 KMП12,5-00,00,000-01	KMП12,5-03,00,000	KMП11-03,00,000	KMП11-01,00,000	KMП11-02,00,000 1060
KMП13,2-00,00,000 KMП13,2-00,00,000-01	KMП13,2-03,00,000	To же	To же	KMП11-02,00,000-01 1260
KMП14,0-00,00,000 KMП14,0-00,00,000-01	KMП14,0-03,00,000	»	»	KMП11-02,00,000-02 1777
KMП15,0-00,00,000 KMП15,0-00,00,000-01	KMП15,0-06,00,000	»	»	KMП11-02,00,000-03 3949
KMП16,3-00,00,000 KMП16,3-00,00,000-01	KMП16,3-03,00,000	KMП11-04,00,000	»	KMП11-02,00,000-04 5495
KMП17,1-00,00,000 KMП17,1-00,00,000-01	KMП17,1-03,00,000	To же	»	KMП11-02,00,000-05 —
KMП18,0-00,00,000 KMП18,0-00,00,000-01	KMП18,0-03,00,000	»	»	KMП11-02,00,000-06 10759

ТАБЛИЦА IV.33. ОСНОВНЫЕ КОНСТРУКТИВНЫЕ РАЗМЕРЫ, ММ, ПЫЛЕУЛОВИТЕЛЕЙ ТИПА КМП (РИС. IV.27)

Индекс	$D_r$	$D_k$	$D_1$	$D_2$	$D_3$	$d_1$	$d_2$	$d_3$	$d_4$	$H$	$H_r$
КМП2,5-00.00.000	250	1000	450	1200	740	50	25	50	20	4312	2570
КМП3,2-00.00.000	320	1200	560	1440	980	70	32	80	20	5010	3020
КМП4,0-00.00.000	400	1500	680	1800	1240	70	32	80	20	5850	3580
КМП5,0-00.00.000	500	1900	900	2120	1450	80	40	80	20	7416	4500
КМП6,3-00.00.000	630	2500	1120	2520	1600	100	40	100	25	8641	5280
КМП7,1-00.00.000	710	2700	1250	2920	1850	125	40	100	25	9591	5790
КМП8,0-00.00.000	800	3000	1400	3220	2050	125	40	100	25	10506	6425

Продолжение табл. IV.33

Обозначение	$H_k$	$h_1$	$h_2$	$h_3$	$h_4$	$A$	$B$	$M$	$K$	$L$	$N$
КМП2,5-00.00.000	3933	240	620	1129	780	350	620	2314	450	1110	600
КМП3,2-00.00.000	4820	240	620	1440	1000	410	750	2790	590	1230	765
КМП4,0-00.00.000	5630	240	750	1800	1030	530	930	3540	720	1600	900
КМП5,0-00.00.000	7064	526	1140	2250	1450	670	1180	3985	900	1800	1080
КМП6,3-00.00.000	7355	335	1140	2830	1700	810	1430	4620	1090	2150	1300
КМП7,1-00.00.000	9806	370	1140	3190	1960	950	1680	5240	1270	1470	1500
КМП8,0-00.00.000	10860	350	1140	3600	2140	1250	1860	5720	1430	2660	1650

ТАБЛИЦА IV.34. ТЕХНИЧЕСКИЕ ДАННЫЕ ПЫЛЕУЛОВИТЕЛЕЙ ЦВП

Исполнение циклона	Скорость воздуха, м/с		Гидравлическое сопротивление, Па	
	во входном отверстии циклона	условная в поперечном сечении циклона	одиночного циклона	установки из двух циклонов
Основное	16–25,6	4,5–7,05	360–910	390–1000
С повышенной скоростью	32–44	4,5–6	940–1780	980–1830

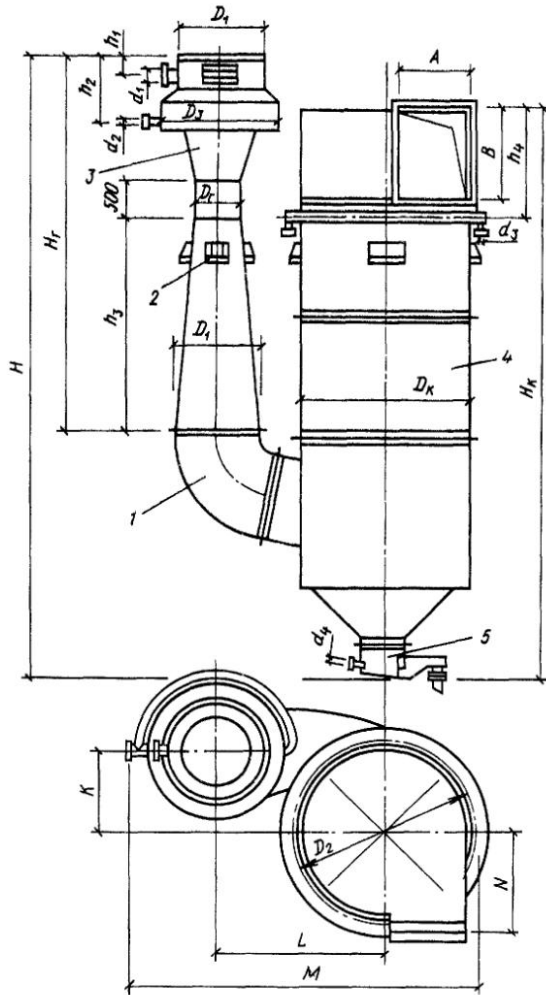


Рис. IV.27. Пылеуловители типа КМП  
 1 - отвод; 2 - лапа опорная; 3 - труба-коагулятор; 4 - каплеуловитель;  
 5 - гидрозатвор

ТАБЛИЦА IV.35. ОСНОВНЫЕ КОНСТРУКТИВНЫЕ РАЗМЕРЫ, ММ, ПЫЛЕУЛОВИТЕЛЕЙ ЦВП  
(РИС. IV.28)

Циклон	<i>D</i>	<i>B</i>	<i>B</i> <sub>1</sub>	<i>H</i> <sub>1</sub>	<i>H</i> <sub>2</sub>	<i>h</i> <sub>1</sub>	<i>h</i> <sub>2</sub>	<i>h</i> <sub>3</sub>	<i>a</i>	<i>d</i>	Общая масса, кг
ЦВП-3	315	445	283	2434	1711	132	250	595	102,5	19	63,9
ЦВП-4	400	505	360	3014	2173	159	320	685	130	21	106,7
ЦВП-5	500	640	450	3684	2806	189	400	792	162,5	23	161
ЦВП-6	630	765	565	4554	3401	229	500	927	205	26	237
ЦВП-8	800	1025	720	5699	4305	282	640	1116	260	29	369,7
ЦВП-10	1000	1335	900	7044	5367	344	800	1336	325	32	569,5

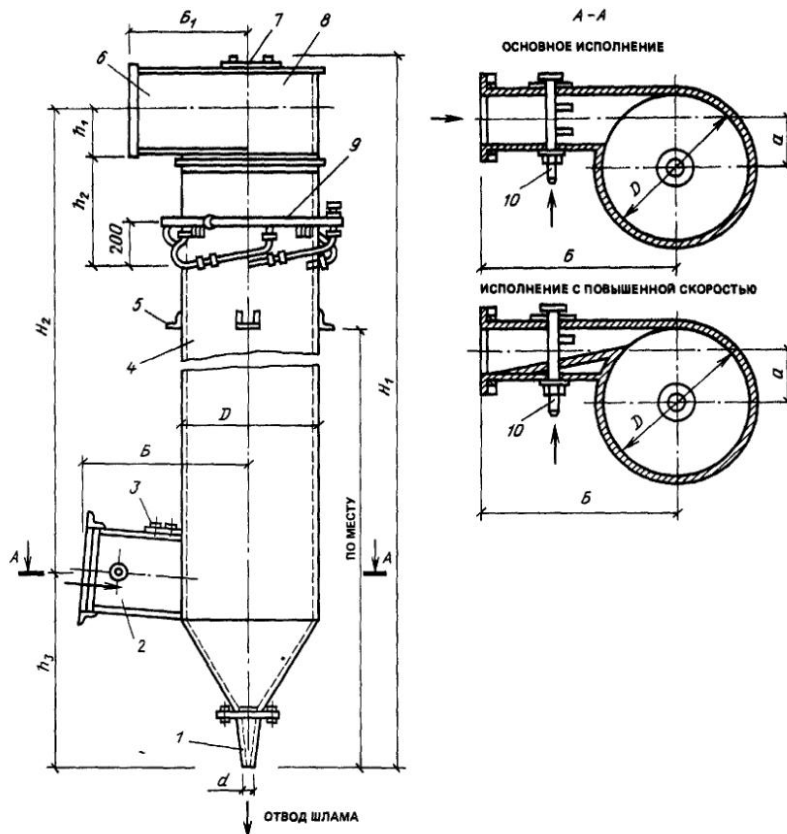


Рис. IV.28. Пылеуловители ЦВП

1 - конусный патрубок-гидрозатвор; 2 и 6 - входной и выходной патрубки; 3 - лючок; 4 - корпус циклона; 5 - опора; 7 - люк; 8 - улиточный раскручивающий аппарат; 9 - оросительная труба диаметром 3/4" для непрерывной промывки корпуса; 10 - подвод воды

# ПРЕДМЕТНЫЙ УКАЗАТЕЛЬ

## А

- Автоматизация систем 155
- Агрегаты вентиляторные 352–357
- Адсорбенты 93–96
- Адсорбция 95
- Аппарат направляющий 35
- Алюмогель 93
- Аэродинамическое сопротивление орошаемых слоев 62
- Аэроионизация воздуха 100, 101

## Б

- Бак-аккумулятор 112, 113
- Блоки приемные 351, 352
  - присоединительные 352
  - тепломассообмена 53, 54, 338–340
  - теплоутилизации 340–342
- Блокирование автоматическое 162

## В

- Ввод тепловой с элеватором 157
- Вентиляторы крышные осевые 298
  - радиальные 296, 297
  - поголочные перемешивающие 51
  - радиальные общего назначения высокого давления 278–291
    - низкого и среднего давления 246–278
    - пылевые 291–295
- Вентиляция противодымная 176
- Влажность воздуха относительная в пограничном слое над водными растворами солей 79
- Вода артезианская 102
- Воздуховоды круглые из листовой стали 199, 207–212
  - из винипласта 199, 200
  - общего назначения 237
  - перфорированные 133
  - прямоугольные из листовой стали 200
  - из винипласта 201
  - систем аспирации 236, 238, 242–244
  - вентиляции при естественном побуждении
- Воздухонагреватели 336 338
  - биметаллические со спирально-накатным обребением 299–313
- Воздухообмен 114–116
- Воздухоосушитель с врачающимся ротором 94
  - с неподвижным слоем 95
- 245

## Воздухоохладители поверхностные 66–78

— с орошающими насадками 60

Воздухораспределители 35, 124–129, 215, 216

Выбор регулирующего клапана 153, 154

## Г

Глубина количественного регулирования воздухораспределителей 34, 35

## Д

- Давление парциальное водяного пара 81–83
- Диаграмма фазовая для раствора поваренной соли 79
- Диафрагма 220, 232–236
- Диффузор конический 219
  - пирамидальный 218, 230
  - плоский 230
  - с отводом квадратного сечения 231
- Доводчик эжекционный 369
- Доувлажнение местное 60
- Дроссель-клапан 220

## Е

Емкости в системах холодоснабжения 112

## З

- Завеса воздушно-тепловая 163
- Зависимость давления воды перед форсунками от расхода 58, 59
  - холодопроизводительности от температуры хладоносителя 105
- Защита воздухонагревателей автоматическая 161

## И

И-диаграмма воздуха влажного 80

— наружного 22

— процесса осушения воздуха водным раствором хлористого кальция 92

— приготовления воздуха 18, 26, 27, 30, 37

Изменение температуры воды холодной и горячей 42

— воздуха первичного 42

Изотерма сорбции 95

Индекс Невиса и Вэрда 10

Источники холода 102, 103

- Кавитация 153  
 Калориферы стальные пластинчатые 318–325  
 — с гофрированными пластинами и плоскостными трубками 314–317  
 Камеры воздушные 348  
 — обслуживания 348  
 — орошения форсуночные 51, 53, 58, 331–333  
 — сеточные 53, 55, 59, 331, 334, 335  
 — осушения 90  
 — реконцентрации 90  
 Каналы вентиляционные из кирпича 200–203  
 — пеноглинистых или пеностеклянных плит 203  
 — шлакогипсовых или шлакобетонных плит 202  
 — с сеткой или решеткой 213  
 Клапан воздушный 348–351  
 — дымовой 172  
 — регулирующий 151–155  
 Классификация СКВ 6  
 Колено z-образное 216  
 — П-образное 217  
 — 90° с направляющими лопатками 217  
 — острыми кромками 216, 229  
 Коллектор конический 213  
 Кондиционеры местные автономные 361–367  
 — неавтономные 358–361  
 — шкафные 368  
 — центральные 326–330  
 — теплоутилизаторы 330  
 Кондиционирование воздуха индивидуальное 49  
 — комфортное 4  
 — технологическое 4  
 Конфузор 219, 229  
 Короба вентиляционные асбестоцементные 200  
 Коэффициент аппроксимации 55  
 — вариации 133  
 — взаимодействия струй 117–120  
 — воздухообмена 139–143  
 — использования холода 29  
 — кавитации 154  
 — неизотермичности 118, 119  
 — орошения воздуха 55, 66, 82  
 — перехода от нормируемой скорости движения воздуха и максимальной 115  
     поправочный на потери давления 227  
 — сгущения струй 117, 120, 136, 137  
 — теплообмена 60, 195  
 — теплопередачи 189, 190  
 — униполярности 101

- учета потерь воздуха 10  
 — эффективности адиабатной 55–57  
 — испарительного охлаждения воды в градирне 64  
 — тепло- и массообмена 88, 93  
 — тепло- и массоотдачи 88, 89, 91  
 — энталпийной 55–57  
 Кратность воздухообмена 35  
 Кривые равновесного состояния водяного пара в силикагеле 96  
 — адсорбции влаги силикагелем 96  
 Критерий Архимеда 118

- Машины холодильные абсорбционные 106, 107  
 — воздушные 108  
 — водоохлаждающие винтовые 105  
 — турбокомпрессорные 105  
 — парокомпрессионные 103–106  
 — пароэжекторные 107, 108  
 Метод окисления деструктивный 99  
 — расчета СУПТ графоаналитический без подогрева теплоносителя 187  
 — с подогревом 194  
 Муфга скольжения электрическая индукторная 35

- Насадки регулярной и нерегулярной структуры 60, 61

- Обозначения условные оборудования и приборов СКВ 16  
 Озонирование 98  
 Определение концентрации раствора хлористого лигия 84, 85  
 — общей теплоты сорбции 84, 85  
 Осушение воздуха поглотителями жидкими 79  
 — твердыми 93  
 — твердо-жидкими 97  
 Отверстие с утолщенными краями 219  
 Отвод круглого сечения 217, 229, 238  
 — прямоугольного сечения 227  
 Отклонение температуры в приточной струе от нормируемой 116  
 Охлаждение воздуха двухступенчатое 64–66  
 — испарительное 64–66

## П

- Панель для установки ячейковых фильтров 372, 373  
Параметры воздуха оптимальные 7 9  
— для особо чистых помещений 49  
Перепады температур для группы теплообменников 191  
Переходник с квадратного на круглое сечение 231  
Поглотители 78, 79  
Построение процесса приготовления воздуха 11, 26, 27  
— сухого охлаждения 69  
Потери давления на трение в воздуховодах 204  
— по воздуху в теплообменниках 77 78  
Потолки перфорированные 133, 134  
Приборы теплотехнического контроля 156, 157  
Примеры расчета воздухораспределения 146  
Промыватели скоростные СИОТ 400 402  
Промывки воздуха водой 98  
Процесс обработки воздуха адабатный 52  
  политропный 52  
  технологический 22–24  
приготовления воздуха 18, 26, 27, 30, 37  
Пылеуловители 402–410

## Р

- Расход воздуха кондиционированного полезный 10, 11  
  наружного 12, 14, 29, 138, 149, 179  
  на рециркуляцию 141  
— теплоты максимальный 29, 32, 39  
— на десорбцию 97  
— холода 29, 32, 39  
Расчет воздухоохладителей поверхностных 66  
— теплотехнический 76  
— воздухораспределителей 134–137  
— камер орошения 53, 54  
— осушения 90  
— реконцентрации 90  
— количества форсунок 54  
— производительности СКВ 49  
— сети воздуховодов систем аспирации 242–245  
— вентиляции 245 246  
— СУПТ с подогревом 196, 197  
— теплотехнический осушительных камер 87  
— экономически целесообразной скорости движения воздуха 205, 206  
Регулирование автоматическое местное 161  
— индивидуальное 161  
— центральное 160

- процессов теплопередачи 151  
Решетка вентиляционная унифицированная 216  
— щелевая 214

## С

- Свойства раствора хлористого кальция 85  
— лития 85  
— теплоносителей 183  
Силикагель 93, 94  
Система аспирации 243–245  
— воздухораспределения программная 145, 146  
Системы кондиционирования воздуха местные 15, 43, 44  
— комбинированные 44  
  центральные водовоздушные 39, 40  
  для особо чистых помещений 46 49  
— термоконстантных помещений 45, 46  
  многозональные 25–34, 36, 37  
  однозональные 15 25  
— одноканальные 40, 41  
  с воздушными холодильными машинами 50, 51  
— количественным и количественно-качественным регулированием 34–36  
— комбинированным косвенным и прямым испарительным охлаждением воздуха 65  
— осушительной камерой 86  
— потолочными перемешивающими вентиляторами 51  
— установкой для дезодорации воздуха 100  
— местного доувлажнения 60  
— регулирования автоматические 159  
— утилизации теплоты ВЭР 181–184, 187  
— циркуляции теплоносителя 113  
Соединение холодильных машин параллельное 112  
— последовательное 112  
Соотношения для определения коэффициентов воздухообмена 142, 143  
Сопротивление воздухонагревателей аэродинамическое 336  
— гидравлическое 306, 311, 315, 323  
— насадок аэродинамический 60, 62  
Способы подачи воздуха 123–133, 142, 143  
— регулирования производительности вентиляторов 34, 35  
Станции холодильные 111  
Струи подачи воздуха 116 123  
Схема блокировки многозональных кондиционеров 28  
  присоединения ТУБ к циркуляционному контуру 188

- процессов тепло- и влагообмена при орошении соляным раствором 85
- расчетная сеть воздуховодов общего назначения 236, 237
  - установки воздухораспределителей в ряд 120
- Схемы использования артезианской воды в СКВ 103
- обвязки теплообменников по воде 67, 68
- обработки воздуха 13, 15
- подачи воздуха 121, 130, 131, 134, 136
- присоединения воздухоохладителей к линиям холодоснабжения 110
- теплоутилизационных блоков 188
- процесса ассимиляции теплоты и влаги 144
- технологические СУПТ 186, 187
- циркуляции хладоносителя 109–111

## Т

- Температура воздуха наружного 5, 50
  - в помещении 9, 10
- замерзания раствора незамерзающего теплоносителя 182, 183
- «сквозняка» эффективная 10
- Теплоноситель промежуточный 182
- Теплообменники базовые 67, 68
  - роторные контактные 60
- Теплоутилизаторы 183, 196
- Точка эвтектическая 79
- Тройник прямой 90° вытяжной 218
  - приточный 217
  - круглого сечения 239–241
- Труба цилиндрическая, заделанная в стену 213, 215
- Трубы вихревые 49, 50

## У

- Увлажнение воздуха паром 63
- Уголь активированный 93, 94
- Удаление воздуха из помещения 137, 138
  - дыма из помещений 173–179
  - коридоров 171, 172
- Узел ответвления 221–226
- Управление электродвигателями диспетчерское 164
  - дистанционное 164
  - местное 164
- Установка пневматическая «Туман» 61, 63
  - приточно-вентиляционная 157
  - регенерационная 347

## Ф

- Фильтры воздушные 342–346
  - рукавные 396, 398, 399
- рулонные 374–376
- складчатые волокнистые 374
- электрические 378, 379
- ячейковые унифицированные Фя 370, 371
- Форсунка пневматическая 63

## Х

- Характеристики аэродинамические вентиляторов 248–255, 264, 265, 271, 279–282, 292, 296
  - воздухораспределителей 123–129
  - геометрические диффузоров 228
  - клапана регулирующего 152, 153
  - теплообменников 70–75
  - теплоутилизаторов 196
- Холодопроизводительность холодильной станции 112
- Холодоснабжение кондиционеров децентрализованное 108
  - централизованное 109

## Ц

- Циклоны Гипроревпрома 394, 396, 397
  - групповые 380–382, 384, 386–390
  - Клайпедского ОЭКДМ 392, 394, 395
  - на постаменте 382, 383
  - одиночные 380–382, 385
  - СИОТ 391
  - с бункером 393
  - с обратным конусом 392

## Ш

- Шахта вытяжная с зонтом 214
- приточная 214
- Шероховатость эквивалентная материалов воздуховодов 203
- Шибер 220
- Шкала запахов 98

## Э

- Элементы составные 231
- Энергоресурсы вторичные низкотемпературные 180
- Энталпия воздуха 5, 25
- Эффект Ранка 49
- Эффективность нейтрализации запаха 99

# ОГЛАВЛЕНИЕ

Предисловие . . . . .	3		
Глава 15. КОНДИЦИОНИРОВАНИЕ ВОЗДУХА . . . . .	4	19.2. Теплотехнический контроль и сигнализация . . . . .	156
15.1. Общие положения . . . . .	4	19.3. Автоматическое регулирование систем отопления, вентиляции и кондиционирования воздуха . . . . .	159
15.2. Расход кондиционированного воздуха . . . . .	10	19.4. Автоматическое регулирование систем горячего и холодного водоснабжения . . . . .	161
15.3. Системы кондиционирования воздуха . . . . .	15	19.5. Автоматическая защита оборудования и блокирование . . . . .	161
15.4. Форсуночные камеры орошения . . . . .	51	19.6. Управление электродвигателями и диспетчеризация . . . . .	164
15.5. Воздухоохладители с орошающими насадками . . . . .	60		
15.6. Увлажнение и охлаждение воздуха . . . . .	60	Глава 20. ПРОТИВОПОЖАРНЫЕ ТРЕБОВАНИЯ . . . . .	165
15.7. Поверхностные воздухоохладители . . . . .	66	20.1. Общие положения . . . . .	165
15.8. Осушение воздуха сорбентами . . . . .	78	20.2. Системы отопления . . . . .	165
15.9. Борьба с запахами, озонирование и аэроионизация . . . . .	97	20.3. Системы вентиляции, кондиционирования воздуха и воздушного отопления . . . . .	166
Глава 16. ХОЛОДОСНАБЖЕНИЕ СИСТЕМ КОНДИЦИОНИРОВАНИЯ ВОЗДУХА . . . . .	102	20.4. Удаление дыма при пожаре из коридоров или холлов . . . . .	171
16.1. Естественные источники холода . . . . .	102	20.5. Удаление дыма непосредственно из помещений, в которых произошел пожар . . . . .	173
16.2. Холодильные машины . . . . .	103	20.6. Приточная противодымная вентиляция . . . . .	176
16.3. Системы холодоснабжения кондиционеров . . . . .	108		
16.4. Холодильные станции . . . . .	111	Глава 21 НИЗКОТЕМПЕРАТУРНЫЕ ВТОРИЧНЫЕ ЭНЕРГОРЕСУРСЫ . . . . .	180
16.5. Емкости, баки-аккумуляторы . . . . .	112	21.1. Источники, потребители и целесообразность использования низкопотенциальных вторичных энергоресурсов . . . . .	180
Глава 17. ОРГАНИЗАЦИЯ ВОЗДУХООБМЕНА И РАСПРЕДЕЛЕНИЕ ВОЗДУХА В ПОМЕЩЕНИЯХ . . . . .	114	21.2. Системы утилизации теплоты ВЭР в жидкостно-воздушных теплоутилизаторах с промежуточным теплоносителем . . . . .	181
17.1. Общие положения . . . . .	114		
17.2. Приточные струи . . . . .	116	Глава 22. РАСЧЕТ ВОЗДУХОВОДОВ И ВЕНТИЛЯЦИОННЫХ КАНАЛОВ . . . . .	198
17.3. Выбор способов подачи, типов и количества ВР . . . . .	123	22.1. Размеры и масса воздуховодов . . . . .	198
17.4. Распределение воздуха через перфорированные воздуховоды, потолки и панели . . . . .	133	22.2. Размеры вентиляционных каналов . . . . .	200
17.5. Удаление воздуха из помещения . . . . .	137	22.3. Расчет воздуховодов и каналов приточных и вытяжных систем вентиляции общего назначения . . . . .	202
17.6. Определение расхода приточного воздуха . . . . .	138	22.4. Расчет потерь давления в местных сопротивлениях вблизи вентиляторов . . . . .	228
17.7. Расчет воздухообмена и воздухораспределения на ЭВМ . . . . .	145	22.5. Расчет диафрагм для круглых и прямоугольных воздуховодов . . . . .	232
17.8. Примеры расчета воздухораспределения . . . . .	146	22.6. Расчет конусных диафрагм . . . . .	236
Глава 18. РАСЧЕТ И ВЫБОР РЕГУЛИРУЮЩИХ КЛАПАНОВ НА ТРУБОПРОВОДАХ ТЕПЛНОСИТЕЛЯ . . . . .	151	22.7. Расчет воздуховодов систем аспирации . . . . .	236
Глава 19. ОСНОВЫ ПРОЕКТИРОВАНИЯ АВТОМАТИЗАЦИИ ВНУТРЕННИХ САНИТАРНО-ТЕХНИЧЕСКИХ СИСТЕМ . . . . .	155	22.8. Расчет воздуховодов систем вентиляции при естественном побуждении . . . . .	245
19.1. Общие сведения . . . . .	155		

<b>Приложение I. ВЕНТИЛЯТОРЫ . . . . .</b>	<b>246</b>	III.11. Клапаны воздушные . . . . .	348
I.1. Вентиляторы радиальные . . . . .	246	III.12. Блоки приемные . . . . .	351
I.2. Вентиляторы крышные . . . . .	296	III.13. Блоки присоединительные . . . . .	352
<b>Приложение II. ВОЗДУХОНАГРЕВАТЕЛИ (КАЛОРИФЕРЫ) . . . . .</b>	<b>299</b>	III.14. Вентиляторные агрегаты . . . . .	352
II.1. Воздухонагреватели биметаллические со спирально-накатным оребрением . . . . .	299	III.15. Кондиционеры местные неавтономные типа КНБ . . . . .	358
II.2. Калориферы стальные с гофрированными пластинами и плоскоovalьными трубками . . . . .	314	III.16. Кондиционеры автономные типа КПА1 . . . . .	361
II.3. Калориферы стальные пластинчатые . . . . .	318	III.17. Кондиционеры автономные типа КТА . . . . .	366
<b>Приложение III. ЦЕНТРАЛЬНЫЕ КОНДИЦИОНЕРЫ И КОНДИЦИОНЕРЫ-ТЕПЛОУТИЛИЗАТОРЫ КТЦЗ . . . . .</b>	<b>326</b>	III.18. Кондиционер неавтономный шкафной КТН-1,6-01 . . . . .	368
III.1. Центральные кондиционеры . . . . .	326	III.19. Доводчик эжекционный Д-Э2-0,56 . . . . .	369
III.2. Кондиционеры-теплоутилизаторы . . . . .	330		
III.3. Камеры орошения . . . . .	331		
III.4. Воздухонагреватели . . . . .	336		
III.5. Блоки тепломассообмена . . . . .	338		
III.6. Блоки теплоутилизации . . . . .	340		
III.7. Фильтры воздушные . . . . .	342		
III.8. Установка регенерационная УР-1-02А . . . . .	347		
III.9. Камеры обслуживания КО-1 . . . . .	348		
III.10. Камеры воздушные КВ 0,5-3 и КВ 1-3 . . . . .	348		
		<b>Приложение IV. ФИЛЬТРЫ И ПЫЛЕУЛОВИТЕЛИ . . . . .</b>	<b>370</b>
		IV.1. Унифицированные ячейковые фильтры Фя . . . . .	370
		IV.2. Панели УсФя для установки ячейковых фильтров типа Фя в строительных конструкциях и центральных секционных кондиционерах . . . . .	372
		IV.3. Фильтры ФяЛ . . . . .	374
		IV.4. Фильтры ФРС . . . . .	374
		IV.5. Электрофильтры ФЭ и ЭФ-2М . . . . .	378
		IV.6. Циклоны . . . . .	380
		IV.7. Рукавные фильтры . . . . .	396
		IV.8. Скоростные промыватели СИОТ . . . . .	400
		IV.9. Пылеуловители . . . . .	402
		<b>Предметный указатель . . . . .</b>	<b>411</b>

### Справочное издание

## ВНУТРЕННИЕ САНИТАРНО-ТЕХНИЧЕСКИЕ УСТРОЙСТВА

В трех частях

### Часть 3. Вентиляция и кондиционирование воздуха

#### Книга 2

Баркалов Борис Владимирович, Павлов Николай Николаевич, Амирджанов Сурен Саакович, Моор Лев Федорович, Гриппиталий Монсеи Иосифович, Позин Гарри Моисеевич, Крайнер Борис Наумович, Рубчинский Виктор, Михайлович, Саловская Тамила Ивановна, Березина Наталья Ивановна, Бычкова Людмила Анатольевна, Ушомирская Алина Исаевна, Финкельштейн Семен Мордович, Пирумов Александр Иванович

Художественный редактор Л. Ф. Егоренко. Технический редактор Л. И. Шерстнева. Корректор Г. Г. Морозовская

ИБ № 3887

Сдано в набор 18.06.91. Подписано в печать 20.05.92. Формат 70×100 1/16. Бумага офс № 2—60 гр. Гарнитура Таймс. Печать офсетная. Усл. печ. л. 33,54. Уч.-изд. л. 39,15. Тираж 15 000 экз. Изд. № АХ—1094 Заказ 1976 С 108